



ACADEMIA ROMÂNĂ
INSTITUTUL DE ARHEOLOGIE „VASILE PÂRVAN”

MATERIALE ȘI CERCETĂRI ARHEOLOGICE

SERIE NOUĂ
NR. XVII, 2021



EDITURA ACADEMIEI ROMÂNE

Colegiul de redacție

Dr. **STEFAN ALEXANDROV** (National Institute of Archaeology and Museum, Sofia), Dr. **SANDA BALESCU** (Université des Sciences et Technologies de Lille, Laboratoire de Préhistoire et Quaternaire, CNRS, France), Dr. **CONSTANTIN BĂJENARU** (Muzeul de Istorie Națională și Arheologie Constanța), Dr. **RADU BĂJENARU** (Institutul de Arheologie „Vasile Pârvan”, București), Dr. **LUMINIȚA BEJENARU** (Universitatea „Alexandru Ioan Cuza” Iași; Centrul de Antropologie „Olga Necrasov” al Academiei Române - Filiala Iași), Prof. Dr. **CLIVE BONSALL** (University of Edinburgh, U.K.), Prof. Dr. **NIKOLAUS BOROFFKA** (Deutsches Archäologisches Institut – Eurasien Abteilung, Berlin, Germany), Dr. **PIERRE DUPONT** (Université de Lyon, CNRS, France), Dr. **UWE FIEDLER** (Berlin, Germany), Dr. **RADU HARHOIU** (Institutul de Arheologie „Vasile Pârvan”, București), Dr. **DOMINIC MOREAU** (Université de Lille, Centre de recherche HALMA-UMR 8164, France), Dr. **EUGEN NICOLAE** (Institutul de Arheologie „Vasile Pârvan”, București), Dr. **CORIOLAN OPREANU** (Institutul de Arheologie și Istoria Artei, Cluj-Napoca), Prof. Dr. **ANNIE RENOUX** (Université du Maine, Le Mans), Dr. **ALEXANDER RUBEL** (Institutul de Arheologie, Iași), Dr. **VIORICA RUSU-BOLINDEȚ** (Muzeul Național de Istorie a Transilvaniei, Cluj-Napoca), Dr. **ANGELA SIMALCSIK** (Centrul de Antropologie „Olga Necrasov” al Academiei Române - Filiala Iași), Academician **VICTOR SPINEI** (Institutul de Arheologie, Iași), Prof. Dr. **ERIK TRINKAUS** (Department of Anthropology, Washington University), Prof. Dr. **ALAIN TUFFREAU** (Université des Sciences et Technologies de Lille, Laboratoire de Préhistoire et Quaternaire, CNRS, France)

Comitetul de redacție

ROXANA DOBRESCU – redactor șef
ADRIAN IONIȚĂ – redactor-șef adjunct

IRINA ACHIM, ADINA BORONEANȚ, MIRCEA DABÎCA, ADRIAN DOBOȘ, RADU-ALEXANDRU DRAGOMAN, ANDREI MĂGUREANU, LIANA OȚA, ADRIANA PANAITE, DANIEL SPÂNU, VLAD VINTILĂ ZIRRA – membri

RALUCA KOGĂLNICEANU – secretar de redacție

RALUCA KOGĂLNICEANU, OFELIA COȘMAN – prelucrare ilustrație și așezare în pagină
PIERRE DUPONT (limba franceză), **ROXANA DOBRESCU** (limba franceză), **CLIVE BONSALL** (limba engleză), **ADINA BORONEANȚ** (limba engleză) – consultanți limbi străine
ROMEO CÎRJAN – design copertă

www.mcajournal.ro

Orice corespondență se va trimite Comitetului de redacție pe adresa: Str. Henri Coandă nr. 11, 010667 București, tel./fax 4021 212 88 62 și iab.redactie@gmail.ro.

Toate lucrările publicate în revista *Materiale și Cercetări Arheologice* sunt recenzate de specialiști în domeniu. (peer-reviewed journal)

**Revista *Materiale și Cercetări Arheologice* este indexată în următoarele baze de date:
Persée, Copernicus, ERIH PLUS, Scopus, CEEOL, EBSCO și DOAJ.**

Redactori Editura Academiei Române: **ADRIAN MIRCEA DOBRE, VIRGINIA PETRICĂ, ANA BOROȘ**
Tehnoredactor Editura Academiei Române: **MARIANA MOCANU**

Revista se poate procura contracost la sediul EDITURII ACADEMIEI ROMÂNE, Calea 13 Septembrie nr. 13, sector 5, 050711, București, România; tel. 4021-318 8146, 4021-318 8106, Fax 4021-318 2444, e-mail: edacad@ear.ro.

ORION PRESS IMPEX 2000 S.R.L., P.O. Box 77-19, București, România, Tel./Fax: 4021-610 6765, 4021-210 6787, Tel.: 0311 044 668, e-mail: office@orionpress.ro.

S.C.MANPRESS DISTRIBUTION S.R.L., Piața Presei Libere nr. 1, Corp B, Etaj 3, Cam. 301-302, sector 1, București, România, tel./fax: 4021-314 6339, e-mail: abonamente@manpres.ro, office@manpres.ro, www.romanianjournals.com.

DEREX COM S.R.L., e-mail: derec_com@yahoo.com.

© 2021, EDITURA ACADEMIEI ROMÂNE

SUMAR / SOMMAIRE / CONTENTS

EPOCA METALELOR / L'ÂGE DU BRONZE ET L'ÂGE DU FER / BRONZE AND IRON AGES

Stefan ALEXANDROV, Vladimir SLAVCHEV, Eva TONKOVA Rescue Excavations of Bronze Age Barrows in Vetrino Region, northeast Bulgaria	5
Nona PALINCAȘ The new structure of the <i>dava</i> at Popești (Giurgiu County, southern Romania, 2 nd century BC – ca. AD 6), based on the 2019–2020 preventive excavations. The first data	49

EPOCA GREACĂ / ÉPOQUE GRECQUE / GREEK PERIOD

Pierre DUPONT Lesbos wine: <i>OINOΣ AYΘIΓENHΣ</i> or regional vintage spread throughout the Lesbian sphere?	71
--	----

EPOCA ROMANĂ / ÉPOQUE ROMAINE/ ROMAN PERIOD

Bianca GRIGORAȘ, Adriana PANAITTE The Late Roman Amphorae from Tropaeum Traiani, Sector A (north of the Basilica A), 2005–2016	87
Mircea DABÎCA, Cătălin PAVEL, Andrei SOFICARU New data on the Late Roman Cemetery (4 th –5 th centuries AD) from the <i>Extra Muros</i> Basilica at Histria: burial and reburial of two young people	115
Constantin C. PETOLESCU, Florian MATEI-POPESCU, Ion DUMITRESCU Noi cercetări arheologice din castrul de la Câmpulung (Pescăreasa, punct <i>Jidova</i>) (2010–2015)	129
New archaeological research at the Roman fort from Câmpulung (Pescăreasa, <i>Jidova</i> location) (2010–2015)	
Nicolae URSULESCU, Valeriu SÎRBU, Liana OȚA, †Paul ȘADURSCHI, Maria DIACONESCU Mormintele sarmatice de la Prăjeni (județul Botoșani)	165
The Sarmatian graves from Prăjeni (Botoșani County)	

EPOCA MEDIEVALĂ / ÉPOQUE MÉDIEVALE / MIDDLE AGES

Daniela MARCU ISTRATE, Sebastian DOBROTĂ, Horațiu GROZA Biserica reformată din Turda Veche: cercetările arheologice din anii 2018–2020	201
The Reformed Church of Turda Veche: the archaeological research between 2018 and 2020	
Florin-Gabriel PETRICĂ, Minodora CÂRCIUMARU, Mihai Claudiu NĂSTASE Cercetările arheologice de la biserica „Adormirea Maicii Domnului” – Strâmbeanu din Pitaru (com. Potlogi, jud. Dâmbovița)	235
Archaeological research at the “Dormition of the Virgin” – Strâmbeanu Church in Pitaru (Potlogi comm., Dâmbovița County)	

Gabriel VASILE	
Analiza antropologică a resturilor scheletice descoperite în pronaosul bisericii „Adormirea Maicii Domnului” – Strâmbeanu din Pitaru (com. Potlogi, jud. Dâmbovița)	249
The anthropological analysis of the skeletal remains discovered in the narthex of the “Dormition of the Virgin” – Strâmbeanu Church in Pitaru (Potlogi comm., Dâmbovița County)	
Adina BORONEANȚ, Andrei MĂGUREANU, Meda TODERAȘ, Vlad CĂRĂBIȘI, Adrian BĂLĂȘESCU, Gabriel VASILE	
Alba sau Băneasa – <i>La Stejar?</i> Reidentificarea unui sit arheologic din nord-vestul Bucureștiului	267
Alba or Băneasa – <i>La Stejar?</i> Re-identifying an archaeological site in northwestern Bucharest	
Abrevieri / Abréviations / Abbreviations	329

RESCUE EXCAVATIONS OF BRONZE AGE BARROWS IN VETRINO REGION, NORTHEAST BULGARIA

Stefan ALEXANDROV^a, Vladimir SLAVCHEV^b, Eva TONKOVA^a

^a National Archaeological Institute with Museum – Bulgarian Academy of Sciences, Sofia; e-mails: stefanalexandrov@abv.bg, e.n.tonkova@gmail.com

^b Varna Archaeological Museum; e-mail: vladosl@yahoo.com

Keywords: Lower Danube, Bronze Age, barrow graves, Yamnaya culture, Usatovo culture, Zhivotilovka group

Abstract: The aim of this study is to present the results of the rescue excavations of three Bronze Age barrows in Vetrino region, Northeast Bulgaria. Fourteen Early Bronze Age graves (4th–3rd millennium BC), two of Middle Bronze Age date (first half of the 2nd millennium BC) and one Late Bronze Age grave (second half of the 2nd millennium BC) were excavated in the region in 2020. The majority of the Early Bronze Age graves were relaxed hocker inhumations dating to the periods 3100–2900 calBC and 2900–2600 calBC. Their nature, characteristics and relationship to contemporary burials in other regions to the north and west are discussed. The dating of 2000–1500 calBC period of the tightly-contracted hocker inhumations from Northeast Bulgaria is argued as well.

Cuvinte-cheie: Dunărea de Jos, epoca bronzului, morminte tumulare, cultura Yamnaya, cultura Usatovo, grupul Zhivotilovka

Rezumat: Scopul acestui articol este prezentarea cercetărilor arheologice de salvare desfășurate în trei tumuli atribuiți epocii bronzului în regiunea Vetrino din nord-estul Bulgariei. În 2020 au fost cercetate în această regiune 14 morminte atribuite epocii timpurii a bronzului (mileniile IV–III î.Hr.), două epocii mijlocii a bronzului (prima jumătate a mileniului II î.Hr.) și unul atribuit epocii târzii a bronzului (a doua jumătate a mileniului II î.Hr.). Majoritatea mormintelor conțineau indivizi în poziția chircit pe o parte, atribuite perioadelor 3100–2900 calBC și 2900–2600 calBC. Sunt discutate tipul lor, caracteristicile și relația lor cu morminte contemporane din alte regiuni la nord și vest. Este pusă în discuție și datarea unor morminte cu indivizi în poziția chircit puternic în perioada 2000–1500 calBC din nord-estul Bulgariei.

In 2019–2020, a large scale campaign of archaeological rescue excavations along the expansion of the gas-transmission infrastructure of the “Bulgartransgaz EAD” company in North Bulgaria was carried out, led by the National Archaeological Institute with Museum – BAS. During these two years, more than 120 archaeological sites dating from the Neolithic to the Late Medieval periods were explored¹. Five of the sites investigated were Bronze Age barrows located in Northeast Bulgaria, three of them were in the region of Vetrino (Pl. I).

Vetrino is located in the center of the closed hilly valley of the Zlatina River. The north–south and the east–west axes of the area are approximately equal – about 15 km. The valley has an easy slope from northwest (highest point about 300 m above sea level) to southeast (lowest point – about 50 m). It was formed on Lower and Upper Cretaceous marls and limestones, covered with a thin stratum of loose-textured soils. Today, the lands are almost completely arable, but in the past they were covered with grassy vegetation. The climate is humid continental, with relatively cold winters and warm summers. The Vetrino landscape is characterized by numerous Early Bronze Age (EBA) barrows, their number exceeding one hundred. The barrows themselves are

organized in extensive necropolises (Pl. II). The region itself is situated on the road that connects the northeastern part of the Lower Danube area to Thrace through the passes of the eastern Balkan range. It became of particular interest for studying the EBA mortuary practices after the excavations of the barrow necropolis near Belogradets, carried out by Goranka Tončeva in the 1970s, and the publication of the stone anthropomorphic stela from Nevsha, both situated in the immediate western vicinity of the barrows investigated in 2020². Finally, the region is connected through the water catchment of the Provadiyska River (Pl. I/2) to the well-known Varna lakes submerged prehistoric settlements³. All these particular elements of the archaeology of the region made the authors wish to publish as soon as possible the results of the investigations, hoping that this will contribute to a better understanding of the mortuary practices, cultural identity and relationships of the people that lived in the northeastern part of the Lower Danube region during the 4th–2nd millennia BC.

As mentioned above, three barrows with a total number of 17 Bronze Age graves were investigated in 2020. The features discovered will be presented in geographical order from west to east as follows:

¹ Popov 2020.

² Tončeva 1978; 1980; 1981b.

³ Tončeva 1981a; Roman *et alii* 1992.

VETRINO, NECROPOLIS 1, BARROW 34

This barrow was part of a necropolis consisting of more than 30 barrows arranged on the top of the hills west of the Vetrino and Sredno Selo villages (Pl. II). Nowadays, all the barrows are located on the agricultural areas and have been regularly ploughed with heavy machinery for decades, which has considerably enlarged their diameters and reduced their height. The latter varies from 0.10 m to 3.5 m. The barrows are arranged in a curved line following the ridge of the hills, with a total length of circa 4 km. Barrow no. 34 had, before the excavations, 0.40 m in height and 35 m in diameter (Pl. III/1; IV).

The barrow and its surroundings were completely investigated⁴. Four features were discovered, all dating to the Bronze Age. Feature no. 2 is the primary one, located in the central part of the barrow. Here, a modern-day, possibly treasure hunters' pit of 3 × 2.5 m was discovered cutting into the structure (Pl. V/2; VII/2). This pit had almost completely destroyed the upper part of the grave facility. It was a rectangular pit with steps; its upper part was observed at -1.32 m from the Central Point (CP). The preserved depth of the pit is 1.56 m. In that area, above and around the grave pit, a large quantity of medium- and large size stones was discovered (Pl. V/3–5; VI/1–2; VIII/2). Such stones were found in the grave pit itself to the depth of -2.80 m from the CP. The grave pit had, probably, two steps - the upper one had been destroyed by the treasure hunters' intervention (Pl. VI/3–4; VIII/1). This assumption is supported by the shape and dimensions of the dug-out space which was left when the virgin soil was removed from the grave pit (Pl. V/3; VIII/2). One can speculate that, the same as in Vetrino-3, Barrow 1, grave 1 (Pl. XVIII/1–2), the middle pit had been covered with stones that had then been relocated by the modern activities.

The scattered bones of a 9–10 year old infant⁵ were found at the bottom of the grave pit. The bones were not articulated, but the lower limb bones were found in the western part of the pit, and the bones from the skull and the torso were in its central area (Pl. VI/5; VII/1). Red ochre staining was registered on the long bones and skull. An organic layer was covering the bottom of the pit, lying beneath the bones. Considering the fact that this part of the barrow had been destroyed by the treasure hunters' ditch, as well as by numerous "tunnels" (observed in the grave pit) with a diameter of up to 0.50 m (Pl. V/3; VII/2), made by carnivores (foxes or badgers) we cannot be sure that the archaeological situation observed on the bottom of the pit had not been compromised by later

anthropogenic or animal activities. A barrow fill 0.70 m thick and circa 30 m in diameter had been piled over the grave. Its periphery had been covered by a stone ring. The ring was constructed using medium sized stones arranged in a single row, of 1.0–2.5 m in diameter (Pl. III/2; IV/3).

The grave pits of feature nos. 3 and 4 were dug into the already existing barrow fill. Both pits had one step, dug into the fill, the ancient humus and the virgin soil. The lower pit of feature no. 4 was covered with partly preserved tree bark (Pl. IX–X). At the bottom of the pits were buried a 20–25 year old male (feature no. 3) and a 6 year old infant (feature no. 4). In both cases the bodies were arranged in hocker⁶ position, lying on the right. The right arms were extended alongside the body, the left one – bent at the elbow with the palm at the right wrist. Orientation south/southeast – west/northwest with the head in the southern sector. Red ochre was found over the ankles of the infant, and feet and palms of the adult male (Pl. IX/7–9; X/3–4). Grave goods were found in feature no. 3 – two silver hair-rings, one on each side of the skull (one of them – in the right *auricular*), a bone bead, two rodent teeth and a segment from a copper wire in the chest area. In the upper fill of the pit, a sherd of pottery decorated with cord impressions was also found (Pl. IX/1–6).

In the central part of the barrow, at a depth of 0.40–0.50 m several fragments of human long bones were discovered, labelled as feature 1 (Pl. V/1–2). They probably came from a secondary grave destroyed by the treasure hunters. No traces of red ochre were discovered on the bones.

Considering the observations made during the excavations and the stratigraphic relationships between the features discovered, the following sequence could be argued for: no. 2 (primary grave with ring of stones) – nos. 3, 4 – no. 1.

VETRINO, NECROPOLIS 2, BARROW 7

This was part of a necropolis consisting of 10 barrows located south of the Vetrino village (Pl. II). Nowadays, all the barrows are located on agricultural land, having been ploughed with heavy machines for decades. As with the previous example, this has considerably enlarged their diameters and reduced their heights. Their height varies from 0.40 m to 2.5 m. The barrows are arranged in a curved line with a length of circa 1 km. Barrow no. 7 had, before the excavations, 1.0 m in height and 50 m in diameter (Pl. XI).

the knees, arms in front of the torso/head. An additional classification according to the angle formed by the spinal column and the legs of the deceased will be used here as well: "contracted hocker" – with an angle smaller than 90 degrees and, "relaxed hocker" – with an angle wider than 90 degrees.

⁴ Alexandrov, Slavchev 2020.

⁵ The anthropological analyses of the human skeletal remains from Barrow 34 were carried out by Dr Nadezda Atanassova (IEMPAM-BAS).

⁶ The term "hocker" has a long use in Southeast European archaeology and will be used here as well. It describes a particular position of the body in the grave – placed laterally in a foetal position: legs flexed at

The barrow and its surroundings were completely investigated⁷. Six features were discovered, all dating to the Bronze Age (Pl. XII). Feature no. 1 is the primary one, located 3 m west from the CP. The grave pit is rectangular, with two steps and a total depth of 0.94 m dug into the ancient humus and the virgin soil. Recovered remains of tree bark suggest they covered the centre of the pit. The grave pit was encircled with medium stones arranged in rows near the walls. At the bottom of the pit, in relaxed hocker position, lying on the right, a 20–30 year old male was buried⁸. Both arms were bent at the elbows with the palms in front of the head/torso. Orientation west – east, head to the west. Red ochre was observed at the ankles, femurs, ribs, shoulder and skull (Pl. XIII). A barrow fill with 1.0 m height and circa 30 m diameter had been piled over the grave pit.

Five more features were dug into the already existing barrow fill. In feature no. 3, located 10 m south from the CP, an infant (less than one year old) was buried. The grave pit (with steps) was dug into the barrow fill, the ancient humus level and the virgin soil. The lower pit was covered with four medium sized stones. The body was placed at the bottom of the pit, probably in hocker position⁹. Red ochre was observed on the skull. A ceramic vessel was placed in the southeastern corner of the lower pit, near the skull. Animal bones were placed on the pit floor (Pl. XIV).

Feature nos. 4 and 6 were secondary graves dug into the northern half of the barrow fill, and found at a depth of 0.25–0.35 m below the actual surface level. Grave pits were not detected, probably being destroyed by ploughing. Additionally, the skeletal remains were badly damaged (Pl. XV/1–4). The only anthropological data available on the individual in feature no. 4, were that it was a 40–60 year old male¹⁰. Red ochre was found on and around the preserved bones in feature no. 6. Features nos. 2 and 5 were agglomerations of large stones discovered in the barrow area, at the ancient humus level (Pl. XV/5–8). More stones were found scattered in the fill during the excavations. It is not to be excluded the existence of a stone ring surrounding the original barrow fill, nowadays destroyed by heavy machine ploughing.

Considering the observations during the excavations and the stratigraphic relationships between the features discovered, the following sequence could be argued for: no. 1 (primary grave with ring? of stones – features 2 and 5) – no. 3 – no. 4 and 6.

VETRINO, NECROPOLIS 3, BARROW 1

This barrow was part of a necropolis consisting of six barrows located southeast of the Vetrino village (Pl. II). Nowadays, all the barrows are located on agricultural land. The aforementioned situation with height reduction and diameter increase applies. Barrows nos. 5 and 6 are cut by modern trenches on their central parts. The height of the barrows varies from 0.50 m to 3.5 m. They are arranged in a curved line with a length of circa 1 km. Barrow no. 7 had, before the excavations, 1.2 m in height and 40 m in diameter (Pl. XVI/2).

The barrow and its surroundings were completely investigated¹¹. Nine features were discovered, all dating to the Bronze Age (Pl. XVII). Feature no. 4 is the primary one, located in the centre of the first barrow fill. The grave pit is rectangular with two steps and a total depth of 1.62 m, dug into the ancient humus and the virgin soil. The middle pit was covered with tree bark. At the bottom of the pit, over the remains of an organic layer, a 40–50 year old male was buried in relaxed hocker position, lying on the right. The right arm was extended alongside the body, the left one was bent at the elbow with the palm at the pelvis; oriented southeast-northwest, head to southeast, facing north. Red ochre was recorded on the skull, arms and feet. A bone awl was placed between the skull and the eastern wall of the pit (Pl. XXI/4; XXII). A barrow fill of 0.70 m in height and circa 18 m in diameter had been piled over the grave pit. The line of medium sized stones located 8 m southeast of the grave is probably to be related to that feature as well.

Feature 5, inhumation of a 50–60 year old male, was dug into the southeastern periphery of the first barrow fill and the virgin soil. The grave pit, with one step and 0.83 m depth, was covered with tree bark. The deceased was buried in relaxed hocker position, lying on the right. The skull was to the right of the chest, on the right humerus, the mandible was nearby the right shoulder. The right arm was extended alongside the body, the left one was bent at the elbow with the palm at the left femur. Orientation northeast-southwest. Red ochre was recorded on the right arm, knees and tibiae. Pieces of red ochre were sprinkled over the floor as well – in front of the knees and in the northwestern corner of the pit (Pl. XXIII/3; XXIV/2).

Next, chronologically, comes feature no. 1 dug into the barrow fill and the virgin soil, 2 m north of feature no. 4. The grave pit had two steps and 1.52 m in depth. The

⁷ Bozkova, Tonkova 2020. The authors would like to express their gratitude to Prof. Anelia Bozkova (the director of the excavations) for kindly giving permission to publish here the results of the investigations.

⁸ Anthropological analyses carried out by Assistant. Prof. Dr Victoria Russeva (IEMPAM-BAS).

⁹ The bones were in a very bad condition, so the position of the body is not quite clear.

¹⁰ Anthropological analyses were carried out by Ralitsa Konyovska (National Museum of Natural History - BAS).

¹¹ Excavations led by Stefan Alexandrov and Vladimir Slavchev.

middle pit was covered with tree bark. A very large quantity of very large and medium sized stones (weighing over 1000 kg) was discovered in the pit. Originally, the stones were arranged in two rows in the upper pit, later on sliding into the lower pits. At the bottom of the pit, on the remains of an organic layer, a 15–18/19 year old male was buried. The body was in relaxed hocker position, lying on the right. The right arm was extended alongside the body, the left one was bent at the elbow with the palm in front of the torso. Red ochre was recorded on the skull, wrists, palms and legs. Orientation northeast-southwest, head to the northeast, facing west (Pl. XVIII/1–4; XIX/1–3). A new fill was piled above the grave enlarging the barrow dimensions to 1.20 m in height and a circa 32 m in diameter. Its periphery had been covered by a stone ring. The ring was constructed with medium-sized stones arranged in a band up to 3 m in width (Pl. XVII).

Later, into the barrow fills, features nos. 3, 7, 8 and 9 were dug. The grave pits were with one- or two steps, their bottoms reaching the virgin soil level. The lower pits were covered with tree bark at features nos. 3, 8 and 9. In feature no. 3, a large quantity of medium sized stones was discovered, probably covering the middle pit. In features nos. 3 and 7, a 11–12 year old infant and a 35–45 year old male, respectively, were buried, both in semi-supine position, lying on the right. The right arm was placed alongside the body, the left one was bent at the elbow (Pl. XX; XXI/1–3; XXIII/5–6; XXIV/1). In feature no. 8 – a baby, aged around 6 months, lay buried in an uncertain position – probably hocker (Pl. XXV/1–3). In feature no. 9, a 55–65 year old individual, probably female, was buried in an unusual position. The body had been disarticulated into three parts – the pelvis and legs; the torso with the arms and finally, the head. All three parts were placed in the grave pit. The feet, arms and ribs were not buried in the pit (Pl. XXVI/1–3). Red ochre was registered on the bones in features nos. 3 and 8, especially over the skulls. A brown sediment was observed beneath the skeleton in feature no. 3. The grave inventory in feature no. 3 consisted of a flint unipolar flake core, recovered from the pit fill (Pl. XX/5) and, in feature 8, a ceramic cup was placed near the skull (Pl. XXV/3–4).

Next, stratigraphically, comes feature no. 6 – the inhumation in contracted hocker position of a 50–60 year old male. The grave pit had been dug into the barrow fill and the ancient humus level. The pit-floor had been covered with tree bark, now decayed but recognizable. Lamb bones were recovered from behind the skull (Pl. XXIII/4; XXIV/3). The last feature – no. 2, was dug into the northwestern part of the barrow fill, in a stone “cist” construction. It contained the remains of an Infant buried in an uncertain position (probably hocker)¹² (Pl. XVIII/5–6; XIX/4, 5).

Considering the observations made during the excavations and the stratigraphic relationships between the features discovered, the following sequence could be argued for: no. 4 (primary, with the first barrow fill) – no. 5 – no. 1 (with the second barrow fill and the cromlech) – nos. 3, 7, 8, 9 – no. 6 – no. 2.

ABSOLUTE CHRONOLOGY OF THE VETRINO GRAVES

Fourteen of the 17 graves investigated were dated by AMS samples; the dating was conducted at the laboratory of the Everledger and Scottish Universities Environmental Research Centre in Glasgow. The calibration dates discussed below were obtained using OxCal, version 4.4.4. All dates are presented within the 95.4% confidence range.

Vetrino-1, Barrow 34

As mentioned above, three main chronological stages could be distinguished stratigraphically. The first one (the primary grave – feature no. 2, the barrow fill and the cromlech) falls into the chronological interval 2886–2670 calBC. The next one is related to features nos. 3 and 4. The two secondary graves date between 2884–2640 calBC (feature no. 4) and 2873–2623 calBC (feature no. 3). The destroyed grave (feature no. 1) falls into the 1617–1515 calBC period. Generally, features nos. 2–4 fall into the 2900–2600 BC interval, *i.e.* the Early Bronze Age – 2 period, while the last chronological stage could be assigned to the Middle Bronze Age according to the Bulgarian Bronze Age periodization¹³ (Fig. 1).

Vetrino-2, Barrow 7

Three main stages could be distinguished stratigraphically as well. The first one, related to the primary grave (feature no. 1) and features nos. 2 and 5 falls into the chronological interval 3082–2912 calBC. The third stage is related to the two destroyed graves – features nos. 4 and 6 that, according to the date yielded by feature no. 6 indicating the 2873–2628 calBC time-span. The second stage, related to feature no.3 should, according to stratigraphic observations, be closer to the dates of stage 3. Thus, all the graves from that barrow fall into the EBA-2 period (Fig. 2).

Vetrino-3, Barrow 1

As seen in figs. 3 and 4, the EBA dates from the barrow are quite close to each other; the oldest dates

¹² The bones were almost completely disintegrated.

¹³ Alexandrov 2018.

actually came from the secondary graves nos. 3, 7 and 9.

Thus, internal analysis using both the AMS dates and the stratigraphic observations was needed. Such analysis allowed a more elaborate chronology of the EBA graves to be established, as follows¹⁴: chronological stage 1 – primary grave (feature no. 4) with the first barrow fill: 2867–2727 calBC; stage 2 – feature no. 5: 2855–2698 calBC; stage 3 – feature no. 1 with the cromlech: 2823–2681 calBC; stage 4 – features nos. 3, 7, 8 and 9: 2812–

2671 calBC (Fig. 5). Feature no. 6 enters the 1879–1636 calBC time-span or the Middle Bronze Age period. As for feature no. 2, due to the lack of radiocarbon dates, its dating could only be made by parallels with other securely dated similar structures, such as the Chudomir Barrow – feature no. 20, dated to the 1399–1223 calBC interval (Late Bronze Age period¹⁵) indicating a date for the Vetrino-3 grave, as well.

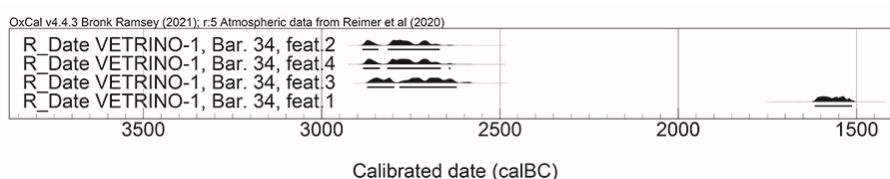


Figure 1. Calibrated dates from Vetrino-1, Barrow 34 graves.

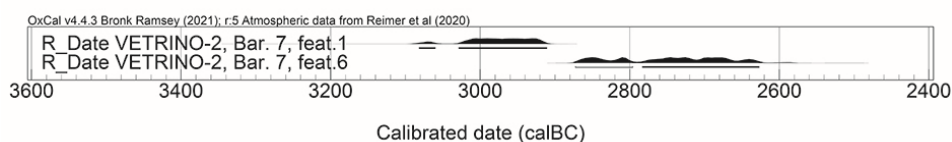


Figure 2. Calibrated dates from Vetrino-2, Barrow 7.

Feature	Date BP	Calibrated date
4	4127 ± 30 BP	2869–2581 calBC
5	4154 ± 27 BP	2876–2630 calBC
1	4117 ± 25 BP	2866–2577 calBC
3	4158 ± 29 BP	2878–2631 calBC
7	4158 ± 25 BP	2878–2631 calBC
8	4142 ± 29 BP	2875–2586 calBC
9	4172 ± 27 BP	2883–2635 calBC
6	3442 ± 28 BP	1879–1636 calBC

Figure 3. Calibrated dates from Vetrino-3, Barrow 1.

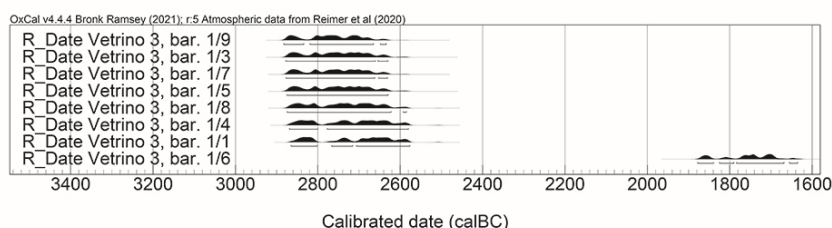


Figure 4. Calibrated dates from Vetrino-3, Barrow 1.

¹⁴ The analysis of the EBA graves internal chronology from the barrow was carried out by Prof. Piotr Włodarczyk (Institute of Archaeology and Ethnology – PAS).

¹⁵ Unpublished date. For Chudomir, feature 20, see Alexandrov 2020.

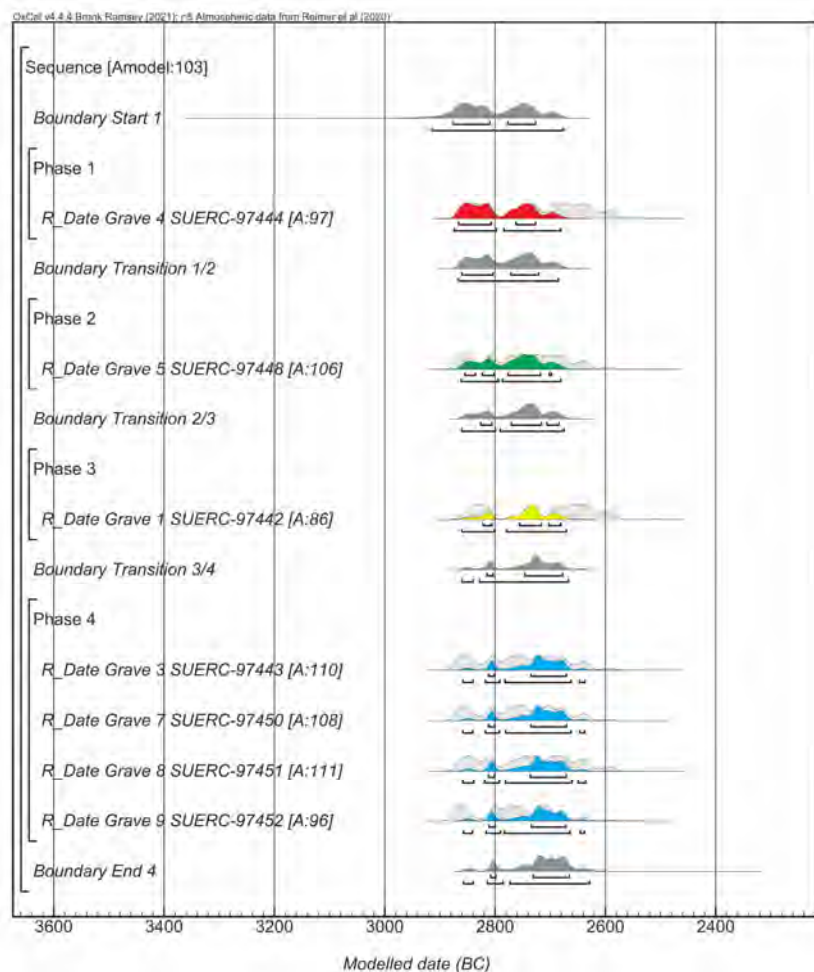


Figure 5. Bayesian model for the EBA graves from Vetrino-3, Barrow 1.

The Vetrino graves in the context of the Bronze Age mortuary practices in Northeast Bulgaria and the adjacent areas

The three barrows investigated were of small size, with one or two fills only. The fills were homogeneous, consisting mostly of ancient humus, probably brought from the immediate vicinity of the site. The central graves were surrounded by rings constructed with medium-sized stones arranged in single rows, up to 2.5 m in width and with diameters of around 30 m. The grave facilities were elaborated, the grave pits, both primary and secondary, had one or two steps. Most of the grave pits were deep, their bottom reaching the virgin soil or the continental rock. The middle/lower pits had been covered with tree bark. In several cases (primary graves Vetrino-1, Barrow 34 and Vetrino-2, Barrow 7; secondary graves Vetrino-3, Barrow 1, features 1 and 3), a large number of stones were placed over the bark layer, arranged in vertical rows. In Vetrino-3, Barrow 1, feature 1, stones even larger than

1 m were used; the total weight of the stones placed in the grave pit exceeded 1000 kg.

All fifteen EBA graves contained inhumations, mostly in hocker position, lying on the right. Only two individuals lay in semi-supine position, on the right. The exceptions to this pattern were Vetrino-3, Barrow 1, feature 9: the inhumation of a disarticulated body of a 55–65 year old individual, and Vetrino-1, Barrow 34, feature 2: the inhumation of the disarticulated body of an infant. No supine inhumations with flexed legs, or extended inhumations, were found in any of the three barrows. While the number of the latter in North Bulgaria is small¹⁶, the lack of supine inhumations with flexed legs in the three barrows was quite unexpected. In most of the EBA graves, red ochre was found sprinkled over certain body parts – the skull, pelvis, palms, and feet, or as ochre fragments placed on the pit-floor. Grave goods were found in five EBA features – ceramic cups in Vetrino-2, Barrow 7, feature 3 and Vetrino-3, Barrow 1, feature 9 (both *infant I* graves); personal ornaments – silver hair-rings in Vetrino-1, Barrow 34,

¹⁶ Alexandrov 2010.

feature 3 (*Adultus*) and tools – a bone awl in Vetrino-3, Barrow 1, feature 4 (*Maturus*). Flint pieces and one flint unipolar core, as well as a cord-decorated pottery sherd were found in the pit-fills of Vetrino-3, Barrow 1, features 1 and 3 (*Iuvenis* and *Infans II*) and, Vetrino-1, Barrow 34, feature 3 (*Adultus*), respectively.

The two MBA graves (*Adultus+*; *Maturus*) were inhumations; the preserved one (Vetrino-3, Barrow 1, feature 6) was buried in a very tightly contracted hocker position, with the palms and knees in front of the torso/skull. The grave pits were dug into the barrow fills, not reaching the virgin soil, the preserved one having an oval shape. No additional soil piling above the MBA grave was registered. No red ochre was used in the MBA mortuary practices either but lamb bones were recovered from behind the skull of the Vetrino-3, Barrow 1, feature 6 individual. The Vetrino-3, Barrow 1, grave 2 (*Infans I*) is assigned to the LBA period according to its typological similarities with the securely dated grave from the Chudomir Barrow only.

The Vetrino hocker graves

Seven of the seventeen graves investigated in 2020 presented single inhumations in well-articulated hocker positions. If we consider the Vetrino-2, Barrow 7, feature 3 and Vetrino-3, Barrow 1, feature 8 with children that most probably were buried in the same position, the hocker graves from the three barrows investigated will exceed 50% of the whole lot. The situation is not unique to the Vetrino region only, the number of BA hocker inhumations in barrows being quite notable in the Targovishte and Shumen regions as well. Generally, three groups, both typologically and chronologically, can be distinguished between the barrow hocker inhumations in Northeast Bulgaria, as follows:

Group 1. Relaxed hocker graves, both arms bent at the elbows, palms in front of the head/torso;

Group 2. Hocker graves with an angle formed by the spinal column and the legs at around 90°, one of the arms alongside the body, the other one bent at the elbow, palm in front of the torso;

Group 3. Very contracted hocker graves, arms bent at the elbows, palms in front of the head.

Group 1

Alongside the Vetrino-2, Barrow 7, feature 1, other

ten single graves from Northeast Bulgaria are part of this group so far. The first one is *Belogradets, Barrow 6, grave 1*, comprising a pit covered with a cairn of stones. The grave contained the inhumation of an adult male, placed in the west-east direction with the head to the west. Fragments of red ochre were found near the right wrist and beneath the skull¹⁷. Three more graves come from the Shumen region. The first one is *Pliska-West, Barrow 27, grave 1* – a male, *Adultus* buried in a rectangular pit, oriented east-west, with red ochre sprinkled over the bones¹⁸. The AMS sample dated the grave in the 3300–3100 calBC interval. The second grave from the same region is *Kiulevcha, Barrow 1, grave 3* – *Infant* placed in the northeast – southwest direction in an oval pit. Red ochre was found on the skull and torso. The pit was surrounded by a single row of stones with a diameter of 3 m¹⁹. The third grave from the Shumen region entering this group is *Kalugeritsa, Barrow III, grave 4*. A “... young woman” was buried there in a relaxed hocker position, lying on the right; orientation west-east, head to the west. Red ochre was recorded on the upper part of the body. The grave walls and the pit itself were covered by wooden planks. A ring of three rows of stones with the height of 0.60 m and a diameter of 11 m encircled the grave. An open silver ring was found in the chest area²⁰. Two more graves come from the Madara necropolis – *Barrow 2, grave 2* and *Barrow 4, grave 4*²¹. Further west, from the Targovishte region come the *Chudomir Barrow, feature 17 (Maturus, probably female)* and the *Ralitsa Barrow, feature 1 (Adultus, male)*. Both individuals were buried in the east-west direction, with the head to the east (Chudomir) and west (Ralitsa). Grave goods (a golden hair-ring and a flint core) were found in the Chudomir grave. Radiocarbon dates place both graves in the ranges of 3300 – 3100 calBC and 3100 – 2900 calBC respectively²². North of Vetrino, from the Southwestern Dobrudja come two single graves from the same group – *Pet mogili, Barrow 3, grave 4*²³ and *Kamentsi, Barrow 1, grave 5*²⁴. Both individuals were buried in the east–west direction with the head to the east (Pet Mogili) and northwest (Kamentsi) respectively. Grave inventory – a ceramic amphora-like vessel was found in Pet Mogili grave. For that vessel a date in the Cernavodă I–III periods was suggested²⁵.

To summarize: all graves from this group were primary burials for their respective barrows; the barrow fills, where it was possible to distinguish from publications, rarely exceeded 1.5 m height. The use of

¹⁷ Data acquired from the excavations journal kept in the NAIM-BAS archive.

¹⁸ Excavations carried out by Prof. Rasha Rashev and Prof. Stanislav Stanilov in 1998. The authors would like to express their gratitude to Prof. Stanilov for kindly giving his permission to publish here some of the results of the investigations.

¹⁹ Mikov 1936, p. 8.

²⁰ Mikov 1936, p. 4–5.

²¹ Mikov 1934, p. 431, 436.

²² Excavations in 2020 by Stefan Alexandrov (Chudomir) and Plamen Krailiev (Ralitsa). The authors would like to express their gratitude to P. Krailiev for kindly giving his permission to publish here some of the results of the investigations.

²³ Excavations by Georgi Atanassov in 1993. The authors would like to express their gratitude to Stanimir Stoychev for kindly giving his permission to publish here the results of the investigations.

²⁴ Vagalinski 2020, fig. 6.

²⁵ Alexandrov, Kaiser 2016, p. 365

stones is to be mentioned, such as stone rings surrounding some of the graves, or the encircling of the grave pit with stones. The dead were persons of all sexes and ages; the bodies lay in the east – west direction. Red ochre was used in the mortuary practices, as well. Three of the eight features had grave goods consisting of a ceramic vessel, a flint core, a golden hair-ring and one silver ring. The Belogradets, Pliska, Ralitsa and Pet Mogili graves were the only BA graves in their respective barrows²⁶. In the Kiulevcha, Kalugeritsa, Chudomir and Kamentsi barrows, the discussed graves were stratigraphically followed by supine inhumations with flexed legs and semi-supine inhumations. The radiocarbon dates (five samples) from that group in Northeast Bulgaria securely date it to the 3400/3300–2900 calBC interval (Fig. 6).

Several such graves are known from Northern Dobrudja, as well: Anadolkoii, Barrow 2; Tulcea-sud; Rahman, Barrow 2, grave 4, etc. The first two graves were the only ones in their respective barrows; the grave pit from Rahman was dug from the ancient humus level²⁷. Unfortunately, no radiocarbon dates exist for these graves, so their chronological position is to be ascertained by analogies with similar features from neighbouring areas.

North and northeast of the Danube Delta, in the North Pontic steppes, relaxed hocker graves very similar to our group 1 were included by Y. Rassamakin in group IIIC of the Eneolithic graves in the region. The group was named Zhivotilovka–Volchansk and dated to the 3500/3400–3000/2900 BC interval. Generally, the graves from that group were related by Rassamakin to the Late Tripolyan Gordinești group, but some analogies with the Late Maykop mortuary complexes from the North Caucasus region were argued for, as well²⁸. Lately, these graves were related to the “horizon of Late Tripolye CIII monuments” and incorporated into the so called “Zhivotilovka – Bursuceni” group. The group is represented by mortuary complexes only: relaxed hocker inhumations with arms raised in front of the head/torso. Unlike the Vetrino graves “... the burials sites of the Zhivotilovka type are characterized by the almost total absence of stone structures in the form of cromlechs, cairns, a dome-shaped coating of the mound, etc”²⁹. Several radiocarbon dates such as those from Krasnoe, Barrow 9 and Bursuceni, grave 20 allowed I. Manzura and T. Demchenko to place this grave group in the last quarter of the 4th millennium BC³⁰. The most recent published

radiocarbon dates for the features discussed come from Cimișlia, Barrow 8 (Republic of Moldova) allowing this group of graves to be dated “...to the second half of the 4th millennium BC”³¹.

West of Dobrudja, several more relaxed hocker barrow graves are also known. The first one comes from *Polsko Kosovo, Barrow I*, central North Bulgaria – a relaxed hocker grave with west–east orientation and red ochre sprinkled over the bones. Stratigraphically, it is situated between an extended inhumation encircled by a ring of stones and an inhumation in supine position with flexed legs³². The second one is from central North Bulgaria as well – *Goran-Slatina, Barrow VII, grave 5* where an individual was buried in relaxed hocker position, and placed in a rectangular pit covered with wooden planks, with red ochre over the bones and fragments of red ochre near the skull. It was the primary grave in the barrow, followed by an inhumation in semi-supine position, and two inhumations in supine position with flexed legs, and arms alongside the body³³. The third grave comes from Northwest Bulgaria – *Tarnak, “Ninovska Barrow”*. This was a relaxed hocker burial in a rectangular pit covered with wooden planks; with red ochre sprinkled over the bones³⁴. Such graves are known in the 3300–3100 BC period even further west – at the Sárrétudvari-Órhalom Barrow (Hungary), for example³⁵. The 3300–3100 BC hocker barrow graves are present in Wallachia, as well. There, they appear as primary graves, often encircled by rings of stones. In these regions the multiple graves and post-mortem body manipulation dominate³⁶. In Thrace, so far, relaxed hocker burials appear as early as 3100–2900 BC³⁷.

As the brief summary of the geographic distribution of the relaxed hocker burials of group 1 shows, in the last third of the fourth millennium BC they are quite common for a vast region from the North Pontic steppes to the Middle Danube region. The problem of their appearance and nature should be a subject of a separate and more detailed analysis. Currently, the concept of “historic-cultural horizon”³⁸ or just “chronological horizon” for this phenomenon seems quite acceptable for the purpose of this article. In our opinion, the data related to those graves in Shumen – Vetrino and the Dobrudja regions lead, at least for the 3400–3100 BC period, to a relationship with the Cernavodă and Usatovo phenomena. Although of an arguable nature (flat or barrow necropolis)³⁹, the Durankulak site with its 17 graves already presented such

²⁶ It should be mentioned that the Ralitsa Barrow was not completely investigated and that the Pet Mogili Barrow was reused in the Roman Age.

²⁷ Schuchardt, Traeger 1918, Abb. 4; Simion 2003, p. 17, Fig. 3; Ailincăi et alii 2016, p. 35–37; Fig. 7.

²⁸ Rassamakin 2004, Teil 1, p. 55–59, 208–209.

²⁹ Manzura 2016, p. 153–154.

³⁰ Manzura 2016; Demchenko 2016.

³¹ Popovici et alii 2016; Popovici, Kaiser 2020, p. 73–74.

³² Stanchev 2002, p. 520–522.

³³ Kitov et alii 1991, p. 90–96

³⁴ Torbov 1994.

³⁵ Dani, Nepper 2006.

³⁶ Frînculeasa et alii 2015, p. 56, 83; Preda-Bălănică et alii 2020, p. 89–91.

³⁷ Alexandrov 2020a, p. 158.

³⁸ Manzura 2016, p. 169.

³⁹ Manzura 2005.

elements⁴⁰. The Usatovo characteristics are clearly visible in some barrows from the northern part of Dobrudja as well, such as Luncavița – *Drumul vacilor*, Barrow I, or the graves with a cairn of stones and rings of stones from Mihai Bravu, Murighiol or Tariverde⁴¹. An additional support for this argument is the fact that the Pliska and Pet Mogili graves are located 15 km south and northeast, respectively, from the Cernavodă III site near the Mirovtsi village⁴². Such influences are argued for the Northwest Pontic graves of the Zhivotilovka type as well, that “...can be regarded as a faded reflection of rich Usatovo cemeteries.”⁴³

Group 2

First of all, it is worth mentioning that so far, all the hocker graves from that group are crouched on their right side. Alongside the ten graves from Vetrino, this group of barrow hocker graves currently comprises ten more features from the Shumen – Vetrino area: *Belogradets, Barrow 3, grave 3*⁴⁴, four graves in the Pliska region – *Pliska-West Barrow 21, grave 1 and Barrow 26, grave 1*⁴⁵; *Izbul Barrow 24, grave 3 and 5*⁴⁶; and five graves in the Madara region – *Madara, Barrow 1, graves 3 and Barrow 3, graves 3 and 4*⁴⁷; *Kiulevcha Barrow 1, graves 1 and 4*⁴⁸. Five more graves come from the Southern Dobrudja region, as well – *Zeglartsi, Barrow 1, grave 2*; *Kavarna*⁴⁹; *Belitsa, Barrow 1, grave 1*⁵⁰ and *Kamentsi, Barrow 1, graves 1 and 6*⁵¹.

The graves from group 2 were primary or secondary, with or without additional fills. Rings of stones covering barrow fills were found in the Vetrino barrows only. All 25 graves discussed had, where distinguished, rectangular pits covered with wooden planks or strips of tree bark. Stone constructions above the grave pit are characteristic for the Vetrino region, while outside this area these were mentioned at Kiulevcha, Barrow 1, grave 4 where the grave pit was covered with a cairn of stones, and at Kavarna grave where the pit had been covered with stone slabs. The anthropological analyses of the available human skeletal material show a predominance of male and child graves in this group. Unlike the hocker graves from group 1, there is no predominant orientation of the

body in group 2. Red ochre was used in the mortuary practices, where it was mostly sprinkled over the bones of the deceased. The grave goods consists of ceramic vessels, found mostly in infant graves – *Madara, Barrow 3, graves 3 and 4*⁵²; *Vetrino-2, Barrow 7, feature 3* (Pl. XIV/3, 5); *Vetrino-3, Barrow 1, feature 8* (Pl. XXV/3, 4) and pottery fragments in the pit-infills of *Vetrino-1, Barrow 34, feature 3* (Pl. IX/3, 4) and *Belogradets, Barrow 3, grave 3*⁵³; a bone tool in *Vetrino-3, Barrow 1, feature 4* (Pl. XXVI/1, 2) and personal adornments – silver hair-rings in *Madara, Barrow 1, grave 3*⁵⁴, *Vetrino-1, Barrow 34, feature 3* (Pl. IX/1, 2, 5, 6) and *Belitsa*⁵⁵, amulets(?) made from animal teeth in *Belogradets, Barrow 3, grave 3*⁵⁶. The radiocarbon dates (twelve samples) from human skeletal material in the graves from that group securely date it to the 2900–2500 calBC period (Fig. 6).

Hocker barrow graves from that group are well known in Northern Dobrudja as well, such as Baia/Hamangia⁵⁷; Sabangia, Barrow 2, grave 1 and Zebil, Barrow 3⁵⁸; Medgidia, Barrow 3, grave 7⁵⁹; Rahman, Barrow 2, graves 3⁶⁰, etc. Unfortunately, all the mentioned graves had no grave goods and no radiocarbon dates are available for them so far. The flat grave from Cernavodă – *Cetatea Veche* should be mentioned here also: a hocker inhumation with the same position as those in our group 2, with two vessels placed near the skull as grave goods⁶¹. For this grave, a possible relation to the Cernavodă I culture was proposed⁶². If we consider the date of the barrow graves in discussion, then the grave from Cernavodă could be dated to the 2900–2500 BC period, as well. North of the Danube River, such graves were included by F. Burtănescu into the so called “*Vănători – Bolotești*” group. It included hocker graves in rectangular pits, with red ochre sprinkled over the bones and clay vessels as grave goods, some of them with close parallels to the Vetrino ones. To establish the chronological position of the group, Burtănescu used analogies with the vessels from grave 13 at Smeeni – *Movila Mare*⁶³. The grave was assigned to the chronological phase IIb in the barrow that was dated between 2900 and 2600 BC⁶⁴, a date that fully corresponds to the one for the hocker graves of our group 2 in Northeast Bulgaria. Based on the correlation between the stratigraphy at Smeeni – *Movila Mare* and the

⁴⁰ Vajsov 2002.

⁴¹ Alexandrov 2011.

⁴² Zmeykova 2001.

⁴³ Manzura 2016, p. 168.

⁴⁴ Data acquired from the excavations journal kept in the NAIM-BAS archive.

⁴⁵ See note 19.

⁴⁶ Kitov 2000.

⁴⁷ Mikov 1934, p. 430–432. The graves were not illustrated in the original publication so, their attribution to *hocker graves group 2* is made according to their description only.

⁴⁸ Mikov 1936, p. 7–8, fig. 4. The graves were not illustrated in the original publication so, their attribution to *hocker graves group 2* is made according to their description only.

⁴⁹ Panayotov 1989, p. 123–124, 133.

⁵⁰ Alexandrov, Benham 1995.

⁵¹ Vagalinski 2020, fig. 4, 7.

⁵² Mikov 1934, p. 432, fig. 296/c–d.

⁵³ Data acquired from the excavations journal kept in the NAIM-BAS archive.

⁵⁴ Alexandrov *et alii* 2018, Cat. Nos. 26–28.

⁵⁵ Alexandrov, Benham 1995.

⁵⁶ Data acquired from the excavations journal kept in the NAIM-BAS archive.

⁵⁷ Lazurca 1980, pl. 1/3

⁵⁸ Simion 2003, fig. 3; 5/5, 6; 9.

⁵⁹ Schuster *et alii* 2011, fig. 33

⁶⁰ Ailincăi *et alii* 2016, fig. 6.

⁶¹ Nestor 1937, p. 16; fig. 6–7.

⁶² Frînculeasa *et alii* 2017b, p. 83; pl. VIII/1–3.

⁶³ Burtănescu 2002, p. 393–395, table VII.

⁶⁴ Frînculeasa *et alii* 2017a, p. 74–76, 110.

position of the body in the graves, the discussed hocker group has been assigned to phase II of the Yamnaya groups in Wallachia, dated to the same period⁶⁵.

Four of the graves from that group had clay vessels placed near the skull of the deceased (all infants). They have similar morphological characteristics – cups with an elongated “S”-shape, decorated with impressions/cuts at the rim and the largest part of the body. As mentioned above, similar vessels were found in the “*Vănători – Bolotești*” group⁶⁶. For the vessel from *Vănători*, Barrow 222 (*Movila Țocu*), grave 11⁶⁷ good analogies exist in the Cernavodă II pottery. Generally, those vessels were dated to 2900/2850–2600 BC and related to the second phase of the Yamnaya groups in the Lower Danube region⁶⁸. The shape and decoration discussed are common for the pottery assemblage of the EBA underwater settlements from the Bulgarian Black Sea coast as well, synchronized with the second phase of the EBA in Bulgaria and the Cernavodă II culture⁶⁹. The silver hair-rings from the hocker graves, group 2 (six in three graves) have their good parallels in the EBA jewellery at the Lower Danube and the adjacent territories, and fit quite well in the chronological and cultural phenomena discussed here⁷⁰.

In the Northwest Pontic area such graves, alongside with the semi-supine inhumations, were generally related by V. Dergacev to the Budzak variant of the Yamnaya Culture. A characteristic feature of those graves, according to Dergacev, was the small amount or even lack of red ochre sprinkled over the bones, as well as the presence of clay vessels in the grave pits⁷¹. The position was recognized as characteristic for the Yamnaya/Budzak Culture by S. Ivanova as well, being described as the “... *position of the buried body no. 2*” with 16.3% of the deceased being buried in such way. In her opinion, all five positions of the body in the grave are to be found simultaneously in the Yamnaya/Budzak Culture in the Northwest Pontic region⁷². Graves of our hocker group 2 appear further north, in the Prydnistryanske, Yampil Region (Ukraine) – Barrow IV, grave 9 for example, dated between 2871 and 2576 calBC and related to the Late Yamnaya Culture⁷³.

It is quite clear that most of the researchers are inclined to connect the discussed hocker graves group to the Yamnaya phenomenon, generally to its later manifestations. In our opinion such an approach is reasonable but, still needs additional arguments,

especially considering the relations, both spatial and chronological between the discussed graves and the ones from the hocker group 1 presented here.

Group 3

These are very tightly contracted hocker graves with the knees drawn up in front of the torso, the arms bent at the elbows, and the palms in front of the head. The group includes at least eight barrow graves from Northeast Bulgaria: *Madara, Barrow 1, grave 1*⁷⁴; *Izbul 24/1*⁷⁵; *Plachi Dol, Barrow 1, grave 4 and Barrow 2, grave 4*⁷⁶; *Riltsi, Barrow 260, graves 1 and 2*⁷⁷; *Kamentsi, Barrow 1, grave 1*⁷⁸. All graves are secondary, with oval pits (when it was possible to distinguish their shape) dug into the barrow fills at a depth less than 1 m from the actual surface level. Red ochre is missing. Grave goods were found in the *Madara* grave only – a ceramic cup placed near the skull of the deceased⁷⁹.

This hocker group has been subject of different analyses and approaches. However, a possible date in the Middle Bronze Age period for the graves from Northeast Bulgaria has already been proposed⁸⁰, a suggestion supported by the recent radiocarbon dates for such graves from the region. Three such dates are available for that group, all placed in the first half of the second millennium calBC (Fig. 6).

The number of those graves is still limited as are the possibilities for their cultural affiliation. A certain relation to the MBA Tei Culture pottery is to be mentioned for the *Madara* grave with the clay cup⁸¹. The situation is very similar north of the Danube River, in Eastern Muntenia, where the pottery from the very much contracted hocker barrow graves – *Baldovinești, grave 5*; *Roșiori, grave 2*; *Puieni*, etc. was associated with the Tei Culture⁸². The similarities in the body position and the pottery inventory between the graves in discussion and the MBA Tei Culture graves⁸³ are quite good but, the nature of the appearance of those graves in the eastern part of the Lower Danube region still needs to be investigated. It is worth mentioning that such MBA barrow graves appear south of the Balkan range as well – the *Gyaurska* barrow (*Karnobat* region), *Peshtersko* (*Karnobat* region) and the *Manchova* barrow (*Radnevo* region)⁸⁴; *Irechekovo* (*Yambol* region)⁸⁵; *Boyanovo* (*Elhovo* region)⁸⁶, etc.

⁶⁵ Frînculeasa 2020a, p. 151–152, fig. 5.

⁶⁶ Burtănescu 2002, table VII.

⁶⁷ Brudiu 2003, fig. 17/3; 18/3.

⁶⁸ Frînculeasa 2020a – fig. 5–6; Frînculeasa *et alii* 2015, p. 23, fig. 13.

⁶⁹ Vasileva 2018, p. 140–141, fig. 3/7; Vasileva 2019, fig. 6.

⁷⁰ Subbotin 2002; Preda 2015.

⁷¹ Dergacev 1986, p. 83–85.

⁷² Ivanova 2013, p. 234–237.

⁷³ Klochko *et alii* 2015, p. 231–234, 238–239.

⁷⁴ Mikov 1934, p. 430, fig. 287.

⁷⁵ Kitov 2000, p. 315.

⁷⁶ Panayotov 1989, p. 101–102, 111; fig. 74; 89.

⁷⁷ Excavations carried out by S. Alexandrov in 2000.

⁷⁸ Vagalinski 2020, fig. 4.

⁷⁹ Mikov 1934, p. 430, fig. 296/a.

⁸⁰ Hristova 2010.

⁸¹ Hristova 2010.

⁸² Frînculeasa 2020b, p. 137.

⁸³ Motzoi-Chicideanu 2011, p. 441–444.

⁸⁴ Hristova 2010, p. 16–17.

⁸⁵ Iliev, Bakărdžiev 2020, p. 21–24, Taf.37.

⁸⁶ Agre 2015, fig. 13, 21–22; Iliev, Bakărdžiev 2020, p. 21–24; Taf. 46–47.

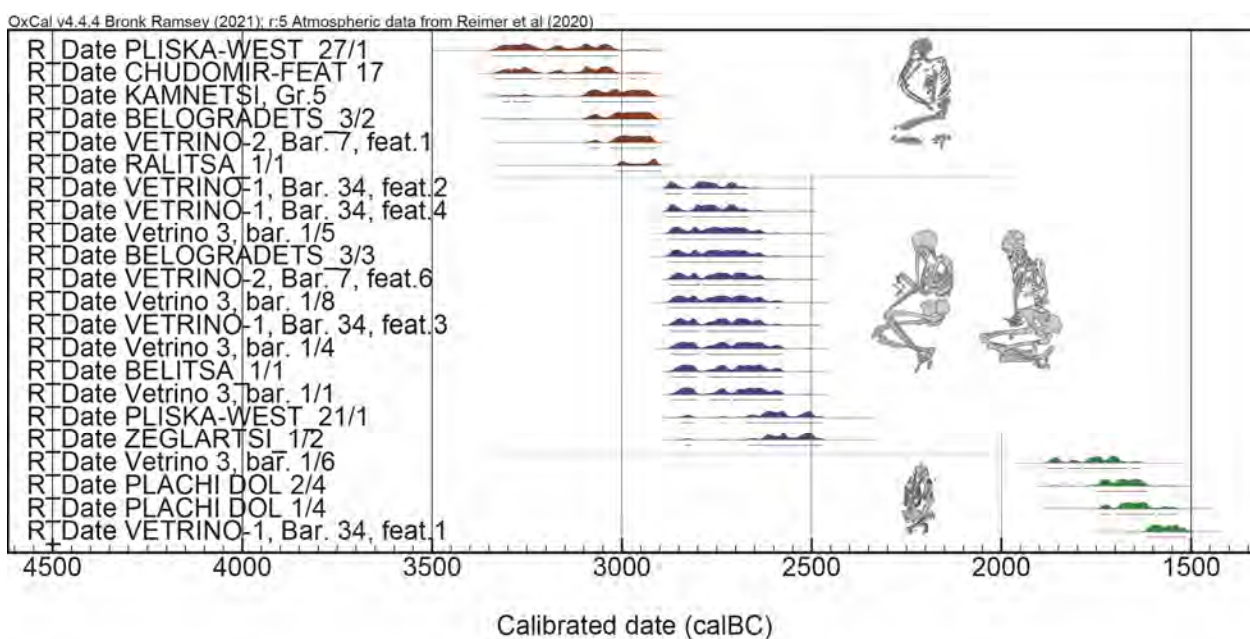


Figure 6. Hocker barrow graves in Northeast Bulgaria: body position and chronological setting.

The semi-supine graves from Vetrino

Alongside Vetrino-3, Barrow 1, features 3 and 7, 21 more single graves from Northeast Bulgaria enter this group so far. The nearest one is *Belogradets, Barrow 4, grave 2*⁸⁷. Further west, such graves are known at *Pliska-West, Barrow 25; Izbul, Barrow 23, graves 1, 5 and 6 and Barrow 24, graves 1 and 7*⁸⁸; *Kabiyuk*⁸⁹; *Kalugeritsa, Barrow 3, graves 1 and 2*⁹⁰; *Chudomir, features nos. 2, 3, 9, 13, 14, 18, 19*⁹¹. Such graves come from Dobrudja as well: *Plachi dol, Barrow 1, grave 1; Barrow 5, grave 1; Geshanovo, Barrow 1, grave 1*⁹²; *Riltsi, Barrow 264, grave 5*⁹³. We should mention here that the number of semi-

supine barrow inhumations may be different, given the fact that some of them (generally the ones from old excavations) were included (or not) into the group based on their description only. The fact has already been discussed by I. Panayotov for some of the barrow graves from the excavations prior to the 1970s. In fact, the term “semi-supine position” was introduced in the Bulgarian literature by I. Panayotov in 1989⁹⁴. Thus, it is quite possible that some of the graves described in publications as supine or hocker graves to be semi-supine in reality and so, their number changes. Currently, there are nine radiocarbon dates for such graves that securely place them in the 2900–2500 calBC period (Fig. 7).

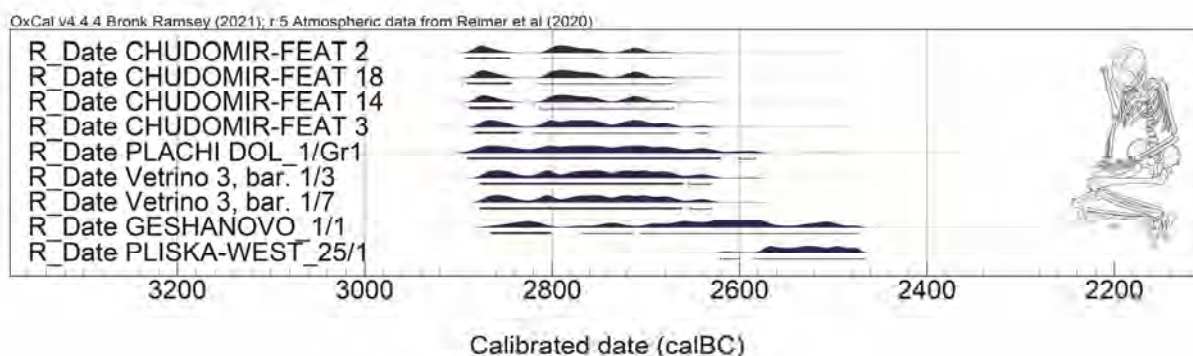


Figure 7. Semi-supine barrow graves in Northeast Bulgaria: chronological setting.

⁸⁷ Data acquired from the excavations journal kept in the NAIM-BAS archive.

⁸⁸ Kitov 2000.

⁸⁹ Mitkova 2014.

⁹⁰ Mikov 1936, p. 4.

⁹¹ Alexandrov 2020b

⁹² Panayotov 1989, p. 95–98, 118–119; 129–130.

⁹³ Excavations S. Alexandrov in 2000.

⁹⁴ Panayotov 1989.

Generally, the main characteristics of that group are quite the same as the ones of the hocker graves of our group 2: primary or secondary graves with or without additional fills; all graves had, where distinguishable, rectangular pits covered with wooden planks or tree bark. The grave pit in Plachi dol, Barrow 1, grave 1 had been covered with a wooden car/wagon⁹⁵, the only such discovery from the EBA in the Lower Danube region so far. Stone constructions above the grave pit are characteristic for the Vetrino region only. There is no predominant orientation of the body, as well. Red ochre was used in mortuary practices mostly sprinkled over the bones of the deceased. Grave goods are rare.

Such graves are common to North Dobrudja, Wallachia and North Pontic steppes. There, similar to the hocker graves from group 2, they are considered typical for the late phase of the Yamnaya/Budzak phenomenon⁹⁶. A similar interpretation has been applied for the Bulgarian finds as well⁹⁷. The semi-supine barrow graves are interpreted as representing the second phase of the “Lower-Danubian variant of Yamnaya Culture”⁹⁸. Such an approach seems to us quite logic, considering all the data available but, still additional investigations are required, especially considering the relations (spatial and chronologic) between the semi-supine and the hocker inhumations of our groups 1 and 2.

The Late Bronze Age Vetrino grave

Vetrino-3, Barrow 1, grave 2 differs in the construction of the grave facility to all other graves investigated in 2020. It was assigned to the LBA period according to its typological similarities with a securely dated grave – feature no. 20 from the Chudomir barrow only. If this assumption is correct, then a new group of barrow graves in Northeast Bulgaria could be distinguished – Late Bronze Age graves; secondary burials, without additional fills; with grave facilities constructed of stone slabs. The nature of the appearance and the characteristics of those graves are still to be investigated.

SOME CONCLUSIONS

The 2020 investigations in the Vetrino region brought to light seventeen new barrow complexes that allow a new perspective on the mortuary practices in Northeast Bulgaria and the adjacent regions. At a first look, the great number of hocker graves investigated, compared to the lack of typical “Yamnaya graves” in supine inhumations with flexed legs in all three barrows

seems surprising. However, the analyses show that such a situation is not unique to the region, with similar Early Bronze Age barrows from the Shumen-Vetrino region – *Madara, Barrows 1, 2 and 4; Kalugeritsa, Barrows 3 and 7, Izbul, Barrows 23 and 24; Pliska, Barrows 21, 25, 26 and 27, Kabiyuk; Belogradets, Barrows 3 and 4*. Although, in the same necropolises, other barrows with supine inhumations with flexed legs were investigated as well, their number is considerably smaller than that of the hocker graves⁹⁹. If we accept that Dobrudja is the region “...we can find the first larger concentration of typical Yamnaya tumuli and burials”¹⁰⁰ in the Balkan peninsula, than the Shumen-Vetrino region should be regarded as the first contact area between the “Yamnaya” – and, probably, local(?) entities. Thus, the Vetrino investigations seem to put flesh on I. Panayotov’s thesis about the relations between the Yamnaya and the local populations in Northeast Bulgaria¹⁰¹.

Another question that the Vetrino investigations raise is related to the appearance and the nature of the relaxed hocker graves of our group 1. The similarities to the Zhivotilovka graves are quite impressive but, the problem needs additional and much more elaborated analyses. Such are needed in relation to the hocker graves, group 2 and, their affiliation to the “Vânători – Bolotești” or the Yamnaya groups. The Vetrino finds confirmed the chronological position of the very much contracted hocker graves in the Middle Bronze Age period and raised another question related to the existence of Late Bronze Age barrow graves in Northeast Bulgaria as well, thus proving once again the complexity of the investigations of the Bronze Age mortuary practices in the eastern part of the Lower Danube region.

CATALOGUE OF THE FEATURES INVESTIGATED

BARROW NECROPOLIS VETRINO-1

BARROW no. 34 (Pl. III–IV)

Location: 1.6 km south-west from Vetrino, in Küçük mera locality. Part of Vetrino-1 barrow necropolis, 34th in line from the north, third in line from the south.

Barrow form and dimensions: Segment of a globe. Height – 0.40 m, diameter – 35 m.

Barrow fills and constructions: One barrow fill surrounded by a ring of stones. The ring was constructed with medium-sized stones arranged in a single row, 1.0–2.5 m width and with a diameter of 26–27 m.

Number of graves/method of disposal: Four inhumation graves.

Excavations: Rescue excavations – Stefan Alexandrov and Vladimir Slavchev in 2020. Geophysical survey – Nikola Tonkov. The barrow was completely excavated. In the rescue excavation project, the barrow was called “site no. A1/3”.

⁹⁵ Panayotov 1989, p. 95–98.

⁹⁶ Burtănescu 2002; Motzoi-Chicideanu 2011; Frînculeasa *et alii* 2015; Dergacev 1986; Ivanova 2013.

⁹⁷ Panayotov 1989; Alexandrov 2011; Alexandrov, Kaiser 2016; Kaiser, Winger 2015; Kaiser 2019, p. 199–200.

⁹⁸ Panayotov 1989, p. 55–60.

⁹⁹ Alexandrov 2021.

¹⁰⁰ Heyd 2011, p. 536; Alexandrov, Kaiser 2016.

¹⁰¹ Panayotov 1989, p. 50–51.

Notes: The barrow is located on agricultural land, and ploughed with heavy machines for decades; this has considerably enlarged its diameter and reduced its height. In the central part, a modern trench was found.

Preliminary reports: Alexandrov, Slavchev 2020.

Feature no. 1 (Pl. V/1–2)

Stratigraphic position & location: Secondary grave without additional fill, located in the central part of the barrow.

Grave facility: Destroyed.

Method of disposal: Inhumation.

Number and condition of the skeletons: 1(?). Fragmented human long bones were discovered in the central part of the barrow at a depth of 0.30–0.40 m.

Anthropological data: *Adultus* (>18–20 years old), sex undefined.

Position & orientation: Not determined.

¹⁴C date: **SUERC-95530: 3302 ± 22 BP.**

Notes: The grave has been completely destroyed by later anthropogenic activities.

Feature no. 2 (Pl. V/2, 5; VI–VIII)

Stratigraphic position & location: Primary grave, located in the central part of the barrow.

Grave facility: Rectangular pit with one step (?). Orientation: east–west. Dimensions: upper pit - 2.74 × 2.04 m, lower pit: 1.63 × 1.03 m. Width of the step: between 0.19 and 0.49 m. Upper level of the pit at -1.32 m from the CP. Upper level of the lower pit at -1.85 m from the CP, bottom at -2.88 m from the CP. Flat pit floor. Organic layer beneath the bones.

Pit fill: Ancient humus and virgin soil. Large quantity of medium-sized stones was discovered at different levels above and inside the pit, especially in its central and southeastern part.

Method of disposal: Inhumation.

Number and condition of the skeletons: 1, disarticulated.

Anthropological data: *Infans II* (9–10 years old), sex undefined.

Position & orientation: The bones were scattered over the organic layer and the pit floor. The femurs and tibiae were found near the western wall; the skull, the arms and the torso – in the central part of the pit floor.

Body treatment: Body disarticulated before placed in the grave pit (?). Red ochre on the long bones and the skull.

Inventory: No.

¹⁴C date: **SUERC-95534: 4184 ± 24 BP.**

Notes: The upper part of the pit was destroyed by a treasure hunters' ditch. In the pit itself several tunnels/burrows were detected, with a diameter of up to 0.50 m, probably made by carnivores (foxes or badgers). It is quite possible that originally the pit had two steps, the first pit being filled with the stones discovered, and some of them later being replaced by the treasure hunters.

Feature no. 3 (Pl. IX)

Stratigraphic position & location: Secondary grave without additional fill, dug into the already existing barrow fill and virgin soil, 3.5 m west of the CP.

Grave facility: Rectangular pit with the dimensions 1.35 × 0.83 m. Orientation: south–north. Upper level of the pit detected at -0.84 m from the CP, and bottom detected at -1.05 m from the CP. Flat pit floor. During the construction of the facility, a rectangular surface of approximately 2.5 × 1.5 m was dug into the barrow fill at a depth of -0.85 m from the CP. From that level the grave pit described above was dug.

Pit fill: Sediments from the barrow fill.

Method of disposal: Inhumation.

Number and condition of the skeletons: 1, well preserved.

Anthropological data: *Adultus* (20–25 years old), male.

Position & orientation: Articulated inhumation, in relaxed hocker position on the right, the body placed in south-east direction, head to south, facing east. The legs are bent at the knees; left arm bent at the elbow, right arm alongside the body, both palms in front of the pelvis.

Body treatment: Red ochre over the feet and palms.

Inventory: Two silver hair-rings in the skull area, one of them was found in the *auricula*.

Bone bead and 2 rodent teeth in the chest area.

Segment from a copper/bronze wire with rounded cross-section in the chest area.

Pot sherd was found in the fill above the grave, decorated with cord impressions.

¹⁴C date: **SUERC-95535: 4138 ± 22 BP.**

Feature no. 4 (Pl. X)

Stratigraphic position & location: Secondary grave without additional fill, dug into the barrow fill, the ancient humus level and the virgin soil.

Grave facility: Rectangular pit with one step. Orientation: east–west. Dimensions: upper pit: 1.55 × 1.29 m. Lower pit: 1.07 × 0.83 m. Width of the step: between 0.15 and 0.35 m. Upper level of the pit at -0.72 m from the CP. Upper level of the lower pit at -1.49 m from the CP, and bottom at -2.07 m from the CP. Traces indicate there was a cover made of strips of tree bark on the second pit. Flat pit floor.

Pit fill: Sediments from the barrow fill.

Method of disposal: Inhumation.

Number and condition of the skeletons: 1, well preserved.

Anthropological data: *Infans I* (approx. 6 years old), sex undefined.

Position & orientation: Articulated inhumation, in relaxed hocker position to the right, the body placed in north-east–south-west direction, north-east, facing north. The legs are bent at the knees; left arm bent at the elbow, right arm alongside the body, both palms in front of the knees.

Body treatment: Red ochre over the ankles.

Inventory: No.

¹⁴C date: **SUERC-95536: 4176 ± 24 BP.**

BARROW NECROPOLIS VETRINO-2

BARROW no. 7 (Pl. XI–XII)

Location: 1 km south of Vetrino. Part of the Vetrino-2 barrow necropolis, 7th in line from the north.

Barrow form and dimensions: Segment of a globe. Height – 1.0 m, diameter – 50 m.

Barrow fills and constructions: One barrow fill. Two stone agglomerations labelled as features nos. 2 and 5, discovered in the barrow periphery. More stones discovered in the barrow fill, probably displaced during ploughing.

Number of graves/method of disposal: Four inhumation graves.

Excavations: Rescue excavations – Anelia Bozkova and Eva Tonkova in 2020. The barrow was completely excavated. In the rescue excavation project, the barrow was called “*Site A1- 089/7002*”.

Notes: The barrow is located on agricultural land, and ploughing with heavy machines for decades has considerably enlarged its diameter and reduced its height.

Preliminary reports: Bozkova, Tonkova 2020.

Feature no. 1 (Pl. XIII)

Stratigraphic position & location: Primary grave, 3 m west from the CP. Dug into the ancient humus level and the virgin soil.

Grave facility: Rectangular pit with two steps. Orientation: west–east. Dimensions: upper pit: 2.42 × 1.84 m. Middle pit: 1.58 × 1.15 m. Lower pit: 1.47 × 0.95 m. Width of the steps: first step between 0.28–0.41 m. Second step – between 0.03–0.09 m. Upper pit at -0.60 m from the CP. Upper level of the middle pit at -0.97 m from the CP. Upper level of the lower pit at -1.29 m from the CP; bottom of the pit at -1.54 m from the CP. Flat floor. Traces indicate there was a cover made from strips of tree bark on the second pit. On the east, west and south sides the grave pit is encircled with medium-size stones arranged in one row near the long southern wall and, two-three vertical rows near the eastern and western walls of the pit.

Pit fill: sediments from the first barrow fill and virgin soil, dug out during the construction of the pit.

Method of disposal: Inhumation.

Number and condition of the skeletons: 1, well preserved.

Anthropological data: Adultus (20–30 years old), male, placed at the bottom of the lower pit.

Position & orientation: Articulated inhumation, in relaxed hocker position on the right, the body placed in west-east direction, head to west, facing south. The legs are bent at the knees; right arm bent at the elbow, palm in front of the head; left arm slightly bent at the elbow, palm missing.

Body treatment: Red ochre over the ankles, femur, ribs, shoulder, skull.

Inventory: No.

¹⁴C date: SUERC-95544: 4372 ± 23 BP.

Feature no. 2 (Pl. XV/5–6)

Stratigraphic position & location: 7.5 m north-east from the CP; at the ancient humus level.

Agglomeration of small and medium-sized stones arranged in an arch. Near the arch – *Bos Taurus* molar and bone.

Feature no. 3 (Pl. XIV)

Stratigraphic position & location: Secondary grave without additional fill, 10.5 m south from the CP. Dug into the barrow fill, the ancient humus level and the virgin soil.

Grave facility: Rectangular pit with two steps (?). Orientation: west-east. Dimensions of the upper pit were not clearly recognizable. Middle pit >1.62 × 1.48 m. Lower pit: 0.85 × 0.54 m. Width of the step: between 0.40–0.57 m. Upper pit at -0.32 m from the CP. Upper level of the middle pit at -0.84 m from the CP. Upper level of the lower pit at -1.21 m from the CP and bottom of the pit at -1.38 m from the CP. Flat floor. The lower pit was covered with four medium-sized stones.

Pit fill: Sediments from the barrow fill.

Method of disposal: Inhumation.

Number and condition of the skeletons: 1, badly preserved.

Anthropological data: *Infans I* (<1 years old), at the bottom of the lower pit.

Position & orientation: The bones were dislodged probably by foxes or badgers. Only the skull was found *in situ* – in the eastern part of the grave pit.

Body treatment: Red ochre over the skull.

Inventory: Clay vessel in the southeastern corner of the lower pit, near the skull. Clay vessel/cup with an elongated S-shape. Well-tempered clay with ingredients of fine sand and small pebbles. Burnished surface of dark brown colour. Decoration – oblique cuts on the rim; two rows of oblique cuts on the belly. Height – 14.69 cm (Pl. XIV/3, 5).

Animal bones on the pit floor.

Feature no. 4 (Pl. XV/1–2)

Stratigraphic position & location: Secondary grave without additional fill, 5 m north-west from the CP. Dug into the barrow fill at a depth of -0.23 m from the CP. The bottom of the grave pit was placed above the layer of the dug-out virgin soil from feature no. 1 grave pit.

Grave facility: Not recognized.

Method of disposal: Inhumation.

Number and condition of the skeletons: 1, badly preserved.

Anthropological data: *Maturus* (40–60 years old), male.

Position & orientation: The skeleton was destroyed probably by ploughing. The remaining bones *in situ* – the *acetabulum*, *femur*, *tibia* and *fibula* - indicate a hocker or semi-supine position (?).

Body treatment: No data.

Inventory: No.

Feature no. 5 (Pl. XV/7–8)

Stratigraphic position & location: 18.5 m west from the CP. Large sized stone – 0.55 × 40.0 × 0.20 m placed at the ancient humus level.

Feature no. 6 (Pl. XV/3–4)

Stratigraphic position & location: Secondary grave, 10.5 m north-west from the CP. Dug into the barrow infill at a depth of -0.35 m from the CP.

Grave facility: Not recognized.

Method of disposal: Inhumation.

Number and condition of the skeletons: 1, badly preserved.

Anthropological data: No data.

Position & orientation: The skeleton was destroyed probably by ploughing.

Body treatment: Red ochre on and around the bones preserved.

Inventory: No.

¹⁴C date: SUERC-95545: 4145 ± 22 BP.

BARROW NECROPOLIS VETRINO-3

BARROW no. 1 (Pl. XVI–XVII)

Location: 4.6 km south of Vetrino. Part of the Vetrino-3 barrow necropolis, first in the line from the south-west.

Barrow form & dimensions: Segment of a globe. Height – 1.20 m, diameter – 40 m. Central point (CP) of the barrow at 220.02 m altitude.

Barrow fills & constructions: Two barrow fills. The first one had a height of 0.80 m and diameter of 18 m. The second fill enlarged the barrow to 1.20 m in height and 30 m in diameter. It was surrounded by a ring of stones. The ring was constructed with medium-sized stones arranged in a single row, 1.0–2.5 m in width and with a diameter of 30 m.

Number of graves/method of disposal: Nine inhumation graves.

Excavations: Rescue excavations - Stefan Alexandrov and Vladimir Slavchev in 2020. The barrow was completely excavated. In the rescue excavation project, the barrow was called "Site no. 1/Compressor station "Nova Provadia".

Notes: The barrow is located on agricultural land, and ploughing with heavy machines for decades has considerably enlarged its diameter and reduced its height.

In different parts of the barrow fill, several flint flakes were found (Pl. XXVI/7).

Feature no. 1 (Pl. XVIII/1–4; XIX/1–3)

Stratigraphic position & location: Secondary grave, 2 m west from the CP with additional fill, and a second ring of stones. Dug into the first barrow fill and the virgin soil.

Grave facility: Rectangular pit with two steps. Orientation: north-east - south-west. Dimensions: upper pit: 2.32 × 2.24 m. Second pit: 1.53 × 1.79 m. Lower pit: 1.48 × 1.02 m. Width of the first step: between 0.31–0.45 m; second step: between 0.13–0.31 m. Upper pit at -0.64 m from the CP. Upper level of the middle pit at -1.22 m from the CP. Upper level of the lower pit at -1.84 m from the CP and bottom of the pit at -2.16 m from the CP. Flat floor. Traces indicate there was a cover made from strips of tree bark on the second pit. The floor beneath the skeleton was lined with an organic material.

Pit fill: In the middle and lower pits were sediments from the first barrow fill and virgin soil dug out during the construction of the pit. Additionally, two rows of large and very large stones (up to 1 m length) were placed horizontally in the upper pit, but later had fallen down into the middle one.

Method of disposal: Inhumation.

Number and condition of the skeletons: 1 complete skeleton at the bottom of the pit and a few bones from another individual in the upper half of the middle pit.

Anthropological data: *Iuvenis* (15–18/19 years old), male placed at the bottom of the lower pit.

Infans I (newborn?) 6 bone fragments in the middle pit.

Position & orientation: Articulated inhumation, in relaxed hocker position to the right, the body placed in the north-east–south-west direction, head to the north-east, facing west. The legs are bent at the knees. Left arm is bent at the elbow, the palm in front of the head; right arm is slightly bent at the elbow, the palm beneath the left knee.

Body treatment: Red ochre on the skull, wrists, palms and legs.

Inventory: 2 fragments of long bones from large ruminants in the fill of the middle pit and 2 bones from *Anas* sp. at both sides of the skull.

Flint in the fill of the middle pit.

¹⁴C date: SUERC-97442: 4117 ± 25 BP.

Feature no. 2 (Pl. XVIII/5–6; XIX/4–5)

Stratigraphic position & location: Secondary grave without additional fill, located in the northwestern sector of the barrow.

Grave facility: Stone construction/cist (?) consisting of vertical stone slabs covered by horizontal ones. The upper part of the vertical stones at -0.63/-0.76 m from the CP, bottom of the construction at -0.97 m from the CP. Dimensions of the construction: 1.20 × 0.70 m.

Pit fill: Sediments from the barrow fill.

Method of disposal: Inhumation.

Number and condition of the skeletons: 1, badly preserved.

Anthropological data: *Infans I*, sex undefined.

Position & orientation: Hocker (?). Head to the north-east.

Body treatment: No data.

Inventory: No.

¹⁴C date: No.

Feature no. 3 (Pl. XX; XXI/1–3)

Stratigraphic position & location: Secondary grave, dug into the first and second barrow fills and the virgin soil to the level of the bedrock, 4 m south of the CP.

Grave facility: Oval pit with one step. Orientation: north-east–south-west. Dimensions of the upper pit: 2.42 × 1.62 m. Lower pit: 1.54 × 1.11 m. Width of the step: between 0.49 and 0.19 m. Upper level of the upper pit at -1.50 m from the CP. Upper level of the lower pit at -2.66 m from the CP, and bottom of the pit at -3.02 m from the CP. Flat floor. Traces indicate there was a cover made from strips of tree bark on the lower pit. Brown sediment/floor cover beneath the skeleton.

Pit fill: Sediments from the barrow fills and the virgin soil dug out during the construction of the pit. Two rows of medium-sized stones placed near the walls of the upper pit, fallen down into the lower one.

Method of disposal: Inhumation.

Number and condition of the skeletons: 1, well preserved.

Anthropological data: *Infans II* (11–12 years old), sex undefined.

Position & orientation: Articulated inhumation, in semi-supine position on the right, the body placed in the north-east–south-west direction, head to the north-east, facing west. Head over the right shoulder. Legs bent at the knees, set down to the right. Right arm alongside the body, palm beneath the knees. Left arm bent at the elbow, palm in front of the knees.

Body treatment: Red ochre on the skull, ribs, pelvis and legs.

Inventory: Flint unipolar flak core in the fill of the lower pit; red ochre beneath the pelvis and near the knees (Pl. XX/5).

¹⁴C date: **SUERC-97443: 4158 ± 29 BP.**

Notes: The virgin soil dug out from the pit covers stratigraphically the tree bark covering of feature no. 5.

Feature no. 4 (Pl. XXI/4; XXII)

Stratigraphic position & location: Primary grave and above it, the first barrow fill was piled. 3 m west from the CP.

Grave facility: Rectangular pit with two steps. Orientation: south-east–north-west. Dimensions: upper pit: 2.92 × 2.16 m. Second pit: 2.12 × 1.35 m. Lower pit: 1.70 × 1.01 m. Width of the first step: between 0.32–0.43 m; second step: between 0.18–0.21 m. Upper pit at -1.30 m from the CP. Upper level of the middle pit at -1.61 m from the CP. Upper level of the lower pit at -1.95 m from the CP, and bottom of the pit at -2.62 m from the CP. Flat floor. Traces indicate there was a cover made from strips tree bark on the second pit. The floor beneath the skeleton was covered with an organic material.

Pit fill: Sediments from the barrow fills and virgin soil dug out during the construction of the pit.

Method of disposal: Inhumation.

Number and condition of the skeletons: 1, well preserved.

Anthropological data: *Maturus* (40–50 years old), male.

Position & orientation: Articulated inhumation, in relaxed hocker position on the right, the body was placed oriented south-east - north-west, head to the south east, facing north. Legs bent at the knees, set down to the right. Right arm alongside the body, palm beneath the knees. Left arm bent at the elbow, palm beneath pelvis.

Body treatment: Red ochre on the skull, fingers of the right hand, knees and feet. Near the ankles and skull – fragments of red ochre.

Inventory: bone awl, placed between the skull and the eastern wall of the pit, length – 8.55 cm (Pl. XXI/1–2).

¹⁴C date: **SUERC-97444: 4127 ± 30 BP.**

Feature no. 5 (Pl. XXIII/1–3; XXIV/1)

Stratigraphic position & location: Secondary grave without additional fill, dug into the periphery of the first barrow fill, ancient humus level and virgin soil, 7.5 m south-east from the CP.

Grave facility: Rectangular pit with one step. Orientation: north-east–south-west. Dimensions: upper pit: 2.01 × 1.23 m. Lower pit: 1.70 × 1.01 m. Width of the step: between 0.11 and 0.27 m. Upper level of the upper pit at -1.80 m from the CP. Upper level of the lower pit at -2.51 m from the CP, and bottom of the pit at -2.63 m from the CP. Flat floor. Traces indicate there was a cover of wooden tree bark on the upper pit. Brown sediment (floor cover) beneath the skeleton.

Pit fill: Sediments from the barrow fills and virgin soil dug out during the construction of the pit.

Method of disposal: Inhumation.

Number and condition of the skeletons: 1, well preserved.

Anthropological data: *Maturus* (50–60 years old), male.

Position & orientation: Articulated inhumation, in relaxed hocker position to the right, the body placed along the north-east–south-west direction. The skull is placed in front of the chest, over the right *humerus*, the mandible is at the right shoulder. Legs bent at the knees, set down to the right. The arms bent at the elbows, palms at the left knee.

Body treatment: Red ochre over the right arm, knees and tibiae.

Inventory: Fragments of red ochre on the floor, in front of the knees and in the north-western corner of the pit.

¹⁴C date: **SUERC-97448: 4154 ± 27 BP.**

Notes: The tree bark lay stratigraphically beneath the dug-out virgin soil from the pit of feature no. 3.

Feature no. 6 (Pl. XXIII/2, 4; XXIV/2)

Stratigraphic position & location: Secondary grave without additional fill, dug into the first and second barrow infills and the ancient humus level, 8 m south from the CP.

Grave facility: Oval pit. Orientation: east-west. Dimensions: 1.26 × 0.72 m; upper level of the pit at -1.01 m from the CP, bottom of the pit at -1.85 m from the CP. The floor is with a convex shape, covered with strips of tree bark.

Pit fill: Sediments from the barrow fills.

Method of disposal: Inhumation.

Number & condition of the skeletons: 1, well preserved.

Anthropological data: *Maturus* (50–60 years old), male.

Position & orientation: Articulated inhumation, in contracted hocker position on the left, the body was placed in the east-west direction, head to the east, facing south. Legs bent at the knees, the left one in front of the chest, the right one - in front of the pelvis. The arms bent at the elbows, the left palm in front of the skull, the right palm – at the left knee.

Body treatment: No data.

Inventory: Lamb bones found behind the skull.

¹⁴C date: **SUERC-97449: 3442 ± 28 BP.**

Notes: The grave pit cuts the second barrow fill, the dug-out virgin soil from feature no. 3 pit, and the first barrow fill. The bottom of the pit lies stratigraphically above the level of the tree bark of feature no. 5. During the construction of the grave structure a surface of approximately 3 × 3 m has been levelled from where the grave pit was dug. The shape of this upper pit was not clearly visible.

Feature no. 7 (Pl. XXIII/5–6; XXIV/3)

Stratigraphic position & location: Secondary grave without additional fill, dug into the first and second barrow fills, the ancient humus level and the virgin soil, 7.5 m north from the CP.

Grave facility: Rectangular pit probably with one step (?). Orientation: south-east–north-west. Dimensions of the lower pit: 1.76 × 1.03 m. Upper level of the pit at -1.36 m from the CP. Bottom of the pit at -2.17 m from the CP. Flat floor.

Pit fill: Sediments from the barrow fills and virgin soil dug out during the construction of the pit.

Method of disposal: Inhumation.

Number & condition of the skeletons: 1, well preserved.

Anthropological data: Late *Adultus* – Early *Maturus* (35–45 years old), male.

Position & orientation: Articulated inhumation, in semi-supine position on the right, the body placed in the south-east – north-west direction, head to the east, facing north. Legs bent at the knees, set down to the right. Right arm bent at the elbow, palm beneath the knees; left arm bent at the elbow, palm in front of the pelvis.

Body treatment: No data.

Inventory: No.

¹⁴C date: **SUERC-97450: 4158 ± 25 BP.**

Notes: During the construction of the grave facility a surface of approximately 3 × 3 m has been levelled, from where the grave pit was dug. The shape of this upper pit was not clearly visible and was recognizable only by the virgin soil dug-out from the pit.

Feature no. 8 (Pl. XXV)

Stratigraphic position & location: Secondary grave without additional fill, dug into the first and second barrow fills, the ancient humus level and the virgin soil, 11 m south-west from the CP.

Grave facility: Rectangular pit with rounded corners. Orientation: east-west. Dimensions of the pit: 0.76 × 0.33 m. Upper level of the pit at -1.90 m from the CP, bottom of the pit at -2.47 m from the CP. Flat floor. Traces indicate there was a cover on the pit made from at least four strips of tree bark.

Pit fill: Sediments from the barrow fills and virgin soil, dug out during the construction of the pit.

Method of disposal: Inhumation.

Number & condition of the skeletons: 1, badly preserved.

Anthropological data: *Infans I* (around 6 months).

Position & orientation: Inhumation in hocker or semi-supine position? Head to the east.

Body treatment: Red ochre over the skull.

Inventory: Clay cup near the skull. Elongated S-shape, the rim is broken. Well-tempered clay with ingredients of fine sand and small pebbles. Burnished surface of brown colour. Height = 8.09 cm (Pl. XXV/3–4).

¹⁴C date: **SUERC-97451: 4142 ± 29 BP.**

Feature no. 9 (Pl. XXVI/1–3)

Stratigraphic position & location: Secondary grave without additional fill; dug into the first and second barrow fills, the ancient humus level and the virgin soil, 12.5 m southwest from the CP.

Grave facility: Pit with one step. Elongated four-sided upper pit and oval lower pit. Orientation: south-east – north-west. Dimensions: upper pit: 1.81 × 1.12 m. Lower pit: 1.23 × 0.78 m. Width of the step: between 0.11 and 0.51 m; upper level of the upper pit at -2.20 m from the CP, upper level of the lower pit at -2.44 m from the CP, bottom of the pit at -2.90 m from the CP. Flat floor. Traces indicate there was a cover made from strips of tree bark on the upper pit.

Pit fill: Sediments from the barrow fills and virgin soil dug out during the construction of the pit.

Method of disposal: Inhumation.

Number & condition of the skeletons: 1, well preserved.

Anthropological data: Late *Maturus* – Early *Senilis* (55–65 years old), probably female.

Position & orientation: Inhumation of a disarticulated body: pelvis and legs, shoulders and arms and skull.

Body treatment: The feet are missing, as are the palms and the ribs.

Inventory: No.

¹⁴C date: **SUERC-97452: 4172 ± 27 BP.**

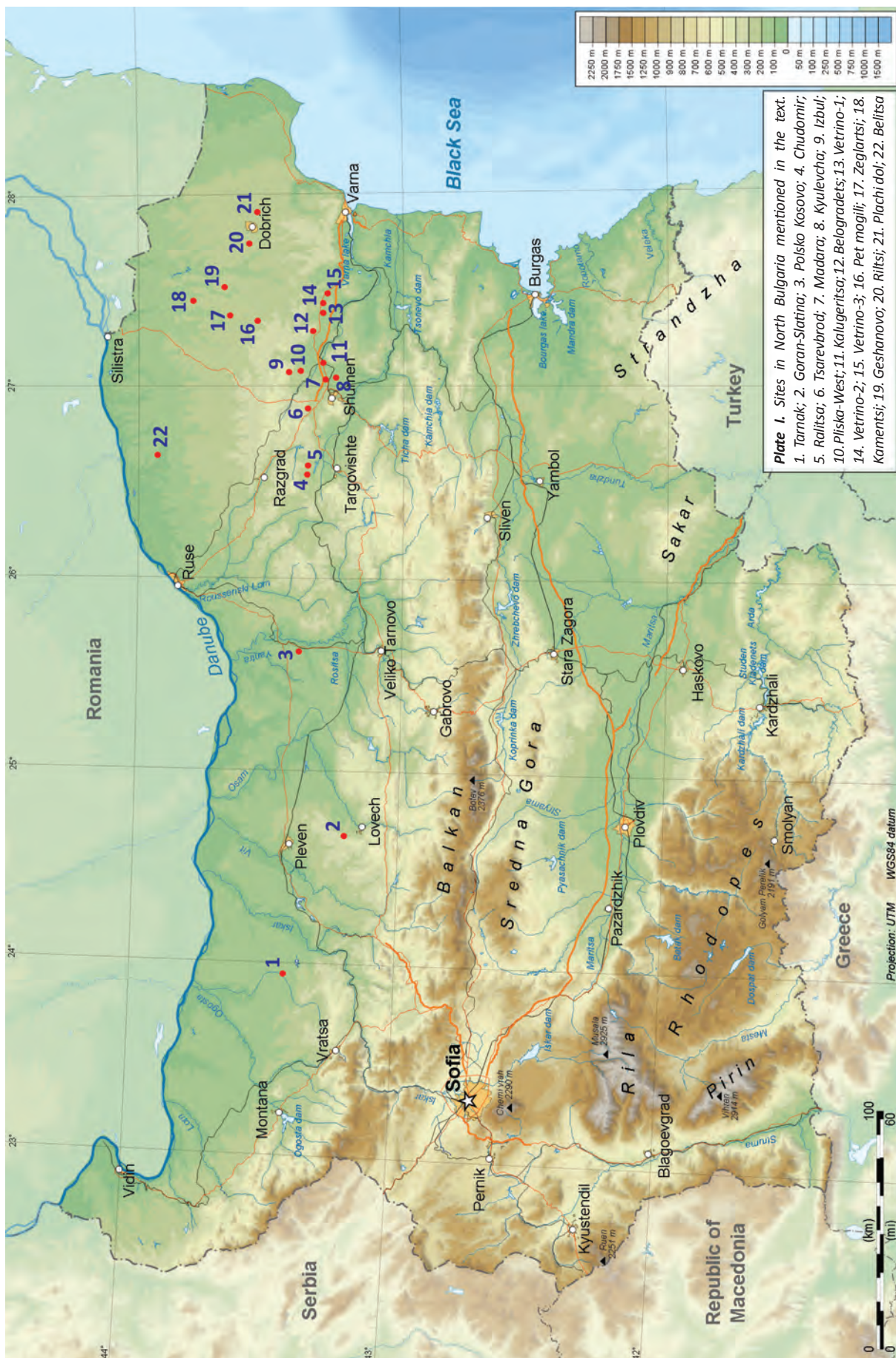
Notes: The observations concluded the following sequence for the position of the remains: shoulders and arms, bent at the ankles in the south–north direction; the pelvis and the legs set in contracted position over the tibiae in the east-west direction, the skull (facing north) over the right *humerus* and the mandible in front of the shoulders.

REFERENCES

- Agre 2015 – D. Agre, *Archaeological Investigation of the “Lozianska Mogila” Barrow located near the Village of Boyanovo, Municipality of Elkhovo, in South-eastern Bulgaria*, PZ 90, 2015, 1–2, p. 141–171.
- Ailincăi et alii 2016 – S. C. Ailincăi, F. Mihail, L. Carozza, M. Constantinescu, C. Micu, A. Buerns, *Découverte d'un tumulus de l'âge du bronze à Rahman, sur la commune de Casimcea (départ. de Tulcea)*, SCIVA 67, 2016, 1–2, p. 29–52.
- Alexandrov 2010 – S. Alexandrov, *Prehistoric barrow graves with extended inhumations between Danube and Balkan range*, Studia Praehistorica 13, 2010, p. 277–292.
- Alexandrov 2011 – S. Alexandrov, *Prehistoric barrow graves between the Danube and the Balkan range. Stratigraphy and relative chronology*, in: E. Borgna, S. Müller-Celka (eds), *Ancestral landscapes. Burial mounds in the Copper and Bronze Ages (Central and Eastern Europe-Balkans-Adriatic-Aegean, 4th–2nd millennium B. C.)*, Proceedings of the International Conference held in Udine, Travaux de la Maison 58, 2011, p. 307–320.
- Alexandrov 2018 – S. Alexandrov, *The Early and Middle Bronze Age in Bulgaria: Chronology, Periodization, Cultural Contacts and Precious Metal Finds*, in: S. Alexandrov, Y. Dimitrova, H. Popov, B. Horejs, K. Chukalev (eds), *Gold and Bronze. Metals, Technologies and Interregional Contacts in the Eastern Balkans during the Bronze Age*, Sofia, 2018, p. 85–96.
- Alexandrov 2020a – S. Alexandrov, *Bronze Age Barrow Graves in Upper Thrace. Old and New Questions*, in: S. Hansen (ed.), *Repräsentationen der Macht. Beiträge des Festkolloquiums zu Ehren des 65. Geburtstags von Blagoje Govedarica*, Kolloquien zur vorund Frühgeschichte 25, Wiesbaden, 2020, p. 147–170.
- Alexandrov 2020b – S. Alexandrov, *Site 3 near Chudomir, Loznitsa municipality*, in: H. Popov (ed.), *Stream Through Time. Rescue archaeological investigations along the expansion of the gas transmission infrastructure of Bulgartransgaz EAD*, National Archaeological Museum Catalogues, Supplementum 1, Sofia 2020, p. 462–471.
- Alexandrov in press – S. Alexandrov, *Forth – Third Millennium BC Barrow Graves in North-East Bulgaria (120 years of investigations)*, in: V. Heyd, G. Kulcsár, B. Preda-Bălănică (eds), *Yamnaya Interactions, Proceedings of the International Workshop held in Helsinki, 25–26th April 2019, The Yamnaya Impact in Prehistoric Europe*, vol. 2, Budapest, in press.
- Alexandrov, Benham 1995 – С. Александров, А. Бенам, *Разкопки на могила № 1 от раннобронзов могилен некропол до с. Белица (Тутраканско)*, in: *Тутракан в историческото развитие на Добруджа*, Тутракан, 1995, p. 49–54.
- Alexandrov, Kaiser 2016 – S. Alexandrov, E. Kaiser, *The Early Barrow Graves in West Pontic Area. Cultures? Migrations? Interactions?* PAS 30, 2016, p. 359–370.
- Alexandrov, Slavchev 2020 – S. Alexandrov, V. Slavchev, *Site A1/3 near Vetrino, Varna Region*, in: H. Popov (ed.), *Stream through time. Rescue archaeological investigations along the expansion of the gas transmission infrastructure of Bulgartransgaz EAD*, National Archaeological Museum – Catalogues. Supplementum 1, Sofia, 2020, p. 439–443.
- Alexandrov et alii 2018 – S. Alexandrov, Y. Dimitrova, H. Popov, B. Horejs, K. Chukalev (eds), *Gold and Bronze. Metals, Technologies and Interregional Contacts in the Eastern Balkans during the Bronze Age*, Sofia 2018.
- Bozkova, Tonkova 2020 – A. Bozkova, E. Tonkova, *Site A1/7002 near Vetrino, Varna Region*, in: H. Popov (ed.), *Stream through time. Rescue archaeological investigations along the expansion of the gas transmission infrastructure of Bulgartransgaz EAD*, National Archaeological Museum – Catalogues. Supplementum 1, Sofia, 2020, p. 450–455.
- Brudiu 2003 – M. Brudiu, *Lumea de sub tumulii din sudul Moldovei. De la indo-europeni la turanicii târzii. Mărturii arheologice*, București, 2003.
- Burtănescu 2002 – F. Burtănescu, *Epoca timpurie a bronzului între Carpați și Prut cu unele contribuții la problemele perioadei*

- premergătoare epocii bronzului în Moldova, *BiblThrac* 37, București, 2002.
- Dani, Nepper 2006 – J. Dani, I. M. Nepper, *Sárrétudvari-Örhalom. Tumulus grave from the beginning of the EBA in Eastern Hungary*, *Communications Archaeologicae Hungariae* 2006, Budapest, p. 29–48.
- Demchenko 2016 – Т. Демченко, *К вопросу о выделении культурной группы Бурсучень в рамках Гординештско – Позднемайкопского феномена*, in: L. Sîrbu, N. Telnov, I. Ciobanu, Gh. Sîrbu, M. Kaşuba (eds), *Culturi, procese și contexte în arheologie, Volum omagial Oleg Levițki la 60 de ani*, Chișinău, 2016, p. 84–99.
- Dergacev 1986 – В. Дергачев, *Молдавия и соседние территории в эпоху бронзы*, Кишинев, 1986.
- Frînculeasa 2020a – A. Frînculeasa, *Cultura Cernavodă II la Dunărea Inferioară. Relevanța cronologiei și a înmormântărilor tumulare*, *SP* 17, 2020, p. 135–193.
- Frînculeasa 2020b – A. Frînculeasa, *Contributions regarding the Middle Bronze Age period in northern Muntenia*, *Mousaios* 23, 2020, p. 127–144.
- Frînculeasa et alii 2015 – A. Frînculeasa, B. Preda, V. Heyd, *Pit-Graves, Yamnaya and Kurgans along the Lower Danube: Disentangling IVth and IIIrd Millennium BC Burial Customs, Equipment and Chronology*, *PZ* 90, 2015, 1–2, p. 45–113.
- Frînculeasa et alii 2017a – A. Frînculeasa, A. Simalcsik, B. Preda, D. Garvăn, *Smeeni - Movila Mare. Monografia unui sit arheologic regăsit, Târgoviște*, 2017.
- Frînculeasa et alii 2017b – A. Frînculeasa, P. Mirea, G. Trohani, *Local cultural settings and transregional phenomena: on the impact of a funerary ritual in the Lower Danube in the 4th millennium BC*, *BMJ* 9, 2017, p. 75–116.
- Heyd 2011 – V. Heyd, *Yamnaya group and tumuli west of the Black Sea*, in: E. Borgna, S. Müller-Celka (eds), *Ancestral landscapes. Burial mounds in the Copper and Bronze Ages (Central and Eastern Europe-Balkans-Adriatic-Aegean, 4th–2nd millennium B. C.)*, *Proceedings of the International Conference held in Udine*, *Travaux de la Maison* 58, 2011, p. 535–555.
- Hristova 2010 – Т. Христова, *Гробни комплекси от средната бронзова епоха от Югоизточна България в контекста на културното развитие в Долнодунавския басейн*, in: P. Георгиева, Т. Стоянов, Д. Момчилов (ed.), *Югоизточна България през II–I хилядолетие пр.Хр.*, Варна, p. 16–21.
- Iliev, Bakardžiev 2020 – I. Iliev, S. Bakardžiev, *Kurgane der Frühen bis Späten Bronzezeit im Bezirk Jambol, Südostbulgarien*, Budapest, 2020.
- Ivanova 2013 – С. Иванова, *Ямная (Буджакская) Культура*, in: *Давні культури Північно-Західного Причорномор'я (до 95-річчя Національної академії наук України)*, Одеса, 2013, p. 211–254.
- Kaiser 2019 – E. Kaiser, *Das dritte Jahrtausend im osteuropäischen Steppenraum. Kulturhistorische Studien zu prähistorischer Subsistenzwirtschaft und Interaktion mit benachbarten Räumen*, *Berlin Studies of the Ancient World* 37, Berlin, 2019.
- Kaiser, Winger 2015 – E. Kaiser, K. Winger, *Pit graves in Bulgaria and the Yamnaya Culture*, *PZ* 90, 2015, 1–2, p. 114–140.
- Kitov 2000 – G. Kitov, *Pit-grave Culture tumulus graves near Izbul (Northeastern Bulgaria)*, in: L. Nikolova (ed.), *Technology, Style and Society. Contributions to the innovations between the Alps and the Black Sea in Prehistory*, *BARIntSer* 854, Oxford, p. 311–319.
- Kitov et alii 1991 – Г. Китов, И. Панайотов, П. Павлов, *Могилни некрополи в Ловешкия край. Ранна бронзова епоха. Некрополът Горан – Слатина*, Разкопки и Проучвания 23, София, 1991.
- Klochko et alii 2015 – V. Klochko, A. Koško, M. Potupchuk, P. Włodarczak, D. Żurkiewicz, S. Ivanova, *Tripolye (Gordinești Group), Yamnaya and Catacomb Culture cemeteries, Prydnistrianske, site 1, Yampil region, Vinnitsa oblast: an archaeometric and chronometric description and a taxonomic and topogenetic discussion*, *Baltic-Pontic Studies* 20, 2015, p. 183–255.
- Lăzurscă 1980 – E. Lăzurscă, *Raport asupra noilor cercetări arheologice de la Baia (Hamangia), județul Tulcea*, *Peuce* 8, 1980, p. 7–36.
- Manzura 2005 – I. Manzura, *The proto-Bronze Age cemetery at Durankulak: a look from the east*, in: L. Nikolova, J. Fritz, J. Higgins (eds), *Prehistoric Archaeology & Anthropological Theory and Education*, *RPRP* 6–7, 2005, p. 51–55.
- Manzura 2016 – I. Manzura, *North-Pontic steppes at the end of the 4th millennium BC: the epoch of broken borders*, in: A. Zanoci, E. Kaiser, M. Kashuba, E. & M. Băț Izbitser (eds), *Man, culture and society from the Copper Age until the Early Iron Age in Northern Eurasia. Contributions in honour of the 60th anniversary of Eugen Sava*, Chișinău, 2016, p. 53–75.
- Mikov 1934 – В. Миков, *Последни могили находки*, in: *Мадара*, vol. I, София, 1934, p. 429–438.
- Mikov 1936 – В. Миков, *Стари могили гробове при Калугерица и Кюлевца*, in: *Мадара*, vol. II, София, 1936, p. 3–10.
- Mitkova 2014 – Р. Миткова, *Паметници от бронзовата епоха*, in: Рашо Рашев (†) 2008), *Станислав Станолов, Станимир Стойчев. Кабиюк. Ранносредновековен могилен комплекс*, София, 2014, p. 187–204.
- Motzoi-Chicideanu 2011 – I. Motzoi-Chicideanu, *Obiceiuri funerare în ера бронзуи ла Дунареа мижлие ши инфериоара*, București, 2011.
- Nestor 1937 – I. Nestor, *Cercetări preistorice la Cernavodă*, *Analele Dobrogei* 18, 1937, p. 1–19.
- Panayotov 1989 – И. Панайотов, *Ямната култура в българските земи*, *Разкопки и Проучвания* 21, София, 1989.
- Popov 1932 – Р. Попов, *Могилните гробове при Ендже*, *Известия на археологическия институт* 6, 1930–1931, p. 89–113.
- Popov 2020 – Н. Popov (ed.), *Stream through time. Rescue archaeological investigations along the expansion of the gas transmission infrastructure of Bulgartransgaz EAD*, *National Archaeological Museum – Catalogues. Supplementum* 1, Sofia, 2020.
- Popovici, Kaiser 2020 – S. Popovici, E. Kaiser, *A Burial Mound in the Town of Cimișlia in Southern Part of the Republic of Moldova: Relative and Absolute Chronology of the Burials*, in: Н. Д. Бурова, А. А. Выборнов, М. А. Кулькова (eds), *Радиоуглерод в археологии и палеоэкологии: прошлое, настоящее, будущее. Материалы международной конференции, посвященной 80-летию старшего научного сотрудника ИИМК РАН, кандидата химических наук Ганны Ивановны Зайцевой*, Самара, 2020, p. 73–74.
- Popovici et alii 2016 – S. Popovici, I. Ciobanu, S. Agulnicov, I. Noroc, *Tumulul 8 de la Cimișlia. Considerații preliminare*, in: *Arheologia preventivă în Republica Moldova*, vol. III, 2016, p. 19–28.
- Preda 2015 – B. Preda, *Considerations regarding Barrow Burials and Metal Depositions during the Early Bronze Age in the Carpathian-Danube Area*, *Hiperboreea* 2, 2015, p. 5–51.
- Preda-Bălănică et alii 2020 – B. Preda-Bălănică, A. Frînculeasa, V. Heyd, *The Yamnaya Impact North of the Lower Danube: A Tale of Newcomers and Locals*, *BSPF* 117, 2020, 1, p. 85–101.
- Rassamakin 2004 – J. Rassamakin, *Die nordpontische Steppe in der Kupferzeit*, Teil I – Text, Teil II – Katalog, Tafeln, *Arhæologie in Eurasien* 17, Mainz, 2004.
- Roman et alii 1992 – P. Roman, A. Dodd-Oprîtescu, P. János, H. Hauptmann, W. Schrickel, *Beiträge zur Problematik der schnurverzierten Keramik Südosteuropas*, Mainz am Rhein, 1992.
- Schuchhard, Traeger 1918 – C. Schuchhard, P. Traeger, *Aussgrabung zwei Tumuli bei Constanza*, *PZ* 10, 1918, p. 150–155.
- Schuster et alii 2011 – C. Schuster, A. Morintz, R. Kogălniceanu, C. Ștefan, A. Comșa, G. El-Susi, M. Constantin, C. Constantin, G. Mureșan, *Cercetările arheologice de pe tronsonul Cernavodă-Medgidia al autostrăzii A2. Tumulul nr. 3, Târgoviște*, 2011.
- Simion 2003 – G. Simion, *Migrația popoarelor indo-europeene la Dunăre de Jos*, in: G. Simion, *Culturi antice în zona gurilor Dunării*, Vol. I. *Preistorie și protoistorie*, Biblioteca Istro-Pontica, Serie Arheologie 5, 2003, p. 13–50.
- Stanchev 2002 – Д. Станчев, *Резултати от археологическите разкопки на могилата Яланджи тепе до с. Полско Косово, Русенско*, in: *Πίτῆη. Studia in honorem prof. Ivani Marazov*, София, 2002, p. 519–531.

- Subbotin 2002 – Л. Субботин, *Металлические изделия ямных племен северо-западного Причерноморья*, in: *The Varna eneolithic necropolis and problems of prehistory in Southeast Europe. Studia in memoriam Ivani Ivanov*, Acta Musei Varnaensis 6, 2002, p. 227–240.
- Tončeva 1978 – G. Tončeva, *Nécropole tumulaire de l'âge du bronze ancien près du village Belogradec*, Studia Praehistorica 1–2, 1978, p. 228–237.
- Tončeva 1980 – G. Tončeva, *Nécropole tumulaire du VII^e s. av. n. ère près du village Belogradec*, Thracia 5, 1980, p. 5–52.
- Tončeva 1981a – G. Tončeva, *Un habitat de l'âge du Bronze ancien dans les environs de la ville de Varna (Ezerovo II)*, Dacia NS 25, 1981, p. 41–59.
- Tončeva 1981b – G. Tončeva, *Monuments sculpturaux en Bulgarie du Nord-Est de l'âge du bronze*, Studia Praehistorica 5–6, 1981, p. 129–145.
- Torbov 1994 – Н. Торбов, *Резултати от археологическото проучване на Ниновската могила при Търнак, Белослатинско*, Известия на Музеите в Северозападна България 22, 1994, p. 11–21.
- Vagalinski 2020 – L. Vagalinski, *Early bronze age tumulus near the village of Kamentsi, Silistra region, NE Bulgaria*, Archaica 7–8, 2019–2020, p. 19–27.
- Vajsov 2002 – I. Vajsov, *Das Grab 982 und die Protobronzezeit in Bulgarien*, in: Todorova (Hrsg.), *Durankulak, Band II: 1. Die prähistorischen Gräberfelder*, Sofia, 2002, p. 159–176.
- Vasileva 2018 – H. Vasileva, *From the bottom of the sea: the Early Bronze Age ceramics from Sozopol and Urdoviza*, Pontica 51, 2018, p. 135–150.
- Vasileva 2019 – H. Vasileva, *A comparison between the decoration of the Early Bronze Age ceramics of the northern and the southern parts of the west pontic area*, Oltenia 26, 2019, p. 50–69.
- Zmeykova 2001 – I. Zmeykova, *The Cernavoda III culture in North-Eastern Bulgaria*, in: P. Roman, S. Diamandi (eds), *Cernavodă III – Boleráz. Ein vorgeschichtliches Phänomen zwischen dem Oberrhein und der unteren Donau, Symposium Mangalia/Neptun (18–24 Oktober 1999)*, Studia Danubiana, Series Symposia II, București, 2001, p. 213–235.



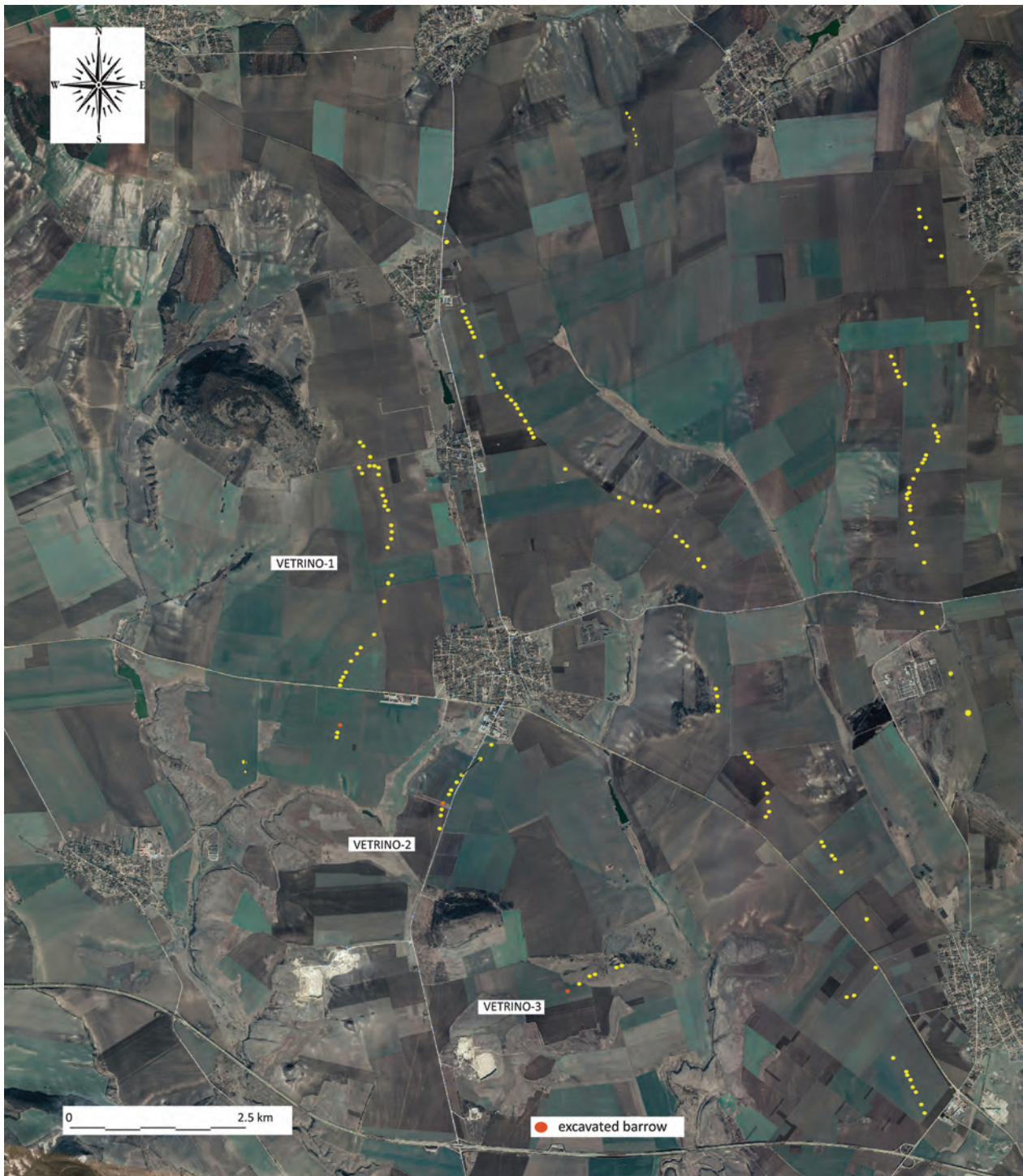


Plate II. Bronze Age barrow necropolises in Vetrino region.



1

2



Plate III. Vetrino-1 necropolis, Barrow 34. 1. The barrow before the excavations; 2. Aerial view.

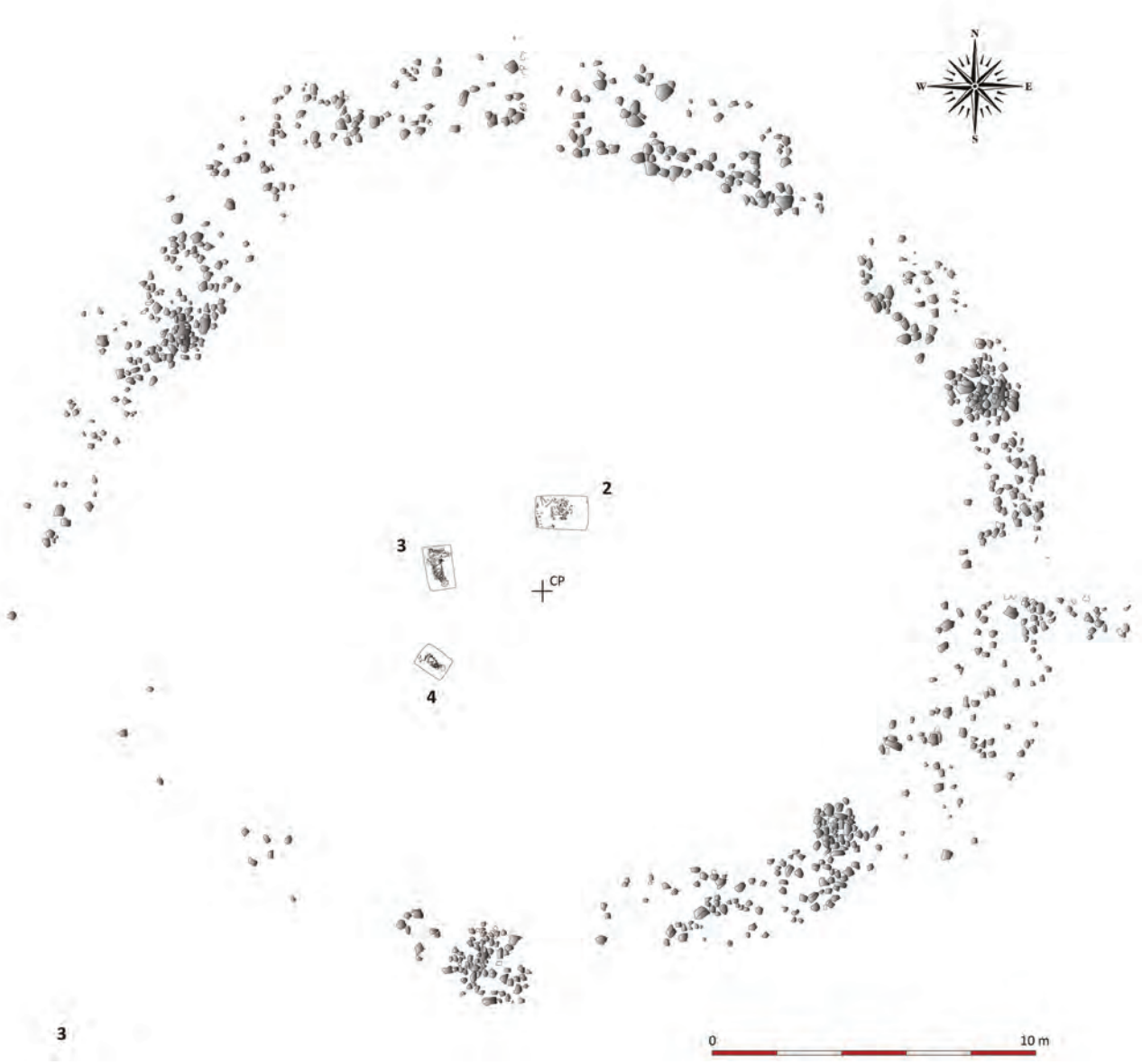
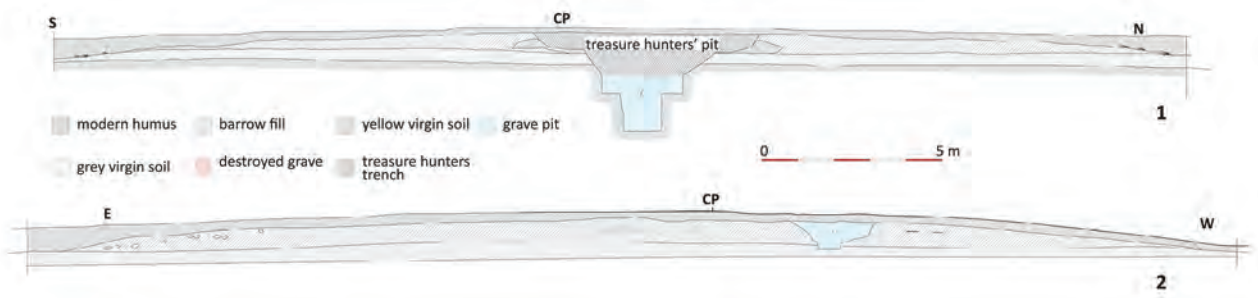


Plate IV. Vetrino-1 necropolis, Barrow 34. Features investigated and profiles.



1



2



3



4



5

Plate V. Vetrino-1 necropolis, Barrow 34. 1–2. Human bones from the destroyed feature no. 1; 3–5. Feature no. 2 in the process of investigation.



1



2



3



4



5

Plate VI. Vetrino-1 necropolis, Barrow 34. Feature no. 2 in the process of investigation.

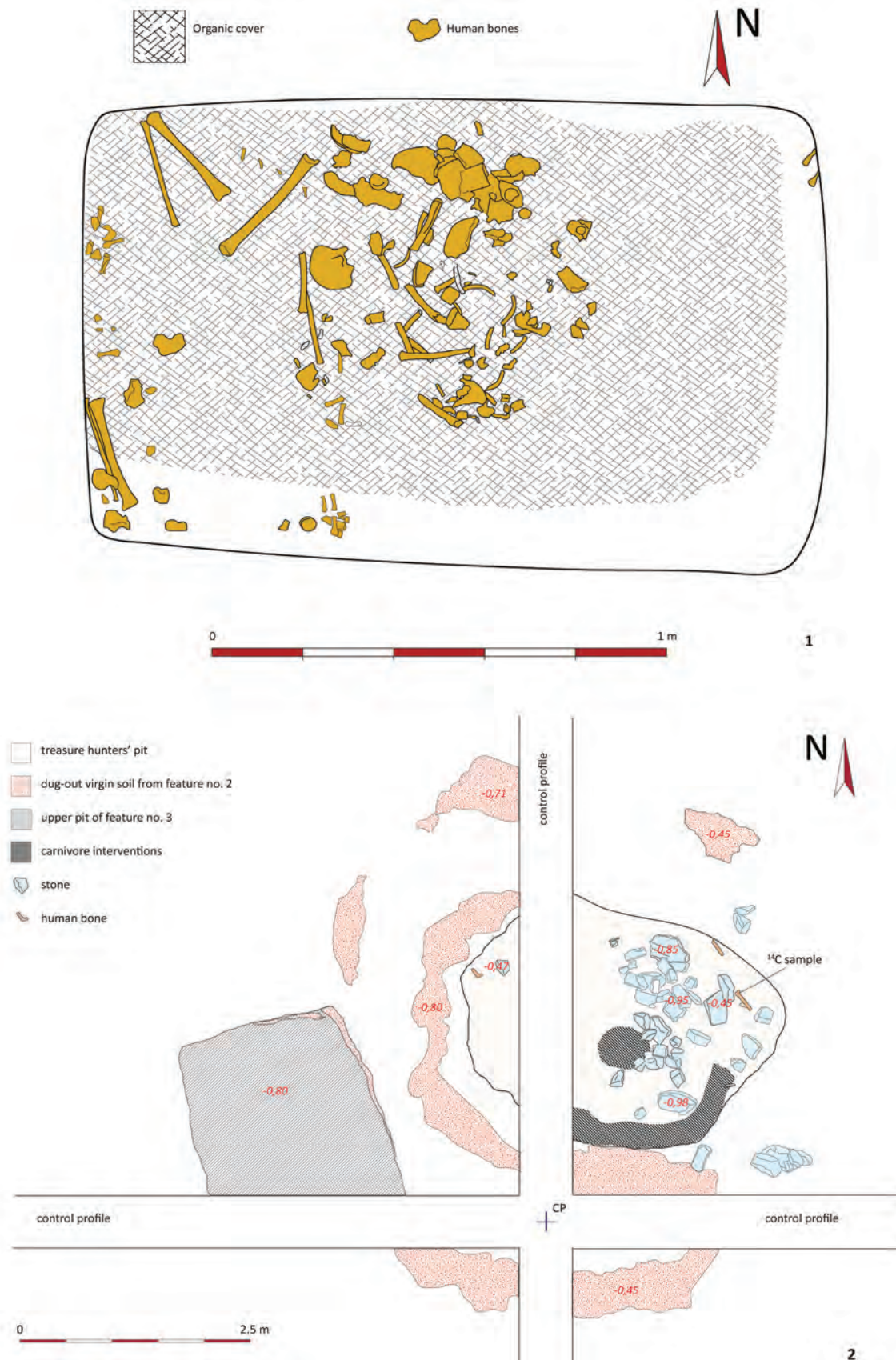


Plate VII. Vetrino-1 necropolis, Barrow 34. 1. Feature no. 2; 2. Features nos. 1-3.

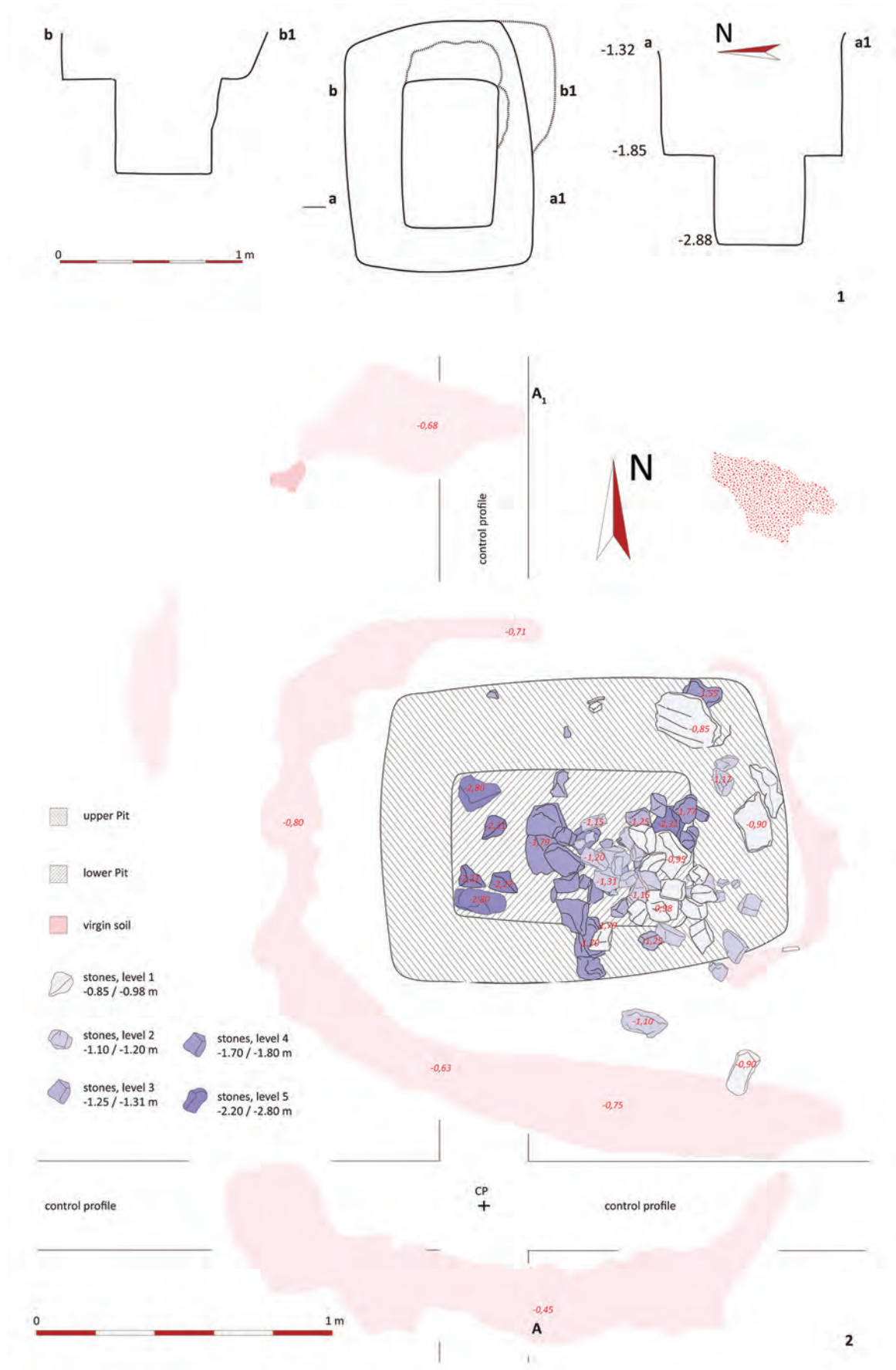


Plate VIII. Vetrino-1 necropolis, Barrow 34. Feature no. 2.



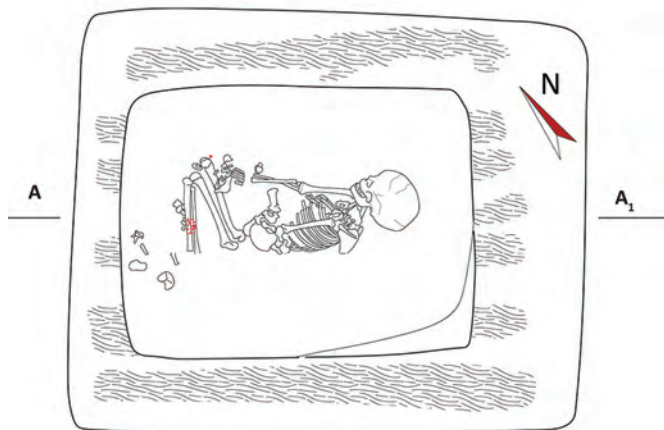
Plate IX. Vetrino-1 necropolis, Barrow 34. Feature no. 3 and the grave inventory.



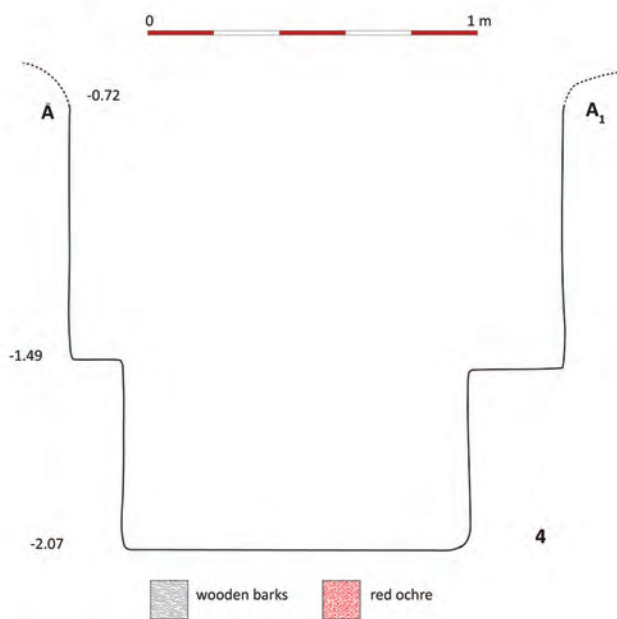
1



2



3



4



Plate X. Vetrino-1 necropolis, Barrow 34. Feature no. 4.



1

2



Plate XI. 1. Vetrino-2 necropolis, Barrows 1–7, Aerial view; 2. The barrows before the excavations.

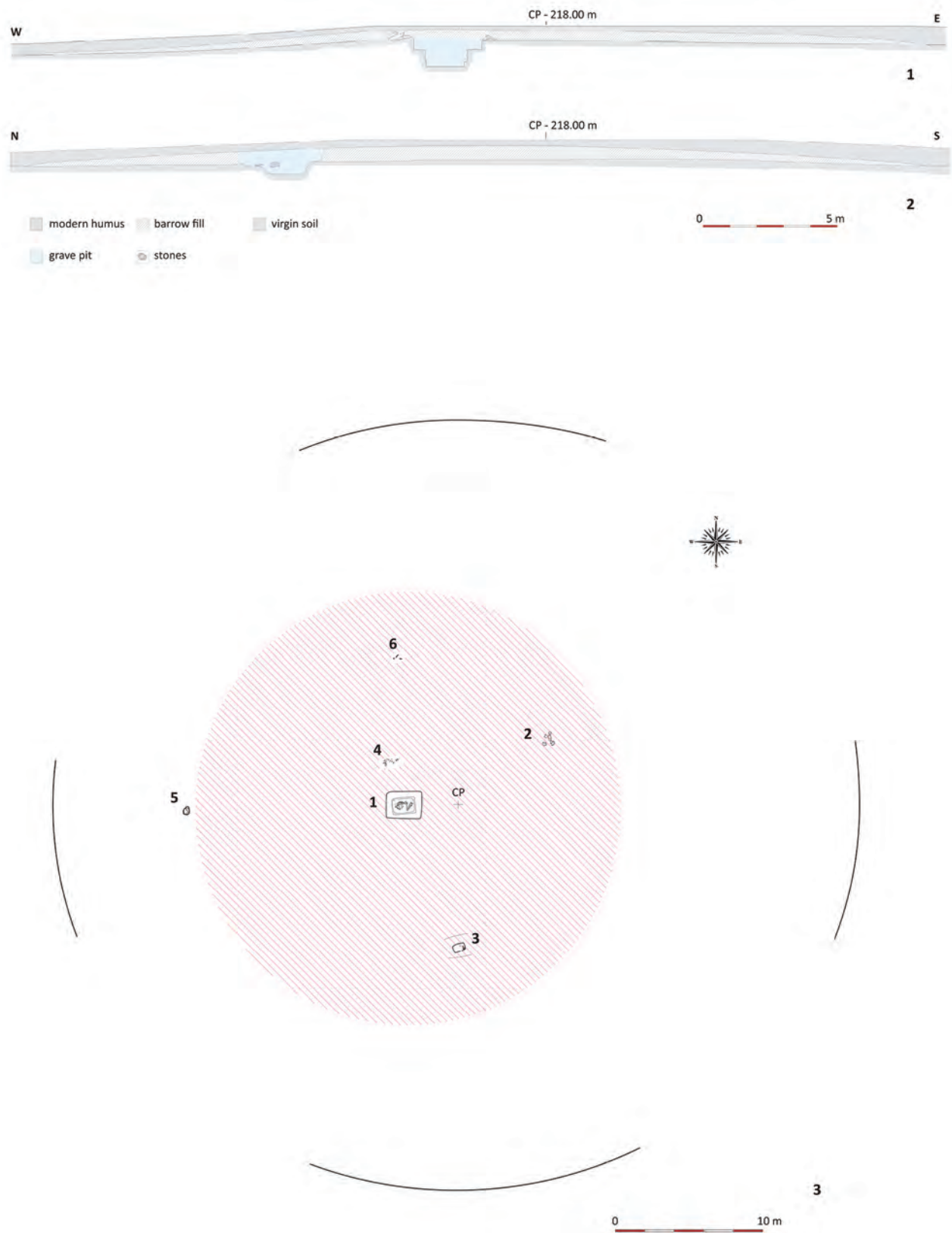


Plate XII. Vetrino-2 necropolis, Barrow 7. Features investigated and profiles.

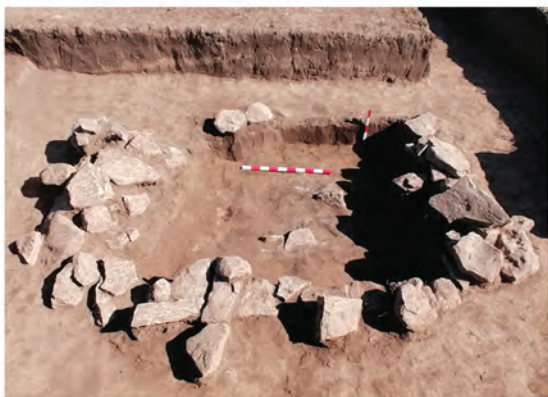
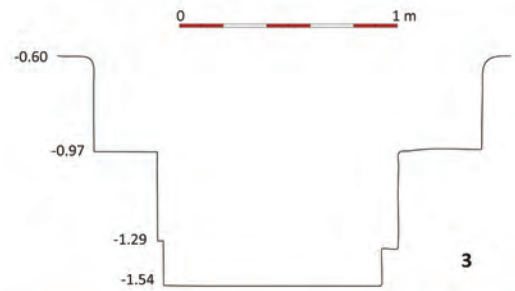
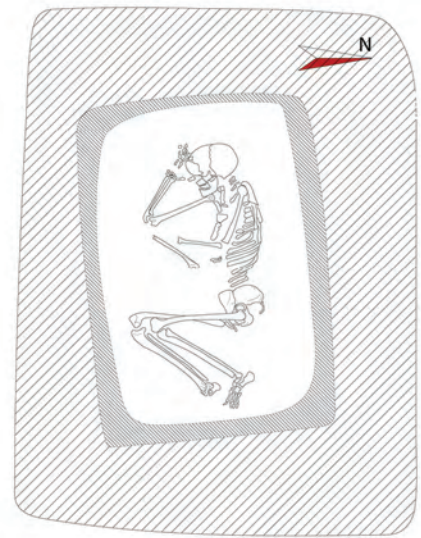
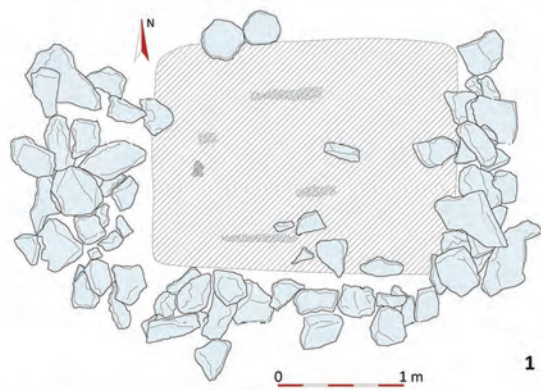
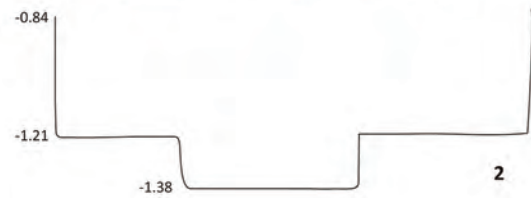


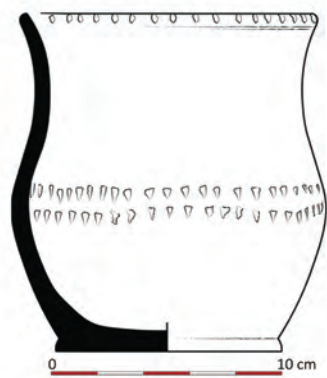
Plate XIII. Vetrino-2 necropolis, Barrow 7. Feature no. 1.



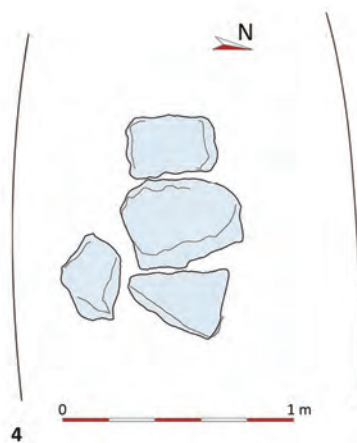
1



2



3



4



5



Plate XIV. Vetrino-2 necropolis, Barrow 7. Feature no. 3.

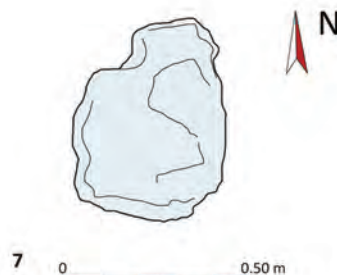
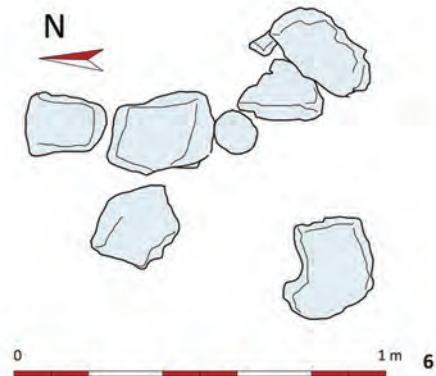
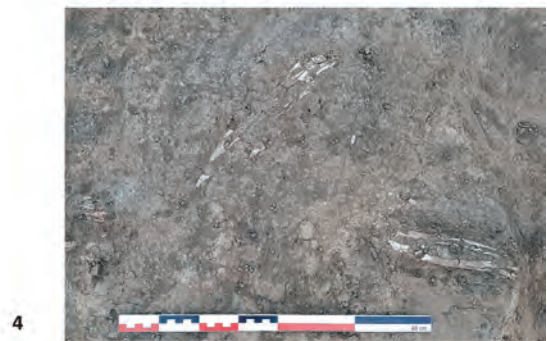
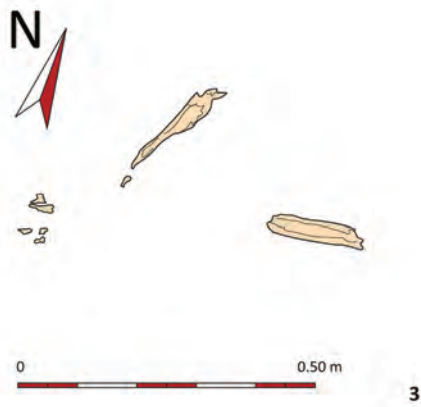


Plate XV. Vetrino-2 necropolis, Barrow 7. 1–2. Feature no. 4; 3–4. Feature no. 6; 5–6. Feature no. 2; 7–8. Feature no. 5.



1



2

3



Plate XVI. Vetrino-3 necropolis, Barrow 1. 1, 3. Aerial view; 2. The barrow before the excavations.

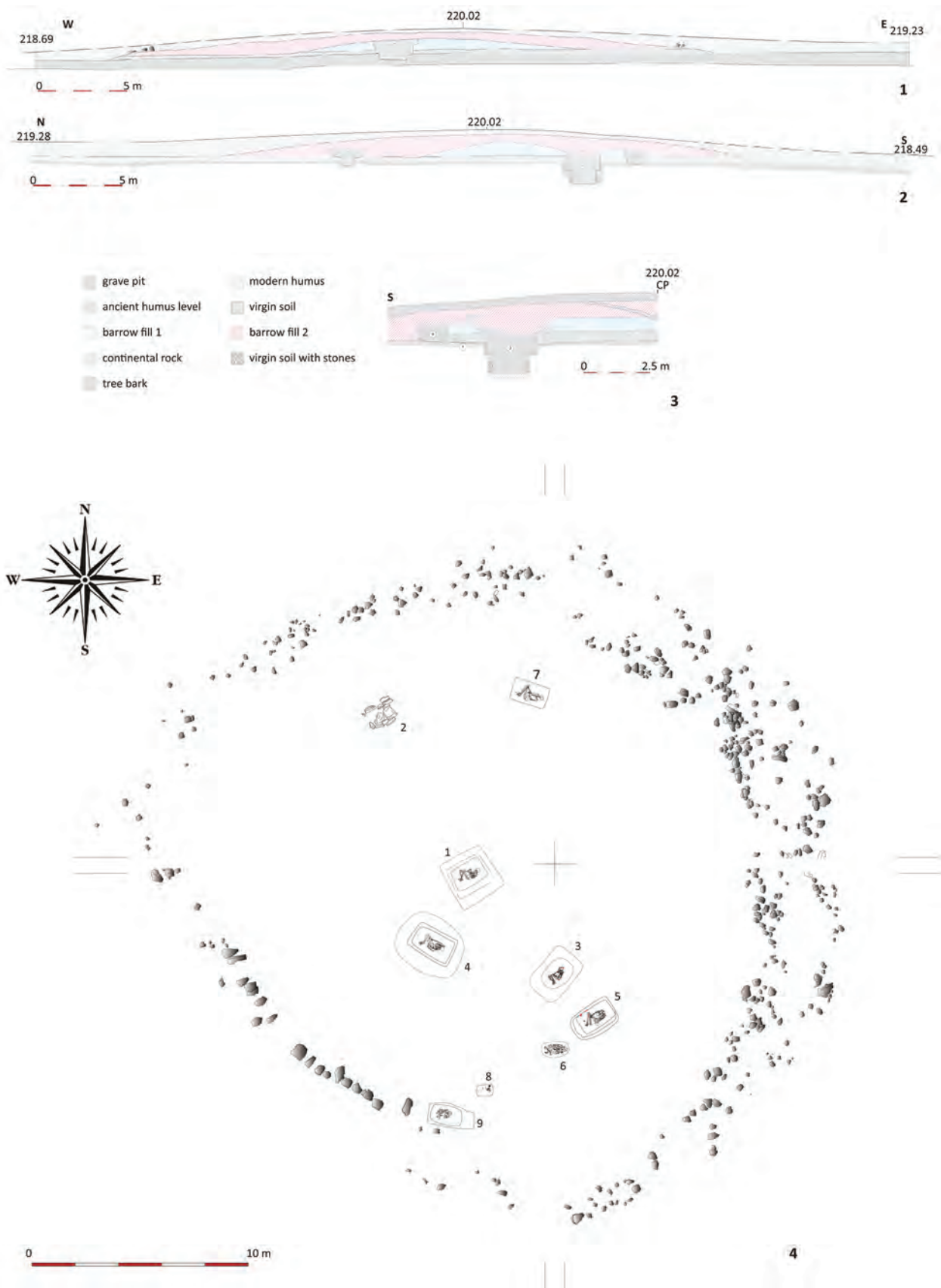


Plate XVII. Vetrino-3 necropolis, Barrow 1. Features investigated and profiles.



1



2



3



4



5



6

Plate XVIII. Vetrino-3 necropolis, Barrow 1. 1–4. Feature no. 1; 5–6. Feature no. 2.

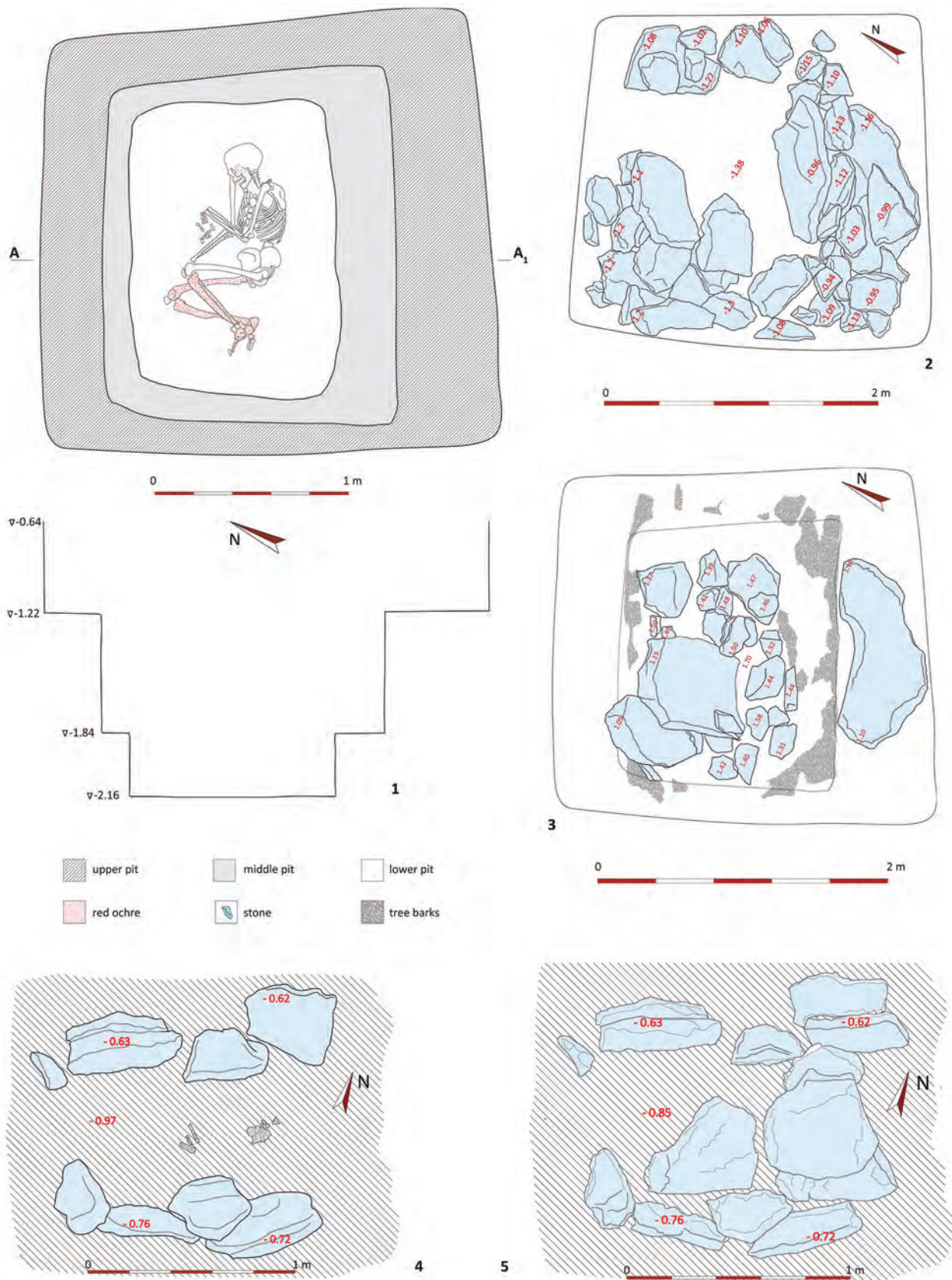


Plate XIX. Vetrino-3 necropolis, Barrow 1. 1–3. Feature no. 1; 4–5. Feature no. 2.



1

2



3



4

5



5

Plate XX. Vetrino-3 necropolis, Barrow 1. Feature no. 3.

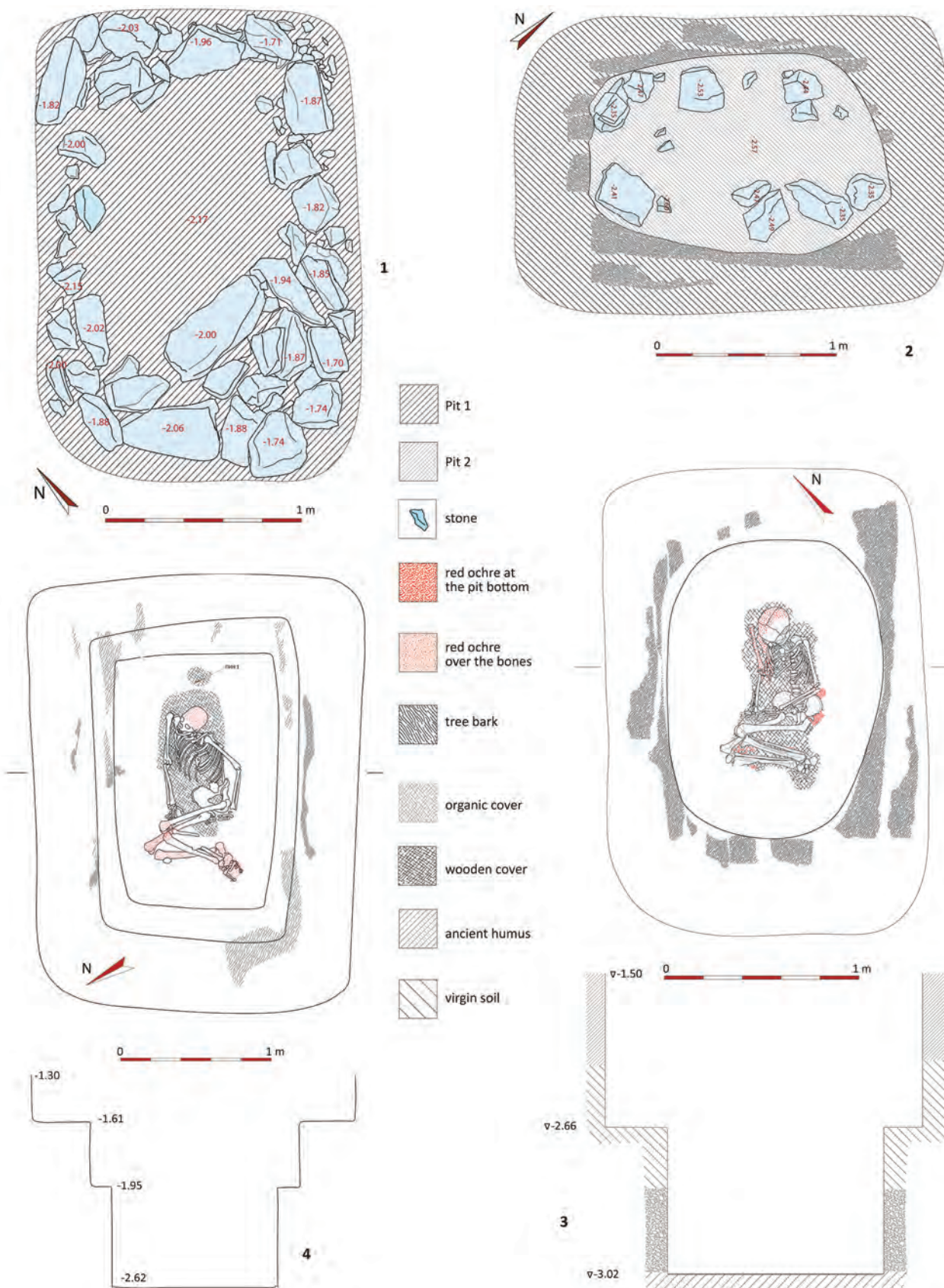


Plate XXI. Vetrino-3 necropolis, Barrow 1. 1–3. Feature no. 3; 4. Feature no. 4.

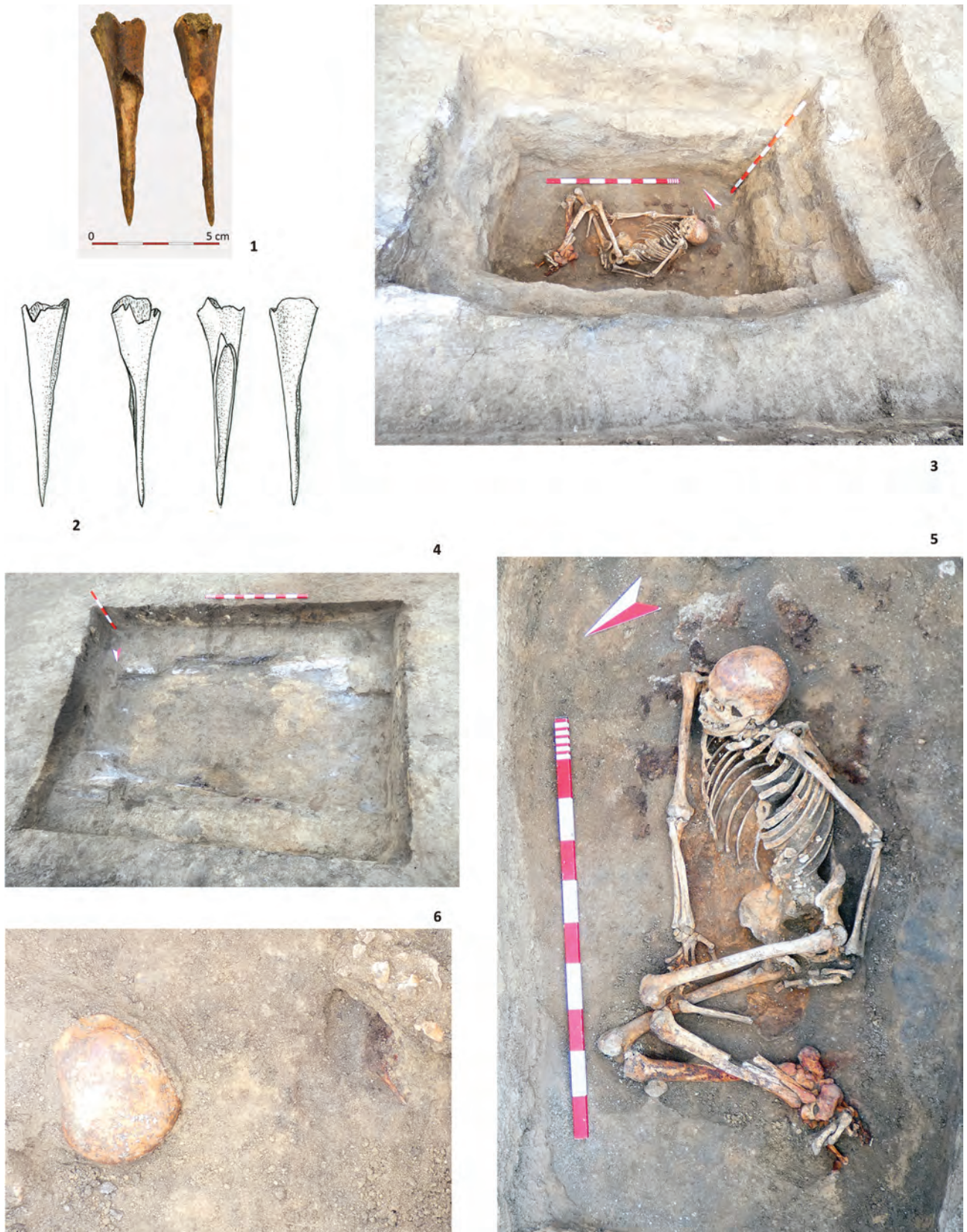


Plate XXII. Vetrino-3 necropolis, Barrow 1. Feature no. 4.



1



2



3

4



5



6

Plate XXIII. Vetrino-3 necropolis, Barrow 1. 1, 3. Feature no. 5; 2. Stratigraphic relation between features nos. 3, 5 and 6; 4. Feature no. 6; 5–6. Feature no. 7.

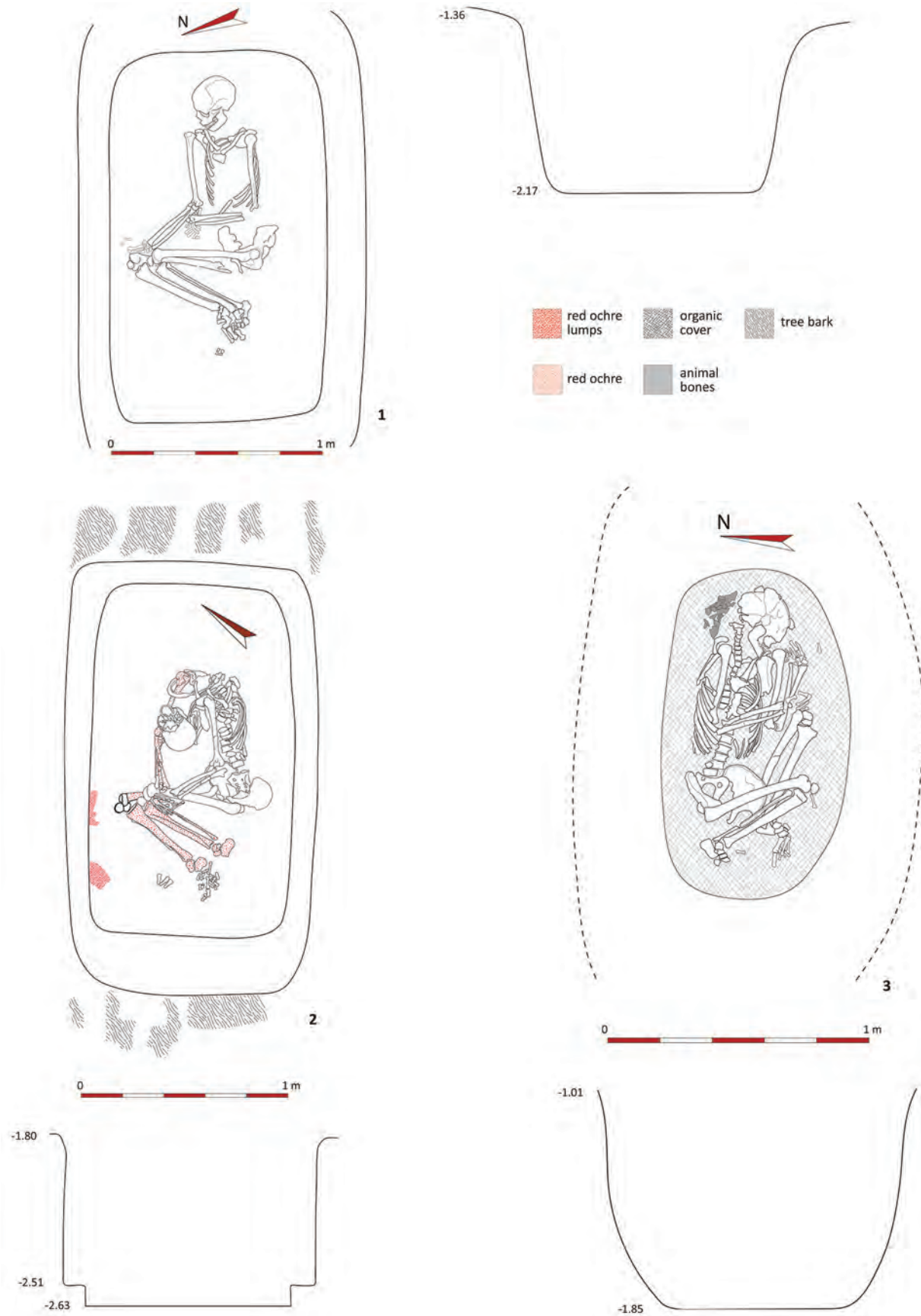
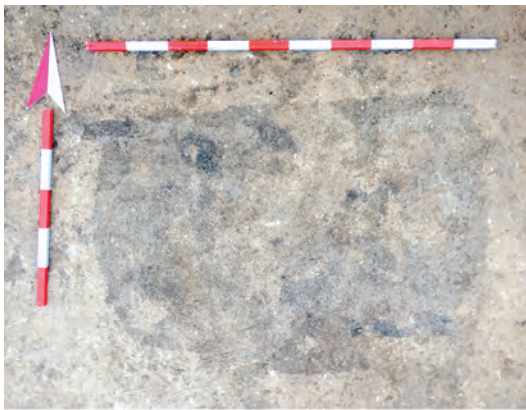


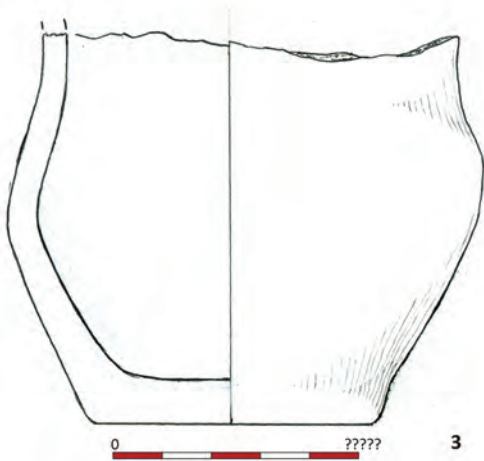
Plate XXIV. Vetrino-3 necropolis, Barrow 1. 1. Feature no. 7; 2. Feature no. 5; 3. Feature no. 6.



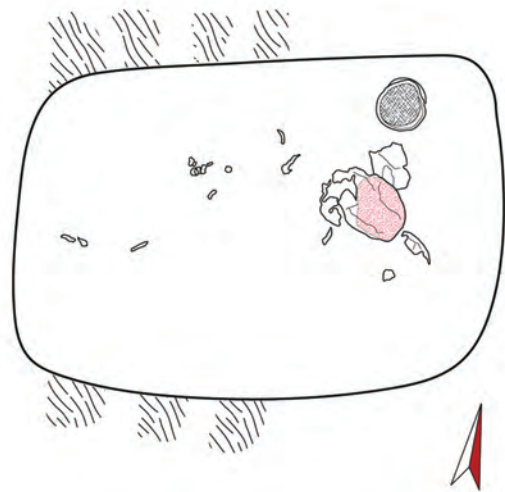
1



2



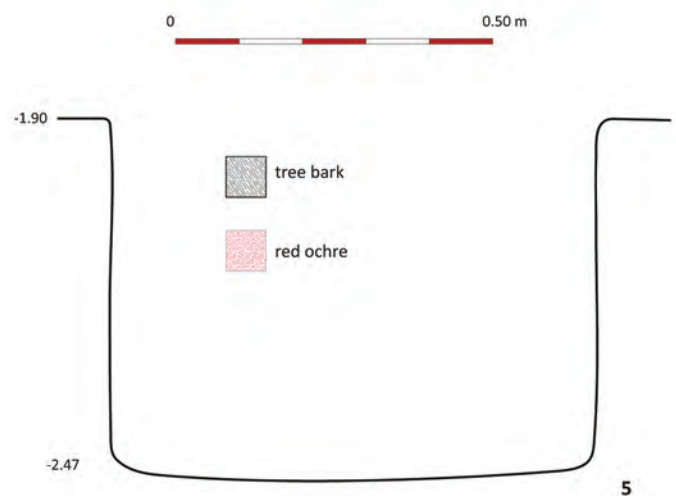
3



4



0 5 cm



5

Plate XXV. Vetrino-3 necropolis, Barrow 1. Feature no. 8.

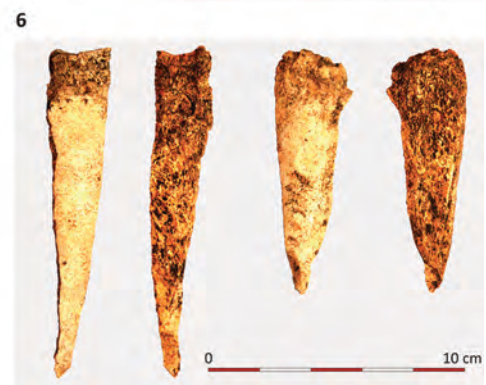
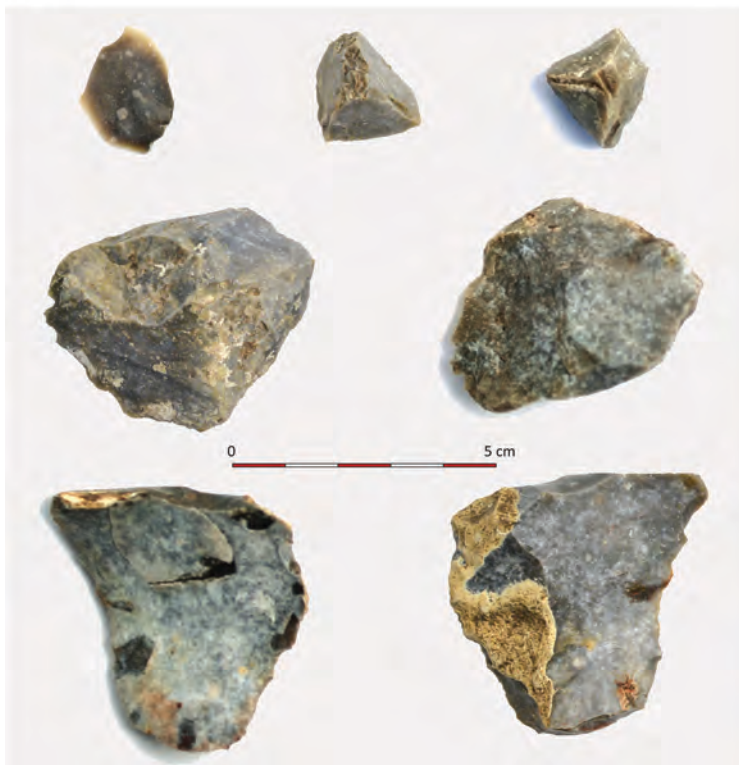
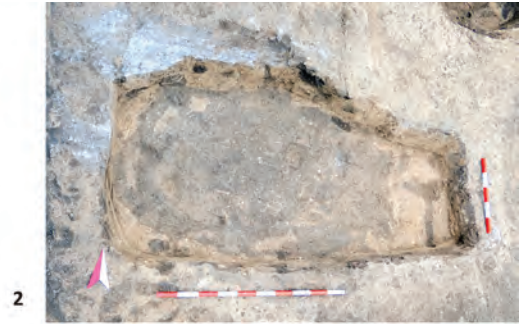
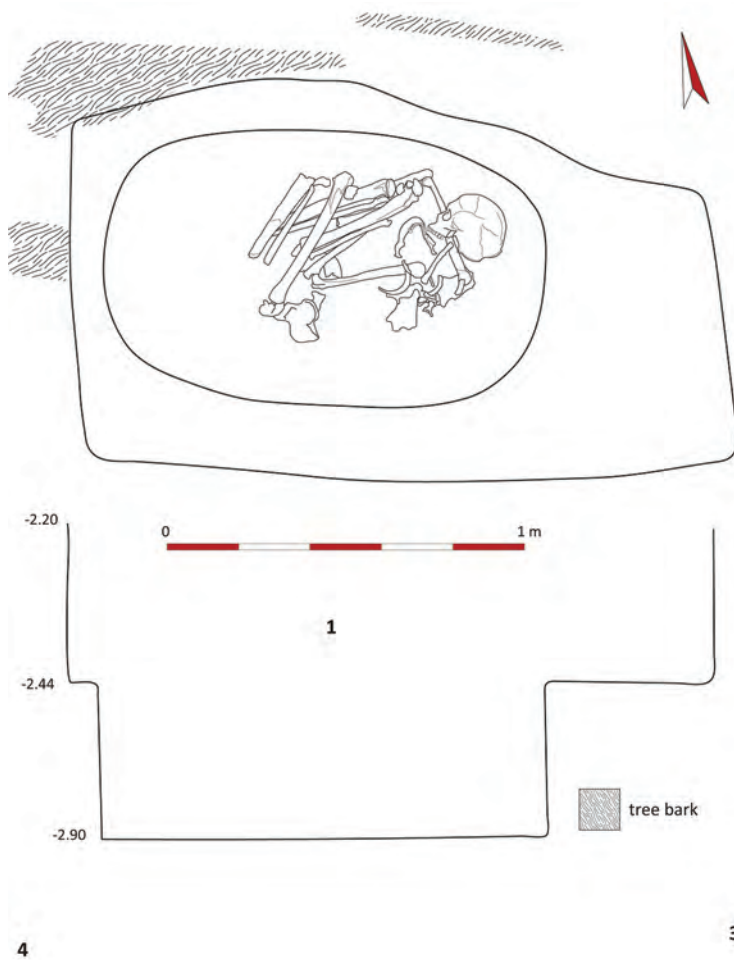


Plate XXVI. Vetrino-3 necropolis, Barrow 1. 1–3. Feature no. 9; 4. Flint flakes discovered in the barrow fills; 5. Stone with red ochre from feature no. 3; 6. Bones from feature no. 1 fill.

THE NEW STRUCTURE OF THE DAVA AT POPEȘTI (GIURGIU COUNTY, SOUTHEASTERN ROMANIA, 2nd CENTURY BC – ca. AD 6), BASED ON THE 2019–2020 PREVENTIVE EXCAVATIONS. THE FIRST DATA

Nona PALINCAȘ

Vasile Pârvan Institute of Archaeology, Bucharest; e-mail: palincas@gmail.com

To Cecilia Dumitrache, whose warning about an illegal change to the site ultimately led to these recent discoveries

Keywords: *dava, Argedava, decorated hearth, public building, deposition of human bodies, epigraphic stamp, imitative Rhodian amphora, bronze balance scale, Vârteju-București –type coin*

Abstract: *The aim of this preliminary report on the preventive excavations carried out in 2019–2020 in Settlement B of the well-known dava at Popești (Giurgiu County, in southern Romania) – the site identified by Radu Vulpe with Argedava – is to draw attention to the changes that need to be made to our previous image of the structure of the dava as well as to the fact that the area that is the source of this new information – the cemetery of the modern village – is gradually being destroyed by ongoing burials while the resources available for the rescue of the archaeological data are meagre in comparison to the importance of the findings. The pre- and post-dava habitations will not be discussed here. Even those belonging to the dava period are presented selectively, and based mainly on the observations made during the excavations, as so far the vast majority of the artefacts could not be cleaned, let alone interpreted. What emerged from the 2019–2020 excavations in the cemetery area is that Settlement B was not used exclusively for habitation by commoners, as previously believed, as it had specialized neighbourhoods for public rituals (with large buildings and decorated hearths), possibly iron metallurgy, and certainly wine production and trade. Thus, the dava is a much more complex urban settlement than previously envisaged. These data potentially contribute to a better understanding of the economic, social and political processes that led to the extraordinary achievement that was the formation of the first Dacian state. However, unless urgent measures for preservation and/or research are taken, a large part of the still available information will be lost forever.*

Cuvinte-cheie: *dava, Argedava, vatră decorată, clădire publică, depuneri de corpuri umane, ștampilă epigrafă, imitație de amforă rodiană, balanță de bronz, monedă de tip Vârteju-București*

Rezumat: *Scopul acestui raport preliminar asupra săpăturilor preventive desfășurate în 2019–2020 în Așezarea B a cunoscutei dave de la Popești (jud. Giurgiu) – situl identificat de Radu Vulpe ca Argedava din izvoarele antice – este acela de a atrage atenția asupra nevoii de a modifica imaginea noastră cu privire la structura davei, precum și asupra faptului că zona din sit care este sursa acestor noi informații – respectiv cimitirul satului actual – este distrusă treptat de înmormântări, în timp ce resursele disponibile pentru salvarea informației arheologice sunt disproporționat de reduse după orice standarde, și cu atât mai mult prin comparație cu importanța descoperirilor în discuție. Locuirile pre- și post-dava nu vor fi tratate aici. Chiar și acelea aparținând davei sunt prezentate selectiv și în principal pe baza observațiilor făcute în timpul săpăturii, deoarece, până acum, cea mai mare parte a artefactelor nu au putut fi curățate și deci cu atât mai puțin interpretate. Ce rezultă din săpăturile din 2019–2020 din aria cimitirului este că Așezarea B nu era o zonă utilizată exclusiv pentru locuire de către populația de rând, așa cum s-a crezut anterior, ci avea cartiere specializate pe ritualuri publice (cu clădiri mari și vetre decorate), probabil metalurgia fierului, sigur producție și comerț cu vin. Astfel, dava în întregul său devine o așezare urbană de complexitate mult sporită față de ce s-a știut anterior. Aceste date contribuie la mai buna înțelegere a proceselor economice, sociale și politice care au făcut posibilă extraordinara realizare care a fost formarea primului stat dac. Totuși, dacă nu se vor lua rapid măsuri pentru conservare sau/și cercetare adecvată, mare parte a acestui potențial de informație va fi pierdut.*

INTRODUCTION

The paper presents the key findings of the preventive excavations from 2019–2020 carried out in the *dava* at Popești, identified by Radu Vulpe with Argedava mentioned in the antique written sources (R. Vulpe 1976; A. Vulpe 2004–2005, p. 36; see also Petolescu 2001), to highlight important changes in our knowledge, the ongoing destruction of one of its most significant parts, the disparity between the importance

of this site and the current means of rescuing archaeological data as well as the tasks to be addressed by future archaeological research.

The *dava* at Popești is situated approx. 25 km southwest of Bucharest, on the right bank of the Argeș River, on the roughly triangular, nearly north–south oriented, almost 1 km long and approx. 14 m high promontory that rises from the river’s first terrace (Fig. 1 and 2). It was fortified by three ditches: one cut at the very base of the promontory and the other two parallel to it



Figure 1. Popești. Location (map: Iuliana Barnea).

northwards (Fig. 2). Each of the ditches delimits a sector of the site, called settlement.

Settlement A is situated at the northern end of the promontory, on a 1.42 ha triangular piece of land called by the locals ‘Nucet’. This is the best-known part of the *dava* due to several years of excavations – albeit with many, often lengthy interruptions – between 1954 and 2001. The local name of this spot was given to the entire site. Thus, Popești – Nucet designates the *dava* and not just Settlement A. The latter was much better researched than the other two settlements because the land had no owner and was not in use (the partly filled excavation trenches made it unsuitable for agriculture and limit the areas suitable for grazing) and because it yielded impressive habitation remains from various periods: in reverse order, five layers from the Late La Tène period (ca. 150 BC – ca. AD 6), scattered traces of habitation from the Early La Tène period (4th–3rd century BC), one Middle Hallstatt layer (Basarabi Culture, ca. 800–650 BC), two Early Hallstatt layers (Pre-Basarabi, ca. the 10th–9th century BC), several Late Bronze Age layers (of Zimnicea-Plovdiv/Radovanu type and Fundeni-Govora type, ca. 1350–1200 BC and ca. 1550–1350 cal BC, respectively), and one Early Bronze Age layer (Glina Culture) (Vulpe 2004–2005, p. 22–23). Apart from the Early La Tène and the Glina dwelling remains, the others stand out for their respective epochs as the largest settlements known so far. Of interest here is the *dava* period – *i.e.*, the most recent five layers, labelled from bottom to top as LT II 1–5 (to distinguish them from the LT I deposit of the 4th (possibly also 5th)–3rd century BC: A. Vulpe 2004–2005, p. 23). Their impressive architecture – the building in the shape of a basilica (R. Vulpe, 1959, p. 308–310) and the large workshops occupying together approx. 1,200 m² (A. Vulpe 2004–2005, p. 24), the dense population indicated by the many regular surface houses with adjacent dugouts used as cellars, the large number of objects – many belonging to the luxury category (mainly various imported Hellenistic wares: *e.g.*, R. Vulpe 1959, p. 316, 319; R. Vulpe 1962, p. 459–460; R. Vulpe 1976, p. 75–77; Popescu 2013, p. 202–204 and *passim*, as well

as local imitations of the former: R. Vulpe 1976, p. 75–77; A. Vulpe, Gheorghiiță 1976; Eftimie-Andronescu 1967, Streinu 2016) – made Radu Vulpe define this segment of the *dava* as ‘acropolis’: the place with the ‘palace’ – *i.e.*, the residence of the local *basileus* and the public buildings (R. Vulpe 1957, p. 227; R. Vulpe 1959). Later excavations, carried out under the direction of Alexandru Vulpe between 1976 and 1995 (*e.g.*, A. Vulpe, Gheorghiiță 1981; A. Vulpe 1997; A. Vulpe 2004–2005) and Nona Palincaș in 2000–2001 (Palincaș, Lippert 2003) strengthened this view.

South of Settlement A/Acropolis is Settlement B, a trapezoidal area delimited by the first and the second ditch, and presently occupied by agricultural plots (approx. 1.38 ha) and the village cemetery (1.58 ha). Until recently, this yielded in comparison to Settlement A only modest habitation remains and was considered the residential area of a population of lesser social standing, who probably moved here following the overpopulation of the Acropolis (A. Vulpe, Gheorghiiță 1979, p. 98, 103).

Further south, Settlement C, situated between the second and the third ditch, is presently completely occupied by the houses and gardens of the northern part of the contemporary village. Only discontinuous habitation traces are known from here (R. Vulpe 1955, p. 258; A. Vulpe 2004–2005, p. 19).

In light of the recent preventive excavations carried out in the area of the cemetery, this structure of the *dava* needs to be amended. Also, adequate measures need to be taken to save the *dava* remains in this area from destruction.

HISTORY OF THE RESEARCH IN SETTLEMENT B

The first excavation in Settlement B, of which this author is aware of, was carried out in the 1940s and consisted of a trench dug across the western part of the second defensive ditch to clarify its dating. There is no written record of this first excavation. Its existence was known to A. Vulpe and confirmed by Mircea Petrescu-Dîmbovița during a visit to the site, in 1991: the latter informed A. Vulpe and Nona Palincaș that he conducted this excavation (seemingly together with Eugen Comșa) at the request of Ion Nestor, to whom he then handed the documentation and that it could be established that the ditch had been dug in the La Tène period. Nestor never excavated at Popești and currently, the only explanation for his involvement remains his friendship with D. V. Rosetti, who excavated in Settlement A during 1932–1947.

In 1954, when Radu Vulpe took over the direction of the excavations at Popești, he tried to obtain some information about the plateau south of Nucet and dug a small trench of 10 m × 2 m, close to the church, perpendicular on the eastern slope, in a place then not disturbed by graves. He found the subsoil at only -0.60 m and concluded that this part of the settlement was inhabited only occasionally, probably in times of danger,

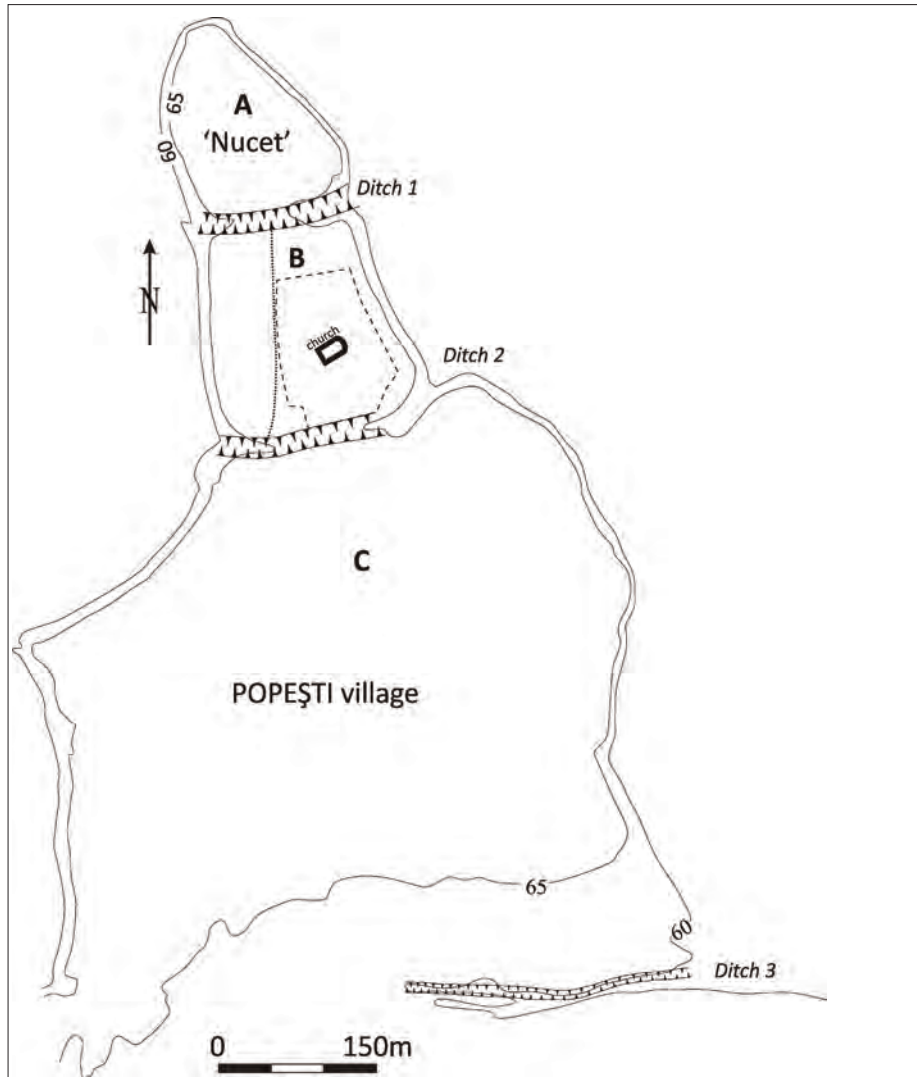


Figure 2. Popești. Simplified topographic plan of the dava with its Settlements A, B (with the church) and C and the three ditches (from A. Vulpe 2004–2005, fig. 2, left, to which the road from the village to “Nucet” and the approximate perimeter of the cemetery were added).

by a refuge-seeking population from the surrounding area (R. Vulpe, 1955, p. 258). In 1957, he excavated two parallel, north-south oriented trenches of 10 m × 1 m and 5 m × 1 m, in front of the church, parallel to the road. Here he found a Late Iron Age deposit that ended at -0.90 m, at the subsoil, quite as in a grave pit 30 m further north-east that he was able to observe while it was dug (R. Vulpe 1959, p. 321). In 1958, he excavated a trench in the southwestern part of the ‘Old cemetery’, oriented north-south, parallel to the road connecting the village to the church, to investigate the northern slope of the ditch. The trench (only ca. 14 m × 1 m and -1.70 m deep) yielded traces of construction activity from the 17th–18th centuries as well as, between -0.40 and -1.40 m, remains of the Late Iron Age deposit that became thinner from north to south and overlapped a thick layer of clay stemming from the construction of the second ditch (R. Vulpe 1961, p. 335, fig. 1).

Systematic and partly published excavations took place in 1976 and 1977, by Alexandru Vulpe and Marieta Gheorghiiță. The 60 × 2 m trench from the first campaign, situated along the road connecting the village church with *Nucet*, which uncovered an archaeological deposit that reached up to -2.00 m in its northern part, had one to three living floors: one dugout was superimposed by a hearth and two levelling layers; five pits – belonging with certainty to the middle and the most recent layer, but possibly also to the earliest one – contained seven human skeletons or parts thereof (A. Vulpe, Gheorghiiță 1979, p. 96, where they are referred to as graves; Fig. 3). In the northern part of the excavated area, there was a layer dated to the 4th (possibly also 5th)–3rd centuries BC, superimposed by a layer resulting from the restoration of the first ditch of the *dava* (i.e., the first ditch was built in the Late Bronze Age [Palincaș 1996; 2000; Fischer 1996; 2000] and was restored when the *dava* was organized). The trench from 1977, measuring 42.5 × 2 m, was situated in the northern

part of the cemetery, oriented east-west, perpendicular to the former, and yielded a deposit extending down to ca -0.80–0.85 m, with two identifiable living floors from the classical La Tène period as well as a possible third one on top – corresponding broadly to the stratigraphy of the 1976 trench, but at shallower depth owing to modern works in the area; underneath, there was also a discontinuous layer from the Early Hallstatt period. To the La Tène habitation belong two dugouts and eleven pits, one of which also contained a crouched human skeleton with detached skull. Fragments of roofing tiles suggested that buildings with tile roofs existed here also. Nevertheless, compared to Settlement A, Settlement B gave a general impression of shorter duration, simpler architectonic remains and rarity of valuable items – despite the large number of artefacts of everyday use quite like those from Settlement A. This is why the excavators argued that Settlement B was inhabited by people of lesser social standing than those in Settlement A, who moved here gradually due to overpopulation of the latter (A. Vulpe, Gheorghită 1979).

Further systematic excavations were carried out in 1991 by Vlad V. Zirra: the 57 × 1.50 m trench situated on the agricultural plot of a local, roughly opposite the main cemetery gate and slightly toward Settlement A, oriented perpendicular to the cemetery fence yielded a 1–1.20 m thick deposit, with two layers containing abundant archaeological material typical of the *dava* period, but with no architectonic remains other than an oven at the eastern end of the excavated area (unpublished; Excavation diary of 1976, 1977 and 1979, p. 29–30, annotated in 1991 by A. Vulpe; V. V. Zirra – personal communication February 2021).

In 2001, during the digging of a grave-pit at the then northwestern limit of the cemetery, the villagers reported finding several large sherds. On checking this location, the present author recovered more pottery fragments and established that between approx. -1.60–1.80 m there was a layer from the Pre-Basarabi period. On top of that layer, there was nothing to indicate any habitation traces. Following this finding, the local priest was asked to notify any digging of new graves in the cemetery, to secure archaeological assistance and prevent the destruction of archaeological remains.

Otherwise, at the end of 2001, the decision was taken to cease systematic research on the site and to focus on the site monograph. No field research took place in the years following since the local priest never reported the excavation of any new grave-pits and, when asked, maintained that there were no more free spaces in the cemetery and that new graves were dug in place of the older ones – a plausible argument for such an old cemetery (the beginning of which was then believed to be contemporaneous with the church – *i.e.*, 1689 –, but later turned out to have been even earlier: Palincaș *et alii* 2010).

New excavations at the site became necessary in 2009 (May, July–September and November) owing to the restoration (strengthening against earthquakes) of

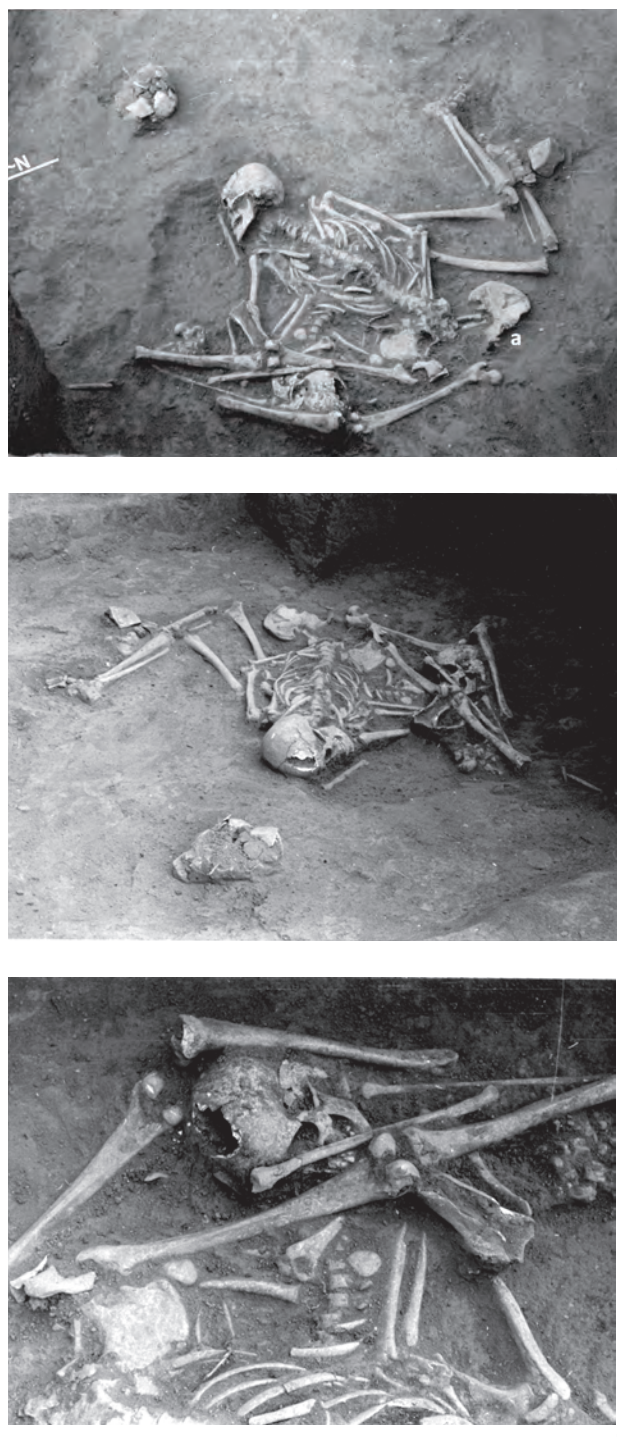


Figure 3. Popești. Settlement B: human skeletons from the 1976 campaign. **a–b)** the superimposed skeletons labelled as Graves 3 and 4 and human skull labelled as Grave 5; **c)** detail of the skeleton labelled as Grave 4, laid underneath the skeleton labelled as Grave 3 (see Vulpe, Gheorghită 1976, pl. 1). Note that the bodies must have been fitted into a container as the bones that preserved some anatomical connections are collapsed to the same level (photo: Alexandru Vulpe).

the church. These were limited to six squares adjacent to the outer part of the church walls, two squares inside the church adjacent to the southern wall of the nave, one transverse trench through the sanctuary and one trench surrounding the outer walls of the narthex and the nave,

totalling 72.34 m² and extending down to between -0.77 and -2.70 m depth, depending on the hardness of the surrounding deposit. The habitation traces datable to the Late La Tène period consisted in only four pits and two dugouts, cutting through the Basarabi and Pre-Basarabi layers into the subsoil and being heavily destroyed by Late Mediaeval–early Modern graves as well as by the construction of the church itself (Palincaș *et alii* 2010).

After 2009 fieldwork was halted once more and the excavation staff returned to working on the site monograph, convinced that the site would remain unchanged. However, in March 2019 Cecilia Dumitrache, owner of a house in Popești, reported the illegal filling of a part of the second ditch. The site visit that followed not only confirmed this illegal modification but identified other irregularities, among which was the digging of a vault pit (west of the Mierlaru grave) in a still *in situ* area in the central part of the cemetery. Legal action was taken, but the only progress so far is that since April 1, 2019, before every new grave and vault pit, preventive excavations are carried out. Although this solution is far from ideal (see below), it nevertheless led – as already mentioned – to important changes in our knowledge about the structure of the *dava*.

A SUMMARY OF THE EXCAVATIONS FROM 2019–2020

Method

Ideally, the cemetery should have been closed and a new burial ground provided for the village, but the parish does not have the money to buy one and the town hall does not have such a plot. The second-best solution would be the excavation of the still undisturbed areas in the cemetery. This solution, unfortunately, is not applicable because of lack of funding: the parish does not have the money for preventive excavations either (the village is small – of the 1,191 villagers recorded in the population census from 2011 [see Popești-Mihăilești in <http://www.recensamantromania.ro/rezultate-2/>] there are now probably only about 800 and a large proportion of them are elderly people with low incomes) and none of the institutions to which this author applied for funding of systematic excavations (Romanian Academy, the Ministry of Culture, the town hall of Mihăilești and the Giurgiu County Council) has so far granted any money. As burials requiring the digging of a new grave (about 15–20/year) and constructions of new vaults (3–4/year) cannot be put on hold until the problem of preventive archaeological research is solved according to the law, the only solution found so far has been to excavate pit by pit in the areas known as undisturbed and to provide archaeological supervision in case of the digging of new grave-pits in the areas with existing graves, to recover artefacts and document profiles through the site in those places where the new and old graves do not coincide exactly and the ancient deposit is still visible on the sides of the new graves.

This provisional solution has important disadvantages. One is the very short duration of the archaeological research: there is usually only one workday for a standard grave-pit, while in the case of vault-pits, the pressure to lower costs forces the excavators to work at a pace that does not allow observations commensurate with the importance of this site. Additional problems occur in the digging of vault pits due to the lack of a labour force: work is sometimes interrupted for many days in a row and/or postponed into the rainy season, which in turn damages the excavated surfaces and inevitably leads to loss of data (Fig. 4). Another disadvantage is the stress on the archaeologists' schedule as they have to carry out the preventive excavations for a pit grave at short notice, from one day (sometimes evening) to the next, at random dates, depending on when somebody dies (by tradition as well as because the village does not have a chapel to house the bodies of the deceased, the local expectation is to bury the deceased on the day following the death or, at most, two days later). To this are often added the discomfort of having to deal with the locals' protests against the increased costs of an unqualified labour force and longer digging time caused by the archaeological work. A further disadvantage is that, under the circumstances, most of the costs other than that of the unqualified labour force (the



Figure 4. Popești. Vault-pit of the Gheorghe family: image of the excavated area at the level of the third living floor, after ten days of interruption caused by lack of labour force and a few October rainy days. Marked spot: approx. 20–30 cm on top of the findspot of the brooch in Fig. 7 (photo: Marian Giurea).

costs of the qualified work, equipment and materials for field documentation, cleaning and primary documentation of artefacts, writing of various reports, often transportation to the site as well, etc.) fall on the project director and the Vasile Pârvan Institute of Archaeology, although legally they should be covered by the landowner. Consequently, it is difficult to find archaeologists willing to put up with these working conditions, especially as there is a general shortage of archaeologists and other preventive excavations offer better work conditions. Furthermore, the excavation has to be limited strictly to the space occupied by the graves and the vaults and cannot be extended to the sometimes exciting undisturbed areas around them, not even if the latter are small – sometimes only between 0.50 and 1 m wide. Thus, on the one hand, the information recovered is highly fragmented and, on the other, the small *in situ* areas between graves remain unsearched, most probably forever, as they become too small to be worth excavating in their own right. Moreover, as the stratigraphy of the La Tène habitation proved to be highly variable from place to place – ranging between two to seven living floors in various parts of the site in unpredictable order –, the observations made during the digging of grave- and vault pits cannot be linked to one another and, consequently, the evolution of the dwelling on the site cannot be reconstructed beyond the general attribution to the *dava* period, as indicated by artefacts. These disadvantages and difficulties notwithstanding, this approach to the problem of the cemetery area is the only solution found so far to avoid further loss of whatever archaeological information has not already been destroyed by the burials and this led to important changes in our view of the structure of the *dava*.

In presenting the excavation results, because the cemetery was never properly parcelled and so far we have not managed to complete a plan of the cemetery, for reporting the location of the excavated areas the name of the deceased will be used in the case of grave pits and of the family in the case of vaults.

Results

The following data are the most representative for Settlement B of the *dava* in the cemetery area.

Architecture

The most surprising discovery was made in the northwestern part of the cemetery, during the digging of a vault pit for the Gheorghe family in 2020 and consisted of remains on five successive living floors, four of which had building remains, including a large decorated hearth (Fig. 5–6 and 10–11).

The excavated area of the vault-pit is a roughly east–west oriented rectangle that measured 2.50 × 2.30 m. Its southern half was nearly completely occupied by a burial from 2010, which left *in situ* only two small, approx. 20 cm wide strips along the western and eastern sides of the

grave-pit. Thus, apart from these two strips, the *in situ* preserved settlement area was limited to the northern half of the vault pit, and measured 2.50 × 1.10 m (widened by approx. 3–5 cm after rain that damaged the exposed excavation area: Fig. 4). The data recovered are presented here from bottom to top, in keeping with the site formation process and with the order used for this site in previous publications (e.g., A. Vulpe 2004–2005, p. 23–24; A. Vulpe, Gheorghită 1979).

From the *first living floor*, immediately above the subsoil was a 15–40 cm thick layer of blackish-brown earth with very small, rare red pigments stemming from small pieces of burnt daub (Fig. 5: LF 1 and Fig. 6/e). This layer contained few artefacts, primarily Late La Tène sherds, very few tiny sherds that could be prehistoric and possibly an iron brooch (Fig. 7, but see discussion below). There are no building remains from this living floor, the only structures that could be seen being pits: one, dug from the following living floor, occupied most of the area and another three, in the northwestern corner, dug from the several overlying living floors so that each new pit contour was smaller than the previous one. The characteristics of this layer – the rare, small pieces of pottery and burnt daub mixed in a thick layer of earth – suggest that there was an interruption in the habitation between the first and the second living floor when the remains of the first living floor were exposed to weathering, or that this was a peripheral dwelling area at this first chronological level.

The *second living floor* is visible in the northern profile (Fig. 5: LF 2), at about -1.07 m depth, at the boundary between squares 1 and 2, due to a strip of dark earth (most probably resulting from the burning of wood), as well as to the slight thermal print underneath it. It was not seen in surface view because the excavation area was damaged by rain during the ten days of interruption of the work (Fig. 4). In the southern profile, continuing into the unexcavated area, there were building remains that could belong to this living floor: two large pieces of a burnt daub screen or fence, one with a concave, discoid protrusion (Fig. 8). Next to them, was a well-preserved little jar, typical of the La Tène pottery in the *dava* (Fig. 9). Nevertheless, because the traces of the second living floor visible in the northern profile are thin and the pits in the north-western corner of the excavated area make it difficult to follow the living floors along the trench profiles, it cannot be excluded that this assemblage belongs to the third living floor.

The *third living floor*, found a few centimetres above the previous one, covering the northern half of the vault pit as well as the eastern and western *in situ* preserved strips, consisted of a hard surface of light-brown earth mixed with yellow clay with a sandy texture (Fig. 5: LF 3 and Fig. 6/d). On different parts of this surface there were pieces of clay vessels – originating from handmade jars, so-called ‘fruit bowls’ (in Romanian ,fructiere’), etc. – broken on the spot as well as a piece of a large, curved roofing tile. In the northwestern corner of the excavated area, there is

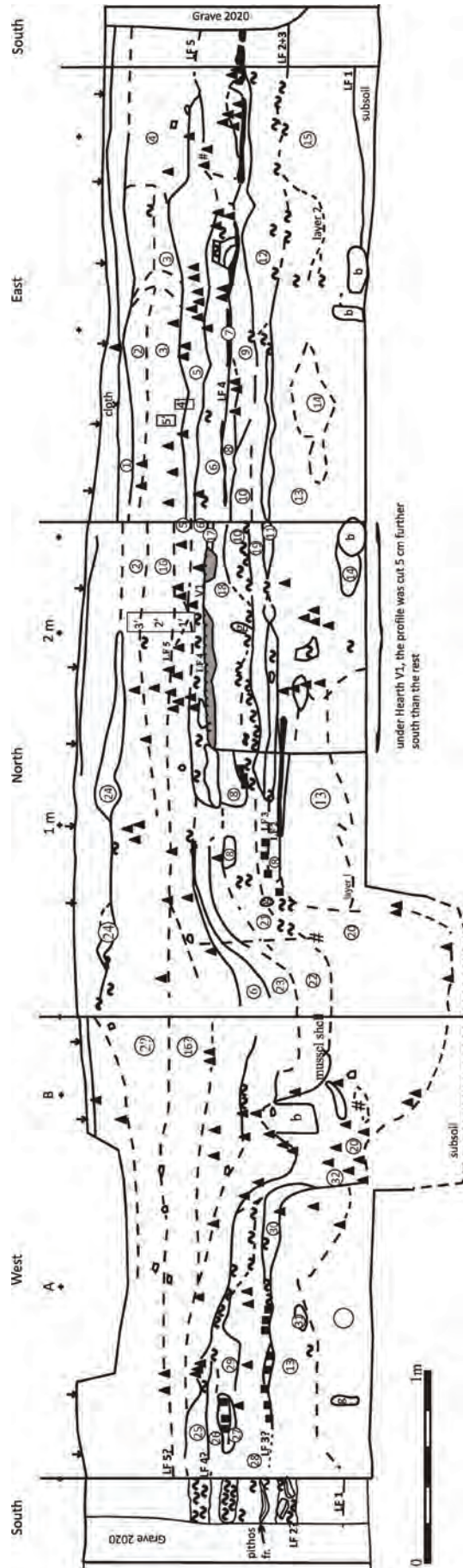


Figure 5. Popești. Vault of the Gheorghe family: profiles (LF – living floor; V1 – Hearth V 1). 1. Topsoil (greyish light-brown clay); 2. Earth similar in colour to no. 1, but with a darker grey shade and coarse texture; 3. Light brown-yellowish, very hard clay, probably from unburned daub wall(s); 4. Blackish light-brown earth; 5. Light-brown earth with greyish-yellowish shade; 6. Layer of small fragments of burnt daub; 7. Layer of black, burnt clay containing a black powder resulted from burnt wood; 8. Brown earth with strips of yellow clay; 9. Like no. 8, but with less yellow clay; 10. Blackish dark-brown earth with clear traces of burning; 11. Layer of numerous small burnt daub fragments; 12. Brown earth with very small red (burnt daub) and rarer yellow (clay) pigments; 13. Blackish brown earth with very rare burnt daub fragments; 14. Yellowish-brown earth; 15. Like no. 12, but with less pigment; 16. Greyish light-brown earth with very rare red pigments; 17. Hearth surface (V1); 18. Clay from the structure of V1 with thermal imprint; 19. Like no. 10, but more blackish; 20. Grey earth with coarse, loose texture; 21. Similar to no. 20, but slightly more yellowish and with very small burnt daub fragments; 22. Reddish-brown earth with loose texture; 23. Yellowish-brown earth with reddish-brown shade; 24. Light reddish-brown earth with yellowish shade; 25. Small, red burnt daub fragment, close to each other, in a medium brown earth; 26. Medium brown earth; 27. Burnt layer with predominant black earth and with burnt daub fragments; 28. Medium brown earth with very small, but relatively dense red pigments; 29. Medium brown earth with coarse texture and very rare and small red pigments; 30. Medium brown and reddish-brown earth with very numerous red and sometimes also black burnt daub fragments; 31. Burrow? (brown earth with very small burnt daub fragments); 32. Yellow clay. Nos 1'-5' – locations of the pedological samples.

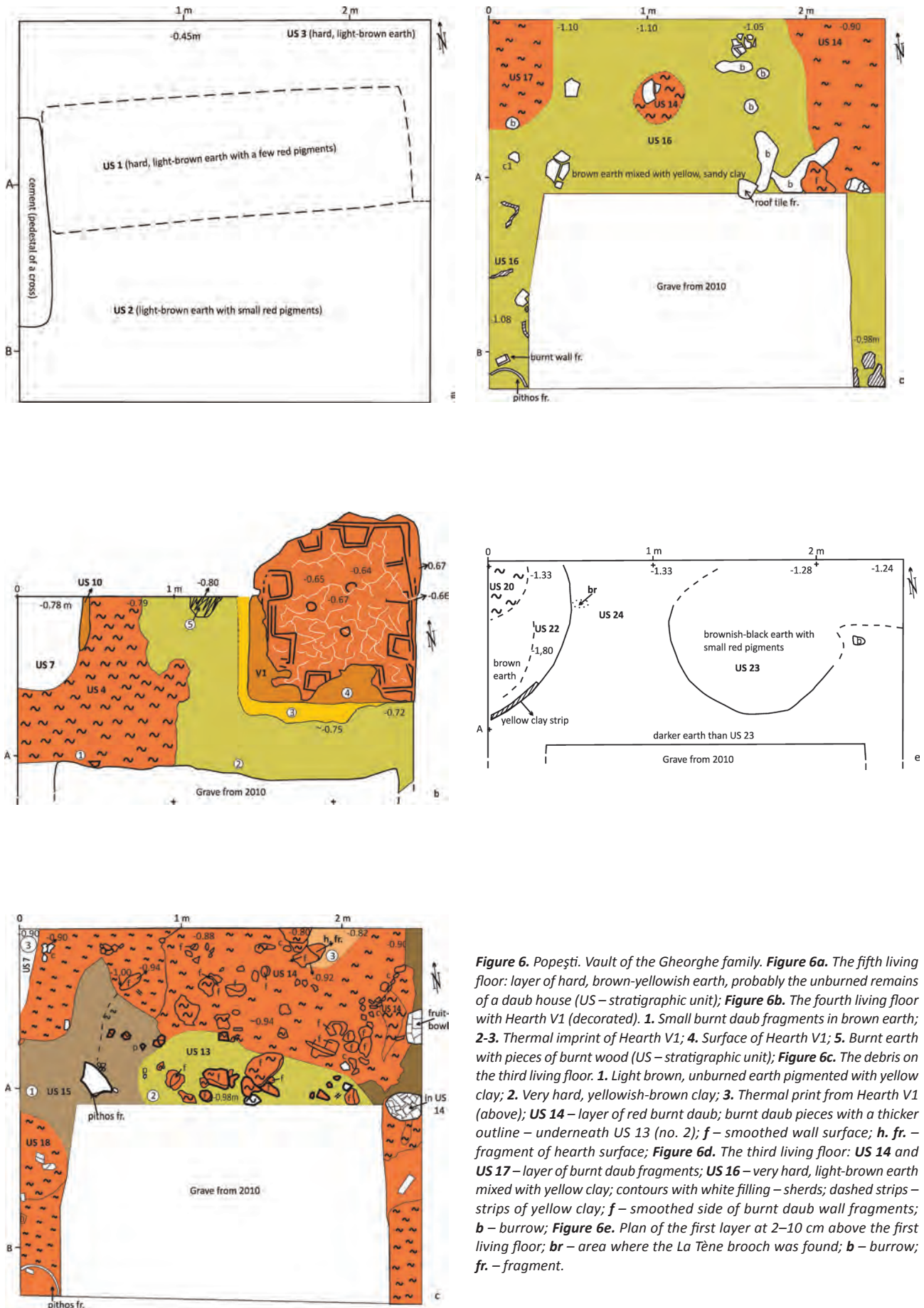


Figure 6. Popești. Vault of the Gheorghe family. **Figure 6a.** The fifth living floor: layer of hard, brown-yellowish earth, probably the unburned remains of a daub house (US – stratigraphic unit); **Figure 6b.** The fourth living floor with Hearth V1 (decorated). 1. Small burnt daub fragments in brown earth; 2-3. Thermal imprint of Hearth V1; 4. Surface of Hearth V1; 5. Burnt earth with pieces of burnt wood (US – stratigraphic unit); **Figure 6c.** The debris on the third living floor. 1. Light brown, unburned earth pigmented with yellow clay; 2. Very hard, yellowish-brown clay; 3. Thermal print from Hearth V1 (above); US 14 – layer of red burnt daub; burnt daub pieces with a thicker outline – underneath US 13 (no. 2); f – smoothed wall surface; h. fr. – fragment of hearth surface; **Figure 6d.** The third living floor: US 14 and US 17 – layer of burnt daub fragments; US 16 – very hard, light-brown earth mixed with yellow clay; contours with white filling – sherds; dashed strips – strips of yellow clay; f – smoothed side of burnt daub wall fragments; b – burrow; **Figure 6e.** Plan of the first layer at 2–10 cm above the first living floor; br – area where the La Tène brooch was found; b – burrow; fr. – fragment.

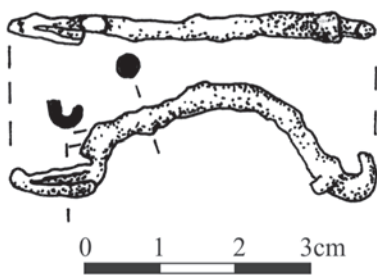


Figure 7. Popești. Vault of the Gheorghe family: iron brooch with frame-catch plate (drawing: Iuliana Barnea).



Figure 8. Popești. Vault of the Gheorghe family: part of a burnt daub fence/screen, in the southern profile (i.e., outside the excavated area), most probably belonging to the second living floor; the dotted line stands for the approximate contour of the broken decorative protrusion.

a pit dug from this living floor, more clearly visible in the northern profile than on the excavation surface (Fig. 5). It contained mainly sherds and fragments of animal bones. Covering this living floor there was a 20–25 cm thick layer of debris consisting of three strata: the lowest, immediately on the living floor, was an approx. 5 cm thick layer of earth mixed with numerous small pieces of burnt daub (Fig. 5: no. 11); its southern part was covered by a hard layer of yellowish-brown clay (Fig. 6/c: US 13), overlain by an approx. 10 cm thick levelling layer of blackish-brown earth with clear traces of burning (Fig. 5: no. 19); the third levelling stratum was a 5–15 cm thick layer of earth similar to the preceding blackish-brown one, but somewhat darker

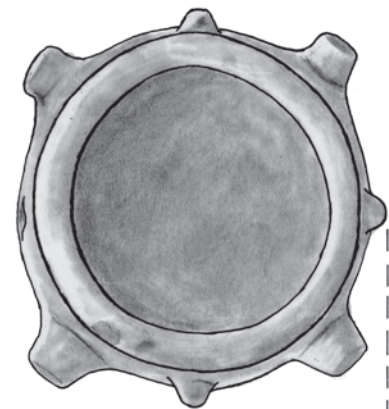


Figure 9. Popești. Vault of the Gheorghe family: jar found next to the burnt daub fence/screen remains (drawing: Iuliana Barnea).

and containing in addition many heavily burnt daub pieces, obviously originating from a large building destroyed by fire (Fig. 5: no. 10; Fig. 6/c and Fig. 10). Most of the larger burnt daub pieces were lying with the smoothed side upwards. Not all of them have been examined so far, but the larger ones certainly bear on the inner side the imprint of approx. 2–2.5 cm thick rods and sometimes also of wooden planks that must have measured at least 10 cm × 2.5–3 cm in cross-section. Some of the pieces had two layers of whitewash, a trait not reported for the basilicas in the Acropolis, but known from some of the ordinary surface houses in Settlement A. This structure was also noticed on the two *in situ* side strips, the only difference being that there the layer of debris consisted of smaller burnt daub pieces (Fig. 6/c). Close to the northern profile, among the debris, there was also one dislocated piece of hearth-surface decorated with a groove, but since no corresponding thermic print could be identified (that visible in Fig. 6/c clearly stems from above and cannot belong to the hearth-surface fragment in question), this hearth-surface fragment could either originate from a



Figure 10. Popești. Vault of the Gheorghe family; the debris on the third living floor. Note that the northern profile visible in this photo is slightly different from that in Fig. 5, as this photo was taken before the profile was destroyed by the rain and had to be cut anew (photo: Cătălin Voivozeanu).

hearth in this layer that was somewhere close by but not in the excavated area, or from a hearth dislocated from a previous layer.

This debris layer with large pieces of wall was covered with a 10–15 cm thick layer of brown earth with a high content of yellow clay, the upper part of which formed a hard surface that is the following – *i.e.*, the *fourth* – living floor (Fig. 6/b). In the northeastern corner of the excavated surface, there was a decorated hearth, approx. 1 sq. m of which was in the excavated area; the rest, amounting to approx. 1/3 of its surface, was extracted by digging a hole in the north profile at the end of the excavation campaign (Fig. 5: V1; Fig. 6/b and 11).

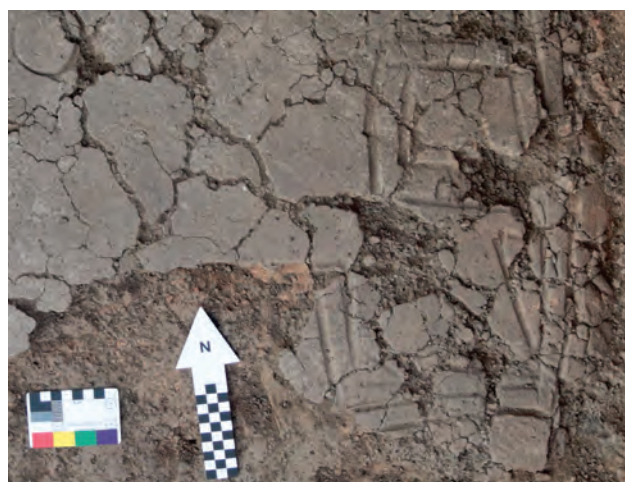
The hearth had the shape of a roughly regular, rectangular truncated pyramid measuring 1.32 × 1.16 m at its base (measured at the outermost traces of its burnt remains); the top was raised by approx. 10 cm and measured approx. 1.20 × 1 m (because of the unequal burning of the sides, a certain degree of approximation of the dimensions is inevitable). The upper surface of the hearth was decorated along its edges with two lines forming approximately concentric rectangles on the inner side of which were a total of eight squares – two on each side of the hearth –, with a double contour of



a



b



c

Figure 11. Popești. Vault of the Gheorghe family: a) hearth V1; b–c) details of decoration technique (photo: Cătălin I. Nicolae).

which at least one line was linking each square to the preceding and succeeding ones; in the central area, there were three circles, one of which is, in fact, a large circle sector as it has a partly flattened contour. The circular motifs were obtained by pressing into the wet clay an object with a circular outline which left a 4 mm wide groove. The linear motifs bear, in several places, traces in the shape of a section through a cone indicating that the head of a nail-like utensil was used to obtain the straight lines; the latter are 8–10 mm wide, depending on how much pressure was applied to the nail during decoration (Fig. 11/b–c). Taken as a whole, the pattern is so far unique among the decorated hearths known from Dacia (see, e.g., R. Vulpe 1952, p. 194, fig. 3; R. Vulpe 1955, p. 245; R. Vulpe 1959, p. 308–309, fig. 7; S. Morintz, Rosetti 1959, p. 29, fig. 10; Makiewicz 1976; Trohani 1975, p. 158, fig. 2; Trohani 1986; Turcu 1979, p. 85, fig. 11; Trohani 2005, p. 17, fig. 23; Alexandrescu 1980, fig. 58/2–3; Șerbănescu *et alii* 2009; A. Morintz 2013; Matei, Măgureanu 2014, p. 222, fig. 5/1; Buzoianu, Bărbulescu 2008, p. 64; Sîrbu *et alii* 2020, p. 182; fig. 4; Șerbănescu, Schuster 2020); nevertheless, it bears a certain similarity both in terms of motifs (circle and lines that could stem from a rectangle) and the relative dimensions of the grooves with a piece of hearth-surface found dislocated in Settlement A, with the difference that the latter has the two motifs positioned very close to each other (R. Vulpe 1957, fig. 18/2). Unlike the other decorated hearths found in Settlement A/Acropolis, where the motifs, whether more or less complex, are symmetrical and the stages of the manufacturing process were not visible (or at least not recorded as such), the decoration of Hearth V1 is irregular in terms of the contours of the motifs, and the places where the utensil was pressed into the wet clay to draw the lines are easy to see (Fig. 11/b–c). Thus, the general image conveyed by Hearth V1 is that it was decorated by an inexperienced person. Interestingly, the orientation of Hearth V1 seems very similar to that of the hearths in Settlement A – *i.e.*, roughly N–S (more precisely, measured was the eastern section of the vault-pit as this seemed parallel to the southern half of the eastern margin of V1; its orientation was NNW 6275 ‰ – SSE 3075 ‰ on a compass with 6400 ‰, corresponding to NNW 353° – SSE 173°, without including the local magnetic declination, which at the period was positive and of 5°57': <https://www.magnetic-declination.com/locations.php?cc=RO&alpha=p&p=21>).

At 0.90 m west of Hearth V1, adjacent to the northern profile, a 5–8 cm wide and 35 cm long, *in situ* burnt clay strip was found (Fig. 6/b: US 10). At first, it was believed to be the remains of a thin, inner daub wall that burned together with the rest of the building and the excavator tried to find its intact base – *i.e.*, the wall with its smoothed faces. The strip came off in small pieces and unfortunately, the decision to observe whether the faces of the daub pieces were orientated in a way consistent with an *in situ*

wall was not taken at the time, so we do not have this kind of observation. In any case, the distribution of the colours in the section through the strip indicates that its upper and western sides were exposed to air during burning, while the core and the other sides were not. As it is too small both in depth (ca 6 cm) and length (c. 35 cm, ending immediately before the new northern profile: Fig. 5) and was situated at the very limit of the pit at the northwestern corner of the excavated surface, it may have been a strip of clay that reinforced the inner side of that pit (similar to the clay strip in Fig. 6e).

The end of the dwelling corresponding to this living floor came about through fire. The burnt daub pieces covering it were considerably smaller than those of the previous phase. On top of Hearth V1 in the area beyond the northern profile, this debris layer contained, among others, a nearly entirely preserved wheel-made strainer (Fig. 12) and a large part of another small, also wheel-thrown vessel.

The next – *fifth* – living floor is less visible. Because of time pressure, the layer that presented itself as relatively hard earth with no identifiable structure had to be dug by spade. After scraping, no more than a slight colour difference was noticed on the ground, but there was no time to sprinkle water on it in the hope of identifying a clearer structure (e.g., Roskams 2001, p. 111). During the restoration of the excavated profiles following destruction by rain, an approx. 25 cm thick layer of compact, hard clay became visible in the eastern half of the northern profile continuing for approx. 1.20 m in the eastern profile (Fig. 5: nos. 2–3, 16). This layer is consistent with the contour seen on the plan in Fig. 6/a and it most probably represents the unburned remains of daub walls. It does not have the yellow-greenish coloration typical of unburned daub walls, resulting

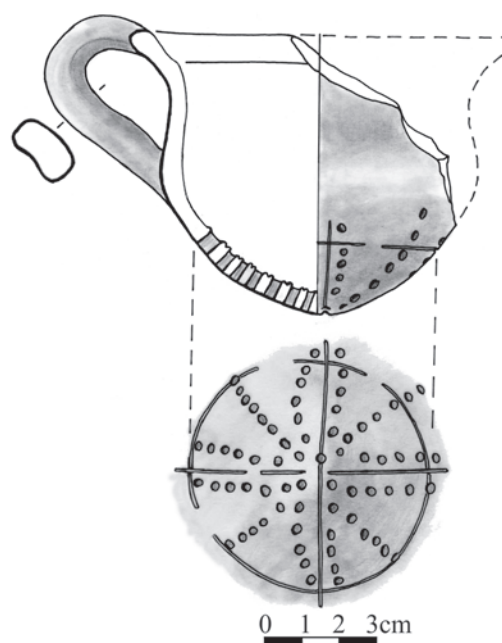


Figure 12. Popești. Vault of the Gheorghie family: wheel-made strainer from the debris level covering Hearth V1 (drawing: Iuliana Barnea).

from the decay of chaff (Haită 2003, p. 30), but it comes close to it and in addition, it also has a shade of brown, which could indicate a high content of organic material (Haită 2003, p. 29). This colour is most probably due to the shallow depth – *i.e.*, the stronger impact of recent vegetation and various activities (including the use of strong herbicides) carried out over the years in the area. Pedological analysis (Fig. 5: nos. 1'–5') may show whether this layer resulted from an unburned daub wall, but it is certainly the result of an architectural feature of some type, the shape of which cannot be determined as it exceeded the excavated area and was largely destroyed by the surrounding vaults.

This latter, hard clay layer was superimposed by two other layers, representing most probably an earlier and a more recent layer of topsoil, totalling approx. 20 cm in thickness.

Summing up, what is certain so far is that the debris found in this area must stem from at least one large building, if not from several, rebuilt four times on approximately the same spot. This can be deduced from: the spatial distribution of the debris, visible in all four excavated profiles at the level of each living floor; the large pieces of burnt daub of the third phase indicating a minimum width of the walls of 15 cm; the large hearth that required a certain distance to the closest walls so that they would not catch fire while the hearth was in use. What is not certain is whether Hearth V1 was internal or situated outside, in an open court of a large building or between buildings. The presence of the hardened floor of yellow clay around V1 might indicate an indoor location, though not certainly. The characteristics of the debris and the presence of a large decorated hearth suggest a building or buildings with public functions rather than mere dwellings.

Little is still *in situ* around the excavated area: in particular, towards the south, there is an approx. 1 m wide strip of land that is still undisturbed, but, whether future excavation will locate at least one wall that would help us reconstruct at least one side of this building and help establish the position of Hearth V1, is unpredictable. Nevertheless, the excavation of this area is notable for the recovery of the large pieces of daub screen or fence with the protruding conic decoration (Fig. 8) – an architectonic element unknown so far from Getic buildings.

The dugout is another architectural feature found in Settlement B, mostly in earlier excavations. They exist in most areas of Settlement A, except for the 'palace' area – *i.e.* the south-eastern corner, where the basilica and the large workshops are situated. While in Settlement A it could be shown that they were adjacent to surface houses and were used as cellars, in Settlement B their function (dwelling or cellar) was not determined so far. In the recent campaigns, the only dugout that could be identified with certainty was found in the northwestern part of the cemetery (in the area of the Vault of Dumitru Cristea, in 2019). It was situated in the

northwestern corner of the vault pit, only partially within the excavated area, occupying approx. 1.90 × 0.75 m of the latter and had an approximately rectangular shape, with a 22 cm wide posthole in its northeastern corner. Despite the rather large quantity of artefacts present in its several layers of filling, in the absence of their full analysis, it cannot be said whether it belonged to the *dava* period or the Late Mediaeval habitation also present in the area and which destroyed much of the pre-existing deposit. Whether the very deep deposit found in the area of the Popa and Vasile Vault is part of a dugout or derives from surface living floors cannot be established with certainty owing to the small dimensions of the excavated area (Fig. 13).

Pits were also found in various places, some of them so deep that they could not be fully excavated for safety reasons (Fig. 13: Gr. 4 and Fig. 14). Most of them contained large quantities of sherds and animal bone fragments and their function remains to be established.

Economy: crafts, maintenance activities and trade

Approx. 10 m east of the vault of the Gheorghe family, in the area of 2.30 × 1.30 m occupied by the grave of Ion Matei (labelled during excavation as Dumitru Matei), the archaeological deposit amounted to a total thickness of 1.50 m and consisted of four layers to which belonged four pits. No traces from other periods were present. Important here is that, apart from potsherds, the pits also contained pieces of iron slag, indicating that this area could have been close to that where iron implements were produced. Iron slags are not known from Settlement A.

A very well-represented artefact category is pottery, used in maintenance activities, crafts and trade, but also in politics (see wine production and consumption below). Remarkably frequent are sherds of large, red pithoi, found in virtually all the excavated places in the cemetery: sometimes the base sherds were still *in situ* in a specially made, characteristic pit (Fig. 13 and 15; Palincaș *et alii* 2020, fig. 3), often rearranged several times in a row on the same spot (Fig. 13); in most cases, the sherds are scattered among other artefacts in the layers (Fig. 5: LF 3 and Fig. 6/c–d). Exceptionally, one layer contained fragments that would most probably amount to an entire pithos (in the Vault for the Popa and Vasile families).

Well represented in the sherd assemblage are fragments of both imported amphorae as well as their locally produced imitations. One imported amphora was preserved entirely in a pit, in an upright position (in the Vault West of Mierlaru). Nevertheless, the vast majority are highly fragmented and mixed with sherds from other vessel types. Among the imported ceramics there is also a fragment of a *skyphos*, a variant of a Pergamon *skyphos* produced in the West Pontic Greek city-states (Fig. 16; determined by Mariana Cristina Popescu). It was found dislocated in the filling of the grave that preceded that of Gheorghe Macovei from 2020.

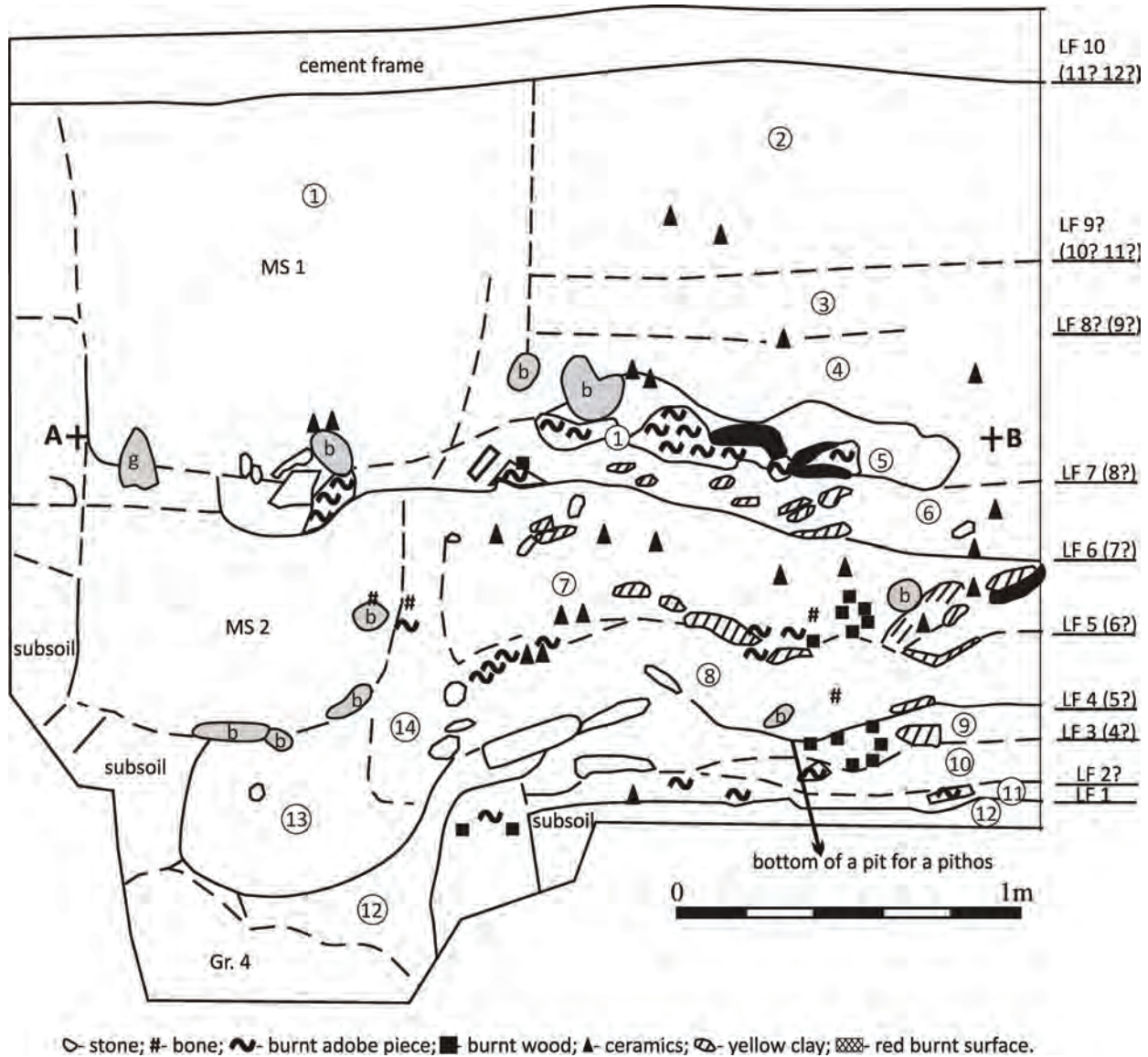


Figure 13. Popești. Vault of the Popa and Vasile families: profile with pithos pits repaired at least four times. 1. Yellowish light-brown earth (filling of Grave MS 1); 2. Light-grey earth with very rare and small red pigments; 3. Brown earth with very small red and buff pigments (small clay inclusions); 4. Like no. 3, but with somewhat larger pigments; 5. Slightly reddish-brown earth with red and black (burnt wood) pigments; 6. Brownish-yellow earth with numerous inclusions of slightly burnt (orange) and unburned (yellow) earth; 7. Slightly reddish-brown earth with black (burnt wood) and red pigments; 8. Brownish-yellow earth with numerous inclusions of yellow earth; 9. Brown earth with fragments of burnt wood; 10. Brown earth with hardly any pigments; 11. Brown earth; 12. Subsoil; 13. Dark brown earth with rare red pigments; 14. Buff earth. Red pigments are small pieces of burnt daub and ceramics. LF – living floor; fr. – fragment.

Among the usual utensils related to maintenance activities, the most remarkable are the grindstones, found in large pieces in the eastern, central and southern parts of the cemetery area (the Grave of Constantin Nițu, the Vault West of Mierlaru, the Cornea Vault), at least one of which is made of a pink, poorly sorted, micro-conglomerate, cochiliferous, with quartz granules and ferruginous or carbonate cement (in the Cornea Vault; identification of rock by Constantin Haită). None of the fragments found so far belong to the Greek type of grindstone (as in R. Vulpe 1959, fig. 8), all being of the rather traditional, simple shape.

While digging the grave of Elena Gheorghe, roughly in the centre of the area between the church and the northern limit of the cemetery, a thin, bronze balance scale bar with one suspension ring at each end was found (Fig. 17). It is thin and light (length = 18.8 cm; maximum diameter = 0.4 cm; weight = 9.6 g), longer and typologically different from the other balance scale bars known so far – see Cățelu Nou (Leahu 1965, p. 61, fig. 37/8) and Poiana (Rustoiu 1996, p. 67, fig. 13/6). It could have been used either for the manufacturing of small metal objects, as suggested by Rustoiu for the other pieces (1996, p. 67), or pharmaceutical measurements.



Figure 14. Popești. Grave of Maria Necula: on the limit of the excavation, two pits can be seen continuing further down; they remained unexcavated for safety reasons (the ladder is 3 m high).

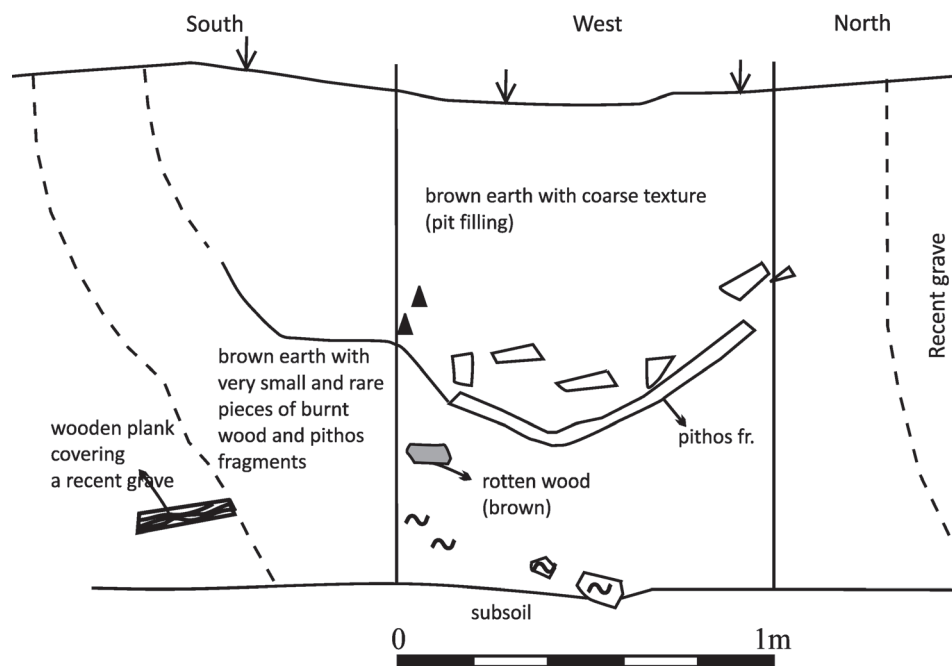


Figure 15. Popești. Grave of Mariana Sandu: in situ bottom of a pithos. Wavy line – burnt daub fragment; angular signs – larger potsherds; black triangle – small potsherd; fr. – fragment.

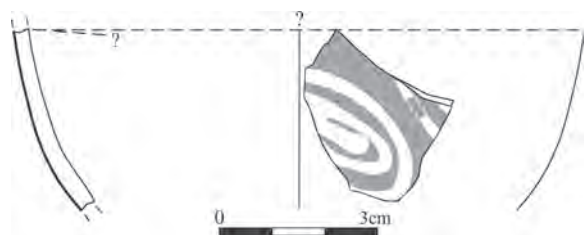


Figure 16. Popești. Grave of Gheorghe Macovei: skyphos fragment: a) drawing (by Iuliana Barnea) and b) photograph.

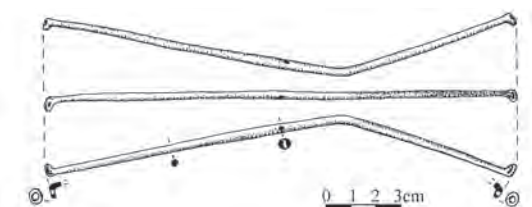


Figure 17. Popești. Grave of Elena Gheorghe: bronze balance scales (drawing: Iuliana Barnea).

Clues for dating

As already mentioned, the artefacts recovered are still far from being analysed, but those that were noticed during excavation as relevant for dating are singled out here: a Vârteju-București coin, a locally produced amphora handle with an epigraphic stamp, a few clay vessels and an iron brooch.

At the easternmost limit of the cemetery (the grave of Constantin Nițu), in a formerly *in situ* area, in a La Tène pit (labelled as Gr. 1) containing La Tène sherds and fragments of animal bones, there was also a coin of Vârteju-București type (2.19 × 2.06 mm; 5.9 g; Fig. 18). No archaeometric analyses were carried out so far, but the presence of a thick layer of green oxide on its surface suggests that, quite like the other pieces of the type, this also has a small silver title. Generally, these coins are dated to approx. 130–80/70 BC (Preda 1973,



Figure 18. Popești. Grave of Constantin Nițu: a) obverse and b) reverse of the Vârteju-București type coin found in Pit 1.

p. 238, 245), but whether this particular coin got into the pit during the period it was in general use – and thus the pit from the Nițu grave was contemporaneous with layers LT II 1–3 from Settlement A (Preda, Palincaș 2004–2005, p. 78, 81) – or later, cannot be established with certainty.

The handle of a locally imitated Rhodian amphora with an epigraphic stamp with Greek writing that reads Δί<ο>ννος on the first line and Πυθο<δ>ώρου on the second was found in an *in situ* area excavated for the Vault of George Cornea, on the second Late La Tène living floor from the bottom upwards. The stamp dates to the late 3rd century BC, more precisely 220–206 BC, and its dating is compatible with that of the handle according to the typology of the genuine Rhodian amphorae (dated by Alexandru Avram; see Palincaș, Avram, *forthcoming*). Amphorae were often reused (see, e.g., Panagou 2016, p. 313, and cited literature; for an example from Popești: R. Vulpe, 1957, fig. 13/4) so that it cannot be specified how much time elapsed since this one was produced until it got into the debris of the layer where it was found. Also, it cannot be established whether the preceding layer is the earliest of the *dava* in Settlement B. Nevertheless, the dating of this stamped amphora handle could suggest that the *dava* in Settlement B was founded already at the very beginning of the 2nd century BC, as the pottery does not allow an earlier dating. This raises the question of whether the beginning of Settlement A of the *dava* was correctly dated: the amphora with the epigraphic stamp that was in use in Rhodes around 150 BC – on which the date of 150 BC for the beginning of Settlement A was based – could have been brought to the *dava* at Popești decades after the foundation of the latter – a possibility neglected by the earlier discussions about dating (Preda, Palincaș 2004–2005, p. 78). At the same time, given this stamp of Dionnos, son of Pythodoros, it cannot be excluded that Settlement B was founded earlier than Settlement A.

During the excavation of the vault-pit for the Gheorghe family, a fragment of a brooch with frame-catch plate was found (Fig. 7). It belongs to type 6a of Rustoiu (1997, p. 39), which is the same as type 49 of Zirra (2017, p. 80–82); the latter subdivided the type according to the characteristics of the spring, but as this is mostly missing in our piece, the attribution to variant is not possible. The type is dated to the 1st century BC by Rustoiu (1997, p. 39), and to the 1st century BC, possibly continuing into the 1st century AD

by Zirra (2017, p. 81–82). Unfortunately, its stratigraphic position is not certain. The notes and measurements made during the excavation (approx. 60 cm east of the western profile and 25 cm south of the northern profile, at approx. -1.40 m, in stratigraphic unit 18) place the brooch in the layer overlying the first living floor, about 10 cm east of the limit of the pits from the north-western corner of the excavated area. As the content of these pits was already partly emptied at the time of the excavation of the layer itself, the two should not have mixed. Doubts concerning the findspot arose from the fact that the layer was dug by spade, in a 30-cm spit, by the only worker present, while this author, the only archaeologist on the site, recovered the artefacts from the earth thrown out by the worker. The brooch was recovered at the very moment it was thrown out by spade, but a degree of imprecision as to the findspot could not be avoided. Also, the photograph of the rain-damaged surface (Fig. 4) shows a disturbance in the area (a possible animal burrow) that was not visible at the level of the third living floor, when we interrupted the work (comp. Fig. 6/d to Fig. 4), and it cannot be excluded that the brooch was found in this disturbed spot and thus does not belong to the earliest layer in the area (Fig. 5).

The jar found next to the daub screen or fence of the second (or third?) living floor from the Gheorghe vault-pit area (Fig. 9) is very frequent in all layers of Settlement A (with the highest frequency in LT II 2); it belongs to type 1 of jars after Trohani and is datable from the middle of the 2nd century BC to the end of the 1st century AD (Trohani 2008, p. 201–202).

The strainer found in the debris layer covering the decorated hearth V1 (Fig. 12), in the area beyond the vault-pit (when digging out the northern part of the hearth), belongs to type 1 by Sebastian Matei and dates broadly to the 2nd–1st centuries BC (Matei 2010, p. 95–96).

The aforementioned *skyphos* fragment, found dislocated (Fig. 16), dates to the 1st century BC – 1st century AD (dating by Mariana Cristina Popescu), and is thus the latest datable artefact found so far.

DISCUSSION

The *dava*: structure, functions and chronology

Until now it was believed that Settlement A of the *dava* differed from Settlement B in terms of structure, function and chronology. Settlement A was known as the sector 1) with the palace of the local ruler, where the public buildings were located and public rituals took place (hence the name of Acropolis given by R. Vulpe 1957, p. 227, fig. 1), situated 2) close to large workshops, and 3) otherwise occupied by surface houses each possessing a dugout used as a cellar, 4) inhabited by high-ranking Getae with access to luxury objects, mostly Hellenistic imports, and 5) dated between ca. 150 BC and the beginning of the Common Era; while Settlement B was one with 1) no public

buildings, 2) no large workshops, 3) with, probably, pit houses, 4) inhabited by lower-ranking people, only rarely possessing valuable objects, and 5) who moved here from the Acropolis, due to the overpopulation of the latter – *i.e.*, it was founded later than Settlement A. The common elements of the two settlements were mainly limited to the use of the same types of mundane artefacts (pottery, iron utensils, etc.) and the presence of human body- or body part-depositions in pits (for the attribution of human bodies from Settlement A to the *dava* period see A. Vulpe, Gheorghită 1979, p. 96, 98).

The 2019–2020 excavations, with all their limitations, showed that Settlement B must have been similar in several ways in structure and function to the Acropolis or at least that the differences were less radical than previously believed. Settlement B also had at least one large, public building, most probably used for rituals but also perhaps for other gatherings (Fig. 19), while rituals – at least some of them – may have had some common elements in the two settlements as they entailed large buildings with decorated hearths and depositions of human bodies and body parts. Secondly, Settlement B seems to have had at least one workshop (for iron metallurgy), most probably near to the public building. The third trait, that of the characteristics of regular houses, is difficult to discuss at this stage: the lack of clear association of surface houses with dugouts in Settlement B could be due to the narrow excavated areas, while the lack of any analysis of the content of the dugouts prevents us from deciding whether they were regular dwellings or only cellars. The fourth trait – *i.e.*, the wealth of the population as measured by the number of luxury items – could also depend on the state of research on Settlement B, given that, to the Thasos tetradrachms found in 1976–1977 (A. Vulpe, Gheorghită 1979, p. 96–98), in 2019–2020 other valuable items were added: a considerable number of (fragments of) imported amphorae and a fragment of a *skyphos*.

One of the widely discussed traits of the dwelling in Settlement A that needs considering in relation to Settlement B is the presence of pottery of Hellenistic influence, both direct imports as well as Getic imitations. Imported Hellenistic clay vessels are primarily transport amphorae (mostly from Rhodes, many from Kos, etc.), but also hemispherical cups decorated with reliefs and other types of vessels, indicating import of Aegean wine (albeit seemingly not in large quantities) as well as the adoption of certain fashionable Hellenistic pottery and, ultimately, culinary taste (Eftimie-Andronescu 1967, p. 416; R. Vulpe 1976, p. 76; Opaïț 2013, p. 22–24, 27, 50). Among the Getic imitations of Hellenistic clay wares are transport amphorae (mostly Rhodian) (R. Vulpe 1976, p. 76; Opaïț 2013, p. 25–26; Streinu 2016), relief-decorated hemispherical cups (A. Vulpe, Gheorghită 1976; Popescu 2000) and wheel-made, red fired, large pithoi (*e.g.*, R. Vulpe 1961, p. 328; R. Vulpe, 1976, p. 76; Opaïț 2013, p. 49–51). These three categories are so numerous at Popești that it has long been argued that there must have been a local

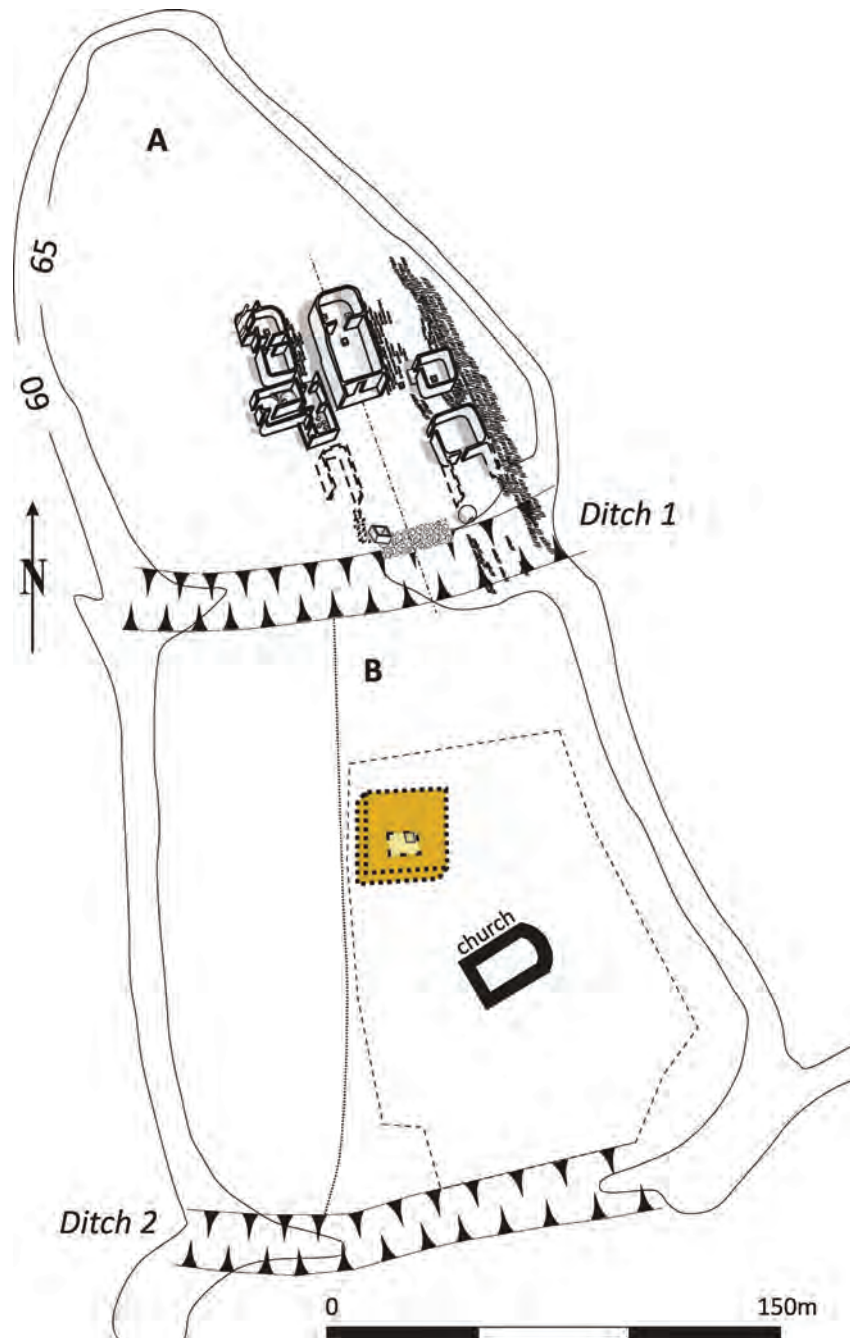


Figure 19. Popești. Tentative reconstruction of the areas with public buildings. With colours: approximate location of the building(s) remains with the decorated hearth and other architectonic La Tène elements unearthed in 2020. The rest: combined from Vulpe 2004–2005, fig. 2, left and fig. 7, which reproduces the axonometry by Dinu Antonescu 1978.

centre of production (for amphorae: Eftimie-Andronescu 1967, p. 401, n. 1; A. Vulpe, Gheorghită 1986, p. 47, 50, pl. IV, for a possible subsidiary production centre at Schitu-’La Rotundu’, approx. 15 km from Popești; for hemispherical cups with relief decoration: A. Vulpe, Gheorghită 1976, p. 180; Conovici 1978, p. 165; for pithoi: Opaiț 2013, p. 49). More recently, other aspects of Hellenistic influence were added. One is the likely presence of Greek potters as deduced from the technological knowledge necessary for the production of large pithoi and the use of Greek

letters to mark some of them (Opaiț 2013, p. 49; at the same time, Egri’s idea that the typically Mediterranean motifs on the earliest relief-decorated hemispherical cups and the probable direct learning of the mould-casting technique [Egri 2014a, p. 238] are the results of direct contact between Greeks and Getae needs further proof). The other is the acclimatization of the grapevine of East Mediterranean origin as deduced from the large number of imitation amphorae, explicable only through the need to store and transport locally-produced wine that could

be kept for more than a year – a quality that the local grapevine could not have had (Opaïț 2013, p. 28–29). What was stored in pithoi is still under debate (e.g., Matei 2010, p. 37–38, for Getic contexts suggests various liquids such as wine, water, milk and pickles, and only exceptionally grains; Stolba 2007, p. 157, referring to Greek contexts, considers pithoi as vessels used primarily for wine fermentation) and amphorae were certainly used for many commodities (Panagou 2016, Table 5, identified 35 different uses, as varied as wine, olive oil, water, fish products, nuts, fruit, resin/pitch, etc.; *pace* Opaïț 2013, p. 23, who restricts their content to wine, oil and fish). Nevertheless, it is generally agreed that the most frequent use in both cases was wine (Opaïț 2013, p. 23–27 and *passim*; for Greek contexts, see, e.g., Stolba 2007; Panagou 2016), so that Settlement B appears as an area of large-scale wine preparation, storage, consumption and trade. The same could be said of Settlement A with the only difference that in the latter there are instances of pithoi found in groups (R. Vulpe 1959, p. 310, fig. 5). More important than these similarities and differences are the data that the cemetery area could provide on the role of wine production in the development of Getic economy and politics as it was argued that the production of local high-quality wine is part of a process of transition from a subsistence economy to one that produces and markets surpluses (Opaïț 2013, p. 29) and that wine played an important role in feasts and, consequently, in the prestige and consolidation of the power of local *basilei* (Opaïț 2013, p. 41–42, 51). Yet, in Transylvania wine was scarce, always imported via or from the outer Carpathian regions and seemingly confined to the most privileged. Even so, it seems to have played a role in feasting and consolidation of the power of local rulers (Egri 2014b, p. 60–61). The organization of Getic wine production is particularly important in this context. The distribution of the many pithoi- and amphora fragments in the cemetery area at Popești indicates that probably different households participated in this large-scale wine production. Alongside the organization of other crafts in this *dava* (ceramics- and iron production) as well as rituals, the analysis of wine production and circulation can contribute to an understanding of the social organisation and political negotiations that ultimately led to the formation of the first Geto-Dacian state. This intertwining of crafts, trade and politics suggests that heterarchical relationships were important in Dacia alongside hierarchy (for the concept of heterarchy and case studies see, e.g., Kohring, Whyne-Jones 2007; Crumley 2015). Nevertheless, this social complexity is poorly researched and, consequently, it is too early to decide whether the Dacian society of the 1st century BC was hierarchical as opposed to heterarchical – as suggested by Rustoiu and Ferencz (2018, p. 128).

As to the fifth trait by which Settlements A and B were compared – that is the chronology of Settlement B, and its foundation in particular – the most important question is how do the layers identified in various parts of the cemetery correlate internally as well as with the

layers in Settlement A. As noted in the campaigns of 1976–1977 and 1991 in the areas close to the cemetery, the bulk of material recovered from the excavations is typical of the 2nd–1st centuries BC, and – at least in the absence of detailed analysis – does not allow more refined dating. A. Vulpe's and Gheorghiiță's (1976) statement that Settlement B came into being following the overpopulation of Settlement A is a mere impression based on how they interpreted the data then available. From the 2019–2020 excavations, it emerges that the habitation in Settlement B was of much longer duration than previously believed, as the thickness of the archaeological deposits and the many superimposed living floors show. The Greek stamp of Dionnos, son of Pythodoros, on the handle of the imitated Rhodian amphora suggests that Settlement B was founded at the same time as Settlement A or even earlier, but it does not provide an exact chronological marker as the dating depends on how long the vessel has been in use. The Vârteju-București coin (Fig. 18) places the pit in Settlement B at the chronological level of the first three (LT II 1–3) or at least of the second and third living floors (LT II 2-3) in Settlement A, but there is no way to ascertain that it did not get into the pit at a later time. On the other hand, the iron brooch with frame-catch plate has not been found anywhere in contexts earlier than the beginning of the 1st century BC so that this date becomes a *terminus post quem* for the earliest of the series of large buildings in the area with a decorated hearth, but only assuming the brooch belongs indeed to the first dwelling layer in Settlement B (which is not certain, as argued above). In short, so far there are no strong arguments to support or reject A. Vulpe's and Gheorghiiță's opinion that Settlement B was founded after Settlement A. If the earliest habitation in Settlement B is proven to have been contemporaneous with that in Settlement A, the implication is that the *dava* did not start in a small area like that in Settlement A and expanded over time, but was laid out as a large urban settlement from the beginning.

In sum, what is argued here based on the 2019–2020 preventive excavations, is not that we should imagine Settlement B as having the same structure and functions as Settlement A/the Acropolis and that this was not previously noticed owing to the narrow trial trenches that accidentally fell between the major habitation remains. Rather, what we found in various parts of the cemetery area necessitates replacing the earlier image of the *dava* at Popești as one composed of the Acropolis in Settlement A surrounded by the modest dwelling quarters of the commoners in Settlement B, with that of a complex urban settlement in which both Settlement A and B had neighbourhoods specialized in different crafts, participating in long-distance trade and had large buildings where public rituals and possibly gatherings took place. The earlier excavations in Settlement B must be interpreted in light of this new image rather than considered of little relevance. Much work is needed to understand the details of these neighbourhoods and how they were articulated in the complex structure of

the *dava*, but advancing with this research will certainly help us understand the remarkable achievement that was the formation of the first Dacian state.

The archaeological research in the cemetery area

From the description above it emerges that, unfortunately, most archaeological data from the cemetery area is lost forever because those who by law should have monitored activity in the cemetery and take legal action failed to do so promptly. In part, this reflects the lack of appropriately-qualified personnel in the Giurgiu County Department for Culture and the lack of interest of the mayor and staff of the town hall (before 2000 the town hall employees were mostly locals and aware of the existence of this important site, but by 2019 hardly anyone was a local and only a few knew that the site existed and then not from first-hand experience, but from the Internet).

Why the excavation team did not notice the situation is not easy to explain, at least for the period before 2000 when the previous excavation directors were still living. Part of the explanation surely rests in the shortage of archaeologists and funding for excavations and primary documentation of the findings – perpetual issues in Romanian archaeology –, which directed the attention of the staff towards the difficulties of processing the data for the site monograph series, but there were also other context-dependent reasons. One can only guess that in the 1950s and early 1960s, when the Communist Party showed a keen interest in archaeological research and the director of excavations was Radu Vulpe, he focused on the Acropolis, with its rich finds, and neglected the cemetery because in his trial excavations he found only slight traces of habitation and, at that time, most burials were made in the southernmost part of the cemetery area, known at that time as ‘The old cemetery’. Also, Radu Vulpe was not on the best of terms with the Communist authorities, so it is possible that he considered he could not do more for the site than he had. Settlement A remained the main area of interest also for Alexandru Vulpe, site director between 1976 and 2000, although in this period the cemetery expanded from the ‘old cemetery’ closer to its present-day dimensions. As presented above, the longitudinal and transverse profiles he obtained for Settlement B in 1976–1977 and 1991 – from which that in 1977 was placed in the northern part of the cemetery – yielded an archaeological deposit that was far less rich than that in Settlement A and was getting thinner toward the south. This, given the small team and limited funding, may not have been tempting enough compared to what excavations in Settlement A had to offer. However, A. Vulpe recognized that Settlement B was quite densely inhabited in the *dava* period (A. Vulpe, Gheorghiuță 1979, p. 95, 98). Here, one has to recognize his cultural-historical orientation – *i.e.* his interest in linking archaeological data to the information provided by the antique texts – and his rather limited interest in a more anthropologically oriented

archaeology, which made him pay less attention to the habitation traces of the commoners, as Settlement B was believed to be. Moreover, he was more concerned with how to organize the restoration, primary documentation and interpretation of the huge quantities of data and the writing of the site monograph series than with the site itself. Importantly, soon after 1988, when he managed to assemble an excavation team, everyone’s attention was diverted from the wider problems of the site because of inner tensions due to different excavation techniques and skills and to unequal allotment of tasks, including those related to the site monograph. By 2000, when the present author became site director, a variety of old and newer problems had arisen. Under the circumstances, a new approach was taken: after finishing a project handed down by A. Vulpe (the excavation of a well in Settlement A, a technically challenging enterprise given the topographic configuration of the site: Palincaș and Lippert 2003; Palincaș 2011, p. 213), and reminding the local priest of his legal obligation to request archaeological assistance for every new burial (which until 2001 seem to have occurred at a rate of approx. 3–4/year, and rarely any during the excavation campaigns), the fieldwork was halted and the effort focused on the primary documentation and publication of the site monograph series. The new project director’s specialization in prehistoric archaeology (*i.e.*, the pre-*dava* habitations) and the need to conduct research to international standards – around 2000 the vast majority of Romanian archaeologists worked in a paradigm about 40 years behind the mainstream archaeology (*e.g.*, Palincaș 2003; 2004–2005; 2006a; 2006b; 2010; see also Anghelinu 2004; Niculescu 2004–2005) – diverted her attention from the changes in the field, while the only member of the excavation team working on the La Tène settlement (George Trohani) focused on the publication of the pottery. The excavations from 2009 did not change this approach to the cemetery area as the La Tène remains were not impressive and, more importantly, they were heavily affected by mediaeval construction works. Another, unforeseen factor, made worse the situation on the site: the local population had aged and the number of burials increased, taking up free space in the northern part of the cemetery, previously used for small-scale agriculture.

Thus, by 2019, the site had been altered in several ways, among which the extension of the area used for burials and the filling of the western part of the second ditch (first, to build an asphalt road and then to extend the agricultural plot of a local) are the most damaging changes.

OUTLOOK

Given the importance of the remains of the Getic *dava* from the cemetery area, action is needed urgently to prevent destruction and conduct field research. If opening a new village cemetery and halting activity in the current one – *i.e.*, the best solution at present – is not possible,

then funding for excavations – in whatever legally possible form – should be granted by the relevant authorities: the Ministry of Culture, the town hall in Mihăilești, Giurgiu County Council, according to the Monument protection law 422/2000 and the Romanian Academy, according to its statutes (Statutes of the Romanian Academy, Art. 6: 1-2, 4). Even if funding were available, the task of carrying out such an excavation would be difficult, given the shortage of archaeologists with relevant expertise, the shortage of a labour force for the less specialised tasks, and the inevitable time pressure on an excavation in an intensively used area that would not allow many technically advanced observations (*e.g.*, reconstruction of activity areas by analysing botanical remains or soil chemistry: Chernysheva *et alii* 2015; Hodgkinson, Lelek Tvetmarken 2020, etc.). Until the implementation of either of these solutions, the field research has to be carried out in much the same way as in 2019–2020 – *i.e.*, with grave-pit excavations announced from one day to the other and limited to one workday, and vaults excavated under extreme time pressure whilst neglecting the *in situ* areas around them. And this with even less institutional support than before: for the next three years, one of the archaeologists who helped with the excavations is not permitted to continue, by order of the director of the Institute of Archaeology – a loss that is important especially as he happens to be the only team member with a car – an important asset at all times, let alone during the COVID-19-crisis. At the same time, the other participating archaeologist is a member of another excavation team. Moreover, apart from the problem of the cemetery area outlined above, many other issues need to be resolved on the study site. The site needs to be given legal protection, and the local police need to prevent ground interventions by treasure hunters as well as car races on the slopes of Settlement A; Settlement B needs to be cleared of the trash that has been dumped there; an illegal building in the second ditch needs to be demolished; the earth with which a local filled the western part of the second ditch needs to be removed – tasks that fall, according to Romanian law, to the mayor, who nevertheless does not fulfil them so that constant supervision of the site and much paperwork is needed on the part of the project director. Furthermore, preventive excavations will be needed in Settlement C for the installation of gas pipes, whenever a new house, outhouse, etc., is built. And it is worth highlighting that these would be the first archaeological excavations to be carried out in Settlement C and would provide the first information on this part of the *dava*. In parallel with this field- and paperwork, the much-awaited monograph series of the site needs to be prepared for publication.

ACKNOWLEDGEMENTS

I wish to thank my colleagues Mr Cătălin I. Nicolae and Mr Dorin Sârbu for their help with the excavations at Popești and their outstanding professional ethics. I offered them co-authorship of this paper, but the former felt unable to participate in the specialist discussion in this paper

as it is outside his area of expertise, and the latter declined on account of the limited amount of work he did so far. I am also indebted to Dr Mariana Cristina Popescu for the data on the *skyphos* fragment, to Prof. Alexandru Avram (†) for dating the stamped amphora handle, to Mrs Iuliana Barnea for help with the illustrations, to Mrs Ileana Zahariade and Ms Georgiana Mureșan for restoration of some of the artefacts as well as to my colleagues, Dr Raluca Iosipescu and Dr Andrei Măgureanu, to chief inspector Silvia Stan from the Giurgiu County Police Department and to Mr Cătălin Voivozeanu for help with the site on several occasions. I am particularly thankful to Prof. Clive Bonsall for annotating the text.

REFERENCES

- Alexandrescu 1980 – A. D. Alexandrescu, *La nécropole gète de Zimnicea*, Dacia NS 24, 1980, p. 19–126.
- Anghelinu 2004 – M. Anghelinu, *Evoluția gândirii teoretice în arheologia românească. Concepte și modele aplicate în preistorie*, Târgoviște, 2004.
- Buzoianu, Bărbulescu 2008 – L. Buzoianu, M. Bărbulescu, *Albești. Monografie arheologică. I*, Constanța, 2008.
- Chernysheva *et alii* 2015 – E. V. Chernysheva, D. S. Korobov, T. E. Khomutova, A.V. Borisov, *Urease activity in cultural layers at archaeological sites*, JAS 57, 2015, p. 27–31.
- Conovici 1978 – N. Conovici, *Cupele cu decor în relief de la Crăsani și Copuzu*, SCIVA 29, 1978, 2, p. 165–183.
- Crumley 2015 – C. L. Crumley, *Heterarchy*, in: R. Scott, S. Kosslyn, *Emerging trends in the social and behavioral sciences*, Hoboken (NJ), 2015, p. 1–14, doi: 10.1002/9781118900772.etrds0158.
- Eftimie-Andronescu 1967 – V. Eftimie-Andronescu, *O ștampilă pe o amforă de producție locală cu imitarea literelor grecești*, SCIV 18, 1967, 3, p. 401–421.
- Egri 2014a – M. Egri, *Desirable goods in the Late Iron Age – The craftsman's perspective*, in: S. Berecki (ed.), *Iron Age Crafts and Craftsmen in the Carpathian Basin. Proceedings of the International Colloquium from Târgu Mureș, 10–13 October 2013*, Bibliotheca Musei Marisiensis. Seria Archaeologica 7, Târgu Mureș, 2014, p. 233–248.
- Egri 2014b – M. Egri, *Mediterranean wine and Dacian conviviality. Ancient and Modern Myths and archaeological evidence*, in: C. N. Popa, S. Stoddart (eds), *Fingerprinting the Iron Age. Approaches to identity in the European Iron Age. Integrating South-Eastern Europe into the debate*, Oxford (UK) – Havertown (PA), 2014, p. 49–62.
- Fischer 1996 – C. Fischer, *Probele ¹⁴C din valul de epoca bronzului de la Popești, jud. Giurgiu*, SCIVA 47, 1996, 3, p. 289–295.
- Fischer 2000 – C. Fischer, *Die ¹⁴C-Daten aus dem bronzezeitlichen Wall von Popești (Jud. Giurgiu)*, in ArchKorr 30, 2000, 2, p. 227–229.
- Haită 2003 – C. Haită, *Sedimentologie și micromorfologie. Aplicații arheologice*, Târgoviște, 2003.
- Hodgkinson, Lelek Tvetmarken 2020 – A. K. Hodgkinson, C. Lelek Tvetmarken, *Approaches to the analysis of production activity at archaeological sites*, Oxford, 2020.
- Kohring, Whynee-Jones 2007 – S. Kohring, S. Whynee-Jones (eds), *Socializing complexity. Structure, interaction and power in archaeological discourse*, Oxford, 2007.
- Leahu 1965 – *Săpăturile arheologice de la Cățelu Nou*, CAB 2, 1965, p. 11–74.
- Makiewicz 1976 – T. Makiewicz, *Oltarze I "paleniska" ornamentowane z epoki żelaza w Europie (Ornamented altars and "firebeds" from the Iron Age in Europe)*, Przeglądu Archeologicznego 24, 1976, p. 103–193.
- Matei 2010 – S. Matei, *Ceramica geto-dacică din nord-estul Munteniei (sec. II a. Chr. – I p. Chr.)*, unpublished PhD thesis, University of Bucharest.
- Matei, Măgureanu 2014 – S. Matei, D. Măgureanu, *Public space – private space in the dava of Cărlomănești, Buzău County*, Mousaios 19, 2014, p. 219–240.
- Morintz 2013 – A. S. Morintz, *On a possible function of the geto-dacian decorated hearths*, in: C. Schuster, O. Cîrstina, M. Cosac,

- G. Murătoareanu (eds), *The Thracians and Their Neighbors in the Bronze and Iron Ages. Proceedings of the 12th International Congress of Thracology, Târgoviște, 10th–14th September 2013*, vol. 1: *Settlements, Fortresses, Artifacts*, Târgoviște, 2013, p. 255–267.
- Morintz, Rosetti 1959 – S. Morintz, D. V. Rosetti, *Din cele mai vechi timpuri și până la formarea Bucureștilor*, in: I. Ionașcu (ed.), *Bucureștii de odinioară, în lumina săpăturilor arheologice*, București, 1959, p. 11–47.
- Niculescu 2004–2005 – Gh. A. Niculescu, *Archaeology, nationalism and 'The History of the Romanians' (2001)*, *Dacia* NS 48–49, 2005–2005, p. 99–124.
- Opaiț 2013 – A. Opaiț, *Producția și consumul de vin în ținuturile dintre Carpați și Marea Neagră (secolele II a. Chr. – III p. Chr.). Unele considerații*, *SCIVA* 64, 2013, 1–2, p. 21–65.
- Palincaș 1996 – N. Palincaș, *Valorificarea arheologică a probelor ¹⁴C din fortificația aparținând Bronzului târziu de la Popești, județul Giurgiu*, *SCIVA* 47, 1996, 3, p. 239–288.
- Palincaș 2000 – N. Palincaș, *Archäologische Auswertung der 14C – Proben aus einer späbronzezeitlichen befestigten Siedlung von Popești (Rumänien)*, *ArchKorr* 30, 2000, 2, p. 209–226.
- Palincaș 2003 – N. Palincaș, *Asupra cauzelor nerestructurării cercetării în arheologia românească*, in: *Perspectivă ale interdisciplinarității în arheologia românească, Masa rotundă de la Târgoviște 23–24 mai 2003, organizat de Facultatea de Științe Umaniste a Universității "Valahia", Târgoviște și de Muzeul Național de Istorie a României, Târgoviște, 2003*, rezumat: p. 28–30.
- Palincaș 2004–2005 – N. Palincaș, *Social Status and Gender Relations in Late Bronze Age Popești. A plea for the introduction of new approaches in Romanian archaeology*, *Dacia* NS 48–49, 2004–2005, p. 39–53.
- Palincaș 2006a – N. Palincaș, *On Power, Organisation and Paradigm in Romanian Archaeology before and after 1989*, *Dacia* NS 50, 2006, p. 7–56.
- Palincaș 2006b – N. Palincaș, *Conceptul de cultură arheologică și gândirea normativă. Notă scrisă pentru arheologia românească de azi*, *SCIVA* 57, 2006, p. 159–185.
- Palincaș 2010 – N. Palincaș, *Conceptul de cultură și diversele direcții în arheologie*, in: M. Petrescu-Dîmbovița, A. Vulpe (coord.), *Istoria Românilor*, vol. I, București, 2010, ed. 2, p. 53–58.
- Palincaș 2011 – N. Palincaș, *The archaeological site at Popești (Co. Giurgiu) at the crossroads between research, conservation, and public archaeology*, *Caiete ARA* 2, 2011, p. 209–215.
- Palincaș, Lippert 2003 – N. Palincaș, A. Lippert, *Ausgrabungen eines latènezeitlichen Brunnens von Popești (bei Bukarest, Rumänien)*, *Archäologie Österreichs* 14, 2003, 2, p. 59–63.
- Palincaș et alii 2010 – N. Palincaș, D. Sârbu, C. E. Ștefan, *Popești, oraș Mihăilești, jud. Giurgiu, Punct: Biserica "Sfânta Treime"*, CCA, campania 2009, <http://www.cimec.ro/Arheologie/cronicaCA2010/cd/index.htm>, No. 176.
- Palincaș et alii 2020 – N. Palincaș, C. I. Nicolae, D. Sârbu, *Popești, oraș Mihăilești, jud. Giurgiu*, CCA, campania 2019, p. 500–503.
- Palincaș, Avram (forthcoming) – *A Greek stamp on a handle of an imitation Rhodian amphora found in the North-Thracian dava at Popești, north of the Danube (forthcoming)*.
- Panagou 2016 – T. Panagou, *Transport amphoras and their contents*, in: S. Drugu, M. Giannopulu, Ch. Kallinē (eds), *Ēchadin: timētikos tomos gia tē Stella Drugu*, vol. II, Atena, 2016, p. 313–334.
- Petolescu 2001 – C. Petolescu, *Originea numelui râului Argeș*, *Argessis* 10, 2001, p. 21–23.
- Popescu 2000 – C. Popescu, *Original și imitație în cultura materială a geto-dacilor. Boluri cu decor în relief*, *Angustia* 5, 2000, p. 235–294.
- Popescu 2013 – C. M. Popescu, *Hellenistic and Roman Pottery in Pre-Roman Dacia*, București, 2013.
- Preda 1973 – C. Preda, *Monedele geto-dacilor*, București, 1973.
- Preda, Palincaș 2004–2005 – C. Preda, N. Palincaș, *A tetradrachms hoard from Settlement 'A' at Popești, district Giurgiu*, *Dacia* NS 48–49, 2005–2005, p. 77–98.
- Roskams 2001 – S. Roskams, *Excavation*, Cambridge Manuals in Archaeology, Cambridge, 2001.
- Rustoiu 1996 – A. Rustoiu, *Metalurgia bronzului la daci (sec. II î. Chr. – sec. I d. Chr.). Tehnici, ateliere și produse de bronz*, București, 1996.
- Rustoiu 1997 – A. Rustoiu, *Fibulele din Dacia preromană (sec. II î. e. n. – I e. n.)*, București, 1997.
- Rustoiu, Ferencz 2018 – A. Rustoiu, I. V. Ferencz, *Burebista at the Banat's Danube. Archaeological and historical data regarding the evolution of settlements in the Iron Gates region in the 1st century BC*, *Banatica* 28, 2018, p. 123–149.
- Sîrbu et alii 2020 – V. Sîrbu, N. Conovici, I. Cernău, *Sacred area in the Dacian dava from Crăsani de Jos – Piscul Crăsani (Ialomița County)*, in: V. Sîrbu, A. Peșan (eds), *Temples and Cult Places from the Second Iron Age in Europe. Proceedings of the 2nd International Colloquium "Iron Age Sanctuaries and Cult Places at the Thracians and Their Neighbors"*, Alun (Romania), 7th – 9th May 2019, Alun, 2020, p. 179–207.
- Statutes of the Romanian Academy – Statutul Academiei Române: Monitorul Oficial nr. 617/14 sept., 2009 (http://www.cdep.ro/pls/legis/legis_pck.http_act_text?id=101044).
- Stolba 2007 – V. F. Stolba, *Local Patterns of Trade in Wine and the Chronological Implications of Amphora Stamps*, in: V. Gabrielsen, J. Lund (eds), *The Black Sea in Antiquity: Regional and Interregional Economic Exchanges*, Aarhus, 2007, p. 149–159.
- Streinu 2016 – A. Streinu, *Revisiting some regional amphora imitations discovered at Popești from the Bucharest Municipality Museum Collection*, *RCAN* 2, 2016, p. 111–126.
- Șerbănescu, Schuster 2020 – D. Șerbănescu, C. Schuster, *Getae cult places and objects in the Lower Argeș River Basin (Romania)*, in: A. Peșan, V. Sîrbu (eds), *Temples and Cult Places of the Second Iron Age in Europe*, Alun, 2020, p. 283–320.
- Șerbănescu et alii 2009 – D. Șerbănescu, C. Schuster, A. S. Morintz, *Despre vetrele-altar din dava de la Radovanu – Gorgana a doua, jud. Călărași, România*, in: A. Zanoci, T. Arnăuț, M. Băț (eds), *Studia archaeologiae et historiae antiquae, Chișinău. Doctissimo Viro Scientiarum Archaeologiae et Historiae Ion Niculiță, anno septuagesimo aetatis suae, dedicatur*, Chișinău, 2009, p. 245–254.
- Trohani 1975 – G. Trohani, *Raport asupra săpăturilor arheologice efectuate în așezarea geto-dacică de la Vlădiceasca, jud. Ilfov, în anul 1973*, *CA* 1, 1975, p. 151–175.
- Trohani 1986 – G. Trohani, *Influences hellénistiques dans la décoration des âtres géto-daces*, *Ancient Macedonia* 4, 1986, p. 661–666.
- Trohani 2005 – G. Trohani, *Locuirea getică din partea de nord a Popinei Bordușani (com. Bordușani, jud. Ialomița)*, vol. I, Târgoviște, 2005.
- Trohani 2008 – G. Trohani, *Aperçu sur les vases conteneurs des géto-daces en Muntenie*, *CCDJ* 25, Theme issue in: A. Avram, V. Lungu, M. Neagu (eds), *Filiis Xarin. Mélanges à la mémoire de Nicolae Conovici, Călărași*, 2008, p. 195–223.
- Turcu 1979 – M. Turcu, *Geto-dacii din Câmpia Munteniei*, București, 1979.
- Vulpe, A. 1997 – A. Vulpe, *Săpăturile de la Popești: Prezentarea campaniilor 1988–1993*, *CA* 10, p. 163–172.
- Vulpe, A. 2004–2005 – A. Vulpe, *50 years of excavations at the pre- and protohistoric site at Popești*, *Dacia* NS 38–39, 2004–2005, p. 19–37.
- Vulpe, Gheorghiuță 1976 – A. Vulpe, M. Gheorghiuță, *Bols à reliefs de Popești*, *Dacia* NS 20, 1976, p. 167–198.
- Vulpe, Gheorghiuță 1979 – A. Vulpe, M. Gheorghiuță, *Șantierul arheologic Popești, com. Mihăilești, jud. Ilfov. Raport preliminar asupra rezultatelor din campania anilor 1976–1977*, *CA* 3, 1979, p. 95–104.
- Vulpe, Gheorghiuță 1981 – A. Vulpe, M. Gheorghiuță, *Șantierul arheologic Popești-Mihăilești, jud. Giurgiu. Raport preliminar asupra rezultatelor din campaniile anilor 1978–1979*, *CA* 4, 1981, p. 58–65.
- Vulpe, Gheorghiuță 1986 – A. Vulpe, M. Gheorghiuță, *Săpăturile arheologice din anii 1980, 1982 și 1983 din stațiunea getică de la Popești, com. Mihăilești, jud. Giurgiu*, *CA* 8, 1986, p. 43–51.
- Vulpe, R. 1952 – R. Vulpe, *Șantierul Poiana*, *SCIV* 3, 1952, 1, p. 191–230.
- Vulpe, R. 1955 – R. Vulpe, *Șantierul arheologic Popești – raport preliminar*, *SCIV* 6, 1955, 1–2, p. 239–269.

- Vulpe, R. 1957 – R. Vulpe, *Șantierul arheologic Popești (reg. București, r. Mihăilești)*, MCA 3, 1957, p. 227–246.
- Vulpe, R. 1959 – R. Vulpe, *Șantierul arheologic Popești*, MCA 6, 1959, p. 307–324.
- Vulpe, R. 1961 – R. Vulpe, *Șantierul arheologic Popești*, MCA 7, 1961, p. 321–338.
- Vulpe, R. 1962 – R. Vulpe, *Șantierul arheologic Popești (r. Drăgănești-Vlașca, reg. București)*, MCA 8, 1962, p. 457–461.
- Vulpe, R. 1976 – R. Vulpe, *Argedava*, in: R. Vulpe, *Studia thracologica*, București, 1976, p. 69–79.
- Zirra 2017 – V. V. Zirra, *Fibule de schemă La Tène din România*, Craiova, 2017.

Internet sources:

<http://www.recensamantromania.ro/rezultate-2/> – Populația stabilă pe județ, municipii, orașe și localități componente la RPL 2011 (last view: April 12, 2021).

<https://www.magnetic-declination.com/locations.php?cc=RO&alpha=p&p=21> – Find the magnetic declination at your locality: Romania (last view: April 12, 2021).

LESBOS WINE: ΟΙΝΟΣ ΑΥΘΙΓΕΝΗΣ OR REGIONAL VINTAGE SPREAD THROUGHOUT THE LESBIAN SPHERE?

Pierre DUPONT

ArAr Lab, Maison de l'Orient, Lyon; e-mail: pierre.dupont15@orange.fr

Keywords: Lesbos wine, Lesbian amphoras, archaic period, determination of origins

Abstract: Judging from chemical results obtained on some 68 samples of archaic Lesbian amphoras both from Lesbos itself (Mytilene, Methymna, Eressos et alii) and from overseas sites (viz. Abdera, Istros, Berezan, Nadlimanskoe and Olbia) and in comparing them with chemical pottery references of the Lyon Lab data bank for both Lesbos and Eastern Greece, it appears that less than ca. one third of them only – consisting of various grey ones only – were manufactured on the island, for most of them in the western part of it. The remaining part of ca. two thirds clearly originated from outside the island, mostly from the Troad / Hellespontus sphere, judging from comparisons with our available references for these areas. It is first of all the case for most the so-called Lesbian red jars, except one part of them from an unknown centre (distinct from Thasos as erroneously put forward by Clinkenbeard). Consequently, Lesbian wine-label would rather correspond to a single vine species or blend of various ones than to a strictly delimited vineyard.

Cuvinte-cheie: vin de Lesbos, amfore tip Lesbos, epoca arhaică, determinarea originilor

Rezumat: În urma comparării rezultatelor analizei fizico-chimice, realizate pe un număr de 68 de eşantioane de amfore tip Lesbos, provenind atât din insula Lesbos (Mitilene, Methymna, Eressos ș.a.), cât și din alte situri din afara acesteia (Abdera, Istros, Berezan, Nadlimanskoe, Olbia), cu datele de referință ale Laboratorului de Ceramologie din Lyon pentru Lesbos și Grecia de Est, se evidențiază o idee principală. Din totalitatea eşantioanelor de amfore analizate, cca o treime, în principal cele gri, par a fi produse pe insulă, mai ales în partea occidentală a acesteia, restul de două treimi părând a fi confecționate în exterior, cea mai mare parte în sfera Troada/Hellespont. Este cazul, mai ales, al tipului „fractional red” al lui B. Clinkenbeard, care s-a dovedit a fi un produs exterior insulelor Lesbos și Thasos. În consecință, vinul numit „de Lesbos” ar putea defini nu neapărat produsul unei anumite podgorii, ci ar corespunde, mai degrabă, unei regiuni mai extinse, conținând soiuri și cupaje diverse.

The complex lineage of transport amphoras of Lesbian types still raises today keen questions of origin, despite several previous scientific approaches¹.

The Lyon Lab data bank for Eastern Greece includes 231 samples from various parts of the island of Lesbos², among them 26 of various archaic transport amphoras of Lesbian types, viz. 18 from Mytilene and eight from Methymna. Our range of samples from the island also includes a set of undifferentiated fragments of “recent amphoras” (*sic* recorded !) collected in 1986 during a survey conducted by M. Picon (†), but without any mention of the places of sampling left in the lab archive; however, according to the pieces of information provided by the ephoreia, two main areas were concerned, which included some remains of kilns: one at the eastern part of the Gulf of Geras and the other in the northern bank of

the Gulf of Kalloni³. For comparative tests, a supplementary group of 42 samples of archaic jars of Lesbian types was analysed from several overseas sites, viz Abdera (14), Istros (20), Berezan (5), Nadlimanskoe (1) and Olbia (2).

The data processing began with the internal classification for Lesbos itself combining both clay samples, amphoras of Lesbian types and associated pottery finds. Among archaic amphoras only, four main representative clusters stood out from it, viz.:

- A first homogenous one associating a group of grey wares, all of them collected from various sites of western Lesbos (Methymna, Eressos, Antissa and Pyrrha), together with six fragments of Lesbian jars from Methymna, all of a variant with beige clay and dark grey core. Although most

¹ Jones 1986, p. 281–282, 740; Clinkenbeard 1982; 1986; Whitbread 1995, p. 154–165; Domingo, Johnston 2003, p. 31–32, 35–36, 42–43, 47: 2a, 48: 2b; Dupont 2011; 2019, p. 42, 46–49.

² In comparison with the situation of the 60's (see Hampe, Winter 1965, p. 147–151) or even late 70's (see Psaropoulou 1984, esp. p. 165–167, 178, 184, 199, 202, 206), some modern potters' workshops are still operating in the NE part of the island, at Mandamados town and beach (alias Haghios Stefanos), the latter being specialized in the manufacture of cooking-wares. For that reason, their products were

restricted to 10 samples only, which revealed a rather irrelevant chemical pattern.

³ These two locations might have been partly inspired by such modern contributions as Simandiris 1896, p. 31: “La vigne n'est actuellement cultivée qu'aux vallées de Calloni et Eressos et en partie sur les collines de Plomari”. However, except in the case of the triad Mytilene-Methymna-Eressos, already well attested in antiquity, the surroundings of both Kalloni and Geras gulfs seem to have been devoted to viticulture though mainly from modern times.

probably ascribable to the west / north-west part of the island, a closer attribution of this group to a definite city remains open, despite the dominant position of Methymna for such jars;

- The second one was dominated by 25 grey ware samples from Mytilene supplemented by two others from Methymna, together with two samples of Lesbian jars of the standard grey variant and two others from Methymna of the beige variant with grey core. Thus, this association is a bit puzzling to validate a definite attribution to Mytilene alone;

- For the third one, a more sharply defined alternative arose, due to the association of five samples of Lesbian jars from Mytilene of the standard plain grey variant together with three other samples of grey wares from Pyrrha, thus raising the debatable question whether Pyrrha at that time, although not yet annexed to the territory of Mytilene, might already have been included within Mytilene's amphora-producing sphere of influence or close network;

- As for the fourth one, also of a mixed assemblage, consisting of five samples of Lesbian jars, all coming from excavations in Mytilene, including one of the blackish variant with red core, another misfired one of the standard grey lineage and three others belonging to the orange variant, alias Clinckenbeard's "fractional red" type⁴. As for the associated pottery finds, they were restricted to two disparate scraps of grey wares - one from Mytilene and the other from Eressos - together with a brick fragment from Methymna, thus leaving a firm attribution to Mytilene in abeyance.

Judging from chemical results obtained from our samples of jars connected with pottery finds from Mytilene town alone, it appeared immediately that the proportion of those fitting with the chemical pattern of local common wares was restricted to just five out of twenty-one, the remaining samples being scattered among the other groups more or less clearly connected with the remaining parts of the island. For Mytilene itself, the range of fabrics was restricted to those that were fully grey, whereas those that were beige with black core or blackish with red core rather ranked among outsiders. A special case was represented by a small group of six amphoras that included two grey ones and four of Clinckenbeard's "Fractional red" type, the chemical pattern of which did not fit clearly with any other group of pottery finds from the remainder of the island. Of course,

the lack of similar chemical patterns between these deviant transport amphoras and common wares cannot be considered as definitely conclusive in all cases. Many workshops of the former were located in the countryside, in closer proximity to agricultural crops, whether vineyards or olive groves, and for that reason potters of transport amphoras often used clay resources that were distinct from those selected by their urban colleagues for vases. However, this cluster analysis represents a useful first step in indicating origins within the island.

For most of these groups that associate pottery and transport/storage amphoras, it often occurs that a given group includes specimens of both categories that came from separate parts of the island. Moreover, the limits of territories of the different main *poleis* of the island still remain unclear for the archaic period⁵. In the case of the territory of Mytilene, if it already incorporated a large area westward beyond the Gulf of Geras, the association within the same cluster of Lesbian grey amphoras from Mytilene and grey wares from Pyrrha may either correspond to Mytilene's exports or even to an extension of Mytilene's vineyard westwards accordingly.

Less scanty than for Mytilene, the cluster of samples ascribable to the western part of the island consisted of a mixture of both transport amphoras and pottery finds, the former all being from Methymna, the latter being scattered among several western cities, *viz.* Methymna (4), Pyrrha (2), Eressos (5) and Antissa (6). Thus, it would be still hazardous to attribute these jars to one centre over another, even if both coinage⁶ and even ancient authors⁷ would rather point at the former one!

As for the above-mentioned set of samples collected by M. Picon in 1986, except a few specimens of grey wares from Mytilene, they were mostly issued from the remains of assumed workshops of amphoras identified around both Geras and Kalloni Gulfs, seemingly all of post-archaic date⁸. Unfortunately, it turned out that the chemical pattern of these "recent" (*sic* recorded!) finds, analysed by the Lyon Lab at that time, didn't match up with the results obtained on our own series, meaning that their contribution to the identification of origin of the lineage of archaic containers proved to be rather misleading at this stage.

Of course, at this early stage, preliminary comparative tests were undertaken with our data bank of references for Eastern Greece, in order to evaluate the specificity of chemical pattern(s) of our representative selection of samples from the island. As it is often the

⁴ See Clinckenbeard 1986.

⁵ For a comprehensive overview of Archaic Lesbos and its cultural ties with Anatolia, see Spencer 1995; on economic disparities between its cities, see Bresson 2000, p. 101–108.

⁶ See omnipresent representations of Dionysos emblematic *kantharoi* in Methymnaean coinage (Buchholz 1975, pl. 12: nos. 22–37).

⁷ See Ovid, *Art of Love*, I, 57: "Gargara quot segetes, quot habet

Methymna racemos... tot habet tua Roma puellas..."; Virgil, *Georgics*, II, 90: "Non eadem arboribus pendet vindemia nostris, Quam Methymnaeo carpit de palmite Lesbos". For both authors, Methymnaean vineyards obviously overshadow Lesbian viticulture.

⁸ See both Basiakos 1986, Archontidou 1986. Among the 15 located remains of pottery workshops, only a single one was identified south of Mytilene with an amphora workshop of Hellenistic or Roman date.

case, occasional limited overlappings were evidenced, as one would expect with mainland Aiolis, first of all one with Phocaea, a *polis* in close connection with Mytilene, as suggested by the monetary treaty ratified between them at the end of the 5th century BC⁹. Thus, if, as expected, Phocaea received some pottery imports from Mytilene, it surprisingly appeared that even some assemblages of grey wares found in Mytilene, were most probably imported from mainland Aiolis, together with bird- and banded bowls of similar chemical pattern. Conversely, even if excavations at Phocaea have brought to light a rather abnormally high proportion of amphoras of Lesbian types¹⁰ amounting to as much as 31%, no local imitations of them were still evidenced among the Mytilene finds¹¹.

A second stage was then started in extending the classification of chemical data for Lesbos itself by adding those obtained on our samples of overseas finds of these amphoras of Lesbian types. As expected, quite a lot of these overseas examples swelled the ranks of the main groups ascribable both to Mytilene in a broad sense (*i.e.*, town and assumed territory) and to western Lesbos, involving a more anarchical reallocation, calling for the following comments. As concerns grey amphoras, several specimens from Istros and one from Abdera form a cluster together with grey wares from Mytilene and, somewhat unexpectedly, three jars from Methymna of the beige variant. However, the main results were obtained on jars of the “Lesbian red” variant, which were scarcely represented at all among the finds from Lesbos itself, nor among our own collection of samples from the island. It now appeared that our specimens of them collected from overseas sites split into two groups, *viz.*: 1) one that coincided with another of our main clusters including grey wares and one Lesbian grey amphora, both from Mytilene; and 2) another completely separate one, independent of any other sample from the island.

In order to clarify the situation, the next stage consisted in focusing our attention on the classification of the whole range of our jars of Lesbian type alone, both those from Lesbos and those from overseas settlements. The resulting dendrogram of classification of chemical data (Plate I) can be summarized as follows in restricting ourselves to the enough closely-knit groups:

- the first three clusters **[1–3]** on the left concentrate a majority of samples from the island: the central one, from Mytilene only; the other two on either side, from Methymna mainly: the left one together with several finds

from Istros and one from Abdera; the right one from Methymna only, next to two “Lesbian red” ones from Berezan and Mytilene in a marginally irrelevant position;

- the central cluster **[4]**, the most numerous one, is of outstanding importance, since, beside some samples of Lesbian grey jars from both Mytilene and Abdera, it includes the greater part of our samples of “Lesbian red” amphoras, *viz.* three from Mytilene and eight from Istros, Berezan and Olbia;

- then comes a smaller cluster **[5]** combining, beside one Lesbian grey sample from Mytilene and another beige one from Methymna, four specimens of an early variant of Lesbian jars from Abdera fitted with twisted handles¹², *viz.* two grey ones and two pale orange ones. Two items of the “Lesbian red” variant are adjoining this cluster, but in a rather marginal position;

- small-sized too but chemically heterogenous, the next branch **[6]**, associates three Lesbian grey jars, *viz.* two from Abdera and one from Istros, together with an isolated “Lesbian red” one from Berezan;

- conversely, the next branch **[7]** deserves particular importance since it brings together the remaining samples of “Lesbian red” jars, all from Black Sea settlements (Istros, Berezan, Nadlimanskoe), apart from a single early Lesbian grey jar from Abdera in a marginal position.

Concerning chemical patterns, such a partition calls for the following comments. One immediately notes that the first three clusters **[1–3]** are the only ones, with high baryum contents, connected with the use of clays of volcanic character¹³, containing a high amount of barytin issued from hydrothermal veins, thus *a priori* fairly good candidates in favour of a Lesbian manufacture. Cluster **[2]** differs from **[1]** and **[3]** ones by higher amounts of iron, nickel and chromium. As for the main branch represented by cluster **[4]**, it differs from the preceding ones by both lower baryum and aluminium contents. It is also the case for the following clusters **[5]** and **[7]**, of which the former is characterized by higher iron, potassium and aluminium contents, and the latter by even higher percentages of iron around 10%.

Having in mind that chemical clusters do not necessarily reflect the actual sequence of archaeological groups, how should one interpret the distribution obtained here? Concerning the first three clusters, it clearly appears that these are representative of local products of the island itself, with two separate poles of manufacture, *viz.*: a) a clear central one **[2]** focused on Mytilene alone and gathering jars of the Lesbian grey variant only; and b) two complementary mixed others **[1 and 3]** on either side, both

⁹ See Bodenstedt 1981, p. 29–33.

¹⁰ See Atila, Okan 2018, p. 98.

¹¹ As it will be the case later with remains of Hellenistic imitations of Chian jars (see Okan *et alii* 2015).

¹² Parallels are to be found in the proto-archaic levels from Old-Smyrna (source: J. M. Cook’s field-notebooks), in Kommos (Johnston 2005, p. 365 nos. 204–205, fig. 28) and Milazzo (Brea, Cavalier 1959, p. 112, pl. L/5).

¹³ See geological maps: Buchholz 1975, p. 37, fig. 6; Whitbread 1995, p. 157, fig. 4/15.

including most of our samples of Lesbian jars of the beige variant from Methymna, together with some others of the Lesbian grey variant from Mytilene. Whether these two clusters might be complementary appears highly probable, their partition being mainly based on their complementary calcium contents, as it is often arbitrarily the case in data-processing. Are they representative of Methymna alone or of somewhere else within the western part of the island remains uncertain. In any case, their association with some finds of Lesbian grey jars from Mytilene might result from the distribution of Methymnaean vintages throughout the island. As for the overseas samples falling into these three clusters, all of them belong to the Lesbian grey variant. Most probably irrelevant, because in a marginal position alongside the right cluster, are two samples of “Lesbian red” jars: one from Mytilene and one from Berezan, with slightly higher potassium content. Then follows the much larger cluster [4] dominated by a large concentration of “Lesbian red” jars, associating our three remaining samples from Mytilene together with a large range of overseas ones from Istros, Berezan and Olbia, whereas the Lesbian grey variant is only represented by a handful of samples from Abdera, as well as two others from Mytilene and two additional ones from Abdera but in a rather irrelevant marginal position. The next cluster [5], with higher aluminium content, stands out by the presence of four of our samples of a special variant of early Lesbian grey jars from Abdera fitted with twisted handles, adjoined by two orthodox ones with rounded handles: one from Mytilene and one from Methymna. Two samples of “Lesbian red” jars – one from Istros and one from Olbia – with slightly higher titanium content - fit alongside this cluster but in a rather irrelevant marginal position on the right. The same remark applies to the next small cluster [6] combining, somewhat erratically, two samples of Lesbian grey jars from Abdera on the one hand, with a Lesbian grey jar from Istros and a “Lesbian red” one from Berezan on the other. Much more homogenous and significant at the same time is the last cluster [7], associating a concentration of “Lesbian red” jars from various Pontic settlements, viz. Istros, Berezan and Nadlimanskoe, together with a single Lesbian grey sample from Abdera, but with none at all from Lesbos island itself.

Two clusters emerge from all the others, gathering the majority of our samples of “Lesbian red” jars, viz. [4] and [7]. The fact that, even the larger one [4] only includes a small number of finds from the island of Lesbos itself, while the smaller one [7] has none at all, rather makes one

suspect that we might well be faced with products issued from unidentified centres of manufacture, most probably established outside the island, though at least within its direct sphere of influence. This sphere may include first of all its colonial region and secondarily areas within its trading network. Accordingly, additional comparative tests were required with potential providers of these doubtful Lesbian types.

Ranking among the first candidates to identify comparable chemical patterns and so solve the controversial problem of origins of these amphoras of “Lesbian red” type, were reference samples taken from Thasos island, consisting of an assemblage of some 150 Hellenistic jars of Thasian type, even though they were post-Achaic in date. The comparative tests of chemical patterns operated with them clearly evidenced that they could not be attributed to Thasos itself, as B. Clinkenbeard wrongly suggested under the somewhat inappropriate appellation of “fractional red” jars¹⁴. Previously, an Attic origin for these Lesbian red amphoras - alias “jars with glass-shaped foot” in the former Soviet terminology – had even been put forward by V. Ruban¹⁵ but quite rightly rejected by I. B. Brashinskii¹⁶ as well as by comparative tests with our own Attic references. More recently, a Phocaeen manufacture had been even advanced by Ö. Özyiğit¹⁷. Thus, the almost complete gap of these “Lesbian red” jars among the finds from Lesbos itself had to be solved in quite another way, especially since the deciphering of trademarks also proved to be disappointing¹⁸. Conversely, judging from the quite explicit Silenus mask applied on the neck of one specimen from Odessos¹⁹ and another one from Olbia²⁰, there was no doubt at all about their wine content rather than oil.

In order to clear up the gap between these two branches [4] and [7] on one side and the local triad [1–3], the next step has consisted to start a programme of comparative studies between finds from Lesbos island itself and from its *peraia* on the opposite mainland as well as on its expanding line of ports of call northwards, viz. along the shores of the Troad and Hellespontus²¹, major transit sea-route between the East Aegean and the Euxine²². For that purpose, preliminary comparative tests were undertaken, involving some 114 representative local references from: Atarneus (10), Adramytteion (10), Troja (20), Abydos (10), Sestos (20), Lampsacus (10), Parion (10) Cyzicus (10), and Dascylium (14).

In addition to their geographical proximity, these

¹⁴ Clinkenbeard 1986.

¹⁵ Ruban 1980, p. 108.

¹⁶ Brashinskii 1983.

¹⁷ Özyiğit 1994, p. 88–90, 89, fig. 5, 104, pl. 29–30.

¹⁸ Bîrzescu 2005, esp. p. 60–61.

¹⁹ Minchev 2003, p. 275, pl. 2:2.

²⁰ Levi 1964, p. 159–160, 162, fig. 33/2.

²¹ The whole shoreline from Antandros to Hellespontus was colonised by the Aeolians and Strabo 13, 1, 38 reports that the whole Troad was under Lesbian rule. On the Lesbian *Peraia*, see Kontis 1978; Carusi 2003, p. 21–61 and map Tav. IV; Ellis-Evans 2019, esp. p. 159–197.

²² Even if we are still scarcely informed about the exact nature and course of the trading activities along the Straits (see Prêteux 2016).

coastal areas were renowned in antiquity and up to the end of the Ottoman period for their well-developed viticulture, first in line along the Asiatic shore of Hellespontus between Lampsacus and Priapos²³.

What emerged from the rather muddled clusters obtained by comparative tests tended to reinforce our earlier suspicions about the manufacture outside Lesbos of a significant share of transport amphoras of Lesbian types, even if these preliminary results will have to be validated by completing our data bank of local references and inquiring concurrently about the still poorly documented assemblages of archaic jars found at Hellespontine settlements. For each mixed cluster evidenced, work has to be done associating amphoras of Lesbian types with external references ranging from the Troad to Propontis, cross-checking systematically the range of internal data for Lesbos itself – *i.e.*, for both pottery and amphora samples –, in order to test in each case the balance between the respective amounts of assumed locally made common wares and external references. Thus, when faced with a cluster of amphoras from both Lesbos and overseas settlements, the close relationship of the former ones with a significant number of common wares from any Lesbos settlement would rather incline one to interpret these amphoras as locally made and their counterparts from overseas settlements within the same cluster as exports from Lesbos to these settlements.

Accordingly, the clusters of the above-mentioned dendrogramme had to be reinterpreted as follows:

-[1] Despite the incorporation of several overseas intruders from both Atarneus, the Troad as well as a single one from Lampsacus into this cluster, the fact that, in the initial classification of the whole range of our samples from Lesbos itself, the involved amphoras, all of the beige variant and from Methymna, were complemented by quite a lot of common wares, all from western Lesbos, *viz.* 6 from Antissa, 4 from Eressos, 2 from Methymna and 2 from Pyrrha, led us to attribute the components of this branch to a centre of manufacture located in the western part of the island, presumably centered on Methymna²⁴; conversely, the associated samples from Atarneus, the Troad and Lampsacus would rather correspond to exports from Lesbos to these areas.

-[2] The core of our second branch consisting of Lesbian grey amphoras from Mytilene only and without

apparent connection with any other wares except three samples from Eressos but in a marginal position, thus suggests that we are most probably faced with the products of a specialized workshop located in the immediate vicinity of Mytilene and seemingly rather satisfying the needs of the local market, judging from the lack of associated references, either from the opposite *peraea* or from the Troad and Hellespontine shores.

-[3] As above-mentioned, this third little branch might well have been arbitrarily separated from the first cluster as it is often the case in the course of chemical data processing. It mainly gathers three samples of the same beige variant of Lesbian jars from Methymna which were included in the same group as their other counterparts within the above-mentioned general classification of all our samples from Lesbos. These three samples only stand out by their slightly lower calcium and magnesium correlated contents. Accordingly, they most probably fall within the same entity as their counterparts of cluster [1], *i.e.*, ascribable to the western part of the island as well. Such an attribution is reinforced by the high barium content of most samples of both clusters [1] and [3], thus suggesting an origin connected with the dominant volcanic geological context of North-West Lesbos (barites from hydrothermal veins)²⁵. Two samples of “Lesbian red” jars, one of them from the island itself, still flank this cluster on the right, but in a marginal probably irrelevant position.

-[4] This dominant branch of the dendrogramme, including four separate clusters, presents the distinctive features of including both the main concentration of our samples of “Lesbian red” jars and the main one too of early Lesbian grey ones from the earliest Abdera Clazomenian necropolis, although in marginal clusters on either side of the two central ones. Among the included samples of “Lesbian red” jars, only 3 out of 11 were collected on the island, where they are otherwise scarcely represented. This branch raises a keen problem of attribution of origin: whereas, in the above-mentioned general classification of all our samples from Lesbos, the involved amphoras were associated with many common wares from different parts of the island, and so assumed to be of rather local manufacture, comparative tests with our references from both Troad and Hellespontine sites conversely pointed to a similar relationship of chemical pattern²⁶. Judging from the rarity of “Lesbian red” jars

²³ For Lampsacus, see: Her. V, 117; Thuc. I, 138; Xen., An. VII, 8, 1; Strab. XIII, 589; for Parion: Her. V, 117; Xen. An., VII, 2, 7; Strab. XIII, 588; Paus. IX, 27; for Priapos: Thuc. VIII, 107; Strab. XIII, 582, 587; MeL. I, 97: Pl. IV, 75; V, 141; Arr. An. I, 12, 7. For modern times, see: Lechevalier 1800, p. 14, 19, 24; Eldem 2017.

²⁴ The greyish beige shade often to be found on Methymna's grey wares would also support such an attribution of origin. Given the diverse geological conditions on the island, the unusually high barium content

would also suggest an origin bounded by the volcanic zone of the western part of the island.

²⁵ See Higgins, Higgins 1996, p. 132–135.

²⁶ As for pottery production, it was still active in modern times both in the Troad (Tekkök-Biçken 2000) and Hellespontus (*ead.* 2011), whereas several brickyards are still operating today in the Gelibolu area. As for clay sources, they are available all among the Straits, on either side of which Late Tertiary sedimentary deposits are rather

among the finds from all parts of Lesbos Island itself, one would rather be inclined to interpret those falling into a common group together with similar counterparts from Black Sea settlements as being produced from a foreign centre or area of manufacture and not on Lesbos island.

The Hellespontus renowned vineyards surely led to the local production of amphoras there, more or less modelled on the standard type of their motherland, even if, until now, no lineage of stamped containers has been clearly evidenced there for the Hellenistic period²⁷. In this case, our samples of common wares from the island that share the same chemical pattern as the few associated specimens of Lesbian red jars should then be interpreted as imports instead of being locally-made products, a situation already evidenced by lab results on Black Sea settlements (Istros, Berezan, Olbia...), which concurrently produced grey wares locally and also still imported large quantities of them from their homeland. While still put forward only as an hypothesis, such an attribution of a significant share of these Lesbian red jars to Hellespontine workshops awaits confirmation from the verdict of finds themselves. If such was in fact the case, the associated early Lesbian grey jars from Abdera within this same chemical pattern would lead us to conclude that these assumed distant secondary workshops were already operating as soon as the second half of the 7th century BC.

Conversely, the role played by the Troad appears to be less clear. Even though no great vintages are recorded there by ancient sources, it does not mean at all that the viticulture was less developed there in antiquity. In more modern times, *viz.* at the end of the Ottoman period, the most productive vineyards were reported as being “on the southern coast of the Marmara Sea and along the Asian shore of the Dardanelles”; however, they extended further south, down to modern Yeniköy in the immediate vicinity of ancient Troy²⁸, even if producing rather indifferent table wines. Unfortunately, we are still poorly informed about the distribution patterns of archaic transport jars between the Troad and Propontis, except in the case of Troy itself, where jars of Lesbian types are over-represented among the assemblage from sector D9, especially the red variant²⁹. It might well have been the case further south too in Antandros, where quite a lot of these jars have been brought to light in the necropolis,

used as infant burials as in Abdera³⁰. Conversely, their amount among Dascylium’s archaic finds doesn’t exceed 22% during the Achaemenid period, half of them of the red variant³¹.

Over and above these overlappings of chemical pattern with the Troad-Hellespontine area, further ones were even evidenced with our Chian reference – *i.e.* beyond the Lesbian sphere –, which will need deeper inquiries for being validated. The involved samples mainly consist of specimens of both the light grey variant with fine clay and the red one.

In addition to the geographical localization of the centre of manufacture from which these exotic imitations are issued, another debatable point concerns the identification of the Lesbian polis involved in it. Admittedly, there seems to be no evidence for the existence of a Methymnaean *peraia*³², but the fact that a good part of our samples falling into this cluster ascribable to the Troad-Hellespontus region are made of a fine clay instead a coarse micaceous one and greyish-beige fired in surface as the Methymnaean grey wares suggests that Methymna too might have developed its own Aktaian trade network and even established there amphora potters’ workshops working in the Methymnaean tradition, either migrant or locally trained ones.

-[5] Even more puzzling appears the case of cluster [5], which stands out by the presence of all our four samples of early Lesbian jars from Abdera of a special variant with twisted handles, adjoined by two orthodox ones with rounded handles: one from Mytilene and one from Methymna. Their chemical pattern differs by a higher aluminium content. Two samples of canonical Lesbian red jars – one from Istros and one from Olbia – with slightly higher titanium content – fit alongside this cluster but in a rather irrelevant marginal position on the right.

For that branch, even if a connection with our local references for the Troad/Hellespontus area was also evidenced, it was a looser one in a rather marginal position, on the fringe of a cluster predominated by samples from Parion, thus not fully conclusive.

-[6] Rather heterogenous, this small cluster does not include a single sample from Lesbos itself. It might well have been separated rather artificially from the larger cluster [4] on the lone basis of a slightly higher calcium content, as it is often the case in the course of data-

homogenous, thus often thwarting close-range geochemical determinations of origin (see Higgins, Higgins 1996, p. 125–126).

²⁷ Only isolated examples of debatable stamps have been put forward, *e.g.* one ABY from Istros (Canarache 1957, p. 305, no. 793) formerly attributed to Abydos (J. & L. Robert, BE 1958, p. 31), another to Bathys Limen (Lungu 2019) or another hypothetical one attributed to Lemnos (Şenol 2006, p. 91.3).

²⁸ See Eldem 2017, esp. p. 175–179.

²⁹ See Lawall 2002, p. 215–217, 227, fig. 6. However, for the Hellenistic period, Ἀλικάνωρ stamps, the distribution of which is reported to be

centred on the Trojan area, are struck on jars of unknown shape but with oval handles (Lawall 1999, p. 191–192, 200–201 (cat. 15), 199, fig. 3). See also lastly Lawall 2019.

³⁰ Candar 2018.

³¹ Yaldir 2011, p. 368–372, fig. 2–4, 6.

³² Even if Assos was claimed as part of a Methymnaian *peraia* it is only on the basis of Strabo XIII, 1, 58, but there is no archaeological evidence to support it.

processing. As with the preceding one [5], it is bordered in marginal position by two samples of Lesbian red jars from outside Lesbos.

-[7] Together with the larger one [4], this last cluster gathers the rest of the “Lesbian red” jar samples, all from outside the island and without connection to any of our local references for both Eastern Greece and the Northern Aegean. In comparison with their counterparts of cluster [4], their chemical pattern differs by a noticeably higher iron content. Furthermore, the insertion in a marginal position alongside clusters [3], [5] and [6] as well as between clusters [4] and [5] of isolated pairs of these “Lesbian red” amphoras might well suggest the existence of additional minor centres of manufacture.

Conversely, additional parallels of chemical pattern were also obtained between jars of Lesbian types and references from more remote areas, *viz.* with several sites of Aegean Thrace, a country well-renowned for its long tradition of great vintages³³. Thus, most of our samples included in the dominant branch [4] of the dendrogramme also matched up with our references for Doriskos (*i.e.*, Ainos area), whereas the smaller cluster [5], including our four early Lesbian jars with twisted handles from Abdera was rather fitting with our reference for Maroneia. However, several arguments led us to reject such an alternative: 1) assuming that Aeolian Ainos had occupied a leading position in Aegean Thrace for the manufacture of such a significant share of the archaic lineage of jars of Lesbian types would have surely led to an overrepresentations of such finds throughout the area; 2) the reported range of containers of post-Archaic date put forward for supporting the existence of an amphora production centre located somewhere in the Evros delta³⁴ differs completely from the Lesbian lineage; 3) the same remark applies to the range of amphora finds from Abdera³⁵, twice North-Ionian foundation; 4) even within the assemblage of archaic amphoras of the earliest Abdera necropolis, jars of Lesbian types do not appear overrepresented in comparison with those of Chian and North-Ionian origin³⁶. Consequently, it seems that we are rather faced here with some random overlapping of chemical pattern, as it sometimes occurs. However, that may be, either Aegean Thrace or Troad / Hellespontus products, one might rather be faced with more or less orthodox imitations of Lesbian jars issued from the hands

of some migrant Lesbian potters established abroad. This would explain the somewhat tentative dual firing process used for them, either reducing or oxidizing.

All these somewhat unexpected new lab results of determination of origin obtained on amphoras of Lesbian types from both Lesbos and overseas settlements therefore invite us to operate a *distinguo* between the Lesbian great vintages, so celebrated by Athenaeus³⁷ and many other ancient sources one side, and the composite lineage of transport amphoras of Lesbian types on the other. If the former appellation was most probably restricted to the island itself, the latter covered a wide range of containers. Although related in shape and primarily intended for Lesbian great vintages proper (*viz.* Mytilene, Methymna and Eressos), these container types were also borrowed outside Lesbos by several other centres under Lesbos’ direct sphere of influence or within its close trading network. The purpose must have been to carry their own local vintages of varied quality, either recorded ones (*e.g.*, Lampsacus, Priapus and Parion) or still unidentified ones. This means that the composite range of λεσβια did not at all constitute a label of origin on the export markets. It is also worth noting that Lesbos itself surely exported its indifferent wines side by side with its great vintages as well³⁸. Hence, the rather large range of fabrics of these containers of Lesbian types, either in the clay structure – coarse or fine grained – or in the firing process according to the various habits peculiar to scattered centres of manufacture (see **Excursus**).

These lab results also revive the debate about the still unsolved problems of wine-making process in the ancient Greek world. If it now clearly appears that the label “Lesbian”, rather than being restricted to the wines produced by the island itself, might well have stretched out far beyond its shores, as not only extended to Mytilene’s *Peraia* on the opposite mainland, but also further northwards to vintages produced by secondary vineyards³⁹. Whether these secondary appellations developed by several Aktaian cities of the Lesbian sphere of influence along the shores of the Troad and Hellespontus were obtained using the same wine-making process, either from a single vine *species* (as in the case of French red Bourgogne) or from an assemblage of specific varieties (as in the case of French “Côtes-du-Rhône”) remains unclear. One can assume that such a label as *Pramneios*, reported by both Athenaeus⁴⁰ and others, surely referred to such vine *speciei*. Wines of

³³ Salviat 1990, esp. p. 459–462 (§ *Vin de l’Ismaros et de Maronée*); Koukoulis-Chrysanthaki 2007.

³⁴ See Karadima 2004.

³⁵ See Peristeri-Otatzis 1986. However, the complete shape of early classical date illustrated p. 495, fig. 13, attributable to Zeest’s former “Protohasian” type, appears rather ascribable to the North-Ionian lineage (Teos ?), either imported original or local imitation in Abdera, twice North-Ionian foundation. For the reattribution of the type, see Dupont 2010.

³⁶ Incidentally, twisted handles are also to be found among the finds of grey wares from Mytilene.

³⁷ Athen. I, 28e–29d; 31a; 32f; 33c; 45e; II, 129d; 137b; XIII, 598c.

³⁸ As well as vinegar, also obtained from Lesbos wine, “quod Methymnaeam vitio mutaverit uvam” (Horace, *Sat.* II, viii, 50).

³⁹ See lately Kourakou-Dragona 2017; Dzierzbicka 2018, p. 269–274.

⁴⁰ Athen. I, 30c.

these kinds were often shared by several distant vineyards and this endowed Lesbian wine with its distinctive flavour, shared between three distinct vine-growing districts as ancient sources report, *viz.* Mytilene, Methymna and Eressos, the latter being top ranked by Galen⁴¹. Moreover, even Mytilene, Methymna and Eressos vineyards surely produced concurrently great-vintage and non-vintage wines, which were kept and marketed in the same shapes of jars⁴². Thus, briefly, the Lesbian wine-label would rather correspond to a *species* or assemblage of vine *speciei* rather than to a strictly delimited vineyard. Accordingly, related tastes might well have been obtained elsewhere from the same assemblage, as in the case of the original French Cahors vintage as compared with its later borrowed Russian cousin Kagor, strictly vinted from Crimean grapes under the guidance of Prince Lev Sergueïevitch Galitzine under Tsar Alexander the Third's reign.

Furthermore, even if probably not as well developed as it is today in the eastern part of the island⁴³, olive growing was also attested in ancient Lesbos till modern times⁴⁴ and one can therefore assume that at least one part of locally made jars of Lesbian type were intended for containing olive oil or even olives in brine⁴⁵. In the same way, both the mainland opposite Lesbos, adjoining the Edremit Gulf, *i.e.* the Antandros territory, and the shores of the Hellespontus around Lampsacus and Cyzicus were also devoted to olive growing⁴⁶ and these also needed jars for containing their own oils. Thus, one can assume that the manufacture of amphoras also occurred among several more or less widely separate workshops.

To sum up, this preliminary lab approach to the lineage of all these jars of Lesbian types now demonstrates to what extent, once again, the yet attractive slogan once put forward by Michel Gras, that viewed the transport amphora as emblematic of the *polis*, would need to be more carefully nuanced. The fact that, only one third or so of our samples clearly appears ascribable to the island itself, all variants taken into account, seems now beyond doubt. However, whereas in

the case of Virginia Grace's "Samian" lineage of containers, which now have been completely redistributed among several widely-scattered places of manufacture, the range of shapes was rather differentiated, the Lesbian lineage morphologically appears much more homogenous, thus to be interpreted as a genuine amphora koine⁴⁷. Furthermore, judging by the case of the early specimens from Abdera's Clazomenian necropolis, allochthonous imitations of the Lesbian originals seem to appear as early as the second half of the 7th century BC⁴⁸.

As for the red variant of these jars of Lesbian types that follows later on overseas markets⁴⁹, it was probably initiated to differentiate the original Lesbian containers from their borrowed counterparts. Among our samples from the Clazomenian necropolis of Abdera, two of them with orange clay can be interpreted as "Lesbian red" predecessors. The same remark applies to the specimen brought to light among the finds from the Middle Ebro valley in the Chirpan region⁵⁰. One might even ponder to what extent the firing under oxidizing atmosphere might have been adopted by the amphora potters of the Lesbian *Peraia* under the influence of the Attic tradition, possibly connected with the war between Mytilene and Athens over Sigeion at the mouth of the Hellespontus, which apparently lasted for two generations, *ca.* 610–540 BC.

Conversely, due to the small size of most samples put at our disposal for chemical analysis, the already major reallocations of origin obtained cannot be connected as yet with current typologies of these containers of Lesbian types, except in the case of those from the Abdera Clazomenian necropolis, all ascribable to the earliest variant of the lineage, *viz.* Monakhov's variant I-A / Sezgin's GLE51, and covering the second half of the 7th century BC in current typologies⁵¹, but nevertheless already foreshadowing major typological refinements in detail⁵², thus foreshadowing a complete reassessment of the Lesbian label for the subsequent stages of this major lineage of East Greek containers as well for the Lesbian wine-label.

⁴¹ Galen, *apud* Kühn 1827, p. 28.

⁴² As it is the case today in Burgundy or in the Bordeaux region, where the same vineyards are producing and marketing concurrently great-vintages and non-vintages under separate quality-labels.

⁴³ See Sifounakis 1986.

⁴⁴ On the repartition of olive-growing areas in modern times, see Koldewey 1890, colour map 31. In 1850, the island was exporting 350.000 quintals of olive oil, its main product at that time, whereas large quantities of local wine were still marketed in Constantinople (Bargigli 1880, p. 244, 247). See also Bresson 2000, chapt. 5, p. 102–103. As for today, the local production of olive oil represents up to 10% of the whole national production of Greece.

⁴⁵ *PSI* V, 535, l. 29.

⁴⁶ Fickendey 1922, esp. p. 23; De Scherzer 1882, p. 114–116.

⁴⁷ See Dupont 2006; Dupont 2010; Dupont 2019, p. 34–45.

⁴⁸ Or even earlier, in the case the Tell Qudadi specimen also proved not to be of Lesbian manufacture (see Fantalkin, Tal 2010, esp. p. 7–9).

Unfortunately, NAA results are not strictly comparable with those of X-Ray fluorescence.

⁴⁹ Early specimens of standard Lesbian red jars were also brought to light in Abdera, but only in the later Teian necropolis.

⁵⁰ See Lozanov 2010, esp. p. 85, 90, pl. 49/4 (early Lesbian red amphora).

⁵¹ See Monakhov 2003, p. 44–45, 49, 257 pl. 27: 1; Sezgin 2012, p. 209–211, 229–230, 239, fig. Gles1.03. However, a closely related find from Methone Pierias, issued from a context dated turn 8th / beginning 7th century BC (see Besios *et alii* 2012, p. 345, no. 4) as well as the well-known specimen from Tell Qudadi, also from a context not later than the very beginning of the 7th century BC (Fantalkin, Tal 2010) now invite to update their emergence from at least half a century.

⁵² As already evidenced by both chemical pattern and morphological specific features between our samples of branches [4] and [5] of the dendrogram: the former with pear-shaped body, nearly cylindrical neck and wedge rim with wide band below, delimited by a groove or slight ridge; the latter with ovoid body, slanting squat neck, protruding rounded / echinoid rim and twisted handles.

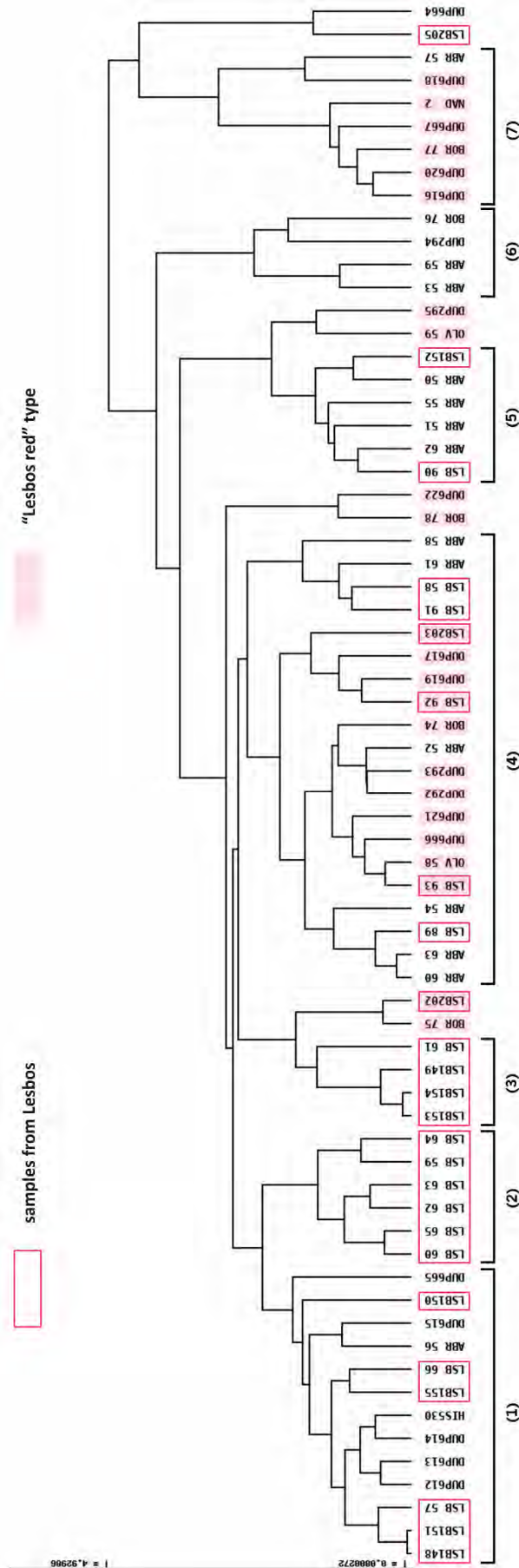


Plate 1. Archaic amphoras of Lesbian types. Dendrogram of classification of chemical data.

EXCURSUS

Whereas most publications devoted to transport amphoras of Lesbian types still confine themselves to the primary distinction between “Lesbian grey” and “Lesbian red” ones, it clearly appears that the range of fabrics was more diversified, an acknowledgement rather unusual on the scale of an island, *a priori* rather in favour of a scattered geographical distribution of their centres of manufacture.

Judging from their wider range of basic visual colours, both outside and inner ones, various firing methods were operated by the involved workshops of

these jars. Beside the whole grey ones, either coarse dark grey (Fig. 1/a) or fine light grey (Fig. 1/b) variants, on one side, and the rather homogeneous ones labelled “Lesbos red” (Fig. 4), both an intermediate light beige variety with black core (Fig. 2) and a last black-smoked one with red core (Fig. 3) complete the “Lesbian” series.

Whereas the black-smoked variety remains rather anecdotic, the light beige one appears fairly well represented among the finds from Methymna, where a related firing process is to be found on the locally made common wares of greyish beige fabric.



Figure 1. Archaic amphoras of Lesbian types. Basic visual fabrics. a) Lesbian grey, coarse; b) Lesbian light grey, fine.



Figure 2. Archaic amphoras of Lesbian types. Basic visual fabrics. Lesbian beige with dark grey / black core.



Figure 3. Archaic amphoras of Lesbian types. Basic visual fabrics. Lesbian black-smoked with red core.



Figure 4. Archaic amphoras of Lesbian types. Basic visual fabrics. “Lesbian red” standard.

As for the “Lesbian red” series, scarcely represented among the finds of the island, its range of shades does not exceed bright orange tones in intensity.

In ancient written sources, transport jars are quite rarely given a colour designation. It turns out that it is the case for two batches of containers referred to as Lesbian in the Zenon Archive / PSI 535, viz. *διλέσβια λευκά* and both *ἐλαιών Λέσβια Αἰθιόπια* and *οἴνου Λέσβια Αἰθιόπια*⁵³. How to interpret these colour details? Are they given due to their unusual look? Concerning the former ones, the term *λευκός* can hardly refer to standard grey jars. Accordingly, an alternative would be to interpret it as referring to the above-mentioned beige variety, for lack of a Greek term for “beige”, or to the orange one, somewhat abusively labelled “Lesbian red”. As for the exotic label *Αἰθιόπιον*, supposedly allusive to the sunburn skin of the Ethiopians and accordingly usually translated under the designation ‘red-brown’ or ‘fiery-red’⁵⁴, does it necessarily refer to the suntanned containers of “Lesbian red” type? It is far from obvious indeed: according to Diodorus (III, 8, 2), most Aethiopians established along the Nile banks are reported as black-skinned (*μέλανες*) and, in his *Prometheus Unbound*, Aeschylus also calls the Aethiopians “μελανστέρφων γένος”⁵⁵. The fact that the label *Αἰθιόπιον* applied to transport amphoras is only preserved on a papyrus from Egypt reminds us of the fascination of the Greeks for the black kingdom of Meroe⁵⁶, thus inviting to wonder about its exact meaning, which might well have to be interpreted as darker than ‘red-brown’ or ‘fiery-red’, indeed even ebony black or so, in other terms rather applied to the Lesbian dark grey lineage instead to the red one. Moreover, the fact that the

batch of these *Λέσβια Αἰθιόπια* is recorded as including both oil and wine containers would also agree with it: judging from the above-mentioned Silenus relief mask applied on the neck of the above-mentioned two early “Lesbian red” jars from Odessos and Olbia, one has every reason to doubt that this lineage of containers might have been also intended for the delivery of an oil content. Accordingly, the Zenon Archive / PSI 535 account referring to *διλέσβια λευκά* and *Λέσβια Αἰθιόπια* would rather express the basic distinction between light and dark containers of Lesbian types.

ACKNOWLEDGEMENTS

I am indebted to my good colleague G. Schaus for helpful comments and kind rereading of my English text.

REFERENCES

- Archontidou 1986 – A. Archontidou-Argyri, *Λέσβος. Επιφανειακή έρευνα*, ADelt 41, 1986 (1990), p. 211–212.
 Atila, Okan 2018 – C. Atila, E Okan, *Commercial Relationships of Phocaea in the Light of Archaic Trade Amphorae*, ADerg 23, 2018, p. 91–105.
 Bargigli 1880 – Dr. Bargigli, *Il. L’île de Mytilène*, in: Ch. De Scherzeer (ed.), *Smyrne considérée au point de vue géographique, économique et intellectuel*, Leipzig, 1880, p. 242–250.
 Basiakos 1986 – G. Basiakos, *Λέσβος. Έρευνα για εργαστήρια αμφορέων*, ADelt 41, 1986 (1990), p. 207–210.
 Besios et alii 2012 – M. Besios, G. Z. Tsiphopoulos, A. Kotsonas, *Μεθωνη Πτεριας I*, Thessalonica, 2012.
 Bîrzescu 2005 – I. Bîrzescu, *Die Handelsamphoren des ‘Lesbos-rot’-Serie in Istros*, AM 120, 2005, p. 45–69, Taf. 6–7.
 Bodenstein 1981 – F. Bodenstein, *Die Elektronmünzen von Phokaia und Mytilene*, Tübingen, 1981.

⁵³ Kruit, Worp 2000, p. 88–89, 130–131.

⁵⁴ See LSJ, *Αἰθιόπιον*. See also Capponi 2009, esp. p. 95–96.

⁵⁵ Aesch. Fgt. 389.

⁵⁶ See Thompson 1969.

- Brashinskii 1983 – I. V. Brashinskii, *К проблеме локализации группы амфор с так называемыми стаканообразными доньями*, KSI A 174, 1983, p. 8–10.
- Brea, Cavalier 1959 – L. B. Brea, M. Cavalier, *Mylai*, Novara, 1959.
- Bresson 2000 – A. Bresson, *La cité marchande*, Bordeaux, 2000.
- Buchholz 1975 – H. G. Buchholz, *Methymna. Archäologische Beiträge zur Topographie und Geschichte von Nordlesbos*, Mainz, 175.
- Candar 2018 – U. Candar, *Lesbos Amphora Tombs from the Necropolis of Antandros*, in: V. Keleş et alii (eds), *International Symposium of Propontis and the surrounding cultures from the Pre-history to the end of Antiquity, 15–19 October 2018*, Atatürk Culture Center, Çanakkale. Abstracts booklet, Ankara, 2018, p. 106.
- Canarache 1957 – V. Canarache, *Importul amforelor ștampilate la Istria*, Bucarest, 1957.
- Capponi 2009 – M. Capponi, *Lait blanc, vin rouge et sang noir: l'utilisation stylistique des termes chromatiques*, in: M. Carastro (ed.), *L'antiquité en couleurs. Catégories, pratiques, représentations*, Grenoble, 2009, p. 85–98.
- Carusi 2003 – C. Carusi, *Isole e Peree in Asia Minore. Contributi allo studio dei rapporti tra poleis insulari e territori continentali dipendenti*, Pisa, 2003.
- Clinkenbeard 1982 – B. Clinkenbeard, *Lesbian Wine and Storage Amphoras: A Progress Report on identification*, Hesperia 51, 1982, p. 254–256.
- Clinkenbeard 1986 – B. Clinkenbeard, *Lesbian and Thasian Wine Amphoras: Questions concerning Collaboration*, BCH Suppl. 13, 1986, p. 353–362.
- De Scherzer 1882 – Ch. De Scherzer, *Smyrne considérée au point de vue géographique, économique et intellectuel*, Leipzig, 1882.
- Domingo 2003 – C. de Domingo, A. Johnston, *A petrographic and chemical study of East Greek and other archaic transport amphorae*, Eulimene 4, 2003, p. 2–59.
- Dupont 2006 – P. Dupont, *Amphores "samiennes" archaïques de Mer Noire (approche archéométrique)*, in: S. L. Solov'ov (ed.), *Греки и Варвары на Боспоре Киммерийском VII–I вв. до н. Э.*, *Proceedings of the International Conference, Taman, Russia, October 2000*, Sankt-Peterburg, 2006, p. 64–75.
- Dupont 2010 – P. Dupont, *Erythraea 1, Les amphores « samiennes » et « protothasiennes » de Zeest: la piste nord-ionienne?*, in: D. Kassab Tezgör, N. Inaishvili (eds), *PATABS I. Production and Trade of Amphorae in the Black Sea, Actes de la Table Ronde internationale de Batoumi et Trabzon, 27–29 Avril 2006*, Varia Anatolica 21, Istanbul – Paris, 2010, p. 39–43, pl. 23.
- Dupont 2011 – P. Dupont, *Données archéométriques préliminaires sur les amphores du type de Lesbos*, in: C. Tzocher, T. Stoyanov, A. Bozkova (eds), *PATABS II. Production and Trade of Amphorae in the Black Sea, Acts of the International Round Table held in Kiten, Nessebar and Sredetz, September 26–30, 2007*, Sofia, 2011, p. 171–178.
- Dupont 2019 – P. Dupont, *Archaic East Greek Transport Amphorae: Secure Advances and Muddles. An assessment*, in: G. R. Tsetschladze, S. Atasoy (eds), *Settlements and Necropoleis of the Black Sea and its Hinterland in Antiquity. Select Papers from the Third International Conference 'The Black Sea in Antiquity and Tekkeköy: An Ancient Settlement on the Southern Black Sea Coast', 27–29 October 2017, Tekkeköy, Samsun*, Oxford, 2019, p. 32–51.
- Dzierzbicka 2018 – D. Dzierzbicka, *OINOΣ. Production and Import of Wine in Graeco-Roman Egypt*, JJurP, Suppl. 31, Warsaw, 2018.
- Eldem 2017 – E. Eldem, *A French view of the Ottoman-Turkish wine-market, 1890–1925*, in: L. Thys-Şenocak (ed.), *Of Vines and Wines. The Production and Consumption of Wine in Anatolian Civilizations through the Ages*, Leuven – Paris, 2017, p. 169–209.
- Ellis-Evans 2019 – A. Ellis-Evans, *The Kingdom of Priam. Lesbos and the Troad between Anatolia and the Aegean*, Oxford, 2019.
- Fantalkin, Tal 2010 – A. Fantalkin, O. Tal, *Reassessing the Date of the Beginning of the Grey Series Transport Amphorae from Lesbos*, BABesch 85, 2010, p. 1–12.
- Fickendey 1922 – E. Fickendey, *Der Ölbaum in Kleinasien*, Leipzig, 1922.
- Hampe, Winter 1965 – R. Hampe, A. Winter, *Bei Töpfern und Ziegeln in Süditalien, Sizilien und Griechenland*, Mainz, 1965.
- Higgins, Higgins 1996 – M. D. Higgins, R. Higgins, *A geological companion to Greece and the Aegean*, London, 1996.
- Johnston 2005 – A. Johnston, *Kommos: further Iron Age Pottery*, Hesperia 74, 2005, p. 309–393.
- Jones 1986 – R. E. Jones, *Greek and Cypriot Pottery. A Review of Scientific Studies*, BSA Fitch Lab. Occ. Papers 1, Athens, 1986.
- Karadima 2004 – Chr. Karadima, *Ainos: An Unknown Amphora Production Centre in the Evros Delta*, in: J. Eiring, J. Lund (eds), *Transport Amphorae and Trade in the Eastern Mediterranean, Acts of the International Colloquium at the Danish Institute at Athens, Sept. 26–29, 2002*, Monographs of the Danish Institute at Athens 5, Athens, 2004, p. 155–161.
- Koldewey 1890 – R. Koldewey, *Die antiken Baureste der Insel Lesbos*, Berlin, 1890.
- Kontis 1978 – I. D. Kontis, *Λέσβος και η Μικρασιατική της περιοχή*, Athènes, 1978.
- Koukouli-Chrysanthaki 2007 – Ch. Koukouli-Chrysanthaki, *Παραγωγή και κυκλοφορία οίνου στη Θασιακή Περαία. Μια πρώτη προσέγγιση*, in: G. A. Pikoulas (ed.), *Οίνων Ιστορώ VII*, Athens, 2007, p. 37–56, pls. 15–20.
- Kourakou-Dragona 2017 – S. Kourakou-Dragona, *Pramnios Wine and Pramnian Wines*, in: L. Thys-Şenocak (ed.), *Of Vines and Wines. The Production and Consumption of Wine in Anatolian Civilizations through the Ages*, Leuven – Paris, 2017, p. 83–92.
- Kruit, Worp 2000 – N. Kruit, K. Worp, *Geographical Jar Names: Towards a Multi-Disciplinary Approach*, ArchPF 46, 2000, p. 65–146.
- Kühn 1827 – C. G. Kühn, *Claudii Galeni opera omnia*, T. 14, Leipzig, 1827.
- Lawall 1999 – M. Lawall, *Studies in Hellenistic Iliion: transport amphorae from the Lower City*, Studia Troica 9, 1999, p. 187–224.
- Lawall 2002 – M. Lawall, *Iliion before Alexander. Amphoras and economic archaeology*, Studia Troica 12, 2002, p. 197–243.
- Lawall 2019 – M. Lawall, *Alkanor: amphora stamps beyond the polis*, in: N. Badoud, A. Marangou (eds), *Analyse et exploitation des timbres amphoriques grecs*, Rennes, 2019, p. 139–146.
- Levi 1964 – E. Levi, *Материалы Ольвийского Теменоса*, in: V. F. Gaidukevich (ed.), *Ольвия. Теменос и Агора*, Moscow – Leningrad 1964, p. 131–174.
- Lechevallier 1800 – J. B. Lechevallier, *Voyage de la Propontide et du Pont-Euxin*, Paris, An VIII-1800.
- Lozanov 2010 – I. Lozanov, *On the import amphorae in Thrace (6th–3rd centuries BC): reflections on recent discoveries in the Middle Hebrus valley*, in: D. Kassab Tezgör, N. Inaishvili (eds), *PATABS I. Production and Trade of Amphorae in the Black Sea, Actes de la Table Ronde Internationale de Batoumi et Trabzon, 27–29 avril 2006*, Varia Anatolica 21, Istanbul 2010, p. 85–96, pl. 48–54.
- Lungu 2019 – V. Lungu, *Bathys Limen, un nouveau centre de production amphorique en Propontide ?*, in: N. Badoud, A. Marangou (eds), *Analyse et exploitation des timbres amphoriques grecs*, Rennes, 2019, p. 131–137.
- Minchev 2003 – A. Minchev, *Odessos (6th century BC to early 1st century AD)*, in: D. V. Grammenos, E. K. Petropoulos (eds), *Ancient Greek Colonies in the Black Sea*, I, Thessalonique, 2003, p. 209–278.
- Monakhov 2003 – S. Yu. Monakhov, *Греческие амфоры в Причёрноморье*, Moscow – Saratov, 2003.
- Okan et alii 2015 – E. Okan, C. Atila, A. A. Akyol, *The production of Chios-style amphorae at a ceramic workshop in Phocaea (Foça)*, Mediterranean Archaeology and Archaeometry 15, 2015, 3, p. 259–276.
- Özyiğit 1994 – Ö. Özyiğit, *The City Walls of Phokaia*, REA 96, 1994, p. 77–109.
- Peristeri-Otatzis 1986 – C. Peristeri-Otatzis, *Amphores et timbres amphoriques d'Abdère*, in: J.-Y. Empereur, Y. Garlan (eds), *Recherches sur les amphores grecques*, BCH Suppl. XIII, 1986, p. 491–496.
- Prêteux 2016 – F. Prêteux, *Des cités sans commerçants ? Echanges et relations commerciales dans les cités des Détroits*, DHA Suppl. 15, 2016, p. 267–288.
- Pсарopoulos 1984 – B. Pсарopoulos, *Last potters of the East Aegean, Nauplion*, s.d. (1984?).

- Ruban 1980 – V. V. Ruban, *О датировке Ягорлыцкого поселения*, in: *Исследования по античной археологии Северного Причерноморья*, Kiev, 1980, p. 104–114.
- Salviat 1990 – F. Salviat, *Vignes et vins anciens de Maronée à Mendée*, in: *Πολις και Χωρα στην αρχαια Μακεδονια και Θρακη*, Thessaloniki, 1990, p. 458–476.
- Sezgin 2012 – Y. Sezgin, *Arkaik dönem Ionia üretimi ticari amphoralar*, Istanbul, 2012.
- Şenol 2006 – G. C. Şenol, *Klasik ve hellenistik mühürlü amphora üreten merkezler ve mühürleme sistemleri*, Istanbul, 2006.
- Sifounakis 1986 – N. Sifounakis, *Βιομηχανικα Κτιρια στη Λεσβο*, Athens, 1986.
- Simandiris 1896 – A. Simandiris, *Lettre de Mételin*, *Revue commerciale du Levant*. Bull. mensuel de la Chambre de Commerce française de Constantinople 113, 1896, p. 31–33.
- Spencer 1995 – N. Spencer, *Early Lesbos between East and West: a 'grey area' of Aegean archaeology*, *BSA* 90, 1995, p. 269–306, pl. 33.
- Tekkök-Biçken 2000 – B. Tekkök-Biçken, *Pottery Production in the Troad. Ancient and Modern Akköy*, *Near Eastern Archaeology* 63, 2000, 2, p. 94–101.
- Tekkök-Biçken 2011 – B. Tekkök-Biçken, *Remnants of Çanakkale Glazed Ware: A Long Tradition of Glazing in the Troad Region*, *Near Eastern Archaeology* 74, 2011, 4, p. 226–235.
- Thompson 1969 – L. A. Thompson, *The Kingdom of Kush and the Classical World*, in: *Nigeria and the Classics XI*, 1969, p. 26–48.
- Whitbread 1995 – I. K. Whitbread, *Greek transport amphorae. A petrological and archaeological Study*, Fitch Laboratory Occasional Papers 4, Athens, 1995.
- Yaldır 2011 – A. K. Yaldır, *Imported trade amphoras in Daskyleion from the seventh and sixth centuries BC and the Hellespontine-Phrygia route*, *WorldA* 43, 2011, 3, p. 364–379.

THE LATE ROMAN AMPHORAE FROM TROPAEUM TRAIANI, SECTOR A (NORTH OF THE BASILICA A), 2005–2016

Bianca GRIGORAȘ^a, Adriana PANAIT^b

^a National Institute of Heritage, Bucharest; Al. I. Cuza University, Iași, Faculty of History, PhD student; e-mail: grigoras.biancaelena@gmail.com

^b Vasile Pârvan Institute of Archaeology, Romanian Academy; e-mail: panait_adriana92@yahoo.com

Keywords: Tropaeum Traiani, Late Roman period, amphorae, trade, economy

Abstract: This paper reports the characterization of 82 amphorae fragments discovered in archaeological contexts at Tropaeum Traiani (Adamclisi, Constanța County, Romania), in Sector A (north of the Basilica A), from 2005 to 2016, dated between the 4th–6th centuries AD, in an attempt to understand the consumption and circulation of different commodities, as well as the trade connections of this settlement from the Lower Danube with the rest of the Roman world during the Late Antiquity period. The 82 fragments of Late Roman amphorae presented in this study belong to an assemblage including a total number of 283 amphorae fragments. The ceramic material is divided into 15 types, subtypes and variants of amphorae. The statistics based on the entire amphorae assemblage show the predominance of LRA 2 (38%) and LRA 1 (33%), while LRA 3 is less represented. The imports of olive oil represent 76% of the total imports, while wine only 24%.

Cuvinte-cheie: Tropaeum Traiani, perioada romană târzie, amfore, comerț, economie

Rezumat: În încercarea de a înțelege consumul și circulația diferitelor mărfuri, precum și legăturile comerciale ale așezării de la Tropaeum Traiani (Adamclisi, județul Constanța, România), de la Dunărea de Jos cu restul lumii romane în perioada antică târzie, un lot de 82 de fragmente de amfore descoperite în diverse contexte arheologice în această așezare, în sectorul A (la nord de Basilica A), între anii 2005–2016, datate între secolele IV–VI d.Hr. este analizat în articolul de față. Cele 82 de fragmente de amfore romane târzii prezentate în acest studiu aparțin unui ansamblu care include un număr total de 283 de fragmente de amfore. Materialul ceramic este împărțit în 15 tipuri, subtipuri și variante de amfore. Statisticile bazate pe întregul ansamblu de amfore arată predominanța tipurilor LRA 2 (38%) și LRA 1 (33%), în timp ce LRA 3 este mai puțin reprezentat. Importurile de ulei de măsline reprezintă 76% din totalul importurilor, iar cele de vin doar 24%.

INTRODUCTION

This study reports the characterization of an assemblage of Roman amphorae finds (82 fragments) excavated in well-defined archaeological contexts at Tropaeum Traiani, Constanța County, Romania, on the so-called Sector A – North of the Basilica A.

Recently, archaeological research has been resumed north of Basilica A, in order to identify the annexes, the relations between them and to the nearby monuments. The ultimate goal of the archaeological research is to reveal the entire insula to which the basilica belonged. The archaeological research is carried out by digging parallel trenches, oriented perpendicular to the northern side of the basilica, starting from the city wall and reaching the cardo, numbered in the continuation of the old trenches. From 2005 to 2016, 38 trenches with a standard size of 5 × 3 m, disposed in a grid system, with one-meter baulks between them were excavated. Depending on the requirements of the research, local topography and the

already existing monuments, baulks were dismantled and more trenches of varying sizes were drawn (Pl. I).

The general stratigraphy of the investigated area is the following: vegetal layer; gravel mixed with grey soil; grey soil; debris with fragments of tiles, bricks and stones; yellow ash coat clay and occupation layer – clay floor. Although based on drawing parallel sections, this research also meets the requirements of an investigation over a large area, more precisely, from the city walls to cardo street, which allows a better observation and understanding of late Roman urbanism. To accomplish this goal, archaeological excavation was limited only to the investigation of the last, late Roman levels of functioning of the city¹.

Archaeological research is still ongoing, but so far it has led to the partial or complete identification of several buildings in the immediate vicinity (A 5 and A 15) or attached to the northern wall of the basilica (two annex rooms: on the north-eastern and north-western corners). It was noticed that they focus on two points, one in the north of the atrium and narthex of the basilica and

¹ The last archaeological excavation season took place in 2016. From the following year until now, the Tropaeum Traiani archaeological site has not received any funding from the Ministry of Culture and National

Identity. Panait 2006; 2007; 2009; 2010; 2011; 2012; 2013; 2014; 2015; 2016; 2017; Panait, Vâlcu 2019, p. 157–158.

another in its northeastern corner. Since there are no other buildings in between, this space was probably a courtyard. This empty area was identified in 2009², when a geomagnetic survey provided the evidence of its great dimensions. This region without constructions lies almost in the middle of the northern wall of the basilica, between the two aforementioned areas.

The results of the archaeological research summarized so far allowed us to assume that some additional buildings and a yard where Christians could assemble for different celebrations were located on the northern side of the basilica. The elements identified in the research indicate the existence of an enclosure on the northern side of the basilica, separating the yard and the annexes from the rest of the civil buildings located in this part of the Late Roman town.

METHODOLOGY

The Late Roman Amphorae³ were divided according to their contents and production centres. The fabric had been observed with a magnifying glass and the fabric pictures were taken with a digital camera Olympus Tough TG-4. The most important aspect is the production centre, because once established, it can offer relevant information about the type of commerce and the actors involved in the activity of transportation and distribution. Therefore, the amphorae fragments were set on types and we have chosen to illustrate the most representative fragments while the others can be found on the final statistic, which was made by counting all the rims, bases and handles⁴. The colour of the fabric was indicated using Munsell colour system. The chronological frame of the analysed fragments was mainly based on typology, but also taking into account the stratigraphic arguments, since the artefacts were discovered in well-defined and well dated archaeological layers. In the general stratigraphy of the roman city those are NV, NVIA, and NVIB⁵.

² Ștefan *et alii* 2010a, p. 23; Ștefan *et alii* 2010b, p. 23–24.

³ The present study takes into consideration only the Late Roman imported amphoras. The questions concerning the locally produced amphoras will be answered in a separate paper.

⁴ All the drawings of the amphorae fragments and the fabric photos were made by Bianca Grigoraș. The fabric photos were increased about six times on the plates.

⁵ Bogdan Cătănicu, Barnea 1979a, p. 35–45.

⁶ Opaț 2021.

⁷ Tezgör 2010, p. 128–129.

⁸ Opaț 2010, p. 375.

⁹ The following abbreviations were used: TT = Tropaeum Traiani; S = Trench; S A2β = trial trench, near the city wall, inside room β from the Edifice no. A2; RD = rim diameter; BD = base diameter; PH = preserved height; HD = handle diameter; A5 = Edifice no. 5; A4 = Edifice no. 4; SS

WINE AMPHORAE

South Pontic Production Centres

Carrot amphorae

This amphora shape was frequently made by many production centres: Sinope, Heraclea, and an unknown centre, maybe Amastris⁶.

Sinopean Carrot amphorae

There are only three rims belonging to this type, and according to their fabric, they have a Sinopean origin. Their different sizes suggest the existence of variation in variants and capacities. The first one has a groove on the top and at the exterior of the rim (inv. 110/2013). According to Tezgör's typology, this can be included in the large type C Snp I-1⁷. Given the rim diameter, this fragment can be assigned to the subtype dated between the middle of the 4th century AD and the beginning of the 5th century AD, while its capacity is varying between ca. 23, 32, and 36 litres⁸. Another fragment (inv. 75/2014) has also a groove on the top and at the exterior of the rim. These grooves are less deep than at the previous one, and the fragment is dated to the second half of the 4th century – first half of the 5th century AD. In the second and the third quarter of the 5th century, it seems that the Sinopean amphorae became more elongated and decreased their capacity. From this period, we have found only one amphora fragment. This rim (inv. 131/2014) is vertical, with a shallow groove at the exterior.

Catalogue⁹:

- INV 110.** Fragmentary rim; Tezgör type C Snp I-1 large; TT 2013, S 25; RD = 12 cm; PH = 2 cm; colour: reddish yellow 5YR 6/6; date: the second half of the 4th century – first half of the 5th century AD; analogies: Hamyris¹⁰, Topraichioi¹¹, Ibida¹², Baia¹³, Novae¹⁴, Iatrus¹⁵ (Pl. II/1).
- INV 75.** Fragmentary rim; Tezgör type C Snp I-1; TT 2014, S 18; RD = 10 cm; PH = 3.5 cm; colour: very pale brown 7.5YR 7/4; date: the second half of the 4th century – first half of the 5th century AD; analogies: Dinogetia¹⁶, Halmyris¹⁷, Topraichioi¹⁸ (Pl. II/2).
- INV 131.** Fragmentary rim; Tezgör type C Snp III-2b; TT 2014, S 18; RD = 6 cm; PH = 6 cm; colour: reddish yellow 5YR 6/6; date: in the second and third quarter of the 5th century AD; analogies: Troesmis¹⁹, Halmyris²⁰, Topraichioi²¹, Tomis²², (Pl. II/3).

34–36 = trial trench on the western side of the surface previously occupied by the trenches 34, 35, 36.

¹⁰ Paraschiv 2000–2001, p. 460, pl. I/1–3.

¹¹ Opaț 1991b, p. 241, fig. 23/1.

¹² Paraschiv 2000–2001, p. 460.

¹³ Paraschiv 2004, p. 159, pl. IV/2.

¹⁴ Biernacki, Klenina 2015, p. 99.

¹⁵ Conrad 2007, p. 212, fig. 1.949.

¹⁶ Opaț *et alii* 2020, p. 385, fig. 4/23.

¹⁷ Topoleanu 2003, p. 200, pl. XL/10.

¹⁸ Opaț 1991b, p. 241, fig. 23/1.

¹⁹ Opaț 1980, p. 306, 308, pl. XI/3, XII/4.

²⁰ Opaț 1991a, p. 148.

²¹ Opaț 1991b, p. 241, fig. 24/1.

²² Rădulescu 1976, p. 107–108, pl. X/4a.

South Pontic Amphorae (unknown centre)

According to the form and the fabric of the amphorae we were able to identify multiple variants and subtypes from the south Pontic production centres. They have different dimensions and some of them are rich in iron inclusions, while others have many white inclusions.

The unknown amphora type illustrated by the fragment inv. no. 14/2016 was discussed by D. Paraschiv²³, A. Opaïț²⁴, and D. Tezgör²⁵. In Paraschiv's typology it was included into form D and is not assigned to a specific centre. It has a slight concavity under the rim and a long neck. Its dating starts from the middle of the 4th century AD and goes no later than mid-5th century AD²⁶. The fabric is different and according to Opaïț it may come from an unknown south Pontic centre of production²⁷. D. Tezgör proposes a west Pontic centre, taking into consideration the constant presence of those amphorae in Scythia²⁸. The fragment has in composition iron oxide and foraminifera, while the colour is red.

Catalogue:

4. **INV 14.** Rim. TT 2016, S 45; PH = 5.5 cm; colour: red 2.5YR 5/6; date: the middle of the 4th century – as late as the beginning of the 5th century AD; analogies: Noviodunum²⁹, Topraichioi³⁰, Patara³¹, Samsun and Ereğli museum³² (Pl. II/4).

South Pontic LRA 1 imitations - Böttger II-4/Opaïț D-II

Given the rich in iron oxide fabric and the whitish inclusion, this amphora type, according to A. Opaïț, may also be a south Pontic production, possibly Amastis³³. The rim is thick and the neck has grooves. The fragments found at Tropaeum Traiani have the rim diameter varying between 7 and 10 cm, which suggest different capacities. Analogies: Halmyris³⁴, Topraichioi³⁵, Ulmetum³⁶, Tomis³⁷, Iatrus³⁸, Sinope³⁹. This type can be dated from the 5th to the 6th centuries AD.

Catalogue:

5. **INV 91.** Rim. TT 2013, S 25/27 dismantling baulk; RD = 6.5 cm; PH = 6 cm; colour: yellowish red 5YR 5/6; date: the 5th–6th centuries AD (Pl. II/5).
6. **INV 107.** Rim. TT 2013, S 38; RD = 10 cm; PH = 4.5 cm; colour: red light 2.5YR 6/6; date: the end of the 6th – beginning of the 7th centuries AD (Pl. II/6).
7. **INV 197.** Rim. TT 2016, S 21; RD = 9 cm; PH = 4 cm; colour: red 2.5YR 5/6-5/8; date: the 5th–6th centuries AD (Pl. II/7).
8. **INV 264.** Rim. TT 2013, S 18; RD = 8 cm; PH = 3.5 cm; colour: red 2.5YR 5/6; date: the 5th–6th centuries AD (Pl. II/8).

²³ Paraschiv 2000–2001.

²⁴ Opaïț 2010.

²⁵ Tezgör 2020, p. 81–83 (type C Snp III-1 similis).

²⁶ Paraschiv 2000–2001, p. 462, pl. II/12.

²⁷ Opaïț 2010, p. 389, 391.

²⁸ Tezgör 2020, p. 80.

²⁹ Paraschiv 2000–2001, p. 462, pl. II/12.

³⁰ Opaïț 1991b, p. 255–256, pl. 25/3; Opaïț 2010, p. 389, 391, fig. 8/1b.

³¹ DüNDAR 2018, p. 171, fig. 11.

³² Tezgör 2020, p. 81–83, pl. XXIX/5–6.

³³ Opaïț 2021.

³⁴ Opaïț 1991a, p. 146–147, pl. 19/11–12.

³⁵ Opaïț 1991b, p. 217, pl. 22/1, 2.

9. **INV 5661.** Rim. TT 2009, S 25; RD = 7 cm; PH = 10.5 cm; colour: yellowish red 5YR 5/6; date: the 5th–6th centuries AD (Pl. II/9).

The following subtype has a slightly flaring rim, not very distinctive from the neck. It can be dated to the end of the 6th century and beginning of the 7th century AD. The fabric has white inclusions (shell?). The fragments from Tropaeum Traiani have a rim diameter which varies between 8 and 9 cm. Analogies: Samsun, Sinope⁴⁰, Chersonesos⁴¹.

Catalogue:

10. **INV 153.** Rim. TT 2016, S 48; RD = 9 cm; PH = 4.6 cm; colour: red 2.5YR 5/6-5/8; date: end of the 6th – beginning of the 7th century AD (Pl. III/10).
11. **INV 177.** Rim. TT 2013, S 20; RD = 10 cm; PH = 5.5 cm; colour: red 2.5YR 5/8; date: end of the 6th – beginning of the 7th century AD (Pl. III/11).
12. **INV 361.** Rim. TT 2011, S 33–36; RD = 8 cm; PH = 3.5 cm; colour: red 2.5YR 5/6-5/8; date: end of the 6th – beginning of the 7th century AD (Pl. III/12).

A variant of this type may be represented by fragments which have a thickened rim with an indentation on the inner side, long neck with multiple grooves on the inside. According to A. Opaïț they may be dated to the late 6th and the beginning of the 7th centuries AD. Analogies: Chersonesos⁴².

Catalogue:

13. **INV 5698.** Rim. TT 2010, S 36; RD = 10 cm; PH = 7 cm; colour: light red 2.5YR 6/6-6/8; date: late 6th and the beginning of the 7th centuries AD (Pl. III/13).
14. **INV 5706.** Rim. TT 2010, S 36; RD = 9 cm; PH = 6.5 cm; colour: light red 2.5YR 6/8; date: early 7th century AD (Pl. III/14).

Opaïț B V

From the south Pontic area is presumed to come some small-sized amphorae (ca. 1–2 litres). According to A. Opaïț, this type may be an imitation of the Kuzmanov XVI type⁴³. It is dated to the end of the 6th century AD, and the fabric is reddish with iron and a whitish slip oxide, and the rim diameter varies from 5 to 6 cm⁴⁴. It is widespread in the province of Scythia but also some examples have been found in Pannonia⁴⁵. Analogies: Troesmis⁴⁶, Halmyris⁴⁷, Ibdia⁴⁸.

Catalogue:

15. **INV 64.** Base; TT 2016, S 19; BD = 2 cm; PH = 2 cm; date: end of the 6th century AD (Pl. III/15).

³⁶ Gămureac 2018, p. 329, pl. VII/37.

³⁷ Opaïț 2021.

³⁸ Conrad 2007, p. 213, fig. 2/1080.

³⁹ Tezgör 2020, p. 87–89, pl. XXXI/6.

⁴⁰ Tezgör 2020, p. 38–39, pl. XVI/1.2.3.

⁴¹ Opaïț 2021.

⁴² Opaïț 2021.

⁴³ Opaïț 2004a, p. 29.

⁴⁴ Opaïț 2004a, p. 29.

⁴⁵ Opaïț 2004a, p. 29.

⁴⁶ Baumann 1980, p. 185, pl. 17/1.

⁴⁷ Opaïț 1991a, p. 144, pl. 15/92; Topoleanu 2000, p. 153, pl. LI/405–405.

⁴⁸ Paraschiv 2014, p. 427, fig. 4/4.

16. **INV 5102.** Upper part; TT 2006, S A2B; RD = 5.4 cm; PH = 11 cm, HD = 2.8/1.6 cm; colour: light red 2.5YR 6/8; date: end of the 6th century AD (Pl. III/16).

A variant of this type may be represented by fragments which have the handle attached nearby or directly on the rim. The rim can be rounded or slightly flattened on top. The earlier subtype can have frequent grooves on the neck. Analogies: Ibida⁴⁹, Ulmetum⁵⁰, Pompeiopolis⁵¹.

Catalogue:

17. **INV 79.** Rim and handle; TT 2011, SS 34–36; HD = 2.8/1.5 cm; PH = 4 cm; colour: light red 2.5YR 6/8; date: second half of the 5th century AD (Pl. IV/17).
18. **INV 246.** The rim is missing. TT 2016, S 47; PH = 4 cm; colour: red 2.5YR 5/6–5/8; date: 6th century AD (Pl. IV/18).
19. **INV 3851.** Rim and handle; TT 2005, S 10; RD = 6 cm; PH = 4 cm, HD = 2.6/1.4 cm; colour: red 2.5YR 5/6; date: end of the 6th century AD (Pl. IV/19).
20. **INV. 3872.** Rim. TT 2005, inside A5, last level; RD = 4.4 cm; PH = 4.2 cm; colour: yellowish red 5YR 5/6; date: end of the 6th century AD (Pl. IV/20).
21. **INV 3981.** Rim. TT 2005, between A4 and A5, last level; PH = 4.5 cm, HD = 2.8/2.2 cm; colour: red 2.5YR 5/6–5/8; date: end of the 6th century AD (Pl. IV/21).
22. **INV 250.** Rim. TT 2016, S 47; RD = 6 cm; PH = 3; colour: red 2.5YR 5/8; date: 5th–6th centuries AD (Pl. IV/22).

West Pontic Amphorae

From the west Pontic area, the most popular amphora is type **Kuzmanov XV**. This type has been analysed and discussed by D. Kuzmanov⁵², A. Opaïț⁵³ and D. Paraschiv⁵⁴. At Tropaeum Traiani this is represented by the upper (one fragment) and lower parts (three fragments). It dates from the second half of the 5th century AD to the first half of the 6th century AD, while the fabric is reddish with large iron oxides inclusions. The only fragment of rim preserved has a diameter of 10 cm, while the base diameters are of 4 cm. Analogies: Dinogetia⁵⁵, Halmyris⁵⁶, Ibida⁵⁷, Capidava⁵⁸, Dichin⁵⁹, Amasra Museum⁶⁰.

Catalogue:

23. **INV 5643.** Rim. TT 2009, S 25; RD = 11 cm; PH = 6 cm; colour: red 2.5YR 5/6; date: the second half of the 5th century AD to the first half of the 6th century AD (Pl. V/23).
24. **INV 5499.** Base. TT 2008, S 22; BD = 3 cm; PH = 15 cm; colour: red

2.5YR 5/6; date: the second half of the 5th century AD to the first half of the 6th century AD (Pl. V/24).

25. **INV 6333.** Base. TT 2009, S 25; BD = 3 cm; PH = 18 cm; colour: red 2.5YR 5/6; date: the second half of the 5th century AD to the first half of the 6th century AD (Pl. V/25).
26. **INV 203.** Base. TT 2012, S 30; BD = 4 cm; PH = 10 cm; colour: reddish yellow 5YR 6/6; date: the second half of the 5th century AD to the first half of the 6th century AD (Pl. V/26).

Kuzmanov XVI

This type is represented at Tropaeum Traiani only by two lower parts. The dimensions of this type are small, and the capacities seems to be of only 2 or 3 litres, as shown by A. Opaïț's calculations on the amphorae found at Halmyris⁶¹. This type is widespread in Scythia but also in small quantities in Moesia Secunda⁶². Analogies: Halmyris⁶³, Ibida⁶⁴, Ulmetum⁶⁵, Capidava⁶⁶, Chernomorets⁶⁷.

Catalogue:

27. **INV 65.** Base. TT 2015, S 43; BD = 1 cm; PH = 13.5 cm; colour: red 2.5YR 5/6–5/8; date: the 5th century to the 6th century AD (Pl. IV/27).
28. **INV 104.** Base. TT 2015, S 43; BD = 1 cm; PH = 6 cm; colour: red 2.5YR 5/8; date: the 5th century to the 6th century AD (Pl. IV/28).

West Asia Minor - LRA 3 Amphorae

The amphorae produced in the area Sardis – Miletus – Pergamon are present in a small number in the Lower Danube area⁶⁸. This fact is also reflected in our discoveries as it is represented in our sector only by two bases, dated in the 5th century AD. Analogies: Dinogetia⁶⁹, Halmyris⁷⁰, Topraichioi⁷¹, Tropaeum Traiani⁷², Novae⁷³, Iatrus⁷⁴, Alexandria⁷⁵.

Catalogue:

29. **INV 610.** Base. TT 2012, S 37; colour: red 2.5YR 4/6; BD = 3 cm; PH = 3 cm; date: 5th century AD (Pl. VI/29).
30. **INV 169.** Base. TT 2013, S 20; colour: brown 7.5YR 5/3; BD = 3 cm; PH = 2.5 cm; date: 5th century AD (Pl. VI/30).

Gaza Area

The Gaza wine gained its popularity during the 5th and 6th centuries AD, being considered a vintage wine⁷⁶. It became common in the Mediterranean trade, mainly on the shores of the Eastern Mediterranean, but it was also found in the Western Mediterranean, the Black Sea, and the Aegean⁷⁷. In Scythia, the LRA 4 amphorae are present in small quantities during the 4th century AD, but increased

⁴⁹ Paraschiv 2014, p. 427, fig. 5/5.

⁵⁰ Gămureac 2018, p. 327, pl. V/20.

⁵¹ Opaïț 2018, p. 702, fig. 29–30.

⁵² Kuzmanov 1985.

⁵³ Opaïț 2004a, p. 28–29.

⁵⁴ Paraschiv 2002, p. 15–16.

⁵⁵ Opaïț *et alii* 2020, p. 385, fig. 4/22.

⁵⁶ Topoleanu 2000, p. 151, pl. XLVIII/390–393.

⁵⁷ Opaïț 1991c, p. 26, fig. 6/26; Paraschiv, Mocanu 2010, p. 538, pl. III/1; Paraschiv 2014, p. 426, fig. 3/1–4.

⁵⁸ Opraș 2003, p. 73, pl. XXV/125.

⁵⁹ Swan 2019, p. 543, fig. 20/28.

⁶⁰ Tezgör 2020, p. 72–73, pl. XXVIII/1.

⁶¹ Opaïț 2004a, p. 28.

⁶² Paraschiv 2002, p. 180.

⁶³ Topoleanu 2000, p. 152, pl. XLIX/395–400.

⁶⁴ Paraschiv, Mocanu 2010, p. 538; Paraschiv 2014, p. 427, fig. 4/3.

⁶⁵ Gămureac 2018, p. 323, pl. IV/1.

⁶⁶ Opraș 2003, p. 74, pl. XXVI.

⁶⁷ Hristov 2015, p. 104, fig. VI/2.

⁶⁸ Opaïț 2017, p. 597.

⁶⁹ Opaïț *et alii* 2020, p. 385, fig. 26/27.

⁷⁰ Topoleanu 2000, p. 136, pl. XLII/345; Opaïț 2017, p. 597.

⁷¹ Opaïț 1991b, p. 245, pl. 27/4.

⁷² Gămureac 2009, p. 250, pl. II/10.

⁷³ Biernacki, Klenina 2015, p. 108, fig. 8/4.

⁷⁴ Conrad 2007, p. 213, fig. 2/1081.

⁷⁵ Bonifay, Leffy 2002, p. 77, fig. 9/79–80.

⁷⁶ Mayerson 1985; 1992; Pieri 2005.

⁷⁷ Regev 2004, p. 348.

their presence in the 5th and the 6th centuries AD, as it is shown by the discoveries from Dinogetia⁷⁸, Halmyris⁷⁹, and Tropaeum Traiani⁸⁰. The fragments discovered were divided according to A. Opaït typology⁸¹ in the following subtypes:

1. The fragment INV 147/2011 may be included in subtype LRA 4 A2, having a vertical rim, with a concavity on the inside, and an elongated body. This may be dated to the beginning of the 5th century AD. The INV 349/2011 can be assigned to the subtype LRA 4 A4, dated from the second half of the 5th century to the 6th century AD, for which the rim is taller and ends in a small hook. Analogies: Dinogetia⁸², Halmyris⁸³, Tomis⁸⁴, Novae⁸⁵.

Catalogue:

31. **INV 147.** Rim. TT 2011, S 28; RD = 10 cm; PH = 2.5 cm; colour: reddish yellow 5YR 6/6; date: the beginning of the 5th century AD (Pl. VI/31).
32. **INV 349.** Rim. TT 2011, S 34–36; RD = 12 cm; PH = 4 cm; colour: yellowish red 5YR 5/6; date: the beginning of the 5th century AD (Pl. VI/32).

2. The fragment included in the second subtype - LRA 4 B - has a short, rounded, thickened rim. According to the analogies it may be dated at the beginning of the second half of the 5th century AD. Analogies: Topraichioi⁸⁶, Novae⁸⁷, Beyrouth⁸⁸, Svetinja⁸⁹.

Catalogue:

33. **INV 109.** Rim. TT 2012, S 38; RD = 12 cm; PH = 5 cm; colour: the core is light brownish yellow 10YR 6/4, margins yellowish red 5YR 5/6; date: the second half of the 5th century AD (Pl. VI/33).

3. LRA 4 D has a vertical rim, with a groove on the inside. This may be dated to the 5th century AD. Analogies: Capidava⁹⁰, Chernomorets⁹¹, Patara⁹².

Catalogue:

34. **INV 5106.** Rim. TT 2006, S 18; RD = 10 cm; PH = 2 cm; colour: the core is light olive brown 2.5Y 5/4, margins reddish yellow 5YR 6/6; date: the 5th century AD (Pl. VI/34).
35. **INV 5586.** Rim. TT 2009, S 18; RD = 10 cm; PH = 2 cm; colour: reddish yellow 5YR 6/6; date: the 5th century AD (Pl. VI/35).
36. **INV 5304.** Rim. TT 2008, sector A, S 23; RD = 12 cm; PH = 4 cm; colour: yellowish red 5YR 5/6; date: the 5th century AD (Pl. VI/36).

4. The last LRA 4 amphorae which arrived to the Tropaeum Traiani were included in the LRA 4 C2 subtype, being dated to the second half of the 6th century AD. The rim is vertical and the body more elongated. One of the amphorae has traces of secondary burning (INV. 3954/2010). Analogies: Capidava⁹³, Troesmis⁹⁴, Noviodunum⁹⁵, Halmyris⁹⁶, Ibida⁹⁷, Histria⁹⁸, Tomis⁹⁹, Novae¹⁰⁰, Iatrus¹⁰¹, Byllis¹⁰², Beyrouth¹⁰³, Saraçhane (Istanbul)¹⁰⁴, Caesarea Maritima¹⁰⁵.

Catalogue:

37. **INV 46.** Rim. TT 2016, S 44; RD = 10 cm; PH = 4 cm; colour: brown 7.5 YR 5/4; date: the second half of the 6th century AD (Pl. VII/37).
38. **INV 379.** Rim. TT 2012, S 40; RD = 10 cm; PH = 4 cm; colour: reddish yellow 5YR 6/6; date: the second half of the 6th century AD (Pl. VII/38).
39. **INV 6437.** Rim. TT 2010, S 36; RD = 13 cm; PH = 10.5 cm; HD = 3/2.5 cm; colour: yellowish red 5YR 5/6 date: the second half of the 6th century AD (Pl. VII/39).
40. **INV 672.** Rim. TT 2012, S 38; RD = 10 cm; PH = 6 cm; colour: yellowish red 5YR 5/6; date: the second half of the 6th century AD (Pl. VII/40).
41. **INV 3954.** Rim. TT 2010, inside A5, on the floor, -0.90-1.10 m; RD = 12 cm; PH = 10 cm; HD = 3/2 cm; colour: grey 5YR 5/1; date: the second half of the 6th century AD (Pl. VII/41).

Cilicia/Cyprus amphorae

LRA 1 Amphorae

The LRA 1 amphorae are present in the Lower Danube area between the second half of the 4th century AD and the beginning of the 7th century AD. They have multiple fabrics and this fact suggests multiple workshops. Possible workshops were identified in Cilicia, Cyprus, and in the 7th century at Rhodes¹⁰⁶. According to A. Opaït, they can be divided into many subtypes and variants¹⁰⁷, many of them being identified also at Tropaeum Traiani.

1. Subtype LRA 1 A3 (INV. 125/2013, 5103/2006) has a folded band rim with a slight concavity, short, slightly cylindrical, narrow tronconical neck, twisted handles, with a pear-shaped body ending in a small nipple. Some of them have a *dipinto* on the shoulder (INV. 5103/2006). Analogies: Ulmetum¹⁰⁸, Callatis¹⁰⁹, Sacidava¹¹⁰, Troesmis¹¹¹, Iatrus¹¹².

⁷⁸ Opaït et alii 2020, p. 385, fig. 5/28.

⁷⁹ Opaït 2017, p. 599.

⁸⁰ Bogdan Cătănciu, Barnea 1979b, p. 190, fig. 170/310.

⁸¹ Opaït 2004a, p. 20–22.

⁸² Opaït et alii 2020, p. 385, fig. 5/28.

⁸³ Opaït 1991a, p. 180, fig. 14/40808; Suceveanu et alii 2003, p. 311, pl. LI/24.

⁸⁴ Bucovală 1988, p. 187, fig. 16.

⁸⁵ Biernacki, Klenina 2015, p. 112, fig. 12/6.

⁸⁶ Opaït 1991b, p. 234, pl. 16/2.

⁸⁷ Biernacki, Klenina 2015, p. 112, fig. 12/10.

⁸⁸ Pieri 2007, p. 297–327.

⁸⁹ Ivanišević 2016, p. 93, fig. 7/14.

⁹⁰ Opreș 2003, p. 65–68, fig. XXII/105.

⁹¹ Hristov 2015, p. 96–97, fig. VI–8/38.

⁹² Dündar 2018, p. 170, fig. 7.

⁹³ Opreș, Rațiu 2017, p. 84, pl. 6.

⁹⁴ Baumann 1980, p. 184, pl. 17/2.

⁹⁵ Barnea, Barnea 1984, p. 102, pl. VIII/3.

⁹⁶ Topoleanu 2000, p. 137, pl. XLIII/346–347.

⁹⁷ Opaït 1991c, p. 30, fig. 6/33.

⁹⁸ Bădescu, Bivolaru 2015, p. 197, fig. 6/7.

⁹⁹ Bucovală, Pașca 1988–1989, p. 142, pl. 9/b–c.

¹⁰⁰ Biernacki, Klenina 2015, p. 112, fig. 12/3.

¹⁰¹ Conrad 2007, p. 214, fig. 3/1222.

¹⁰² Bonifay 2008, p. 949, fig. 17/11.

¹⁰³ Pieri 2007, p. 304–305, fig. 6.

¹⁰⁴ Hayes 1992, p. 64, fig. 22/5.

¹⁰⁵ Johnson 2008, p. 97, catalogue 1180.

¹⁰⁶ Opaït 2004b, p. 294.

¹⁰⁷ Opaït 2004a, p. 8–10.

¹⁰⁸ Gămureac 2017, p. 263, pl. VIII/45.

¹⁰⁹ Opaït, Ionescu 2016, p. 71, pl. XIX/111.

¹¹⁰ Scorpan 1973, p. 320, fig. 34.

¹¹¹ Baumann 1980, p. 182–185, pl. 15/1.

¹¹² Opaït 2004b, p. 294, fig. 2.

Catalogue:

42. **INV 125.** Upper part; TT 2013, S 20; RD = 9 cm; PH = 10.5 cm; colour: very pale brown 10YR 7/4; date: AD 425–460 (Pl. VIII/42).
 43. **INV 5103**¹¹³. Upper part; TT 2006, S A2β; RD = 8.7 cm; PH = 25 cm; HD = 3/2.8 cm; colour: pink 7.5YR 7/4; date: AD 425–460 (Pl. VIII/43).
2. A special variant of this subtype is represented by INV. 5104/2006 and P. Reylods indicates a Cilician production¹¹⁴. Analogies come from Ibida¹¹⁵.

Catalogue:

44. **INV 5104.** Rim fragment. TT 2006, S 18; RD = 8 cm; PH = 11 cm; HD = 3.2/2.9 cm; colour: reddish yellow 5YR 6/6; date: beginning of the 5th century AD (Pl. VIII/44).
3. One of the subtypes, LRA 1 A4, dated to the 6th century AD, continues to have a folded rim with a large concavity on the exterior. The body continues to be pear-shaped and the base has a small indent. Analogies: Troesmis¹¹⁶, Halmyris¹¹⁷, Ulmetum¹¹⁸, Histria¹¹⁹, Tomis¹²⁰, Knidos¹²¹, Beyrouth¹²², Antinoopolis¹²³, Svetinja¹²⁴, Carthage¹²⁵, Caesarea Maritima¹²⁶.

Catalogue:

45. **INV 5456.** Rim fragment; TT 2008, S 22; RD = 9 cm; PH = 9 cm; colour: the core is very pale brown 10YR 7/4; date: AD 500–550 (Pl. IX/45).
 46. **INV 48.** Rim fragment; TT 2016, S 44; RD = 10 cm; PH = 9 cm; colour: light brown 7.5YR 6/4; date: 580–600 AD (Pl. IX/46).
 47. **INV 5051.** Rim fragment; TT 2006, S 13; RD = 14; PH = 6.5 cm; colour: very pale brown 10YR 7/4; date: the second half of the 6th century AD (Pl. IX/47).
 48. **INV 174.** Upper part; TT 2014, S 43; RD = 10; PH = 10 cm; colour: reddish yellow 7.5YR 7/6–6/6; date: the second half of the 6th century AD (Pl. IX/48).
 49. **INV 190.** Rim fragment; TT 2016, S 48; RD = 12; PH = 7 cm; colour: pink 7.5YR 7/3; date: the second half of the 6th century AD (Pl. IX/49).
 50. **INV 619.** Rim fragment; TT 2012, S 37; RD = 8 cm; PH = 6 cm; HD 3.8/2.9 cm; colour: light brown grey 2.5Y 6/2; date: the second half of the 6th century AD (Pl. IX/50).

4. In this subtype we may also include the fragments which have a sharp rim, with a deep concavity followed by a rib. Under the rim starts the handle. The neck is long, measuring 11 cm (5002/2006). These fragments are dated in the late 6th century AD. Analogies: Halmyris¹²⁷, Ibida¹²⁸, Histria¹²⁹, Sacidava¹³⁰, Capidava¹³¹, Knidos¹³², Elaiussa Sebaste¹³³, Beyrouth¹³⁴, Svetinja¹³⁵, Caesarea Maritima¹³⁶.

Catalogue:

51. **INV 6485.** Rim fragment; TT 2010, S 34/36, dismantling baulk; RD = 10 cm; PH = 6.5 cm; colour: brown 7.5YR 5/3; date: the second half of the 6th century AD (Pl. X/51).
 52. **INV 154.** Rim fragment; TT 2016, S 48; RD = 10 cm; PH = 7 cm; HD = 3.5/2.6 cm; colour: reddish yellow 5YR 6/6; date: AD 580–600 (Pl. X/52).
 53. **INV 5002.** Upper part; TT 2006, S 16; RD = 10; PH = 12; HD = 3.5/2.5 cm; colour: light brown 7.5YR 6/4; date: the second half of the 6th century AD (Pl. X/53).
5. An interesting variant, which is dated to the second half of the 6th century AD, has a short, band rim; the handles begin under the rim and are rounded in section, while the upper part of the neck is short and pushed into the lower part of the neck. Analogies: Ibida¹³⁷, Patara¹³⁸, Chersonesos¹³⁹, Aquae¹⁴⁰, Elaiussa Sebaste¹⁴¹, Kellia¹⁴².

Catalogue:

54. **INV 5221.** Upper part; TT 2006, S 12; RD = 9 cm; PH = 10 cm; HD = 3.3/3 cm; colour: reddish yellow 7.5YR 6/6; date: AD 550–600 (Pl. X/54).
6. The variant LRA 1 B2 is represented by sherds with a round, flaring rim with the handle attached under the rim. Analogies: Halmyris¹⁴³, Topraichioi¹⁴⁴, Capidava¹⁴⁵, Chersonesos¹⁴⁶, Aquae¹⁴⁷, Caesarea Maritima¹⁴⁸.

¹¹³ The fragment was examined by Dragoș Hălămagi (Vasile Pârvan Institute of Archaeology), to whom we would like to thank for the help and information provided. The fragment bears two *dipinti* and a *graffito*. The *dipinto* on the left was painted with thick dark red strokes: only two letters are clearly visible, perhaps ην. The second *dipinto* was added next to it, in light red and with thinner lines. Several letters are discernible, but their reading is hindered by the more stylized cursive hand and the faded traces of paint: a θ in the middle of the word seems clear. Finally, a letter or some other symbol was incised at a later date. Since the two *tituli picti* have a probable commercial nature, the *graffito* may be interpreted, due to its positioning, as a mark associated with retail practices. Nevertheless, a subsequent reuse is also a plausible explanation.

¹¹⁴ Reynolds 2005, p. 577–578, fig. 31.

¹¹⁵ Information A. Opaïț.

¹¹⁶ Lewit 2015, p. 154, fig. 3

¹¹⁷ Opaïț 1991a, p. 184, fig. 18/104; Topoleanu 2000, p. 134–135, pl. XLI/337.

¹¹⁸ Gămureac 2018, p. 339, pl. V/22.

¹¹⁹ Bădescu, Cliante 2014, p. 191, fig. 3; Bădescu, Bivolaru 2015, p. 194–195, fig. 3–4.

¹²⁰ Opaïț 2004b, p. 294, fig. 3.

¹²¹ Doksanalth 2020, p. 522, fig. 5/49.

¹²² Pieri 2007, p. 299–304, fig. 3.1.

¹²³ Pieri 2012, p. 46, fig. 2/13 (2).

¹²⁴ Ivanišević 2016, p. 93, fig. 7/2.

¹²⁵ Reynolds 2005, p. 577–578, fig. 4.

¹²⁶ Johnson 2008, p. 106, catalogue 1264.

¹²⁷ Opaïț 1991a, p. 183, fig. 17/105; Topoleanu 2000, p. 134–135, pl. XLI/338.

¹²⁸ Opaïț 1991c, p. 37, fig. 10/72.

¹²⁹ Bădescu, Bivolaru 2015, p. 194–195, fig. 3–4.

¹³⁰ Scorpan 1975, p. 274–275, pl. X/3.

¹³¹ Opaïț 2003, p. 53–59, pl. XVII/9.

¹³² Doksanalth 2020, p. 522, fig. 5/47.

¹³³ Ferrazzoli, Ricci 2010, p. 815–819, fig. 6/26.

¹³⁴ Pieri 2007, p. 299–304, fig. 4.

¹³⁵ Ivanišević 2016, p. 93, fig. 7/5.

¹³⁶ Johnson 2008, p. 105, catalogue 1263.

¹³⁷ Opaïț 1991c, p. 30, fig. 7/39.

¹³⁸ Dündar 2018, p. 172, fig. 12.

¹³⁹ Opaïț 2004b, p. 305, fig. 34.

¹⁴⁰ Bjelajac 1996, p. 75, fig. XXV/145.

¹⁴¹ Ferrazzoli, Ricci 2010, p. 818, fig. 5/25.

¹⁴² Reynolds 2005, p. 577–578, fig. 33/a.

¹⁴³ Opaïț 1991a, p. 184, fig. 18/106–108; Topoleanu 2000, p. 134–135, pl. XLII/340.

¹⁴⁴ Opaïț 1991b, p. 239, fig. 21/2.

¹⁴⁵ Opaïț 2003, p. 53–59, fig. XVII/11.

¹⁴⁶ Opaïț 2004b, p. 305, fig. 35.

¹⁴⁷ Bjelajac 1996, p. 75, fig. XXV/139.

¹⁴⁸ Johnson 2008, p. 112, catalogue 1349.

Catalogue:

55. **INV 110.** Upper part; TT 2012, S 38; RD = 10 cm; PH = 7 cm; colour: brown 7.5YR 5/4; date: AD 601–615 (Pl. X/55).
56. **INV 372.** Upper part; TT 2012, S 40; RD = 10 cm; PH = 6.5 cm; colour: light brown 7.5YR 6/4; date: AD 601–615 (Pl. X/56).

7. The last variant is represented by a fragment which has a rounded, thickened rim and the handles are set directly on the rim. Analogies: Ibida¹⁴⁹, Beyrouth¹⁵⁰.

Catalogue:

57. **INV 161;** Rim fragment; TT 2015, S 46; RD = 8.7 cm; PH = 12 cm; HD = 4/2.8 cm; colour: brown 7.5YR 5/4; date: The 6th century AD (Pl. X/57).

North African

From the Nord African region, two fragments of Spatheia, Bonifay type 3B were identified. The content of this amphora is debatable, as multiple contents have been discussed, such as wine¹⁵¹, salsamenta¹⁵², *garum*¹⁵³. The Spatheia in the shipwreck Dramont E is supposed to contain olive seeds¹⁵⁴.

Spatheion 3 in Bonifay typology is dated at the end of the 6th century-beginning of the 7th century AD. This type has been decreasing its dimensions from the 5th to the 7th century AD¹⁵⁵. Analogies: Dinogetia¹⁵⁶, Noviodunum¹⁵⁷, Halmyris¹⁵⁸, Ovidiu¹⁵⁹, Cernavodă¹⁶⁰, Capidava¹⁶¹, Dichin¹⁶², Iatrus¹⁶³, Constantinople¹⁶⁴, Yassi Ada¹⁶⁵, Gortyna (Crete)¹⁶⁶, Knidos¹⁶⁷, Svetinja¹⁶⁸. Imitations of Spatheia are known in the South of Spain¹⁶⁹.

Catalogue:

58. **INV 254.** Rim fragment. TT 2012, S 38; RD = 7 cm; PH = 4.5 cm; colour: pale brown 2.5Y 8/3; date: the 6th century – beginning of the 7th century AD (Pl. XI/58).
59. **INV 5176.** Rim fragment and body. TT 2006, S 21; RD = 6.7 cm; PH = 17 cm; date: the 6th century – beginning of the 7th century AD (Pl. XI/59).

¹⁴⁹ The fragment from Ibida has the same fabric with this sherd.

Information A. Opaït.

¹⁵⁰ Pieri 2007, p. 299–304, fig. 3/2.

¹⁵¹ Bonifay 2007, p. 20.

¹⁵² Bonifay 2016, p. 596.

¹⁵³ Bonifay 2005, p. 575.

¹⁵⁴ Bonifay 2007, p. 13.

¹⁵⁵ Bonifay 2010, p. 40.

¹⁵⁶ Opaït *et alii* 2020, p. 386, fig. 7/41.

¹⁵⁷ Barnea, Barnea 1984, p. 102, pl. VIII/1

¹⁵⁸ Opaït 1991a, p. 144, fig. 15/89–90; Topoleanu 2000, p. 147–148, pl. XLVII/378; Topoleanu 2003, p. 215, pl. LV/18.

¹⁵⁹ Bucovaia 1998, p. 187, fig. 17.

¹⁶⁰ Lewit 2015, p. 154, fig. 7.

¹⁶¹ Opraș 2003, p. 51, pl. XVII/1; Opraș, Potârniche 2019, p. 240–243.

¹⁶² Swan 2007, p. 261, fig. 3/29–31.

¹⁶³ Conrad 2007, p. 213–214, fig. 3/1220.

¹⁶⁴ Bonifay 2005, p. 573, fig. 2/16.

¹⁶⁵ Bonifay 2010, p. 56, fig. 4/16.

¹⁶⁶ Perna 2020, p. 495, fig. 8.

OLIVE OIL AMPHORAE

LRA 2

This type was manufactured in the Peloponnese, Aegean islands, the Western Asia Minor coast, and has various subtypes and variants. It had a constant evolution, which can be easily seen in the different sizes of the rims. Thus, in the 4th century AD the rim diameter is 14 cm, in the 5th century AD it decreases to 12 cm, in the 6th century AD and at the beginning of the 7th century AD it has 10¹⁷⁰, while some variants have 8 cm. For some variants we can observe a specific type of fabric.

It is important to stress out that the lids for this amphora type are also well known. Of course, they follow the same evolution as the rim diameters. Although the number of lids does not equate the number of rims, still there are 7 lids discovered until now.

1. The first subtype has a funnel-shaped rim and an internal small concavity. In Perri's typology, this form is included in LRA2 A and is dated to the 5th century AD¹⁷¹. Analogies: Dinogetia¹⁷², Topraichioi¹⁷³, Ibida¹⁷⁴, Histria¹⁷⁵, Dichin¹⁷⁶, Marseille¹⁷⁷, Port-Cros¹⁷⁸, Port-Vendres¹⁷⁹, Thessaloniki¹⁸⁰.

Catalogue:

60. **INV. 5584.** Rim fragment. TT 2009, S 28; RD = 11 cm; PH = 6 cm; RH = 4.8 cm; colour: red 2.5YR 5/8; date: the second half of the 5th century AD (Pl. XI/60).

2. The rim is different from the previous one by being more vertical, the groove between the rim and the neck is visible, but the interior of the rim is less irregular. Analogies: Topraichioi¹⁸¹, Tomis¹⁸². It dates to the end of the 4th century AD.

Catalogue:

61. **INV. 371.** Rim fragment. TT 2012, S 40; RD = 13 cm; PH = 8 cm; RH = 5.5 cm; colour: red 2.5YR 4/8; date: end of the 4th century AD (Pl. XI/61).

¹⁶⁷ Dosksanalth 2020, p. 522, fig. 5/62–63.

¹⁶⁸ Ivanišević 2016, p. 93, fig. 7/9.

¹⁶⁹ Bonifay 2007, p. 14.

¹⁷⁰ A. Opaït informed us about a variant from the 6th century AD with a mouth of 11.5–13 cm wide (Information A. Opaït, based on the analysis of the roman ceramics from Dinogetia).

¹⁷¹ Pierri 2005, p. 86–87, pl. 23/1.

¹⁷² Pierri 2005, p. 86–87.

¹⁷³ Opaït 1984, p. 681, pl. VI/4.

¹⁷⁴ Opaït 1991c, p. 37, fig. 10/70.

¹⁷⁵ Scorpan 1976, p. 159–160, pl. VII/7.

¹⁷⁶ Swan 2019, p. 353, fig. 20.26/16h.611.

¹⁷⁷ Pierri 2005, p. 69–84, pl. 23/1.

¹⁷⁸ Pierri 2005, p. 69–84, pl. 23/2.

¹⁷⁹ Pierri 2005, p. 69–84, pl. 24/2.

¹⁸⁰ Akripoulou, Slampeas 2014, p. 289, fig. 5.

¹⁸¹ Opaït 1984, p. 684, pl. IX/4.

¹⁸² Rădulescu 1973, p. 199; Scorpan 1977, p. 159–160, pl. VII/8; Opaït 1984, p. 677, pl. II/4; Karagiorgou 2001, p. 130, fig. 7/4.

62. **INV. 477.** Rim fragment. TT 2012, S. 14; RD = 13 cm; PH = 5.5 cm; RH = 4.5 cm; colour: red 2.5YR 5/6; date: end of the 4th century AD (Pl. XI/62).

3. The rim is funnel-shaped, delimited from the neck by a deep groove. At the interior, usually we can observe a big concavity followed by ribs. It is dated to the middle of the 5th century AD. Analogies: Dinogetia¹⁸³, Halmyris¹⁸⁴, Topraichioi¹⁸⁵, Dichin¹⁸⁶, Novae¹⁸⁷, Carthage¹⁸⁸, Iatrus¹⁸⁹, Castrum villa on Brijuni Island¹⁹⁰, Neapolis¹⁹¹.

Catalogue:

63. **INV. 24.** Rim fragment. TT 2011, S. 34–36; RD = 12 cm; PH = 9 cm; RH = 5.5 cm; colour: pink 7.5YR 7/4; date: the middle of the 5th century AD (Pl. XI/63).

64. **INV. 249.** Rim fragment. TT 2012, S 38; RD = 14 cm; PH = 6 cm; RH = 5.5 cm; colour: red 2.5YR 5/6; date: the middle of the 5th century AD (Pl. XI/64).

65. **INV. 567.** Rim fragment. TT 2012, S 17; RD = 12 cm; PH = 9 cm; RH = 5.5 cm; colour: light red 2.5YR 6/6; date: the middle of the 5th century AD (Pl. XII/65).

66. **INV. 5487.** Rim fragment. TT 2008, S 22; RD = 14 cm; PH = 5 cm; RH = 5 cm; colour: light red 2.5YR 6/6; date: the middle of the 5th century AD (Pl. XII/66).

67. **INV. 5516.** Rim fragment. TT 2008, S 22; RD = 12 cm; PH = 6.5 cm; RH = 5.5 cm; colour: light red 2.5YR 6/6; date: the middle of the 5th century AD (Pl. XII/67).

68. **INV. 6452.** Rim fragment. TT 2010, S 29; RD = 12 cm; PH = 6.5 cm; RH = 5.5 cm; colour: red 2.5YR 5/6; date: the middle of the 5th century AD (Pl. XII/68).

69. **INV. 6432.** Rim fragment. TT 2010, S 29; RD = 13 cm; PH = 6.5 cm; RH = 6 cm; colour: red 2.5YR 5/6; date: end of the 4th century – beginning to the 5th century AD (Pl. XII/69).

70. **INV. 164.** Rim fragment. TT 2012, S 38; Rim; RD = 12 cm; PH = 5 cm; RH = 5 cm; colour: red 2.5YR 5/6; date: the end of the 4th century – beginning to the 5th century AD (Pl. XII/70).

4. The last subtype is dated to the second half of the 6th century AD and is characterized by a decrease in the rim diameter and the height of the rim. The rim is separated from the neck by a small groove, and the interior preserves a deep groove so the lid of the vessel can be well-attached. In Pierri's typology, this type is included in variant 2B¹⁹². Analogies: Halmyris¹⁹³,

Ibida¹⁹⁴, Tropaeum Traiani¹⁹⁵, Capidava¹⁹⁶, Dichin¹⁹⁷, Novae¹⁹⁸, Chersonesos¹⁹⁹, Marseille²⁰⁰, Kenchreai²⁰¹, Corinth²⁰², Trimammium²⁰³, Caesarea Maritima²⁰⁴, Knidos²⁰⁵, Constantinople, Saraçhane²⁰⁶.

Catalogue:

71. **INV 5164.** Rim fragment. TT 2006, S 11; RD = 10.5 cm; PH = 6 cm; RH = 2.5 cm; colour: pink 7.5YR 7/4; date: the second half of the 6th century AD (Pl. XIII/71).

72. **INV 209.** Rim fragment. TT 2011, S 37; RD = 10 cm; PH = 6 cm; RH = 6 cm; colour: red 2.5YR 5/6; date: the second half of the 6th century AD (Pl. XIII/72).

73. **INV 253.** Rim fragment. TT 2012, S 38; RD = 10 cm; PH = 4.3 cm; RH = 3 cm; colour: light red 2.5 YR 6/6; date: the second half of the 6th century AD (Pl. XIII/73).

74. **INV 5488.** Rim fragment. TT 2008, S 23; RD = 10 cm; PH = 6 cm; RH = 3 cm; colour: reddish grey 2.5YR 6/1; date: the second half of the 6th century AD (Pl. XIII/74).

75. **INV 43.** Rim fragment. TT 2016, S 43; RD = 10 cm; PH = 4.5 cm; RH = 3 cm; colour: light red 2.5YR 6/6; date: the second half of the 6th century AD (Pl. XIII/75).

76. **INV 3853.** Rim fragment. TT 2005, S 10; RD = 10 cm; PH = 3.5 cm; RH = 3 cm; colour: red 2.5YR 5/6; date: the second half of the 6th century AD (Pl. XIII/76).

Pontic – Zeest 80

The Nord Aegean amphorae are represented by fragments of Zeest 80 type, which are supposed to be used for olive oil. The examples found at Tropaeum Traiani are very small sherds, which belong to two upper parts, one base, and other four separated handles. This type has a truncated conical rim with a small concavity on top. The handles are massive with grooves on the top.

In the late Roman period, it seems that this type was distributed in the Black Sea area and for this reason has initially been suggested an origin in this region²⁰⁷. However, recently, A. Opaïț inclines toward a north Aegean origin²⁰⁸. The early Roman subtype seems to reach a more expanded area. The examples from Tropaeum Traiani can be dated in the second half of the 5th century AD. Analogies: Dinogetia²⁰⁹, Agighiol²¹⁰, Topraichioi²¹¹, Sacidava²¹², Heraclea Pontica²¹³, Dichin²¹⁴.

¹⁸³ Barnea 1966, p. 251, fig. 12/7.

¹⁸⁴ Opaïț 2004a, p. 11–12, pl. 6/2.

¹⁸⁵ Opaïț 1984, p. 682, pl. 7/6 (level IV); Opaïț 2004a, p. 11–12, pl. 6/4.

¹⁸⁶ Swan 2019, p. 353, fig. 20.26/16b.605.

¹⁸⁷ Klenina 2013, p. 86, pl. 4/2; Biernacki, Klenina 2015, p. 105, fig. 6/21.

¹⁸⁸ Remolà, Uscatescu 1998, p. 554, fig. 2/3.

¹⁸⁹ Karagiorgou 2001, p. 130, fig. 7/3.

¹⁹⁰ Bezecky *et alii* 2015, p. 193–194, fig. 3/7.

¹⁹¹ Carsana, Del Vecchio 2017, p. 413, fig. 6/23.

¹⁹² Pierri 2005, p. 85–93, pl. 26.

¹⁹³ Topoleanu 2000, p. 132–133, pl. XL; Opaïț 2004a, p. 12; Lewit 2015, p. 154, fig. 4.

¹⁹⁴ Opaïț 1991c, p. 37, fig. 5/24.

¹⁹⁵ Ionescu *et alii* 2013, p. 193, pl. IV/48.

¹⁹⁶ Opraș 2003, p. 59–64, fig. XXI/65–69.

¹⁹⁷ Swan 2019, p. 353, fig. 20.27/18b.624.

¹⁹⁸ Klenina 2013, p. 86, pl. 4/6; Biernacki, Klenina 2015, p. 105, fig. 6/7.

¹⁹⁹ Sazanov 2007, p. 804, fig. 3/7.

²⁰⁰ Pierri 2005, p. 85–93, pl. 26.

²⁰¹ Heath *et alii* 2015, p. 7–9, fig. 5/1.

²⁰² Slane, Sanders 2005, p. 274, fig. 13/4–8.

²⁰³ Sharankov, Varbanov 2018, p. 336–338, fig. 3–6.

²⁰⁴ Johnson 2008, p. 108, catalogue 1288.

²⁰⁵ Doksanalth 2020, p. 522, fig. 5/54–54.

²⁰⁶ Hayes 1992, p. 63, fig. 22/10–11.

²⁰⁷ Opaïț 2004a, p. 26.

²⁰⁸ Information A. Opaïț, based on the analysis of the Roman ceramics from Dinogetia.

²⁰⁹ Barnea 1966, p. 256, fig. 15/6; Opaïț *et alii* 2020, p. 385, fig. 6/35.

²¹⁰ Opaïț 2004a, p. 26.

²¹¹ Opaïț 1991b, p. 231, fig. 13/1–3.

²¹² Scorpan 1973, p. 314, fig. 36/4; Scorpan 1976, p. 163–164, pl. X/3; Opaïț 2004a, p. 26.

²¹³ Opaïț 2004a, p. 26.

²¹⁴ Swan 2019, p. 540, fig. 20.28/22.635.

Catalogue:

77. **INV 63.** Rim fragment. TT 2016, S 19; RD = 10 cm; PH = 3.5 cm; RH = 3 cm; colour: red 2.5YR 5/8; date: second half of the 5th century AD (Pl. XIV/77).
78. **INV 5262.** Rim fragment. TT 2008, S 22; PH = 12.5 cm; colour: red 2.5YR 4/6; date: second half of the 5th century AD (Pl. XIV/78).
79. **INV 175.** Base. TT 2012, S 30; BD = 4 cm; PH = 7.5 cm; colour: brown 7.5YR 4/3; date: second half of the 5th century AD (Pl. XIV/79).

North African Amphorae

The **North African** amphorae which may have been used for olive oil are represented by two different types.

The first type is Keay VIII B represented by two variants. According to Michel Bonifay, the first one (INV. 5238) is an early variant of this type of amphora, something transitional between Keay 59 and Keay VIII B²¹⁵. The height of the rim is small, measuring only 3 cm. At the exterior and interior, it has a concavity. Under the rim we can observe a deep groove.

The second variant (INV. 5210) is also represented by one fragment. The sherd is very fragmentary but the fabric is typical for this type, being pinkish, with yellow cream skin. Analogies: Tomis²¹⁶, Kerch²¹⁷.

Catalogue:

80. **INV 5238.** Rim. TT 2008, S 20; RD = 14 cm; PH = 3 cm; colour: red 2.5YR 5/8; date: middle of the 5th century AD (Pl. XIV/80).
81. **INV 5210.** Rim. TT 2008, S 20; RD = 14 cm; PH = 3 cm; colour: red 2.5YR 5/6; date: middle of the 5th century AD to the beginning of the 6th century AD (Pl. XIV/81).

The Keay LXII Q amphorae are represented only by one base. This is conical and thickened at the middle height of it. Analogies: Dinogetia²¹⁸, Tomis²¹⁹, Nora²²⁰.

Catalogue:

82. **INV 3980.** Base. TT 2005, S 12; BD = 4.5 cm; PH = 15.5 cm; colour: reddish yellow 5YR 7/6; date: second half of the 5th century AD (Pl. XIV/82).

CONCLUSIONS

In spite of the reduced dimensions of this sector, localized in the vicinity of a Christian church, there was found a large number of amphorae (Pl. XV/4). Regarding the wine imports, there are six areas which exported this

commodity. They spread from the south and west Pontic area, to the western coast of the Asia Minor, Cilicia, Cyprus and Gaza. The olive oil arrived from three major areas: the Peloponnese, the North Africa and the North Aegean region (Pl. XV/1).

The presence of the eight different types of wine amphorae (Pl. XV/2) indicates diversity in the dietary tastes and their presence from the end of the 4th century till the beginning of the 7th century AD demonstrates the existence of a very sophisticated network of logistics²²¹ as well as the maintaining of these axes over this long period of time. LRA 1 type was the most predominant wine container not only from this excavation²²² but also from the whole province of Scythia²²³. The other important commercial axes come from the south Pontic area, dominated by the Sinopean workshops and some unidentified ones. This region has a long tradition of exporting wine to the Lower Danube territory from the 1st century until the beginning of the 7th century AD. The identification of the latest types of south Pontic amphorae at Tropaeum Traiani represents an important facet of the late Roman economy. These amphorae were transported not only through the cabotage, but they reached also the inner settlements, on the land routes.

However, given the location of the investigated sector, the idea that church representatives were involved in such a trade, as evidenced by the presence of LRA 4 amphorae, cannot be totally rejected. The latter is recognized in the literature as coming from the holy land and as part of an ecclesiastical trade²²⁴. In ancient sources this wine from the Palestinian area (*gazition*) was recognized not only for its taste qualities but also because it was considered to be used in the Church in religious ceremonies (services) and for its medicinal properties.

The LRA 2 amphora type is the predominant olive oil (Pl. XV/3) container from our sector and it is well known in the Scythia province. This territory, highly militarized, received special attention from the central authority by sending a large quantity of olive oil to the soldiers attached to the frontiers. This fact is demonstrated by the LRA 2 amphorae found on the Black Sea coast in sites like Histria,²²⁵ Tomis,²²⁶ Argamum, Topraichioi²²⁷ but also on the Danubian limes at Sacidava²²⁸, Capidava,²²⁹ Dinogetia,²³⁰ Noviodunum,²³¹ Aegyssus,²³² Halmyris²³³

²¹⁵ Bonifay 2004, p. 132, fig. 71/5–9. Michel Bonifay (personal communication) confirmed the presence of these two variants at Tropaeum Traiani.

²¹⁶ Opaïț 1997–1998, p. 55.

²¹⁷ Smokotina 2014, p. 78, note 24, fig. 8.

²¹⁸ Opaïț *et alii* 2020, p. 386, fig. 7/39.

²¹⁹ Opaïț 1997–1998, p. 51.

²²⁰ Napolitano 2020, p. 255, fig. 2/9.

²²¹ Opaïț *et alii* 2020, p. 390.

²²² In addition to present discoveries see similar discoveries published by Bogan Cătănciu, Barnea 1979b; Gămureac 2009, p. 249; Gămureac *et alii* 2015–2016, p. 218.

²²³ Bădescu, Clante 2014, p. 175; for multiple information about the LRA 1 amphorae discoveries in Scythia see also Opaïț 2003 p. 53–59; Opaïț 2004a, p. 8–10, Paraschiv 2006, p. 89–92.

²²⁴ Opaïț forthcoming.

²²⁵ Bădescu, Clante 2014, p. 176–178, fig. 4/1–9.

²²⁶ Rădulescu 1976, p. 107.

²²⁷ Opaïț 1991b, p. 254.

²²⁸ Scorpan 1973, p. 320, fig. 36/3; Scorpan 1976, p. 159–160.

²²⁹ Opaïț, Rațiu 2016, p. 198, pl. X/4–5.

²³⁰ Barnea 1966, p. 256, fig. 15/6.

²³¹ Barnea, Barnea 1984, p. 102, pl. VIII/3.

²³² Opaïț 1984, p. 313.

²³³ Topoleanu 2000, p. 132–133, pl. XXXIX/325–326.

while in the central area of the province in Ulmetum²³⁴ and Ibida,²³⁵ always with a percentage bigger than 16% from the total amount of amphorae²³⁶. The presence of this amphorae type is not recorded only on this sector but also in other excavated areas of the city²³⁷, a fact which demonstrates the constant care of the central authority for this region from the 4th century until the 7th century, even if the olive oil arrived also from North Africa and the North Aegean region.

The presence of all these amphora types allows us to consider the existence of a multitude types of commerce. The one conducted by the state, through *annona*, bringing along the most predominant types like LRA 1 and LRA 2, which does not allow us to exclude the possibility of a military presence at Tropaeum Traiani. Another type of commerce was certainly the one conducted by the private traders, allowing us to comprehend the taste of the soldiers and the elites. In the end, the active involvement of the church in sending goods to the province at a time of great distress is not excluded.

From a statistical point of view, taking into consideration only the rim fragments (Pl. XV/6), after we have established that these fragments cannot be mended, we observed that the LRA 2 amphorae represent 38 %, LRA 1 33%, the amphorae from the south Pontic area 14%, followed by the LRA 4 with 8% while the West Pontic amphorae are represented by 1%. There are only four rims and one base of North African amphorae and two bases of LRA 3 type (Pl. XV/2). Transforming this number of rim fragments into capacities, the results are quite interesting. The imports of olive oil represent 76% of the total imports, while wine only 24% (Pl. XV/5, 7).

The amphorae produced in the oriental basin of the Mediterranean Sea reached the provinces of the Lower Danube area through the port towns on the western coast of the Black Sea. Their numbers increased continuously during the Roman period, especially in the 4th century AD, when the Empire's capital was moved to Constantinople and, as a consequence, the profound interest of the empire for the well-being of the provinces which protected the capital.

Indirectly, this study demonstrates the commercial relations of the settlements from the Lower Danube region with the rest of the Roman world and improves our current understanding of different commodities circulation and distribution during Late Antiquity.

ACKNOWLEDGMENTS

The authors would like to thank Andrei Opaïț, who read the earlier version of this manuscript and provided valuable suggestions and

comments, Iuliana Barnea for preparing the plates, and Dragoș Hălmagi, who examined the amphora fragment with two *dipinti* and a *graffito*. The authors are also grateful to Michel Bonifay who confirmed the presence of two variants of Keay VIII B North African amphorae at Tropaeum Traiani.

REFERENCES

- Akrivopoulou, Slampeas 2014 – S. Akrivopoulou, P. Slampeas, *Late Roman Coarse Ware from a rescue excavation in Thessaloniki*, in: N. Poulou-Papadimitriou, E. Nodarou, V. Kilikoglou (eds), *LRCW 4, Late Roman Coarse Wares, Cooking Wares and Amphorae in the Mediterranean. Archaeology and archaeometry. The Mediterranean: a market without frontiers*, BARIntSer 2616 (1), Oxford, 2014, p. 287–295.
- Baumann 1980 – V. H. Baumann, *Observații topo-stratigrafice asupra locuirii de la Troesmis (casetele 1–40)*, Peuce 8, 1980, p. 159–196.
- Barnea 1966 – I. Barnea, *L'incendie de la cité de Dinogetia au VI^e siècle*, Dacia NS 10, 1966, p. 227–259.
- Barnea, Barnea 1984 – I. Barnea, A. Barnea, *Săpăturile de salvare de la Noviodunum*, Peuce 9, 1984, p. 97–105 (vol. I); ilustrație/illustrations vol. II, p. 503–518.
- Bădescu, Cliante 2014 – A. Bădescu, L. Cliante, *Oriental amphorae discovered at Histria in the Central-North Sector (campaign 2012)*, MCA 10, 2014, p. 173–194.
- Bădescu, Bivolaru 2015 – A. Bădescu, A. Bivolaru, *Oriental amphorae discovered at Histria in the Acropolis Centre-South Sector (2014)*, MCA 11, 2015, p. 193–208.
- Bezeczky et alii 2015 – T. Bezeczky, P. B. Millet, H. G. Cesteros, *New research on the Castrum villa, on the island of Brijuni (Croatia). Preliminary report*, in: S. Demesticha (ed.), *Per terram, per mare. Seaborne trade and the distribution of Roman Amphorae in the Mediterranean*, Uppsala, 2015, p. 189–198.
- Biernacki, Klenina 2015 – A. Biernacki, E. Yu. Klenina, *Amphorae of the 4th–6th centuries AD from Novae (Moesia Secunda): typology and chronology*, in: S. Demesticha (ed.), *Per terram, per mare. Seaborne trade and the distribution of Roman Amphorae in the Mediterranean*, Uppsala, 2015, p. 99–120.
- Bjelajac 1996 – L. Bjelajac, *Amfore gornjo mezijskog podunavlja*, Monographs of the Archaeological Institut 30, Beograd, 1996.
- Bogdan Cătănciu, Barnea 1979a – I. Bogdan Cătănciu, A. Barnea, *Stratigrafia*, in: I. Barnea (coord.), A. Barnea, I. Bogdan Cătănciu, M. M. Cârstoiu, Gh. Papuc, *Tropaeum Traiani. I. Cetatea*, București, 1979, p. 35–45.
- Bogdan Cătănciu, Barnea 1979b – I. Bogdan Cătănciu, A. Barnea, *Ceramica și descoperiri mărunte*, in: I. Barnea (coord.), A. Barnea, I. Bogdan Cătănciu, M. Mărgineanu Cârstoiu, Gh. Papuc, *Tropaeum Traiani. I. Cetatea*, București, 1979, p. 177–276.
- Bonifay 2004 – M. Bonifay, *Etudes sur la céramique romaine tardive d'Afrique*, BARIntSer 1301, Oxford, 2004.
- Bonifay 2005 – M. Bonifay, *Observations sur la diffusion des céramiques africaines en Méditerranée orientale durant l'Antiquité tardive*, in: F. Baratte, V. Déroche, C. Jolivet-Lévy, B. Pitarakis (eds), *Melanges Jean-Pierre Sodini*, Travaux et Memoires 15, Paris, 2005, p. 565–581.
- Bonifay 2007 – M. Bonifay, *Que transportaient donc les amphores africaines ?*, in: E. Papi (ed.), *Supplying Rome and the Empire*, Journal of Roman Archaeological Supplement 69, Portsmouth – Rhode Island, 2007, p. 8–32 (avec une annexe de N. Garnier).
- Bonifay 2008 – M. Bonifay, *IV.2 Etude céramologique*, in: N. Beaudry, A. Berthon, M. Bonifay, J. Cantuel, Y. Cerova, P. Chevalier, E. Hobdari, A. Islami, T. Kozelj, S. Mučaj, M.-P. Raynaud, M. Wurch-Közelj, *Byllis*

²³⁴ Rădulescu 1976, p. 107.

²³⁵ Opaïț 1991c, p. 28/cat. no.7. 24. fig. 5, p. 37/cat. no. 70, fig. 10.

²³⁶ Bădescu, Cliante 2014, p. 177; for multiple information about the LRA 2 amphorae discoveries in Scythia see also Opaïț 1984; Karagiorgou 2001; Paraschiv 2006, p. 92–95.

²³⁷ Bogdan Cătănciu, Barnea 1979b, NV 3(1), p. 187 și fig. 161.3.1, p. 211; NVIA 3(2), p. 190 și fig. 167.3.2, p. 216; NVIA 3(7), p. 190 și fig. 168.3.7, p. 217; NVIA 3(2), p. 190 și fig. 170.3.2, p. 219; Gămureac 2009, p. 249; Gămureac et alii 2015–2016, p. 218.

- (Albanie) : *Le quartier épiscopal, la Basilique E et les carrières*, BCH 132, 2008, 2, p. 947–954.
- Bonifay 2010 – M. Bonifay, *Avancées dans l'étude des céramiques africaines de l'Antiquité tardive (III^e-VII^e s.)*, Κεραμική Τησ Υστερησ Αρχαιοτητασ Αποτον Ελλαδικο Χωρο, Thessaloniki, 2010, p. 37–64.
- Bonifay 2016 – M. Bonifay, *Amphores de l'Afrique romaine : nouvelles avancées sur la production, la typo-chronologie et le contenu*, in: R. Járrega, P. Berni (eds), *Amphorae ex Hispania: paisajes de producción y consume, III Congreso internacional de la SECAH - EX OFFICINA HISPANA (Tarragone, 10–13 décembre 2014)*, Monografías ex officina hispana 3, Tarragona, 2016, p. 595–611.
- Bonifay, Leffly 2002 – M. Bonifay, R. Leffly, *Les céramiques du remplissage de la citerne du Sarapéion à Alexandrie*, Études Alexandrines 6, Cairo, 2002, p. 39–84.
- Bucovală 1998 – M. Bucovală, *Raport preliminar privind cercetările arheologice cu caracter de salvare din Constanța, strada Sulmona nr. 7*, Pontica 31, 1998, p. 171–200.
- Bucovală, Pașca 1988–1989 – M. Bucovală, C. Pașca, *Descoperiri recente în necropolele de epocă romană și romano-bizantină la Tomis*, Pontica 21–22, 1988–1989, p. 123–161.
- Carsana, Del Vecchio 2017 – V. Carsana, F. Del Vecchio, *Le anfore di V secolo d.C. dai contesti di edifici prossimi al porto di Neapolis*, in: D. Dixneuf (ed.), *LRCW 5. Late Roman coarse wares, cooking wares and amphorae in the Mediterranean. Archaeology and archaeometry. La céramique commune, la céramique culinaire et les amphores de l'Antiquité tardive en Méditerranée. Archéologie et archéométrie*, Études Alexandrines 42–43, Alexandrie, 2017, p. 407–418.
- Conrad 2007 – S. Conrad, *Die Gefäßkeramik*, in: G. von Bülow, B. Bottger, D. Stancev (eds), *Iatrus-Krivina VI. Spätantike Befestigung und frühmittelalterliche Siedlung an der unteren Donau. Ergebnisse der Ausgrabungen 1992–2000*, Limesforschungen 28, 2007, Mainz, p. 209–264.
- Doksanalth 2020 – E. M. Doksanalth, *The Roman and Late Roman ceramics from the Heroon of Harbor Street at Knidos*, RCRF Acta 46, 2020, p. 517–526.
- Dündar 2018 – E. Dündar, *The Maritime Trade of Roman Patara. Preliminary Remarks on the Amphorae*, Skylis 18, 2018, 2, p. 166–173.
- Ferrazzoli, Ricci 2010 – A. F. Ferrazzoli, M. Ricci, *Un centro di produzione delle anfore LR 1: Elaiussa Sebaste in Cilicia. Gli impianti, le anfore*, in: S. Menchelli, S. Santoro, M. Pasquinucci and G. Guiducci (eds), *LRCW 3. Late Roman Coarse Ware, Cooking Wares and Amphorae in the Mediterranean. Archaeology and archaeometry. Comparison between western and eastern Mediterranean*, BARIntSer 2185 (I), Oxford, 2010, p. 815–826.
- Gămureac 2009 – E. Gămureac, *Edificiul B1 din sectorul B al cetății Tropaeum Traiani. Considerații preliminare privind cercetările din 2005–2008*, Pontica 42, 2009, p. 243–300.
- Gămureac et alii 2015–2016 – E. Gămureac, M. S. Ionescu, F. Frăghici, *The A9 edifice from Tropaeum Traiani (II). A Late Roman house in Scythia Minor (5th–6th century AD)*, Pontica 48–49, 2015–2016, p. 209–240.
- Gămureac 2017 – Ș. E. Gămureac, *The potsherds in archaeological context: pottery from Late Roman Fort of Ulmetum (4th–6th cent. AD). Report on the 2012 archaeological campaign at the north-west gate*, Pontica 50, 2017, p. 243–263.
- Gămureac 2018 – Șt. E. Gămureac, *The potsherds in archaeological context: The common pottery Late Roman Fort of Ulmetum (4th–6th century AD). Report on the 2010–2011 archaeological campaign at the north-west gate (II)*, Pontica 51, 2018, p. 319–341.
- Hayes 1992 – J. W. Hayes, *Excavations at Saraçhane in Istanbul*, vol. 2: *The Pottery*, Oxford, 1992.
- Heath et alii 2015 – S. Heath, J. L. Rife, J. J. Bravo III, G. Blasdel, *Preliminary Report on Early Byzantine Pottery from a Building Complex at Kenchreai (Greece)*, 2015 (<http://dlib.nyu.edu/awdl/isaw/isaw-papers/10/>; accessed at 24.01.2020).
- Hristov 2015 – I. Hristov, *An early Byzantine fortress on the peninsula of Hrisosotira at the town of Chernomorets 5th–7th century*, Sofia, 2015.
- Ionescu et alii 2013 – M. S. Ionescu, Ș. E. Gamureac, F. Drăghici, *The Edifice A 9 from the Roman-Byzantine Town Tropaeum Traiani*, Pontica 46, 2013, p. 173–215.
- Ivanišević 2016 – V. Ivanišević, *Late Antique cities and their environment in Northern Illyricum*, in: F. Daim, J. Drauschke (Hrsg.), *Hinter den Mauern und auf dem offenen Land - Leben im Byzantinischen Reich*, Byzanz zwischen Orient und Okzident 3, Mainz 2016, p. 89–99.
- Johnson 2008 – B. L. Johnson, *The Pottery*, in: J. Patrich (ed.), *Archaeological excavations at Caesarea Maritima. Areas CC, KK, and NN. Final reports*, Jerusalem, 2008, p. 66–119.
- Karagiorgou 2001 – O. Karagiorgou, *LR2: A Container for the Military annona on the Danubian Border*, in: S. Kingsley, M. Decker (eds), *Economy and exchange in the East Mediterranean during Late Antiquity. Proceedings of a Conference at Somerville College, Oxford, 29th May, 1999*, Oxford, 2001, p. 129–166.
- Klenina 2013 – E. Klenina, *Some aspects of the economic development of Novae (Moesia Secunda) in the 5th-6th cent. A.D.*, in: A. Biernacki (ed.), *Novae. Studies and Materials IV*, Poznań, 2013, p. 75–116.
- Kuzmanov 1985 – G. Kuzmanov, *Rannovizantijska keramika ot Trakja i Dakija (IV–natchaloto na VII v.)*, RazPr 13, Sofia, 1985.
- Lewit 2015 – T. Lewit, *The second sea: exchange between the Mediterranean and the Black Sea in late antiquity*, *Post Classical Archaeologies* 5, 2015, p. 149–174.
- Mayerson 1985 – Ph. Mayerson, *The Wine and Vineyards of Gaza in the Byzantine Period*, BASOR 257, 1985, p. 75–80.
- Mayerson 1992 – *The Gaza 'Wine' Jar (Gazition) and the 'Lost' Ashkelon Jar (Askalônion)*, Israel Exploration Journal 42, 1992, 1/2, p. 76–80.
- Napolitano 2020 – M. Napolitano, *Contributo alla conoscenza di Nora in età tardo-antica: il contesto ceramico dell'ambiente ipogeo o 'vano G'*, RCRF Acta 46, 2020, p. 253–260.
- Opaïț 1980 – A. Opaïț, *Considerații preliminare asupra amforelor romane și romano-bizantine din Dobrogea*, Peuce 8, 1980, p. 291–327.
- Opaïț 1984 – A. Opaïț, *Beobachtungen zur Entwicklung der zwei Amphoratypen*, Peuce 9, 1984, p. 311–327.
- Opaïț 1991a – A. Opaïț, *Ceramica din așezarea și cetatea de la Independența (Murighiol) secolele V î. e.n. – VII e.n.*, Peuce 10, 1991, p. 133–182 (vol. I); ilustrații/illustrations vol. II, p. 165–216.
- Opaïț 1991b – A. Opaïț, *Ceramica*, in: A. Opaïț, M. Zahariade, Gh. Poenaru-Bordea, C. Opaïț, *Fortificația și așezarea romană târzie de la Babadag-Topraichioi*, Peuce 10, 1991, p. 211–260.
- Opaïț 1991c – A. Opaïț, *O săpătură de salvare în orașul antic Ibida*, SCIVA 42, 1991, 1–2, p. 21–56.
- Opaïț 1997–1998 – A. Opaïț, *North African and Spanish amphorae in Scythia Minor*, MarNero 3, 1997–1998, p. 47–94.
- Opaïț 2004a – A. Opaïț, *Local and Imported ceramics in the Roman Province of Scythia (4th–6th centuries AD). Aspects of economic life in the Province of Scythia*, BARIntSer 1274, Oxford, 2004.
- Opaïț 2004b – A. Opaïț, *The Eastern Mediterranean Amphorae in the Province of Scythia*, in: J. Eiring, J. Lund (eds), *Transport Amphorae and Trade in the Eastern Mediterranean. Acts of the International Colloquium at the Danish Institute at Athens, September 26–29, 2002*, Monographs of the Danish Institute at Athens 5, Athens, 2004, p. 293–308.
- Opaïț 2010 – A. Opaïț, *Sinopean, Heraklean and Chersonesan "Carrot" Amphorae*, ACSS 16, 2010, p. 371–401, 552–556.
- Opaïț 2017 – A. Opaïț, *On the local production and imports of wine in the Pontic and Lower Danube regions (1st century BC to 7th century AD). An overview*, in D. Dixneuf (ed.), *LRCW 5. Late Roman coarse wares, cooking wares and amphorae in the Mediterranean. Archaeology and archaeometry. La céramique commune, la céramique culinaire et les amphores de l'Antiquité tardive en Méditerranée. Archéologie et archéométrie*, vol. 2, Études Alexandrines 42–42, Alexandrie, 2017, p. 579–612.
- Opaïț 2018 – A. Opaïț, *Local and imported wine at Pompeiopolis, Paphlagonia*, RCRF Acta 45, p. 701–713.
- Opaïț, Ionescu 2016 – A. Opaïț, M. Ionescu, *Contributions to the economic life of the city of Callatis in light of new ceramic finds (2nd-6th centuries AD)*, ArhMold 39, 2016, p. 57–112.
- Opaïț et alii 2020 – A. Opaïț, A. Barnea, I. Barnea, B. Grigoraș, I. Potra, *Supplying wine, olive oil and fish products to the Lower Danube*

- frontier (2nd–7th century AD): The case of Dinogetia, RCRF Acta 46, 2020, p. 381–394.
- Opaiț 2021 – A. Opaiț, *On some unknown Pontic amphora types from Roman and Early Byzantine times*, in: G. R. Tsetskhladze, A. Avram, J. Hargrave (eds), *The Greeks and Romans in the Black Sea and the Importance of the Pontic Region for the Graeco-Roman World (7th century BC–5th century AD): 20 Years On (1997–2017): Proceedings of the Sixth International Congress on Black Sea Antiquities (Constanța – 18–22 September 2017)*, Archaeopress, Oxford, 2021, p. 323–329.
- Opaiț forthcoming – A. Opaiț, *A Levantine trade diaspora at Pompeiopolis?*, AWE 20.
- Opriș 2003 – I. Opriș, *Ceramica romană târzie și paleobizantină de la Capidava în contextul descoperirilor de la Dunărea de Jos: sec. IV–VI p. Chr.*, București, 2003.
- Opriș, Rațiu 2016 – I. C. Opriș, A. Rațiu, *An early byzantine building next to the main gate at Capidava*, in: A. Panaite, R. Cârjan, C. Căpiță (eds), *Moesica et Christiana. Studies in honour of professor Alexandru Barnea*, Brăila, 2016, p. 193–217.
- Opriș, Rațiu 2017 – I. C. Opriș, A. Rațiu, *Capidava II, Building C1 – Contributions to the history of annona militaris in the 6th century*, Cluj-Napoca, 2017.
- Opriș, Potârniche 2019 – I. C. Opriș, T. Potârniche, *Prea mult context sau deloc. Câteva spatheia târzie de pe frontiera dunăreană a provinciei Scythia (sec. VI–începutul sec. VII. p. Chr.)*, Pontica 52, 2019, p. 237–251.
- Panaite 2006 – A. Panaite, *Adamclisi, jud. Constanța, Tropaeum Traiani, punct Cetate: Sector A – la nord de Basilica A*, CCA, campania 2005, Constanța, 2006, p. 33.
- Panaite 2007 – A. Panaite, *Adamclisi, jud. Constanța, Tropaeum Traiani, punct Cetate: Sector A – la nord de Basilica A*, CCA, campania 2006, Tulcea, 2007, p. 23.
- Panaite 2009 – A. Panaite, *Adamclisi, jud. Constanța, Tropaeum Traiani, punct Cetate: Sector A – la nord de Basilica A*, CCA, campania 2008, Valahica 21, Târgoviște, 2009, p. 66–67.
- Panaite 2010 – A. Panaite, *Adamclisi, jud. Constanța, Tropaeum Traiani, punct Cetate: Sector A – la nord de Basilica A*, CCA, campania 2009, Suceava, 2010, p. 13–14.
- Panaite 2011 – A. Panaite, *Adamclisi, jud. Constanța, Tropaeum Traiani, punct Cetate: Sector A – la nord de Basilica A*, CCA, campania 2010, Sibiu, 2011, p. 10.
- Panaite 2012 – A. Panaite, *Adamclisi, jud. Constanța, Tropaeum Traiani, punct Cetate: Sector A – la nord de Basilica A*, CCA, campania 2011, Târgu-Mureș, 2012, p. 15–16.
- Panaite 2013 – A. Panaite, *Adamclisi, jud. Constanța, Tropaeum Traiani, punct Cetate: Sector A – la nord de Basilica A*, CCA, campania 2012, Craiova, 2013, p. 15.
- Panaite 2014 – A. Panaite, *Adamclisi, jud. Constanța, Tropaeum Traiani, punct Cetate: Sector A – la nord de Basilica A*, CCA, campania 2013, Oradea, 2014, p. 13.
- Panaite 2015 – A. Panaite, *Adamclisi, jud. Constanța, Tropaeum Traiani, punct Cetate: Sector A – la nord de Basilica A*, CCA, campania 2014, Pitești, 2015, p. 19–20.
- Panaite 2016 – A. Panaite, *Adamclisi, jud. Constanța, Tropaeum Traiani, punct Cetate: Sector A – la nord de Basilica A*, CCA, campania 2015, Târgu-Jiu, 2016, p. 17.
- Panaite 2017 – A. Panaite, *Adamclisi, jud. Constanța, Tropaeum Traiani, punct Cetate: Sector A – la nord de Basilica A*, CCA, campania 2016, București, 2017, p. 12.
- Panaite, Vilcu 2019 – A. Panaite, A. Vilcu, *Roman and byzantine coins discovered at Tropaeum Traiani in Sector A, between the years 2005–2016*, MCA 15, 2019, p. 157–169.
- Paraschiv 2000–2001 – D. Paraschiv, *Observații asupra unui tip de amfore romano-bizantine*, Pontica 33–39, 2000–2001, p. 459–468.
- Paraschiv 2002 – D. Paraschiv, *Amfore Pontice romane și romano-bizantine în zona Dunării de Jos*, ArhMold 25, 2002, p. 165–207.
- Paraschiv 2004 – D. Paraschiv, *Cercetările arheologice de la Baia (Jud. Tulcea), Punctul „Stația de Epurare”*, Peuce 2, 2004, p. 153–159.
- Paraschiv 2006 – D. Paraschiv, *Amfore romane și bizantine din secolele I–VII d. Hr. în regiunea Dunării de Jos: sec. I–VII p. Chr.*, Iași, 2006.
- Paraschiv 2014 – D. Paraschiv, *Roman-byzantine pontic amphorae discovered at (L)Ibida, in the province of Scythia*, in: N. Poulou-Papadimitriou, E. Nodarou and V. Kilikoglou (eds), *LRCW 4, Late Roman Coarse Wares, Cooking Wares and Amphorae in the Mediterranean. Archaeology and archaeometry. The Mediterranean: a market without frontiers*, BARIntSer 2616 (1), Oxford, 2014, p. 425–432.
- Paraschiv, Mocanu 2010 – D. Paraschiv, M. Mocanu, *Un édifice publique découvert a (L)Ibida*, in: M. V. Angelescu, I. Achim, A. Băltăc, V. Rusu-Bolindeț, V. Bottez (eds), *Antiquitas Istro-Pontica. Mélanges d’archéologie et d’histoire ancienne offerts à Alexandru Suceveanu*, Cluj-Napoca, 2010, p. 537–543.
- Perna 2020 – R. Perna, *Connections between Africa and Crete in the Late Roman and Proto-Byzantine periods attested in the South Building at Gortyna*, RCRF Acta 46, 2020, p. 491–500.
- Pieri 2005 – D. Pieri, *Le commerce du vin oriental à l’époque byzantine (V^e–VII^e siècles). Le témoignage des amphores en Gaule*, Beyrouth, 2005.
- Pieri 2007 – D. Pieri, *Béryte dans le grand commerce Méditerranéen. Production et importation d’amphores dans le Levant protobyzantin (V^e–VII^e s. ap. J.-C.)*, Topoi, suppl. 8, 2007, p. 297–327.
- Pieri 2012 – D. Pieri, *Regional and Interregional Exchanges in the Eastern Mediterranean during the Early Byzantine Period*, in: C. Morrisson (éd.), *Trade and Markets in Byzantium*, Dumbarton Oaks Byzantine Symposia and Colloquia, Washington D.C., 2012, p. 27–49.
- Remolà, Uscatescu 1998 – J. A. Remolà, A. Uscatescu, *El comercio de ánforas orientales en Tarraco (siglos V–VII d.C.)*, in: *El vi a l’Antiguitat. Economia, producció i comerç al Mediterrani occidental, Actes del 2on Colloqui Internacional d’Arqueologia Romana (Badalona 6–9 de maig de 1998)*, Badalona, 1998, p. 553–562.
- Rădulescu 1973 – A. V. Rădulescu, *Amfore cu inscripții de la Edificiul roman cu mozaic din Tomis*, Pontica 6, 1973, p. 193–207.
- Rădulescu 1976 – A. V. Rădulescu, *Amfore romane și romano-bizantine din Scythia Minor*, Pontica 9, 1976, p. 99–114.
- Reynolds 2005 – P. Reynolds, *Levantine amphorae from Cilicia to Gaza: a typology and analysis of regional production trends from the 1st to 7th centuries*, in: Ma. Gurt i Esparraguera, J. Buxeda i Garrigós, M.A. Cau Ontiveros (eds), *LRCW I. Late Roman coarse wares, cooking wares and amphorae in the Mediterranean: archaeology and archaeometry [1st International Conference on Late Roman Wares]*, BARIntSer 1340, Oxford, 2005, p. 536–611.
- Regev 2004 – D. Regev, *The Phoenician Transport Amphora*, in: J. Eiring, J. Lund (eds), *Transport Amphorae and Trade in the Eastern Mediterranean, Acts of the International Colloquium held at the Danish Institute at Athens, 26–29 September, 2002*, Athens, 2004, p. 337–352.
- Sazanov 2007 – A. Sazanov, *Les amphores orientales d’époque protobyzantine au nord de la Mer Noire: chronologie et typologie*, in: M. Bonifay, J.-C. Trégliia (eds), *LRCW 2. Late Roman Coarse Wares, Cooking Wares and Amphorae in the Mediterranean. Archaeology and archaeometry*, BARIntSer 1662 (II), Oxford, 2007, p. 803–815.
- Scorpan 1973 – C. Scorpan, *Săpăturile arheologice de la Sacidava (1969–1972)*, Pontica 6, 1973, p. 267–331.
- Scorpan 1975 – C. Scorpan, *Cetatea romano-bizantină de la Sacidava*, Pontica 8, 1975, p. 263–313.
- Scorpan 1976 – C. Scorpan, *Origini și linii evolutive în ceramica romano-bizantină (sec. IV–VII) din arile mediteraneană și pontică*, Pontica 9, 1976, p. 155–185.
- Scorpan 1977 – C. Scorpan, *Contribution à la connaissance de certains types céramiques romano-byzantins (IV^e–VII^e siècles) dans l’espace Istro-Pontique*, Dacia NS 21, 1977, p. 269–397.
- Sharankov, Varbanov 2018 – N. Sharankov, V. Varbanov, *“God’s grace is a gain”: Dipinti on a Sixth-century Amphora from Trimammium*, Open Archaeology 4, 2018, 1, p. 334–339, DOI: <https://doi.org/10.1515/opar-2018-0020>.
- Slane, Sanders 2005 – K. W. Slane, G. D. R. Sanders, *Corinth: Late Roman Horizons*, Hesperia 74, 2005, p. 243–297.
- Smokotina 2014 – A. Smokotina *The North African red slip ware and amphorae imported into early Byzantine Bosphorus*, RCRF Acta 43, 2014, p. 71–80.

- Suceveanu et alii 2003 – A. Suceveanu, M. Zahariade, F. Topoleanu, Gh. Poenaru Bordea, *Halmyris I*, Cluj-Napoca, 2003.
- Swan 2007 – V. Swan, *Dichin (Bulgaria): Interpreting the Ceramic Evidence in its Wider Context*, in: A.G. Poulter (ed.), *The transition to Late Antiquity. On the Danube and Beyond*, Oxford, 2007, p. 251–280.
- Swan 2019 – V. Swan, *Late Roman and early Byzantine pottery*, in: A.G. Poulter (ed.), *The transition to the Late Antiquity. Excavations and survey at Dichin, a Late Roman to Early Byzantine fort and a Roman Aqueduct*, Philadelphia, 2019, p. 458–556.
- Ștefan et alii 2010a – D. Ștefan, D. Ioane, F. Chitea, M. Mezincescu, *Studii geofizice în perimetrul și teritoriul orașului romano-bizantin Tropaeum Traiani*, CCA, campania 2009, Suceava, 2010, p. 23.
- Ștefan et alii 2010b – D. Ștefan, M.-M. Ștefan, C. Constantin, M. Constantin, M. Nicolae, *Documentarea topografică a săpăturilor arheologice, investigații geofizice și studii asupra relației dintre mediul natural și om în orașul romano-bizantin Tropaeum Traiani*, CCA, campania 2009, Suceava, 2010, p. 23–24.
- Tezgör 2010 – K. D. Tezgör, *Typologie des amphores sinopéennes entre les II^e–III^e s. et le VI^e s. ap. J.-C.*, in: *Les fouilles et le matériel de l'atelier amphorique de Demirci près de Sinope*. Recueil de travaux, Institut Français d'Études Anatoliennes-Georges Dumézil, Varia Anatolica 22, Istanbul, 2010, p. 121–140.
- Tezgör 2020 – K. D. Tezgör, *Corpus des amphores romaines produites dans centre de mer Noire. Collections des musées de la côte turque de la mer Noire (Ereğli, Amasra, Sinop, Samsun, Giresun, Ordu, Trabzon et Amasya)*, Roman Archaeology 74, Oxford, 2020.
- Topoleanu 2000 – F. Topoleanu, *Ceramica romană și romano-bizantină de la Halmyris (sec. I–VII d. Ch.)*, Tulcea, 2000.
- Topoleanu 2003 – F. Topoleanu, *Ceramica*, in: A. Suceveanu, M. Zahariade, F. Topoleanu, Gh. Poenaru Bordea, *Halmyris I*, Cluj-Napoca, 2003, p. 190–246.

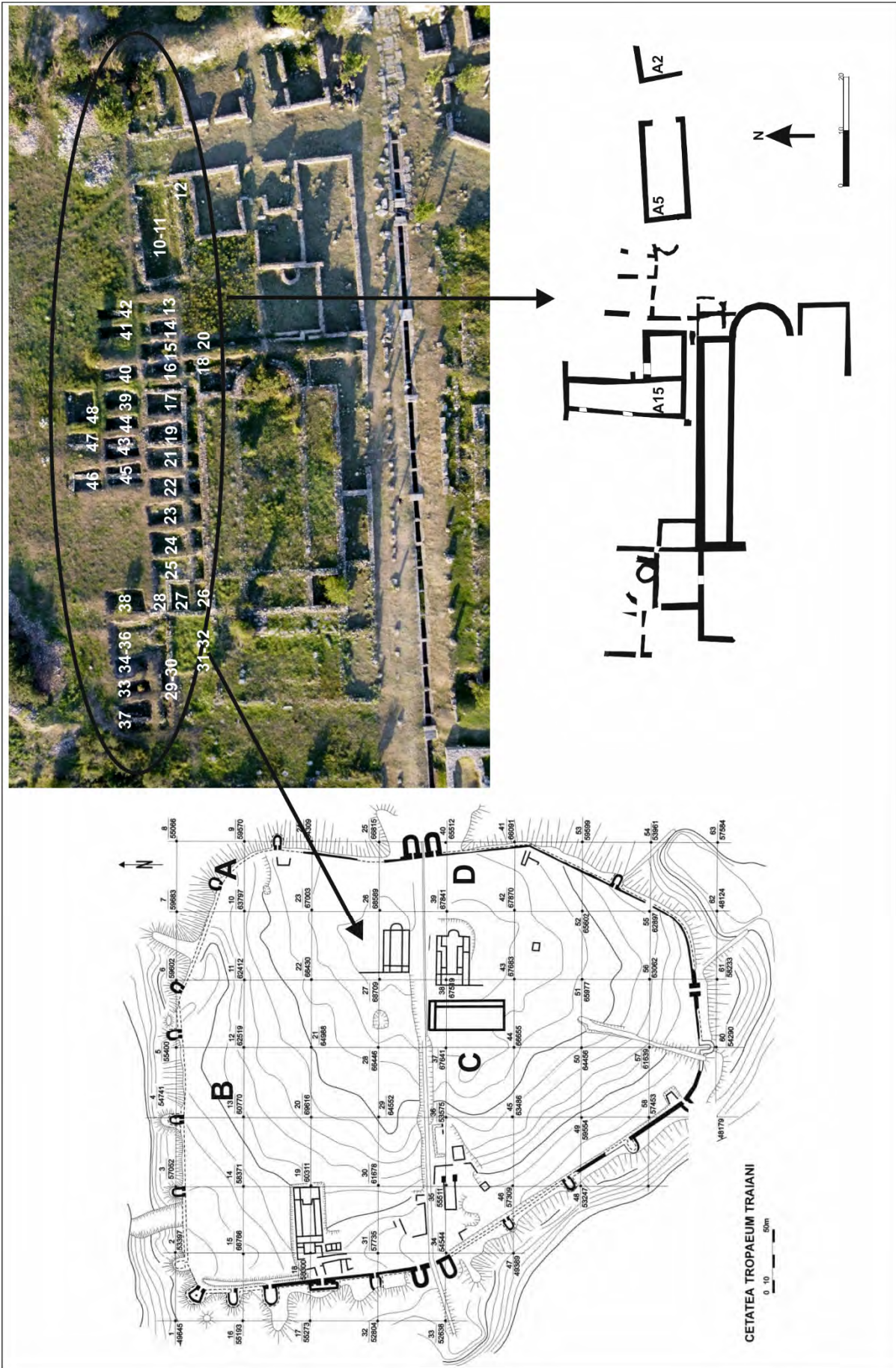


Plate I. General plan of the Sector A – north of Basilica A (2005–2016) and photo from the drone (Robert Constantin, 2020).

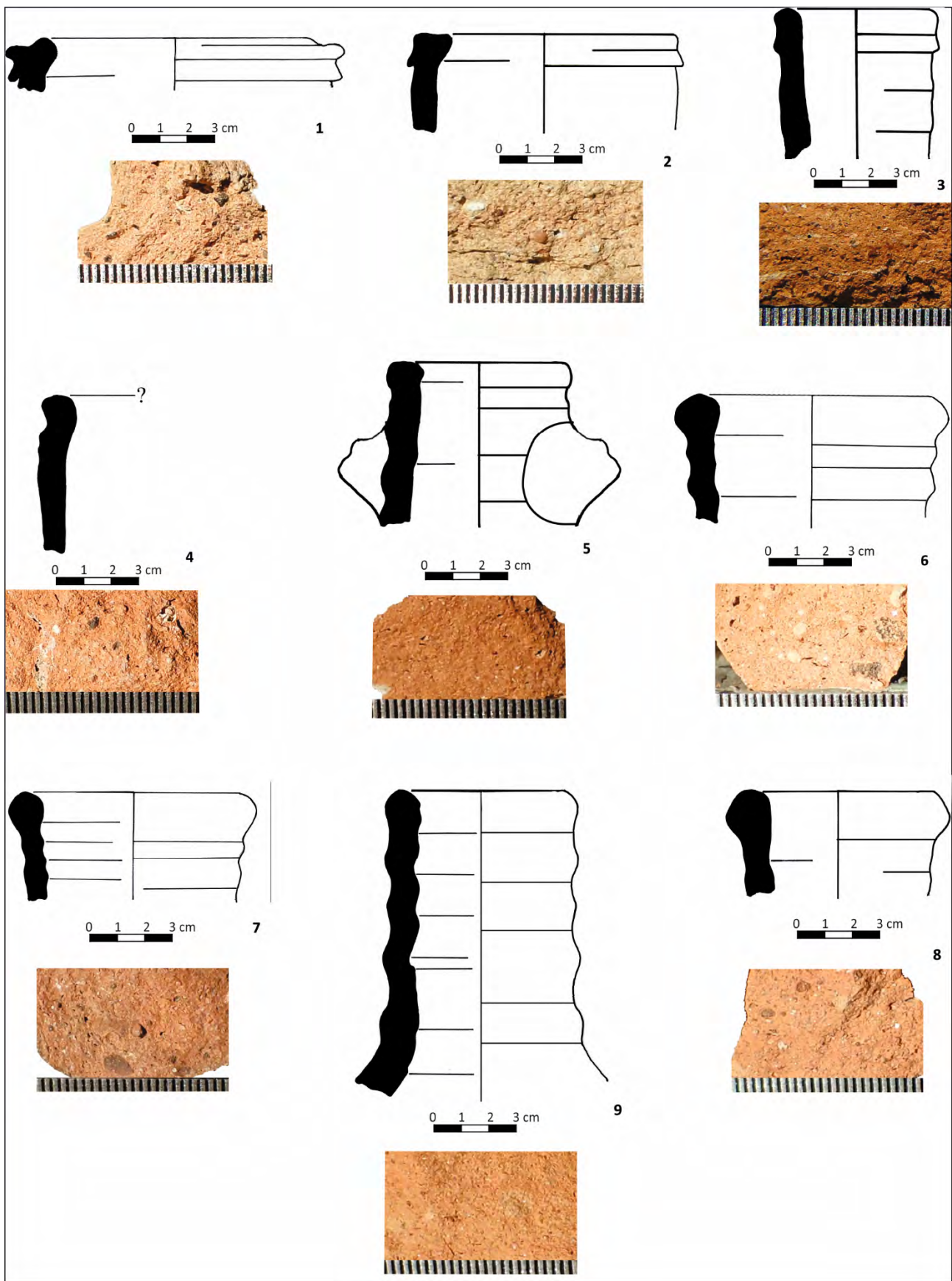


Plate II. Sinopean carrot amphorae nos. 1–3; South Pontic unknown centre no. 4; South Pontic LRA 1 imitations-Böttger II-4/Opaiț D-II nos. 5–9.

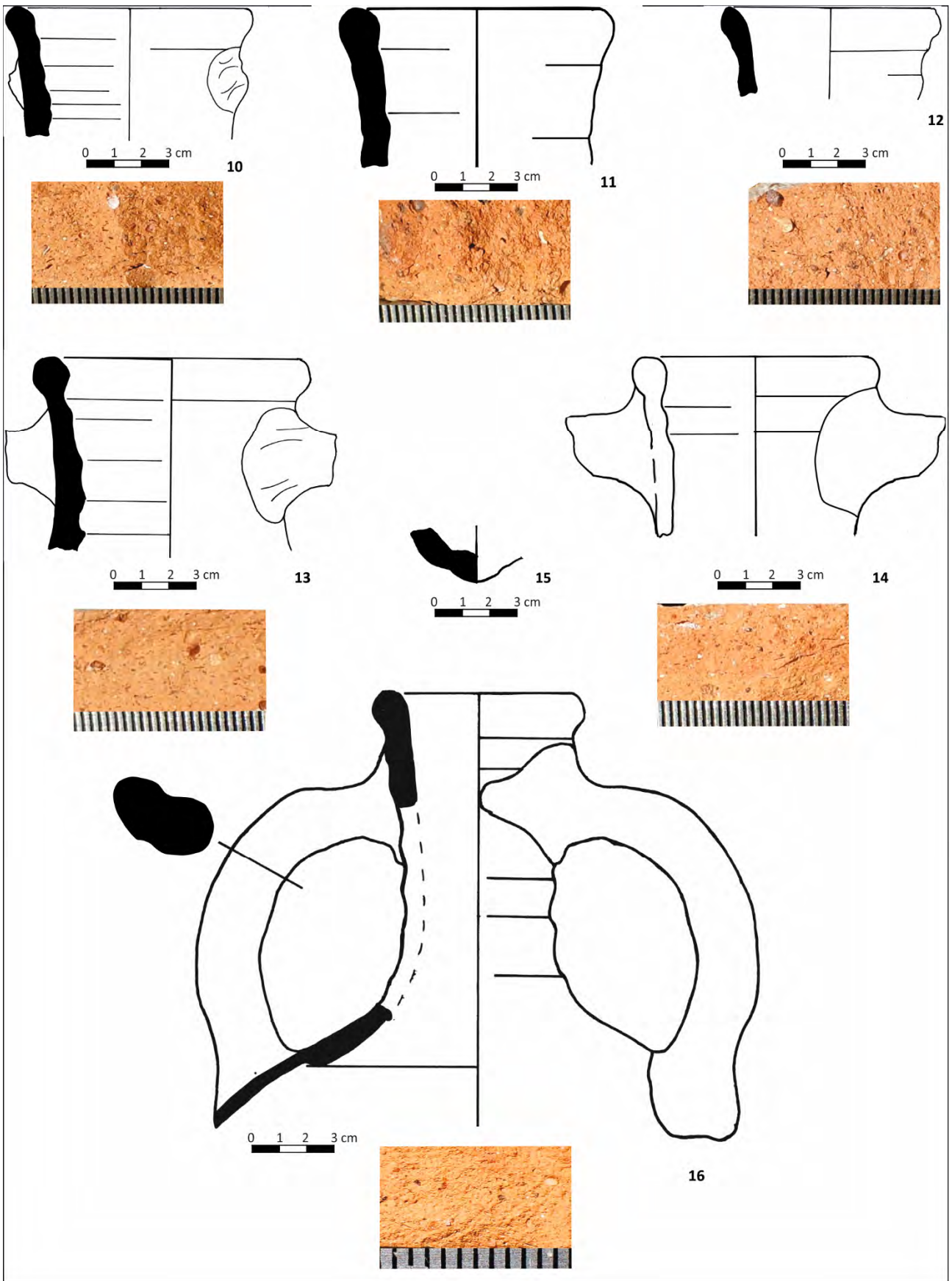


Plate. III. South Pontic subtype nos. 10–12; variant of South Pontic nos. 13–14; Opaïț B V nos. 15–16.

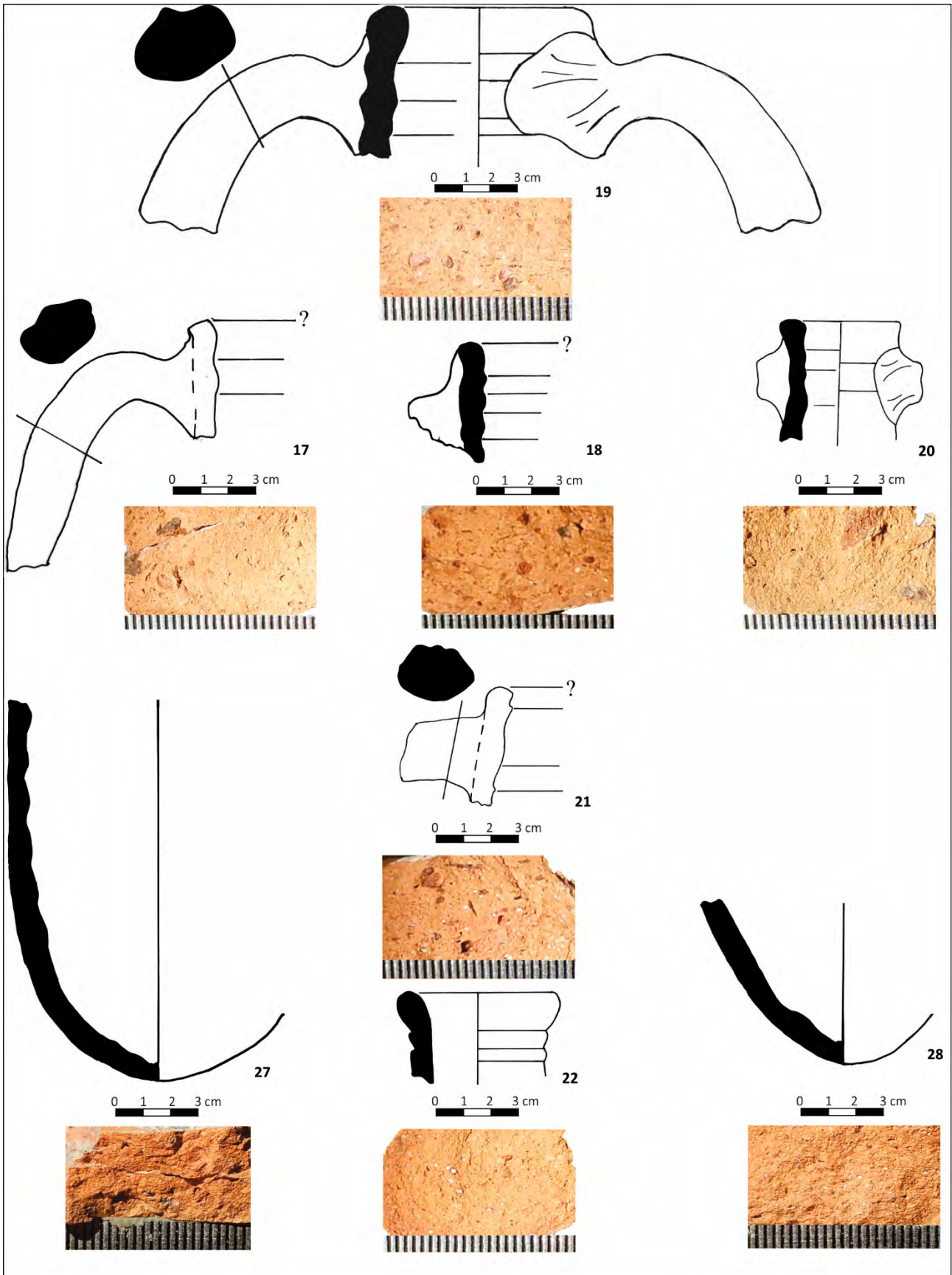


Plate. IV. Variant of *Opaït B V* nos. 17–22; *Kuzmanov XVI* nos. 27–28.

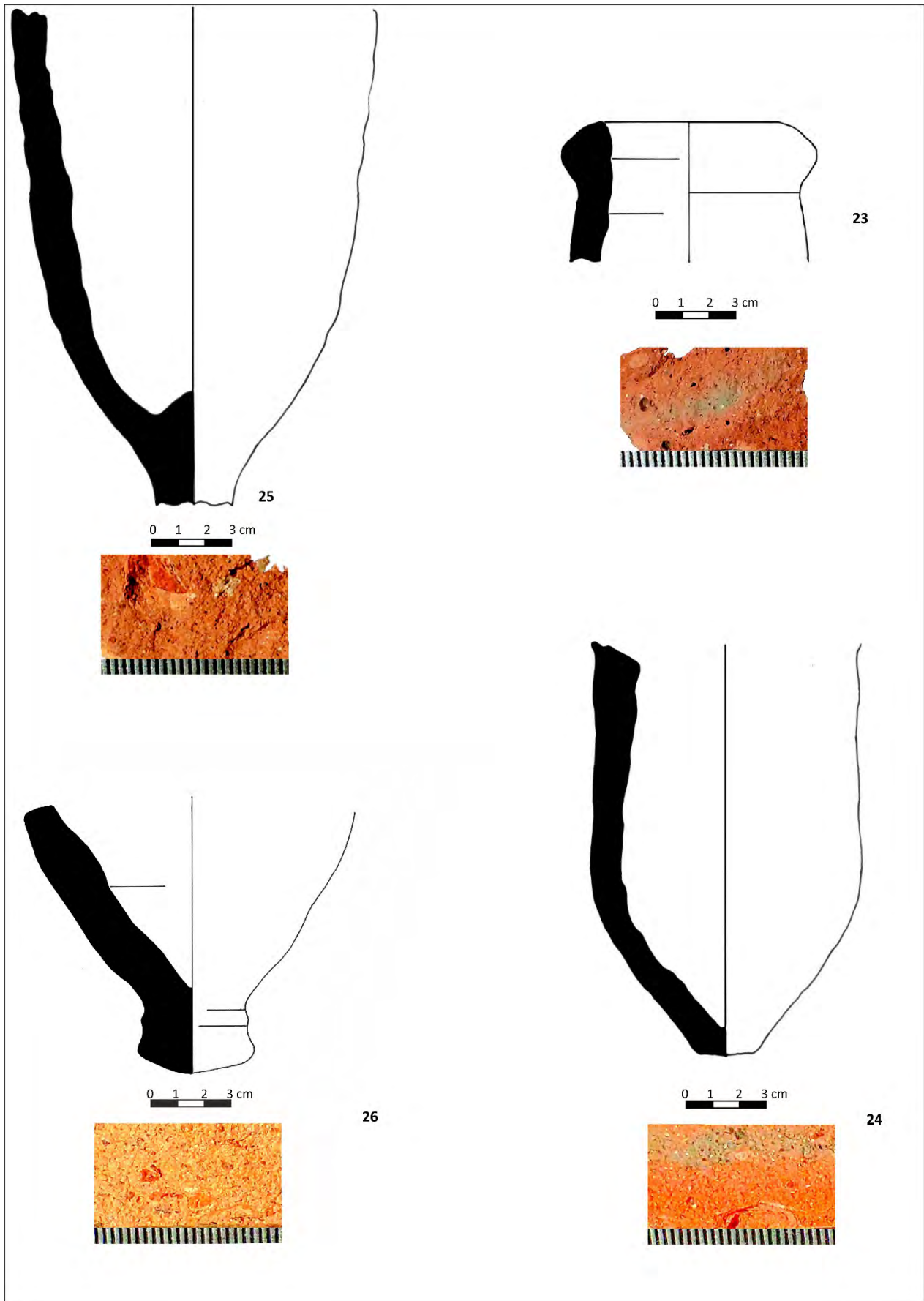


Plate V. West Pontic Amphorae nos. 23–26.

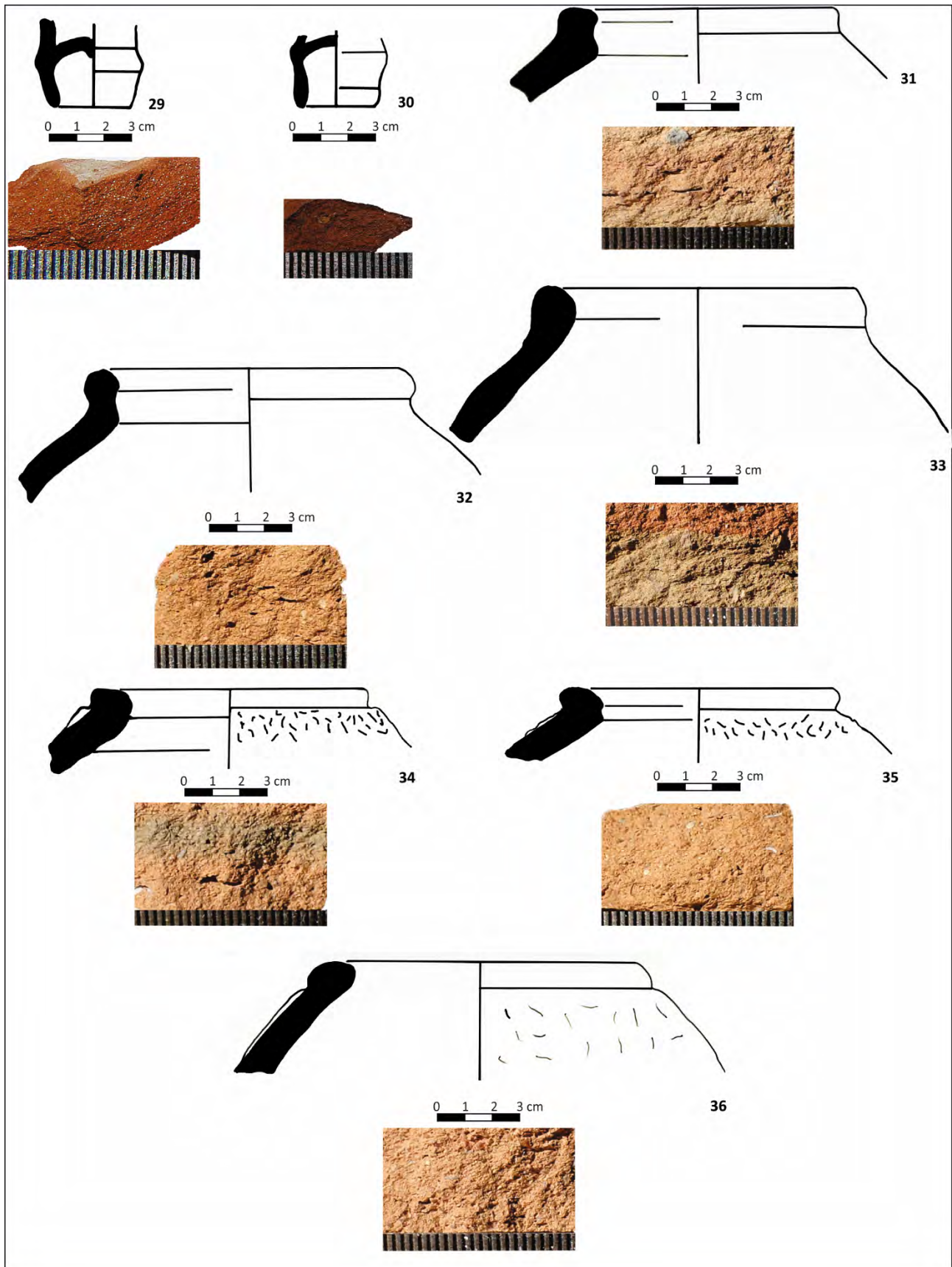


Plate VI. LRA3 nos. 29–30; LRA4 A2 no. 31; LRA 4 no. 32; LRA4 4B no. 33; LRA4 4D nos. 34–36.

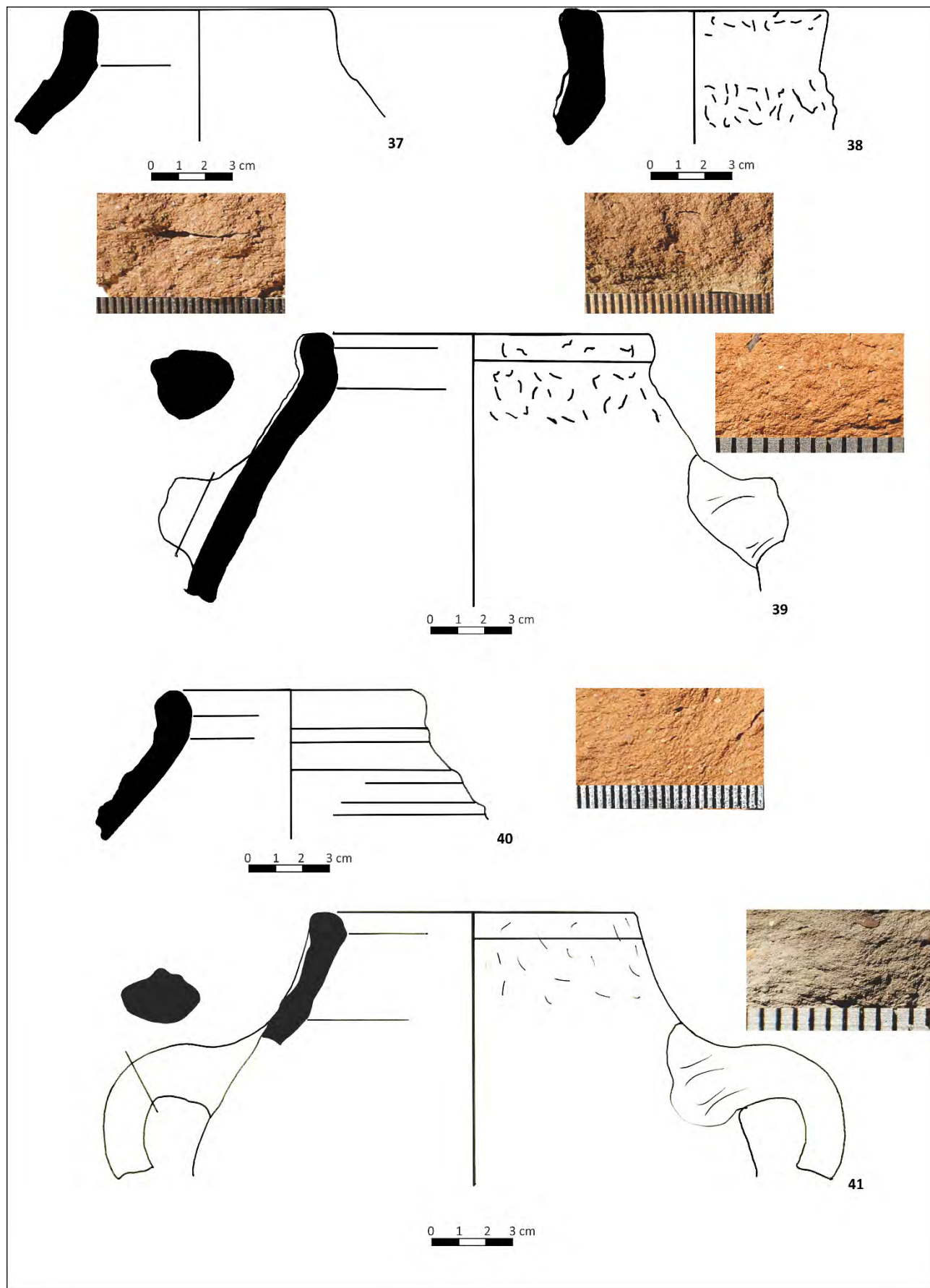


Plate VII. Subtype LRA4 C2 nos. 37–41.

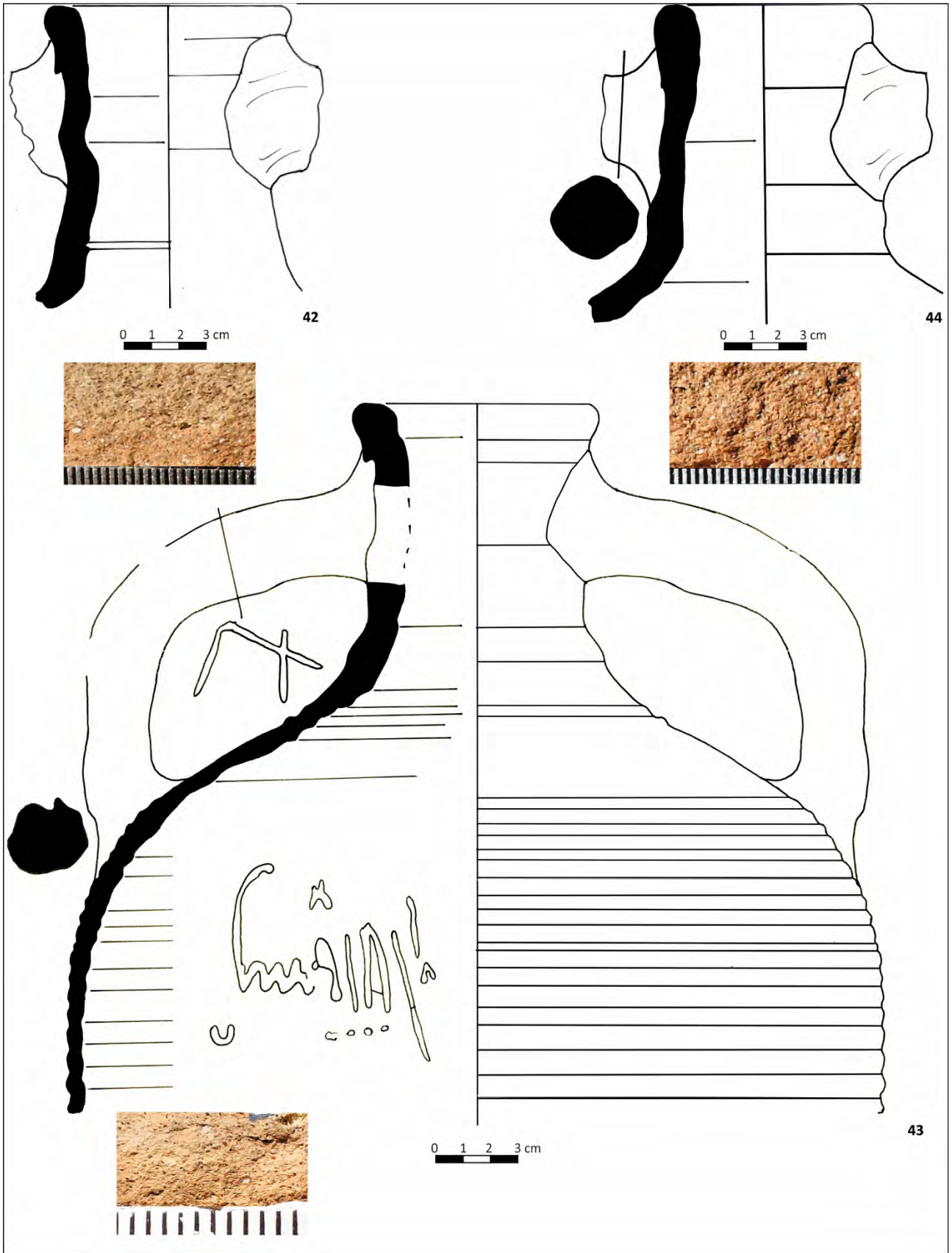


Plate VIII. LRA 1, subtype LRA1 A3 nos. 42–43; variant of this subtype no. 44.

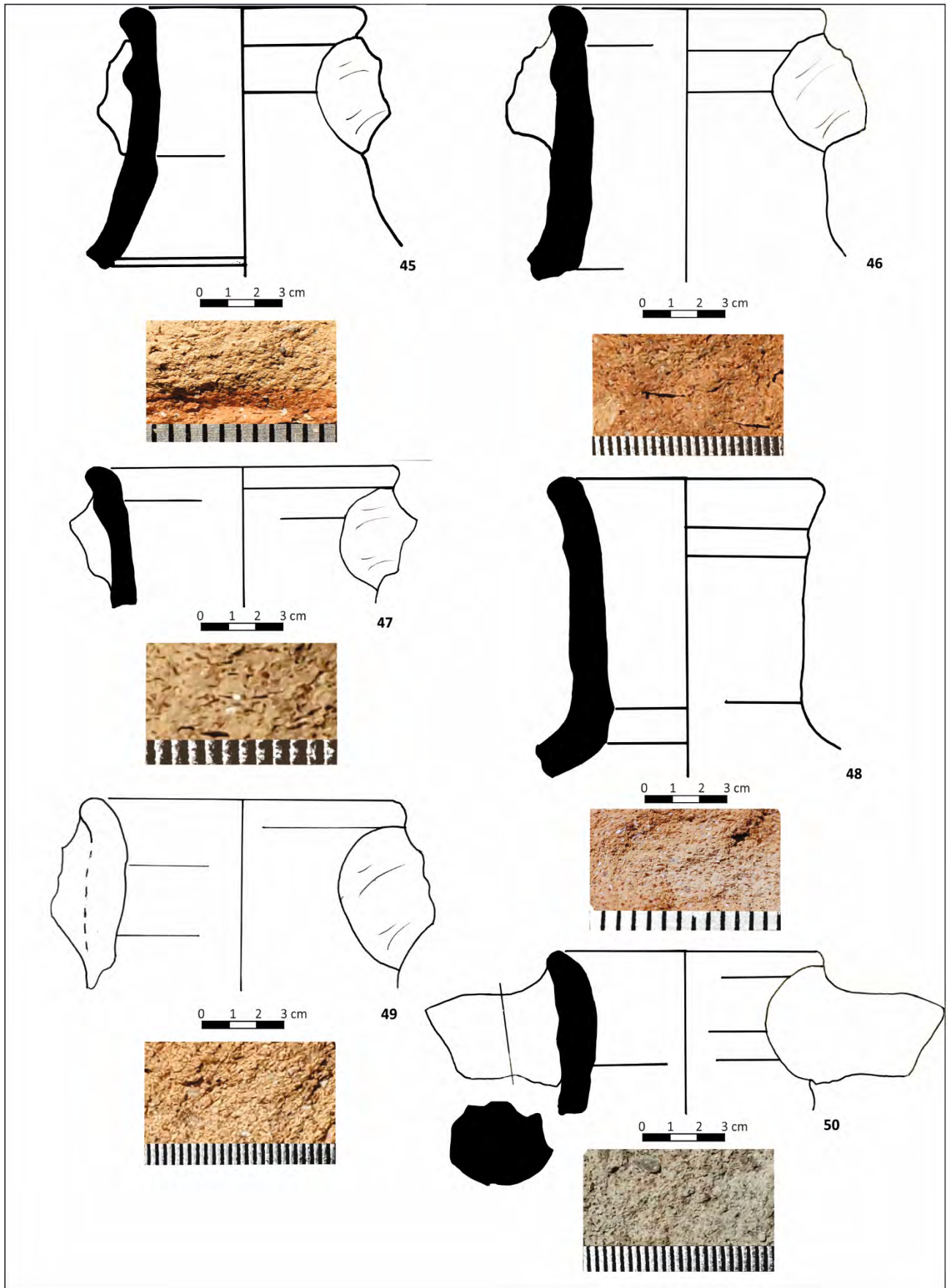


Plate IX. Subtype LRA1 A4 nos. 45–50.

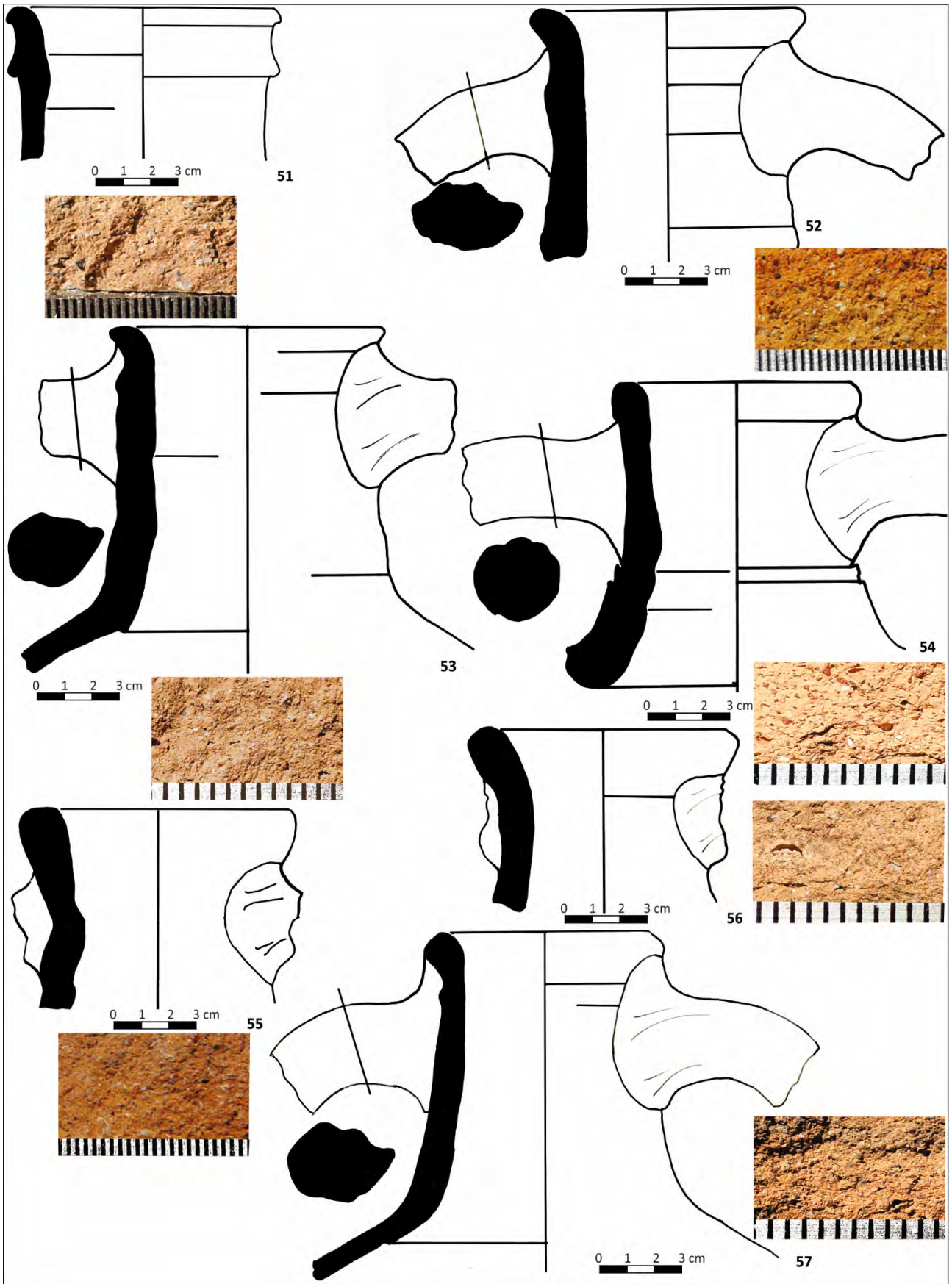


Plate X. Subtype LRA 1 A4 nos. 51–53; variant of this subtype no. 54; LRA 1 B2 nos. 55–56; variant of LRA 1 B2 no. 57.

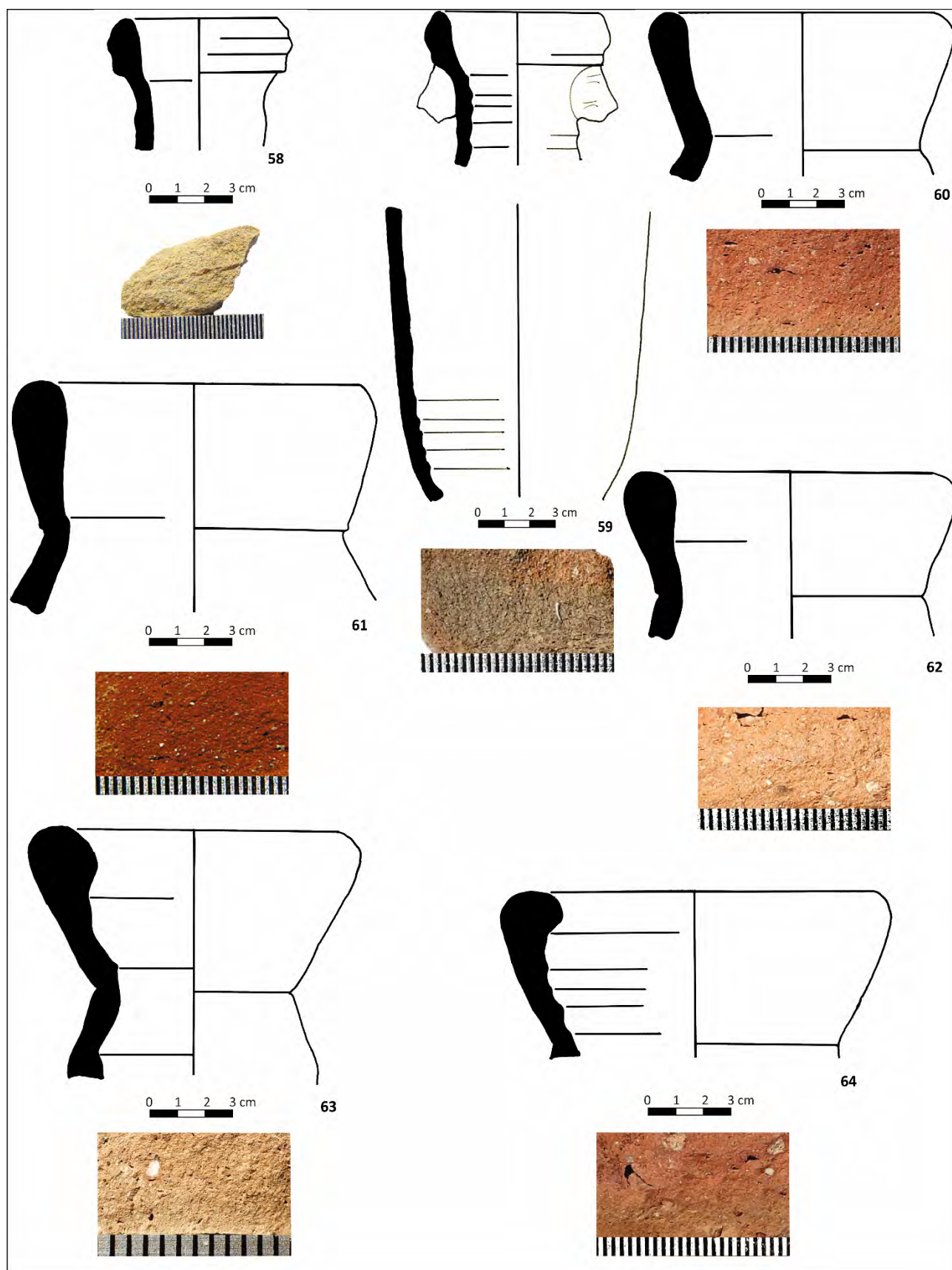


Plate XI. Spatheion 3B nos. 58–59; variants of LRA 2 nos. 60–64.

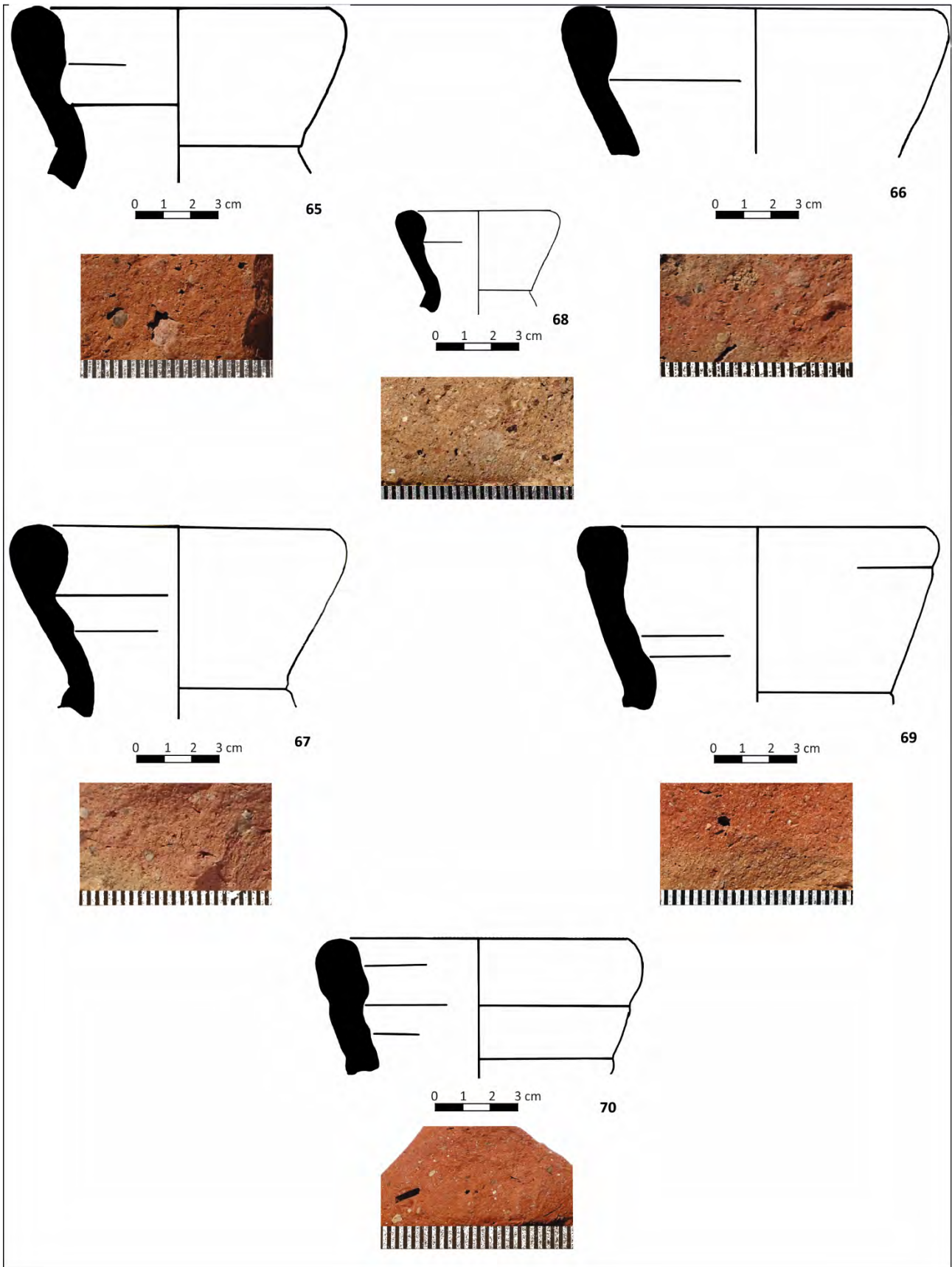


Plate XII. Variant of LRA2 nos. 65–70.

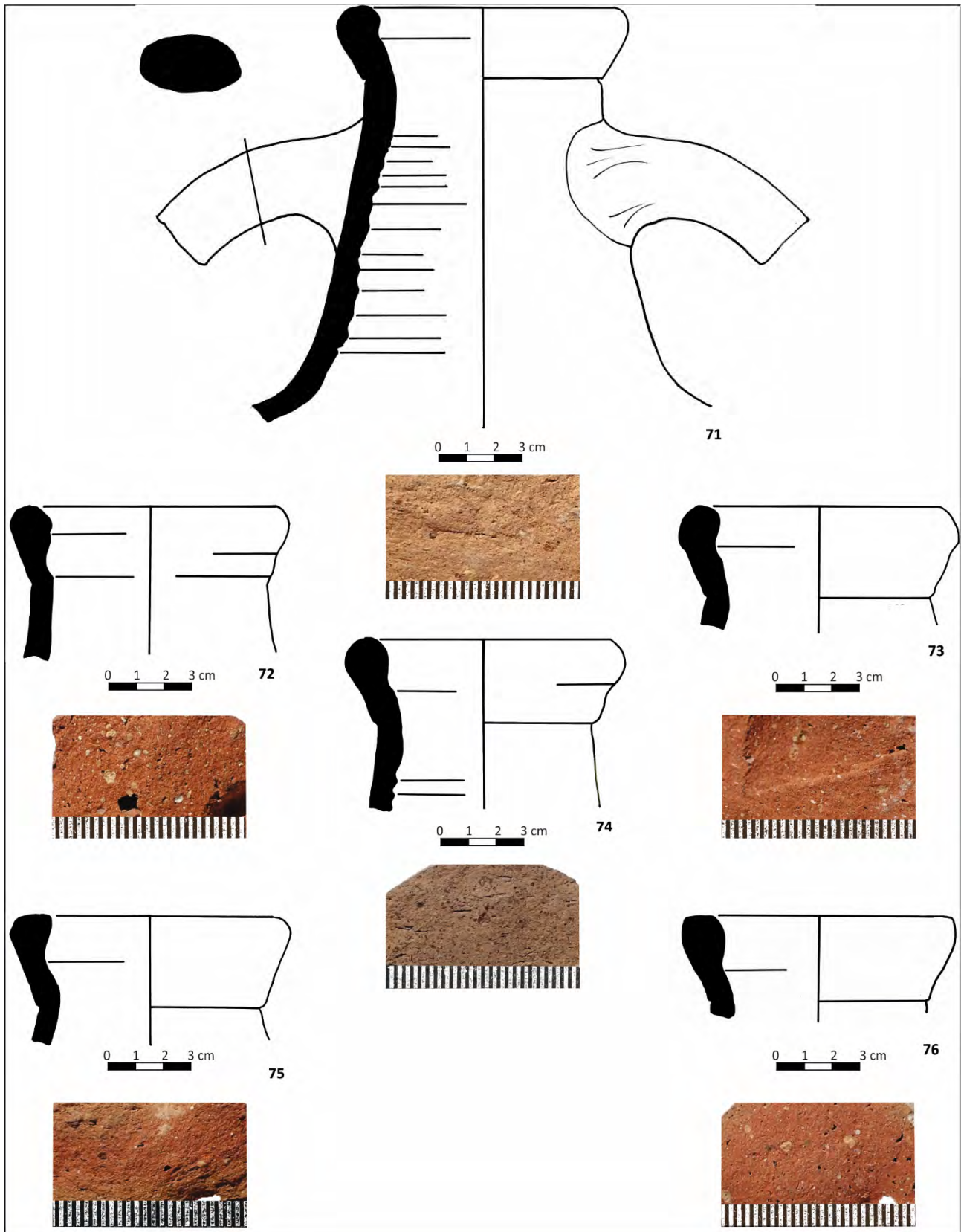


Plate. XIII. Subtype of LRA2 nos. 71–76.

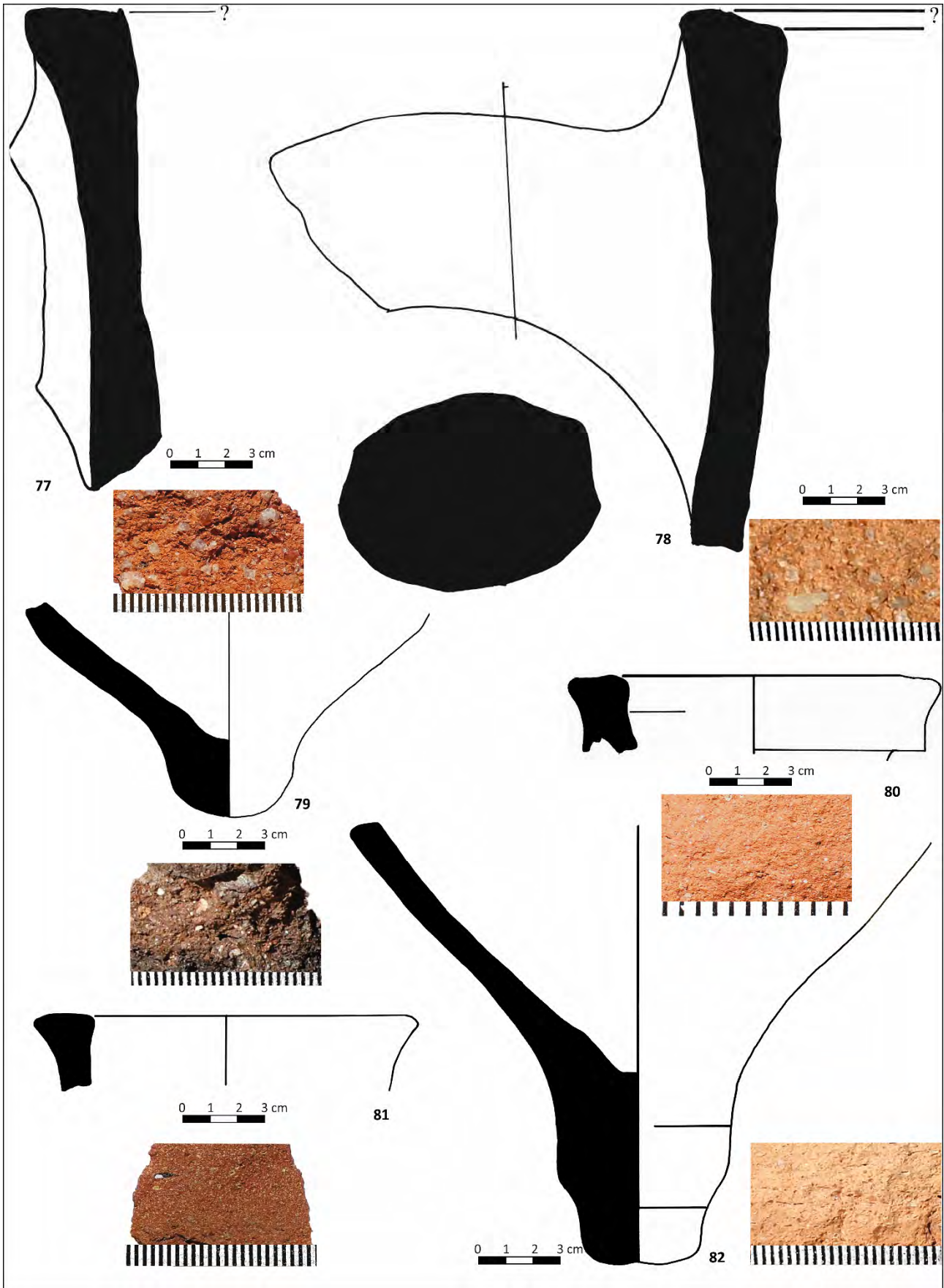


Plate XIV. Zeest 80 nos. 77–79; Keay VIII B no. 80–81; Keay LXII Q no. 82.

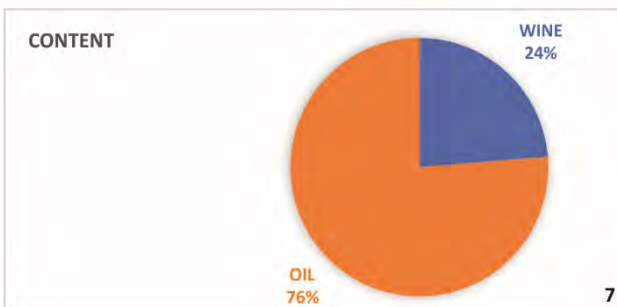
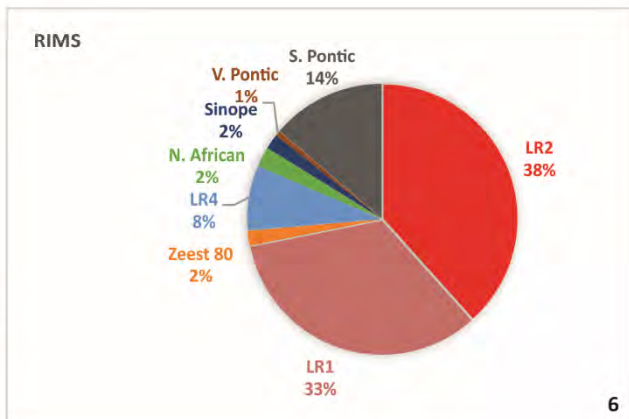
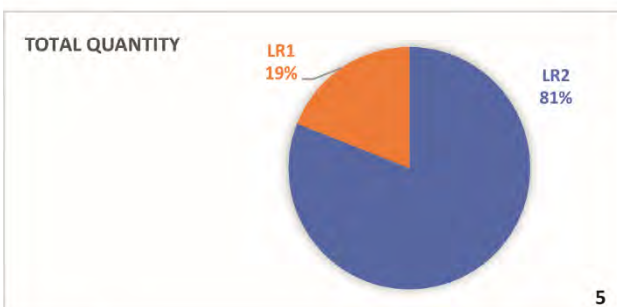
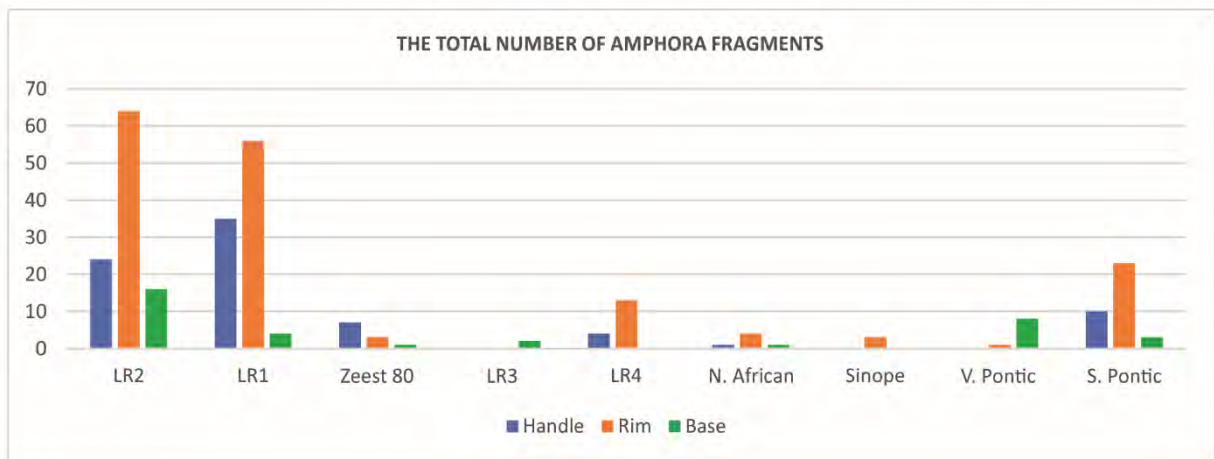
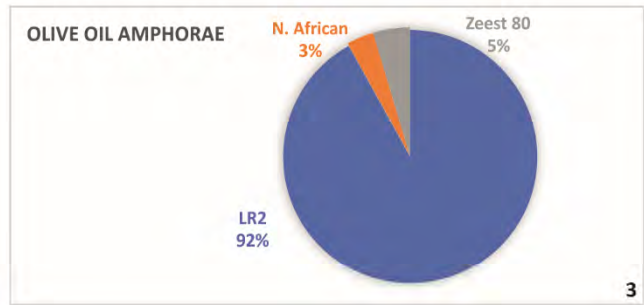
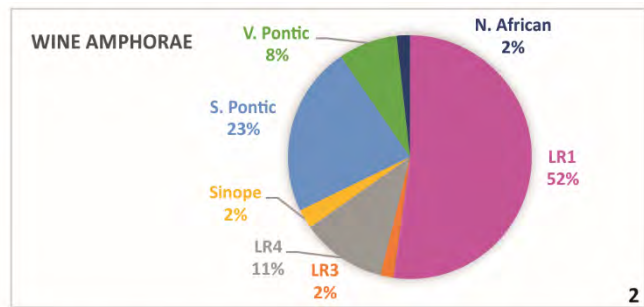
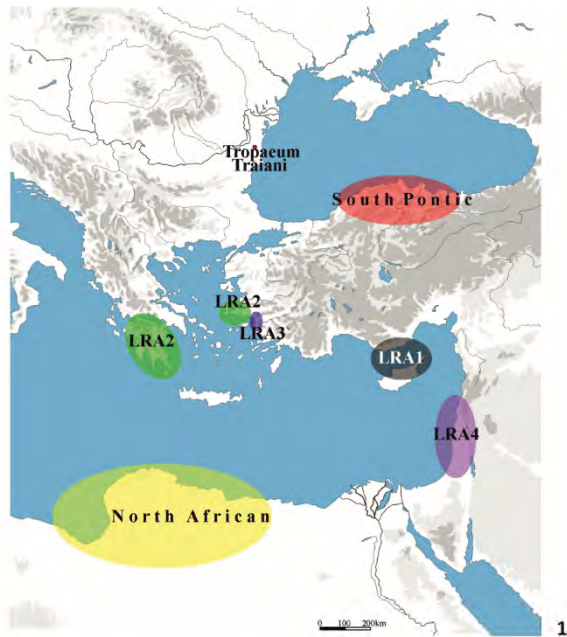


Plate XV. Map showing the place of production for each type of amphorae discussed in the paper (no. 1) and graphic statistics based on the total number of late roman amphorae coming from the investigated sector (nos. 2-7).

NEW DATA ON THE LATE ROMAN CEMETERY (4TH–5TH CENTURIES AD) FROM THE *EXTRA MUROS* BASILICA AT HISTRIA: BURIAL AND REBURIAL OF TWO YOUNG PEOPLE

Mircea DABÎCA^a, Cătălin PAVEL^b, Andrei Dorian SOFICARU^c

^a Vasile Pârvan Institute of Archaeology of the Romanian Academy; e-mail: mdabica@yahoo.com

^b Faculty of History and Political Sciences of the Ovidius University; e-mail: catalin_pavel@hotmail.com

^c Francisc Rainer Institute of Anthropology of the Romanian Academy; e-mail: asoficaru@yahoo.com

Keywords: Histria, funerary archaeology, atypical burial, anthropological analysis

Abstract: This study presents an atypical burial from the Late Roman cemetery at Histria. During previous archaeological excavations at the same site and the Scythia Province, no such discoveries were identified. This case consists of a burial in a simple pit with coffin and ordinary inventory, and an atypical re-inhumation which disturbed the first skeleton. The anthropological analysis identified two individuals under 20 years old, who displayed musculo-skeletal markers of physical activity. This feature is less common for this age category.

Cuvinte-cheie: Histria, arheologie funerară, înmormântare atipică, analiză antropologică

Rezumat: Studiul de față prezintă o înmormântare atipică din necropola romană târzie de la Histria. Atât în descoperirile arheologice precedente din acest sit, cât și din provincia Scythia, nu au fost documentate astfel de complexe funerare. În cazul de față s-a identificat o înmormântare în groapă simplă cu sicriu și inventar funerar modest și o reînhumare atipică care a deranjat scheletul precedent. Analiza antropologică a identificat doi indivizi sub 20 de ani, care au efectuat activități fizice intense în timpul vieții, aspect mai puțin normal pentru asemenea categorie de vârstă.

INTRODUCTION

Over the past 15 years, archaeological excavations at Histria shed light on a variety of ancient funerary practices. Among these, an inhumation grave identified in 2012 and excavated in 2018 appears to occupy a special place. During ordinary re-inhumations, the disturbed skeleton is usually placed commingled in a corner of the pit. In the case discussed below, unparalleled so far in Late Roman Dobrudja, the skeleton of a young male was reburied, mimicking an articulated skeleton, alongside that of an adolescent girl (the primary burial). The anthropological analysis identified bones from four individuals: skeleton 2 was buried first, later to be disturbed by skeleton 1, alongside bones from skeletons 3 and 4. Our aim is to explain the succession of the skeletons in the same pit and to correlate and interpret the archaeological and anthropological data.

THE CEMETERIES OF THE *EXTRA MUROS* BASILICA. THE HISTORY OF THE EXCAVATIONS

First archaeological excavations in the *Basilica extra muros*¹ area started in 1914, under the supervision of Vasile Pârvan and some graves were found². More excavations around this spot took place between 1950 and 1953³ and 30 skeletons from disturbed graves were uncovered⁴; based on their inventories they were assigned to the 4th century AD⁵. In 1955–1956⁶, those excavations were extended by Emilian Popescu to the west of the area between the Hellenistic wall and the *Basilica extra muros*. Then the Early Christian basilica was unearthed along with three inhumation graves found to the east, in the cemetery yard⁷. In 1956, the same archaeologist supervised a north-south trench across the church: 13 graves were found, but only eight were excavated⁸. According to the excavator, some of them were dated to the second half of the 4th century AD and some to the 6th century AD⁹.

¹ Pârvan 1914, p. 118–119; Pârvan 1915a.

² Nubar 1971a, p. 203.

³ Nubar 1970, p. 193; Nubar 1971a, p. 199.

⁴ Nubar 1971a, p. 199

⁵ Preda, Doicescu 1966, p. 331–332.

⁶ Popescu 1957; 1959.

⁷ Popescu 1959, p. 295.

⁸ Popescu 1959, p. 293–294.

⁹ Popescu 1959, p. 295.

During the excavations between 1961 and 1964 conducted by Nubar Hamparțumian¹⁰, some Early Roman (3rd century AD) monumental buildings were identified but also other 74 graves, 71 of which were excavated¹¹. As a result, the archaeologist established the chronology of the findings in the *Basilica extra muros* area: a cemetery dating from the 4th to the beginning of the 5th century AD and another one (contemporary with the basilica) from the end of 5th to the beginning of 7th century AD¹².

The cemetery extended also to the south-west in the area of the former Early Roman baths (*Thermae II*) where 18 graves were discovered by Alexandru Suceveanu. From those, only ten were excavated and seven of them were dated to the 4th–5th century AD¹³.

New archaeological excavations at the *Basilica extra muros* started in 2001 boosted by Alexandru Suceveanu, the head of the Histria archaeological site at the time, and led by Viorica Rusu-Bolindeț¹⁴. Between 2008 and 2010, based on the collaboration with the South Sector team of archaeologists, the excavations focused on the southern side of the *Basilica extra muros*; 23 graves were found and only nine were excavated in that area. Based on this new research, Viorica Rusu-Bolindeț and her team proposed a new chronology of the funerary discoveries of the necropolises located in the area of the Early Christian basilica¹⁵, the first cemetery was dated between the 4th and the beginning of the 5th century AD, and the second one from the 6th to the first half of the 7th century AD¹⁶.

With 2011, in the area south and west of the *Basilica extra muros* (Pl. I/a), 32 graves were discovered and 13 were published¹⁷, most of them from the first cemetery.

ARCHAEOLOGICAL DATA

Location. The inhumation grave 29 (Pl. I/b) was found in the South Sector area in 2012 (Pl. II/c) (square C2, trench S3b) at 1.05 m depth. At that moment, only its eastern end was uncovered and a coin (Pl. II/d) from Emperor Gordian III was found, a possible grave good, very probable in a secondary position. The grave was excavated in 2018 at the same time as trench S16.

Orientation of the burial. The inhumation grave 29 has the cardinal position of WSW–ENE (Pl. II/e–f).

The pit (without any stone or tile construction) has a rectangular shape with the dimensions of 1.65 × 0.55 m (Pl. II/a–b). The soil matrix consisted of yellow silty clay with tile fragments, mortar, and limestone rubble¹⁸. The

bottom of the burial pit (Pl. IV/b) overlapped the southern wall of the Early Roman building (dated to the 3rd century AD), which is indicative together with the funerary inventory, of the 4th–5th centuries AD. In the pit filling, along with the above-mentioned coin, five iron nails were found on the sides of skeleton 2 (Pl. IV/a, e), which indicate the presence of a coffin. Also, some animal bones (cattle, birds, fish and shells) and atypical ceramics, both from the Early and Late Roman periods, were found (not illustrated).

The skeletons. Skeleton 1 (Pl. III) was not articulated, but skeleton 2 was in dorsal decubitus position with the lower limbs stretched and parallel. The skull of skeleton 1 (with SW-NE orientation) was deposited over that of skeleton 2. Skeleton 1 was found at 0.90 m depth, the pelvic bones at 1.00 and the lower limbs at 1.05 m; the skull of skeleton 2 was observed at 0.93 m. During the archaeological excavation, no second pit of intervention and no animal disturbance were observed (Pl. IV/a).

The grave goods (Pl. IV/a, c–d) consist of one bronze ring and four glass beads. The ring (Pl. V/a–b) has a maximum diameter of 1.7 cm, a width of 0.2 cm but at the superior part the width is 1.1 cm and the thickness is 0.1 cm; the object was made from a flat bronze strip and joined by hammering at the superior side. The third left hand phalanx of skeleton 2 presents bronze colouration and was found in the lower area of the pit.

Bead 1 (Pl. V/c–d) has a diameter of 2.1 cm, a wall thickness of 0.7 cm, a height of 1.9 cm and the perforation hole of 0.7 cm; it is dark blue in colour and geometric patterns decorate its surface.

Bead 2 (Pl. V/e–f) has a diameter of 1.3 cm, a height of 1.2 cm with a perforation hole of 0.2 cm.

Bead 3 (Pl. V/g–h) has a diameter of 1.2 cm, a height of 0.9 cm with a perforation hole of 0.2 cm; both beads are dark blue.

Bead 4 (Pl. V/i–j) is tubular with a diameter of 0.9 cm, a height of 2.6 cm, a wall thickness of 0.2 cm with a perforation hole of 0.5 cm and is dark blue and decorated with a glass thread.

All four beads were found in secondary position in the lower area of the pit. These kinds of objects are dated to the 4th century AD. By comparison, the same kind of rings was found at the Late Roman necropolis from *Callatis* and they are included in the category of simple bronze rings, without *chaton*, the type with overlapped ends¹⁹. The beads also have analogues at the same site, the first being included in the category of beads with

¹⁰ Nubar 1970; 1971a; 1971b.

¹¹ See the last paper of Crețu *et alii* 2020, *passim* (based on the archive of excavations).

¹² Nubar 1971b *apud* Rusu-Bolindeț *et alii* 2014b, p. 258; Rusu-Bolindeț *et alii* 2014a, p. 203.

¹³ Suceveanu 1982, p. 36–37, fig. 15.

¹⁴ Rusu-Bolindeț, Bădescu 2003–2005; Rusu-Bolindeț *et alii* 2014a; 2014b.

¹⁵ Rusu-Bolindeț, Bădescu 2003–2005, p. 104–112.

¹⁶ Rusu-Bolindeț, Bădescu 2003–2005, p. 118–119.

¹⁷ Dabîca 2014, p. 136–137, pl. 4–7.

¹⁸ For the recording system of burials at Histria and elsewhere, see Pavel 2010, p. 133–134.

¹⁹ Preda 1980, M 101, p. 93, 193, pl. LXIII/101/1.

painted decoration²⁰; the second and the third being spheroidal beads²¹, and the fourth falls into the category of tubular glass beads²². More analogies can be found at the necropolis in Beroe²³, with bead 1 belonging to the type I5 B&C, beads 2 and 3 to the type I1 D, while bead 4 is included in the type II3 A.

ANTHROPOLOGICAL DATA

A human osteological handbook was used for identification and description of the bones and their sides²⁴. Age at death was estimated based on the age of fusion of long bones, the ossification of the sphenoccipital synchondrosis²⁵, and maximum length of the long bone's diaphysis²⁶. Sex determination was assigned by pelvic bones features²⁷.

Skeleton 1 (Pl. VII) is well preserved with an intact surface. The skull is complete, but the mandible is broken at the level of the right first premolar. The left maxillary canine and first left mandibular incisor are missing; third molars started to erupt. Both scapulae are complete with low erosion on the edges. Humeri are complete but the left one has broken parts in the proximal area, and both proximal unfused epiphyses were found. The radii and ulnae are also complete with the left distal unfused epiphysis of left radius present. The phalanges from hands were identified. All the vertebrae are present and only two thoracic ones display cracks. The majority of the ribs are mostly fragmentary, but five of them from the right side were complete. The sacrum is broken in two, both *os coxae* are present but the left one is broken in three fragments. From femurs, the left one has the distal end broken and both trochanters and distal epiphyses are not fused. Both patellae are present. The right tibia presents a broken area on the tuberosity and the left one has missing parts in the proximal area; the unfused proximal and distal epiphyses are present. The fibulae show missing parts at the distal ends. From feet bones, both talus bones are complete, where as some phalanges and calcanei are fragmentary.

Age-at-death for this skeleton is 20 years based on the following observations: third molars are close to erupting; a sphenoccipital synchondrosis is not closed, the medial epicondyle of humeri, proximal epiphyses of radius and ulna or femoral head are not fused.

The skull and pelvic bones features indicate a male.

The identified palaeopathological change is enamel hypoplasia on the maxillary incisors and canines but also on the mandibular canines (Pl. VI/a). On the superior margin of the fifth lumbar vertebra an osteophyte was

identified (Pl. VI/b). Pronounced muscular insertions were observed on both clavicles (*Pectoralis Major*) (Pl. VI/c–d), on humeri (*Latissimus Dorsi* and *Pectoralis Major*) (Pl. VI/e), and on radii (*Pronator Teres*) and ulnae (*Membrana Interossea*).

Skeleton 2 (Pl. VII) is also in a good condition. The skull was partially reconstructed (only for the frontal, parietal bones, and occipital); the basilar side is the most affected by decrepitude. The mandible was broken under the right canine. The scapulae are complete but with some erosion. The left clavicle is complete, but the right one has the sternal end broken. From the sternum just one fragment of the manubrium is present. The vertebral column preserved five cervical, eight thoracic and five lumbar vertebrae. Five complete ribs from the right side and seven from the left were identified. The humeri are complete with the proximal epiphyses present, but the distal ones are missing. The left and right radius do not have epiphyses present. The sacrum and coccyx are complete. The femurs show some damage at the distal areas, but for both were recovered the femoral heads, left trochanter, and distal epiphyses. The ilium, ischium, and pubis from both sides are present. Only the right patella was found. From the tibiae, the right one is broken at the proximal end. The left fibula is complete and the right one has the proximal end missing. Bones from hands and feet are also present, including the calcanei and tali.

The great sciatic notch is open and the cranial features indicate a female. The epiphyses are not fused, and the diaphysis lengths indicate the age-at-death is between 14 to 16 years old.

As for the paleopathology indicators, enamel hypoplasia on the maxillary incisors and the left canine was identified. On the humeri, significant muscular insertions of the *Pectoralis Major* and *Latissimus Dorsi* muscles were identified (Pl. VI/f).

Skeleton 3 is represented by the right femur from an indeterminate adult (Pl. VI/g) with the great trochanter area missing, displaying bite marks from canids on the diaphysis and the femoral head (Pl. VI/h); it is broken in the distal metaphysis area.

Skeleton 4 is a non-adult of 10 years of age identified by the left femur, a distal epiphysis, left and right ilium, both pubis, right ischium, three fragments of sacrum, and three epiphyses (Pl. VI/i).

RESULTS OF THE ANTHROPOLOGICAL ANALYSIS

The anthropological analysis of skeleton 1 indicates intense physical activity during life, perhaps lifting heavy

²⁰ Preda 1980, M352, M209, M262, M329, pl. XXVI.

²¹ Preda 1980, M319, M356, M358, pl. XXVII.

²² Preda 1980, M331, p. 177, pl. XXVII, p. 177, pl. XLVII/1; M250, pl. XXVIII.

²³ Petre 1987, pl. 149.

²⁴ White *et alii* 2012, p. 43–294.

²⁵ White *et alii* 2012, p. 395; Mirițoiu, Soficar 1999.

²⁶ Bernert *et alii* 2007, *passim*.

²⁷ White *et alii* 2012, p. 408–418.

weights and mostly from the upper limbs. All these are corroborated by the muscular insertions of these bones but also by the osteophyte from the fifth lumbar vertebra. The same kind of insertions can be identified also on the skeleton 2 humeri but less marked. Both skeletons display the same type of upper limbs musculoskeletal stress markers for young age, which is unusual. In various societies in the world, such markers indicate the participation of adolescents in activities related to agriculture²⁸.

From the view of the archaeoanatomical interpretation of the skeletons²⁹, the aim was to establish the chronological sequence of the burials and bone manipulation (Pl. VII–IX). Skeleton 2 was buried first (in dorsal decubitus) and most of the bones were articulated: the mandible, vertebral column, bones of the upper and lower right limb were in place. Skeleton 1 was buried subsequently disturbing some of the bones of skeleton 2: the ribs, the left humerus and the scapulae. At an ulterior moment, the left side of the skull fractured. When skeleton 1 was placed in the grave mostly in the area of the lower limbs of skeleton 2, various bones from skeletons 3 and 4 were also added. None of the bones exhibit any *antemortem* cutmarks or fractures. The adult femur of skeleton 3 displays a very distinct taphonomy which indicates that prior to its deposition in this grave, it originated in a different environmental *milieu*, including perhaps a period spent exposed at the surface. This bone, alongside the non-adult bones of skeleton 4, was buried when the pit was refilled.

This type of re-inhumation, with one skeleton buried first and the second one commingled on top of it, had not been identified yet at other sites from *Scythia Minor*. The type of grave, including the presence of the coffin, and the orientation and skeletons position of the skeleton 2 are common elements to the funerary behaviour during the 4th century AD³⁰.

CONCLUSION

At first glance, a re-inhumation is easily documented and explained: a pack of bones in one of the corners of a pit together with a complete skeleton. In fact, of the numerous discoveries of graves from the *Scythia Province*³¹, not all provided good archaeological contexts, photos from the period of excavation and anthropological studies. The case presented above meets all of these.

At Histria, at the moment of discovery³² grave 18 was described as a re-inhumation. Another site with securely contextualized re-inhumations is Slava Rusă, where two

graves with comingled bones were identified in 2010. They have similar dimensions and in each of them were found bones from four different individuals. It is very possible that human bones were removed from disused graves when the 4th century wall was built³³. At Callatis, grave 323 contains one articulated adult skeleton and other two were packed in the north-west corner³⁴.

At Histria, in the case of grave 29, in order to offer a valid explanation for the second burial and the bone manipulation, an extensive analysis of all options has to be undertaken. If the two individuals died together, they would have been buried in the same pit, one on top of the other or one next to the other; this would have been a double inhumation. If individual 1 was interred as a body (not like a skeleton), the bones of skeleton 2 would have been re-located to one of the pit corners; this would have represented a typical re-inhumation. To the contrary, skeleton 2 was left in the same place and sometime later, when the body skeletonised, the bones of skeleton 1 were buried, with the long bones placed over the lower limbs of skeleton 2, and the skull over the skull of skeleton 2. At that moment, the grave goods and some of the bones of skeleton 2 were disturbed, but the skull, vertebral column, and bones from the lower limbs remained undisturbed. Length-wise, the pit matches the height of individual 2, who was buried in a coffin.

Their lower social/economic status is indicated by the ordinary burial in a simple pit and without any other constructions, the common inventory, the young age at death, the muscular insertions (atypical for people under 20 years) and the enamel hypoplasia, a sign of deprivation³⁵. Using the same pit for the second burial indicates perhaps kinship among the individuals buried, because the people who buried them may have remembered the place.

The tomb M29/2018 within the *Basilica extra muros* cemetery and its atypical reburial show that between two individuals of low social status, a bond of such strength can exist (whether rooted in familial or perhaps religious ties) as to warrant unusual mortuary practices.

REFERENCES

- Bernert *et alii* 2007 – Zs. Bernert, S. Evinger, T. Hajdu, *New data on the biological age estimation of children using bone measurements based on the historical populations from the Carpathian Basin*, *Annales Historico-Naturales Museum Nationalis Hungarici* 99, 2007, p. 199–206.
- Crețu *et alii* 2020 – C. Crețu, M. Dabica, A. D. Soficaru, *Digging up the archives: a reassessment of burial practices in the cemeteries from the Extra Muros Basilica sector at Histria*, *MCA* 16, 2020, p. 139–180.

²⁸ Guzik 2016, p. 69–71.

²⁹ Duday 2009.

³⁰ Soficaru, Sofaer 2021.

³¹ Soficaru 2011, p. 133.

³² Crețu *et alii* 2020, p. 152, pl. 11/b–c, p. 171.

³³ Iacob *et alii* 2011, p. 130.

³⁴ Preda 1980, p. 111, pl. VIII, p. 142.

³⁵ Lewis 2018, p. 84–85.

- Dabîca 2014 – M. Dabîca, *The Histria Sud Sector. Recent Archaeological Research on an 'Imposing' Early Roman Public Building*, MCA 10, 2014, p. 133–155.
- Duday 2009–H. Duday, *The Archaeology of the Dead: Lectures in Archaeoethnology*, Oxford, 2009.
- Guzik 2016 – H. M. Guzik, *Three-dimensional analysis of the development of upper arm musculoskeletal stress markers in late adolescents and young adults of Archaic and Mississippian populations of Tennessees*, BA thesis, University of Southern Mississippi, Hattiesburg, 2016.
- Iacob et alii 2011 – M. Iacob, D. Paraschiv, G. Nuþu, M. Mocanu, G. Costea, V. Rusu, L. Marcu, C. Geambai, C. Chiriac, D. Aparaschivei, A. Rubel, A. Opaiþ, L. Munteanu, L. Mihăilescu-Bîrliba, S. Stanc, A. Soficaru, N. Miriþoiu, M. Gătej, C. Munteanu, 63. *Slava Rusă, com. Slava Cercheză, jud. Tulcea [(L)Ibida]. Punct: Cetatea Fetei*, CCA, campania 2010, Sibiu, 2011, p. 123–127.
- Lewis 2018 – M. Lewis, *Paleopathology of children. Identification of pathological conditions in the human skeletal remains of non-adults*, London, 2018.
- Miriþoiu, Soficaru 1999 – N. Miriþoiu, A. D. Soficaru, *Considérations sur l'âge de synostose de la synchondrosesphéno-occipitale chez un échantillon en provenance de la collection craniologique "Fr. I. Rainer"* - Bucarest, ARA 36, 1999, p. 3–8.
- Nubar 1970 – H. Nubar, *Şantierul arheologic Histria. Sectorul Bazilica Extra Muros (1961–1964)*, MCA 9, 1970, p. 193–201.
- Nubar 1971a – H. Nubar, *Contribuþii la topografia cetăþii Histria în epoca romano-bizantină. Consideraþii generale asupra necropolei din sectorul basilicii "Extra Muros"*, SCIV 22, 1971, 2, p. 199–215.
- Nubar 1971b – H. Nubar, *Ein gotish-alaniches Grab in Histria*, Dacia NS 15, 1971, p. 335–347.
- Pavel 2010 – C. Pavel, *Describing and Interpreting the Past–European and American Approaches to the Written Record of the Excavation*, Bucharest, 2010.
- Pârvan 1914 – V. Pârvan, *Raport provizoriu asupra primei campanii de săpături la Histria*, ACMI 1914 (1915), p. 117–121.
- Pârvan 1915 – V. Pârvan, *Archäologische Funde im Jahre 1914*, Sonderdruck aus dem Jahrbuch des kais. Arch. Instituts, AA, 1915, col.256–257, p. 268–269.
- Petre 1987 – A. Petre, *La Romanité en Scythie Mineure*, AISEE 17–18, 1987, p. 6–171.
- Popescu 1957 – E. Popescu, *Sectorul de la vest de zidul de incintă din valul al III-lea*, MCA 4, 1957, p. 16–24.
- Popescu 1959 – E. Popescu, *Sectorul de la V de zidul de incintă din valul III*, MCA 5, 1959, p. 291–296.
- Preda 1980 – C. Preda, *Callatis. Necropola romano-bizantină*, Bucureşti, 1980.
- Preda, Doicescu 1966 – C. Preda, A. Doicescu, *Zidul de apărare din epoca elenistică*, in: E. Condurachi (ed.), *Histria II*, Bucureşti, 1966, p. 295–334.
- Rusu-Bolindeþ et alii 2014a – V. Rusu-Bolindeþ, A. Bădescu, V.-A. Lăzărescu, M. Dima, C. Radu, N. Szeredai, B. Kelemen, *Recent Research at the Basilica Extra-Muros in Histria at 100 Years Since the Initiation of Archaeological Research on the Site*, MCA 10, 2014, p. 199–219.
- Rusu-Bolindeþ et alii 2014b – V. Rusu-Bolindeþ, A. Bădescu, V.-A. Lăzărescu, M. Dima, *Recent Archaeological Research at the Basilica Extra Muros Sector in Histria*, Pontica 47, Supplementum III, Constanþa, 2014, p. 251–281.
- Rusu-Bolindeþ, Bădescu 2003–2005 – V. Rusu-Bolindeþ, A. Bădescu, *Histria. Sectorul Basilica Extra Muros*, SCIVA 54–56, 2003–2005, p. 103–130.
- Soficaru 2011 – A. Soficaru, *Populaþia provinciei Scythia în perioada romano-bizantină*, Iaşi, 2011.
- Soficaru, Sofaer 2021 – A. D. Soficaru, J. Sofaer, *Regional patterns in mortuary practice in the Lower Danube region in the 4th–6th centuries*, ArchKorr 51, 2021, 2, p. 263–285.
- Suceveanu 1982 – A. Suceveanu, *Histria VI. Les thermes romains*, Bucharest, 1982.
- Suceveanu 2007 – A. Suceveanu, *Histria XIII. La basilique épiscopale*, Bucureşti, 2007.
- White et alii 2012 – T. D. White, M. T. Black, P. A. Folkens, *Human Osteology*, 3rd ed., Burlington – San Diego – Oxford, 2012.



a



b

Plate I. a. General plan of Histria. Location of the South Sector (after Suceveanu 2007); b. South Sector general plan with the position of M29/2018.



a



b



c



d



e



f

Plate II. a–b. Grave-pit of M29/2018; c–d. Grave of M29/2018 in 2012 when first observed; e. Grave M29/2018 – general view from the west; f. Grave M29/2018 – detail from the north.



a



b



c



d



e



f

Plate III. Grave M29/2018. a. General view from the east; b. General view from the west; c. Detail of the upper parts of the skeletons (view from east); d. Detail of the lower parts of the skeletons (view from east); e. Detail from the north; f. Detail from the north.

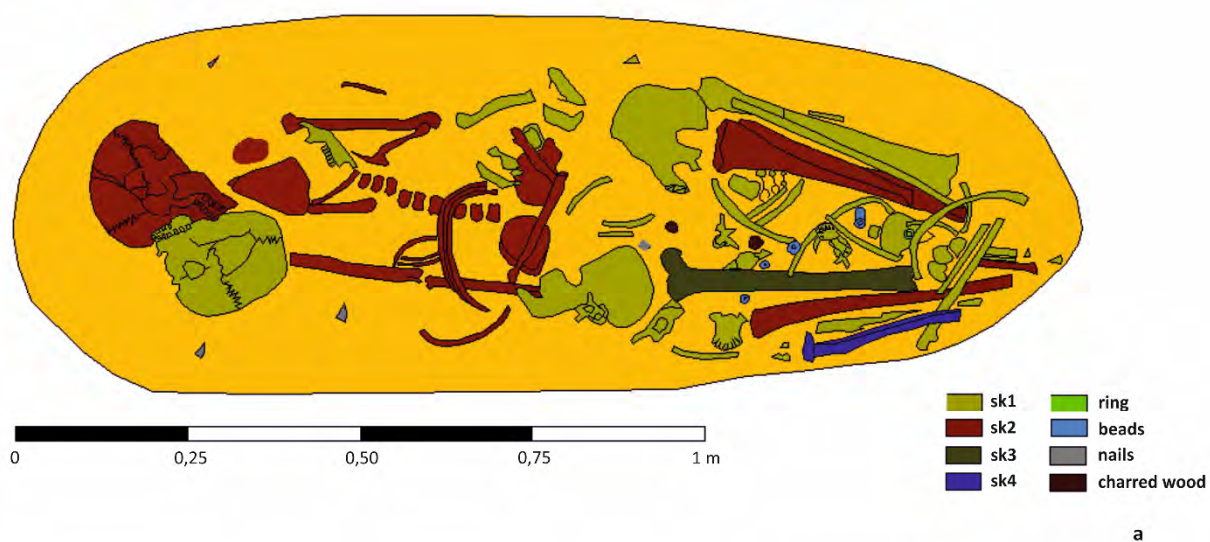


Plate IV. a. Grave M29/2018 – ground plan; b. The M29/2018 grave-pit overlapping the wall of an Early Roman building; c. Bronze ring discovered in situ; d. Glass beads discovered in situ; e. Iron nail discovered in situ.



a



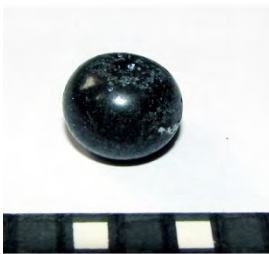
b



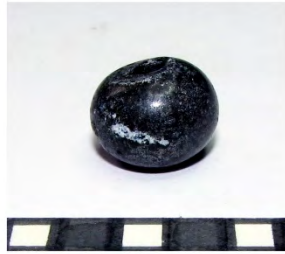
c



d



e



f



g



h



i



j

Plate V. Grave goods. a–b. Bronze ring; c–d. Glass bead 1; e–f. Glass bead 2; g–h. Glass bead 3; i–j. Glass bead 4.

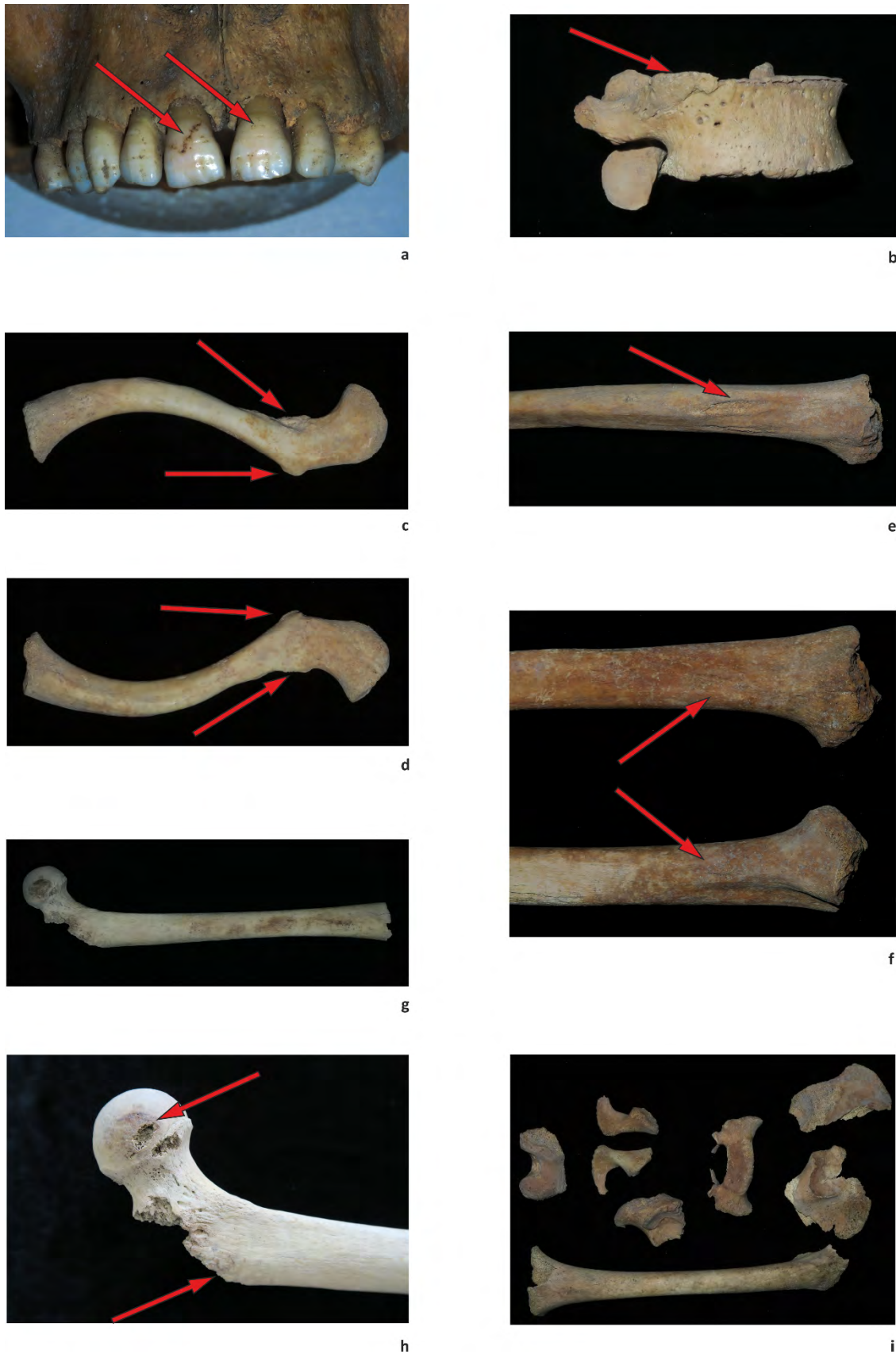


Plate VI. Anthropological analyses. A. M29/1 skeleton: a. Enamel hypoplasia on the maxillary incisors; b. Osteophyte on the upper edge of the fifth lumbar vertebra; c–d. Muscular insertions on the right clavicle, superior and inferior view; e. Muscular insertions on the right humerus; B. M29/2 skeleton: f. Muscular insertions on humeri; C. M29/3 skeleton: g. Adult right femur; h. Detail of the adult right femur with bite marks from canids on the diaphysis and the femoral head; D. M29/4 skeleton: i. Non-adult bones.

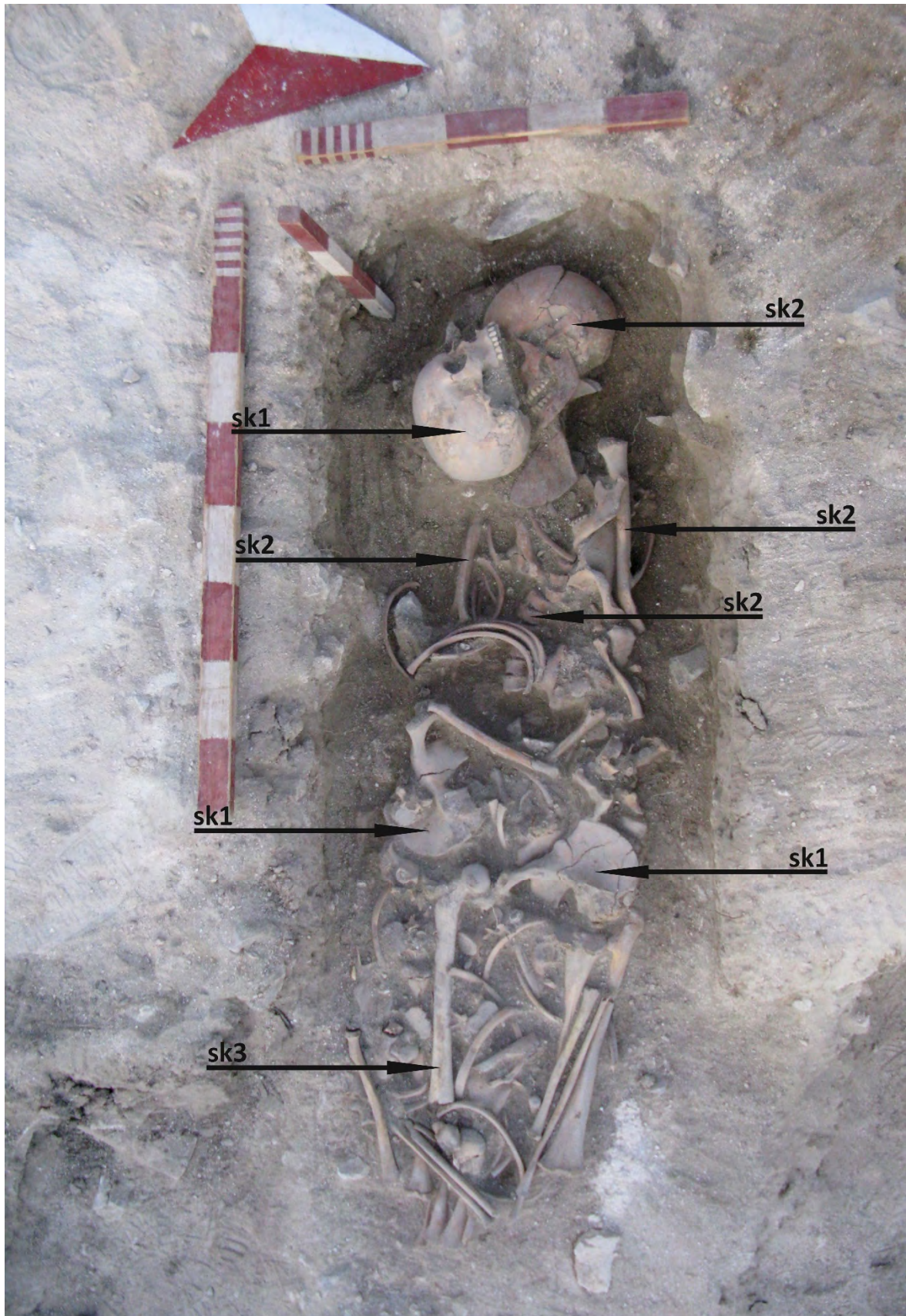


Plate VII. Distribution of the bones of the identified skeletons.

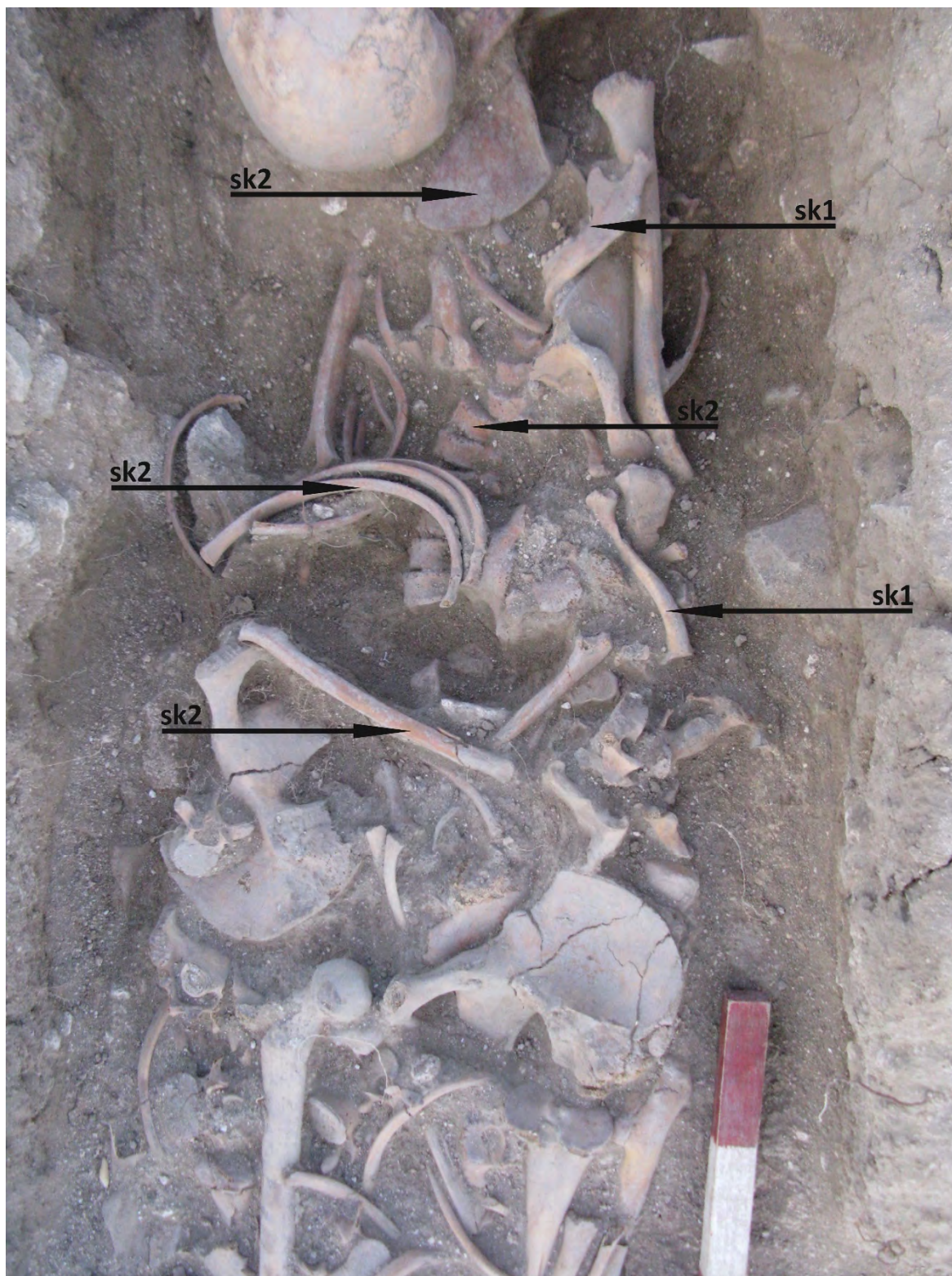


Plate VIII. Distribution of the bones of the identified skeletons, superior half.



Plate IX. Distribution of the bones of the identified skeletons, inferior half.

NOI CERCETĂRI ARHEOLOGICE DIN CASTRUL DE LA CÂMPULUNG (PESCĂREASA, PUNCT JIDOVA) (2010–2015)

In memoriam Teodor Cioflan

Constantin C. PETOLESCU^a, Florian MATEI-POPESCU^a, Ion DUMITRESCU^b

^a Institutul de Arheologie „Vasile Pârvan”, București; e-mails: ccpetolescu@yahoo.fr, florian.matei@gmail.com

^b Muzeul Județean Argeș, Pitești; e-mail: ion_dumitrescu09@yahoo.com

Keywords: Roman Dacia, Dacia Inferior, limes transalutanus, Roman fort, Câmpulung

Abstract: Recent archaeological excavations carried out between 2010 and 2015 in the central area of the Câmpulung Roman fort (*latus praetorii dextrum*) indicated that the small double apse building with underfloor heating located between the headquarters and the granary, was a later construction, dated towards the middle of the 3rd century CE. Prior to its construction, a timber building existed on the spot, a possible timber granary (*horreum*), judging by its dimensions (33 × 9 m²), comparable with the size of the stone granary. Such timber granaries are common within the Roman auxiliary forts, especially during the earth-timber construction phases. This timber granary was destroyed by fire sometime during or after the reign of Severus Alexander. The area was covered with gravel and the double apse building was constructed, along with a well (?) in front of it; unfortunately, it is impossible, up to this moment, to establish its function.

Cuvinte-cheie: Dacia romană, Dacia Inferior, limes transalutanus, castru, Câmpulung

Rezumat: Cercetările arheologice din anii 2010–2015, în zona centrală a castrului de la Câmpulung (*latus praetorii dextrum*), au arătat că edificiul de mici dimensiuni cu hipocaust, dispus între *horreum* și *principia*, a fost construit mai târziu, probabil către mijlocul secolului al III-lea p.Chr. Anterior, spațiul a fost ocupat de o clădire de lemn și pământ, având dimensiuni comparabile cu cele ale magaziei de cereale de piatră (*horreum*), 33 × 9 m. Planul, dimensiunile și amplasamentul converg spre identificarea construcției de lemn cu o magazie de cereale. Astfel de magazine de lemn pentru cereale nu sunt ceva neobișnuit în castrule auxiliare, mai ales în fazele de lemn și pământ ale acestora. Acest *horreum* de lemn a fost distrus de un incendiu cândva în timpul sau după domnia lui Severus Alexander. Spațiul a fost nivelat cu pietriș, apoi a fost construită clădirea dublu absidată, precum și un puț (?) în fața ei; din păcate, funcționalitatea acestei clădiri târzii nu a putut fi stabilită.

Castrul roman de la Câmpulung (cartierul Pescăreasa, mun. Câmpulung-Muscel, jud. Argeș, punctul *Jidova*) este cea mai bine conservată fortificație de pe *limes transalutanus*¹. Această frontieră estică a Daciei Inferior a fost definită și cercetată parțial încă din secolul al XIX-lea de Carl Schuchhardt și Grigore G. Tocilescu, urmași apoi de o serie de alți cercetători: Vasile Christescu, Emilian Popescu, Ioana Bogdan-Cătănicu, Constantin C. Petolescu sau Eugen S. Teodor². Cu toate acestea, încă nu s-au putut aduce dovezi decisive privind cronologia generală a liniei de fortificații, chiar dacă pentru unele dintre fortificații s-a putut ajunge la concluzii importante în această problemă³.

Fără îndoială, castrul de la Câmpulung – *Jidova* reprezintă, totodată, și punctul cel mai intens cercetat de pe *limes*-ul transalutan. Începute cu mai bine de cincizeci de ani în urmă, săpăturile sistematice oferă un reper pentru cercetarea *limes*-ului transalutan, dar în egală măsură și pentru Dacia Inferior. Materialele arheologice descoperite în acest punct, unele dintre ele valorificate (inscripții⁴, opaițe⁵, ceramica ștampilată⁶, amfore⁷ și o parte din piesele de echipament militar⁸), au permis încadrarea fortificației și implicit a *limes*-ului transalutan în limite cronologice mai clare. În linii generale, putem afirma că acest castru funcționează în prima jumătate a secolului al III-lea, fiind ocupat de *cohors I Flavia Commagenorum* din armata Daciei Inferior⁹.

¹ Pentru istoricul cercetării și bibliografie, vezi Petolescu, Cioflan 1995, p. 17 (p. 28, note); Avram, Petolescu 1999, p. 189; Petolescu 2014, p. 194, nota 84.

² Vezi Bogdan-Cătănicu 1997, p. 78–85; Petolescu 2005; 2014, p. 193–199; Teodor 2015, pentru istoricul cercetărilor pe limesul transalutan.

³ Bogdan-Cătănicu 1997, p. 86–111.

⁴ IDR II 609–629; ILD 159–164.

⁵ Negru, Cioflan 1996.

⁶ Cioflan 1986.

⁷ Negru et alii 2003, p. 231–240, pl. 1/6,9, 2/14, 22, 25–27.

⁸ Tudor 1944; Petculescu 1999.

⁹ ILD 164; Avram, Petolescu 1999, p. 189; Petolescu 2002, p. 95–97, nr. 30; Țentea 2012, p. 41–45, nr. XI; Petolescu 2014, p. 196.

De asemenea, au fost aduse date importante cu privire la planimetria fortificației. Cu toate acestea, unele aspecte legate de această problemă nu sunt pe deplin clarificate. Este și situația clădirilor centrale, în primul rând a clădirii dublu absidate, situată între *principia* și *horreum*, în *latus praetorii dextrum*, despre a cărei funcționalitate nu deținem până de curând indicii certe, așa cum nu deținem indicii despre rostul spațiului liber, neutilizat, de la sud de această clădire până la *via principalis*.

În acest spațiu, fusese trasată secțiunea SG, prin care s-a identificat latura de sud a acestei clădiri; cu acest prilej, a fost secționată *via principalis*, iar între clădirea cu hipocaust, latura sa de est și *principia* (latura de vest) a fost surprins traseul unei stradele¹⁰.

Pornind de la această situație, am decis, în anul 2010, să reluăm cercetările în această zonă, prin deschiderea, inițial, a unei suprafețe de 17 × 8 m, la sud de clădirea menționată, între *horreum* și *principia*, limita sudică a suprafeței constituind-o *via principalis*. Lățimea suprafeței corespundea, în linii generale, cu lățimea clădirii dublu absidate, cu o prelungire spre vest până la zidurile magaziei de cereale (Pl. I).

Prin săpăturile anterioare, efectuate de Emilian Popescu și Eugenia Popescu, această suprafață fusese cercetată până la un nivel de dărâmătură (pe unele porțiuni, până la un nivel de pietriș), unde s-a identificat traseul micului edificiu cu hipocaust (Pl. II/a). La reluarea cercetărilor noastre (2010), în porțiunea de la sud de această clădire, s-a înlăturat mai întâi stratul vegetal constituit în ultima jumătate de secol. S-a ajuns, astfel, la nivelul de dărâmătură, format din bolovani de râu și fragmente de cărămizi și țigle; dezordinea în care au apărut, după curățare, ne-a arătat că proveneau din distrugerea celor trei edificii din apropiere, clădirea comandamentului, magazia de cereale și clădirea dublu absidată. După înlăturarea nivelului de dărâmături, nu foarte gros, a apărut un strat consistent de pietriș și pietre de dimensiuni medii, amestecat cu fragmente de țigle, olane, cărămizi și materiale ceramice (Pl. II/b). Acest strat, întins aproximativ omogen pe întreaga suprafață dintre *via principalis* și latura sudică a clădirii absidate, avea o grosime maximă de 10 cm și a fost tăiat de secțiunea G (Pl. III). O concentrare mai mare de pietre și material tegular, combinată cu resturi ceramice, a fost observată în imediata vecinătate a clădirii absidate și în colțul de sud-est al suprafeței, în apropiere de *via principalis*. De asemenea, au fost recuperate și trei piese fragmentare de fier (o balama, un tub de înmănușare și un cui), ce se adaugă obiectelor descoperite în apropierea clădirii dublu absidate încă din timpul cercetărilor din 1962–1967¹¹.

În campania din anul 2011, suprafața cercetată s-a extins: spre est – până la clădirea comandamentului (*principia*); spre sud – surprinzând pe o lățime de 1 m o

parte din *via principalis*; precum și spre nord – până la linia imaginară care unește capetele de nord ale magaziei de cereale (*horreum*) și clădirii comandamentului (*principia*). A rezultat, astfel, o suprafață cu lungimea de 36,50 m și cu lățimea de 13 m.

Cu această ocazie, în spațiul dintre clădirea dublu absidată și *principia* a fost identificată o stradă lată de cca 3,50–3,60 m (relevată, după cum am subliniat, și de cercetările efectuate de Emilian Popescu și Eugenia Popescu – vezi Pl. II/a). Pentru a fi delimitată mai clar în topografia zonei, strada a fost degajată integral în porțiunea cuprinsă între colțul sud-estic al clădirii dublu absidate și *via principalis* și pe o lățime de 1 m (marginea vestică a stradelei) de la colțul sud-estic al clădirii dublu absidate până la limita nordică a suprafeței cercetate. Astfel, s-a constatat că față de clădirea absidată strada este situată la o depărtare de 0,60–1,00 m.

La nord de clădirea dublu absidată cu hipocaust, imediat sub stratul vegetal, a apărut nivelul de pietriș, observat și la sud de clădire, pe care s-au oprit cercetările efectuate în anii 1962–1967. La momentul respectiv, la capătul nordic al celor două abside ale clădirii, au fost identificate două *praefurnia*, care alimentau instalația de hipocaust a clădirii (Pl. II/a). La reluarea cercetărilor noastre, în porțiunea de la nord de clădire, stratul de pietriș era mai bine păstrat pe o suprafață de circa 5 × 3 m, iar din structurile celor două *praefurnia*, numai cele ale *praefurnium*-ului aflat în capătul nordic al absidei dinspre *horreum* se aflau într-o stare de conservare mai bună. Întocmai ca la sud de clădirea absidată, stratul de pietriș, identificat la adâncimea de 0,20–0,25 cm, era constituit din pietricele (pietriș) și pietre de dimensiuni medii (cu diametrul de 7–15 cm) și era întins relativ omogen pe suprafața de la nordul celor două încăperi cu abside, constituind un fel de „pavaj”. Spre deosebire de zona de la sud de clădirea cu hipocaust, la nord de aceasta, pe nivelul de pietriș, am remarcat prezența unor cărămizi întregi, indicând posibil o pardoseală de cărămidă (?) (Pl. IV/a). Prin urmare, stratul de pietriș a fost întins pe toată suprafața rămasă liberă de construcții de la sud și nord de clădirea dublu absidată cu hipocaust.

Tot în 2011, pe suprafața dintre *via principalis* și latura de sud a micului edificiu cu hipocaust, după înlăturarea nivelului de pietriș, am constatat existența unui strat arheologic cu urme de arsură. Pe acest strat au apărut fragmente ceramice (cele mai multe *membra disiecta*, dar și unele provenind de la vase parțial întregibile; chiar și un amforidion, aproape întreg – cat. nr. 7, Pl. XVIII/7a–b), obiecte de fier (cuie, două scoabe). Surpriza a fost descoperirea, în acest strat, a trei monede: un denar de la Severus Alexander, o altă piesă de argint (dar neidentificată), precum și o mică piesă de bronz

¹⁰ Popescu, Popescu 1968; 1970.

¹¹ Popescu, Popescu 1970, p. 257–259, fig. 9/2.

(trecută prin foc, complet ștearsă; posibil o monedă „colonială”).

Tot în această porțiune a suprafeței, către latura estică, au fost observate două ringuri de pietre cu diametrul de 50–60 cm. Prezența gropilor de stâlpi ne-a întărit convingerea că în spațiul dintre *horreum* și *principia* a existat o construcție cu structură de lemn. Observația noastră s-a bazat și pe faptul că spre marginea stradelei dintre clădirea cu hipocaust și *principia*, dar și spre *horreum* apăreau concentrări de pietre și tegule (unele fixate pe cant). Tot pe aceste două linii, cu orientare nord–sud, erau vizibile și pete de chirpici ars. Concentrări de pietre apăreau și către *via principalis*. Pornind de la aceste constatări, am putut deduce și traseul ipotetic al construcției de lemn – laturile de est și vest. Ea părea a depăși în lățime edificiul cu hipocaust, fiind mărginită spre est de stradela, realizată cu pietriș și pietre de mici dimensiuni, menționată mai sus. Această situație, dar și prezența aceluși strat de pietriș distribuit relativ omogen pe întreaga suprafață de la sud de edificiul cu hipocaust (întrerupt doar de traseul secțiunii G) și care „sigila” nivelul arheologic cu arsură ne-au sugerat faptul că inițial spațiul dintre *horreum* și *principia* a fost ocupat de o construcție de lemn și pământ, care a fost probabil incendiată; apoi, dărâmurile au fost evacuate și s-a făcut o nivelare, peste care s-a așternut stratul de pietriș.

Cu scopul de a controla această observație și implicit de a stabili raportul stratigrafic dintre edificiul cu hipocaust și clădirea comandamentului (*principia*), am deschis o secțiune lungă de 9 m și lată de 1,50 m (Pl. IV/b), care a intersectat și drumul dintre *horreum* și clădirea dublu absidată. S-a constatat astfel că acest drum avea o grosime de circa 20–35 cm, era ușor bombat la jumătate și cu structura realizată din bolovani de dimensiuni medii. Drumul era așezat direct pe solul steril arheologic. Lățimea acestui drum era de 3,60 m.

Adâncirea secțiunii în porțiunea dinspre edificiul mic cu hipocaust, până la -0,70 m, a arătat că fundația acestei clădiri străpungea stratul de dărâmură și intra în stratul steril din punct de vedere arheologic. Tot în această porțiune a secțiunii, la circa 0,30 m față de fundația clădirii cu hipocaust, a apărut amprenta unei gropi de stâlp (cu diametrul de 0,70 m). Umplutura ei era marcată de un pigment de culoare negricioasă și de fragmente de țigle și cărămizi provenite de la „împănarea” stâlpului. Această situație ne-a întărit și mai mult convingerea că edificiul cu hipocaust a fost ridicat ulterior incendierii construcției de lemn.

Prelungirea secțiunii cu încă 1 m în interiorul micului edificiu ne-a arătat modul de realizare a hipocaustului: pe stratul ferm de loess, probabil după înlăturarea totală a stratului de arsură precedent, s-a așternut un strat subțire de nisip, peste care s-au așezat, în șiruri, cărămizi pătrate, iar peste acestea, pentru a forma pilele, cărămizi de formă cubică, asemănătoare celor descoperite în alte zone ale castrului (Pl. IV/b).

Deși secțiunea a adus elemente suplimentare cu privire la raportul dintre construcția de lemn și edificiul cu hipocaust, ea nu a permis stabilirea relației stratigrafice dintre acest edificiu și clădirea comandamentului (*principia*).

Continuarea cercetării în porțiunea de la sud de edificiul cu hipocaust, în campaniile din anii 2012–2013, a pus clar în evidență laturile de vest și est ale construcției de lemn. Ele erau marcate de aglomerări de pietre și de pete de lut ars (chirpici). Astfel, imediat la sud de clădirea dublu absidată cu hipocaust, către *horreum*, a fost observată o porțiune de lut ars, cu suprafața de $1 \times 0,40$ m, bine distinctă, și din cauza unui stâlp incendiat, poate un strat de lutuală (?). De altfel, la secționarea porțiunii cu lut ars, s-a observat că stratul de lut suprapunea parțial o groapă de stâlp: nr. 5 din rândul I, rând care marchează latura dinspre *horreum* a clădirii de lemn. Tot cu această ocazie s-a constatat că lutul ars avea o grosime de 0,10–0,20 m, fiind relativ compact, neprezentând în structura sa urme de nuiele. La sud de groapa nr. 5, pe același rând de stâlpi (rândul I), groapa nr. 4 era suprapusă, de asemenea, de o pată de lut ars. Ea avea formă ovală, cu suprafața de $0,70 \times 0,70$ m și acoperea doar marginea de sud a gropii. În acest caz, pe stratul de lut s-au aflat o cărămidă întreagă și alăturat de ea o țigă, ambele dispuse pe lat. O porțiune formată din bucățele mici de lut întărite prin foc suprapunea total groapa nr. 3 și era dispusă de-a lungul rândului I de stâlpi.

Alte patru pete de lut ars, având diametrul de maximum 0,50 m, au fost identificate între aglomerările de pietre și țigle care marcau latura de est a clădirii de lemn (cea dinspre *principia*). Și în acest caz s-a observat că petele de chirpici suprapuneau gropi de stâlpi, respectiv, gropile nr. 2, nr. 3, nr. 4 și nr. 5 de pe această latură (rândul V). În niciunul dintre cele patru cazuri enumerate, stratul de lut ars nu era compact, petele fiind compuse din mici fragmente de lut întărite prin foc.

Pe o linie imaginară în continuarea zidul sudic al *horreum*-ului, pe direcția vest-est, unind laturile de vest și de est ale clădirii de lemn, apar mai multe concentrări de pietre, precum și cărămizi dispuse pe cant. Disponerea lor indică traseul unui perete al clădirii de lemn. Observația aceasta a fost întărită și de faptul că pe acest traseu au fost identificate și trei gropi de stâlpi, cu diametrul de 0,45–0,50 m (Pl. V).

După îndepărtarea structurilor descrise anterior (aglomerări de pietre, pete de lut ars), în stratul de loess, la adâncimea de 0,50–0,60 m, au fost identificate cinci rânduri de stâlpi, care marchează traseul și planul clădirii de lemn. Rândurile de stâlpi sunt orientate pe direcția nord-sud. Totodată, s-a constatat că ele continuă și la nord de clădirea cu hipocaust – până la limita imaginară ce unește colțul de nord-vest al clădirii comandamentului (*principia*) de cel de nord-est al *horreum*-ului. Cele cinci rânduri de stâlpi au fost numerotate de la vest la est cu cifre romane, de la I la V. Traseul rândului V a fost complet

identificat, numărând 11 stâlpi (numerotarea gropilor de stâlpi s-a făcut în ordine crescătoare pornind de la sud, de la *via principalis* spre nord) (Pl. VI). Locul stâlpilor se identifică prin amprenta lăsată în loess (lut mai închis la culoare și pământ negru datorită diferiților compuși organici și lemn ars sau putrezit).

Rândul I (R. I) marchează latura de vest a clădirii de lemn. Având în vedere că, pe latura estică, rândul de stâlpi (rândul V) a fost complet identificat, considerăm că și pe latura de vest a construcției de lemn se aflau inițial aceiași număr de stâlpi; dar o parte din ei se află acum în spațiul acoperit de mica clădire cu hipocaust. Deducem acest fapt și din poziționarea gropilor din rândul I în raport cu cele din rândul V. Prin urmare, în spațiul dintre *via principalis* și clădirea cu hipocaust, pe rândul I, au fost identificați doar cinci stâlpi: 1–5, iar la nord de clădire alți doi – nr. 10–11. Distanța dintre stâlpi pe direcția nord-sud este de 3,50 m.

Rândul II (R. II) se află la o depărtare de 0,80–1,00 m față de rândul I. Variația dimensiunilor dintre rânduri arată că acești stâlpi nu marcau o compartimentare pe lungime, ci se aflau pe parcursul pereților executați pe orizontală (pe direcția est-vest). Pe acest rând au fost identificați șase stâlpi la sud de clădirea cu hipocaust și un altul, dincolo de aceasta, pe latura nordică a clădirii de lemn. Între stâlpii 1–2 și 2–3 este o distanță de 2,5 m, între stâlpii nr. 3–4, 4–5 și 5–6 de 3 m.

Rândul III (R. III) se află la 2,5 m față de precedentul. Pe traseul lui s-au identificat șase stâlpi. Între stâlpii 1–2 și 2–3 este o distanță de 2,5 m, iar între stâlpii 3–4, 4–5, 5–6 distanța este de 3 m. Traseul lor constituie o linie dreaptă, orientată nord-sud și dispusă paralel cu rândurile I și V.

La o distanță de 1–1,10 m față de rândul III era dispus rândul IV (R. IV). Pe parcursul acestuia au fost identificați sigur doar primii patru stâlpi, aflați la o distanță de 2,5 m unul de celălalt.

Rândul V (R. V) marchează latura estică a clădirii de lemn și pământ. Acesta se află la o distanță de 3 m față de precedentul, numărând 11 stâlpi, traseul fiind identificat astfel în întregime. Distanța dintre stâlpi este de 3,5 m. Ei sunt dispuși simetric față de cei de pe rândul I. Am observat, de asemenea, că traseul acestuia se află la circa 0,35 m est față de clădirea cu hipocaust.

Așa cum s-a constatat încă din campania 2013, rândul din marginea de vest (R. I) se află la o depărtare de 0,80–0,90 m de linia contraforților *horreum*-ului, intrând sub edificiul cu hipocaust, care se află la 0,60 m de aceeași linie. Rândul care marchează latura din dreapta a construcției de lemn (R. V) se află la 0,30–0,35 m est de clădirea cu hipocaust. Deci, laturile celor două clădiri nu se suprapun, între ele existând un decalaj: construcția de piatră este amplasată mai spre vest, către *horreum*, în timp ce construcția de lemn este ușor deplasată spre est.

Latura nordică a construcției de lemn este reprezentată de cei doi stâlpi care marchează colțul de

nord-vest și respectiv nord-est (stâlpii cu numărul 11 din rândurile I și V). Pe această latură se mai observă clar urma perfect circulară a unui stâlp, făcând parte din rândul II. Apoi, între groapa de stâlp nr. 11 din rândul I și zidul absidei dinspre *horreum* a fost identificată groapa nr. 10.

Latura sudică a construcției este marcată de stâlpii cu nr. 1 din rândurile I și V, care erau fixați în colțurile de sud-vest și sud-est și de alți trei stâlpi intercalați între ei. Latura sudică a construcției de lemn și pământ se află pe aceeași linie cu latura sudică a clădirii comandamentului (*principia*), aliniindu-se la *via principalis*.

Diametrele gropilor din rândurile I și V sunt mai mari decât cele din celelalte rânduri, deoarece aici erau fixate trunchiuri de dimensiuni mai mari (cu diametru mai mare), care mărgineau clădirea. Diametrul acestor gropi atinge în medie 0,80 m la gură. Totuși, stâlpii aveau dimensiuni mai reduse. Secționarea și apoi degajarea gropii nr. 11 din rândul I, cea care marchează totodată și colțul nord-vestic al clădirii de lemn, și a gropii nr. 3 din rândul V ne-a permis să stabilim care erau dimensiunile stâlpilor. Pe fundul gropii nr. 11, la –0,92 m, a apărut un ring de pietre. La exterior, diametrul său măsoară 0,80 m, iar spațiul închis de el avea un diametru de circa 0,35–0,40 m, ceea ce ar putea corespunde cu grosimea unui stâlp. Pietrele care formau ringul erau de dimensiuni relativ mari, având lungimi cuprinse între 0,20–0,30 m, de aici rezultând și diametrul relativ mare al gropilor de pe laturile de vest și est ale construcției de lemn. Aceeași situație a fost constatată și în cazul gropii nr. 3 din rândul V. Pe fundul gropii, la adâncimea de 0,85 m, a apărut un ring format din pietre, fragmente de țigle și cărămizi (ele „împănau” stâlpul) cu diametrul exterior de 0,80 m, amprenta stâlpului având un diametru de 0,40 m (Pl. VII).

În secțiune, profilul gropilor este tronconic și se distinge în lutul galben (loess) după umplutura de pământ ușor mai negricios, uneori cu pigmenți de arsură, către margini observându-se bucăți de țigle de mari dimensiuni, dispuse pe cant, pietre de dimensiuni medii și mari, fragmente ceramice, fragmente de olane, cărămizi (Pl. VIII/a–c). Spre exemplu, în umplutura gropilor nr. 5 și nr. 6 din rândul al V-lea, pe marginea lor, au apărut jumătăți de cărămizi așezate pe cant, folosite desigur pentru a împănă stâlpul. Pe lângă pietre și fragmente de cărămizi și țigle, în umplutura gropilor de stâlpi au apărut sporadic fragmente ceramice, iar în groapa nr. 5 din rândul V de stâlpi a fost găsită o piesă de bronz – un închizător de garnitură de armură (cat. nr. 27, Pl. XXIII/27).

Interesante sunt situațiile întâlnite la gropile de stâlpi cu nr. 11, care marchează colțurile de nord-vest și nord-est ale clădirii de lemn. La aceste gropi, lipit de ele, în partea de sud a lor, se observă două amprente de formă dreptunghiulară, cu lățimea de 30–40 cm și cu lungimea de 1,10 m, în cazul gropii nr. 11 din rândul I, și de 1,90 m în cazul gropii nr. 11 din rândul V (Pl. IX–X/a). Cele două amprente sunt orientate vest-est, fiind dispuse pe aceeași

linie (Pl. X/b). În secțiune, profilul lor apare rectangular (30 × 40 cm) și se distinge clar după umplutura de pământ afânat, de culoare negru-maronie, diferită de umplutura gropii de stâlp, aceasta din urmă fiind compusă dintr-un pământ de culoare castanie, compact, având incluziuni de pietre. Forma celor două amprente, secțiunea lor, precum și dispunerea lor pe aceeași direcție ne fac să identificăm structura cu urma (amprenta) unui perete de lemn (?). În raport cu aceasta, stâlpii erau ușor ieșiți în afară, însă limitele ei nu depășesc groapa stâlpului. Acest aspect a fost sesizat clar la groapa nr. 11 din rândul I (Pl. IX).

Ceilalți stâlpi, de pe rândurile II–IV, aveau o grosime mai mică, prin urmare și gropile lor sunt mai mici, fiind destinați susținerii podelei supraînălțate a edificiului, tipică pentru magaziile de cereale. În diametru, gropile nu depășesc 0,60 m. Și în acest caz, stâlpii au fost împănăți cu pietre și măsurau maxim 25 cm. Această dimensiune a fost dedusă după ringul de pietre, clar observat la groapa nr. 3 din rândul al IV-lea (Pl. XI/a), precum și la groapa de la est de aceasta dispusă între rândurile IV și V. De asemenea, s-a constatat că pentru împănarea stâlpului s-au folosit pietre de dimensiuni medii și mici (Pl. XI/a, b, c, e). Groapa are tot formă tronconică, fiind însă săpată mai puțin adânc, 0,60–0,70 m de la nivelul actual de călcare (0,30–0,40 m de la conturare – Pl. XI/a). Acesta este motivul pentru care amprentele stâlpilor din rândurile II, III și IV sunt mai slab conservate.

Prin urmare, toate gropile de stâlpi erau săpate în formă de trunchi de con, mai largi la gură și cu o adâncime de circa 0,40/0,50 m până la 0,70 m (adâncime până la care au fost îngropați stâlpii din rândurile I și V); pentru împănarea stâlpilor erau folosite pietre sau (și) bucăți de cărămizi și țigle (așezate pe cant).

Stâlpii din rândurile I și V, având diametre mai mari, marchează laturile exterioare ale clădirii de lemn (Pl. VI și XII/a). Gropile de pe rândul II ar putea marca numai stâlpi aflați în pereții transversali, orientați est-vest. Tot în structura unui perete transversal s-a aflat și stâlpul dispus între groapa nr. 3 din rândul IV și rândul de stâlpi nr. V. Rândul III apare sub forma unei linii perfect drepte, dispuse paralel cu rândurile I și V. Față de rândul I, el se află la 3,5 m, iar față de rândul V, la 4,5 m. Rândul IV se află la 1–1,10 m est față de rândul III și la 3,5 m față de rândul V. Constatăm, de asemenea, că stâlpii din rândurile II, III și IV se aliniază și pe direcția vest-est. Astfel, gropile notate cu nr. 1 marchează latura sudică a clădirii. Paralel cu ea, la o distanță de 2,50 m spre nord, se află o a doua linie de stâlpi formată de gropile marcate cu nr. 2. O a treia linie de stâlpi, tot pe direcția vest-est, este formată de stâlpii marcați cu nr. 3; ea se află la 2,50 m depărtare față de șirul de gropi marcate cu nr. 2. Atât linia formată de gropile marcate cu nr. 2, cât și cele marcate cu nr. 3 din rândurile II, III și IV sunt ușor decalate spre sud față de gropile nr. 2 și nr. 3 din rândurile I și V (laturile lungi ale construcției) (Pl. XII/c). O linie de stâlpi orientată pe direcția vest-est formează și gropile cu nr. 6 din rândurile

II, III și IV. În acest caz, ele nu mai sunt decalate față de stâlpii aflați pe laturile lungi ale construcției (nr. 5 din rândurile I și V), ci pe linie cu ei. Gropile marcate cu nr. 4 și 5 par a fi și ele decalate în raport cu gropile stâlpilor de pe laturile lungi, numai că pe direcția nord-sud rândul IV de stâlpi este incomplet, iar identificarea gropilor nr. 4 și 5 din rândul II nu este sigură. Stâlpii din rândurile I și V, în număr de 11, sunt dispuși la distanța de 3,5 m unul față de celălalt, de aici rezultând și decalajul față de stâlpii din rândurile II, III și IV, dispuși pe direcție nord-sud, la distanțe mai mici.

Pe lângă gropile de stâlpi, între rândurile II și III (carourile B2–B3), la 4 m față de latura sudică a clădirii cu hipocaust, la adâncimea de 0,60 m, a apărut o groapă de mari dimensiuni. Ea a fost surprinsă în stratul de lut galben (steril arheologic), conturul ei de formă circulară distingându-se după umplutura de culoare galben-roșiatică. În profil, groapa are formă de pâlnie, cu deschidere mai largă în partea superioară, de 1,80 m, iar de la adâncimea de 0,85–0,90 m, diametrul ei se restrângea la 0,90 m, punct din care capătă o formă cilindrică. Ea a fost cercetată până la nivelul de pietriș aluvionar, surprins la adâncimea de 2,45 m (Pl. XIII–XIV). Umplutura gropii se compunea din pământ de culoare castanie, lemn ars, pietre (bolovani de râu) de dimensiuni mari și medii, cărămizi, țigle și fragmente foarte mici de cărămizi sau țigle, acestea din urmă dând umpluturii un aspect ușor roșiatic. Materialul arheologic descoperit în umplutură nu a fost foarte spectaculos, fiind reprezentat de fragmente de cărămizi, țigle, olane de acoperiș și ceramică, la rândul-i fragmentară. Dintre piesele ceramice recuperate merită amintite două gături de amforă – tip Kapitän II și un capac de mici dimensiuni, posibil, de amforetă.

Având în vedere materialul arheologic descoperit, în totalitate roman, complexul datează cu certitudine din această epocă. În schimb, raportul cronologic dintre acest complex și structurile clădirii de lemn nu apare foarte clar, deoarece partea superioară a gropii și straturile de deasupra ei au fost deranjate în momentul excavării secțiunii G. Această secțiune a atins pe toată lungimea ei solul viu (-0,50–0,60 m), iar traseul ei a intersectat și nivelul de pietriș amenajat pe toată suprafața dintre zidul sudic al clădirii cu hipocaust și *via principalis*. Totuși, având în vedere că groapa de mari dimensiuni se află între groapa nr. 4 din rândul I de stâlpi și groapa nr. 5 din rândul III, limita ei sudică depășind pe cea a gropii de stâlp nr. 5 cu circa 0,25–0,30 m (Pl. XIV/g și XV), este posibil ca ea să fi fost săpată ulterior dezafectării clădirii de lemn, poate în aceeași perioadă cu construirea edificiului cu două abside și instalație de hipocaust.

În privința funcționalității gropii, materialul arheologic descoperit nu este foarte relevant, el fiind recuperat în totalitate din umplutură. Adâncimea complexului, 2,45 m de la conturare, nu depășește cu mult

adâncimea gropilor de provizii (menajere) din așezările rurale din Dacia romană¹², de aceea ar putea fi avută în vedere și o astfel de funcție. Totuși, ținând cont de poziție, formă, umplutură și adâncime, credem că avem de a face cel mai probabil cu un puț, care deservea clădirea dublu absidată¹³.

Materialul arheologic descoperit în cursul campaniilor arheologice din anii 2010–2015 provine aproape în totalitate din nivelul corespunzător clădirii de lemn.

a) *Ceramica* nu a apărut în cantitate foarte mare, preponderentă fiind cea de uz comun. Repertoriul formelor cuprinde: farfurii, boluri, străchini, castroane, oale, capace, căni și pahare. Au fost recuperate și câteva vase întregibile sau păstrate în proporție de aproximativ 40–50 %: un castron (Popilian, tip 5)¹⁴, o strachină cu toarte¹⁵, o strecurătoare, un urciur de mici dimensiuni (amfordion) cu două toarte, un gât de amforetă¹⁶, două farfurii (Popilian, tipul 5)¹⁷, un capac (Popilian, tip 3)¹⁸. La acestea se adaugă și un fragment din partea superioară a unei amfore – tipul Zeest 90(?)¹⁹. În groapa de mari dimensiuni din carourile B2–B3, posibilul puț, menționat mai sus, pe lângă cele două găuri de amforă și capacul de mici dimensiuni, au mai fost recuperate fragmente din pereții a două amfore de tip Kapitän II, două fragmente provenind din baza (picior) unor amfore aparținând aceluiași tip și câteva fragmente ceramice dintr-o oală din pastă gri și cu buza dreaptă.

Dintre cele două tipuri de amfore descoperite în campaniile 2010–2015, tipul Zeest 90 are o largă difuzare în Dacia romană, recipientele fiind folosite pentru transportul uleiului²⁰. Tipul Kapitän II²¹, folosit pentru transportul de vin, este de proveniență orientală, atelierul fiind situat undeva în estul Mării Egee²². Amforele de acest tip au fost descoperite și în alte castre de pe limesul transalutan, la Gresia și Crâmpoia, iar la Câmpulung – Jidova în zona barărilor din *retentura dextra*, în nivelul de distrugere de la mijlocul secolului al III-lea²³. În general, amforele aparținând tipului Kapitän II sunt datate în secolul al III-lea (epoca post-marcomanică, deși unele

exemplare au fost descoperite în contexte ce datează de la mijlocul secolului al II-lea), circulând chiar și la începutul secolului următor²⁴.

b) *Materialul tegular* a apărut în cantitate destul de mare, cărămizile și țiglele fiind folosite, după cum am subliniat, la fixarea stâlpilor care susțineau clădirea de lemn. O singură țiglă a putut fi întregită, fiind descoperită pe nivelul de pietriș. Pe lângă această piesă, interes prezintă o țiglă fragmentară, pe care în pasta crudă, înainte de ardere, s-a trasat cu degetul un semn asemănător literei N (?), precum și alte două mici fragmente de țigle care prezintă câte o perforație pe mijloc. Țigle pe care apare semnul asemănător literei N, trasat în pasta crudă, înainte de ardere, au mai fost găsite în castrul roman de la Câmpulung – Jidova și în săpăturile mai vechi²⁵. Piesa de față a apărut între latura estică a clădirii cu hipocaust și stradelă, în apropiere de groapa de stâlp nr. 8. Cele două fragmente de țigle cu o perforație pe mijloc au dimensiuni cuprinse între 11 și 13 cm și au fost realizate din margini laterale de țigle, unul păstrând și bordura. Perforația a fost făcută după ardere cu un instrument ascuțit. Piesele nu au apărut într-un complex închis, ci în nivelul de depunere roman, către marginea stradelei, de aceea funcționalitatea lor nu poate fi precizată. Piesele nu sunt rulate, ceea ce exclude utilizarea ca greutate de năvod.

c) Au fost descoperite șase *piese de fier*: un vârf de suliță, un fragment de tub de înmănușare, un cui, două scoabe, o balama și o cheie.

Vârful de suliță, fragmentar, a fost găsit într-o stare proastă de conservare în partea de nord a suprafeței, pe un nivel deranjat de intervenții moderne. Piesa prezintă capul (vârful) piramidal din care se prelungește tubul de înmănușare, care lipsește în cea mai mare parte. Vârful de suliță piramidal cu secțiune pătrată au fost descoperite în castrele de la *Porolissum*²⁶ și Inlăceni²⁷.

Scoabele sunt de dimensiuni relativ mari (16–18 cm), având corpul masiv (realizate dintr-o tijă de metal), ceea ce arată că erau folosite la îmbinarea unor structuri de construcție solidă (stâlpi și grinzi). Piese similare cu cele găsite în clădirea de lemn au apărut și în alte puncte din

¹² Spre exemplu, la Obreja, complexe de acest tip aveau adâncimi cuprinse între 1,20–2,30 m¹², iar în așezarea de la Locusteni, punctul *Cișmea*, atingeau adâncimi de 0,80 până la 2,00 m; Protase 2002, p. 89–94; Popilian, Bondoc 2014, p. 85.

¹³ Forma de pâlnie a gropii, al cărei diametru, începând de la adâncimea de 0,90 m, se restrângea la circa 0,90 m, căpătând formă cilindrică, precum și faptul că fundul ei era săpat în prundișul aluvionar, reprezintă elemente care ar putea face posibilă identificarea complexului cu un puț (?), bineînțeles, cu pereții de lemn. Ca analogie, în acest sens, poate fi citat complexul 1010 din așezarea rurală de la Bezannes (Marne), Gallia; aici, amenajarea de deasupra gropii propriuzise a puțului avea formă rectangulară, la gură, groapa puțului avea un diametru de 1,90 m și formă circulară, iar de la adâncimea de 1,10 m, diametrul gropii puțului se restrângea la 1 m. În profil, groapa avea formă de pâlnie, iar în adâncime măsura 7,50 m (Archard-Corompt, Delor-Ahü 2012, p. 343, fig. 6).

¹⁴ Popilian 1976, p. 121, cat. nr. 790.

¹⁵ Tipul 4F după tipologia propusă de Rusu-Bolindeț 2007, p. 387, cat. nr. 520–521.

¹⁶ Popilian 1976, p. 95, cat. nr. 417.

¹⁷ Popilian 1976, p. 125, cat. nr. 852.

¹⁸ Popilian 1976, p. 128, cat. nr. 922–930.

¹⁹ Ardeț 2006, p. 106–108, pl. XV–VIII.

²⁰ Ardeț 2006, p. 106–108.

²¹ Kapitän 1972, p. 248 și p. 246, fig. 4–5.

²² Bădescu 2013, p. 190–191.

²³ Negru *et alii* 2003, p. 233; Bădescu 2013, p. 192.

²⁴ Ardeț 2006, p. 128–130. Pentru date, analiză critică a bibliografiei, precum și pentru răspândirea acestui tip de amforă, vezi Bădescu 2013.

²⁵ IDR II 622; Popescu, Popescu 1970, p. 260, fig. 11/2 (posibil găsită chiar la săpăturile din interiorul *horreum*-ului de piatră).

²⁶ Gudea 1989, p. 544, pl. CXXIX/11–14.

²⁷ Gudea 1979, p. 193–194, cat. nr. 4, 6, pl. XVII/11, 13.

castrul de la Câmpulung – Jidova, în cercetările arheologice mai vechi²⁸.

Cheia, descoperită și ea pe nivelul corespunzător clădirii de lemn, face parte dintr-un tip comun, cu o largă răspândire, atât în castre, cât și în alte situri romane din provincia Dacia²⁹.

Balamaua a fost găsită pe stratul de pietriș, foarte aproape de latura sudică a clădirii cu hipocaust, aparține unui tip des întâlnit în epoca romană. Piesa se compune din două brațe, unul cu o tijă ascuțită la un capăt și terminată cu o verigă, prin care trece celălalt braț (mobil), acesta din urmă realizat prin îndoirea de la jumătate a barei de metal. Capetele acestui braț erau îndoite, servind la fixarea în lemn. Procedul de confecționare a balamalelor de acest tip era extrem de simplu, de aici și largă lor difuziune. Balamalele descoperite în castrul de la Bumbești (punctul *Gară*)³⁰ și *Ulpia Traiana Sarmizegetusa*³¹ pot fi amintite ca analogii directe.

d) Au fost descoperite și trei *piese de bronz*: o fibulă fragmentară, un închizător de garnitură de armură³² și o verigă fragmentară.

Fibula a fost descoperită la adâncimea de 0,50 m, aparținând așadar nivelului clădirii de lemn. Starea de conservare a piesei era destul de proastă. Ea face parte din grupa fibulelor în formă de „T”, aparținând tipului 39b5c1b, după clasificarea lui Sorin Cociș. Tipul este datat, în general, în secolul al III-lea p.Chr.³³.

Închizătorul de garnitură de armură („Panzerbeschläge”) este un „dispozitiv” de formă pătrată, cu o perforație pe mijloc și terminat cu un capăt în „T”, parte care se fixa în garnitură. Confecționate din tablă de bronz, garniturile aveau formă patrulateră și erau dispuse în perechi la răscoiala din zona gâtului a armurilor de solzi (*loricae squamatae*)³⁴. Piese similare au fost descoperite la *Porolissum*³⁵ și la *Potaissa*, în clădirea termelor³⁶.

Veriga de bronz este simplă, cu secțiune ovală, din ea păstrându-se numai jumătate.

e) Au fost descoperite patru *monede*: trei denari și probabil o monedă colonială, dintre acestea lizibile fiind numai două: un denar de la Geta Caesar și un altul de la Severus Alexander. Denarul de la Geta Caesar este datat 198–200 p.Chr. și a fost găsit sub un castron, în interiorul clădirii de lemn (cat. nr. 1). Cealaltă monedă, denarul de la Severus Alexander, care datează din primul an de domnie al împăratului (222 p.Chr.)³⁷, a fost găsită în stratul de arsură care marca nivelul de distrugere a clădirii de lemn.

f) *Alte piese*. Între piesele descoperite se numără și două mărgele, una de formă sferică (tipul V, după clasificarea Doinei Benea)³⁸ și o alta de formă tubulară, din sticlă de culoare albastră translucidă (tip II, după aceeași clasificare)³⁹.

CONCLUZII

Cercetările arheologice efectuate în perioada 2010–2015, în spațiul dintre *horreum* (la vest) și *principia* (la est), au arătat că a existat o construcție de lemn, anterioară clădirii dublu absidate cu hipocaust. După cum s-a putut observa, laturile orientate N–S ale celor două construcții nu corespund: cea de vest a construcției de piatră se află la 0,60 m depărtare de *horreum*, pe când cea a construcției de lemn la 0,80 – 0,90 m. De asemenea, latura de est a construcției de lemn se află mai spre răsărit de linia clădirii dublu absidate cu circa 0,30–0,35 m. Nu în ultimul rând, construcția de lemn depășește și spre nord limitele clădirii de piatră, iar în partea de sud latura ei se aliniază la *via principalis* (Pl. XV).

Clădirea de lemn măsoară 33 × 9 m (având un raport de 3,6: 1 între lungime și lățime; aproximativ 118 × 32 de *pedes*), fiind construită după sistemul de realizare a barăcilor militare, cercetate în *retentura dextra*: prin stâlpi (trunchiuri de copaci) introduși în gropi săpate în stratul virgin; cum aceste gropi (adânci de circa 50–70 cm) erau săpate în formă de trunchi de con (mai largi la gură), stâlpii erau „împănați” cu bolovani și fragmente de țigle și cărămizi. În cazul barăcilor, stâlpii erau uniți prin stinghii horizontale (realizate de fapt din trunchiuri mai subțiri), între care se introducea lut amestecat cu paie; în cursul incendiului, lemnul a ars, conturul trunchiului rămânând imprimat în lutul întărit. Cercetările au oferit date suficiente pentru a stabili un plan aproape complet al clădirii de lemn. Particularitatea o reprezintă șirurile de stâlpi mediani, ceea ce ar putea constitui cheia de interpretare a funcționalității clădirii. Descoperirea scoabelor ar putea sugera că această construcție a fost doar de lemn, fapt ce este sugerat și de lipsa oricăror urme de chirpici în stratul de arsură, așa cum au fost descoperiți cu ocazia cercetării barăcilor menționate.

Construcția de lemn a fost distrusă de un incendiu, un strat de arsură marcând nivelul de distrugere. După

²⁸ Popescu, Popescu 1970, p. 260, fig. 11/3.

²⁹ Alicu *et alii* 1994, p. 24, pentru analogie, vezi: cat. nr. 37, pl. 7/37; Gudea 1989, p. 555–556, pl. CXLIII/13–14.

³⁰ Florescu *et alii* 1957, p. 113–114, pl. III/4.

³¹ Alicu *et alii* 1994, p. 22–23, cat. nr. 58, pl. 11/58.

³² Identificarea a fost făcută de domnul dr. Liviu Petculescu, căruia îi mulțumim și pe această cale.

³³ Cociș 2004, p. 153–154, cat. nr. 2162, pl. CLXII/2162.

³⁴ Petculescu 1986, p. 154.

³⁵ Gudea 1989, p. 645–645, nr. 20–29, p. 1066, pl. CCVII/20–29.

³⁶ Bărbulescu *et alii* 2019, p. 273, cat. nr. IV/1, p. 406, pl. LXXII/13 (F.-Gh. Fodorean).

³⁷ Este interesant de menționat că în relativă apropiere, în timpul săpăturilor de la *porta principalis dextra*, a fost găsit un alt denar de la Severus Alexander din anii 222–228 p.Chr., Petolescu, Cioflan 1995, p. 20.

³⁸ Benea 2011, p. 207–208, pl. I.

³⁹ Benea 2011, p. 205, pl. I.

cum am subliniat, acest nivel era „sigilat” de un strat de pietriș, care a fost amenajat pe întreg spațiul dintre latura sudică a clădirii dublu absidate de piatră și *via principalis*, precum și în spațiul de la nord de clădire. Această situație arată că după momentul incendierii clădirii de lemn, dărâmăturile au fost evacuate și s-a făcut o nivelare peste care s-a depus un strat de pietriș, iar în jumătatea nordică a spațiului dintre *horreum* și *principia* s-a construit clădirea de piatră dublu absidată cu hipocaust.

Dimensiunile clădirii de lemn (33 × 9 m) sunt foarte apropiate de cele ale magaziei de cereale de piatră (*horreum*), cea mai mare din Dacia, raportată la dimensiunile castrului (32,65 × 11,75 m; cu un raport de 2,7 : 1 între lungime și lățime, ocupând 2,9 % din suprafața castrului)⁴⁰, planul și dispunerea ar sugera că această clădire de lemn va fi fost tot o magazie de cereale (*horreum* de lemn). După distrugerea acesteia, cândva spre mijlocul secolului al III-lea, a fost construită clădirea dublu absidată de piatră și puțul din fața ei. Din păcate, până în acest moment funcționalitatea acestei clădiri de piatră nu a putut fi stabilită, ar putea fi vorba de o *schola collegiorum*, dar lipsesc analogiile directe⁴¹.

Dimensiunile clădirii de lemn sunt, de asemenea, apropiate de dimensiunile barăcii cercetare în *retentura dextra* (36 × 9 m)⁴², fiind astfel posibil să avem și aici de a face cu o baracă. Având în vedere dimensiunile reduse ale fortificației, folosirea la maximum a spațiului utilizabil constituia o necesitate. Totuși, existența șirurilor mediane de stâlpi este un argument important împotriva unei astfel de interpretări. Tocmai prezența acestora este o dovadă că avem de a face cu un *horreum* de lemn. Șirurile mediane de stâlpi susțineau podeaua de lemn supraînălțată, tipică pentru astfel de clădiri destinate depozitării cerealelor, construită din grinzi de lemn, dispuse transversal⁴³.

Dacă aceste observații sunt corecte, atunci am putea avea de a face cu prima atestare a unui *horreum* de lemn în provincia Dacia. După cum a fost observat, asemenea clădiri nu puteau lipsi din castele de lemn și pământ, dar reconstrucțiile în piatră ulterioare nu au mai permis observarea detaliilor construcțiilor de lemn anterioare (în zona frontierei renane și în Britannia, astfel de *horrea* de lemn au fost datate mai ales în a doua parte a secolului I p.Chr.)⁴⁴. Chiar dacă castrul de la Câmpulung – *Jidova* a

fost construit doar la începutul secolului al III-lea, clădirile din zona centrală au fost de piatră. Nu trebuie uitat, de asemenea, că nu toate castele auxiliare din Dacia au fost reconstruite în piatră sub Hadrian sau Antoninus Pius. Spre exemplu, inscripția care atestă reconstrucția în piatră a incintei castrului de la Bumbesti datează din anul 201 p.Chr.⁴⁵, fiind o dovadă că astfel de reconstrucții puteau avea loc mult mai târziu.

După cum am menționat, clădirea pare că a fost construită doar din bârne, ceea ce ar putea fi un argument important că avem de a face cu un *horreum* de lemn. Structuri de lemn au fost identificate și în momentul cercetării magaziei de cereale de piatră, structuri care au fost interpretate ca urme ale structurii de lemn a acoperișului: „pe podea birnele de lemn carbonizate, așezate la distanțe egale în formă de dreptunghiuri, ne indică existența unei schele pentru susținerea acoperișului. Dreptunghiurile sînt astfel dispuse încît împart interiorul clădirii în trei nave”⁴⁶, fiind apoi sugerat că ar putea fi resturile sistemului de lemn de susținere a podelei supraînălțate⁴⁷.

Prezența a două *horrea* ar fi încă o dovadă a rolului logistic extrem de important pe care castrul de la Câmpulung – *Jidova* îl va fi avut în acest sector al limesului transalutan. Putem astfel presupune că din acest castru proviziile erau apoi distribuite în turnurile de pază și fortificațiile de mai mici dimensiuni, situate spre pasul Rucăr-Bran⁴⁸.

Observațiile arheologice și de planimetrie sunt întărite și de indiciile cronologice, descoperite în timpul cercetărilor arheologice. Astfel, cele două monede, un denar de la Geta Caesar și un altul de la Severus Alexandru, precum și fibula în formă de „T” permit datarea clădirii de lemn în prima jumătate a secolului al III-lea. Moneda de la Severus Alexander, recuperată din stratul de arsură, reprezintă numai un *terminus post quem* pentru momentul distrugerii clădirii. Fiind o monedă de argint (*denarius*), ea ar fi putut avea o circulație mai lungă⁴⁹, ceea ce poate duce la ideea că distrugerea a avut loc mai târziu, probabil în urma atacului carpic din 245–247 p.Chr. De altfel, la Săpata de Jos, cu excepția monedelor din tezaurul monetar, majoritatea monedelor datează tot timpul din domniei lui Severus Alexander⁵⁰, ceea ce dovedește circulația îndelungată a acestora.

Cercetările de la casa comandantului (*praetorium*)

⁴⁰ Popescu, Popescu 1970, p. 257; Petculescu 1987, p. 70–71, nr. 7 și p. 75; Marcu 2009, p. 198–199.

⁴¹ Marcu 2009, p. 199–200.

⁴² Avram, Petolescu 1999, p. 185; Marcu 2009, p. 201.

⁴³ Rickman 1971, p. 221–224, 236–237, fig. 47; Manning 1975; Johnson 1987, p. 165–166; Petculescu 1987, p. 74; Junkelmann 1997, p. 68.

⁴⁴ Rickman 1971, p. 215; Petculescu 1987, p. 73.

⁴⁵ CIL III 14485a = ILS 9179 = IDR II 174 = ILD 92.

⁴⁶ Popescu, Popescu 1970, p. 257.

⁴⁷ Petculescu 1987, p. 70 și 74.

⁴⁸ Petculescu 1987, p. 75–76.

⁴⁹ S-a observat, de altfel, că majoritatea monedelor teaurizate în castele auxiliare din Dacia erau denari (Dudău 2006, p. 60). Totuși, raportul este diferit în ceea ce privește castelele de la sud de Carpați.

⁵⁰ Christescu 1935–1936, p. 445; Teodor *et alii* 2017, p. 55, nota 26; Dudău 2006, p. 66, nr. 13.

din 1980–1982 au arătat că aceasta a fost distrusă, cel mai probabil, în timpul atacului carpic din anul 247 p.Chr., întrucât ultima monedă descoperită datează din anul 246 p.Chr.⁵¹ Este foarte probabil că tot atunci să fi fost incendiată și clădirea de lemn dintre *horreum* și *principia*. Cum clădirea cu hipocaust este ulterioară, iar dispunerea sa atât de aproape de zidul estic al *horreum*-ului ar putea conduce la concluzia că aceasta era în ruine, ar fi posibil ca fortificația auxiliară de la Câmpulung – Jidova să nu fi fost atunci definitiv părăsită. Este posibil ca acest mic edificiu să fi fost noua clădire a pretoriului (după incendierea celui din *latus sinistrum*, din partea dinspre râu, de unde va fi fost dat asaltul asupra castrului), iar o garnizoană redusă să fi ocupat încă un castru refăcut doar parțial în interior. Zidurile incintei vor fi fost și ele refăcute rapid, având în vedere că nu suferiseră probabil distrugerii importante. În aceste condiții, descoperirea unei vetre lipite de zidul clădirii comandamentului, în timpul cercetărilor mai vechi, nu ar trebui neapărat pusă în legătură cu ocuparea castrului de populația civilă după abandonare, ci mai degrabă cu menținerea unei garnizoane reduse și după anii 247–248 p.Chr.⁵².

De altfel, este interesant cum a evoluat părerea istoricilor despre abandonarea *limes*-ului transalutan. După V. Christescu, care a făcut cercetări în castrul de cărămidă de la Săpata-de-Jos (jud. Argeș)⁵³, unde a fost descoperit un mic tezaur de 44 monede de argint care se terminau în anul 242 p.Chr., acest castru ar fi fost distrus în timpul unui atac carpic care a afectat Moesia Inferior⁵⁴; atunci ar fi fost nimicită întreaga linie transalutană. Dar restudierea acestui tezaur, de către numismatul Bucur Mitrea, a arătat că ultimele monede datează din anii 243–244 p.Chr., deci ulterior presupusului atac asupra Daciei⁵⁵; s-a ajuns astfel la concluzia că acest tezaur a fost pierdut abia în cursul atacului din timpul lui Filip Arabul⁵⁶.

Concluzia a fost că atunci a fost distrus și abandonat întregul *limes transalutanus*; această părere a fost întărită de descoperirea monedei cu efigia lui Philippus Caesar (*antoninianus*) în săpăturile de la *praetorium*, sub acoperișul prăbușit, și care datează din anul 246 p.Chr.⁵⁷. Totuși, și în acest caz, anul 246 p.Chr. nu reprezintă decât un *terminus post quem*, distrugerea ar fi putut să aibă loc și mai târziu, nu neapărat în anul 247 p.Chr.

În condițiile în care întrevădem posibilitatea continuării prezenței militare romane în castrul de la Câmpulung – Jidova după anul 247 p.Chr., când presupunem că s-a ridicat micul edificiu cu hipocaust, concluzia firească este că acest castru a fost abandonat mai târziu, poate către sfârșitul stăpânirii romane în întreaga Dacie⁵⁸, în vremea lui Gallienus, în jurul anului 262 p.Chr.⁵⁹ sau pe timpul mării invazii din anul 267 p.Chr.⁶⁰ Poziția acestui castru, în fața pasului Rucăr-Bran, a determinat probabil menținerea sa în sistemul defensiv roman, chiar dacă cea mai mare parte a liniei transalutane va fi fost abandonată, după distrugerile provocate în timpul războiului contra carpile. În aceste condiții, spre deosebire de alte fortificații de pe linia transalutană, care aveau incinte de lemn și pământ sau cărămidă (Săpata de Jos), castrul de la Câmpulung – Jidova a putut fi foarte repede refăcut, fiind ocupat apoi de efective militare fără îndoială reduse, dar în interiorul căruia și-a găsit refugiul și o parte a populației civile. Astfel, cercetările arheologice din zona dintre clădirea comandamentului și magazia de cereale ne permit să întrevădem sfârșitul existenței castrului și a liniei de fortificații transalutane mai degrabă ca un proces mai îndelungat, marcat de o restrângere treptată a numărului unităților militare și a efectivelor acestora, dislocate mai ales în zona provinciilor moesice, în contextul invaziilor repetate din perioada 238–269 p.Chr., așa cum s-a întâmplat în întreaga Dacie.

⁵¹ Popescu *et alii* 1984, p. 16; Petolescu, Cioflan 1995, p. 18; RIC IV/3, 218, pl. 8/8: av.: M. IVL. PHILIPPVS CAES. cap radiat spre dreapta, bust drapat, cuirasat; rev.: PRINCIPI IVVENT., Philippus II capul gol, drapat, în picioare spre stânga, purtând glob în mâna dreaptă și *signum* în mâna stângă (244–246 p.Chr., Roma).

⁵² Popescu *et alii* 1984, p. 16: „La Jidava, cercetările din acest an au scos la lumină o vatră din cărămizi, lipită de zidul comandamentului (*principia*), legată nemijlocit de nivelul de distrugere; evident ea fost construită ulterior abandonării castrului. Așadar, între ruinele părăsite s-au așezat să-și ducă viața autohtoni din zona submontană; un fragment de creuzet de lut pentru topit metale a fost descoperit lângă această vatră”.

⁵³ Christescu 1935–1936. Vezi Teodor *et alii* 2017, pentru așezarea civilă.

⁵⁴ Christescu 1934; 1935–1936, p. 445.

⁵⁵ Mitrea 1968; Dudău 2006, p. 66, nr. 13. Vezi Petac 1998, orizont de tezaur îngropate în jurul anului 246 p.Chr., Săpata de Jos, Bumbesti, Ionești Govorei și șapte tezaur descoperite în mediile civile.

⁵⁶ Despre războiul carpic al lui Filip Arabul, *Carpicus maximus* spre sfârșitul anului 247 p.Chr. (Kienast 2011, p. 199) sau chiar în 248 p.Chr., vezi întreaga discuție la Körner 2002, p. 134–135, 140–145, 150–157; Piso 2005 și Petculescu 2017, p. 260–261. Bătălia decisivă,

în jurul unei fortărețe unde carpii se refugiaseră (*phourion*), menționată de Zosimos I, 20, 1–2 (posibil și de o inscripție de la Intercisa din Pannonia Inferior, în care este comemorat un centurion al cohorții VII praetoria, care murise în războiul dacic la *castellum Carporum*, IDRE II 285 = RIU V 1155; Körner 2002, p. 144–145) și situată fără îndoială undeva în afara provinciei, la est de *limes transalutanus*, s-a dat însă după ridicarea lui Philippus iunior la rangul de Augustus în iulie-august 247 p.Chr. (Kienast 2011, p. 200). Se pare însă că împăratul se afla în Dacia încă din 12 noiembrie 245 p.Chr. (FIRA II, p. 657; Liorot 1975, p. 793; Huttner 2008, p. 195), fapt confirmat și de începerea emisiunilor monetare de tip PROVINCIA DACIA în anul 246 p.Chr., menite a plăti armata (Winkler 1971; Martin 1992, p. 10, 13–15).

⁵⁷ Popescu *et alii* 1984; Petolescu, Cioflan 1995, p. 18; Petolescu 2014, p. 196–197.

⁵⁸ Bogdan Cătănicu 1981, p. 53–55; Bogdan Cătănicu 1997, p. 107–108.

⁵⁹ Piso 2018.

⁶⁰ SHA, *Gallieni duo* 13, 6; Petolescu 2014, p. 297–298. Petculescu 2017, p. 262, consideră că Dacia a fost pierdută cândva între anii 260–267 p.Chr.

CATALOGUL SELECTIV AL MATERIALULUI ARHEOLOGIC

Piesele au fost grupate în catalog în funcție de materialul din care au fost confecționate: ceramică, fier, bronz, piese diverse. Monedele constituie însă o categorie distinctă. Am urmărit ca numărul de catalog să corespundă cu numărul ilustrației pieselor, cele 34 de poziții din catalog fiind ilustrate în planșele XVI–XXIII.

Abrevieri

L = lungime; l = lățime; \hat{h} = înălțime; d = diametru, dg = diametrul gurii; dm = diametrul maxim; db = diametrul bazei (fundului); gros. = grosime; G = greutate \hat{h} /lp/lp = înălțimea păstrată/ lungimea păstrată/ lățimea păstrată; int. = interior; ext. = exterior; S = suprafață; \square = carou; inv. = inventar.

a.1. Ceramică (Pl. XVI/1–2, XVII/3–5, XVIII/6–7, XIX/8–9)

1. **Castron (Popilian, tip 5⁶¹):** întregibil (70% din vas), buza mult răsfrântă în exterior, rotunjită și îngroșată, marcată de o canelură interioară pentru capac; gâtul marcat de îngustarea deschiderii vasului; corp bitronconic; fund plat. Pasta ceramică este grosieră, cu multe pietricele în compoziție, de culoare gri-maronie. Dimensiuni: \hat{h} = 12 cm, dg = 18,4 cm, dm = 20 cm, db = 7 cm. Context: campania 2013, SI, \square C3, -0,45 m, împreună cu moneda de la Geta Caesar, pe nivelul corespunzător funcționării clădirii de lemn. Loc de păstrare: Muzeul Județean Argeș, nr. inv.: I.V.3857.

2. **Strachină cu toarte**⁶²: fragmentară (35%), din întreaga piesă se păstrează profilul vasului cu o toartă; buza arcuită spre interior, fața exterioară este profilată și brăzdată de o linie incizată; gâtul marcat de îngustarea deschiderii vasului; pântec bombat; fund plat; toarta, modelată în bandă, se prinde cu un capăt sub buză, iar cu celălalt pe corpul vasului. Pasta ceramică este semifină, cu nisip în compoziție, de culoare roșie-cărămizie, arsă superficial. Dimensiuni: \hat{h} = 11,8 cm, dg = 20 cm, db = 7,5 cm. Context: campania 2012, SI, \square E2, -0,35 m, pe nivelul corespunzător clădirii de lemn. Loc de păstrare: Muzeul Județean Argeș, nr. inv.: I.V.3874.

3. **Strecurătoare**⁶³: întregibilă, formă tronconică, buza rotunjită, fundul plat, prezintă perforații de formă circulară pe pereți și fund. Pasta ceramică este semifină, cu pietricele în compoziție, de culoare cărămizie. Dimensiuni: \hat{h} = 8,1 cm, dg = 14 cm, db = 6,2 cm. Context: campania 2012, SI, \square E2, -0,35 m, pe nivelul corespunzător clădirii de lemn. Loc de păstrare: Muzeul Județean Argeș, nr. inv.: I.V.3873.

4. **Capac (Popilian, tip 3⁶⁴):** întregibil, formă tronconică, cu buton cilindric, buza rotunjită și ușor arcuită spre interior. Pasta ceramică este grosieră de culoare gri-maronie, cu multe pietricele în compoziție, prezintă urme de ardere secundară. Dimensiuni: \hat{h} = 4,6 cm, dm = 10,5 cm, buton: d = 3,7 cm. Context: campania 2011, SI, \square D6, -0,45 m, pe nivelul corespunzător clădirii de lemn. Loc de păstrare: Muzeul Județean Argeș, nr. inv.: I.V.3824.

5. **Farfurie (Popilian, tip 5⁶⁵):** fragmentară (45% din vas), cu pereții arcuiți, buza îngroșată spre interior; fund ușor concav. Decor format din cinci cercuri concentrice incizate și dispuse pe fundul vasului, la interior. Pasta ceramică este grosieră, cu multe pietricele în compoziție, de culoare gri. Dimensiuni: \hat{h} = 4,6 cm, dg = 22 cm, db = 15 cm. Context: campania 2013, SI, \square E6 (între stradelă și latura de est a clădirii dublu absdate), -0,40 m, pe nivelul corespunzător clădirii de lemn. Loc de păstrare: Muzeul Județean Argeș, nr. inv.: I.V.3859.

6. **Farfurie:** de același tip cu precedentă; fragmentară (45% din vas). Decor format din cercuri concentrice incizate și dispuse pe fundul vasului, la interior. Dimensiuni: \hat{h} = 6,2 cm, dm = 33 cm, db = 23,5 cm. Context: campania 2013, SI, \square B8' (la nord de clădirea dublu absdată), -0,50 m, pe nivelul corespunzător clădirii de lemn. Loc de păstrare: Muzeul Județean Argeș, nr. inv.: I.V.3858.

7. **Urcior cu două toarte (amforidion) (Popilian, tip 5⁶⁶):** lipsă gura și una din toarte; corpul globular, mai bombat în partea inferioară; fundul este profilat și inelar; toarta, în bandă, se prinde pe gât și umăr. Pasta ceramică este fină, de culoare galben-cărămizie. Dimensiuni: \hat{h} = 9,5 cm, dm = 8 cm, db = 3,4 cm. Context: campania 2011, SI, \square A3, -0,40 m, pe nivelul corespunzător clădirii de lemn. Loc de păstrare: Muzeul Județean Argeș, nr. inv.: I.V.3825.

8. **Amforetă (cană cu o toartă – Popilian, tip 4⁶⁷):** fragmentară, din întregul vas s-a păstrat numai partea superioară, respectiv, umăr, gât, buză și toartă. Buza este răsfrântă în exterior, îngroșată și prezintă pe interiorul ei o șanțuire. Gâtul este cilindric cu pereții ușor arcuiți. Pe umerii prezintă trei linii incizate dispuse orizontal. Pereții vasului prezintă deformări rezultate în urma procesului de ardere. Pasta ceramică este semifină, cu nisip în compoziție, de culoare gri închis. Dimensiuni: \hat{h} = 27,5 cm; dg = 12 cm, dm = 22,5 cm. Context: campania 2011, SI, \square D1, -0,40 m, pe nivelul corespunzător clădirii de lemn. Loc de păstrare: Muzeul Județean Argeș, nr. inv.: I.V.3871.

9. **Amforă (tip Zeest 90⁷):** s-a păstrat numai gura care este în formă de pâlnie, buza îngroșată, arcuită spre interior. Pastă ceramică fină, de culoare rozacee, pe suprafața exterioară a piesei sunt vizibile urme de angobă. Dimensiuni: \hat{h} = 10,5 cm, dg = 11 cm; dm = 12,4 cm. Context: campania 2012, SI, \square D4, -0,35 m, pe nivelul corespunzător clădirii de lemn. Loc de păstrare: Muzeul Județean Argeș, nr. inv.: I.V.3909.

a.2. Ceramică descoperită în groapa din carourile B2–B3 (Pl. XX/10–14; puț?).

10. **Amforă (tip Kapitän II):** fragmentară, din întreaga piesă s-a păstrat buza, gâtul, o toartă și o mică parte din umăr. Buza este verticală, cu o canelură la interior, despărțită de gât printr-o șanțuire. Gâtul de formă cilindrică, cu caneluri în partea inferioară. Toarta este canelată, se prinde sub buză și pe umăr, supraînălțată. Pastă ceramică de culoare gălbui-rozacee, cu pietricele în compoziție. Dimensiuni: \hat{h} = 29,5 cm, dg = 6,8 cm, gros. toartă = 4,6 x 2,7 cm. Context: campania 2014, în groapă, -1,32 m. Loc de păstrare: Muzeul Județean Argeș, nr. inv.: I.V.3910.

11. **Amforă (tip Kapitän II):** fragmentară, din piesă s-au păstrat buza și gâtul. Buza este verticală, cu o canelură pe interior și despărțită de gât printr-o șanțuire, gâtul tronconic, cu caneluri în partea inferioară, toartele lipsesc. Pasta ceramică este fină, de culoare gălbui-rozacee. Dimensiuni: \hat{h} = 25 cm, dg = 7,5 cm. Context: campania 2014, în groapă, -1,45 m. Loc de păstrare: Muzeul Județean Argeș, nr. inv.: I.V.3911.

12. **Amforă (tip Kapitän II):** fragmentară, s-a păstrat doar parte din peretele bazei și piciorului. Bază este conică și terminată cu un picior cilindric. Suprafața exterioară a piciorului este canelată, cu marginea inferioară îngroșată la interior. Fundul are formă de *umbo*. Pasta ceramică este fină de culoare gălbui-rozacee. Dimensiuni: \hat{h} = 14 cm, db = 8 cm. Context: campania 2015, SI, în groapă, -1,30 m. Loc de păstrare: Muzeul Județean Argeș.

13. **Amforă (tip Kapitän II):** fragmentară, s-a păstrat piciorul propriu-zis de formă cilindrică, ușor evazat în partea inferioară, margine rotunjită, fundul în formă de *umbo*; pastă cărămizie cu nisip în compoziție, \hat{h} = 8,5 cm, db = 8 cm; Campania 2015, SI, carourile B2–B3, în groapă, -1,45 m; Muzeul Județean Argeș, fără nr. inv.

14. **Capac de amforetă/urcior (?):** întreg, buton tronconic, corp tronconic, cu gardină. Pasta ceramică este semifină, cu nisip și mică în compoziție, de culoare gri-maronie. Dimensiuni: \hat{h} = 3,6 cm, dm = 5,7 cm, apucătoare: d = 3,2 cm. Context: campania 2015, în groapă, -0,90 m. Loc de păstrare: Muzeul Județean Argeș, nr. inv. I.V.4026.

b) Material tegular (Pl. XXI/15–18)

15. **Țiglă:** întreagă, de formă dreptunghiulară, cu borduri pe marginile lungi. Pastă ceramică de culoare cărămizie, cu pietricele și nisip în compoziție. Dimensiuni: L = 52 cm, l = 38, gros. = 2,5 cm. Context:

⁶¹ Popilian 1976, p. 121, cat. nr. 789 (Romula).

⁶² Rusu-Bolindeț 2007, p. 387, cat. nr. 520–521

⁶³ Diferită ca formă de tipul definit de Popilian 1976, p. 125–126, cat. nr. 882. Astfel de strecurători au fost descoperite și cu ocazia săpăturilor mai vechi, Popescu, Popescu 1970, p. 261.

⁶⁴ Popilian 1976, p. 127, cat. nr. 906–918. Un alt capac identic a fost descoperit în săpăturile mai vechi, Popescu, Popescu 1970, p. 260, nr. 4.

⁶⁵ Popilian 1976, p. 125, cat. nr. 852 (Slăveni).

⁶⁶ Popilian 1976, p. 103, cat. nr. 551–552 (Sucidava).

⁶⁷ Popilian 1976, p. 95, cat. nr. 417 (Stolniceni).

campania 2012, SI, □E8, -0,10 m, pe nivelul de pietriș. Loc de păstrare: Muzeul Județean Argeș, Pitești, nr. inv. I.V.3878.

16. **Țiglă:** fragmentară, din întreaga piesă s-a păstrat numai un colț, spart în trei bucăți. Pe fața superioară, în pasta crudă, înainte de ardere, a fost trasat cu degetul un semn asemănător literei „N”. Dimensiuni: Lp = 23,5 cm; lp = 23 cm; gros. = 2 cm. Context: campania 2013, SI, □E4' (între clădirea cu hipocaust – latura estică și marginea stradelei), -0,35 m. Loc de păstrare: Muzeul Județean Argeș, Pitești, nr. inv. I.V.3862.

17. **Fragment de țiglă cu perforație:** formă trapezoidală, cu o bordură pe margine și perforată în mijloc ulterior arderii. Dimensiuni: L = 12,5 cm, l = 11 cm, gros. = 2,5 cm. Context: campania 2013, SI, □E7, -0,35 m; Muzeul Județean Argeș, Pitești, nr. inv. I.V.3863.

18. **Fragment de țiglă cu perforație:** formă rectangulară, bordura de pe margine desprinsă, perforată după ardere. Dimensiuni: L = 11 cm, l = 8 cm, gros. = 3,2 cm. Context: campania 2013, SI, □E7, -0,35 m. Loc de păstrare: Muzeul Județean Argeș, Pitești, nr. inv. I.V.3864.

c) Piese de fier (Pl. XXII/19–25)

19. **Vârf de suliță:** fragmentar, cap (vârf) de formă piramidală, cu secțiune pătrată, tub de înmănușare alungit, conic, partea sa inferioară lipsește. Dimensiuni: Lp = 8,5 cm; l = 1,3 cm; d = 1,5 cm, G = 34 g. Context: campania 2013, SI (la nord de clădirea dublu absidată), □B9', -0,40 m. Loc de păstrare: Muzeul Județean Argeș, Pitești, nr. inv. I.V.3866.

20. **Tub de înmănușare:** fragmentar, ușor conic, cu secțiune circulară. Dimensiuni: lp = 1,5 cm, d = cm. Context: campania 2010, SI, □C2, -0,20 m, pe nivelul de pietriș. Loc de păstrare: Muzeul Județean Argeș, Pitești, nr. inv. I.V.3827.

21. **Cheie:** corp de formă trapezoidală, parte din inel lipsește, partea activă lățită și întoarsă în lateral. Dimensiuni: Lp = 5,3 cm, l = 1,3 cm, gros. = 0,5 cm. Context: campania 2012, SI, □E7, -0,40 m, pe nivelul corespunzător clădirii de lemn. Loc de păstrare: Muzeul Județean Argeș, nr. inv. I.V.3829.

22. **Balama:** întreagă, cu două brațe. Unul dintre brațe are un capăt ascuțit și un altul terminat cu o verigă, de care se prindea veriga celui alt braț. Acesta din urmă era realizat prin îndoirea de la jumătate a unei bare de fier, în punctul de îndoire făcea o buclă – veriga, capetele barei sunt întoarse într-o parte. Dimensiuni: L = 13 cm; verigi: d = 2 cm și 2,2 cm. Context: campania 2011, SI, □D2, -0,20 m, pe nivelul de pietriș. Loc de păstrare: Muzeul Județean Argeș, Pitești, nr. inv. I.V.3826.

23. **Cui:** vârful rupt, tijă cu secțiune pătrată, floarea de formă circulară. Dimensiuni: L = 8 cm, d = 0,8 cm; floarea: d ? 1,5 cm. Context: campania 2010, SI, □D4, -0,20 m, pe nivelul de pietriș. Loc de păstrare: Muzeul Județean Argeș, Pitești, nr. inv.: I.V.3828.

24. **Scoabă:** unul din brațe deteriorat și cu vârful rupt, corpul lățit, cu secțiune dreptunghiulară. Dimensiuni: L = 16,2 cm, l = 2 cm, gros = 0,9–1,2 cm; braț: l = 3 cm. Context: campania 2011, SI, □C3, -0,40 m, pe nivelul corespunzător clădirii de lemn. Loc de păstrare: Muzeul Județean Argeș, nr. inv. I.V.4027.

25. **Scoabă:** brațele lipsesc (rupte din vechime), corpul lățit, cu secțiune dreptunghiulară. Dimensiuni: L = 18 cm, l = 2,2 cm, gros = 0,9–1 cm. Context: campania 2011, SI, □A7, -0,40 m, pe nivelul corespunzător clădirii de lemn. Loc de păstrare: Muzeul Județean Argeș, nr. inv. I.V.4028.

d) Piese de bronz (Pl. XXIII/26–28)

26. **Fibulă în formă de „T” (Cociș, tip 39b5c1b):** fragmentară, ruptă în două; acul, piciorul și portagrafa lipsesc, unul din brațe este deteriorat, celălalt lipsește. Sistemul de închidere constă dintr-o balama. Pe cap prezintă un buton (deteriorat), corpul este curbat, cu secțiune hexagonală și cu o gătuire spre bază. Dimensiuni: Lp = 3,7 cm, d = 0,4 cm. Context: campania 2012, SI, □E4, -0,40 m, pe nivelul corespunzător clădirii de lemn. Loc de păstrare: Muzeul Județean Argeș, nr. inv. I.V.3834.

27. **Închizător de garnitură de armură (lorica squamata):** întreg, de formă pătrată cu o perforație pe mijloc și terminat cu un capăt în „T”. Dimensiuni: L = 2,2 cm, l = 1,4 cm, gros. = 0,4 cm, d int. orificiu = 0,2 cm; Campania 2016, SI, □E2, -0,60 m, clădirea de lemn, groapa de stâlp nr. 5, rândul V; Loc de păstrare: Muzeul Județean Argeș, nr. inv. I.V.3969.

28. **Verigă:** fragmentară; s-a păstrat jumătate din piesă; de formă ovală, cu secțiune ovală. Dimensiuni: d = 3,4 cm; gros. = 0,6 × 0,4 cm. Context: campania 2013, SI, □C1, -0,35 m, clădirea de lemn. Loc de păstrare: Muzeul Județean Argeș, Pitești, nr. inv. I.V.3870.

e) Monede (Pl. XXIII/29)

Geta Caesar

29. AR (*denarius*) ↑ 1.28 g, 18 mm; Av. P. SEPTIMIVS GETA CAES., cap spre dreapta, bust drapat și cuirasat; Rv. FELICITAS TEMPOR, Felicitas spre stânga, ținând în mâna stângă *caduceus*, iar în mâna dreaptă *cornu copiae*. RIC IV/1, 2D, Roma, anii 198–200 p.Chr. Context: campania 2013, SI, □C3, -0,45 m, pe nivelul corespunzător clădirii de lemn. Muzeul Județean Argeș, Pitești, fără nr. inv.

Severus Alexander

30. AR (*denarius*) ↑ fragmentar, 1,00 g, 19,8 mm; Av. [IMP. C. M.] AVR. SEV. ALEXAND. AVG, cap spre dreapta, laureat, bust drapat și cuirasat; Rv. [P.M. T]R. P. COS [P.P.], Marte în picioare, către stânga, cu ramura de măslin în mâna stângă și cu lancea în mâna dreaptă. RIC IV/2, 7D, Roma, an 222 p.Chr. Context: campania 2011, SI, □D8, -0,35 m, în nivelul de distrugere al clădirii de lemn (în stratul de arsură). Muzeul Județean Argeș, Pitești, fără nr. inv.

Ilizibile

31. AR (*denarius?*), 2,60 g, 18,5 mm. Context: campania 2011, SI (zona dintre latura sudică a clădirii cu hipocaust și *via principalis*), pe nivelul corespunzător clădirii de lemn, *passim*. Muzeul Județean Argeș, Pitești, fără nr. inv.

32. AE (*dupondius?*), 5,84 g, 24 mm, arșă; context: campania 2011, SI, □A2, -0,40 m, în nivelul de distrugere a clădirii de lemn (în stratul de arsură). Muzeul Județean Argeș, Pitești, fără nr. inv.

f) Alte piese (Pl. XXIII/33–34)

33. **Mărgică:** întreagă, din sticlă de culoare gri închisă formă sferică, ușor turtită, cu o perforație pe mijloc. Dimensiuni: l = 0,7 cm, d = 0,9 cm. Context: campania 2012, SI, □E7, -0,30 m. Loc de păstrare: Muzeul Județean Argeș, nr. inv. IV. 3836.

34. **Mărgică:** întreagă, din sticlă albastră, translucidă, formă tubulară, secțiune hexagonală. Dimensiuni: L = 1,6 cm; d = 0,4 cm. Context: campania 2012, SI, □C1, -0,30 m. Loc de păstrare: Muzeul Județean Argeș, nr. inv. I.V.3835.

BIBLIOGRAFIE

Surse

SHA – *Scriptores Historiae Augustae*, edidit Ernestus Hohl, I–II, editio stereotypa correctior addenda et corrigenda adiecerunt Ch. Samberger et W. Seyfarht, Leipzig, 1971.
Zosimos – Zosime, *Histoire nouvelle*, I–III, texte établi et traduit par François Paschoud, Paris, 1971–1989.

Alicu et alii 1994 – D. Alicu, S. Cociș, C. Ilieș, A. Soroceanu, *Small Finds from Ulpia Traiana Sarmizegetusa*, Cluj-Napoca, 1994.

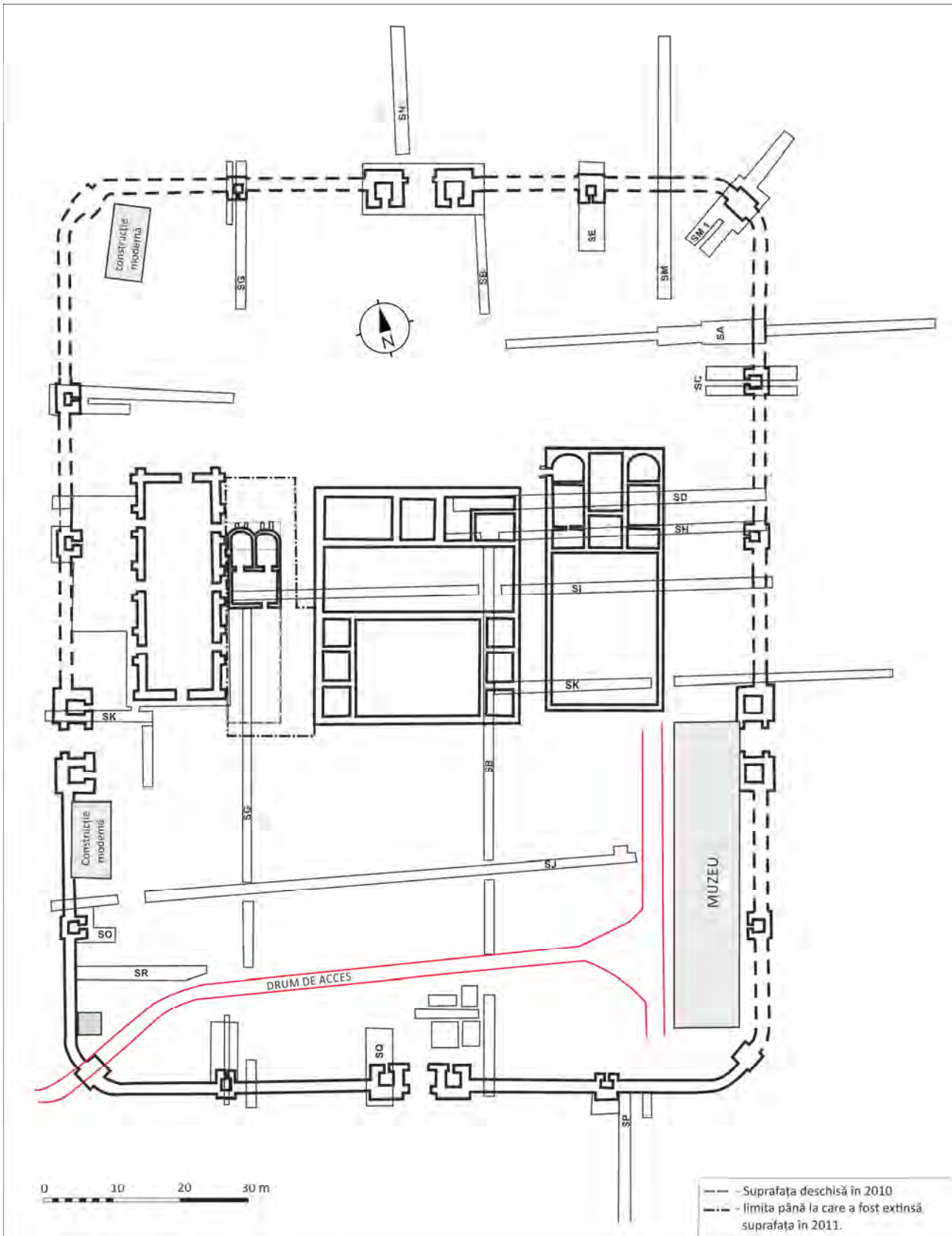
Archard-Corompt, Delor-Ahü 2012 – N. Archard-Corompt, A. Delor-Ahü, *La fouille d'un petit établissement gallo-romain de la seconde moitié du I^{er} s. ap. J.-C. à Bezannes, en périphérie de Reims (Marne)*, Revue Archéologique de l'Est 61, 2012, p. 337–349.

Ardeț 2006 – A. Ardeț, *Amforele din Dacia romană*, Timișoara, 2006.

Avram, Petolescu 1999 – R. Avram, C. C. Petolescu, *Les fouilles archéologiques sur la frontière de Dacia Malvensis (1983–1997)*, în: N. Gudea (ed.), *Roman Frontier Studies. Proceedings of the XVIIth International Congress of Roman Frontier Studies*, Zalău, 1999, p. 187–197.

Bădescu 2013 – A. Bădescu, *Amfore orientale de tip Kapitän II descoperite la Histria în Sectorul Basilica extra muros*, MCA 9, 2013,

- p. 189–198.
- Bărbulescu et alii 2019 – M. Bărbulescu (coord.), M. Andone Rotaru, C. Bărbulescu, T. Bărbulescu, A. Căținaș, F. István, F.-Gh. Fodorean, P. Huszarik, M. Munteanu, L. Nedelea, I. Nemeti, S. Nemeti, *Termele castrului legionar de la Potaissa*, Cluj-Napoca, 2019.
- Benea 2011 – D. Benea, *Die römischen Perlenwerkstätten aus Tibiscum / Atelierele romane de mărgelă de la Tibiscum*, Timișoara, 2011.
- Bogdan Cătănicu 1981 – I. Bogdan Cătănicu, *Evolution of the System of Defence Works in Roman Dacia*, BARIntSer 116, Oxford, 1981.
- Bogdan Cătănicu 1997 – I. Bogdan Cătănicu, *Muntenia în sistemul defensiv al Imperiului Roman, sec. I–III p. Chr.*, Alexandria, 1997.
- Christescu 1934 – V. Christescu, *Le trésor de monnaies de Săpata de Jos et la date du limes romain de la Valachie*, Istros 1, 1934, 2, p. 73–80.
- Christescu 1935–1936 – V. Christescu, *Le « castellum » romain de Săpata-de-Jos*, Dacia 5–6, 1935–1936 (1938), p. 435–447.
- Cioflan 1986 – T. Cioflan, *Ceramica ștampilată ornamentală descoperită în castrul Jidava-Câmpulung*, RMM – seria Muzeu 9, 1986, p. 53–55.
- Cociș 2004 – S. Cociș, *Fibulele din Dacia romană*, Cluj-Napoca, 2004.
- Dudău 2006 – O. Dudău, *Circulația monetară în castrul de trupe auxiliare din provincia Dacia*, Bibliotheca Historica et Archaeologica Banatica 38, Timișoara, 2006.
- Florescu et alii 1957 – G. Florescu, E. Bujor, A. Matrosenco, *Săpăturile de salvare de la Bumbesti (r. Tg. Jiu, reg. Craiova)*, MCA 4, 1957, p. 103–118.
- Gudea 1979 – N. Gudea, *Castrul roman de la Inlăceni*, ActaMP 3, 1979, p. 149–273.
- Gudea 1989 – N. Gudea, *Porolissum. Un complex arheologic daco-roman la marginea de nord a Imperiului Roman. I. Cercetări și descoperiri arheologice până în anul 1977*, ActaMP 13, Zalău, 1989.
- Johnson 1987 – A. Johnson, *Römische Kastelle des 1. und 2. Jahrhunderts n. Chr. in Britannien und den germanischen Provinzen des Römerreiches*, Mainz, 1987.
- Huttner 2008 – U. Huttner, *Von Maximinus Thrax bis Aemilianus*, în: K.-P. Johne, U. Hartmann, T. Gerhardt (eds.), *Die Zeit der Soldatenkaiser. Krise und Transformation des Römischen Reiches im 3. Jahrhundert n. Chr. (235–284)*, vol. I–II, Berlin, 2008, p. 161–221.
- Junkelmann 1997 – M. Junkelmann, *Panis Militaris. Die Ernährung des römischen Soldaten oder der Grundstoff der Macht*, Kulturgeschichte der Antiken Welt 75, Mainz, 1997.
- Kapitän 1972 – G. Kapitän, *Le anfore del relitto romano di Capo Ognina (Siracusa)*, în: P. Baldacci, G. Kapitän, N. Lamboglia (eds.), *Recherches sur les amphores romaines. Actes du Colloque de Rome (4 mars 1971)*, Roma, 1972, p. 243–252.
- Loriot 1975 – X. Loriot, *Chronologie du règne de Philippe l'Arabe (244–249 après J.C.)*, ANRW II/2, 1975, p. 788–797.
- Kienast 2011 – D. Kienast, *Römische Kaisertabelle. Grundzüge einer römischen Kaiserchronologie. 5. Auflage*, Darmstadt, 2011.
- Körner 2002 – Ch. Körner, *Philippus Arabs. Ein Soldatenkaiser in der Tradition des antoninisch-severischen Prinzipats*, Untersuchungen zur antiken Literatur und Geschichte 61, Berlin – New York, 2002.
- Manning 1975 – W. Manning, *Roman Military Timber Granaries in Britain*, Saalburg Jahrbuch 32, 1975, p. 105–129.
- Marcu 2009 – F. Marcu, *Organizarea internă a castrului din Dacia*, BiblMusNap 30, Cluj-Napoca, 2009.
- Martin 1992 – F. Martin, *Kolonialprägungen aus Moesia Superior und Dacia*, Budapesta – Bonn, 1992.
- Mitrea 1968 – B. Mitrea, *Cu privire la tezaurul monetar roman imperial de la Săpata de Jos și prăbușirea limes-ului Transalutan*, SCN 4, 1968, p. 197–206.
- Negru, Cioflan 1996 – M. Negru, T. Cioflan, *Lămpi din lut ars în castrul roman de la Câmpulung – Pescăreasa (Jidava)*, AO SN 11, 1996, p. 49–54.
- Negru et alii 2003 – M. Negru, A. Bădescu, R. Avram, *Amforele de tip Kapitän II în Dacia romană*, CA 12, 2003, p. 231–240.
- Petac 1998 – Petac 1998 – E. Petac, *Considerații cu privire la data finală a tezaurului monetar îngropate la mijlocul sec. III p. Chr. în Dacia romană de la sud de Carpați*, SCN 12, 1998, p. 27–40.
- Petculescu 1986 – L. Petculescu, *Contribuții la coifurile ornamentate și garniturile de armură romane din Dacia*, CCDJ 2, 1986, p. 153–162.
- Petculescu 1987 – L. Petculescu, *Roman Granaries in Dacia*, Saalburg Jahrbuch 43, 1987, p. 66–76.
- Petculescu 1999 – L. Petculescu, *Fragments of Helmets from the Roman Fort at Jidava*, ActaMN 36/1, 1999, p. 189–196.
- Petculescu 2017 – L. Petculescu, *The Abandonment of Dacia and the Imperial Propaganda*, EphemNap 27, 2017, p. 259–266.
- Petolescu 2002 – C. C. Petolescu, *Auxilia Daciae. Contribuție la istoria militară a Daciei romane*, București, 2002.
- Petolescu 2005 – C. C. Petolescu, *Granița de sud-est a Daciei romane*, Argesis 14, 2005, p. 271–273.
- Petolescu 2014 – C. C. Petolescu, *Dacia. Un mileniu de istorie*, ed. a II-a, revăzută și adăugită, București, 2014.
- Petolescu, Cioflan 1995 – C. C. Petolescu, *Castrul roman de piatră de la Câmpulung (Pescăreasa, jud. Argeș). Cercetările din anii 1978–1989*, Argesis 7, 1995, p. 17–29.
- Piso 2005 – I. Piso, *Der Krieg des Philippus gegen die Karpen*, în: I. Piso, *An den Nordgrenze des Römischen Reiches. Ausgewählte Studien (1972–2003)*, Stuttgart, 2005, p. 51–59.
- Piso 2018 – I. Piso, *Das verhängnisvolle Jahr 262 und die amissio Daciae*, în: L. Vagalinski, M. Raycheva, D. Boteva, N. Sharankov (eds.), *Proceedings of the First International Roman and Late Antique Thracian Conference "Cities, Territories and Identities" (Plovdiv, 3rd–7th October 2016)*, IzvestijaSofia 44, 2018, p. 427–440.
- Popescu, Popescu 1968 – E. Popescu, E. Popescu, *Castrul roman Jidava-Câmpulung (Observații preliminare)*, Studii și comunicări. Muzeul din Pitești. Istorie – Științele Naturii 1, 1968, p. 67–79.
- Popescu, Popescu 1970 – E. Popescu, E. Popescu, *Raport preliminar asupra săpăturilor efectuate în anii 1962–1967 în castrul roman de lângă Câmpulung-Muscel (Jidava)*, MCA 9, 1970, p. 251–263.
- Popescu et alii 1984 – E. Popescu, C. C. Petolescu, T. Cioflan, *Distrușirea castrului roman de la Câmpulung (Jidava)*, Studii și comunicări – Câmpulung 3, 1984, p. 15–17.
- Popilian 1976 – Gh. Popilian, *Ceramica romană din Oltenia*, Craiova, 1976.
- Popilian, Bondoc 2014 – Gh. Popilian, D. Bondoc, *Așezările daco-romane de la Locusteni*, Craiova, 2014.
- Protase 2002 – D. Protase, *Obreja. Așezarea și cimitirul daco-roman (secolele II–IV). Dovezi ale continuității în Dacia*, Cluj-Napoca, 2002.
- Rickman 1971 – G. Rickman, *Roman Granaries and Store Buildings*, Cambridge, 1971.
- Rusu-Bolindeț 2007 – V. Rusu-Bolindeț, *Ceramica romană de la Napoca*, Cluj-Napoca, 2007.
- Teodor 2015 – E. S. Teodor, *The Invisible Giant: Limes Transalutanus. An Overview South of Argeș River*, Târgoviște, 2015.
- Teodor et alii 2017 – E. S. Teodor, M. Ștefan, A. Bădescu, *Systematic Field Survey on Limes Transalutanus. Săpata Case*, JAJA 4, 2017, 1, p. 51–76.
- Tudor 1944 – D. Tudor, *Arme și diferite obiecte din castrul Jidava*, BCMI 37, 1944, 119–122, p. 79–81.
- Țentea 2012 – O. Țentea, *Ex Oriente ad Danubium. The Syrian Units on the Danube Frontier of the Roman Empire*, Centre for Roman Military Studies 6, București, 2012.
- Winkler 1971 – J. Winkler, *Moneda „Provincia Dacia”*, SCN 5, 1971, p. 145–160.



Planșa I. Planul general al cercetărilor arheologice de la castrul roman, Câmpulung – Jidova / General layout plan of the archaeological excavations from the Câmpulung – Jidova Roman fort.

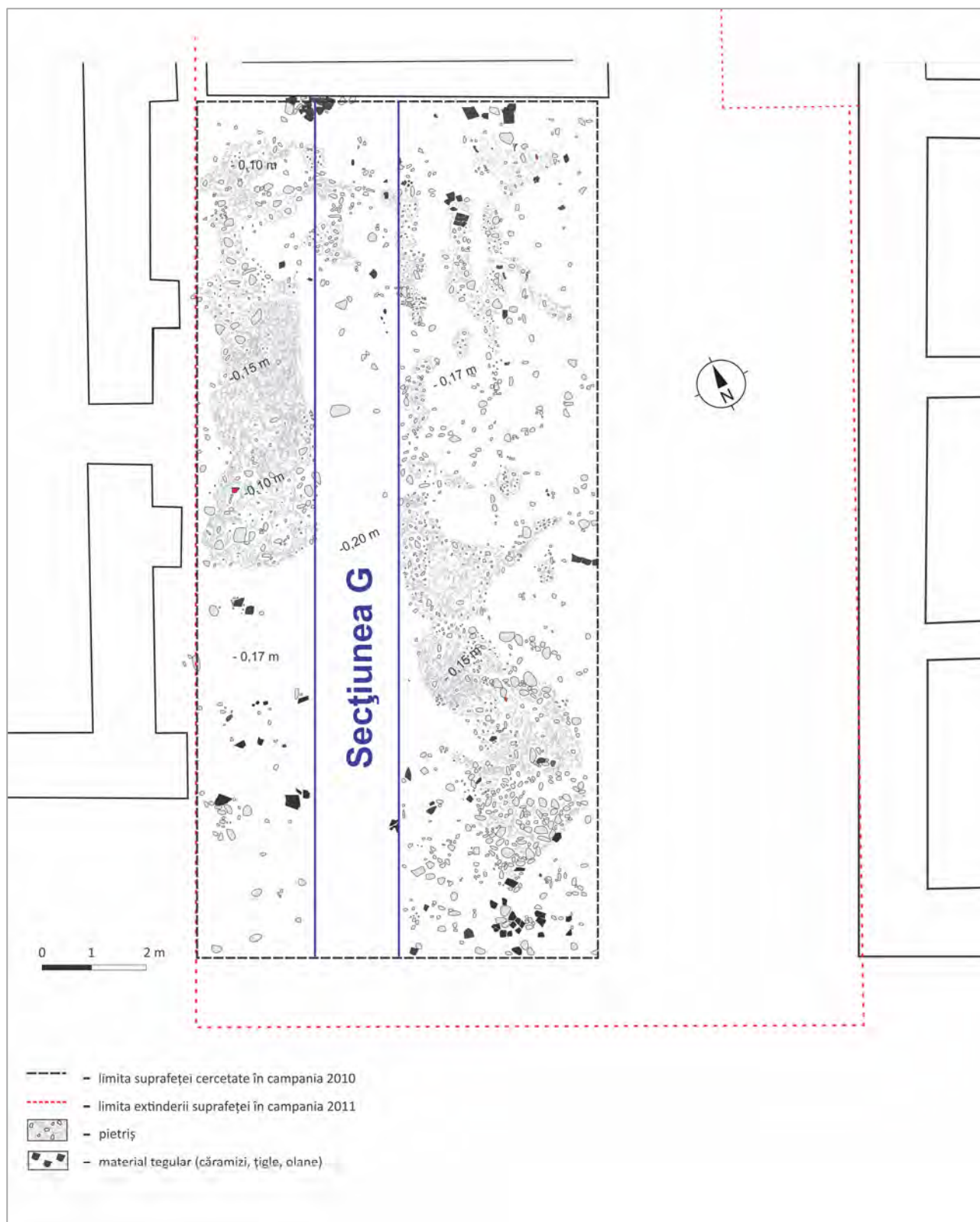


a



b

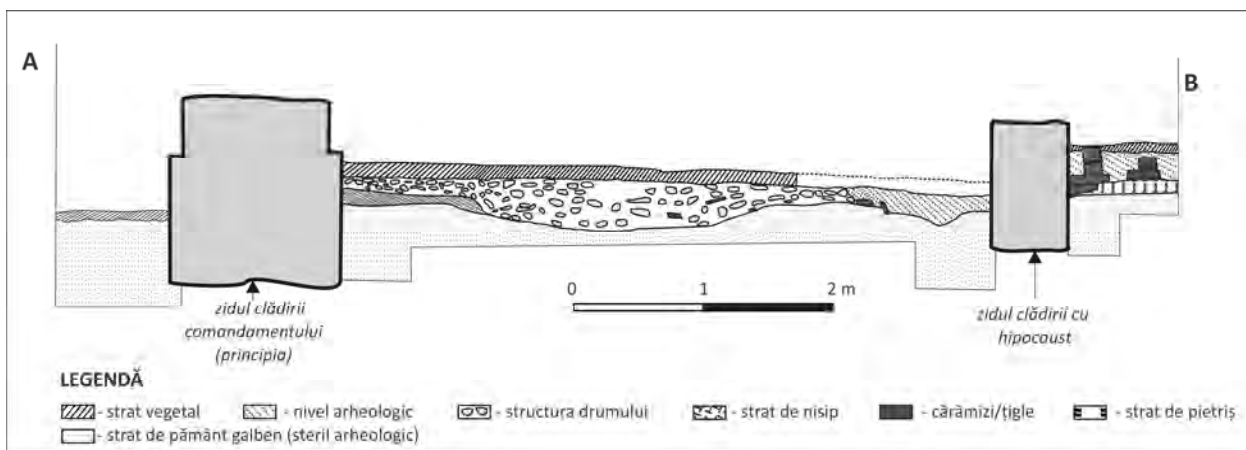
Planșa II. a) Suprafața dintre horreum și principia: situația relevată de cercetările arheologice efectuate de Emilian Popescu și Eugenia Popescu în anii 1962–1967; b) situația surprinsă în suprafața de la sud de clădirea dublu absidată cu hipocaust în 2010 / a) The area between the horreum and the principia according to the archaeological excavations carried out by Emilian Popescu and Eugenia Popescu between 1962 and 1967; b) the area south of the double apse building with the underfloor heating system according to the archaeological excavations carried out in 2010.



Planșa III. Nivelul de petriș surprins în suprafața de la sud de clădirea dublu absidată / The level of gravel from the area south of the double apse building.

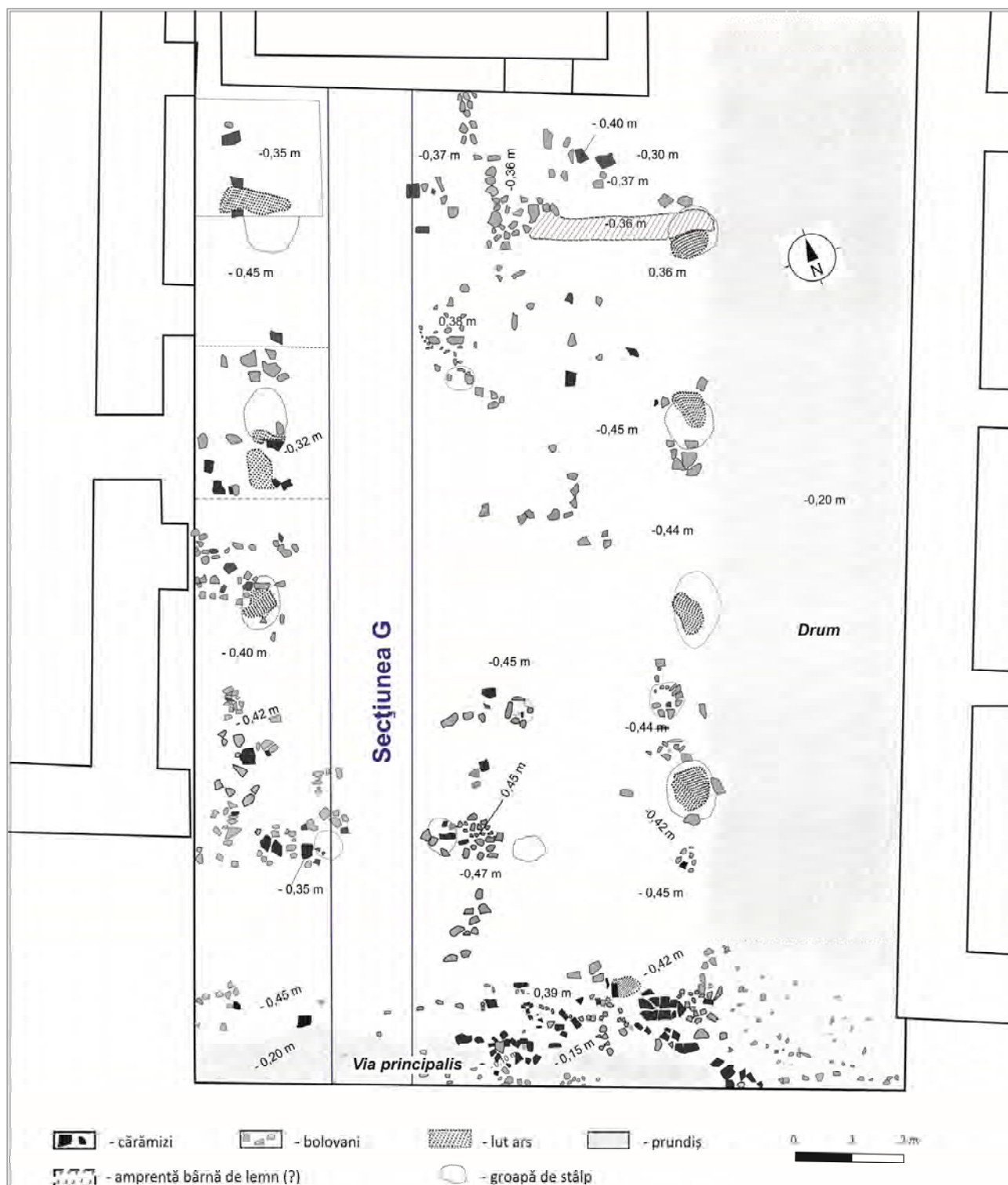


a

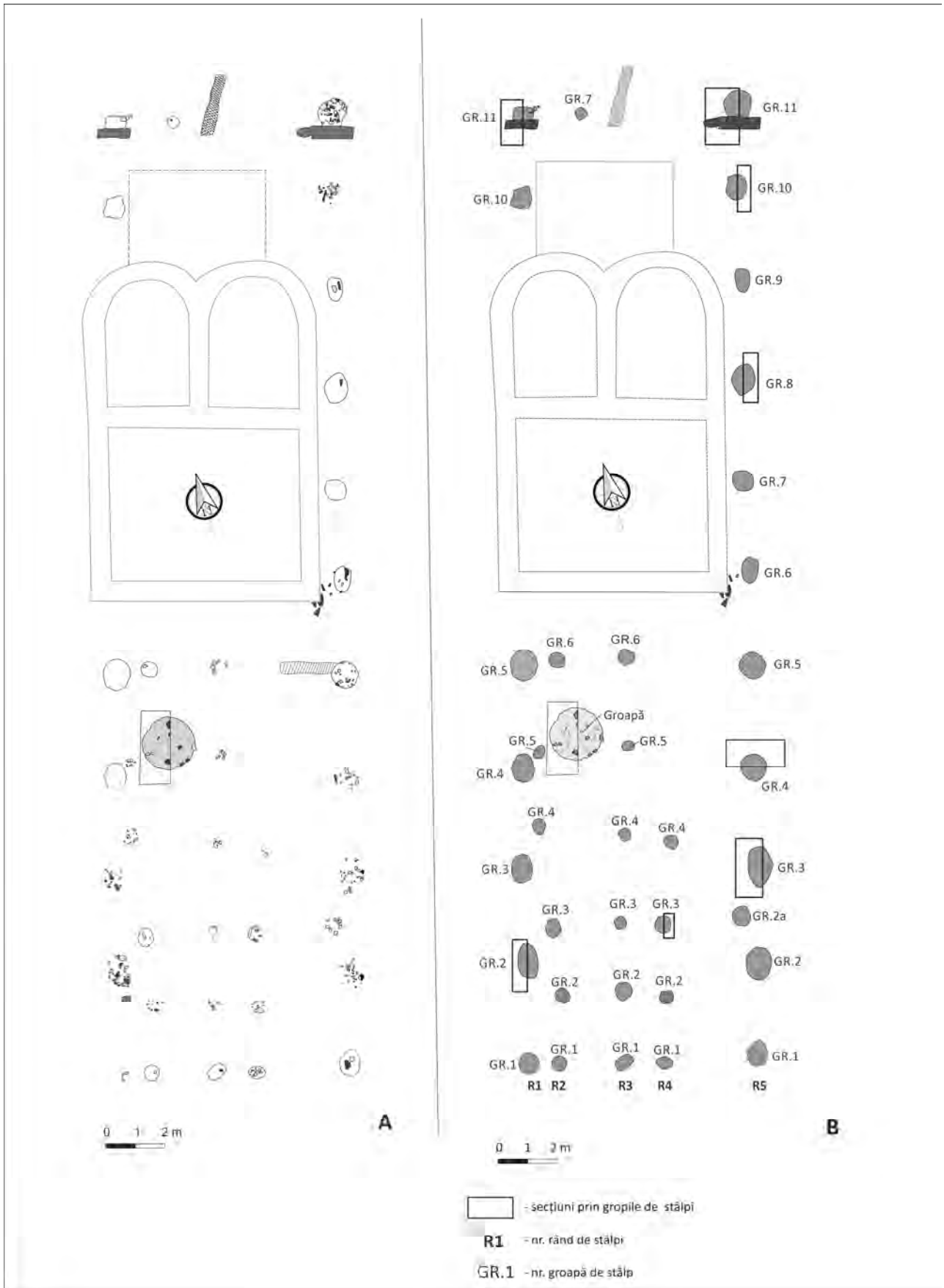


b

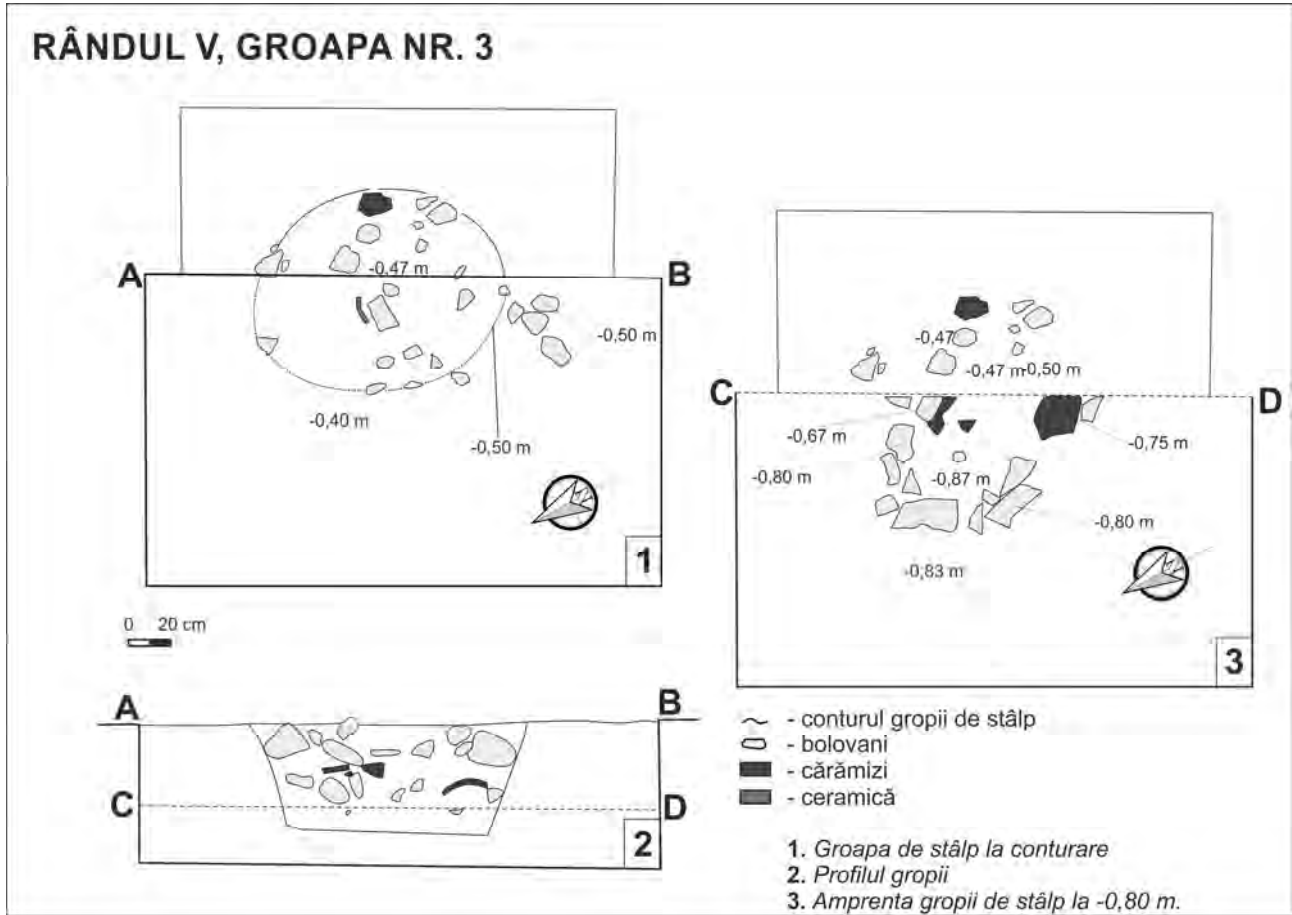
Planșa IV. a) Zona cu nivelul de pietriș de la nord de clădirea cu hypocaust; b) secțiunea trasată (profilul de sud) între clădirea comandamentului (principia) și edificiul absidat / a) The level of gravel from the area north of the double apse building; b) the test-trench, southern profile, between the headquarters (principia) and the double apse building.



Planșa V. Traseul construcției de lemn și pământ marcat de concentrările de bolovani și zone cu pete de lut ars / The layout plan of the wooden building with boulders and the areas with spots of burnt clay.



Planșa VI. Dispunerea gropilor de stâlpi. a) Amprentele gropilor de stâlpi; b) rândurile de gropi de stâlpi / The layout of the post-holes. a) Post-holes inprints; b) rows of post-holes.



a

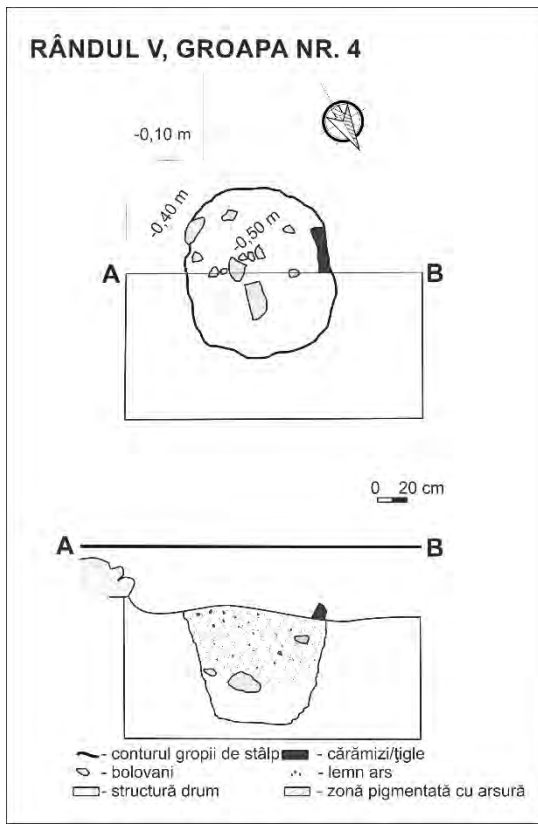


b

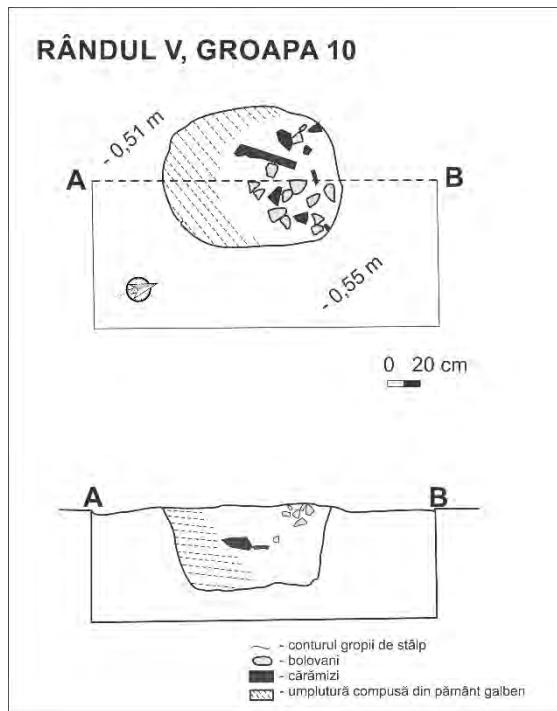


c

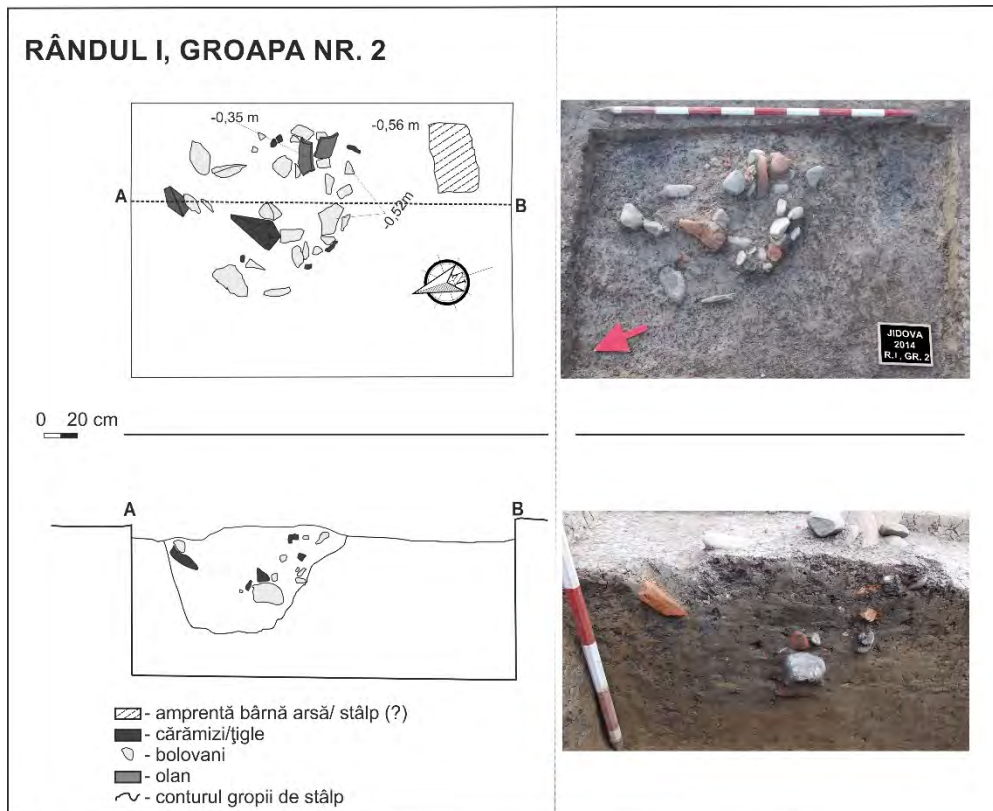
Planșa VII. Groapa de stâlp nr. 3 din rândul V. a) Desen de plan și profil; b) forma gropii în plan conturată în nivelul de pământ galben = fig. a/1; c) amprenta gropii de stâlp la adâncimea de 0,80 m de la nivelul actual de călcare = fig. a/3 / Post-hole no. 3, row V. a) Plan and section drawings of post-hole; b) post-hole shape at the yellow ground level = fig. a/1; c) post-hole inprint at 0,80 m depth from the topsoil = fig. a/3.



a

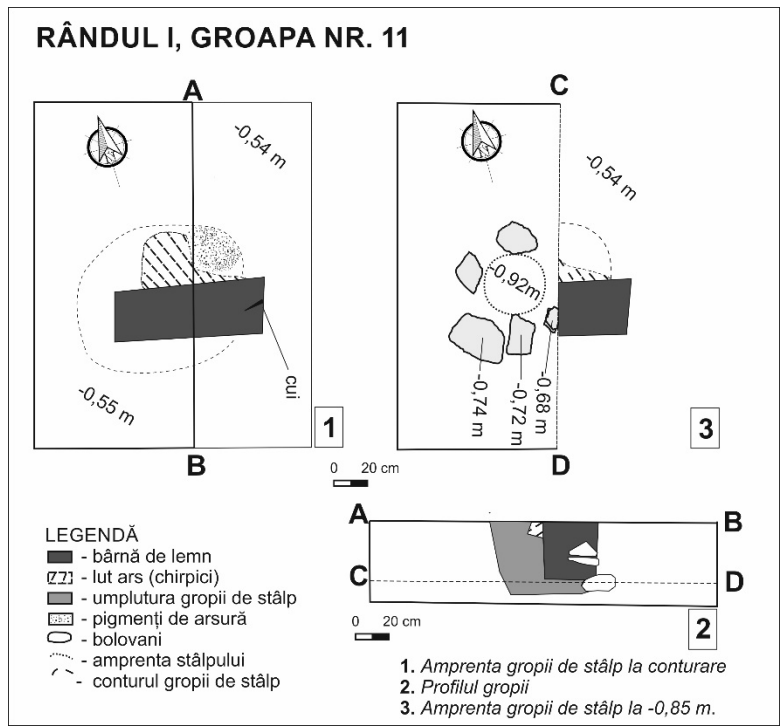


b

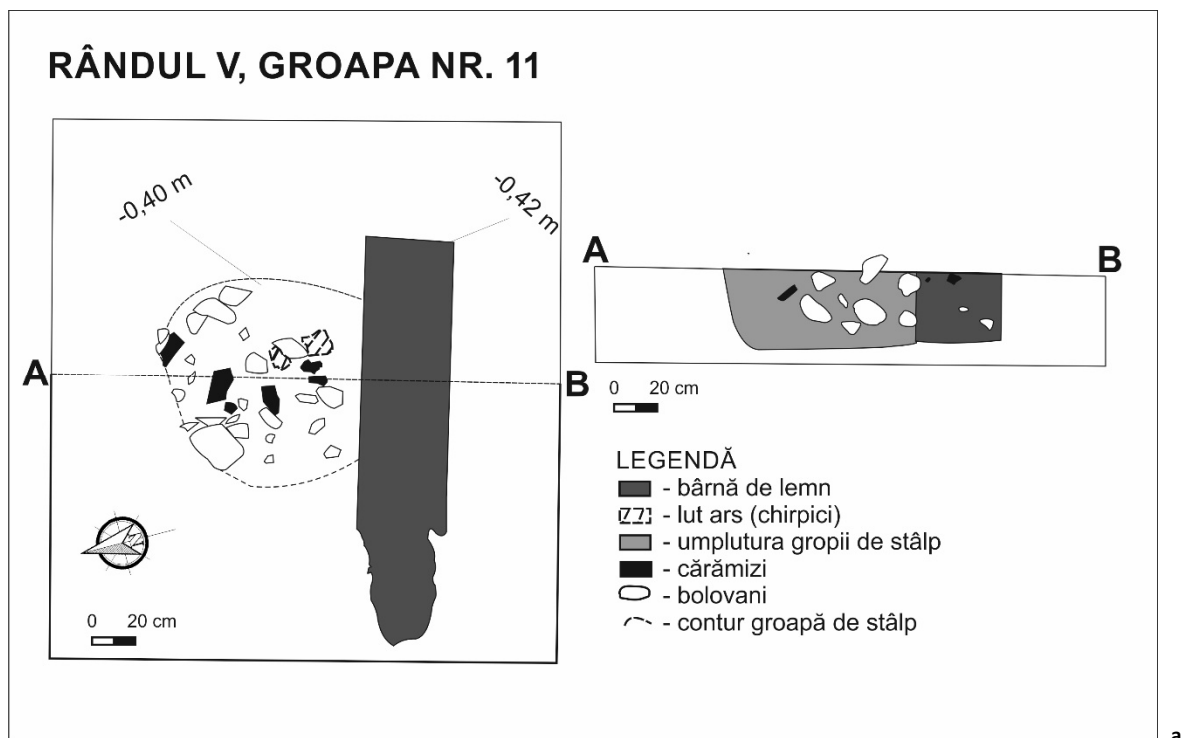


c

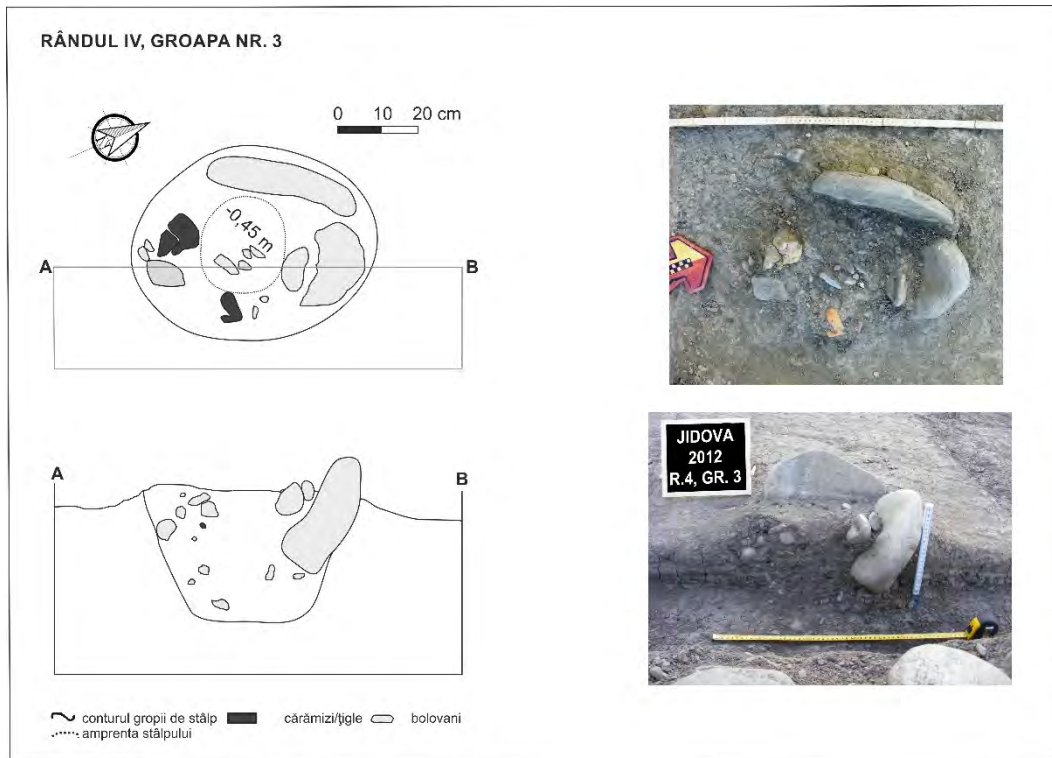
Planșa VIII. a) Groapa de stâlp nr. 4 din rândul V; b) groapa de stâlp nr. 10 din rândul V; c) groapa de stâlp nr. 2 din rândul I / a) Post-hole no. 4, row V; b) post-hole no. 10, row V; c) post-hole no. 2, row I.



Planșa IX . Groapa de stâlp nr. 11 din rândul I / Post-hole no. 11, row I.



Planșa X. a) Groapa de stâlp nr. 11 din rândul V; b) latura nordică a clădirii de lemn – vedere dinspre est (gropile de stâlpi cu nr. 11) / a) Post-hole no. 11, row V; b) northern side of the timber building – view from the east (post-holes no. 11).



a



b



c



d



e

Planșa. XI. Gropi de stâlpi din rândurile II–IV. a) Groapa de stâlp nr. 3, rândul IV; b) groapa de stâlp dintre rândurile IV și V; c) groapa de stâlp nr. 3, rândul III; d) groapa de stâlp nr. 4, rândul III / Post-holes of the rows II–IV. a) The post-hole no. 3, row IV; b) the post-hole between rows IV and V; the post-hole no. 3, row III; d) the post-hole no. 4, row III; e) the post-hole no. 6, row III.



a



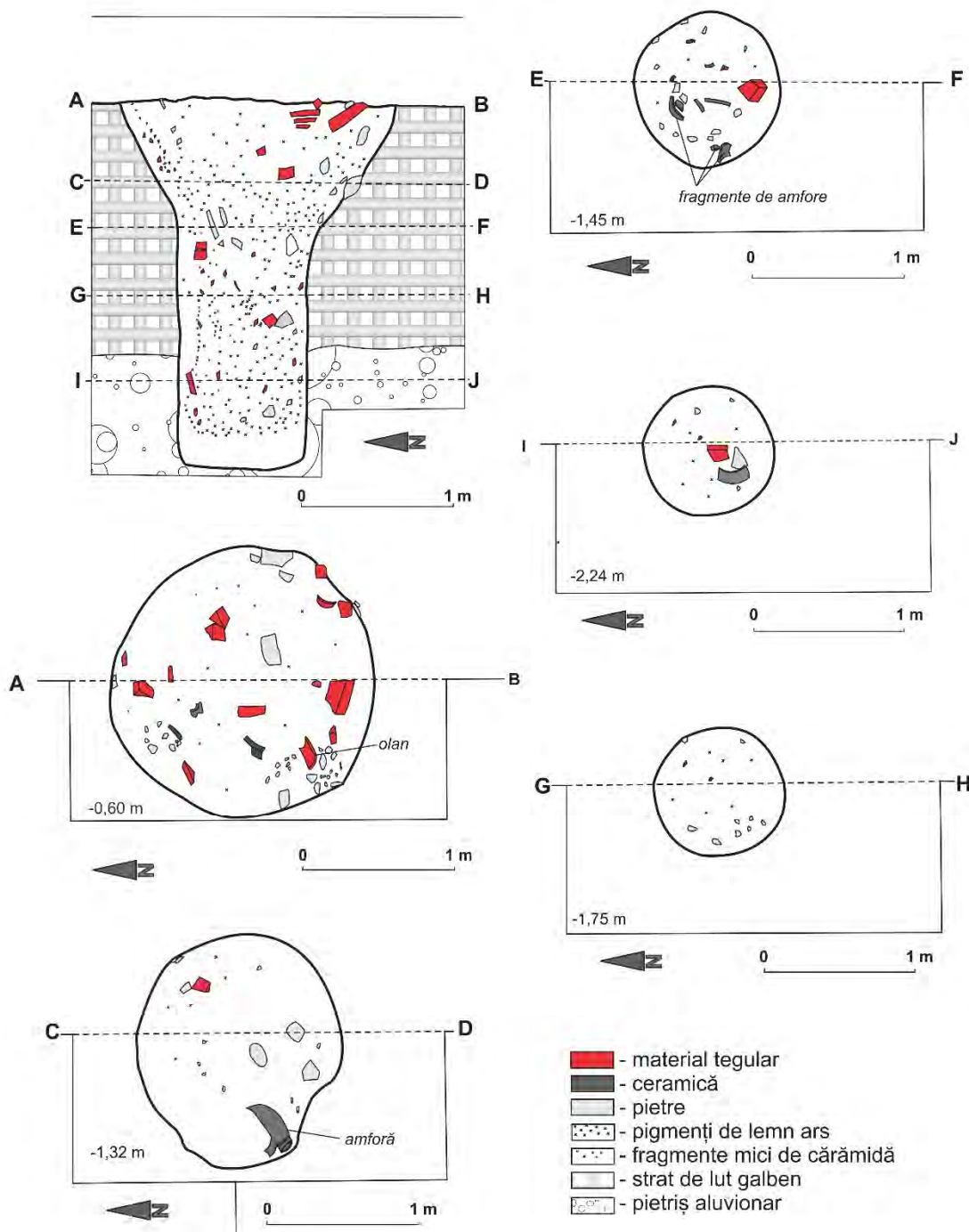
b



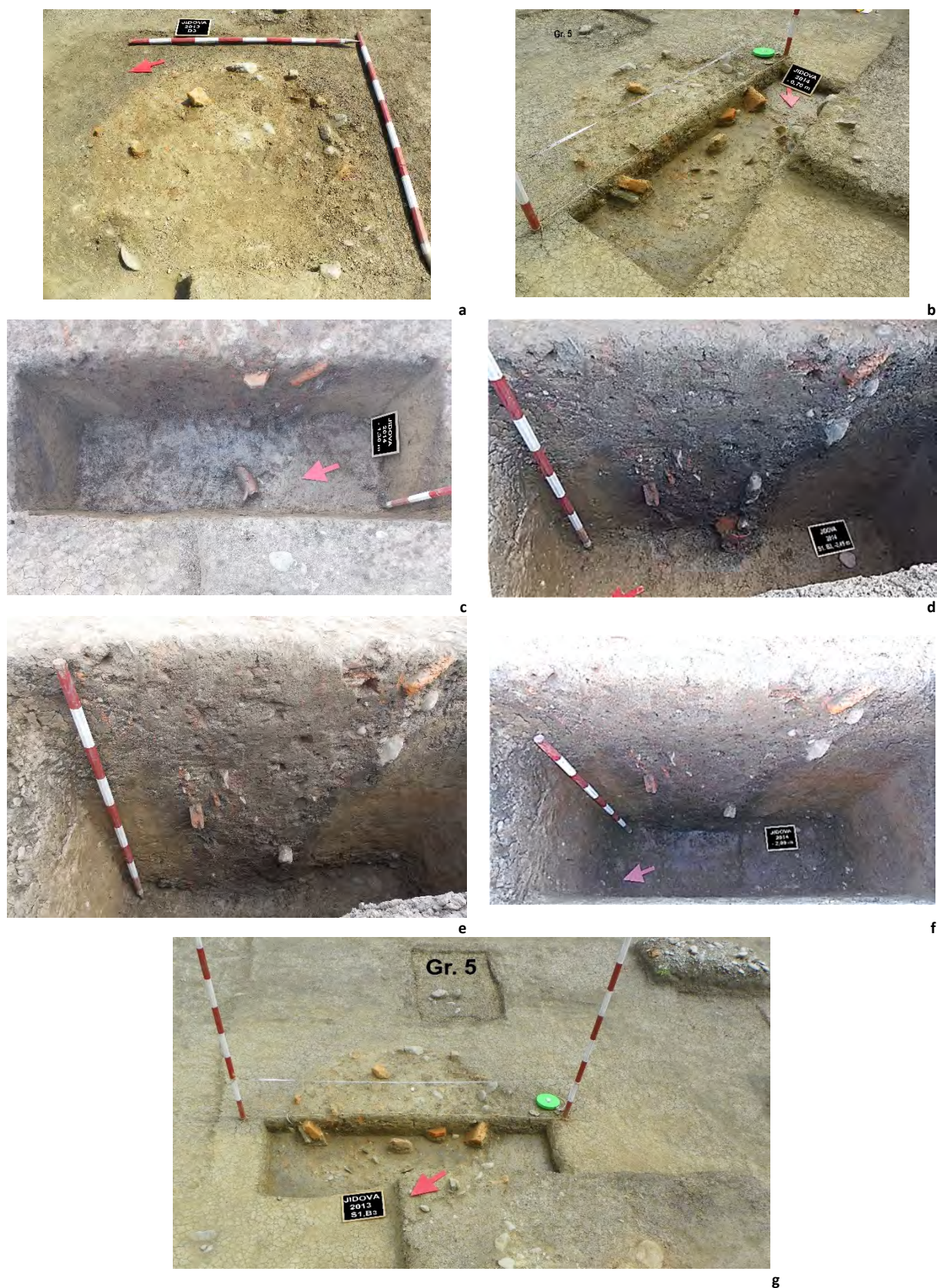
c

Planșa XII. Dispunerea gropilor de stâlpi: a) pe direcție nord-sud; b) dispunerea gropilor de stâlpi pe rândurile III-IV, direcția nord-sud; c) dispunerea gropilor cu nr. 2-3, direcția vest-est / The layout of the post-holes: a) north-south direction; b) the layout of the post-holes on the rows III-IV, north-south direction; c) the layout of the post-holes nos. 2-3, west-east direction.

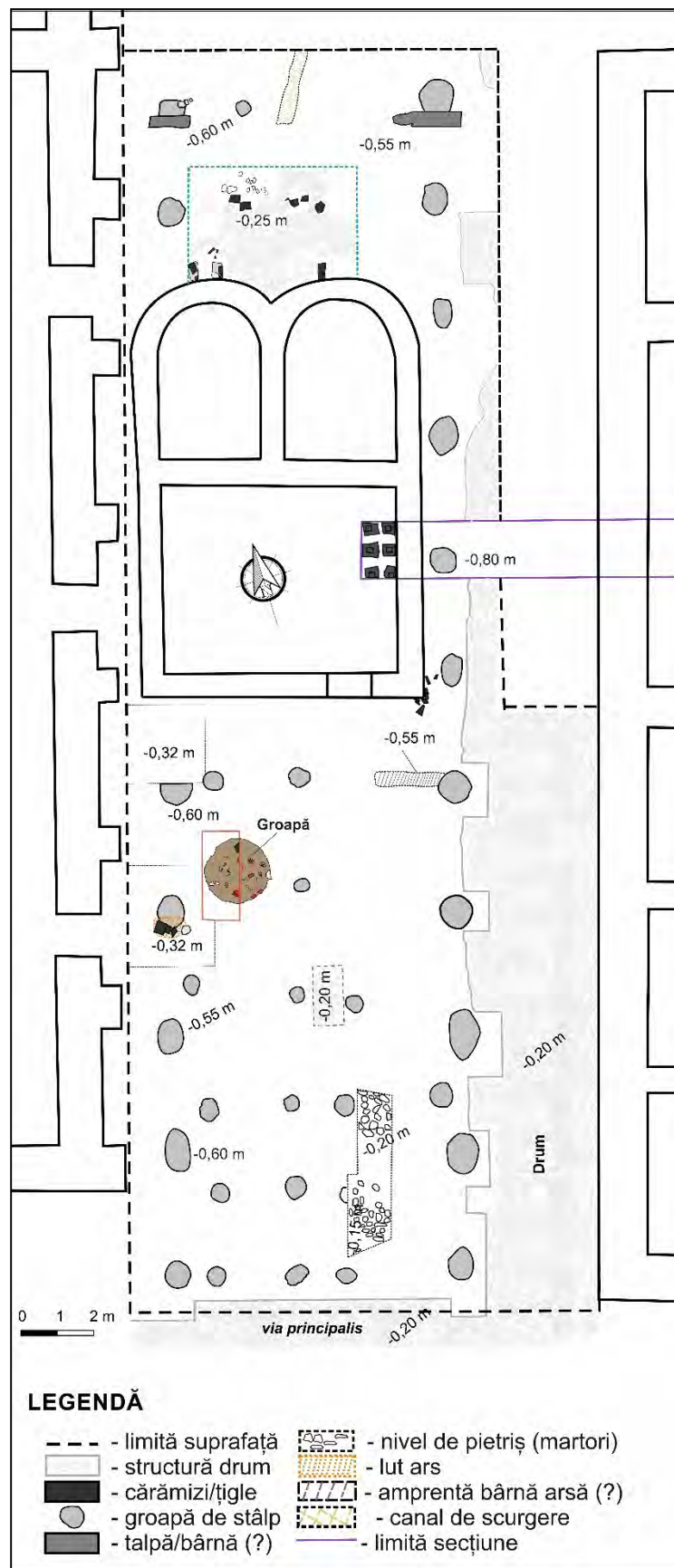
GROAPA DIN CAROURILE B2-B3.



Planșa XIII. Groapa din carourile B2-B3 / The pit from the squares B2-B3.



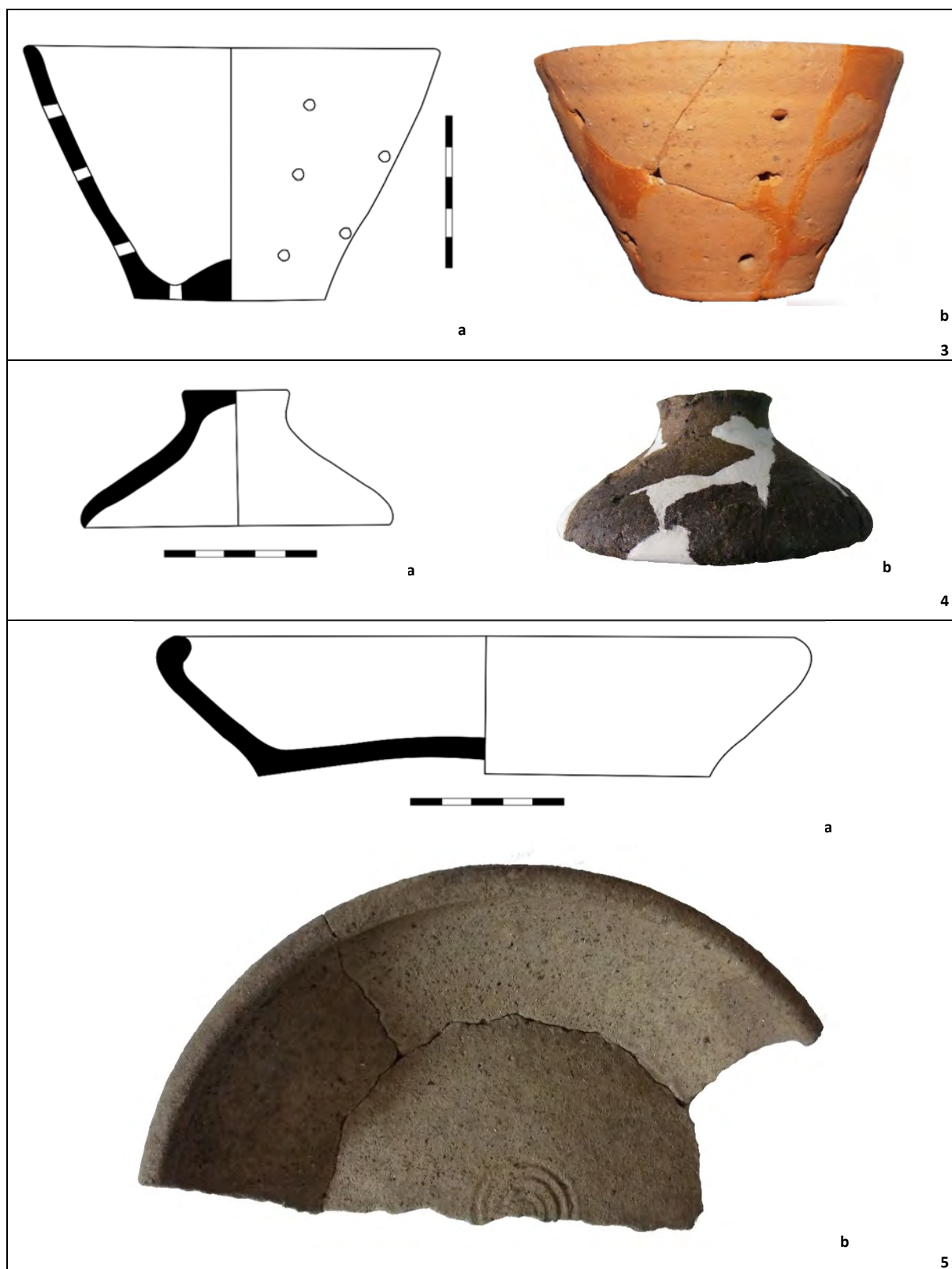
Planșa XIV. Groapa din carourile B2–B3 (puț?). a) Limita superioară a gropii (-0,60 m); b) secționarea gropii (-0,70 m); c) gât de amforă aflat în umplutura gropii; d–e) profilul gropii; f) fundul gropii; g) dispunerea gropii în raport cu groapa de stâlp nr. 5 din rândul III / The pit from the squares B2–B3 (well?). a) The upper end of the pit (-0,60 m); b) the cross-section of the pit (-0,70 m); c) neck of the amphora from the pit; d–e) the cross-section plan of the pit; f) the base of the pit; g) the layout of the pit and post-hole no. 5, row III.



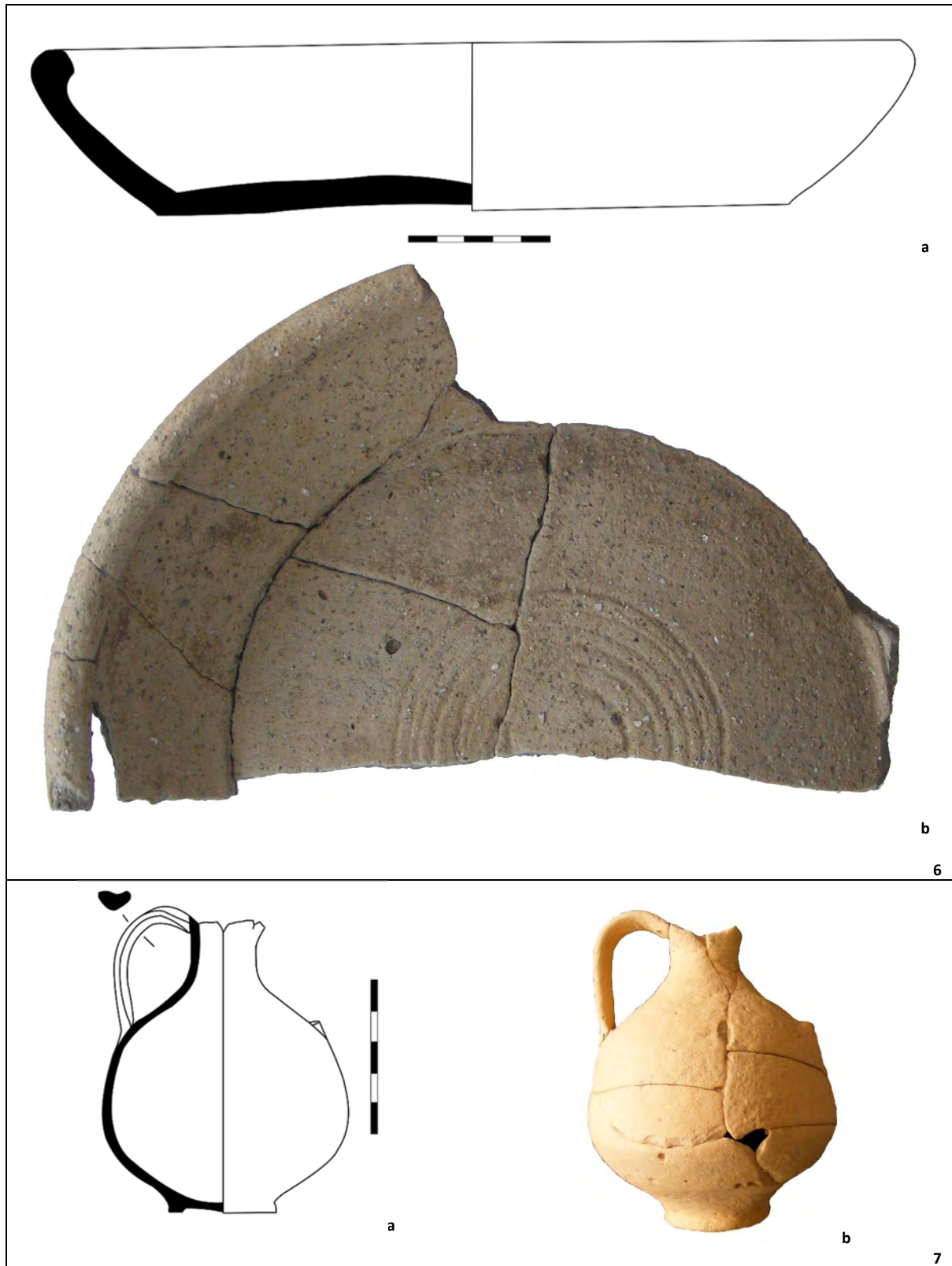
Planșa XV. Dispunerea construcției de lemn în raport cu clădirile de piatră, via principalis și stradelă / The layout of the timber building and the stone buildings, via principalis and the streetlet.



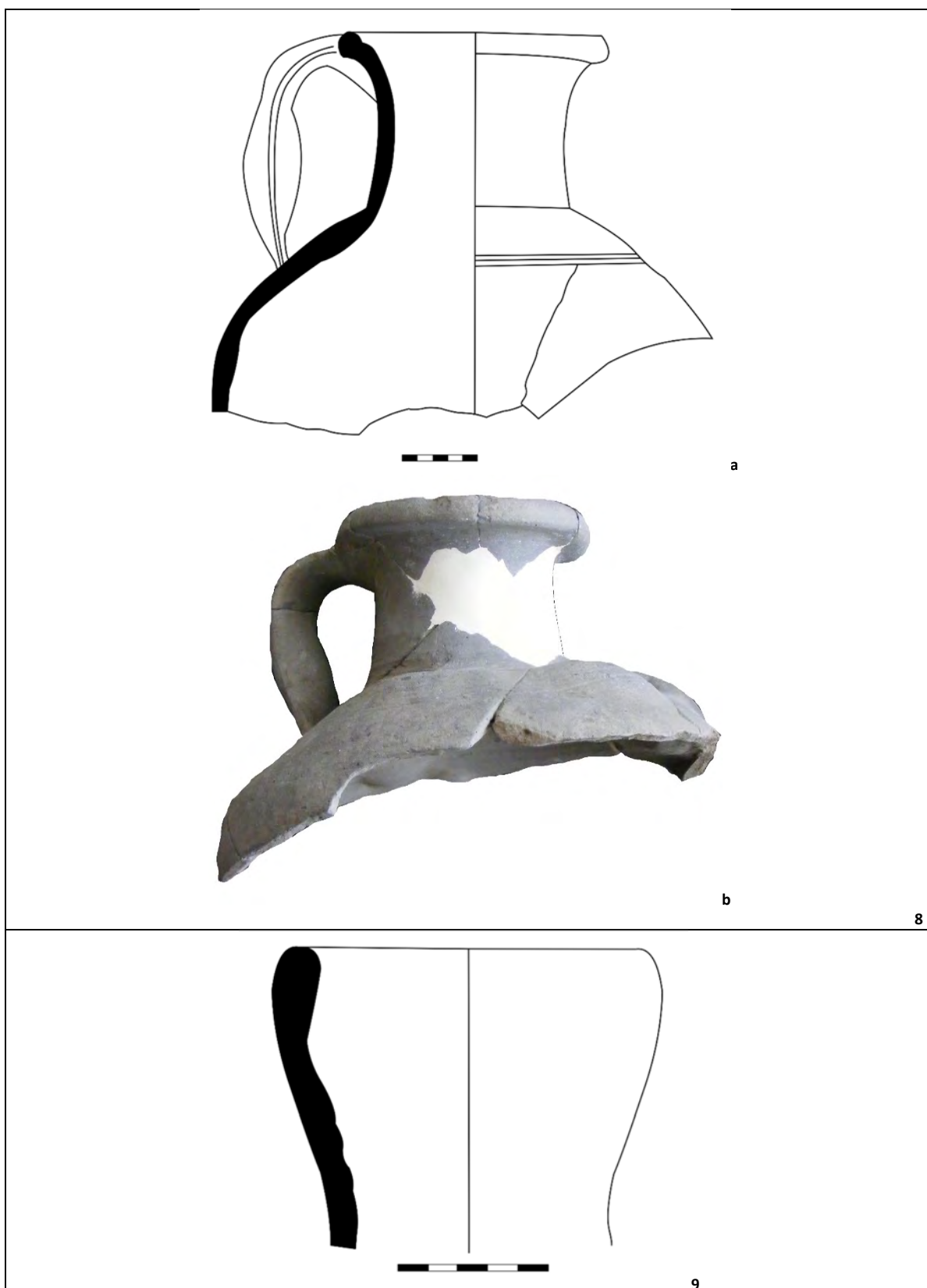
Planșa XVI. Ceramică descoperită pe nivelul corespunzător clădirii de lemn. 1. Castron; 2. Strachină cu toartă (cupă) / The ceramics uncovered on the timber building level. 1. Bowl; 2. Handled deep plate/dish (cup).



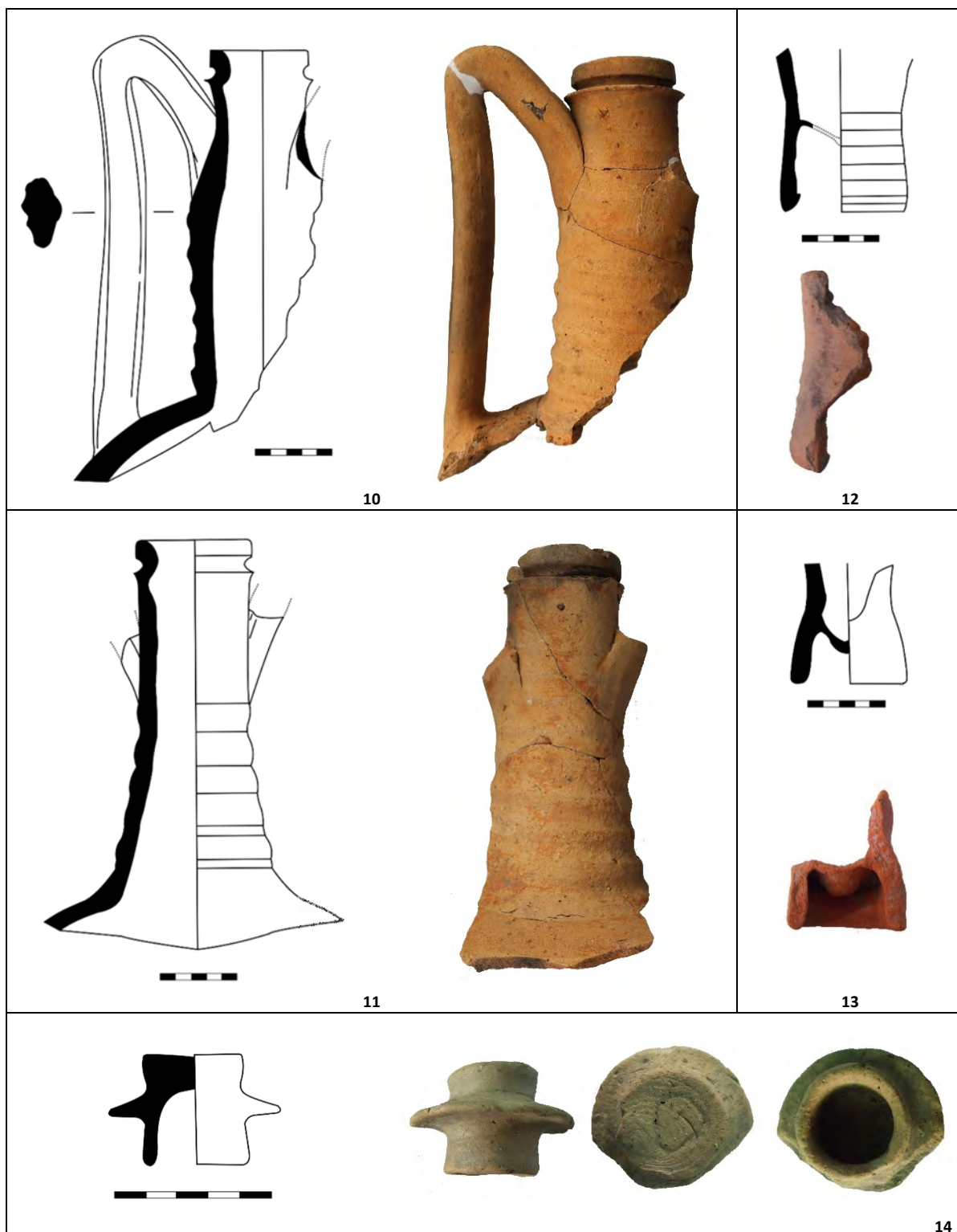
Planșa XVII. Ceramică descoperită pe nivelul corespunzător clădirii de lemn. 3. Strecurătoare; 4. Capac; 5. Farfurie / The ceramics uncovered on the timber building level. 3. Strainer; 4. Lid; 5. Plate.



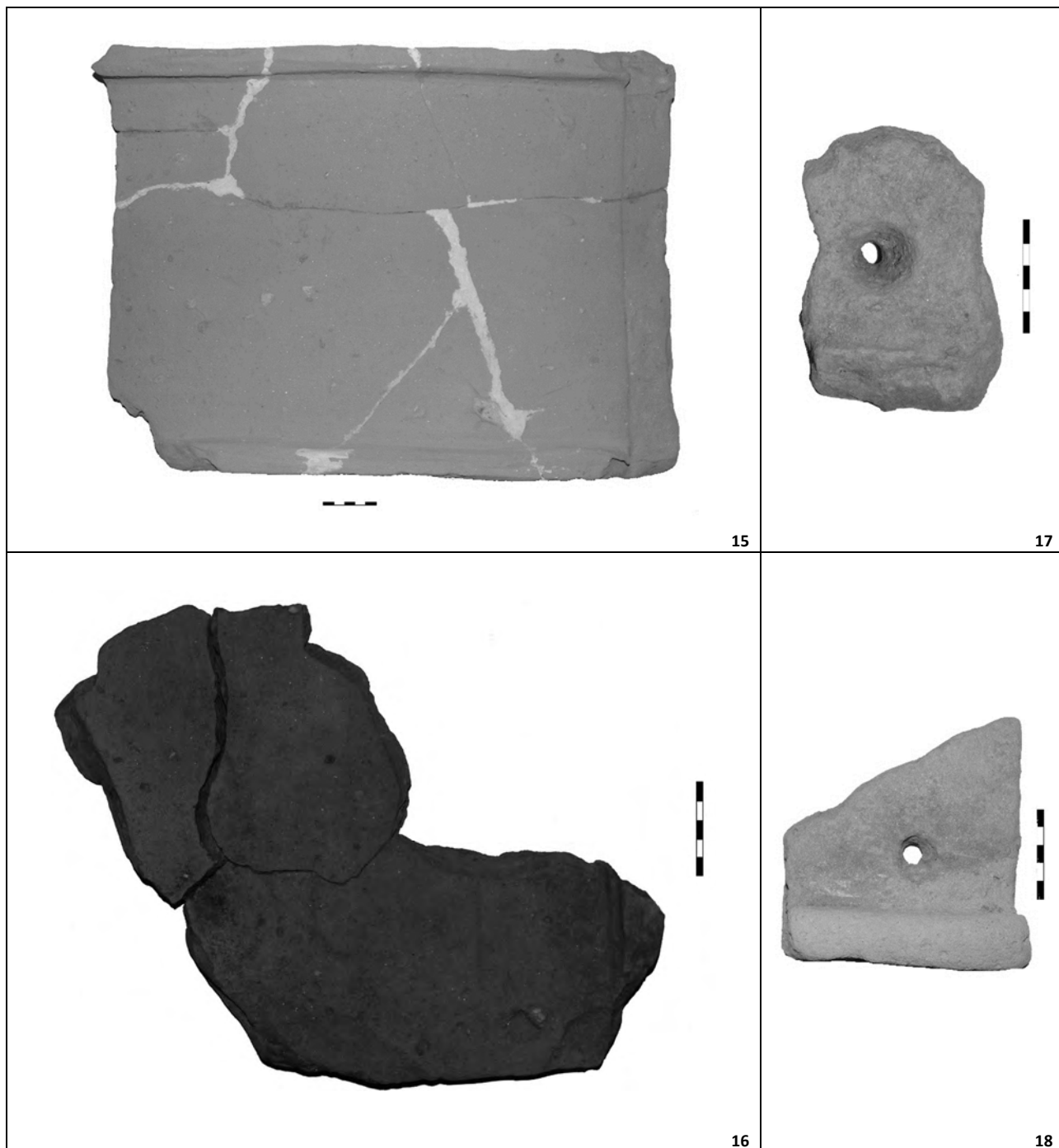
PI. XVIII. Ceramică descoperită pe nivelul corespunzător clădirii de lemn. 6. Farfurie; 7. Uciior cu două toarte (amforidion) / The ceramics uncovered on the timber building level. 6. Plate; 7. Jug with two handles.



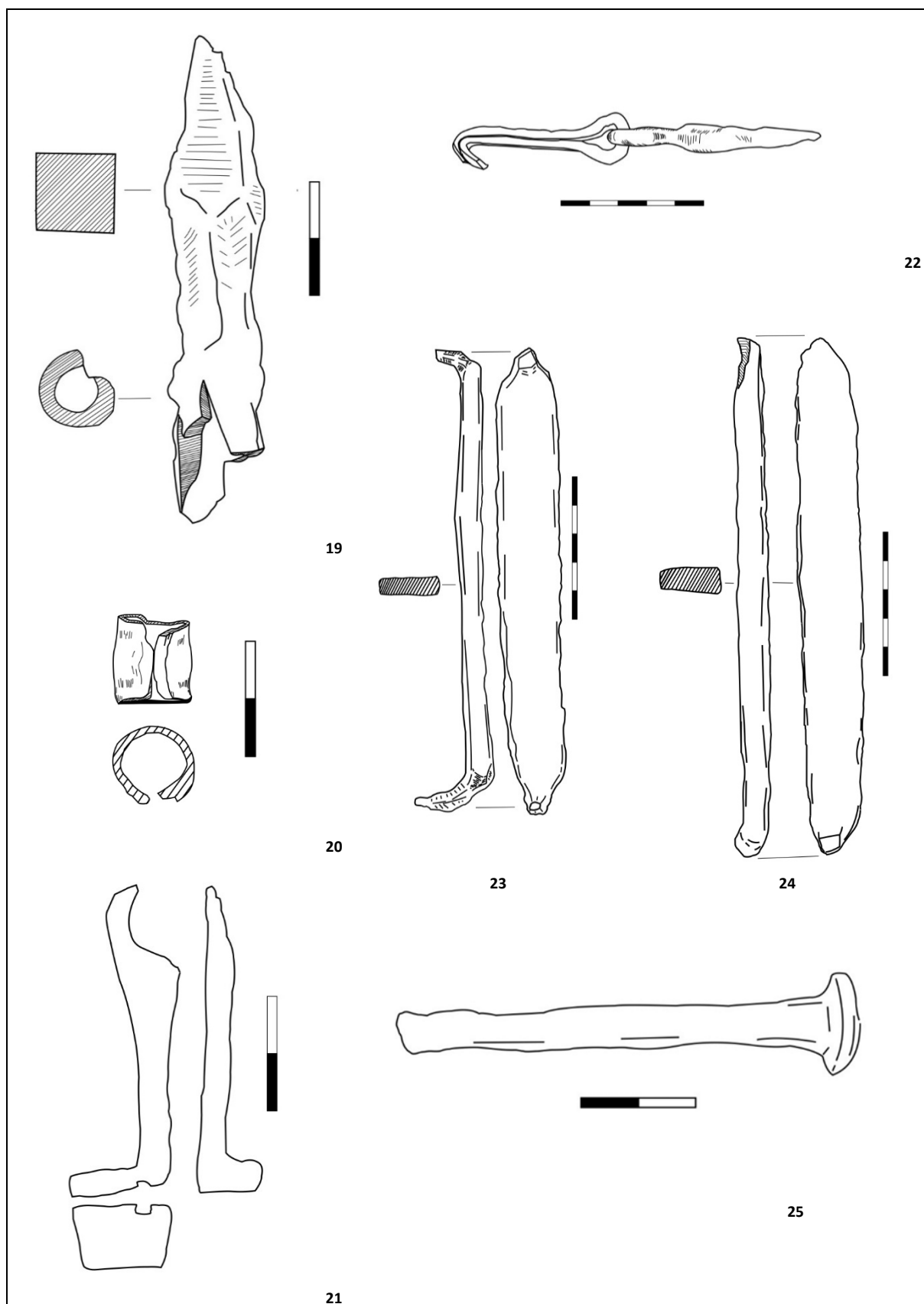
Planșa XIX. Ceramică descoperită pe nivelul corespunzător clădirii de lemn. 8. Amforetă; 9. Amforă – tip Zeest 90 / The ceramics uncovered on the timber building level. 8. Amphorette; 9. Amphora – type Zeest 90.



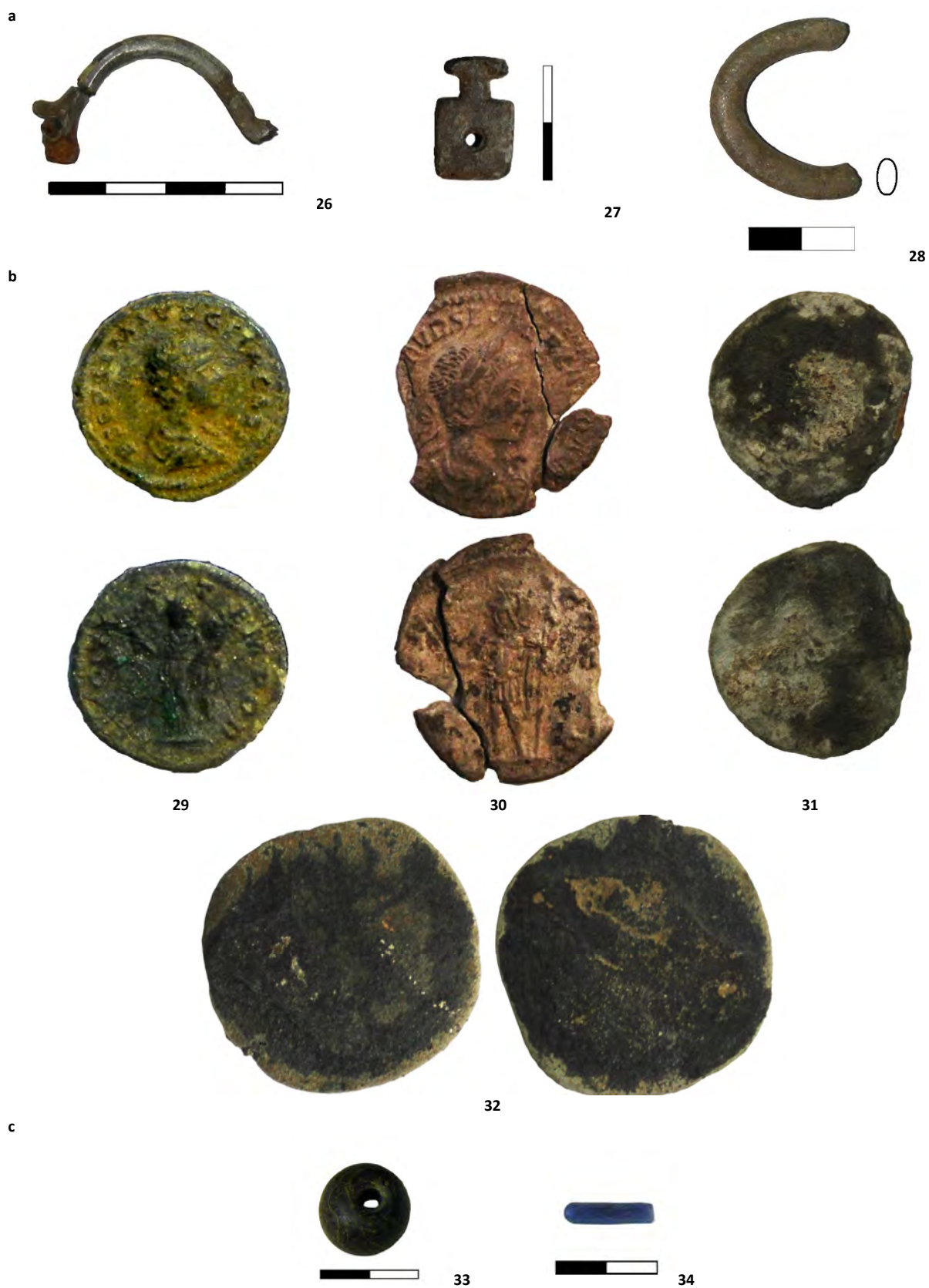
Planșa XX. Ceramică descoperită în groapa din carourile B2–B3. 11–13. Fragmente de amfore – tip Kapitän II; 12. Capac / Ceramics uncovered within the pit of the B2–B3 squares. 11–13. Fragments of amphoras – type Kapitän II; 12. Lid.



Planșa XXI. Țigle / Tiles.



Planșa XXII. Materiale de fier. 19. Vârf de suliță; 20. Tub de înmănușare fragmentar; 21. Cheie; 22. Balama; 23–24. Scoabe; 25. Cui / Iron objects. 19. Spearhead; 20. Fragmentary socket; 21. Key; 22. Hinge; 23–24. Staples; 25. Nail.



Planșa XXIII. Piese diverse și monede. a) Piese de bronz: 26. Fibulă; 27. Închizător de garnitură de armură („Panzerbeschläge”); 28. Verigă; b) monede: 29. Geta Caesar, 30. Severus Alexander, 31–32. Ilizibile; c) mărgelile de sticlă / Various objects and coins. a) Bronze objects: 26. Brooch; 27. Body-armour tie loop („Panzerbeschläge”); 28. Ring; b) coins: 29. Geta Caesar; 30. Severus Alexander; 31–32. Illegibles; c) glass beads.

MORMINTELE SARMATICE DE LA PRĂJENI (JUDEȚUL BOTOȘANI)

Nicolae URSULESCU^a, Valeriu SÎRBU^b, Liana OȚA^b, †Paul ȘADURSCHI, Maria DIACONESCU^c

^a Facultatea de Istorie, Universitatea „Alexandru Ioan Cuza”, Iași; e-mail: n.ursulescu@gmail.com

^b Institutul de Arheologie „Vasile Pârvan”, București; e-mails: valeriu_sirbu@yahoo.co.uk, loredanaota@yahoo.com

^c Muzeul Județean Botoșani; e-mail: maryadya@yahoo.com

Keywords: Prăjeni, Sarmatians, burials, funerary ritual, grave goods, pottery, adornments, dress items, toilet implements

Abstract: Between 1985 and 1988, 14 Sarmatian graves were excavated at Prăjeni (Botoșani County), in the locations known as Alimândra, Nelipești, Țarnă and Lutărie 2. These graves have not been systematically published but information about them may be found in the literature published so far. The authors intend, by this contribution, to publish the data concerning the Sarmatian finds of Prăjeni. Out of the 14 graves uncovered there, which could be considered as belonging to the Sarmatians, 13 are secondary burials in tumuli – five in Tumulus III from Prăjeni – Alimândra, two in Tumulus IV of the same location, one in the mound of Nelipești and five in the tumulus from Prăjeni – Țarnă. Considering the five Sarmatian graves from Prăjeni – Țarnă as secondary burials in older tumuli might, at first sight, arise some doubts. The authors consider that the main criterium was the intention of those who buried the dead to choose a higher ground, as they were not aware that, during the late first century AD, what it looked like a higher ground, was, in fact, soil that had slid from the southern slope of a Bronze Age tumulus. Most of the 13 graves in discussion are oriented along the N–S axis, with variations, with only two exceptions (WSW–ENE and S–N). Dorsal decubitus, with arms and legs stretched was recorded for six deceased. Reinhumation seems to be attested in Grave 4 of Tumulus III from Alimândra, where the long bones and the ribs have been arranged somehow radially around the skull and the pelvis. Grave goods were deposited in all the 13 Sarmatian secondary graves in older tumuli from Prăjeni. Except for Grave 3 in Tumulus IV from Alimândra, and possibly Grave 4 in Tumulus III of the same location (where only a pottery fragment was found), all the other 11 graves contained pottery vessels, either one (nine cases), or two (two cases). These vessels are, mainly, hand-made. The wheel-made pottery is less frequently found (five cases). Besides pottery, other categories of grave goods, such as adornments (beads, earrings, pendants, bracelet, and bells), dress items (brooches), toilet implements (mirrors), household tools (spindle whorls), and weapons were deposited in the Sarmatian graves of Prăjeni, too. The great number of items that the Sarmatians living in the area took over from the Dacians (the hand-made mug from Prăjeni – Țarnă Grave 2, the small mug from Grave 7 at the same location, the profiled brooches from Prăjeni – Alimândra Tumulus IV Grave 3 and Țarnă Grave 2, the pendants made of profiled bars from Alimândra Tumulus III Grave 3 and Țarnă Grave 9, maybe also the bucket-shaped pendants found in this last grave) should also be mentioned. The items of Dacian origin found in the graves of Prăjeni indicate the fact that some of the burials took place after the Sarmatians established relationships with the Dacians in the area, indicating a certain time span, difficult to estimate, elapsed between the precise moment of their arrival in this territory and the burials. Generally speaking, the secondary graves of the tumuli from Prăjeni can be dated between the second half of the first century AD and the first half of the next century. The five graves in the tumuli from Prăjeni – Țarnă may be of a later date than the graves in the tumuli from Alimândra and Nelipești, if we take into account the presence in three burials of the grave goods of Dacian origin. The grave from Prăjeni – Lutărie 2 differs from the previously analysed graves, as concerns the layout (flat grave), the location (grave in a settlement) as well as the grave goods. The little girl, less than seven years old was buried only with adornments: a necklace of beads and pendants, earrings and a bracelet whose analogies suggest a chronological framing in the third century AD.

Cuvinte-cheie: Prăjeni, sarmați, morminte, ritual funerar, inventar, ceramică, piese de podoabă, piese de port, obiecte de toaletă

Rezumat: Între anii 1985 și 1988 au fost cercetate 14 morminte sarmatice la Prăjeni (jud. Botoșani), în punctele Alimândra, Nelipești, Țarnă și Lutărie 2. Mormintele nu au fost publicate sistematic, dar informații despre ele pot fi găsite în literatura apărută până în acest moment. Scopul acestui articol este acela de a publica datele referitoare la descoperirile sarmatice de la Prăjeni. Din cele 14 morminte descoperite la Prăjeni, care pot fi cu certitudine atribuite sarmaților, 13 sunt înmormântări secundare în tumuli – cinci în tumulul III de la Prăjeni – Alimândra, două în tumulul IV din același punct, una în movila de la Nelipești și cinci în tumulul de la Prăjeni – Țarnă. Enumerarea celor cinci complexe funerare sarmatice de la Prăjeni – Țarnă în rândul înmormântărilor secundare în tumuli mai vechi ar putea ridica, la prima vedere, semne de întrebare. Criteriul de bază, în opinia autorilor, a fost intenția celor care au realizat înmormântarea de a alege o formă mai înaltă de teren, neștiind că ceea ce, la sfârșitul secolului I p.Chr., se vedea ca o ridicătură a terenului era, de fapt, doar pământul scurs pe panta de sud a tumulului ridicat în cursul epocii bronzului. Majoritatea celor 13 morminte aflate în discuție sunt orientate pe axa N–S, cu variații, excepțiile fiind doar două (VSV–ENE și S–N). Poziția decubit dorsal, cu brațele și picioarele întinse, a fost observată în șase cazuri. Reînhumarea pare să fie atestată în M. 4 din T. III de la Alimândra, unde oasele lungi și coastele au fost fast așezate oarecum radial în jurul craniului și al bazinului. Toate cele 13 înmormântări sarmatice secundare în tumuli mai vechi de la Prăjeni au avut inventar. Cu excepția M. 3 din T. IV de la Alimândra, posibil și a M. 4 din T. III din același punct (unde s-a găsit doar un fragment ceramic), în toate celelalte 11 morminte s-au depus vase ceramice, în număr de unul (nouă cazuri) sau două (două cazuri). Vasele sunt lucrate, cu precădere, cu mâna. Ceramica lucrată la roată este mult mai puțin întâlnită (cinci cazuri). Pe lângă ceramică, alte categorii de piese de inventar depuse în mormintele sarmatice de la Prăjeni sunt obiectele de podoabă (mărgele, cercei, pandantive, brățară, clopoței), piese de port (fibule), piese de toaletă (oglinzi), piese de uz casnic (fusaiole), arme. Ceea ce ar mai trebui menționat este prezența numărului destul de mare de piese pe care sarmații le-au preluat de la daci (cana lucrată cu mâna de la Prăjeni – Țarnă M. 2, cănița din M. 7 din același punct, fibulele puternic profilate de la Prăjeni – Alimândra T. IV M. 3 și Țarnă M. 2, pandantivele din bară profilată de la Alimândra T. III M. 3 și Țarnă M. 9, posibil și pandantivele în formă de căldărușă din acest ultim mormânt). Prezența pieselor de origine dacică în mormintele de la Prăjeni este un indiciu important al faptului că unele dintre înmormântări au avut loc după ce sarmații au stabilit relații cu dacii din regiune, ceea ce presupune un interval de timp, greu de estimat precis, scurs între momentul propriu-zis al sosirii într-un teritoriu și amenajarea înmormântărilor. Datarea generală a mormintelor secundare din tumulii de la Prăjeni este una timpurie, în intervalul de timp ce cuprinde a doua jumătate a secolului I p.Chr. și prima jumătate a secolului următor. Nu este exclus ca cele cinci morminte din tumulul de la Prăjeni – Țarnă să fie mai târzii decât mormintele din tumulii de la Alimândra și Nelipești, având în vedere prezența, în trei complexe funerare, a pieselor de origine dacică.

Mormântul de la Prăjeni – Lutărie 2 se deosebește de mormintele discutate anterior atât ca amenajare (mormânt plan), amplasare (mormânt practicat într-o așezare), cât și ca inventar. Fetița, cu vârsta mai mică de șapte ani, a fost înmormântată doar cu piese de podoabă: colier din mărgelă și pandantive, cercei și brățară, ale căror analogii pledează pentru o încadrare în secolul al III-lea.

Cele 14 morminte sarmatice de la Prăjeni (județul Botoșani) au fost cercetate, între anii 1985 și 1988, de către un colectiv format din Nicolae Ursulescu, regretatul Paul Șadurschi și Maria Diaconescu, rezultatele cercetărilor fiind comunicate cu ocazia sesiunilor anuale de rapoarte arheologice de la Deva (1986), Timișoara (1987), Pitești (1988) și Sibiu (1989)¹. Mormintele nu au fost publicate sistematic, dar informații despre ele pot fi găsite în literatura apărută până în acest moment². Rândurile care urmează își propun să sistematizeze și să pună în circuitul științific datele referitoare la aceste descoperiri³. Pentru o lectură mai ușoară, informațiile au fost organizate de la început într-un catalog, care, pentru a fi cât mai complet, va relua, inevitabil, unele informații deja publicate în bibliografia indicată la fiecare punct sau descoperire.

În catalog, descoperirile sunt ordonate după cele patru puncte în care s-au efectuat cercetările de la Prăjeni – *Alimândra, Nelipești, Țarnă și Lutărie 2*, iar descrierea tumuliilor, a complexelor funerare și a pieselor de inventar urmează același model după care doi dintre autorii acestui studiu au mai publicat și alte morminte sarmatice⁴.

CATALOG⁵

I. Prăjeni – Alimândra

- localizare: punct aflat în stânga șoselei Prăjeni–Plugari, la 2,300 km est de centrul satului și 42,300 km față de Botoșani⁶, pe un fragment din terasa râului Miletin, între punctele *Țarnă și Nelipești*;
- cercetare: sistematică, 1986 (Nicolae Ursulescu, Paul Șadurschi, Maria Diaconescu);
- descoperiri: doi tumuli (T. III și T. IV), situați la circa 50 m distanță unul de celălalt, pe direcția N–S⁷, puternic aplatați⁸;
- înmormântări: două morminte principale cu ocră; 13 înmormântări secundare, dintre care șapte sigur sarmatice, iar șase, lipsite de inventar, cu datare incertă (dintre care patru posibil sarmatice și una, probabil, din epoca bronzului);
- Bibliografie: Șadurschi, Ursulescu 1989, p. 289, nr. 34; Ursulescu *et alii* 1996, p. 92, nr. 212 A; Ursulescu *et alii* 1997, p. 77; Șovan 2013, p. 339, nr. 34–35.

Tumulul III (Pl. I)

- dimensiuni: inițiale 28,5 (pe axul E–V) × 25 (pe axul N–S) m; actuale 40 × 29 m, H = 1 m;

- mod de construcție (Pl. I/2–3): la baza tumulului s-a observat un strat de lut galben-deschis, suprapus de un strat de lut galben-închis, gros de aproximativ 0,25 m, ambele sterile arheologic; stratul antic de cultură, de culoare cenușiu-negricioasă (cu grosimea cuprinsă între 0,16 și 0,43 m), mai gros spre nord și mai subțire spre sud, urmează panta naturală a terenului, cu urme sporadice aparținând culturii Cucuteni; de la partea superioară a acestui strat s-a săpat mormântul cu ocră. Deasupra mormântului principal a fost împrăștiată o peliculă, groasă cam de 10 cm, de lut amestecat cu pământ negru, vizibilă pe o porțiune de 5,5 cm pe ambele părți ale gropii. La ridicarea movilei, acest strat a fost săpat, în parte, și înlocuit cu un nucleu de argilă, mai consistent în partea de sud a movilei, gros de 0,25 m, peste care s-a depus pământ negru (gros. = 0,35 m). Spre nord, nucleul movilei constă în pământ negru, amestecat cu puțin lut (gros. = 0,36 m). Pământul negru de umplutură al movilei s-a scurs spre poale, mai ales în partea ei sudică, schimbând, în decursul timpului, forma și dimensiunile tumulului – inițial, tumulul avea formă ovală, pe direcția E–V și dimensiunile 28,5 × 25 m, iar în momentul începerii săpăturilor, părea orientat pe direcția N–S și avea dimensiunile de 40 × 29 m (Pl. I/1);

- înmormântări: mormânt central cu ocră (M. 7); șapte înmormântări secundare, dintre care cinci (M. 1–4, 8) sigur sarmatice și două incerte, posibil sarmatice (M. 5–6);
- alte descoperiri: piesă de silix în S I;
- bibliografie: Ursulescu *et alii* 1997, p. 77.

M. 1 (Pl. II/1)

- rit: inhumăție;
- adâncime: -0,18 m–0,20 m;
- orientare: probabil NNV–SSE;
- poziție: întins pe spate;
- conservare: distrus în cea mai mare parte de lucrări agricole; s-au păstrat, mai ales, oasele craniului; alte oase, aparținând probabil aceluiași schelet, au fost găsite spre SSE, antrenate de plug;
- observație: se suprapune parțial, în zona capului, cu M. 2.

Inventar:

1. câteva fragmente de la un gât de amforă

- conservare: sfărâmate de plug;
- poziție: în zona scheletului.

M. 2 (Pl. II/1)

- rit: inhumăție;
- orientare: N–S;
- poziție: întins pe spate, cu brațele pe lângă corp;
- conservare: craniul și toracele deranjate, brațele nu s-au păstrat integral;
- observații: suprapus de M. 1, care a tăiat și distrus parțial craniul și toracele defunctului din M. 2; L schelet = aprox. 1,75 m;
- bibliografie: Ursulescu 2004, p. 55, 56; Ciucălău 2018, p. 34, nr. 56, p. 38, nr. 64.

Inventar:

1. Vas

- conservare: păstrat fragmentar;

inventar din mormintele publicate cu acest prilej, precum și Mihaelei Cioc și lui Mircea Dabica pentru prelucrarea ilustrației acestui articol.

⁴ Sîrbu *et alii* 2014, p. 15–91.

⁵ Abrevierile folosite sunt: H – înălțime; L – lungime; d. – diametru; d.g. – diametrul gurii; d.m. – diametrul maxim; d.f. – diametrul bazei; lat. – lățime; gros. – grosime; T. – tumul; M. – mormânt.

⁶ Ursulescu, Șadurschi 1986, p. 15.

⁷ Ursulescu, Șadurschi 1986, p. 15.

⁸ Șovan 2013, p. 339, nr. 34–35.

¹ Ursulescu *et alii* 1997, p. 78.

² Ursulescu, Șadurschi 1986; Șadurschi, Ursulescu 1989, p. 288–289, nr. 31, 34–35; Ursulescu *et alii* 1996; Ursulescu *et alii* 1997, p. 77, nr. 53; Ursulescu 2004, p. 55–56; Șovan 2013, p. 339, nr. 34–35; Ciucălău 2018. Mormintele din epoca bronzului au fost incluse în catalogul publicat de Florentin Burtănescu (2002, p. 128–130).

³ Mulțumim încă o dată lui Aurel Melniciuc, manager al Muzeului Județean Botoșani și lui Daniel Ciucălău, pentru tot sprijinul acordat pe parcursul studierii pieselor. Le adresăm mulțumiri și pe această cale lui Sebastian Ciupu, care a realizat desenele și fotografiile pieselor de

- tehnică, material: lucrat cu mâna, pastă având ca ingredient cioburi pisate, arsă incomplet, cu miezul și interiorul negricioase, iar suprafața exterioră gălbui-roșiatică, bine lustruită;
- forma: bitronconic;
- poziție: la cap.

2. Vas

- conservare: păstrat fragmentar;
- tehnică, material: lucrat cu mâna, pastă având ca ingredient cioburi pisate, arsă incomplet, cu miez și interior negricioase și suprafața exterioră gălbui-roșiatică, bine lustruită;
- forma: ulcică, peretele ușor curbat, baza plată și îngroșată;
- poziție: la picioare.

3. opt fragmente de fier, de la un pumnal (L fragmentelor păstrate = 11–14 cm, lat. lamă = 3,5 cm) (Pl. II/2)

- conservare: puternic oxidat, restaurat și întregit ipotetic ca pumnal cu inel la mâner; se mai păstrează fragmente de lamă de fier, cu două tășuri, alcătuită din două părți, lipite la cald, care acum au expandat, îndepărtându-se una de cealaltă. La capătul superior se observă o proeminență dreptunghiulară, tot din fier;
- poziție: lângă șold și femurul drept, fragmentele fiind răspândite pe o lungime de 26 cm;
- nr. inv. 14 427 (Muzeul Județean Botoșani, abreviat de acum înainte MJB).

4. Rondele de sticlă – două exemplare, una albastră (d. = 1,35 cm, H = 0,3 cm, d. orificiu = 0,6 cm) (Pl. II/3) și cealaltă neagră (neidentificată în colecțiile muzeului)

- forma: plate, perforate, cu orificiu larg;
- poziție: în stânga genunchiului drept;
- nr. inv. 16 711 (MJB).

M. 3 (Pl. III/1)

- rit: inhumatie;
- adâncime: -0,30 m în zona capului și a urciului și -0,50 m în zona picioarelor;
- orientare: NNV–SSE;
- poziție: întins pe spate, cu brațele pe lângă corp;
- conservare: craniul foarte bine păstrat;
- sex: feminin⁹;
- observații: mormânt aflat în partea estică a S I; L schelet = 1,60 m;
- bibliografie: Ursulescu 2004, p. 55; Ciucălău 2018, p. 22, nr. 23, p. 34, nr. 57–58, p. 35, nr. 61, p. 36, nr. 62.

Inventar:

1. Cană (H = 12,8–13,3 cm, d.g. = 8,5–8,7 cm, d.m. = 13 cm, d.b. = 5,5 cm, lat. toartă = 1,8 cm, gros. toartă = 0,9 cm, lat. scurgere = 2 cm, H pereți scurgere = 0,5 cm) (Pl. III/2; IV/1)

- conservare: întregă, foarte puțin ciobită la buză și pe toartă;
- tehnică, material: lucrat la roată, pastă roșie, cu ingrediente albe, însă omogenă, angobă roșie-maronie pe partea superioară și pe interiorul buzei, sfertul inferior al corpului nu are vopsea;
- forma: gura evazată, buza plată, cu scurgere marcată de doi „pereți” înălțați din buză, gât înalt, bombat la mijloc, corp bitronconic, baza plată, ușor concavă, adâncită spre mijloc, o toartă mică, având două caneluri la extremități, una aplatizată și una mai pronunțată, prinsă neglijent pe umăr și pe diametrul maxim;
- decor: șănțuire pronunțată la îmbinarea dintre gât și corp; o șănțuire superficială imediat dedesubtul acesteia; șănțuire mai puțin adâncită deasupra diametrului maxim, la jumătatea părții superioare a corpului;
- poziție: lângă craniu;
- nr. inv. 14 428 (MJB).

2. Mărgele – 29 exemplare (Pl. III/6; IV/5)

- material, formă, dimensiuni:

a. 27 din carneol, roșcat-maroonii

- forma: trei mici, alungite (Pl. III/6b, h; IV/6b, h); două mici, sferice (Pl. III/6g; IV/6g); restul sferice, de mărimi diferite (două foarte mari, cu orificiu neregulat, mai subțire într-o parte și mai larg în partea cealaltă – Pl. III/6d; IV/6d), trei medii – Pl. III/6e; IV/6e, restul mai mici – Pl. III/6f;

- IV/6f); dimensiuni: cele alungite H = 0,6–0,7 cm, d. = 0,4–0,5 cm; cele foarte mari H = 1,15–1,2 cm, d. = 1,6 cm; cele medii H = 0,9 cm, d. = 1,1–1,3 cm; restul H = 0,6–0,7 cm, d. = 0,9–1 cm;

- b. 1 din sticlă translucidă, sferică, mare; H = 0,9 cm, d. = 1,5 cm (Pl. III/6c; IV/6c);

- c. 1 din sticlă albă, mată, sferică, mică; H = 0,5 cm, d. = 0,6 cm (Pl. III/6a; IV/6a);

- poziție: în zona gâtului și a toracelui, și doar una (cea mai mare) în dreptul articulației femurului drept cu bazinul;
- nr. inv. 14 432 (18 515–18 543 conform Ciucălău 2018) (MJB).

3. Cercel cu pandantiv (d. verigii mari = 2,2 cm, gros. verigii mari = 0,1 cm; d. verigii mai mici = 1,3 cm, gros. verigii mai mici = 0,1 cm, L pandantiv = 1,8 cm, lat. capăt = 0,6 cm, d. max. romb = 0,4 cm) (Pl. III/5; IV/4)

- material: sârmă de bronz;
- forma: verigă cu un capăt îndoit în formă de cârlig, iar celălalt capăt introdus în cârlig, de care era prinsă o verigă mai mică, cu capetele înfășurate în două și trei spire, pe care este prins pandantivul din bară profilată, cu un capăt aplatizat, tronconic, perforat, sub care se văd profilaturi transversale, corpul rombic, cu laturile superioare mai scurte și cele inferioare mai lungi, capătul opus profilat, cu picior tronconic;
- poziție: la articulația femurului stâng cu bazinul, probabil mutat de o rozătoare;
- nr. inv. 14 429 (MJB).

4. Oglindă (d. = 4,8 cm, gros. = 0,1 cm, lat. bandă decor = 0,1–0,2 cm) (Pl. III/3; IV/2)

- conservare: oxidată, porțiunile lustruite alternează cu cele poroase, pe față și pe verso;
- material: aliaj de bronz și argint;
- forma: circulară, plată, ușor concavă pe verso, ușor mai groasă într-o parte;
- decor: bandă neregulată, îngustă, lustruită, pe marginea feței;
- poziție: la aproximativ 10 cm de talpa stângă;
- nr. inv. 9644 (MJB).

5. Fusaioală (H = 2,9 cm, d. max. = 3,5 cm, d. orificiu = 0,6 cm) (Pl. III/7; IV/7)

- material: ceramică maronie în partea superioară și negricioasă în partea inferioară;
- forma: partea superioară înaltă, tronconică, partea inferioară mai scundă, tronconică, cu baza concavă;
- poziție: lângă cotul drept;
- observație: posibil ca lângă brațul drept să fi fost un fus de lemn;
- nr. inv. 14 431 (MJB).

6. Fragment de placă de os, probabil de la o piesă circulară (tub?) (L păstrată = 3,9 cm, gros. = 0,25 cm) (Pl. III/8; IV/8)

- conservare: rupt complet la un capăt, în partea opusă capătul propriu-zis se mai păstrează pe o foarte mică porțiune;
- forma: rotunjită, lustruit pe ambele părți;
- decor: două incizii paralele, imediat sub un capăt;
- poziție: la dreapta pieptului.

7. Piesă de os (d. = 2,3 cm, gros. = 0,3 cm) (Pl. III/4; IV/3)

- material: os, o suprafață netedă, șlefuită și una poroasă;
- forma: circular, cu profil tronconic, cu un mic orificiu în centrul fiecărei fețe, însă piesa nu este perforată dintr-o parte într-alta;
- decor: incizie circulară, pe marginea feței șlefuite;
- observație: pe fața poroasă se observă o zgârietură oblică, dar care nu ajunge până la orificiu;
- poziție: în stânga picioarelor;
- nr. inv. 16 735 (MJB).

8. Piesă din bronz (d. = 0,5 cm, gros. = 0,1 cm)

- material: sârmă de bronz;
- conservare: oxidată;
- forma: minusculă, cu capetele suprapuse;
- poziție: în dreptul articulației genunchiului stâng.

M. 4 (Pl. V/1)

⁹ Cu o singură excepție, aceea a osemintelor umane din mormântul de la Prăjeni – *Lutărie 2*, scheletele nu au beneficiat de analiză

antropologică, așadar estimările privind sexul și vârsta se datorează arheologilor.

- rit: inhumăție;
- adâncime: -0,40 m;
- orientarea gropii: axul lung pe direcția N-S;
- observații: reinhumat; oasele lungi și coastele așezate oarecum radial în jurul craniului și bazinului, aflate în centru; oasele depuse într-o alveolă (d. aprox. 1,30 × 0,70 m, surprinsă la o adâncime de -0,20 m la partea superioară și -0,40 m la partea inferioară);
- bibliografie: Ursulescu *et alii* 1997, p. 77; Ursulescu 2004, p. 56; Ciucălău 2018, p. 35, nr. 59-60.

Inventar:**1. Fragment ceramic**

- material: pastă cu cioburi pisate în compoziție, fața exterioară roșiatică, cea interioară neagră.

2. **Fibulă** (L = 5,7 cm, lat. corp = 0,4 cm, lat. cap = 1,1 cm, gros. corp = 0,1 cm, d. ac = 0,2 cm) (Pl. V/2)

- material: tablă de bronz;
- conservare: fragmentară;
- forma: arc simplu, coarda petrecută pe dedesubt, patru spire (câte două de fiecare parte), acul păstrat fragmentar, portagrafa în formă de teacă semicirculară;
- poziție: în mormânt;
- nr. inv 16 726 (MJB).

3. Cuțit (?)

- conservare: se mai păstrează doar un fragment de fier, puternic oxidat;
- forma: posibil de la o piesă în teacă de lemn, ale cărei urme sunt vizibile pe o parte a fragmentului;
- poziție: în mormânt, împreună cu oasele.

4. **Aplică** (H = 0,55 cm, d. = 2-2,1 cm, d. orificiu = 0,5 cm) (Pl. V/3)

- material: os;
- forma: tronconică, orificiu larg;
- poziție: spre nord, la -0,35 m;
- nr. inv. 16 727 (MJB).

M. 5 (incert, posibil tot sarmatic) (Pl. VI/1)

- rit: inhumăție;
- adâncime: -0,40-0,55 m;
- orientare: V-E;
- poziție: întins pe spate, capul pe dreapta, brațele pe lângă corp;
- conservare: foarte bine păstrat;
- observații: mormânt găsit în S 2.

Inventar:**1. Os de animal**

- poziție: în stânga craniului.

M. 6 (incert, posibil tot sarmatic) (Pl. VI/2)

- rit: inhumăție;
- adâncime: -0,70 m;
- orientarea gropii: V-E;
- poziție: craniul pe dreapta, posibil și scheletul să fi fost culcat pe dreapta;
- conservare: foarte distrus, craniul complet turtit;
- vârsta: copil;
- observații: mormânt găsit în S 2, în marginea de sud a tumulului; resturile de oase se întind pe o lungime de 0,60 m.

Inventar:**1. Fragment buză vas** (d. buzei = 6 cm)

- tehnică, material: lucrat cu mâna, pastă gălbuie, cu miez negricios, suprafața netezită;
- poziție: în zona unde ar fi trebuit să se aflat picioarele;
- observație: nu este cert că vasul aparține mormântului.

M. 8

- rit: inhumăție;
- adâncime: -0,35 m;
- orientarea gropii: N-S;
- observații: conținutul gropii a fost total răvășit de lucrările agricole; s-au mai găsit câteva fragmente de oase umane răspândite în zonă (inclusiv din calota craniană și din maxilar), iar în preajma gropii s-a găsit un fragment de maxilar uman; mormânt găsit în S 3.

Inventar:

- câteva fragmente din gâtul unei **amfore**
- poziție: împreună cu fragmentele osteologice umane.
- mic **fragment** de tablă de cupru
- poziție: în preajma gropii.

Tumulul IV (Pl. VII)

- dimensiuni: inițiale 29 m (pe axul E-V) × 23 m (pe axul N-S); actuale 33 × 26 m, H = 0,40 m;
- mod de construcție: similar cu al T. III;
- înmormântări: mormânt principal cu ocru (M. 6), șase înmormântări secundare, dintre care două sigur sarmatice (M. 3-4), alte două posibil sarmatice (M. 2, M. 7) și una posibil din epoca bronzului (M. 5);
- alte descoperiri: toartă de amforă, la -0,70 m, în stratul acoperit de umplutura scursă a movilei; piesă de silex la -0,60 m, în pământul de umplutură al tumulului;
- observație: centrul tumulului a fost răvășit de o tranșee militară, care a deranjat partea superioară a M. 4;
- Bibliografie: Ursulescu *et alii* 1997, p. 77.

M. 2 (incert, posibil tot sarmatic) (Pl. VI/3)

- rit: inhumăție;
- orientare: V-E;
- poziție: întins pe spate, cu capul spre dreapta, brațul stâng pe lângă corp;
- conservare: lipsesc aproape integral partea inferioară și cea dreaptă a corpului;
- vârstă, sex: probabil bărbat;
- observații: mormânt găsit în S 2; coloana vertebrală arcurit în partea superioară spre dreapta; L schelet = aprox. 1,60 m;
- fără inventar.

M. 3 (Pl. VIII/1)

- rit: inhumăție;
- adâncime: -0,50 m în zona picioarelor;
- orientare: S-N;
- poziție: întins pe spate, cu capul pe dreapta, aplecat spre piept, picioarele îndoite de la genunchi în sus, ulterior căzute pe dreapta, astfel încât oasele piciorului stâng le acoperă pe cele ale piciorului drept;
- conservare: dantura completă, fără lipsuri și fără carii;
- vârstă, sex: de cel puțin 50 de ani (judecând după gradul de tocire a dinților), probabil feminin;
- observații: mormânt găsit în S I, spre peretele estic;
- bibliografie: Ursulescu *et alii* 1997, p. 77; Ursulescu 2004, p. 55; Ciucălău 2018, p. 33, nr. 55, p. 36, nr. 63.

Inventar:

1. **Mărgelă** – două exemplare (H = 0,2 cm, d. = 0,3 cm) (Pl. VIII/7)

- conservare: una întregă, una ciobită;
- material: sticlă neagră;
- forma: circulare, minuscule;
- poziție: în dreptul genunchilor.
- 2. **Fibulă** (L păstrată = 3,1 cm, lat. = 1,9 cm, H = 1,3 cm, lat. picior = 0,3 cm, lat. corp = 0,2 cm) (Pl. VIII/2, 8)
- conservare: fragmentară, capătul piciorului rupt, coarda și portagrafa rupte, lipsește acul;
- material: bronz;
- forma: puternic profilată, cu o nodozitate pe arc, capătul arcului marcat printr-o altă nodozitate, coarda pe deasupra axului, șase spire într-o parte și trei spire în cealaltă parte;
- poziție: în pământul din zona pieptului, conform carnetului de săpătură (Ciucălău 2018 o menționează ca fiind găsită în partea dreaptă a pieptului, cu toate că pe plan apare în stânga);
- nr. inv. 16 712 (MJB).

3. **Piese de bronz** – trei exemplare (H piesa 1 = 1,5 cm, d. piesa 1 = 0,85 și 0,3 cm, gros. sârmă piesa 1 = 0,01 cm; H piesa 2 = 1,9 cm, d. piesa 2 = 0,65 cm, gros. sârmă piesa 2 = 0,05 cm; H piesa 3 = 1,5 cm, d. piesa 3 = 0,65-0,8 cm, gros. sârmă piesa 3 = 0,05 cm) (Pl. VIII/3b-d, 9b-d)

- material: sârmă de bronz împletită;

- forma: piesa 1 din sârmă foarte subțire, cu două lațuri la ambele capete (Pl. VIII/3d, 9d); piesa 2 doar cu un capăt în formă de laț (Pl. VIII/3c, 9c); piesa 3 cu lațuri la ambele capete, unul mai mare și unul mai mic, lațul de la un capăt rupt (Pl. VIII/3b, 9b);

- poziție: în zona capului (pe biletul din cutia în care sunt păstrate piesele scrie „în zona capului, dreapta”);

- nr. inv. 18 544–18 546 (MJB).

4. **Piesă neidentificată** (H = 0,9 cm, L laturii drepte = 2,4 cm, d. = 1,3 cm, gros. = 0,15 cm) (Pl. VIII/5, 11)

- conservare: oxidat;

- material: sârmă de bronz, circulară în secțiune;

- forma: îndoită astfel încât să formeze un semicerc, capătul de la latura inferioară orizontală plat;

- poziție: în zona bărbiei;

- nr. inv. 16 714 (la fel cu piesa următoare) (MJB).

5. **Fragment minuscul foaie de bronz** (d. = 0,5 cm, lat. = 0,5 cm) (Pl. VIII/4, 10)

- conservare: oxidată;

- material: bronz;

- forma: rulată;

- poziție: în zona bărbiei, la -0,48 m;

- nr. inv. 16 714 (MJB).

6. Mici fragmente **cărbune**

- poziție: în dreptul labelor picioarelor.

7. **Aplică** (lat. = 1,5 cm, gros. = 0,04 cm) (Pl. VIII/6, 12)

- material: tablă subțire de cupru, marginile zdrențuite;

- forma: subțire, perforată în cele patru colțuri, îndoită în unghi ascuțit;

- poziție: în pământul de umplură al mormântului;

- nr. inv. 16 723 (MJB).

M. 4 (Pl. IX/1)

- rit: inhumatie;

- forma gropii: rectangulară, cu colțuri rotunjite;

- dimensiunile gropii: L aprox. 2 m, lat. în zona picioarelor = 0,65 m;

- orientare: posibil N–S;

- conservare: păstrată intactă doar partea inferioară; lipsesc capul și oasele toracelui; spre N, în zona capului, s-a mai păstrat doar un fragment de maxilar;

- vârstă: adolescent;

- observații: partea superioară a corpului a fost deranjată de tranșea militară; câteva oase au fost antrenate la aproximativ 60 cm sud-est de marginea sudică a gropii, la -0,70 m, împreună cu trei astragale și un fragment ceramic; un fragment de maxilar a fost găsit la 50 cm nord de marginea de nord a gropii; L piciorului până la bazin = 55 cm;

- bibliografie: Șadurschi, Ungureanu 1997, p. 40; Ursulescu *et alii* 1997, p. 77; Ciucălu 2018, p. 22, nr. 22.

Inventar:

1. **Vas** (H = 11,7 și 12,7 cm, d.g. = 8,3 cm, d. max. = 15,2 cm, d.f. = 6,8 cm) (Pl. IX/2)

- conservare: spart, lipit, lipsesc mici părți din buză și mai mult din corp, mai ales în zona d. max.;

- tehnică, material: lucrat cu mâna, din pastă gălbuie având ca degresant nisip cu bobul mare, pigmenți negri și cioburi foarte mărunț pisate, ardere inegală, suprafața exterioară lustruită;

- forma: vas asimetric (d. max., care coincide cu carena, este mai sus într-o parte și mai jos în cealaltă, ceea ce a determinat o asimetrie a gâtului, și el mai înalt într-o parte, partea inferioară este mai înaltă într-o parte), gura înaltă, ușor evazată, buza rotunjită în partea superioară și oblică în jos, gâtul vertical, corp bitronconic, cu carenă în zona d. max., baza plată;

- observație: pete negre de intensități diferite pe o parte a corpului, gurii și gâtului; în două locuri, în zona d. max., vasul a venit în contact cu focul, ceea ce a provocat înnegrirea lui mai accentuată;

- poziție: la picioare, în stânga, iar un fragment antrenat, cu astragalele și oasele, la 60 cm sud-est de marginea de sud a gropii;

- nr. inv. 14 560 (MJB).

2. **Mărgele** – trei exemplare

- material, formă, dimensiuni:

a. pastă de sticlă albastră sau verde, cu coaste, d. = 12 mm, H = 10 mm (nu a mai fost găsită);

b. sticlă albă, mată, cu „ochi” albaștri, d. = 11 mm, H = 6 mm (nu a mai fost găsită);

- poziție: la 15 cm de vas, în dreapta articulației tibiei drepte cu laba piciorului.

c. os

- poziție: sub bazin.

3. **17 astragale**

- poziție: 14 dintre ele alcătuiau o grămăjoară la picioare, lângă vas, iar trei au fost antrenate la aproximativ 60 cm sud-est de marginea de sud a mormântului, la -0,70 m.

4. **Fragment fier** (lamă cuțit?) (L păstrată = 1,9 cm, lat. păstrată = 1,2 cm, gros. păstrată = 0,4 cm)

- poziție: în dreapta locului unde ar fi trebuit să fie craniul.

5. **Os de animal**

- poziție: în stânga genunchilor.

M. 7 (incert, posibil tot sarmatic)

- rit: inhumatie;

- adâncime: -0,50–0,60 m;

- orientare: posibil N–S, judecând după poziția craniului;

- conservare: găsite doar câteva fragmente de calotă craniană umană;

- observații: probabil distrus de tranșea militară din al Doilea Război Mondial; găsit în S 3.

II. Prăjeni – *Nelipești*

- localizare: în continuarea directă, spre est, a punctului *Alimândra*, de care este despărțit doar printr-o mică văioagă, la 50 m în stânga șoselei Prăjeni–Plugari, la 3,300 km de centrul satului Prăjeni și la 43,300 km de Botoșani, în vârful pantei dinspre râul Miletin a interfluviului din zona de confluență cu afluentul Valea Rea;

- cercetări: sondaj, 1985, la 3,604 km de centrul satului și la 67,5 m de stâlpul de electricitate din dreapta șoselei Prăjeni–Plugari, la 604 m de borna ce indică 43 km până la Botoșani și 57 km până la Iași, a fost cercetată Movila 1, în stânga șoselei;

- descoperiri: doi tumuli aplatizați (Pl. IX/3), pe direcția NV–SE, situați la aproximativ 30 m distanță unul de celălalt; în zonă s-au găsit vestigiile aparținând culturii Cucuteni, epocii bronzului, epocii fierului, culturii carpice, culturii Sântana de Mureș–Cerneahov și epocii medievale;

- bibliografie: Ursulescu, Șadurschi 1986, p. 15; Șadurschi, Ursulescu 1989, p. 289, nr. 35; Ursulescu *et alii* 1996, p. 92–93, nr. 212 D; Ursulescu *et alii* 1997, p. 76; Șovan 2013, p. 339–340, nr. 36.

Movila 1 (Pl. IX/3)

- formă: aproximativ ovală;

- dimensiuni: d. inițial = 42 m; actual aproximativ 46 m (pe axul VNV–ESE) × 32 m (pe axul NNV–SSE), H = 1 m;

- mod de construcție: la baza tumulului s-a observat un strat de loess galben, steril, suprapus de un strat de humus (gros. = 0,25 m), care constituia nivelul antic de călcare în momentul ridicării tumulului, cu descoperiri aparținând culturii Cucuteni, iar mormântul principal este săpat din partea superioară a acestui strat; stratul de humus s-a păstrat pe o distanță de 9 m în jurul gropii mormântului principal, dar a fost înlăturat și înlocuit cu pământ argilos spre marginea movilei; centrul tumulului alcătuit din pământ amestecat, negru-argilos;

- înmormântări: mormânt central cu ocră (M. 3), un mormânt secundar, posibil tot cu ocră, dar răvășit cu ocazia instalării unui punct trigonometric (M. 2); o înmormântare secundară, sarmatică (M. 1);

- alte descoperiri: cană, găsită împreună cu resturile de oase provenite de la M. 2, la -0,20 m, în zona centrală a tumulului;

- bibliografie: Ursulescu, Șadurschi 1986, p. 15–18.

M. 1 (Pl. X/1)

- rit: inhumatie;

- adâncime: -0,50 m (groapa conturată la -0,60 m);

- forma gropii: ovală-alungită, mai largă în partea dinspre cap și mai îngustă la picioare, având aceeași umplură cu pământul din mantaua movilei;

- dimensiunile gropii: L = 2,10 m, lat. în zona capului = 1,05 m, lat. în zona picioarelor = 0,55 m;
 - orientare: N-S;
 - poziție: întins pe spate, cu brațele pe lângă corp;
 - conservare: afectat de lucrările agricole, parțial deranjat de rozătoare, mai multe oase au fost deplasate, măselele maxilarului inferior lipsesc;
 - vârstă, sex: vârstă destul de avansată (caninii și incisivii tociți), feminin;
 - observații: mormânt găsit pe panta sud-vestică a movilei, la aproximativ 7 m de centru, L scheletului = aproximativ 1,60 m;
 - bibliografie: Ursulescu, Șadurschi 1986, p. 18-19; Ursulescu *et alii* 1997, p. 76; Șovan 2013, p. 339-340, nr. 36.

Inventar:

1. **Cană** (H = 13 cm, d.g. = 7,4 cm, d. max. = aprox. 11,5 cm, d.f. = 6,1 cm, lat. toartă = 1,4 cm, gros. toartă = 1,2 cm) (Pl. X/4)
 - conservare: spartă, întregită, lipsesc mari porțiuni din buză și din corp;
 - tehnică, material: lucrată cu mâna, din pastă gălbuie-roșiatică la interior și exterior, miezul negricios, cu cioburi mărunț pisate în compoziție, suprafața lustruită;
 - forma: buza tăiată drept, corp bombat în zona d. max., baza plată, o toartă mică, cu o șanțuire lată pe mijloc, însă doar pe partea verticală, nu și pe cea orizontală, toarta se vede ca fiind în unghi pe exterior, însă pe interior ea este semicirculară, prinsă sub buză și deasupra d. max.;
 - observație: pete negricioase în zona toartei, provenite nu de la ardere secundară, ci de la o ardere inegală a vasului în mediu necontrolat;
 - poziție: în stânga capului, dar o parte din fragmente au ajuns în zona umărului stâng;
 - nr. inv. 14 559 (MJB).
 2. **Mărgelile** – șapte exemplare (**posibil colier**)
 - material: sticlă albă mată sau cu irizații de diferite culori;
 - forma: rotundă și tubulară;
 - poziție: posibil să fi alcătuit inițial un colier, la gât. În momentul descoperirii, o singură mărgelă, tubulară, se mai afla în zona gâtului, restul fuseseră antrenate de crotovine în centrul bazinului (două rotunde, grenă), una dedesubtul bazinului, în stânga, una în stânga bazinului (tubulară), una în zona tibiilor (rotundă) și una în afara mormântului, într-o galerie de crotovine;
 - nr. inv. 16 719(?) (MJB);
 - observație: în depozitul muzeului s-a găsit o singură mărgelă cu acest număr de inventar, care nu corespunde cu mărgelile publicate – Pl. X/2 (Ursulescu, Șadurschi 1986, p. 19), iar pe bilet scrie M. 9. Are aspect sticlos în spărtură, este roșie, plată, alungită, piriformă, L = 2,2 cm, d. max. = 1,4 cm, gros. = 0,7 cm (Pl. X/5).

3. Trei mici fragmente dintr-un **fir subțire de cupru sau bronz**, pe care au fost, poate, înșirate mărgelile
 - poziție: lângă femurul drept.

În umplutura mormântului, la -0,53 m:

1. **Pietricele** – trei exemplare (Pl. X/6)
 - forma: neregulată, mici, subțiri;
 - observație: la o privire mai atentă, observația din publicația inițială, referitoare la eventualele semne miniaturale de pe partea concavă, nu s-a verificat.

Alte descoperiri (1980)

1. **Cană** (H = 15,8 cm, d.g. greu de reconstituit, oricum este mai mare de 6 cm, d. max. = 10,7 cm, d.f. = 6,1 cm, lat. toartă = 1,8 cm, gros. toartă = 0,8 cm) (Pl. X/3)
 - conservare: spartă, lipită, lipsesc mari părți din buză (practic, se mai păstrează doar un sfert din buză), gât, corp și toartă;
 - tehnică, material: lucrată la roată, pastă fină, omogenă, cu pigmenți albi de la nisip și puține cioburi foarte mărunț pisate, cenușiu-deschis, cu o peliculă subțire de lut, într-o nuanță cenușie-maronie, aplicată pe tot corpul;
 - forma: gura evazată, buza rotunjită, gât înalt, cu o proeminență la mijloc, corp bitronconic, cu carenă mai sus de mijloc, jumătatea inferioară a corpului bombată, baza înaltă, cu suport, toarta plată, cu șanțuire lată mediană, prinsă sub buză și deasupra d. max.;

- observație: mică adâncitură la îmbinarea dintre gâtul lărgit la partea inferioară și corp;
 - poziție: găsită împreună cu resturile de oase provenite de la M. 2, la -0,20 m, în zona centrală a tumulului;
 - nr. inv. 14 558 (MJB).

2. Fragment sârmă de fier

- forma: secțiune circulară, un capăt ușor subțiat, iar spre celălalt capăt se învârte de două ori în jurul unui ax;
 - poziție: S 3, m. 31, -0,40 m.

III. Prăjeni – Țarnă

- localizare: pe o pantă lungă și lină, înclinată spre malul stâng al râului Miletin, delimitată spre vest de ultimele case ale satului, spre est de Râpa Bulhac, spre nord de șoseaua Prăjeni-Plugari; reprezintă continuarea vestică a aceleiași pante din stânga râului Miletin pe care se află și punctele *Nelipești* și *Alimândra*;
 - cercetări: 1987 (Nicolae Ursulescu, Paul Șadurschi, Maria Diaconescu), au fost secționare două movile, dintre care doar una a conținut înmormântări;
 - descoperiri: tumul (notat tumul 2 – Pl. XI-XII) ridicat în epoca bronzului (patru înmormântări M. 4, 6, 8, 10), înmormântări secundare sarmatice (cinci M. 1-3, 7, 9), un mormânt complet răvășit, incert cronologic (M. 5);
 - dimensiunile tumulului (Pl. XI/1) s-au modificat din Antichitate, prin aplatizare, astfel încât înmormântările sarmatice au fost efectuate nu în tumulul propriu-zis (al cărui diametru inițial era de 22 m), ci în scursura din partea sudică (tumulul a ajuns, prin aplatizare, la un diametru de aproximativ 32-34 m). Aplatizarea a fost favorizată de faptul că mantaua tumulului a fost realizată doar din humus, fără adaos de lut, de panta destul de accentuată spre sud a terenului, de faptul că pământul pentru ridicarea tumulului a fost săpat din imediata vecinătate, la est și vest, dar cele două alveolări create astfel au fost astupate în timp, prin scurgerea pământului (Pl. XII);
 - două tranșee militare au secționat movila, distrugând, total sau parțial, câteva morminte;
 - bibliografie: Șadurschi, Ursulescu 1989, p. 288, nr. 31; Ursulescu *et alii* 1996, p. 93, nr. 212 E; Ursulescu *et alii* 1997, p. 77.

M. 1 (Pl. XIII/1)

- rit: inhumație;
 - adâncime: -0,40 m;
 - orientare: NNV-SSE;
 - poziție: întins pe spate, cu capul probabil spre dreapta, mâna dreaptă pe lângă corp, cea stângă cu palma pe bazin;
 - conservare: craniul puternic strivit și parțial distrus;
 - sex: feminin (conform inventarului);
 - observații: L scheletului = 1,55 m; femurul stâng curbat;
 - bibliografie: Ursulescu *et alii* 1997, p. 77; Ursulescu 2004, p. 55; Ciucălău 2018, p. 29, nr. 43, p. 31, nr. 47.

Inventar:

1. **Urcior**, mic
 - tehnică, material: lucrat cu mâna, din pastă gălbuie-roșiatică, cu miezul închis la culoare;
 - poziție: în stânga craniului.
 2. **Mărgelile**, mai mari – nouă exemplare (în depozitele muzeului au fost regăsite patru fragmente de mărgelă¹⁰, roșii, alungite, pe al căror bilet scria „zona gâtului, -0,30 m”) (Pl. XIII/5)
 - poziție: la gât și pe piept.
 3. **Mărgelile** mici (Pl. XIII/4)
 - material, formă, dimensiuni:
 a. două din sticlă albă și neagră, circulare, plate, cu orificiu larg și fragmente de la alte 2-3 mărgelile;
 b. un fragment din mărgelă de carneol, d. = 0,3 cm, gros. = 0,15-0,2 cm;
 - poziție: la glezne.
 4. **Doi cercei** (d. cercel întreg = 1,3 × 1,8 cm, gros. sârmei pentru ambii cercei = 0,1 cm) (Pl. XIII/3)

¹⁰ În lipsa unor analize fizico-chimice, este greu de precizat, în acest moment, dacă unele dintre mărgelile de la Țarnă M. 1, M. 3 și M. 9,

posibil și mărgelă de la *Nelipești* M. 1, sunt din sticlă sau dintr-un alt material (chihlimbar?).

- conservare: unul întreg și unul fragmentar;
- material: sârmă subțire, rotundă în secțiune, argintie;
- forma: cel întreg are verigă ovală, un capăt îndoit în formă de cârlig, celălalt îndoit în formă de laț, apoi înfășurat de trei ori pe verigă; fragmentul are un capăt îndoit în formă de cârlig;
- poziție: ambii în dreapta craniului;
- nr. inv. 14 435 (MJB).

5. Oglindă (d. = 6,1 cm, gros. = 0,1 cm) (Pl. XIII/2)

- conservare: ruptă pe margine într-un loc, ciobită în alt loc și de-a lungul întregii margini;
- material: foaie de tablă argintie, însă înnegrită;
- forma: circulară, o față lustruită, una poroasă;
- poziție: la călcâiul stâng;
- nr. inv. 14 433 (MJB).

M. 2 (Pl. XIV/1)

- rit: inhumăție;
- adâncime: -0,50 m;
- forma gropii: ovală, cu colțuri rotunjite;
- dimensiunile gropii: 1,90 x 0,60/0,70 m;
- orientare: VNV-ESE;
- poziție: întins pe spate, cu mâinile pe lângă corp;
- conservare: craniul complet răsucit, cu calota spre vertebrele gâtului și maxilarul inferior unde ar fi trebuit să fie calota, maxilarul superior lângă clavicula stângă, unii dinți risipiți, brațul stâng mutat de crotovine pe bazin;
- vârstă, sex: matur (dantura tocită), masculin (conform inventarului);
- observații: L scheletului = aprox. 1,55 m; un fragment ceramic cucutenian din umplutura tumulului a fost găsit în marginea sudică a gropii, lângă cotul drept;
- bibliografie: Ursulescu *et alii* 1997, p. 77; Ciucălău 2018, p. 21, nr. 20, p. 32, nr. 51.

Inventar:

1. **Urcior** (H = între 14 și 15,5 cm, d.g. = 5,8–5,9 cm, d. max. = 10,1 cm, d.f. = 5,5 cm, lat. toartă = 1,6 cm, gros. toartă = 0,7 cm) (Pl. IV/3)
 - conservare: foarte bună, spărturi în zona gâtului și a buzei;
 - tehnică, material: lucrat cu mâna (dar încearcă să imite o formă lucrată la roată), din pastă fină, cu puțin nisip cu boițe mari și cu cioburi fin pisate, de aceeași culoare, cenușie-negricioasă;
 - forma: puternic asimetric, înclinat într-o parte (datorită faptului că d. max. este mai sus într-o parte și mai jos în cealaltă), gura evazată, buza rotunjită, gât scund, umerii coboară oblic spre d. max., o adâncitură deasupra d. max., corp rotunjit, baza inelară, profilată, o toartă supraînălțată, semicirculară în secțiune, cu două șanțuri superficiale la extremități;
 - poziție: în stânga pieptului;
 - nr. inv. 14 561 (MJB).
2. **Fibulă** (L = 2,6 cm, L ax = 2,1 cm, H = 1,2 cm, gros. = 0,2 cm, gros. ac = 0,1 cm) (Pl. XIV/2)
 - conservare: oxidată, capătul superior al portagrafei rupt, coarda ruptă;
 - material: bronz;
 - forma: ax cu câte șapte spire, corp profilat, cu proeminență pe centru, terminat printr-un buton conic, portagrafa înaltă, ac subțire, circular în secțiune;
 - decor: două proeminențe, una pe mijloc și una la capătul superior al corpului;
 - poziție: între torace și cotul stâng;
 - nr. inv. 14 434 (MJB).

M. 3 (Pl. XV/1)

- rit: inhumăție;
- adâncime: -0,45 m;
- orientare: NV-SE;
- poziție: întins pe spate, mâna stângă pe lângă corp, cea dreaptă îndoită din cot, cu palma pe abdomen;
- conservare: foarte bună;
- sex: feminin (conform inventarului);
- observații: L scheletului = 1,65–1,70 m;
- bibliografie: Ursulescu *et alii* 1997, p. 77.

Inventar:

1. Vas (H = 8–9 cm)

- conservare: sfărâmat;
- tehnică: lucrat cu mâna;
- formă: borcan;
- poziție: la picioare, în dreapta.

2. Mărgele – 14 exemplare (Pl. XV/3)

- regăsite nouă fragmente de culoare roșie și cinci fragmente de chihlimbar(?), culoare maronie-roșiatică;
- poziție: în jurul gâtului și pe piept, iar trei mărgele (mai mari), în jurul mijlocului, împreună cu piesele de bronz fragmentare;
- nr. inv. 14 444 (MJB).

3. Piese de bronz fragmentare

- descriere: trei mici fragmente din bronz
- a. unul minuscul (Pl. XV/2a);
- b. unul plat, mai îngust și rotunjit la un capăt, mai lat la capătul opus, dimensiuni: L păstrată = 1 cm, lat. = 0,3 cm, gros. = 0,05 cm (Pl. XV/2b);
- c. un fragment dintr-o piesă circulară sau semicirculară, gros. = 0,05 cm (Pl. XV/2c);
- poziție: la talie, împodobind probabil o cingătoare.

Între M. 1, M. 2, M. 3:

1. Resturile împrăștiate ale unui **vas** de tip sarmatic, aflat la 1 m nord-vest de craniul M. 3 și 1,20 m sud de bazinul M. 2, la -0,50 m.

M. 7 (Pl. XVI/1–2)

- rit: inhumăție;
- adâncime: -0,35 m;
- orientare: N-S;
- poziție: întins pe spate, cu capul culcat spre dreapta, ambele mâini îndoite din cot, cu palmele încrucișate pe abdomen;
- conservare: oasele destul de rău conservate, datorită adâncimii mici, maxilarul inferior desprins și căzut peste vertebrele gâtului, antebrațul stâng a ajuns în poziție paralelă cu femurul drept, datorită crotovinilor;
- sex: masculin (conform inventarului);
- observații: L scheletului = 1,85 m; a suprapus, parțial, M. 9, dar, datorită adâncimii mici, nu l-a deranjat;
- bibliografie: Ursulescu 2004, p. 56; Ciucălău 2018, p. 21, nr. 21.

Inventar:

1. **Vas**
 - tehnică, material: lucrat cu mâna, din pastă negricioasă;
 - poziție: lângă glezna dreaptă.
2. **Cană** (H = 15–15,5 cm, d.g. = 9,6 cm, d. max. = 15,1 cm, d.f. = 6,9–7 cm, lat. toartă = 1,8 cm, gros. toartă = 0,8 cm) (Pl. XVI/3)
 - conservare: spartă, lipită, lipsesc porțiuni destul de mari din umăr și corp;
 - tehnică, material: lucrată la roată, din pastă fină, cu pigmenți albi de la nisip, omogenă, cenușie, cu angobă într-o nuanță mai închisă, cenușie-maronie, până la bază, însă ștearsă pe porțiuni mari;
 - forma: ușor asimetrică (puțin mai înaltă într-o parte), gura evazată, buza verticală, gât înalt, cu o adâncitură deasupra d. max., corpul rotunjit în zona d. max., baza înălțată, profilată, cu umbo în centru, o toartă plată, prinsă pe umăr și deasupra d. max.;
 - poziție: lângă laba piciorului drept;
 - nr. inv. 14 557 (MJB).
3. **Cuțit / pumnal (?)** (gros. = 0,2 cm, însă cu concrețiuni cu tot, întrucât resturile nu sunt curățate) (Pl. XVI/4)
 - conservare: s-au mai păstrat resturi ruginite de lamă;
 - poziție: de-a lungul femurului drept;
 - nr. inv. 14 556 (MJB).

M. 9 (Pl. XVI/1; XVII/1)

- rit: inhumăție;
- adâncime: -0,60 m;
- orientare: N-S;
- poziție: întins pe spate, cu mâinile pe lângă corp;
- conservare: bună, lipsesc coastele din partea dreaptă și partea dreaptă a bazinului (posibil să fi fost antrenate de rozătoare la aproximativ 15 cm nord de craniu);
- sex: feminin (conform inventarului), oase gracile;

- observații: L scheletului = aprox. 1,50 m; mormânt găsit în S 2; parțial suprapus, în zona picioarelor, până la bazin, de M. 7, care însă nu l-a afectat, deși se afla doar cu 15 cm deasupra; la circa 15 cm nord de craniu, dar ceva mai la suprafață (-0,45 m) au apărut câteva fragmente de oase dispartate, de la coaste, falange și articulații;

- bibliografie: Ursulescu *et alii* 1997, p. 77; Ciucălău 2018, p. 21, nr. 19, p. 30, nr. 44–45, p. 31, nr. 48–49, p. 32, nr. 50, 52, p. 40, nr. 67.

Inventar:

1. **Castron** (H = 10 cm, d.g. = 7,5 cm, d. max. = 12,1 cm, d.f. = 5 cm) (Pl. XVII/2; XVIII/1)

- conservare: spart, reconstituit, lipsesc părți din corp, mai ales în zona d. max., ciobit pe alocuri;

- tehnică, material: lucrat la roată, din pastă omogenă, gălbuie, cu angobă maro deschis, aplicată inegal, scursă spre bază, angobă aplicată și pe buză și pe partea interioară, scursă pe interiorul corpului, benzi orizontale late de vopsea roșie în zona d. max. și între buză și corp;

- forma: buza oblică, rotunjită la partea superioară, corp bombat, baza plată;

- observație: vasul prezintă mai multe zgârieturi în partea inferioară, de la modelaj;

- poziție: în dreapta capului;

- nr. inv. 14 562 (MJB).

2. **Mărgele** – 26 exemplare (Pl. XVII/11; XVIII/7, 10–11)

- material, formă, dimensiuni:

a. șapte mărgele maro-roșiatice, plate, alungite; L = 1,1–1,4 cm, gros. = 0,4–0,7 cm (Pl. XVII/11a–b; XVIII/7, 11);

b. o mărgea roșie, de formă neregulată; L = 1,7 cm, d. max. = 1 cm (Pl. XVIII/11);

c. o mărgea din sticlă albă, cilindrică, la ambele capete se observă cum au rămas reziduuri de la tăiere; L = 0,7 cm, d. = 0,4 cm (Pl. XVIII/11);

d. o mărgea din sticlă gălbuie-maronie, mică, alungită; L = 0,7 cm, d. = 0,3 cm (Pl. XVIII/11);

e. o mărgea neagră, sferică, orificiu larg; H = 0,6 cm, d. = 0,9 cm, d. orificiu = 0,3 cm (Pl. XVII/11c; XVIII/11);

f. cinci mărgele din sticlă verde deschis, cilindrice, unele cu reziduuri de la tăiere; L = 0,7 cm, d. = 0,3–0,4 cm (Pl. XVII/11d; XVIII/10–11);

g. o mărgea din sticlă gri-albicioasă, sferică; L = 0,5 cm, d. = 0,5 cm (Pl. XVIII/10);

h. o mărgea din sticlă gri-albicioasă, cilindrică; L = 0,6 cm, d. = 0,4 cm (Pl. XVIII/10);

i. o mărgea din sticlă transparentă, mică, alungită, ruptă la un capăt; d. = 0,1 cm (Pl. XVIII/10);

j. o mărgea din sticlă verde, alungită, aplatizată; L = 1,2 cm, d. = 0,2 × 0,3 cm (Pl. XVII/11f; XVIII/10);

k. două mărgele maro-roșiatice, mai mici, cilindrice, una fragmentară; L = 1 cm, d. = 0,8 cm (Pl. XVIII/10);

l. trei mărgele albe, din rocă, plate, circulare, cu orificiu larg, una dintre ele cu orificiul descentrat, astfel încât este foarte groasă într-o parte și foarte subțire în partea opusă; H = 0,4–0,5 cm, d. = 0,7 cm (Pl. XVII/11e; XVIII/7);

m. o mărgea din rocă, alb-maronie, cilindrică; L = 0,6 cm, d. = 0,6 cm (Pl. XVIII/11);

- poziție: de o parte și de alta a gâtului;

- nr. inv. 18 548–18 577 (MJB).

3. **Mărgele** (Pl. XVIII/13)

- material, formă, dimensiuni:

a. nouă mărgele din sticlă verde, cu pojghiță aurie, cilindrice, opt întregi și una spartă; H = 0,8 cm, d. = 0,7–0,8 cm;

b. două mărgele roșii, sferice, cu orificiu larg; H = 0,4 cm, d. = 0,8 cm, d. orificiu = 0,2 cm;

c. nouă fragmente din mărgele din sticlă irizată, cilindrice;

d. un fragment de mărgea albă în interior, dar negricioasă pe exterior;

e. o mărgea din sticlă, cilindrică, poroasă; H = 0,8 cm, d. = 0,8 cm, d. orificiu = 0,2 cm;

f. un fragment foarte mic de mărgea din piatră de culoare roșie;

g. un fragment de mărgea din sticlă poroasă;

- observație: conform planului mormântului și datelor de săpătură, mărgelele au fost găsite la gât, pe piept, în zona bazinului, a genunchilor

și la glezne, deși pe bilet scrie că aceste mărgele au fost găsite în zona capului;

- fără nr. inv. (MJB).

4. **Mărgele** (Pl. XVIII/15)

- conservare: cinci întregi, 14 fragmente;

- material: sticlă, acoperită cu pojghiță irizată aurie;

- forma: cilindrice, orificiu mic;

- dimensiuni: a. L = 1,7 cm, d. = 0,7 cm, d. orificiu = 0,1 cm; b–d. L = 1,8 cm, d. = 0,8 cm, d. orificiu = 0,2 cm; e. L = 1,9 cm, d. = 0,7 cm, d. orificiu = 0,2 cm;

- poziție: mai jos de bazin (conform biletului);

- nr. inv. 16 826–16 844 (MJB).

5. **Mărgele mici** (Pl. XVIII/14)

- material, formă, dimensiuni

a. o mărgea, sticlă irizată aurie, cilindrică, întreagă; L = 0,8 cm, d. = 0,6 cm;

b. nouă fragmente de mărgele, sticlă irizată aurie;

c. trei mărgele din sticlă verde, minuscule, sferice, cu orificiu larg, două întregi și una fragmentară; d. = 0,3 cm;

- poziție: la picioare, în zona gleznelor;

- fără nr. inv. (MJB).

6. **Mărgea** (Pl. XVII/10; XVIII/6)

- material: sticlă alb-gălbuie, irizată;

- forma: cilindrică, orificiu mic;

- dimensiuni: H = 0,7 cm, d. = 0,7 cm, d. orificiu = 0,2 cm;

- poziție: la aproximativ 15 cm nord de craniu, la -0,45 m, între fragmentele de oase;

- fără nr. inv. (MJB).

7. **Cercel și două pandantive** (gros. sârmei = 0,1 cm; dimensiuni pandantiv mic: L = 2,3 cm, d. parte superioară = 0,7 cm, d. median = 0,4 cm; dimensiuni pandantiv mare: L = 3 cm, d. parte superioară = 0,6 cm, d. median = 0,5 cm, d. buton = 0,3 cm) (Pl. XVII/6; XVIII/5)

- conservare: foarte bună;

- material: sârmă din bronz;

- forma: verigă subțire, cu secțiunea circulară, ușor subțiată la capete, două proeminente pe verigă înainte de capete; un pandantiv mai mic, din bară profilată, cu partea superioară aplatizată, perforată, partea din mijloc aplatizată, delimitată în partea superioară și inferioară de profilaturi transversale, capătul aplatizat; un pandantiv mai mare, tot din bară profilată, cu partea superioară aplatizată, perforată, partea mediană aplatizată și îngustată spre partea inferioară, cu profilaturi transversale la capete, terminat printr-un buton cu capăt rotunjit;

- poziție: un pandantiv (fără a putea preciza care dintre ele), fără verigă, la urechea stângă, iar celălalt pandantiv, cu verigă cu tot, antrenat de rozătoare, în dreptul labei piciorului stâng;

- nr. inv. 16 729 (MJB).

8. **Pandantiv-căldărușă** (H = 1,7 cm, d. max. = 1,2 cm) (Pl. XVII/4; XVIII/3)

- conservare: oxidat, mai ales la toartă, lipsă aproximativ un sfert din corp, reconstituit;

- material: tablă de bronz;

- poziție: conform datelor de săpătură, s-a găsit fie în zona gâtului, fie în grămăjoara de oase de la nord de craniu, deși la Ciucălău 2018 este publicat ca fiind găsit mai jos de genunchiul drept;

- nr. inv. 14 437 (MJB).

9. **Pandantiv-căldărușă** (H = 1,8 cm, d. max. = 0,9 cm) (Pl. XVII/5; XVIII/4)

- conservare: oxidat pe corp și toartă, lipsă aproximativ un sfert din corp, reconstituit, baza lipsă;

- material: tablă de bronz;

- poziție: conform datelor de săpătură, s-a găsit fie în zona gâtului, fie în grămăjoara de oase de la nord de craniu, deși la Ciucălău 2018 este publicat ca fiind găsit mai jos de genunchiul drept;

- nr. inv. 14 438 (MJB).

10. **Pandantiv-căldărușă** (H toartă = 1,5 cm) (Pl. XVII/3; XVIII/2)

- conservare: păstrată doar toarta;

- material: tablă foarte subțire de cupru;

- poziție: mai jos de genunchiul drept;

- nr. inv. 14 439 (MJB).

11. **Fusaiolă** (H = 2,6 cm, d. max. = 32 cm, d. orificiu = 0,6 cm) (Pl. XVII/9; XVIII/12)

- conservare: ușor tocită la bază;
- material: lut amestecat cu nisip, maroniu la partea superioară și negricios la partea inferioară;
- forma: bitronconică, cu partea superioară înaltă, cea inferioară scundă, baza concavă, orificiu mic;
- poziție: lângă cercel, lipită de craniu;
- nr. inv. 16 717 (MJB).
- 12. **Clopoțel mic** (H = 2,2 cm, d. bază = 1,7 cm, H agățătoare = 1,6 cm) (Pl. XVII/7; XVIII/8)
- conservare: distrusă o porțiune din umăr, lipsesc mici porțiuni din bază, care este zdrențuită;
- material: tablă foarte subțire din bronz;
- forma: umerii rotunjiți, agățătoare plată, înaltă, pe interior sunt vizibile două sârme, probabil de la agățătoare;
- decor: două grupuri de câte două șanțuiri, la bază și în partea superioară a corpului;
- poziție: sub bărbie;
- nr. inv. 16 731 (MJB).
- 13. **Clopoțel mic** (H = 1,5–1,7 cm, d. bază = 1,6 cm) (Pl. XVII/8; XVIII/9)
- conservare: agățătoarea lipsește, umărul este găurit, ușor zdrențuit la bază;
- material: tablă foarte subțire din bronz;
- forma: identic cu precedentul (nr. 12), dar pare să fi avut agățătoare din sârmă răsucită (vizibilă mai ales pe interior);
- decor: două grupuri de câte două șanțuiri, la bază și în partea superioară a corpului;
- poziție: la aproximativ 15 cm nord de craniu, la -0,45 m, lângă și între fragmentele de oase;
- nr. inv. 18 547 (MJB).

IV. Prăjeni – Lutărie 2

- localizare: punct numit convențional (de aici localnicii extrag lut), aflat în marginea de nord-vest a satului Prăjeni, în vecinătatea satului dispărut Ciorogani (Piciorogani), la circa 250 m sud-vest de punctul *Lutărie* (situat aproape de hotarul cu comuna Flămânzi), pe prima terasă neinundabilă din stânga albiei râului Miletin, la mai puțin de 100 m de cursul apei;
- cercetare: sondaj (L = 35 m, lat. = 2 m, orientat SSV–NNE, capătul dinspre NNE aflat la 70 m de drumul care duce la barajul lacului de acumulare din hotarul comunei Flămânzi), 1988 (Nicolae Ursulescu, Paul Șadurschi, Maria Diaconescu);
- stratigrafie: strat vegetal (gros. = 20 cm); sol gălbui, cu materiale medievale sporadice (gros. = 15 cm); strat de pământ negricios, cu materiale care pot fi datate în secolul al IV-lea p.Ch. (gros. = 30–35 cm); strat de pământ negricios-cenușiu, cu descoperiri carpice (gros. = 5–15 cm); strat de pământ brun, cu descoperiri hallstattiene (gros. = 40 cm); strat de pământ brun-gălbui, cu urme sporadice care aparțin culturii Cucuteni (gros. = 10 cm); strat de lut galben, compact, steril (gros. = 15 cm); lut nisipos, steril (Pl. XX/1);
- descoperiri: două locuințe, una hallstattiiană și cealaltă din secolul al IV-lea p.Ch.; 11 gropi, dintre care cinci cu materiale hallstattiene, patru cu descoperiri carpice, una cu material datat în secolul al IV-lea și una cu material modern (Pl. XIX);
- înmormântări: un mormânt sarmatic;
- bibliografie: Ursulescu *et alii* 1996, p. 92, nr. 212 B; Ursulescu *et alii* 1997, p. 77–78.

M. 1 (Pl. XX/2)

- rit, amenajare: inhumăție, plan;
- adâncime: -1,35 m;
- forma gropii: aproximativ ovală, puțin mai îngustă în zona picioarelor;
- dimensiunile gropii: 1,35 × 0,50 m;
- orientare: N–S;
- poziție: întins pe spate, cu mâinile pe lângă corp;
- vârstă, sex: copil până în 7 ani, fetiță (analiza antropologică Dan Botezatu, Centrul de Cercetări Arheologice, Academia Română, Filiala Iași);

- bibliografie: Ursulescu *et alii* 1996, p. 92, nr. 212 C; Ursulescu *et alii* 1997, p. 78; Ursulescu 2004, p. 56.

Inventar:

1. colier din **mărgele și pandantive** (Pl. XXI/3–10, 13–20)
 - material, formă, dimensiuni
 - a. patru mărgele din sticlă, cilindrice:
 - a.1. una întreagă, cu dungi oblice albe și gri-argintii, cu orificiu larg; L = 2,8 cm, d. = 1 cm, d. orificiu = 0,4 cm (Pl. XXI/6, 16);
 - a.2. una ruptă la un capăt, cu dungi oblice albe și brune, dungile albe formează spre capete un decor în valuri; L = 2,6 cm, d. = 1 cm, d. orificiu = 0,5 cm (Pl. XXI/7, 17);
 - a.3. una ruptă la un capăt, cu dungi oblice albe și brune, formând un decor în valuri; L actuală = 2,15 cm, d. = 1 cm, d. orificiu = 0,5 cm (Pl. XXI/8, 18);
 - a.4. una cu ambele capete rupte, verzuie; L max. = 3 cm, d. = 0,5–0,6 cm (Pl. XXI/9, 19);
 - b. două mărgele din sticlă, acoperite cu vopsea de culoare ocru, sferice, cu orificiu larg; H = 1 cm, d. = 1,1 și 1,4 cm, d. orificiu = 0,4 și 0,5 cm, una în stare bună de conservare, una ciobită (Pl. XXI/3, 13);
 - c. fragment aplică din tablă mai groasă de bronz, rulată, cu două perforații la un capăt și încă una spre capătul opus; H = 2,9 cm, d. = 1,5 cm, lat. tablă = 2,8 cm pe interior și 2,4 cm la capătul exterior, gros. = 0,1 cm (Pl. XXI/4, 14);
 - d. mic manșon din două foi subțiri de tablă de bronz, rulate una peste cealaltă, oxidat, cu capetele zdrențuite; L = 2,2 cm, d. = 1,1 cm, gros. tablă = 0,05 cm (Pl. XXI/10, 20);
 - e–f. două verigi din tablă de bronz, ovale, cu capetele petrecute; d. = 1,1 cm, lat. = 0,55 și 0,6 cm, gros. = 0,1 cm (Pl. XXI/5, 15);
 - poziție: în zona gâtului.
2. **Brățară** (d. = 3,9 × 5 cm, gros. sârmei = 0,2–0,3 cm) (Pl. XXI/2, 12)
 - conservare: bună, dar deformată;
 - material: sârmă de bronz cu secțiune rotundă;
 - forma: cu capetele înfășurate, un capăt înfășurat de două ori, dar la distanță, iar celălalt de trei ori, dar cu spirele una lângă cealaltă;
 - poziție: la încheietura mâinii drepte;
 - observație: pe bilet scrie S I, c. 7A, -1,35 m.
3. Doi **cercei** (d. = 2,8 × 2,7 cm și 3 × 2,8 cm, gros. sârmei = 0,2 cm) (Pl. XXI/1, 11)
 - conservare: foarte bună;
 - material: sârmă de bronz;
 - forma: rotunzi, cu sistem de închidere format din laț la un capăt și cârlig la capătul celălalt, la capătul cu laț sârma formează o spirală peste capătul inferior al lațului, apoi se înfășoară de patru ori pe sârmă la un cercel și de șase ori la celălalt, care are și spirala mai mică, deoarece este strâns înfășurată.

DISCUȚIE

Discuția care urmează nu se va referi decât la mormintele care pot fi, cu certitudine, atribuite sarmaților, nu și la cele nesigure. Alegerea este dictată de modul în care doi dintre autorii acestui studiu au procedat și cu alte ocazii¹¹. Cel puțin în stadiul actual al cercetărilor, comunitățile sarmatice din Muntenia (denumire folosită pentru a desemna spațiul dintre fluviul Dunărea și Munții Carpați, mărginit la vest de râul Olt) și Moldova (în sensul de spațiul dintre râul Prut și Munții Carpați) sunt cunoscute doar prin intermediul descoperirilor funerare, ceea ce oferă o posibilitate limitată¹² pentru analiza vieții cotidiene sau a organizării sociale. Având în vedere că statistica datelor cu caracter funerar se află la baza

¹¹ Oța, Sîrbu 2009, p. 107–108; Sîrbu *et alii* 2014, p. 93–94.

¹² Ursulescu 2004, p. 54; Oța 2018, p. 61; Oța, Sîrbu 2020, p. 198–200.

oricăror ipoteze despre comunitățile sarmatice din Muntenia sau Moldova, considerăm că este prudent ca această statistică să ia în calcul doar datele sigure, altfel existând riscul introducerii unor informații eronate în literatura de specialitate.

Din cele 14 morminte descoperite la Prăjeni, care pot fi cu certitudine atribuite sarmaților, 13 sunt înmormântări secundare în tumuli – cinci în tumulul III de la Prăjeni – *Alimândra*, două în tumulul IV din același punct, una în movila de la *Nelipești* și cinci în tumulul de la Prăjeni – *Țarnă*. Introducerea celor cinci complexe funerare sarmatice de la Prăjeni – *Țarnă* în rândul înmormântărilor secundare în tumuli mai vechi ar putea ridica, la prima vedere, semne de întrebare. Criteriul de bază, în opinia noastră, a fost *intenția* celor care au realizat înmormântarea de a alege o formă mai înaltă de teren, neștiind că ceea ce, la sfârșitul secolului I p.Chr., se vedea ca o ridicătură a terenului era, de fapt, doar pământul scurs pe panta de sud a tumulului ridicat în cursul epocii bronzului.

Majoritatea celor 13 morminte aflate în discuție de la Prăjeni sunt orientate pe axa N–S, cu variații: M. 1–3 și M. 8 din T. III de la *Alimândra*, M. 1 de la *Nelipești*, M. 1, M. 3, M. 7 și M. 9 din punctul *Țarnă*, posibil și M. 4 din T. IV de la *Alimândra*. Tot pe direcția N–S era orientată și groapa M. 4 din T. III de la *Alimândra*. Singurele excepții de la orientarea menționată sunt M. 2 de la Prăjeni – *Țarnă* (VSV–ENE) și M. 3 din T. IV de la *Alimândra* (S–N). Deși mai rar înregistrată, pe ansamblu, decât orientarea N–S, orientarea pe axa V–E predomină în cazul mormintelor atribuite primei etape de pătrundere a sarmaților în Muntenia¹³, pentru ca, în cazul complexelor funerare din a doua etapă, să devină o excepție¹⁴. Chiar dacă întâlnită arareori, orientarea pe direcția S–N este atestată în cazul mormintelor sarmatice din Muntenia, atât în prima, cât și în a doua etapă¹⁵ de pătrundere a sarmaților. Pentru teritoriul dintre Prut și Carpații Orientali, morminte sarmatice cu defuncții orientați V–E se cunosc la Bârlad – *Fabrica de confecții*¹⁶, Giurcani T. 2 M. 3¹⁷, Ștefănești¹⁸, Tecuci M. 1¹⁹, Trușești M. 2 m, M. 3 m, M. 8 m, M. 13 m²⁰, Unțești M. 1, M. 2²¹, Valea Lupului – *Movilă* M. 20²², Valea Lupului – *Terasă* M. 2, M. 5, M. 8, M. 10²³, Vădeni²⁴, orientarea pe direcția S–N se înregistrează în cazul M. 3 de la Cioinagi²⁵ și al complexului funerar de la Ijdileni²⁶, iar SV–NE la Tutova M. 1²⁷.

Poziția defuncților nu se mai poate cunoaște în două cazuri, datorită distrugerilor moderne: *Alimândra* T. III

M. 8 și T. IV M. 4. Poziția decubit dorsal, cu brațele și picioarele întinse, a fost observată în șase cazuri: M. 1–3 din T. III de la *Alimândra*, M. 1 de la *Nelipești*, M. 2 și M. 9 din punctul *Țarnă*. Patru înmormântări, din cele 11 a căror poziție este cunoscută, se caracterizează prin depunerea defuncților în alte poziții decât cea de decubit dorsal, însă este de remarcat faptul că fiecare dintre aceste patru complexe funerare reprezintă un caz singular, din punct de vedere al poziției persoanei îngropate. O variantă a poziției numerotate 4, în cazul mormintelor sarmatice din Muntenia²⁸ (defunctul întins pe spate, cu palmele pe bazin, cu mențiunea că, în acest caz, palmele erau încrucișate), se înregistrează în M. 4 din punctul *Țarnă*. În alte două complexe funerare de la *Țarnă*, M. 3 și M. 1, se întâlnesc pozițiile numerotate 7 (întins pe spate, brațul stâng întins pe lângă corp și cel drept îndoit, cu palma pe abdomen) și 8 (întins pe spate, brațul drept întins pe lângă corp și cel stâng îndoit, cu palma pe abdomen)²⁹. Persoana îngropată în M. 3 din T. IV de la *Alimândra* a fost depusă în poziția nr. 11 (întins pe spate, cu picioarele îndoite de la genunchi în sus și căzute ulterior pe dreapta)³⁰. Din cele menționate mai sus, este lesne de observat diversitatea pozițiilor defuncților din tumulul cercetat în punctul *Țarnă*: poziția 1 (două cazuri), poziția 7 (un caz), poziția 8 (un caz) și poziția 11 (tot un caz), spre deosebire de uniformitatea pozițiilor observate în cei doi tumuli de la *Alimândra*. Reînhumarea pare să fie atestată în M. 4 din T. III de la *Alimândra*, unde oasele lungi și coastele au fost așezate oarecum radial în jurul craniului și al bazinului, nefiind exclusă o asemenea explicație nici pentru oasele răvășite din M. 14 de la Râmnicelu³¹.

În absența unei analize antropologice, estimarea sexului și a vârstei defuncților din cele 13 morminte tumulare secundare de la Prăjeni este greu de realizat. Merită, totuși, menționat gradul mare de tocire al dinților în cazul scheletelor din M. 1 de la *Nelipești* și M. 2 de la *Țarnă*, posibil indiciu al unei vârste avansate. Conform observațiilor arheologilor, se pare că în M. 4 din T. IV de la *Alimândra* a fost înmormântat un adolescent. Judecând doar după inventarul depus (caracterizat prin prezența colierelor de mărgelă, a cerceilor, oglinzilor și fusaiolilor), M. 3 din T. III de la *Alimândra*, M. 1 de la *Nelipești*, M. 1, M. 3 și M. 9 de la *Țarnă* par să aparțină unor femei, în timp ce în M. 2 din T. III de la *Alimândra* și M. 7 de la *Țarnă* nu este exclus să fi fost înmormântați bărbați, dovadă fiind depunerea pumnalelor sau a cuțitelor.

¹³ Oța, Sîrbu 2016a, p. 265.

¹⁴ Oța 2020, p. 162.

¹⁵ Oța, Sîrbu 2016a, p. 265; Oța 2020, p. 162.

¹⁶ Palade 1978–1979, p. 249–250.

¹⁷ Buzdugan 1982, p. 30.

¹⁸ Păunescu et alii 1976, p. 257, nr. LVII.1.i; Zaharia et alii 1970, p. 281, nr. 220a;

¹⁹ Vendelin 1940, p. 101–102.

²⁰ Petrescu-Dîmbovița et alii 1999, p. 613, 616, 617.

²¹ Palade 1978–1979, p. 247.

²² Dinu 1959, p. 204; Chirica, Tanasachi 1985, p. 346, nr. LXII.5.B.II.3.

²³ Dinu 1955, p. 79–80.

²⁴ Palade 1981, p. 70–71, nr. 3.

²⁵ Zaharia 1959, p. 898.

²⁶ Petrescu-Dîmbovița 1937–1940, p. 431–432.

²⁷ Bichir 1993, p. 140–143.

²⁸ Oța, Sîrbu 2009, p. 141; Sîrbu et alii 2014, p. 97.

²⁹ Oța, Sîrbu 2009, p. 142.

³⁰ Oța, Sîrbu 2009, p. 142.

³¹ Oța, Sîrbu 2009, p. 131.

Suprapunerile de morminte, observate atât în cazul M. 1 și M. 2 din T. III de la *Alimândra*, cât și în cazul M. 7 și M. 9 de la *Țarnă*, atrag atenția, mai ales că reprezintă excepții în ceea ce privește grupurile de înmormântări, plane sau în forme înălțate de teren (tell, dune, tumuli) din Muntenia sau Moldova. Explicația suprapunerilor, cu distrugerea parțială a scheletului, în cazul M. 2 din T. III de la Prăjeni – *Alimândra*, suprapus de M. 1, sau fără a afecta osemintele, în cazul M. 9 din punctul *Țarnă*, suprapus, la doar 15 cm deasupra, de M. 7, poate ține atât de absența unor marcaje de suprafață ale complexelor funerare, cât și de distanța în timp a înmormântărilor (greu de estimat exact, oricum suficient cât să se piardă amintirea îngropărilor anterioare)³².

Toate cele 13 înmormântări sarmatice secundare în tumul mai vechi de la Prăjeni au avut inventar. Cu excepția M. 3 din T. IV de la *Alimândra*, posibil și a M. 4 din T. III din același punct (unde s-a găsit doar un fragment ceramic), în toate celelalte 11 morminte s-au depus vase ceramice, în număr de unul (nouă cazuri) sau două (T. III M. 2 de la *Alimândra* și *Țarnă* M. 7). Vasele sunt lucrate, cu precădere, cu mâna, însă, datorită faptului că multe dintre ele sunt distruse, nu li se mai poate cunoaște tipul și nici căuta analogii. Două dintre vasele lucrate cu mâna își găsesc însă analogii în alte descoperiri atribuite sarmaților. Cana lucrată cu mâna de la *Țarnă* M. 2 este foarte asemănătoare cu cana din M. 2 de la Măriuța³³, deși aceasta din urmă are corpul pronunțat bitronconic, cu carenă. Pe lângă indiciul cronologic (cana de la Măriuța se poate data la sfârșitul secolului I p.Chr.³⁴), cana lucrată cu mâna de la *Țarnă* este și o dovadă a preluării unor tipuri din repertoriul ceramicii dacice³⁵. Cana din M. 1 de la *Nelipești*, în schimb, se încadrează în rândul cănilor sarmatice lucrate cu mâna, fiind asemănătoare cu cana din M. 11 din curganul 17 de la Taraclia II, datat fie în a doua jumătate a secolului I p.Chr. – secolul al II-lea p.Chr., fie doar în a doua jumătate a secolului I p.Chr.³⁶. Deși mai puțin numeroase decât ceramica lucrată cu mâna, vasele lucrate la roată descoperite la Prăjeni ajută nu numai la datarea complexelor funerare, dar prilejuiesc și observații importante în ceea ce privește momentul pătrunderii unora dintre comunitățile sarmatice în Câmpia Jijiei. Cana din M. 3 din tumul III de la *Alimândra* este asemănătoare ca formă cu cana găsită în complexul funerar din cenușar de la Nadlimanskoe, datat fie în a doua jumătate a secolului I p.Chr. – secolul II p.Chr., fie doar în a doua jumătate a secolului I p.Chr.³⁷, deși aceasta din urmă nu are gura de scurgere ce caracterizează recipientul de la Prăjeni și este lucrată din pastă cenușie. O datare la fel de

timpurie o are recipientul de origine estică din T. 1 M. 122 de la Novogrigor'evka³⁸, deși și acesta are toarta diferită față de cana de la *Alimândra* și este lucrată din pastă cenușie. Cănița din M. 7 din tumulul 2 din punctul *Țarnă*, deși tot un recipient dacic, aparține unei alte tradiții decât cana din M. 2 din același tumul. Spre deosebire de cana din M. 2, cu analogii în repertoriul ceramicii dacice clasice, cana din M. 7 se poate încadra în tipul d 3 al cănițelor carpice (căniță cu corp globular, cu marginea simplă sau îngroșată răsfrântă și uneori prag la baza gâtului), cu analogii datate în cursul secolului al II-lea sau chiar mai târziu³⁹. Când menționăm observațiile importante despre momentul pătrunderii comunităților sarmatice în Câmpia Jijiei, aveam în vedere tocmai cănițele din M. 2 și M. 7 din tumulul de la *Țarnă*. Cana din M. 2 poate fi un argument în favoarea datării complexului funerar respectiv mai degrabă spre sfârșitul secolului I p.Chr., în timp ce cănița din M. 7 arată că această înmormântare s-a petrecut într-un moment situat la distanță în timp de momentul inițial al pătrunderii sarmaților în zonă, în cursul primei jumătăți a secolului al II-lea, analog M. 7 de la Lișcoteanca – *Moș Filon*⁴⁰. Distanța în timp dintre M. 2 (spre sfârșitul secolului I p.Chr.) și M. 7 (prima jumătate a secolului al II-lea) de la *Țarnă*, coroborată de observația intervalului de timp care s-a scurs între amenajarea M. 9 și a M. 7, arată că, deși grupurile de morminte sarmatice din Muntenia și Moldova sunt relativ reduse numeric, acesta nu este întotdeauna un argument al contemporaneității tuturor complexelor funerare dintr-un grup sau al amenajării lor la mică distanță în timp. Deși nu a fost descoperit într-un mormânt, și deci nu poate fi pus în legătură în mod cert cu prezența sarmatică în zonă, trebuie, totuși, menționat și faptul că recipientul ceramic descoperit pe tumulul de la *Nelipești* are analogii în rândul cănilor din necropola de la Oncești – *Cioara*⁴¹. În M. 9 de la Prăjeni – *Țarnă* s-a descoperit un castron lucrat la roată, produs într-un atelier de pe teritoriul Imperiului Roman, ce poate fi încadrat în tipul I 110 al ceramicii de la Singidunum⁴², datat în cursul secolului al II-lea.

Din M. 9 de la Prăjeni – *Țarnă* și T. III M. 3 de la *Alimândra* provin pandantive din bară profilată, piese întâlnite în număr mare în zona est- sau sud-carpatică și folosite intens în cursul secolului I p.Chr.⁴³. Dacă pentru M. 3 din T. III de la *Alimândra* datarea în cursul celei de-a doua jumătăți a secolului I p.Chr., sugerată de cană, dobândește un argument în plus prin prezența pandantivelor, datarea M. 9 de la *Țarnă* trebuie să țină cont de asocierea dintre pandantivele din bară profilată și castronul roman, ceea ce ar putea indica o datare la

³² Ursulescu 2004, p. 56.

³³ Sîrbu et alii 2014, p. 54–55, nr. 24.1.

³⁴ Sîrbu et alii 2014, p. 129.

³⁵ Ursulescu 2004, p. 56; Oța 2014–2015, p. 101.

³⁶ Grosu 1990, ris. 14/14; Bărcă 2006, p. 363, nr. 146/5, fig. 125/5.

³⁷ Grosu 1990, ris. 16 B 4; Bărcă 2006, p. 335, nr. 102/4, fig. 82/4.

³⁸ Bărcă, Symonenko 2009, p. 123, fig. 39/8.

³⁹ Bichir 1973, pl. CXXIV/3 (Poiana Dulcești – *Varniță*), CXXVIII/1–2 (Țițești); Spănu 2019, fig. 10, tipul V/3 (căni mici).

⁴⁰ Oța, Sîrbu 2009, p. 189.

⁴¹ Bichir 1973, pl. CXI/1.

⁴² Nikolić-Đorđević 2000, p. 58.

⁴³ Rustoiu 1996, p. 123–124.

începutul secolului al II-lea. În consecință, M. 7, ulterior ca amenajare M. 9, poate fi datat, mai degrabă, spre sfârșitul primului sfert sau în al doilea sfert al secolului al II-lea p.Chr.

Nu numai cana din M. 2 din tumulul din punctul *Țarnă* este de origine dacică, ci, foarte probabil, și fibula puternic profilată de tip răsăritean (Rustoiu tipul 20a), produsă într-una dintre așezările dacice de pe Siret (Poiana sau Brad, unde s-au găsit și ateliere), a cărei perioadă de maximă utilizare se plasează în a doua jumătate a secolului I p.Chr. și prima jumătate a secolului următor⁴⁴. În tipologia alcătuită de Kirsten Hellström, fibule precum exemplarele descoperite la Prăjeni – *Țarnă* M. 2 și Prăjeni – *Alimândra* T. IV M. 3 se încadrează în tipul IIA.2a (*Zweiknotenfibeln mit langem Fuß*), subvarianta 1a (lungime mai mică de 4,1 cm). Cercetătoarea menționată observă că fibulele IIA.2a.1a sunt răspândite mai ales în Dacia pre-romană, deși ele apar și în descoperiri din zona inferioară a fluviului Volga, în spațiul sud-caucazian sau la nordul Mării Negre, mai ales de-a lungul Nistrului și Prutului, și nu exclude nici ea posibilitatea ca Dacia pre-romană să fie spațiul de origine al acestor fibule, datate în a doua jumătate a secolului I p.Chr. și în prima jumătate a secolului al II-lea⁴⁵. Dacă datarea M. 3 din T. IV de la *Alimândra* nu poate fi, deocamdată, restrânsă față de intervalul de timp în care cei doi cercetători mai sus menționați presupun circulația tipului răsăritean de fibulă puternic profilată, asocierea, în M. 2 din punctul *Țarnă*, a unei astfel de piese de port cu un recipient ceramic cu analogii în repertoriul ceramicii dacice clasice poate indica o datare în cursul celei de-a doua jumătăți a secolului I p.Chr., cel mult în primii ani ai secolului următor.

Opiniile asupra originii fibulei din M. 4 din Tumulul III de la Prăjeni – *Alimândra* sunt diferite. În tipologia întocmită de Aurel Rustoiu, fibula respectivă se încadrează în tipul 9b (fibulă soldățească, având arcul circular sau poligonal în secțiune), ale cărui exemplare cunoscute în Dacia sunt puține la număr și considerate ca importuri romane⁴⁶. Tot importuri romane, atât în zona nord-pontică, cât și în provinciile dunărene, le consideră și Sorin Cociș, cu diferența că exemplarele din Dacia romană se datează în perioada domniei lui Traian⁴⁷. Kirsten Hellström este de părere că fibulele de schemă Latène târzie, varianta IC.1b (*mit geschweiftem Bügel und unterer Sehne*), pot fi atât produse locale, cât și importuri din lumea romană, iar datarea lor se circumscrie intervalului cronologic dintre sfârșitul secolului I a.Chr. și mijlocul secolului I p.Chr.⁴⁸.

Datarea timpurie a celor 13 morminte sarmatice secundare de la Prăjeni este susținută, pe lângă piesele discutate în rândurile de mai sus, și de oglinzile cu disc rotund și plat, descoperite în T. III M. 3 de la *Alimândra* și M. 1 de la *Țarnă*, piese a căror dominație încetează la sfârșitul secolului I p.Chr., iar prezența lor în contexte dateate la începutul secolului următor este sporadică⁴⁹. Ambele oglinzi de la Prăjeni au fost depuse în zona picioarelor, în stânga, aceeași poziție, cu deosebirea că oglinda a fost găsită în partea dreaptă, fiind înregistrată și în cazul M. 8 din T. 1 de la Giurcani⁵⁰, datat în a doua jumătate a secolului p.Chr.⁵¹.

Nu în ultimul rând, sunt de menționat exemplarele asemănătoare din Crimeea ale clopoștelor din M. 9 de la Prăjeni – *Țarnă*, datate în ultima treime a secolului I p.Chr. sau în prima jumătate a secolului următor⁵².

Ceea ce ar mai trebui menționat este prezența numărului destul de mare de piese pe care sarmații pătrunși în zona actualului sat Prăjeni le-au preluat de la daci⁵³: cana lucrată cu mâna de la Prăjeni – *Țarnă* M. 2, cănița din M. 7 din același punct, fibulele puternic profilate de la Prăjeni – *Alimândra* T. IV M. 3 și *Țarnă* M. 2, pandantivele din bară profilată de la *Alimândra* T. III M. 3 și *Țarnă* M. 9, posibil și pandantivele în formă de căldărușă din acest ultim mormânt⁵⁴. Importurile romane, în schimb, sunt puține la număr: castronul din M. 9 din tumulul cercetat în punctul *Țarnă* și, probabil, fibula din T. III M. 4 de la *Alimândra*, ca și amforele din T. III M. 1 și M. 8 de la *Alimândra*.

Prezența pieselor de origine dacică în mormintele de la Prăjeni este un indiciu important al faptului că unele dintre înmormântările din zona respectivă au avut loc după ce sarmații au stabilit relații cu dacii din regiune, ceea ce presupune un interval de timp, greu de estimat precis, între momentul propriu-zis al sosirii într-un teritoriu și amenajarea înmormântărilor⁵⁵. Datarea generală a mormintelor secundare din tumulii de la Prăjeni este una timpurie⁵⁶, în intervalul de timp ce cuprinde a doua jumătate a secolului I p.Chr. și prima jumătate a secolului următor. Nu este exclus ca cele cinci morminte din tumulul de la Prăjeni – *Țarnă* să fie mai târzii decât mormintele din tumulii de la *Alimândra* și *Nelipești*, având în vedere prezența, în trei complexe funerare, a pieselor de origine dacică. Printre cele mai timpurii morminte se numără M. 3 și M. 4 din T. III de la *Alimândra*, M. 4 din T. IV de la *Alimândra*, M. 1 și M. 2 din punctul *Țarnă*, posibil și M. 1 din punctul *Nelipești*, al cărui inventar funerar sugerează o datare în cursul celei de-a

⁴⁴ Rustoiu 1997, p. 53–54.

⁴⁵ Hellström 2018, p. 78–80.

⁴⁶ Rustoiu 1997, p. 42.

⁴⁷ Cociș 2004, tipul 3, p. 39 (fibule Latène târzii, subtipul 3d2, cu secțiune dreptunghiulară și corp neornamentat), pl. I/10, iar pentru discuție p. 40.

⁴⁸ Hellström 2018, p. 60–62.

⁴⁹ Bărcă, Symonenko 2009, p. 172.

⁵⁰ Buzdugan 1981, p. 15; Ursulescu 2004, p. 55.

⁵¹ Bichir 1993, p. 160; Babeș 1999, p. 230; Bărcă 2006, p. 312–313, nr. 63.

⁵² Trufanov 2005–2009, ris. 67/14 și p. 237.

⁵³ Ursulescu 2004, p. 56.

⁵⁴ Rustoiu 1996, p. 125.

⁵⁵ Oța, Sîrbu 2016a, p. 278.

⁵⁶ Ursulescu 2004, p. 55–56.

doua jumătăți a secolului I p.Chr., cel mai târziu la începutul secolului următor. Mai târziu par să se dovedească M. 9 din punctul *Țarnă* (datat probabil la începutul secolului al II-lea p.Chr.) și, cu siguranță, unul dintre cele mai târziu complexe funerare este M. 7 de la Prăjeni – *Țarnă*, datat probabil spre sfârșitul ultimului sfert sau în cel de-al doilea sfert al secolului al II-lea p.Chr.

Mormântul de la Prăjeni – *Lutărie 2* se deosebește de mormintele discutate anterior atât ca amenajare (mormânt plan), amplasare (mormânt și urme de așezare în același loc), cât și ca inventar. Fetița de până în șapte ani a fost înmormântată doar cu piese de podoabă: colier din mărgelile și pandantive, cercei și brățară, ale căror analogii pledează pentru o încadrare în secolul al III-lea. Mărgelile decorate cu dungi sunt foarte rar întâlnite în mormintele sarmatice din Muntenia (M. 1 de la Spiru Haret)⁵⁷ sau Moldova (Vădeni – astăzi Raiu)⁵⁸, iar datarea lor se circumscrie secolelor III–IV p.Chr.⁵⁹ în alte complexe din Muntenia și Moldova sau în provinciile romane învecinate, cu toate că în necropola de la Ust'-Alma sunt date mult mai timpurii, în prima jumătate a secolului al II-lea p.Chr.⁶⁰. Ceea ce ar putea sugera o restrângere a acestei datări doar în cursul secolului al III-lea, este tipul cerceilor, cu analogii în necropola de la Ust'-Alma, într-un mormânt datat la mijlocul secolului al III-lea⁶¹ deși asemenea podoabe se întâlnesc și în complexe funerare mai timpurii⁶². Din păcate, cu excepția sondajului în urma căruia s-a descoperit mormântul, cele două locuințe și cele 11 gropi, nu s-a mai putut întreprinde nicio altă cercetare arheologică în punctul *Lutărie 2*, astfel încât raportul exact dintre o eventuală așezare și înmormântarea fetiței nu poate fi clarificat. Cele patru gropi cu materiale care pot fi date în cursul secolelor II–III p.Chr., coroborate cu descoperirile similare din strat, ar putea fi argumente în sprijinul ipotezei unei așezări dacice. În acest caz, înmormântarea ar putea sugera prezența unor sarmați ajunși aici în urma unei migrații individuale⁶³. Totuși, nu este exclus ca mormântul de inhumație sarmatic să fie ulterior existenței așezării dacice, astfel încât să fie, în realitate, un mormânt izolat, pe locul unei foste așezări. Presupunerea existenței unui mormânt într-o așezare sezonieră ce a aparținut sarmaților, așezare care nu a lăsat urme vizibile în teren și care a coincis cu locul unei așezări dacice abandonate, este greu de susținut, deși nu imposibilă. Fiind vorba de o așezare sezonieră, este de așteptat ca descoperirile de piese să fie puține, iar stratul de locuire să fie unul

superficial⁶⁴, însă în cazul de la *Lutărie 2*, nu există nicio descoperire care să poată fi citată în sprijinul ipotezei încadrării mormântului amintit într-un fenomen observat în zona de vest a *barbaricum*-ului sarmatic, acela al înmormântărilor de copii practicate în așezări⁶⁵. Ar mai fi de menționat faptul că fetița nu a avut un tratament funerar atipic, fiind depusă în poziție de decubit dorsal, cu brațele întinse pe lângă corp, într-un mormânt, astfel încât ipoteza unui eventual sacrificiu sau a unei persoane marginalizate social este exclusă. Atribuirea acestei înmormântări dacilor nu pare să fie nici ea probabilă. Deși din inventarul mormântului de la *Lutărie 2* nu provin piese tipice sarmaților, totuși, izolarea teritorială, ritul inhumației, orientarea pe direcția N–S și analogiile podoabelor pledează în favoarea atribuirii acestui complex funerar sarmaților și nu dacilor.

Chiar dacă numărul mormintelor sarmatice cunoscute până în prezent în zona dintre Prut și Carpați nu s-a modificat, rămânând în jurul a 220 de complexe funerare⁶⁶, publicarea sistematică a complexelor funerare sarmatice de la Prăjeni este menită să introducă în circuitul științific descoperiri despre care, până acum, se cunoașteau prea puține date. Densitatea mormintelor într-o zonă atât de restrânsă teritorial face din Prăjeni una dintre concentrările importante de complexe funerare sarmatice⁶⁷. Importanța nu rezidă atât în numărul de morminte descoperite (căci există grupări cu număr mai mare de morminte), cât în distribuția lor inițială în trei puncte (*Alimândra*, *Nelipești*, *Țarnă*). Din această perspectivă, regiunea Prăjeni este asemănătoare cu zona de la Lișcoteanca (21 de morminte, concentrate în trei puncte, toate date în prima etapă de pătrundere a sarmaților în Muntenia, la sfârșitul secolului I p.Chr. și la începutul secolului următor⁶⁸) sau cea de la Oltenița (38 de înmormântări sarmatice, însă majoritatea date în cea de-a doua etapă de pătrundere a sarmaților în Muntenia, începând cu sfârșitul secolului al II-lea p.Chr.⁶⁹).

⁵⁷ Oța, Sîrbu 2009, nr. IX A 39, p. 63, fig. 5/2, 24/7, 25/6.

⁵⁸ Palade 1981, p. 70–71, nr. 3.

⁵⁹ Vezi discuția la Oța, Sîrbu 2009, p. 64.

⁶⁰ Trufanov 2005–2009, ris. 76/55 și p. 292–293.

⁶¹ Trufanov 2010, T. 824, M. 3, p. 170, nr. 4, ris. 19/11.

⁶² Trufanov 2010, p. 170.

⁶³ Ursulescu 2004, p. 56.

⁶⁴ Hauser 2006, p. 12.

⁶⁵ Grumeza et alii 2013, p. 24–26.

⁶⁶ Oța, Sîrbu 2016b, p. 214 și 230.

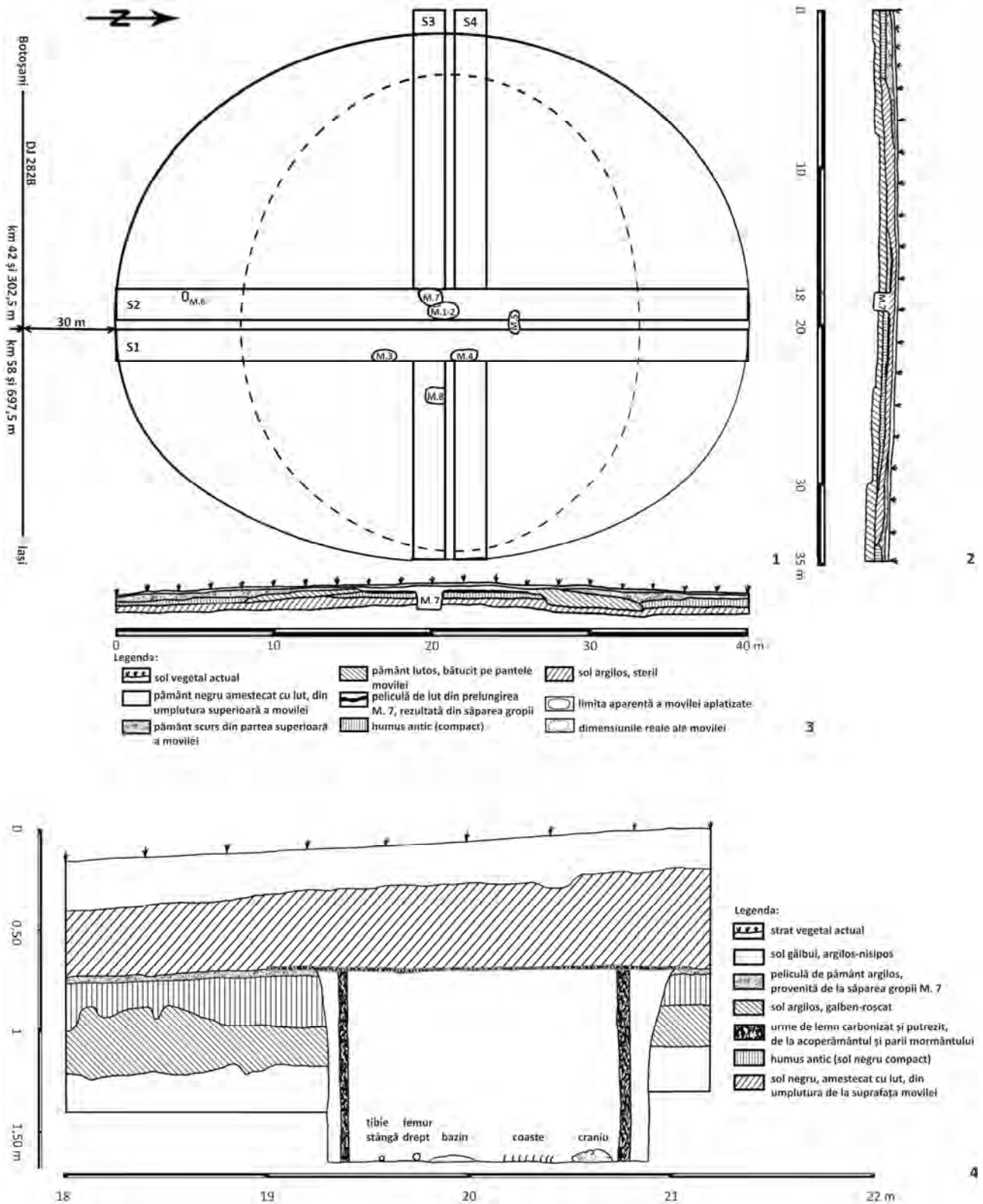
⁶⁷ Având în vedere faptul că cercetările au fost limitate doar la anumite puncte, în care se întreprindeau lucrări de îmbunătățiri funciare, nu este deloc exclus ca numărul mormintelor să fi fost, în realitate, mai mare.

⁶⁸ Oța, Sîrbu 2009, p. 185–189.

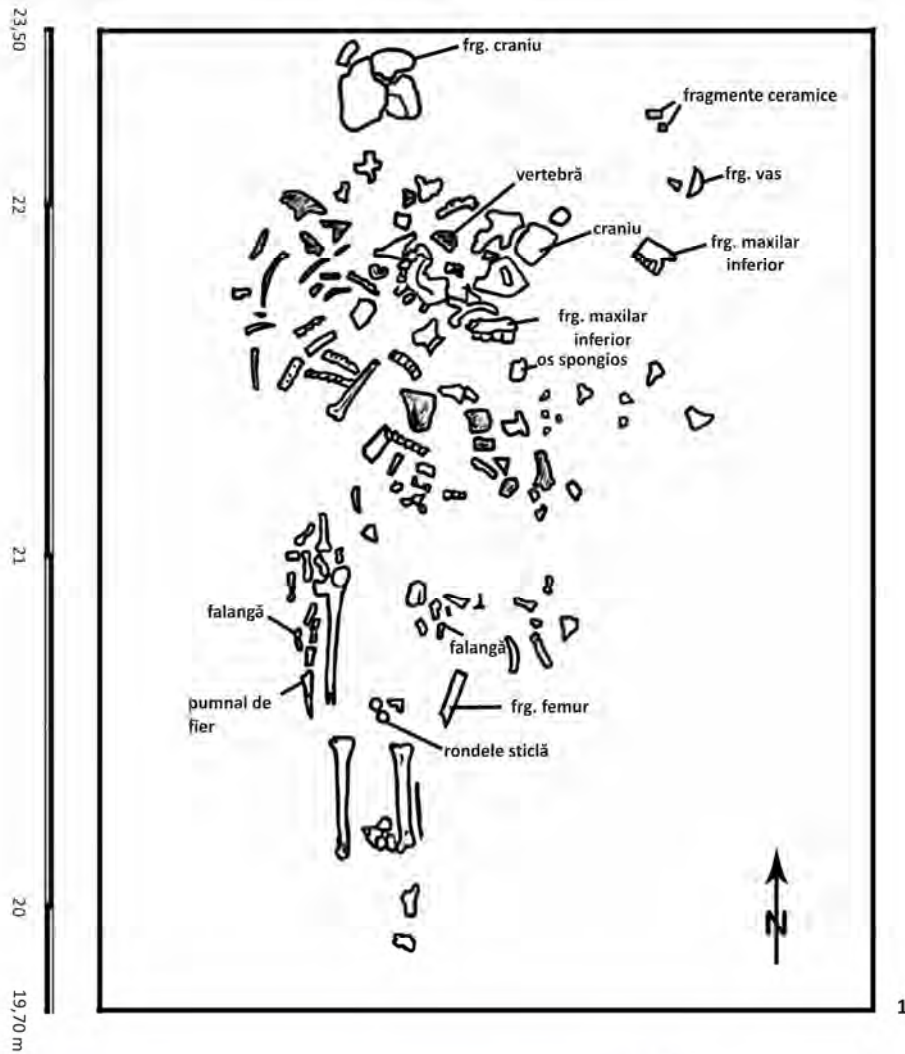
⁶⁹ Sîrbu et alii 2014, p. 58–69, nr. 28–34, iar pentru caracterizarea mormintelor, vezi p. 121–122 (punctul *Renie*), 123–124 (*lordoc*), 125 (*Coada Lupului*), 127 (Ulmeni), 128 (*Valea Mare*), 131 (*Coada Malului și Puțul de Cărămidă*).

BIBLIOGRAFIE

- Babeș 1999 – M. Babeș, *Ein Tamga-Zeichen aus der dakischen Siedlung von Ocnîța (Buridava)*, în: N. Boroffka, T. Soroceanu (eds.), *Transsilvanica. Archäologische Untersuchungen zur älteren Geschichte des südöstlichen Mitteleuropa*, Internationale Archäologie, Studia honoraria 7, Rahden/Westf., 1999, p. 223–239.
- Bârcă 2006 – V. Bârcă, *Istorie și civilizație. Sarmati în spațiul est-carpatic (sec. I a. Chr. – începutul sec. II p. Chr.)*, Cluj-Napoca, 2006.
- Bârcă, Symonenko 2009 – V. Bârcă, O. Symonenko, *Călăreții stepelor. Sarmatii în spațiul nord-pontic*, Cluj-Napoca, 2009.
- Bichir 1973 – Gh. Bichir, *Cultura carpică*, BA 20, București, 1973.
- Bichir 1993 – Gh. Bichir, *Date noi cu privire la pătrunderea sarmaților în teritoriul geto-dacic (I)*, SCIVA 44, 1993, 2, p. 135–169.
- Burtănescu 2002 – F. Burtănescu, *Epoca timpurie a bronzului între Carpați și Prut, cu unele contribuții la problemele perioadei premergătoare epocii bronzului în Moldova*, BiblThrac 37, București, 2002.
- Buzdugan 1981 – C. Buzdugan, *Cercetările arheologice de la Giurcani, jud. Vaslui*, CA 4, 1981, p. 7–19.
- Buzdugan 1982 – C. Buzdugan, *Săpăturile arheologice din anul 1980 de la Giurcani, jud. Vaslui*, CA 5, 1982, p. 29–35.
- Chirica, Tanasachi 1985 – V. Chirica, M. Tanasachi, *Repertoriul arheologic al județului Iași*, vol. II, Iași, 1985.
- Ciucălău 2018 – D. Ciucălău, *Sarmatii în nordul Moldovei. Catalog de expoziție*, Baia Mare, 2018.
- Cociș 2004 – S. Cociș, *Fibulele din Dacia romană / The Brooches from Roman Dacia*, BiblEphemNap 3, Cluj-Napoca, 2004.
- Dinu 1955 – M. Dinu, *Descoperirile arheologice de la Valea Lupului – Iași*, AȘUI, secțiunea III, tom I, 1955, fasc. 1–2, p. 65–86.
- Dinu 1959 – M. Dinu, *Șantierul arheologic de la Valea Lupului*, MCA 6, 1959, p. 203–211.
- Grosu 1990 – V. I. Grosu, *Hronologija pamjatnikov sarmatskoj kul'tury Dnestrovsko-Prut'skogo mezhdureč'ja*, Kișinev, 1990.
- Grumeza et alii 2013 – L. Grumeza, A. Ursuțiu, G. Copos, *Arad „Barieră”. Cercetări arheologice preventive într-un sit de epocă sarmatică / Arad “Barieră”. Rescue excavation in a Sarmatian period site*, Patrimonium Archaeologicum Transylvanicum 6, Cluj-Napoca, 2013.
- Hauser 2006 – S. R. Hauser, *Zur Einleitung: Archäologische Annäherungen an Nomaden*, în: S.R. Hauser (ed.), *Die Sichtbarkeit von Nomaden und saisonaler Besiedlung in der Archäologie. Multidisziplinäre Annäherungen an ein methodisches Problem, Mitteilungen des SFB „Differenz und Integration” 9*, Orientwissenschaftliche Hefte 21, 2006, p. 1–26.
- Hellström 2018 – K. Hellström, *Fibeln und Fibeltracht der Sarmatischen Zeit im Nordschwarzmeergebiet (2. Jh. v. Chr. – 3. Jh. n. Chr.)*, Archäologie im Eurasien 39, Bonn, 2018.
- Nikolić-Đorđević 2000 – S. Nikolić-Đorđević, *Antična keramika Singidunuma. Oblici posuda (Antique Pottery from Singidunum. Forms of Vessels)*, în: M. Popović (ed.), *Singidunum 2*, Belgrad, 2000, p. 11–244.
- Oța 2014–2015 – L. Oța, *Observations on the Sarmatian Graves in Wallachia in which Hand-made Pottery Was Deposited*, Th-D SN 6–7 (29–30), 2014–2015, p. 95–118.
- Oța 2018 – L. Oța, *Sarmatian Children Graves in Wallachia and Moldavia*, Tyrageția SN, 12 [27], 2018, 1, p. 41–70.
- Oța 2020 – L. Oța, *The second stage of Sarmatian settlement in Wallachia*, Arheologija i davnja istorija Ukrajini 3 (36), 2020, p. 157–177.
- Oța, Sîrbu 2009 – L. Oța, V. Sîrbu, *Sarmatii din județul Brăila / The Sarmatians in Brăila County*, Brăila, 2009.
- Oța, Sîrbu 2016a – L. Oța, V. Sîrbu, *The early settlement of Sarmatians in Wallachia*, Tyrageția SN, 10 [25], 2016, 1, p. 261–284.
- Oța, Sîrbu 2016b – L. Oța, V. Sîrbu, *Aproape de limes – Sarmatii din Muntenia, Moldova, Crișana și Banat / Close to the Limes – Sarmatians from Wallachia, Moldavia, Crișana and the Banat*, în: V. Sîrbu (ed.), *Proceedings of the 15th International Colloquium of Funerary Archaeology „Interdisciplinary Methods of Research for Prehistoric and Protohistoric Funerary Monuments”*, Brăila, 20th – 22nd May 2016, Istros 22, Brăila, 2016, p. 205–255.
- Oța, Sîrbu 2020 – L. Oța, V. Sîrbu, *Funerals and Social Status at Sarmatians from a Border Area – Wallachia and Moldavia*, în: S. Matei (ed.), *Bronze and Iron Ages in Eurasia: Rituals and Grave Goods as Possible Markers of the Social Identity of the Dead. Proceedings of the 18th International Colloquium of Funerary Archaeology, Buzău (Romania), 17th–20th October 2018*, Mousaios 23, Buzău, 2020, p. 197–219.
- Palade 1978–1979 – V. Palade, *Descoperiri sarmatice din secolele II-III e.n. în sud-estul colinelor Tutovei*, Cercist SN 9–10, 1978–1979, p. 247–260.
- Palade 1981 – V. Palade, *Noi descoperiri sarmatice în zona Bârladului*, Hierasus 1, 1981, p. 69–82.
- Păunescu et alii 1976 – A. Păunescu, P. Șadurschi, V. Chirica, *Repertoriul arheologic al județului Botoșani*, București, 1976.
- Petrescu-Dîmbovița 1937–1940 – M. Petrescu-Dîmbovița, *Archäologische Forschungsreise im Bezirk Covurlui (Untere Moldau)*, Dacia 7–8, 1937–1940, p. 427–446.
- Petrescu-Dîmbovița et alii 1999 – M. Petrescu-Dîmbovița, M. Florescu, A. C. Florescu, *Trușești. Monografie arheologică*, București – Iași, 1999.
- Rustoiu 1996 – A. Rustoiu, *Metalurgia bronzului la daci (sec. II î. Chr. – sec. I d. Chr.)*, Tehnici, ateliere și produse de bronz, BiblThrac 15, București, 1996.
- Rustoiu 1997 – A. Rustoiu, *Fibulele din Dacia preromană (sec. II î.e.n. – I e.n.)*, BiblThrac 22, București, 1997.
- Sîrbu et alii 2014 – V. Sîrbu, L. Oța, A. Vilcu, M. Neagu, V. Oprea, *Sudul Munteniei în secolele I a. Chr. – III p. Chr. Sarmatii, daci, romani*, Brăila, 2014.
- Spănu 2019 – D. Spănu, cu contribuții de M. Babeș, N. Mirițoiu și M. Culea, *Poienești. Necropola din secolele II – III*, Cluj-Napoca, 2019.
- Șadurschi, Ungureanu 1997 – P. Șadurschi, N. Ungureanu, *Așezarea dacilor liberi de la Botoșani „Groapa lui Ichim” (sfârșitul secolului II d. Chr.)*, Raport de săpătură pe anul 1993, Hierasus 10, 1997, p. 37–48.
- Șadurschi, Ursulescu 1989 – P. Șadurschi, N. Ursulescu, *Date istorico-arheologice privind dinamica locuirii în bazinul Miletinului (zona comunei Prăjeni, jud. Botoșani)*, Hierasus 7–8, 1989, p. 281–298.
- Șovan 2013 – O. L. Șovan, *Repertoriul arheologic al județului Botoșani*, Bibliotheca Archaeologica „Hierasus” Monographica 4, Botoșani, 2013.
- Trufanov 2005–2009 – A. A. Trufanov, *Hronologija mogilnikov Predgornogo Kryma I v. do n.e. – III v.n.e.*, StratumPlus 4, 2005–2009, p. 117–328.
- Trufanov 2010 – A. A. Trufanov, *Pogrebenija III v. n. e. na jugo-zapadnoj okrajine Ust'-Al'minskogo nekropolja*, StratumPlus 4, 2010, p. 145–195.
- Ursulescu 2004 – N. Ursulescu, *Considérations sur les relations des sarmates avec les gèto-daces entre Sireth et Pruth*, în: *Thracians and Circumpontic World. Proceedings of the Ninth International Congress of Thracology, Chișinău-Vadul lui Vodă, 6–11 September 2004*, vol. III, Chișinău, 2004, p. 54–60.
- Ursulescu et alii 1996 – N. Ursulescu, P. Șadurschi, M. Diaconescu, *Prăjeni, jud. Botoșani*, în: *Situri arheologice cercetate în perioada 1983–1992*, Brăila, 1996, p. 92–93, nr. 212.
- Ursulescu et alii 1997 – N. Ursulescu, P. Șadurschi, M. Diaconescu, *Prăjeni, jud. Botoșani*, CCA 1983–1992, A XXI-a Sesiune națională de rapoarte arheologice, București, 1997, p. 76–78, nr. 53.
- Ursulescu, Șadurschi 1986 – N. Ursulescu, P. Șadurschi, *Săpăturile din 1985 din necropola tumulară de la Prăjeni (județul Botoșani)*, Hierasus 6, 1986, p. 15–23.
- Vendelin 1940 – I. Vendelin, *Un tumul la Tecuci*, RPAN 2–4, 1940, p. 101–103.
- Zaharia 1959 – E. Zaharia, *Morminte sarmatice descoperite la Cioinagi în 1949 (r. Tg. Berești, reg. Galați)*, MCA 6, 1959, p. 897–902.
- Zaharia et alii 1970 – N. Zaharia, M. Petrescu-Dîmbovița, E. Zaharia 1970, *Așezări din Moldova. De la paleolitic până în secolul al XVIII-lea*, București, 1970.



Planșa I. Prăjeni – Alimândra, 1986, T. III. 1. Plan general; 2. Profil nord S 3; 3. Profil vest S 2; 4. Profil vest S 2 (în zona M. 7) / Prăjeni – Alimândra, 1986, T. III. 1. General plan; 2. S 3 northern profile; 3. S 2 western profile; 4. S 2 western profile (in the area of G. 7).

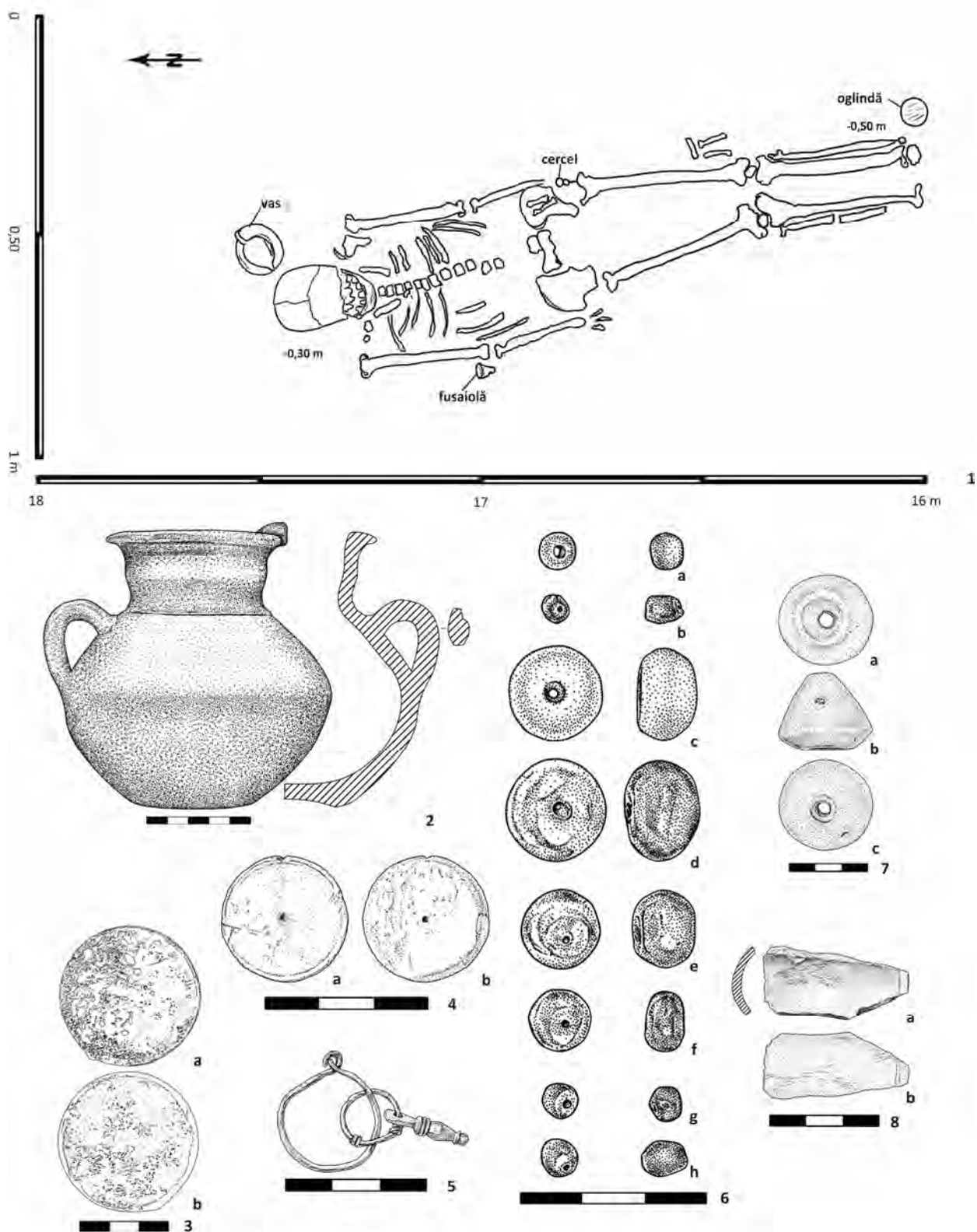


2



3

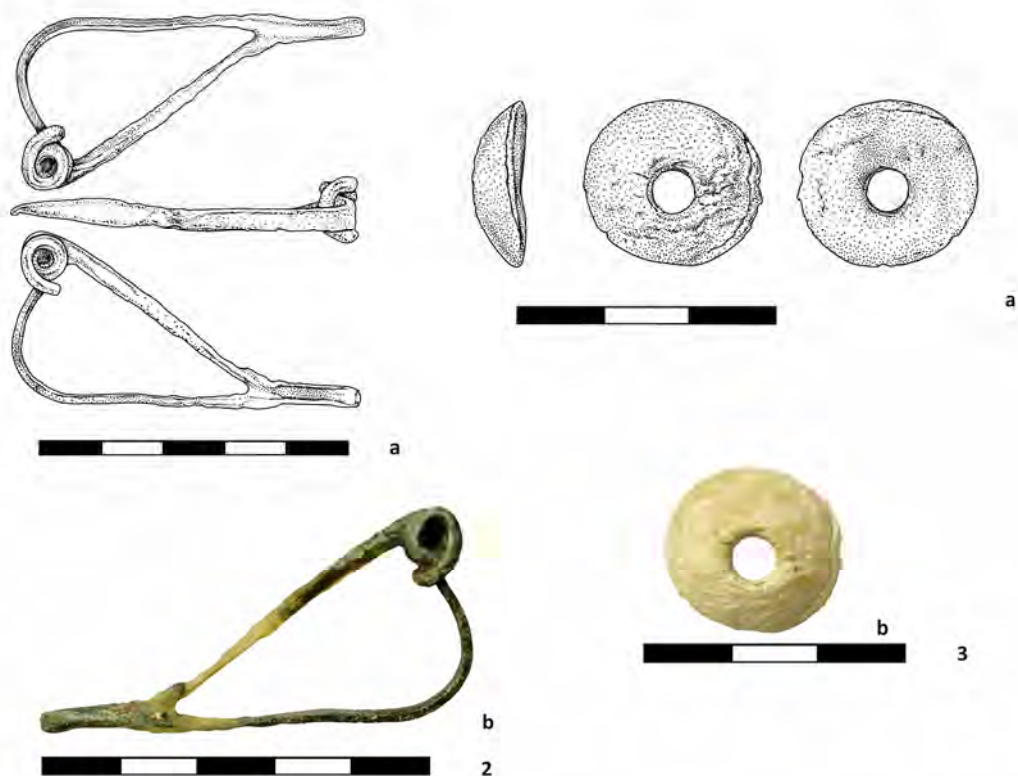
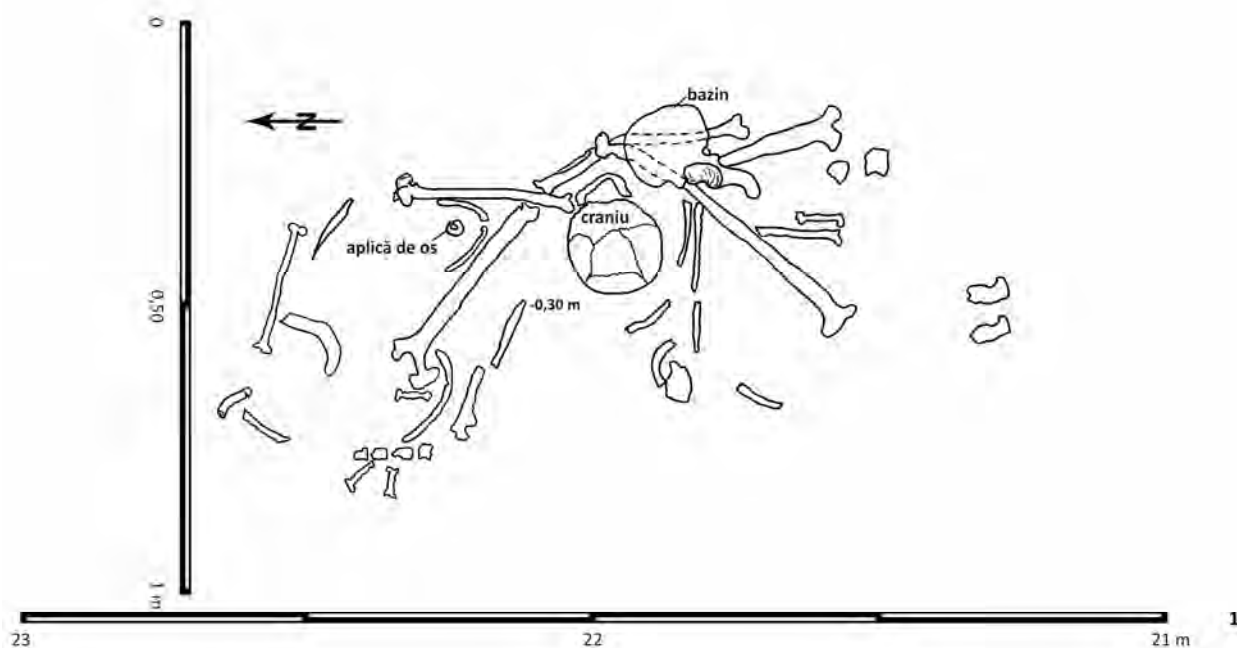
Planșa II. Prăjeni – Alimândra, 1986, T. III, M. 1 – M. 2. 1. Plan; 2. T. III, M. 2 – pumnal; 3. T. III, M. 2 – rondelă de sticlă / Prăjeni – Alimândra, 1986, T. III, G. 1 – G. 2. 1. Plan; 2. T. III, G. 2 – dagger; 3. T. III, G. 2 – small round glass disc.



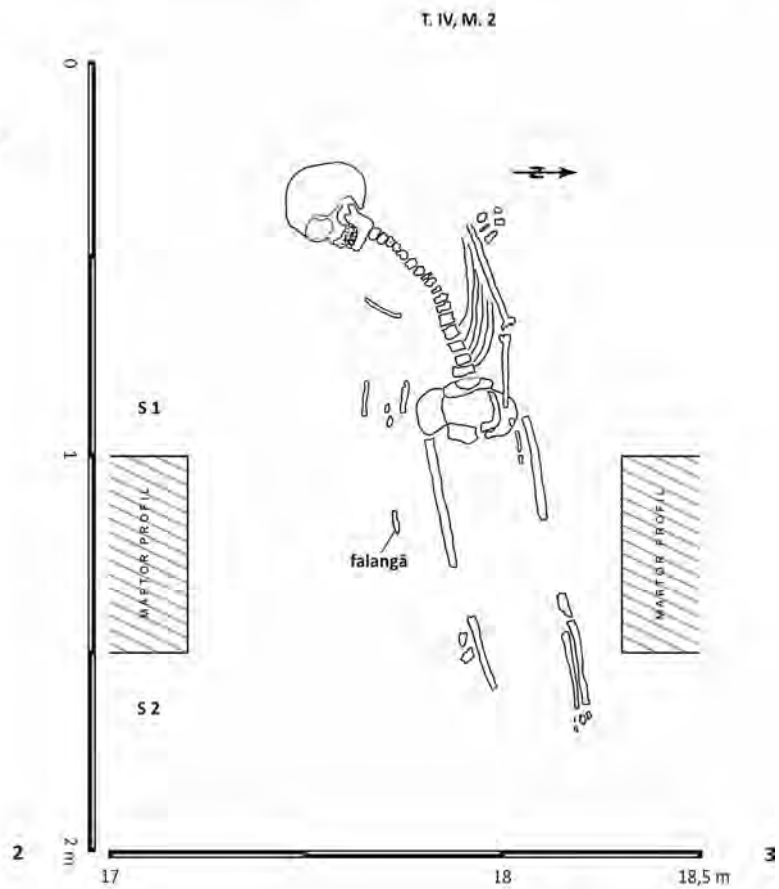
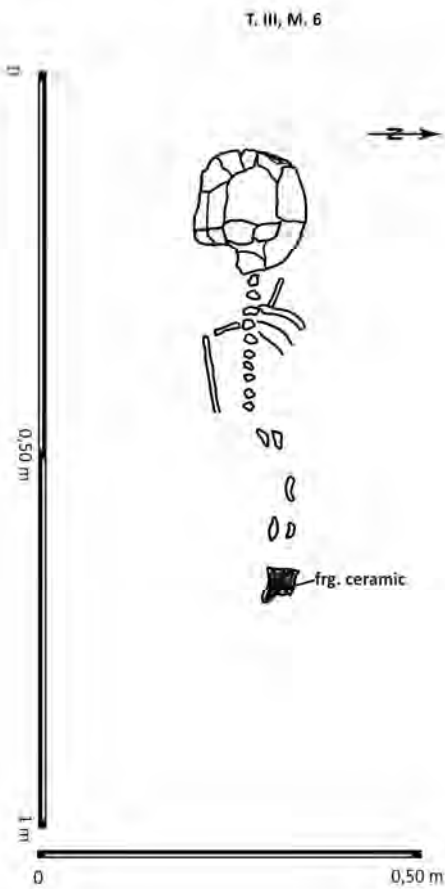
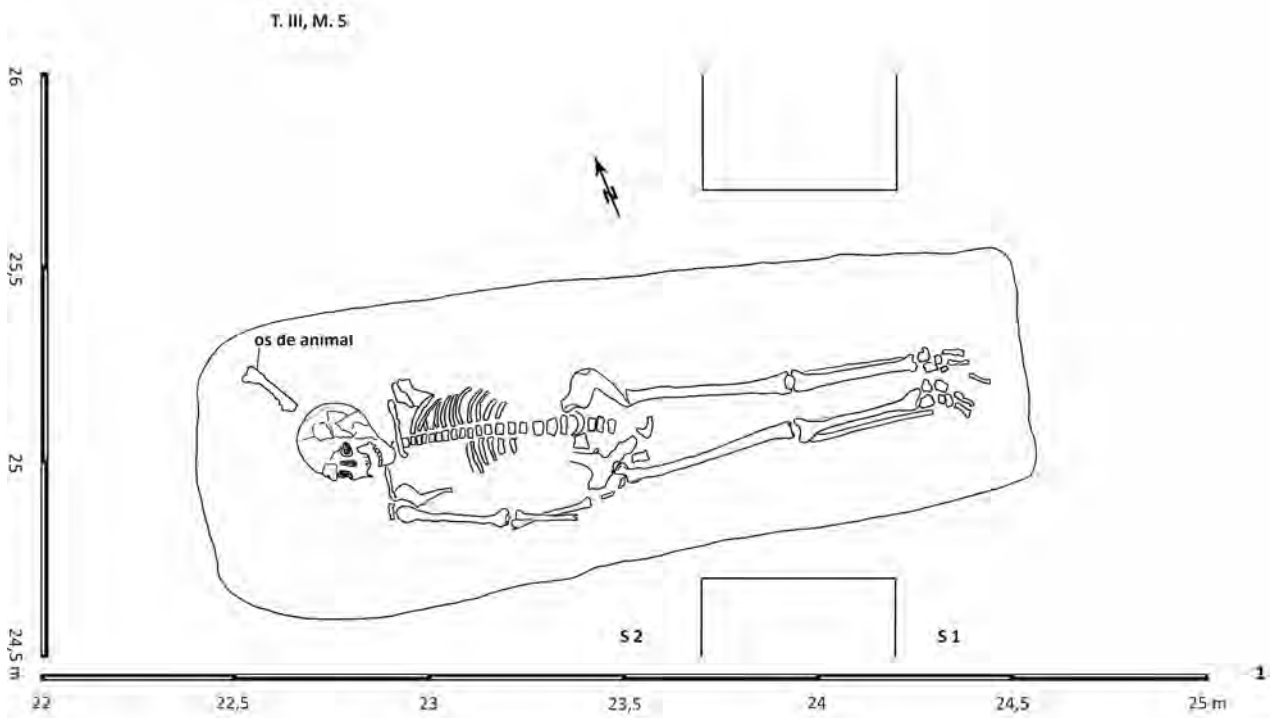
Planșa III. Prăjeni – Alimândra, 1986, T. III, M. 3. 1. Plan; 2. Cană; 3. Oglindă; 4. Piesă de os; 5. Cercel; 6. Mărgele; 7. Fusaioală; 8. Placă de os / Prăjeni – Alimândra, 1986, T. III, G. 3. 1. Plan; 2. Mug; 3. Mirror; 4. Bone item; 5. Earring; 6. Beads; 7. Spindle whorl; 8. Bone plaque.



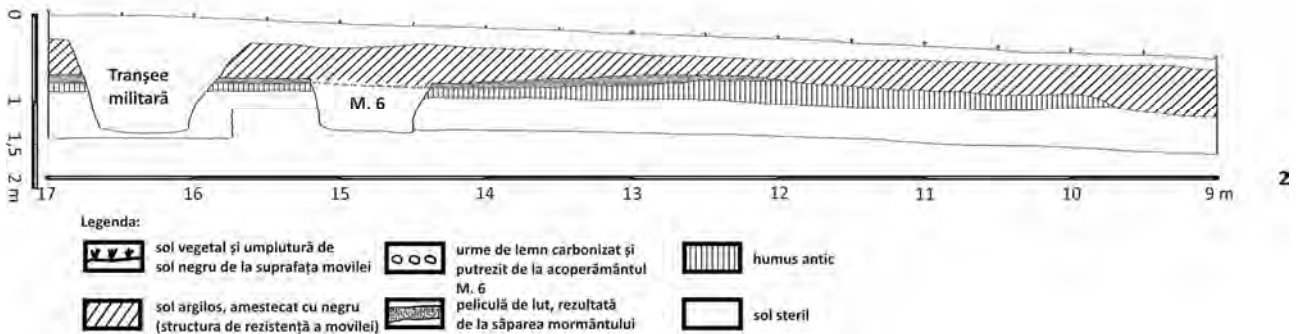
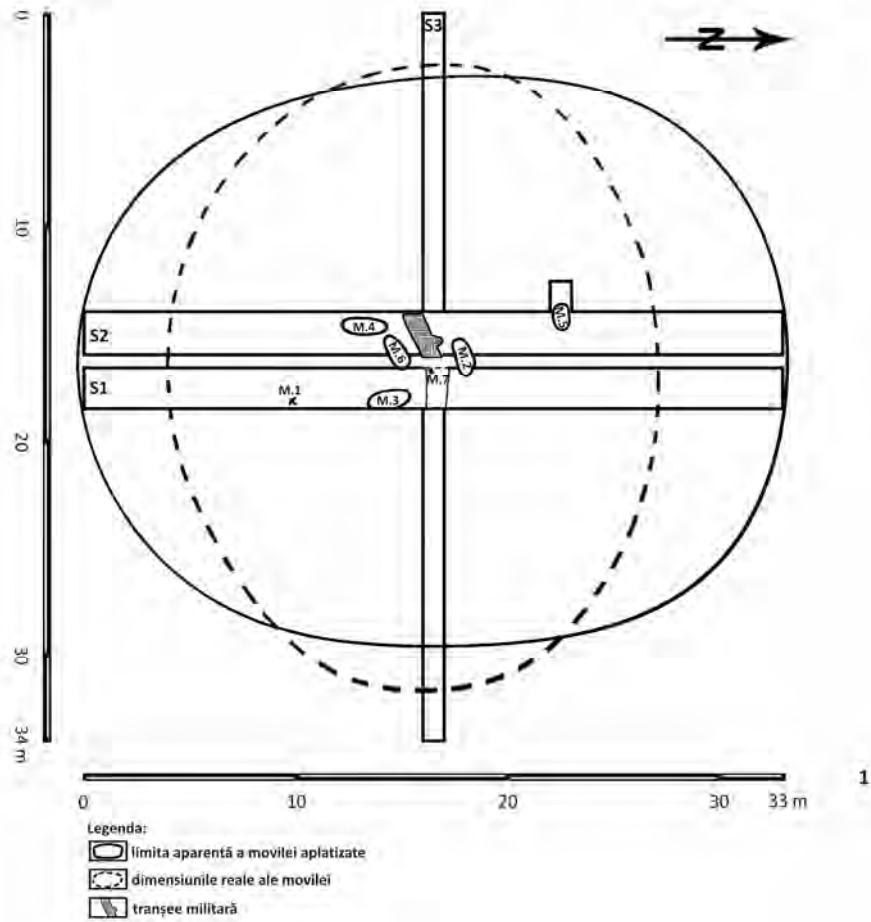
Planșa IV. Prăjeni – *Alimândra*, 1986, T. III, M. 3. 1. Cană; 2. Oglindă; 3. Piesă de os; 4. Cercel; 5–6. Mărgele; 7. Fusaiolă; 8. Placă de os / Prăjeni – *Alimândra*, 1986, T. III, G. 3. 1. Mug; 2. Mirror; 3. Bone item; 4. Earring; 5–6. Beads; 7. Spindle whorl; 8. Bone plaque.



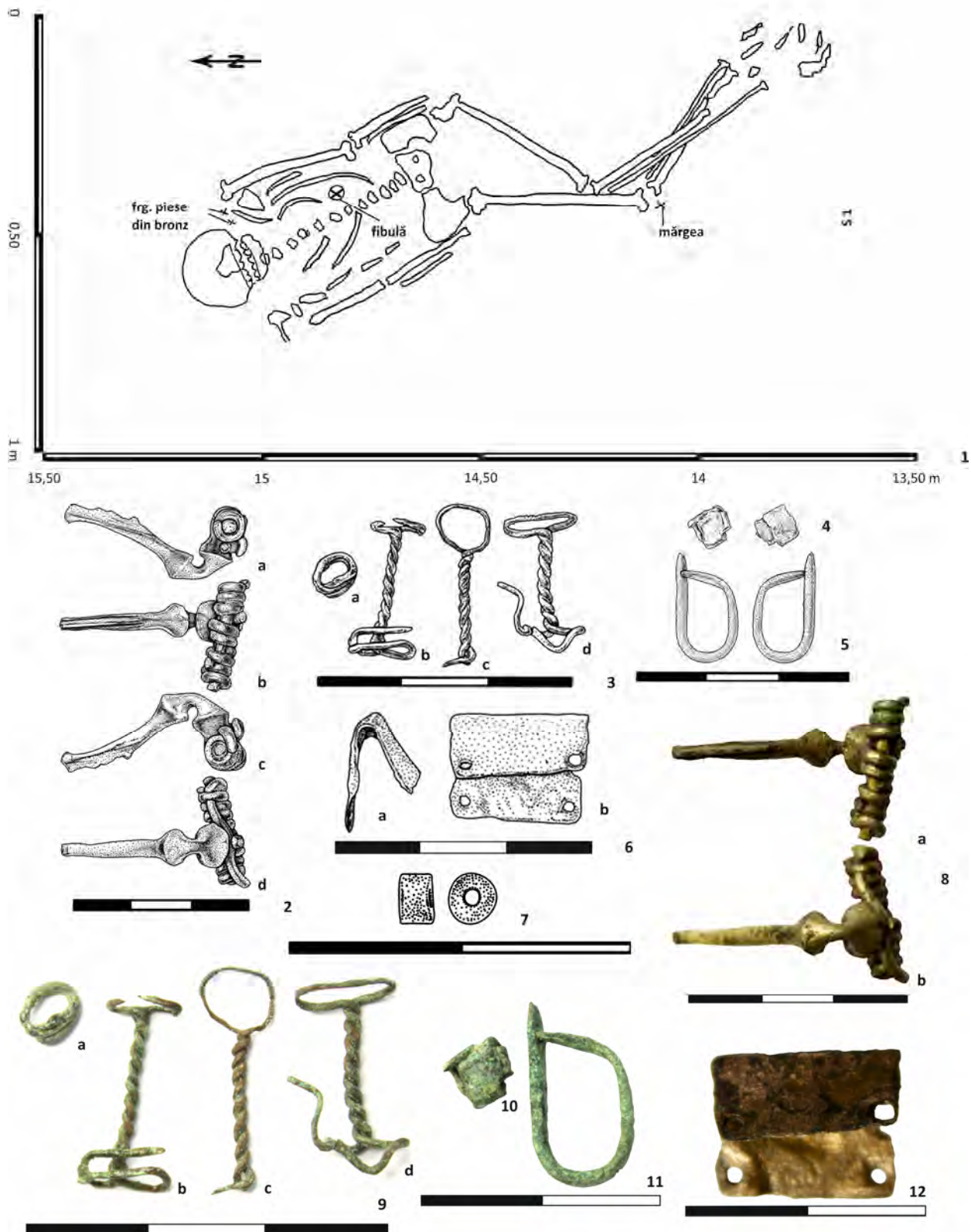
Planșa V. Prăjeni – *Alimândra*, 1986, T. III, M. 4. 1. Plan; 2. Fibulă; 3. Aplică de os / Prăjeni – *Alimândra*, 1986, T. III, G. 4. 1. Plan; 2. Brooch; 3. Bone appliqué.



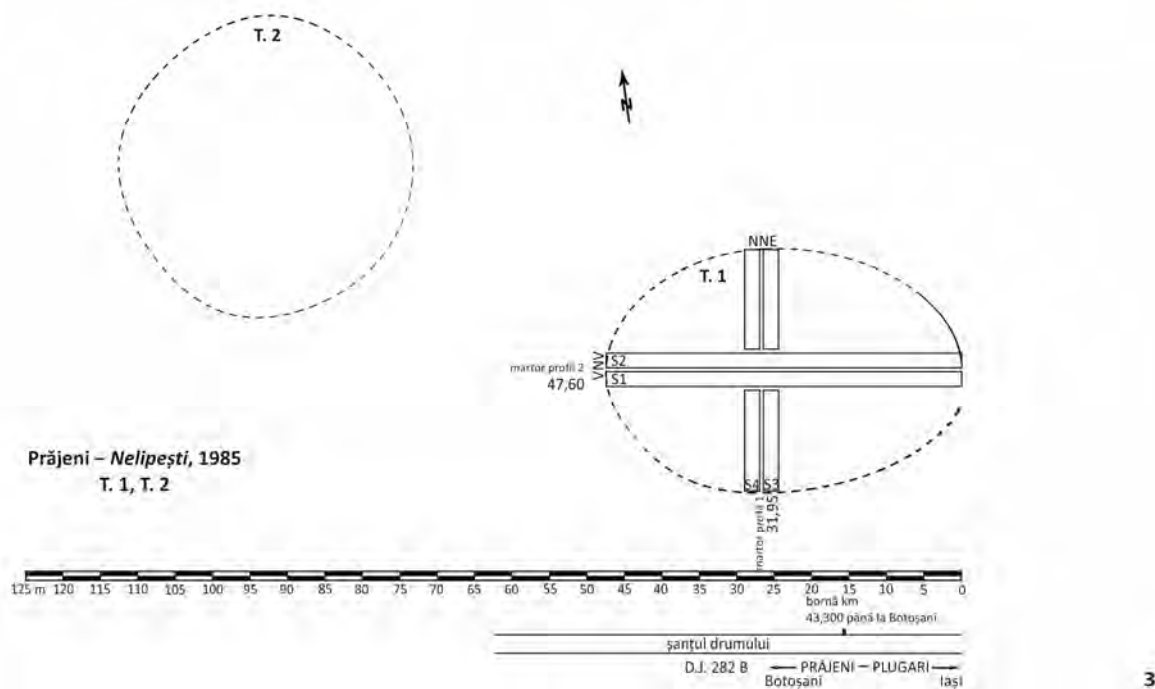
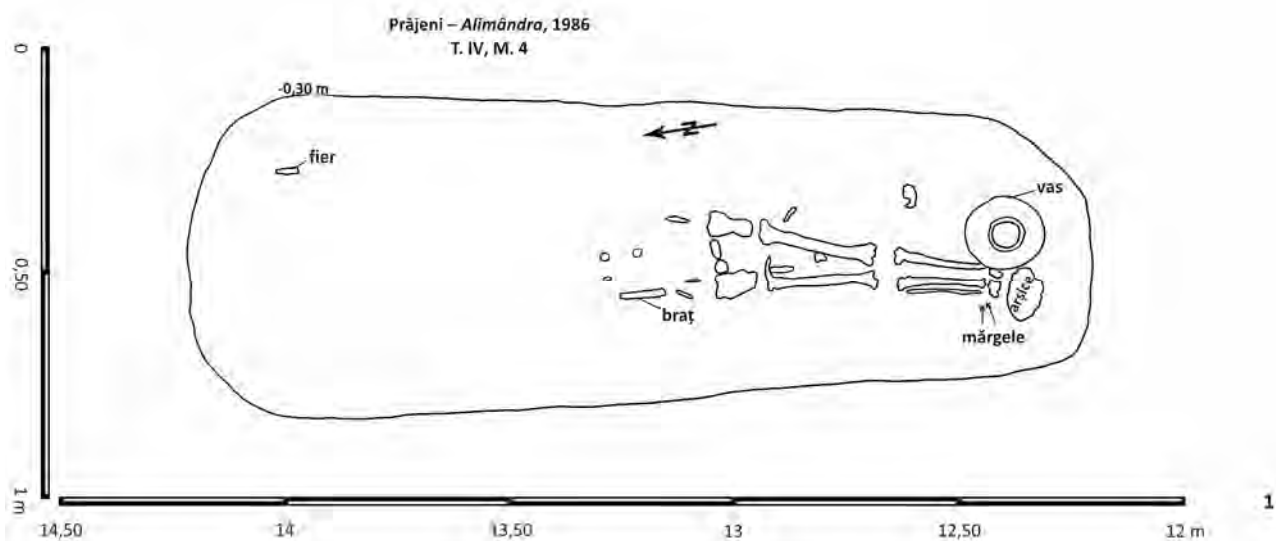
Planșa VI. Prăjeni – Alimândra, 1986, T. III, T. IV. 1. Plan T. III, M. 5; 2. Plan T. III, M. 6; 3. Plan T. IV, M. 2 / Prăjeni – Alimândra, 1986, T. III, T. IV. 1. Plan of T. III, G. 5; 2. Plan of T. III, G. 6; 3. Plan of T. IV, G. 2.



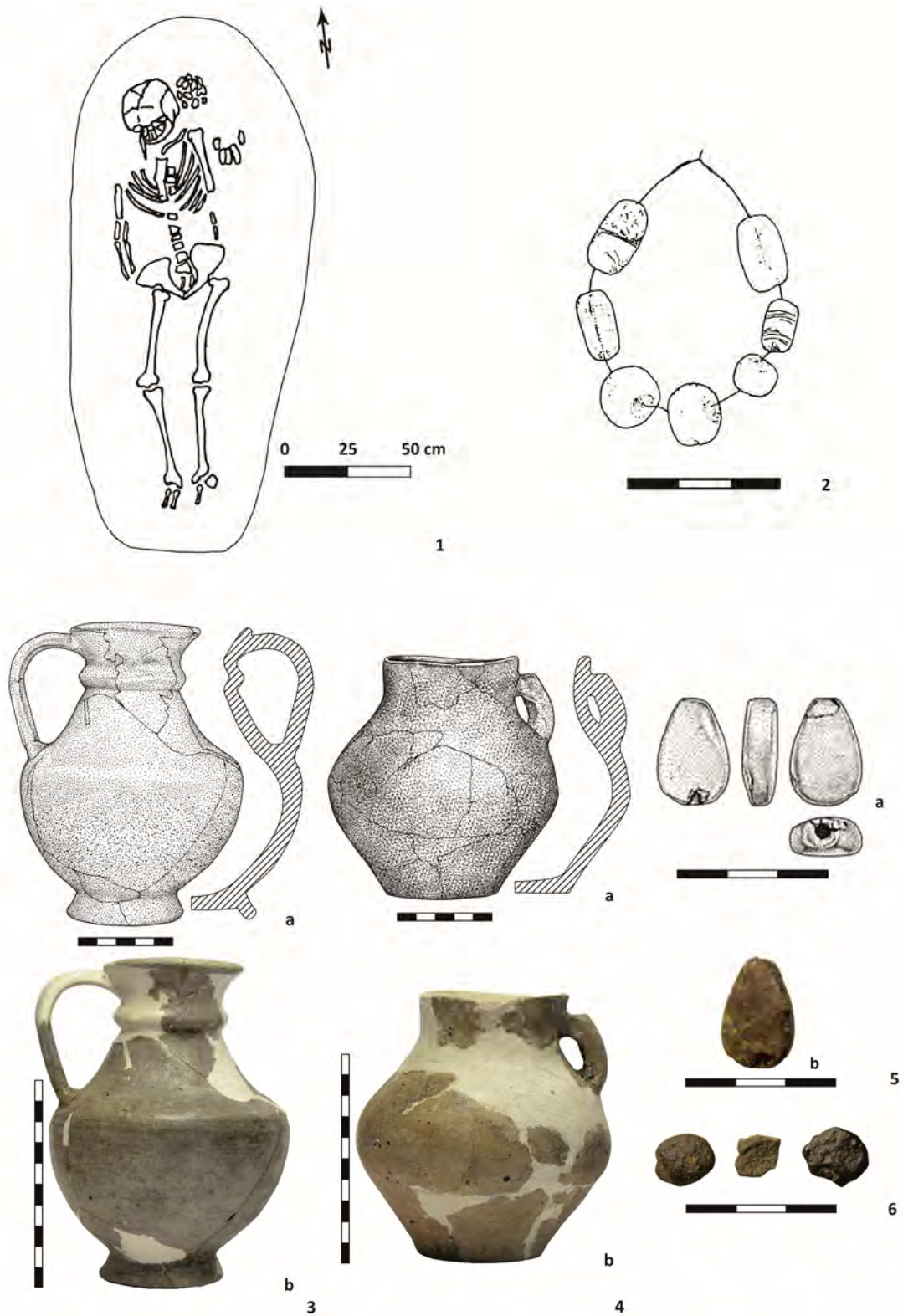
Planșa VII. Prăjeni – Alimândra, 1986, T. IV. 1. Plan general; 2. Profil est S 2 (în zona M. 6) / Prăjeni – Alimândra, 1986, T. IV. 1. General plan; 2. S 2 eastern profile (in the area of G. 6).



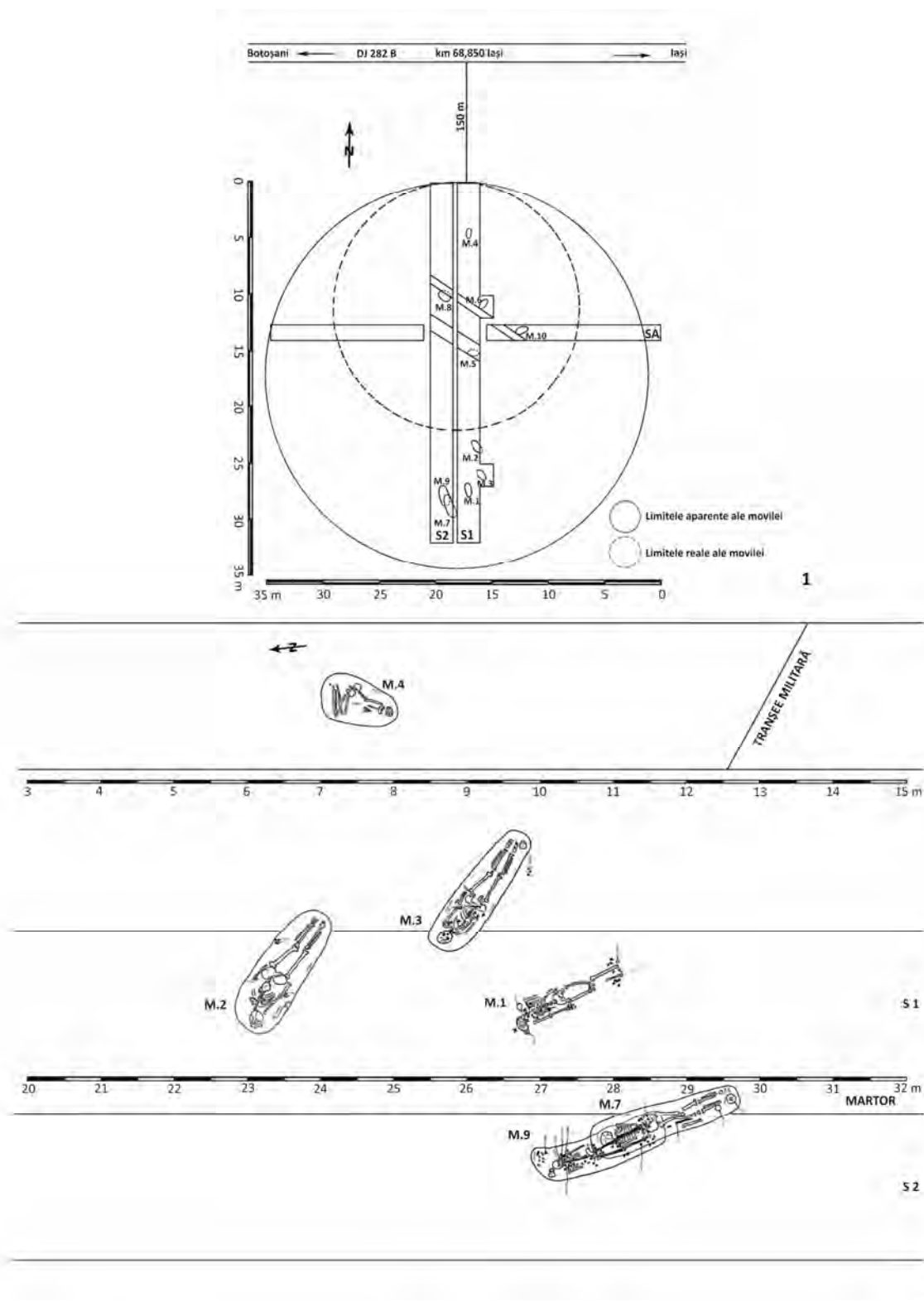
Planșa VIII. Prăjeni – *Alimândra*, 1986, T. IV, M. 3. 1. Plan; 2, 8. Fibulă; 3, 9. Piese din bronz; 4, 10. Fragment de foaie din bronz; 5, 11. Piesă din bronz; 6, 12. Aplică de cupru; 7. Mărgea / Prăjeni – *Alimândra*, 1986, T. IV, G. 3. 1. Plan; 2, 8. Brooch; 3, 9. Bronze items; 4, 10. Fragment of bronze sheet; 5, 11. Bronze item; 6, 12. Copper appliqué; 7. Bead.



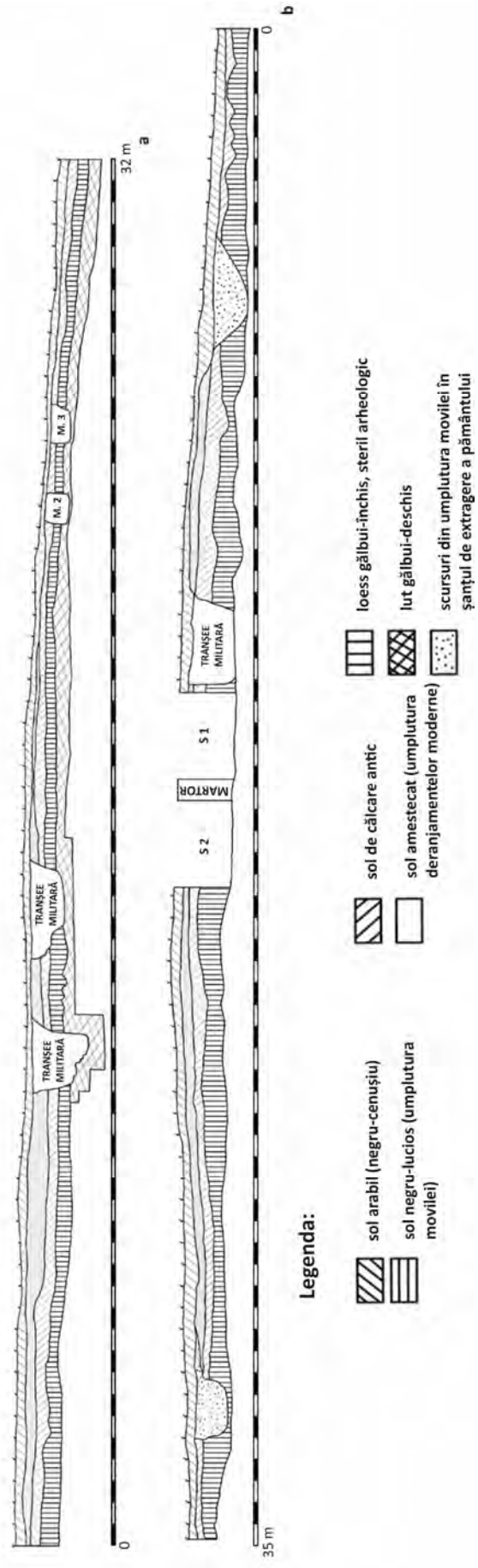
Planșa IX. Prăjeni – Alimândra, 1986, T. IV, M. 4, Prăjeni – Nelipești, 1985, T. 1, T. 2. 1. Prăjeni – Alimândra, 1986, T. IV, M. 4 – plan; 2. T. IV, M. 4 – vas ceramic; 3. Prăjeni – Nelipești, 1985, T. 1, T. 2 – plan / Prăjeni – Alimândra, 1986, T. IV, G. 4, Prăjeni – Nelipești, 1985, T. 1, T. 2. 1. Prăjeni – Alimândra, 1986, T. IV, G. 4 – plan; 2. T. IV, G. 4 – ceramic vessel; 3. Prăjeni – Nelipești, 1985, T. 1, T. 2 – plan.



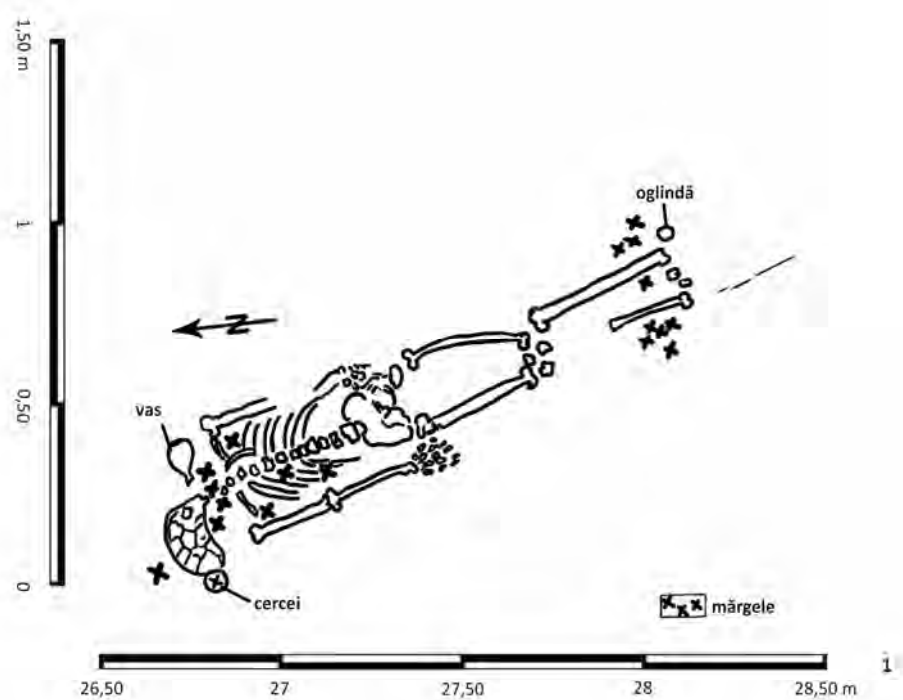
Planșa X. Prăjeni – *Nelipești*, 1985, T. 1, M. 1. 1. Plan (după Ursulescu, Șadurschi 1986); 2. Măgele (după Ursulescu, Șadurschi 1986); 3. T. 1 – cană; 4. T. 1, M. 1 – cană; 5. T. 1, M. 1 – mărgea; 6. Pietricele din umplutura M. 1 / Prăjeni – *Nelipești*, 1985, T. 1, G. 1. 1. Plan of T. 1, G. 1 (after Ursulescu, Șadurschi 1986); 2. Beads (after Ursulescu, Șadurschi 1986); 3. T. 1 – mug; 4. T. 1, G. 1 – mug; 5. T. 1, G. 1 – bead; 6. Pebbles from the filling of G. 1.



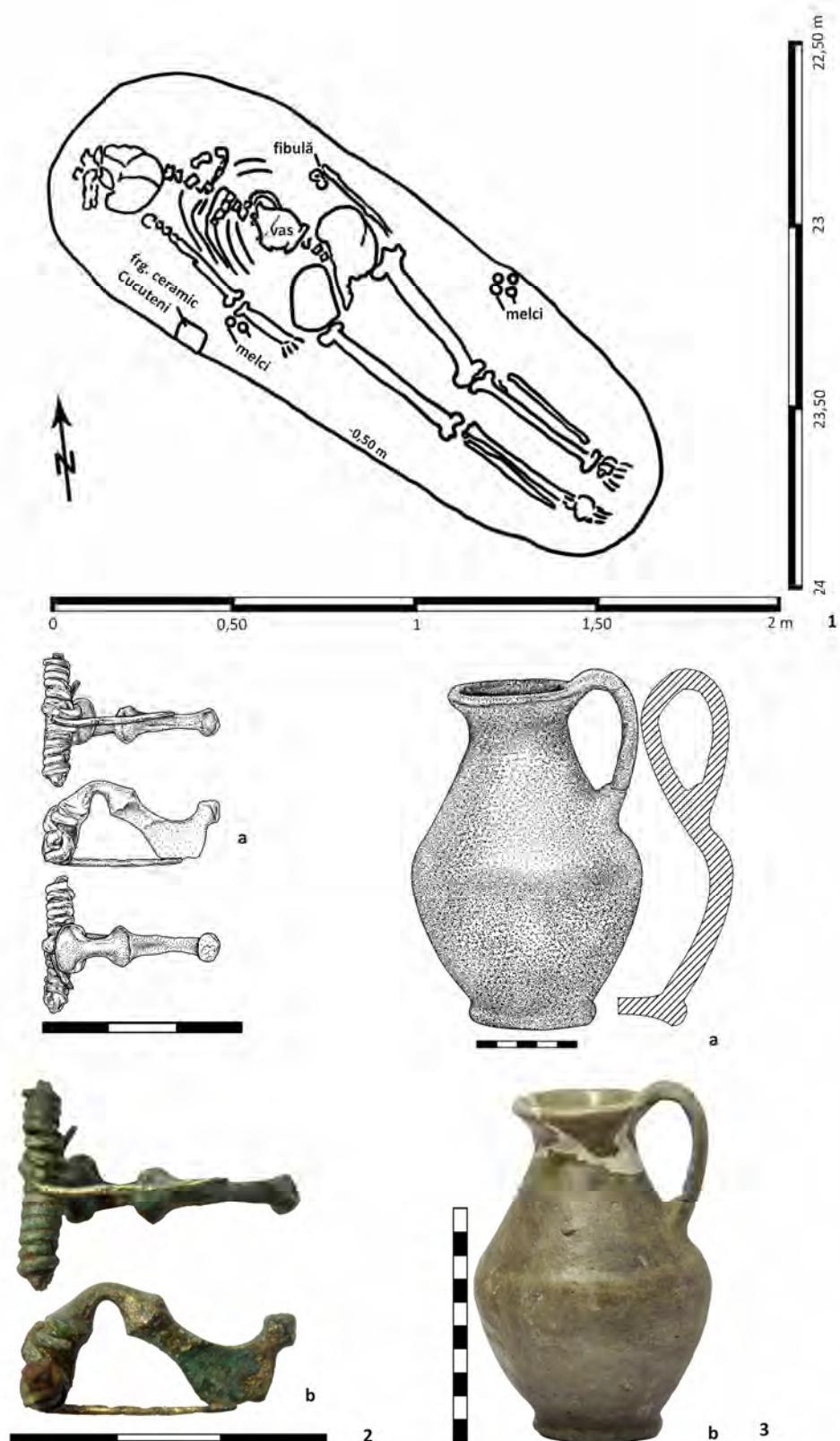
Plansa XI. Prăjeni – Țarnă, 1987, T. 2. 1. Plan; 2. Plan morminte / Prăjeni – Țarnă, 1987, T. 2. 1. Plan; 2. Plan of graves.



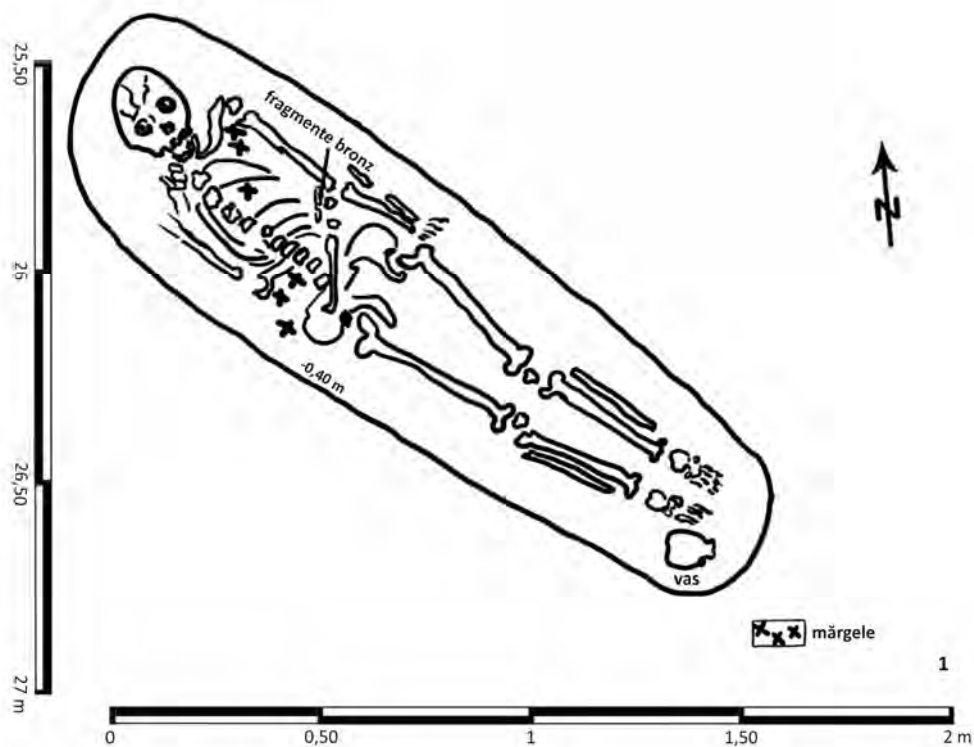
Planșa XII. Prăjeni – Țarnă, 1987, T. 2. a. Profil est S.1; b. Profil nordic S.A / Prăjeni – Țarnă, 1987, T. 2. a. S.1 eastern profile; b. S.A northern profile.



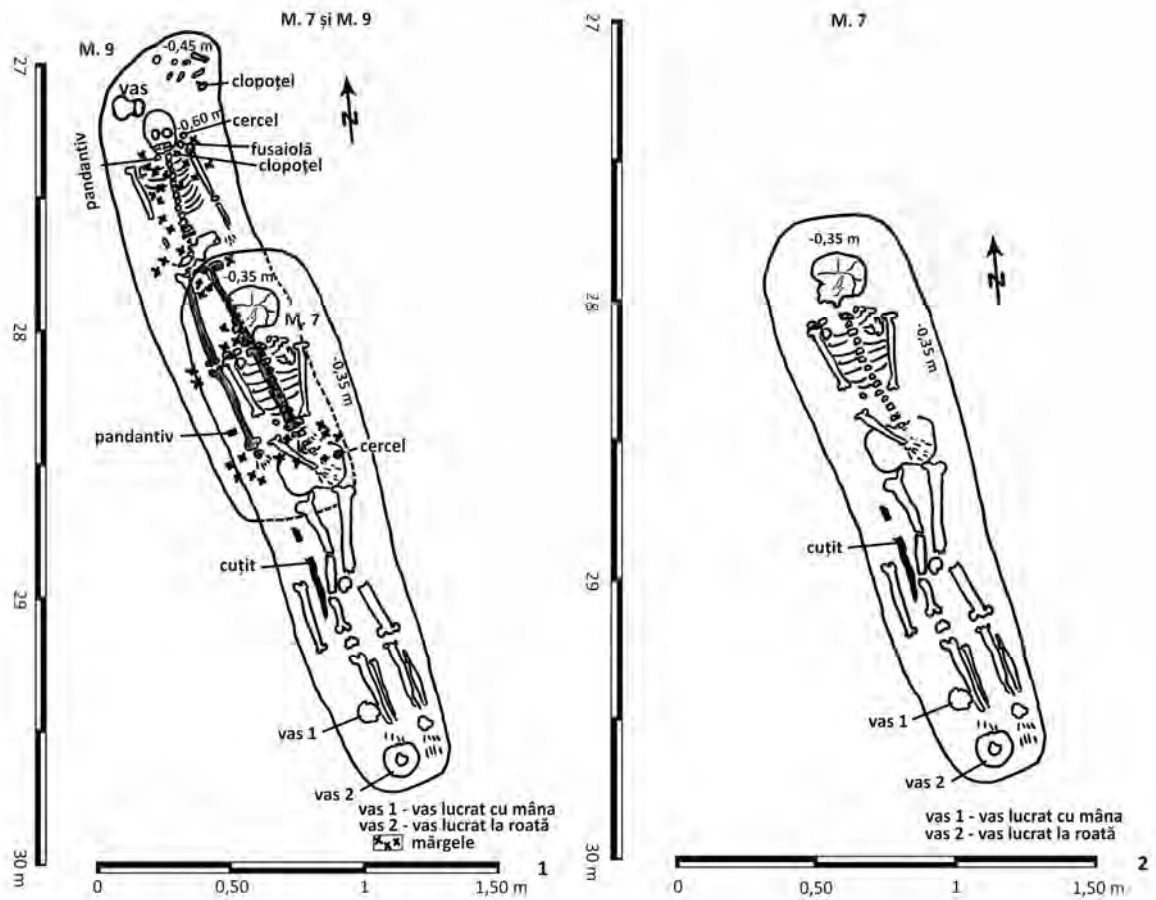
Planșa XIII. Prăjeni – Țarnă, 1987, M. 1. 1. Plan; 2. Oglindă; 3. Cercei; 4–5. Mărgel / Prăjeni – Țarnă, 1987, G. 1. 1. Plan; 2. Mirror; 3. Earrings; 4–5. Beads.



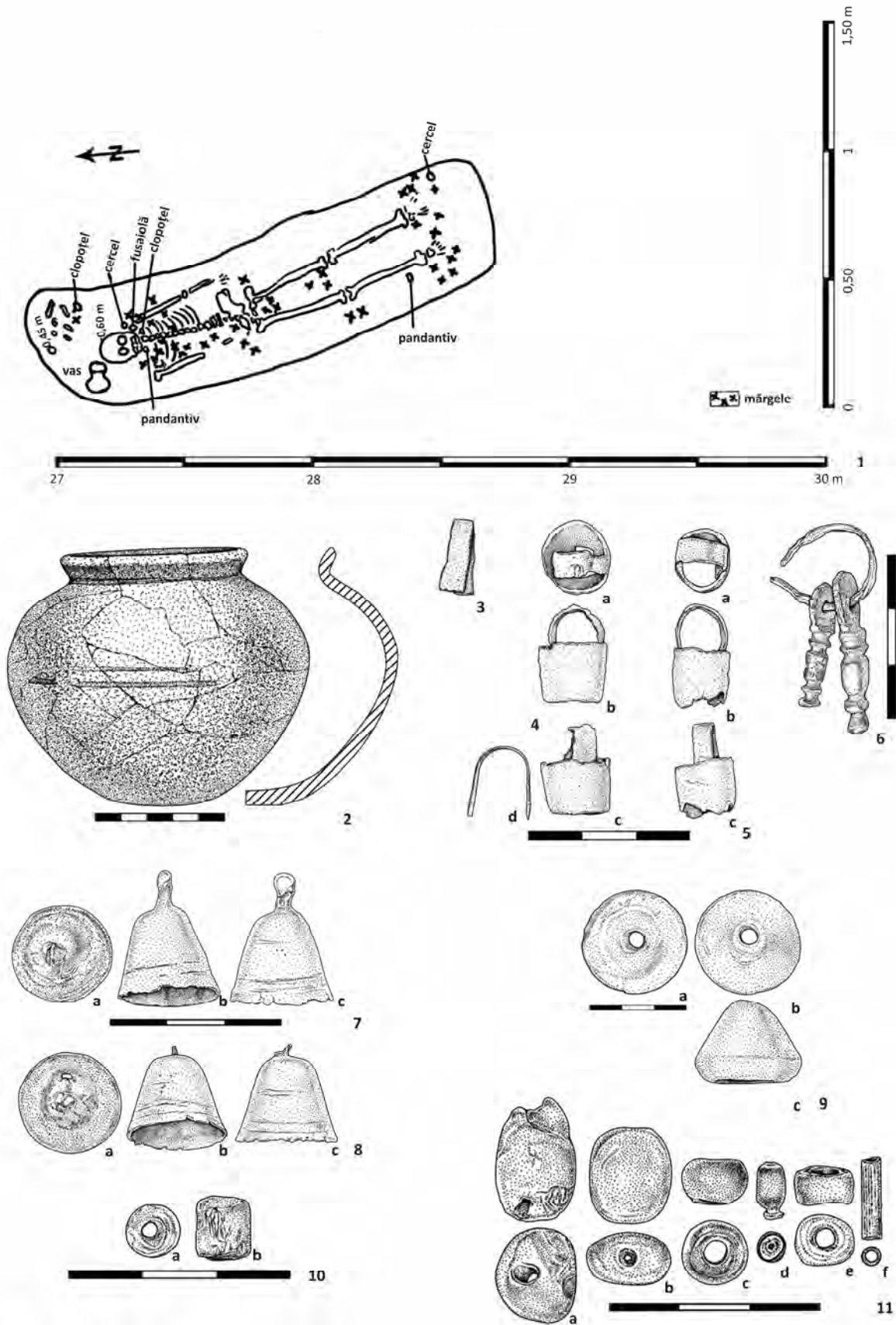
Planșa XIV. Prăjeni – Țarnă, 1987, M. 2. 1. Plan; 2. Fibulă; 3. Urcior / Prăjeni – Țarnă, 1987, G. 2. 1. Plan; 2. Brooch; 3. Jug.



Planșa XV. Prăjeni – Țarnă, 1987, M. 3. 1. Plan; 2. Piese din bronz fragmentare; 3. Mărgel / Prăjeni – Țarnă, 1987, G. 3. 1. Plan; 2. Fragmentary bronze items; 3. Beads.



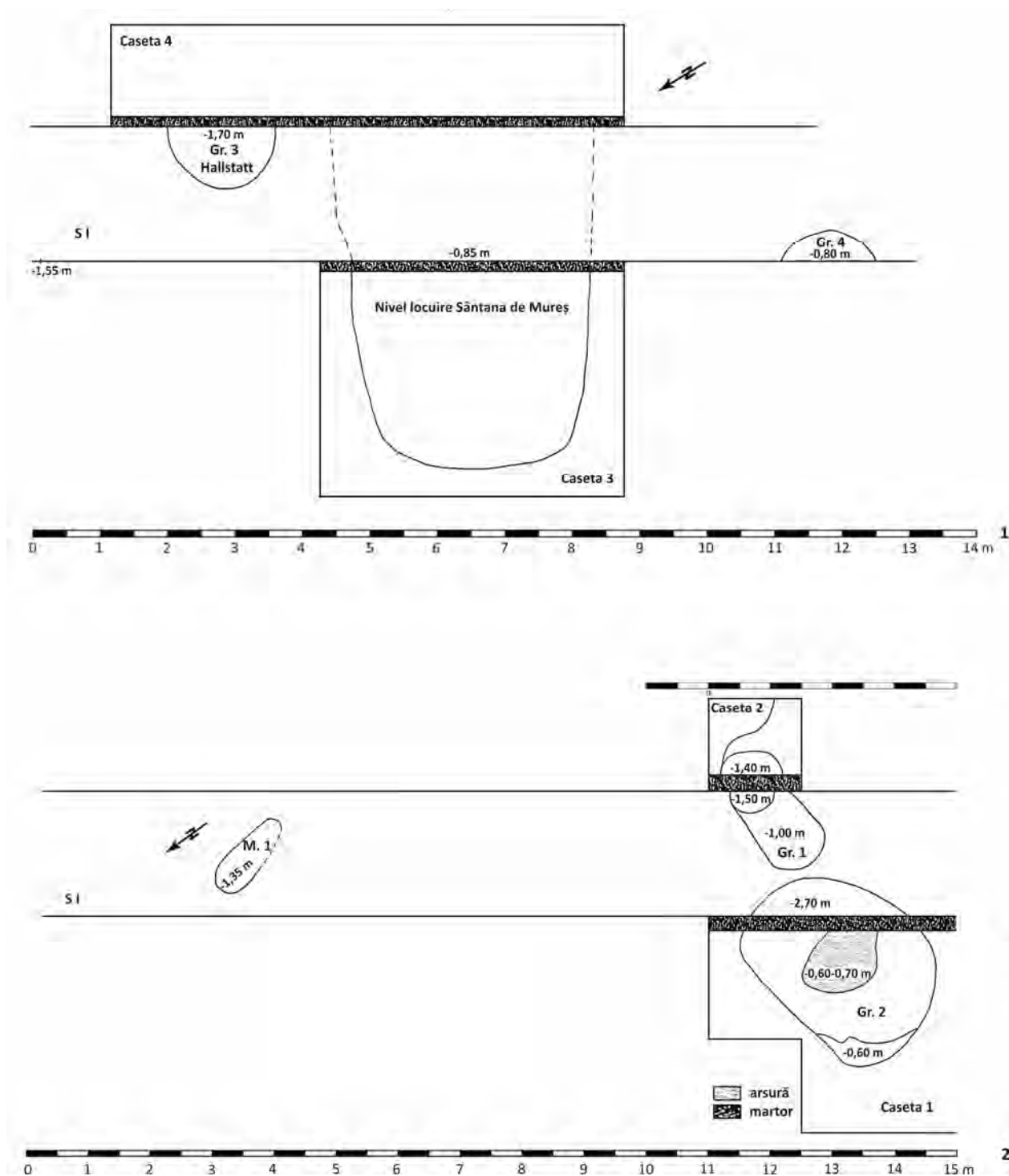
Planșa XVI. Prăjeni – Țarnă, 1987, M. 7 – M. 9. 1. Plan M. 7 – M. 9; 2. Plan M. 7; 3. Cană; 4. Cuțit/pumnal (?) / Prăjeni – Țarnă, 1987, G. 7 – G. 9. 1. Plan of G. 7 – G. 9; 2. Plan of G. 7; 3. Mug; 4. Knife/dagger (?).



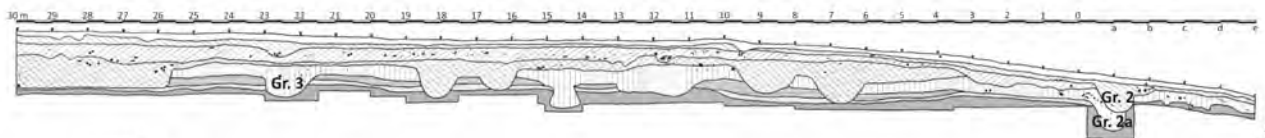
Planșa XVII. Prăjeni – Târă, 1987, M. 9. 1. Plan; 2. Castron; 3. Toartă pandantiv; 4–5. Pandantive din bronz; 6. Cercei; 7–8. Clopoței din bronz; 9. Fusaioală; 10–11. Mărgele / Prăjeni – Târă, 1987, G. 9. 1. Plan; 2. Bowl; 3. Pendant handle; 4–5. Bronze pendants; 6. Earring; 7–8. Bronze bells; 9. Spindle whorl; 10–11. Beads.



Plasa XVIII. Prăjeni – Țarnă, 1987, M. 9. 1. Castron; 2. Toartă pandantiv; 3-4. Pandantive din bronz; 5. Cercei; 6-7, 10-11, 13-15. Mărgel; 8-9. Clopoței din bronz; 12. Fusaiolă / Prăjeni – Țarnă, 1987, G. 9. 1. Bowl; 2. Pendant handle; 3-4. Bronze pendants; 5. Earring; 6-7, 10-11, 13-15. Beads; 8-9. Bronze bells; 12. Spindle whorl.

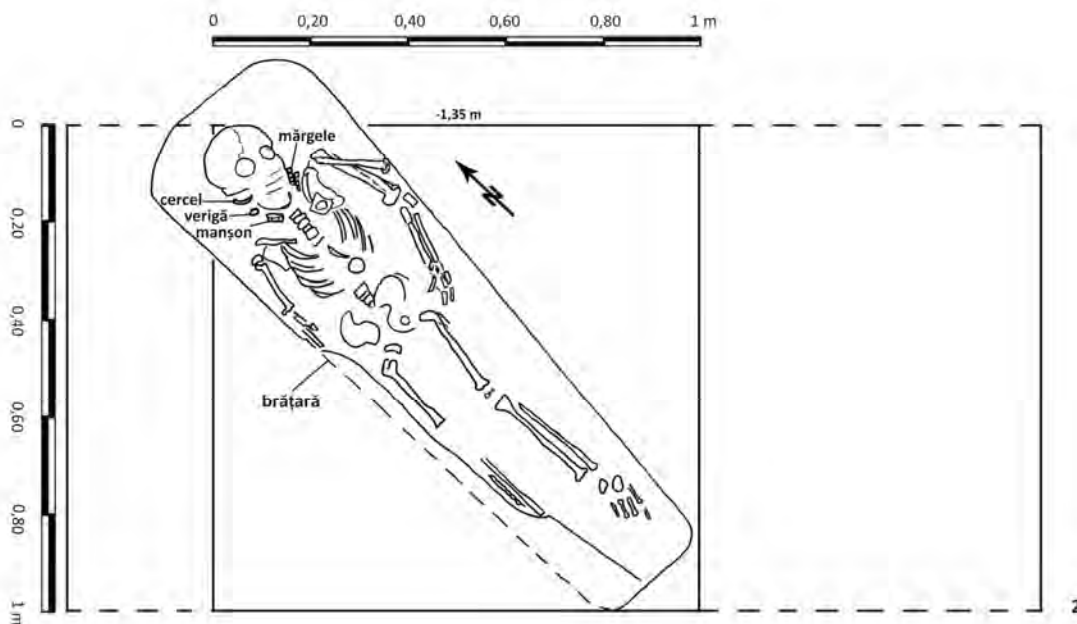


Plansa XIX. Prăjeni – Lutărie 2, 1988. 1. Plan S 1; 2. Plan S I, M. 1 / Prăjeni – Lutărie 2, 1988. 1. Plan of S 1; 2. Plan of S I, G. 1.

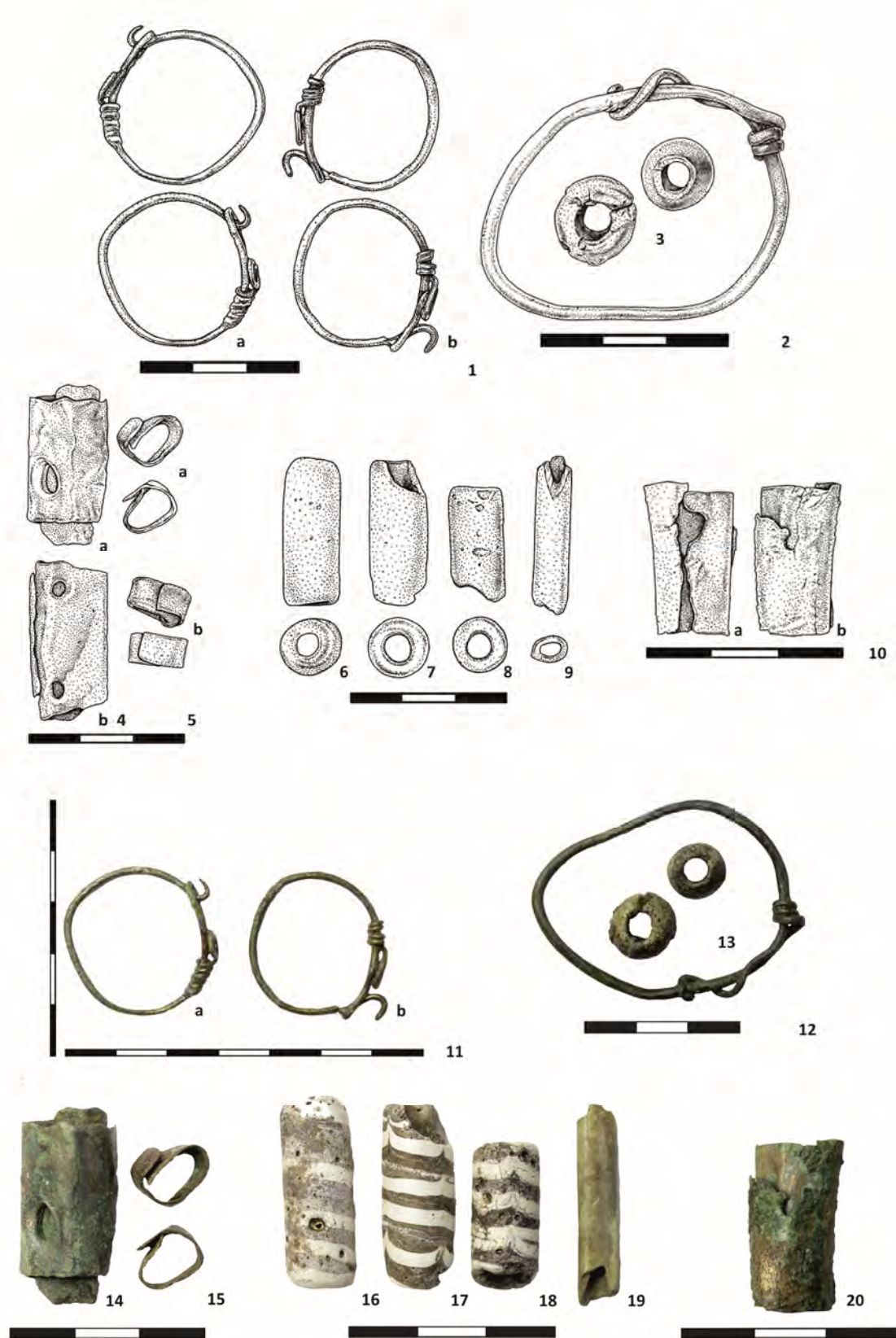


Legenda:

- | | | | | | |
|--|-----------------------------|--|---------------------------------------|--|---|
| | sol vegetal | | strat gălbui (post sec. IV) | | strat brun-închis (Hallstatt și cu urme sporadice Cucuteni) |
| | strat negricios (sec. IV) | | strat negricios-cenușiu (sec. II-III) | | strat brun-gălbui (Cucuteni) |
| | lut nisipos, steril | | lutuieli | | fragmente ceramice |
| | lut galben, compact, steril | | oase | | pietre |



Planșa XX. Prăjeni – Lutărie 2, 1988. 1. Profil est S 1; 2. Plan M. 1 / Prăjeni – Lutărie 2, 1988. 1. S 1 eastern profile; 2. Plan of G. 1.



Planșa XXI. Prăjeni – *Lutărie 2*, 1988, M. 1. 1, 11. Cercei; 2, 12. Brățară; 3, 6–9, 13, 16–19. Mărgele; 4, 14. Aplică din bronz; 5, 15. Verigi din bronz; 10, 20. Manșon din bronz / Prăjeni – *Lutărie 2*, 1988, G. 1. 1, 11. Earrings; 2, 12. Bracelet; 3, 6–9, 13, 16–19. Beads; 4, 14. Bronze appliqué; 5, 15. Bronze links; 10, 20. Bronze tube.

BISERICA REFORMATĂ DIN TURDA VECHÉ: CERCETĂRILE ARHEOLOGICE DIN ANII 2018–2020

Daniela MARCU ISTRATE^a, Sebastian DOBROTĂ^b, Horațiu GROZA^c

^a Institutul de Arheologie „Vasile Pârvan”, București, e-mail: dmarcuistrate@gmail.com

^b doctorand, Institutul de Arheologie „Vasile Pârvan”, București, e-mail: sebastian.dobrata@gmail.com

^c doctorand, Institutul de Arheologie „Vasile Pârvan”, București; e-mail: grozahoratiudorin@yahoo.com

Keywords: medieval church, Turda, archaeology of churches, Transylvania, medieval Hungary

Abstract: Turda, one of the foremost settlements of Transylvania and the seat of the homonymous medieval county, appears in documents ever since the 11th century. Except for the Chamber House, the historical secular architecture of the city's central area has disappeared. Nevertheless, part of its ecclesiastical architecture has survived, primarily the Reformed Church of Turda Veche, located between the southern end of the central square and the left bank of the Racilor (Crayfish) Valley, and which, despite the changes that have affected it over time, remains to this day one of the most representative monuments produced by Transylvania's ecclesiastical medieval architecture. The church starts to show up in documents in the early 14th century, when it belonged to the Order of Hermits of Saint Augustine and only much later on, during the 17th century, in the wake of the Reformation, it came into possession of the Reformed community of Turda Veche. The edifice underwent numerous modifications during its existence, so it does not survive in its original shape. Today it stands as a chancel-less hall-church – the choir was demolished in the Early Modern Age – with galleries on its eastern and western sides, Gothic portals on its northern and western sides and a massive southern tower, erected in a historicizing style in the early 20th century. Although it was the subject of a variety of art history studies, until recently the monument did not benefit from archaeological research to shed light on its tangible history.

The first scientific archaeological excavations to touch the structure of the Reformed Church of Turda Veche were undertaken in 2010, when preliminary work for a church restoration project took place. In 2018, research was resumed and intermittently continued until 2020, as part of the project “The Rehabilitation of the Reformed Church “Turda Veche”, Turda Municipality, Cluj County”.

During these years, excavations undertaken in ten archaeological research units, both inside and outside the monument, as well as observations carried out during utilitarian works, allowed researchers to begin reconstructing the structural development and decline of the Reformed Church of Turda Veche and of its site.

The foremost result of the investigation was identifying an earlier stage of the church, respectively a ruined northern wall, the protruding foundation of a triumphal arch and areas of pavement surviving at too great a depth. Due to the limited extent of the excavations, neither the dimensions nor the shape of this earlier church could be determined. Nevertheless, several clues – such as a grave overlapped by the apse, irregularities noticeable in the aboveground structure of the nave, the foundation of a buttress abutting the foundation of the nave, etc. – hint that the changes the church underwent were on a far greater scale than the excavations were able to reveal so far and that it involved expansions both eastward and westward.

The early 14th century probably marked the end of this structure, on whose ruins was erected the current-day church, at least 0.5 m wider in its northern area and likely much longer. The implemented ground plan presented the peculiarity that the nave and the choir were separated from the very beginning by a continuous wall, interrupted only by a single door with a simple stone frame. Later on, a gallery-type rood screen with a continuous wall on its western side, abutted to the northern and southern walls of the nave and similarly interrupted only by a single door, was assembled in the easternmost area of the nave. After surviving a first major fire, the rood screen was demolished after a second one, and the present-day western gallery eventually replaced it.

Regarding the razed choir, the research proved unable to uncover chronological indicia able to date its disappearance; based on documentary evidence, it was already in ruins in the 18th century. Its former inside area was reused for the construction of a bell-tower – which collapsed in 1862 – and on its northern wall rose a regular building – the Bell-Ringers House, which survived until the early 20th century. The ruins of both these structures could be partially investigated in 2020.

A surprise was the appearance, south-west of the church, during utilitarian works, of several ruined masonry structures. Although it is likely that they belong to monastery buildings, some of them may be Roman in origin. One of the walls was still standing in the 18th century, but not the others, three of which shaped a compartment in which a roof made of Roman tiles collapsed, and which was succeeded southwards by a cobbled alley (?).

Excluding the pieces dating from recent times (18th–20th century), the uncovered material was scarce, limited to several coins, some sherds and a few clothing accessories. Conversely, a large quantity of fragmentary architectural elements was brought to light, some of them from the choir, others from the rood screen while others from structures that cannot yet be identified. The amount of Roman construction materials, often bearing stamps, salvaged and reused in mass for the structures of the medieval church was also impressive. In any case, the presence of several disturbed coins in the backfill of the graves from inside the church is worthy of notice, especially that of a Parvus issued by Charles Robert d'Anjou sometime between 1330 and 1336, a period that matches surprisingly well with the first documentary mention of the monastery – the year 1331.

Although still only at its beginning, the archaeological investigation carried out at the Reformed Church of Turda Veche confirmed the richness of dormant historical data harboured by the subsoil of the site. Continued research – due to happen at some uncertain point of the future – will certainly shed more light on this monument of so great significance for the architectural past of Transylvania.

Cuvinte-cheie: biserică medievală, Turda, arheologia bisericilor, Transilvania, Ungaria medievală

Rezumat: Turda, una dintre cele mai importante așezări ale Transilvaniei și centrul comitatului medieval cu același nume, apare în documente încă din secolul al XI-lea. Cu excepția Casei Cămării, construcțiile laice istorice din zona centrală a orașului au dispărut, în schimb o parte a edificiilor ecleziastice au supraviețuit.

Printre acestea pe primul loc se află Biserica Reformată Turda Veche, amplasată între capătul sudic al pieței centrale și malul stâng al Văii Racilor, și care, în poșda modificărilor care au afectat-o în decursul timpului, rămâne unul dintre monumentele cele mai reprezentative ale arhitecturii ecleziastice medievale din spațiul transilvănean. Biserica este menționată în prima jumătate a secolului al XIV-lea, când aparține Ordinului Eremitilor Sfântului Augustin, iar în secolul al XVII-lea, după Reformă, a intrat în posesia comunității reformate din Turda Veche. Edificiul a suportat în timp numeroase modificări, astfel încât nu a ajuns la noi în forma inițială. În prezent are aspectul unei hale fără cor (acesta a fost demolat în epoca modernă timpurie), cu tribune pe laturile de est și de vest, portaluri gotice pe nord și vest și un turn masiv pe sud, ridicat la începutul secolului XX în manieră istoricizantă. Biserica a făcut subiectul a multiple studii de istorie a artei, dar până recent nu a beneficiat și de cercetări arheologice care să evidențieze evoluția sa istorică concretă.

Primele săpături arheologice pe baze științifice, care au abordat în mod direct structura Bisericii Reformate Turda Veche, au avut loc în 2010, în contextul pregătirilor pentru un proiect de restaurare. În anul 2018, acestea au fost reluate, continuând, cu întreruperi, până în anul 2020, în contextul proiectului „Reabilitarea bisericii reformate „Turda Veche”, mun. Turda, jud. Cluj”.

Pe parcursul acestor ani, executarea a zece unități de cercetare arheologică, atât în interiorul, cât și în exteriorul monumentului, precum și observații făcute cu ocazia lucrărilor utilitare, au îngăduit să se înceapă reconstituirea evoluției și involuției structurale a Bisericii Reformate Turda Veche precum și a terenului pe care îl ocupă.

Principalul rezultat al investigației l-a reprezentat identificarea unei faze mai vechi a bisericii, constând din ruina peretelui nordic, umărul unui arc de triumf și resturi de pavaj la o cotă mult prea joasă. Săpătura fiind foarte restrânsă, nu cunoaștem exact nici dimensiunile și nici forma acestei prime biserici. O serie de indicii – un mormânt suprapus de absida corului, iregularități în elevația navei și adosarea fundației unui contrafort la fundația ei etc – sugerează însă că modificările suferite de biserică au fost de proporții mult mai mari decât s-a putut observa în săpăturile de până acum, iar aceasta a fost extinsă atât către est, cât și către vest.

Probabil la începutul sec. XIV s-a renunțat la acest edificiu, pe ruinele căruia s-a format biserica actuală, mai lată cu cel puțin 0,50 m spre nord și foarte probabil mult mai lungă. O particularitate a acestui plan a reprezentat-o faptul că nava și corul au fost separate încă de la început printr-un zid plin, în care a fost practicată o ușă prevăzută cu ancadrament simplu din piatră. Ulterior, în partea de est a navei a fost creat un Lettner de tipul galerie, delimitat spre vest de un zid plin (adosat pereților de nord și de sud ai navei), în care de asemenea a fost rezervată o ușă. După ce a supraviețuit unui prim incendiu major, Lettner-ul a fost demolat în urma unui al doilea incendiu, fiind eventual înlocuit prin actuala tribună de est.

În privința corului demolat, cercetările nu au putut furniza repere cronologice pentru dispariția sa, dar, conform documentelor, acesta se afla deja în ruină în secolul al XVIII-lea. Fostul său interior a fost reutilizat pentru ridicarea unui turn-clopotniță, care s-a prăbușit la rândul său în 1862, iar peste latura sa nordică s-a așezat o construcție civilă, Casa Clopotarului, dispărută în prima parte a secolului XX. Ruinele ambelor structuri au putut fi parțial investigate în 2020.

Surprinzătoare a fost apariția, în zona de la sud-vest de biserică, cu ocazia lucrărilor utilitare, a mai multor structuri zidite în ruină. Deși probabil în legătură cu ansamblul claustrului mănăstirii, este totuși posibil ca unele să fie romane. Unul dintre aceste ziduri încă mai era vizibil în secolul al XVIII-lea dar nu și celelalte, dintre care trei delimitau un compartiment în care s-a prăbușit un acoperiș de tegule romane, continuat către sud de o alee (?) pietruită.

Cu excepția celor foarte recente (sec. XVIII–XX), artefactele descoperite au fost puțin numeroase, rezumându-se la câteva monede, fragmente ceramice și piese de port. În schimb, a fost descoperită o mare cantitate de fragmente de elemente arhitectonice, unele provenind din cor, altele din Lettner, altele din structuri ce nu pot fi în prezent clar identificate. Ridicată a fost și cantitatea de material tegular roman, frecvent stampat și refolosit în mod masiv în structurile bisericii medievale. Este totuși notabilă apariția a mai multe monede purtate în umpluturile mormintelor din interiorul bisericii, între care și un parvus de la Carol Robert de Anjou, databil în intervalul 1330–1336, ceea ce corespunde surprinzător de bine primei atestări documentare a mănăstirii, anul 1331.

Deși este abia la începuturile ei, cercetarea arheologică a Bisericii Reformate Turda Veche a dovedit potențialul de informație istorică pe care îl poate oferi subsolul terenului care o înconjoară. Continuarea cercetărilor, într-un viitor nesigur, va putea cu siguranță aduce mai multă lumină asupra acestui monument atât de semnificativ pentru trecutul arhitectonic al Transilvaniei.

I. PRELIMINARII

Cercetările arheologice întreprinse la monumentele ecleziastice medievale din proximitatea Turzii au cunoscut în ultimii ani o creștere semnificativă în urma derulării unor proiecte de restaurare cu finanțare europeană. În acest context, cercetările arheologice preventive au permis o abordare exhaustivă a unor importante construcții ecleziastice medievale, precum cele din localitățile Bădeni, Cornești, Moldovenești și Turda (zonele Turda Nouă și Turda Veche).

Turda, una dintre localitățile importante din zona centrală a Transilvaniei, apare în documente încă din secolul al XI-lea¹, fiind centrul comitatului cu același nume, atestat documentar două secole mai târziu². Istoria medievală a așezării este indisolubil legată de exploatarea zăcămintelor de sare din apropiere, în acest context având loc dezvoltarea localității în plan economic, social și sub

aspect edilitar³. Evul Mediu reprezintă perioada în care s-a conturat planul urbanistic al localității moderne, atunci fiind ridicate construcțiile importante ale orașului⁴.

Clădirile laice nu mai există (cu excepția Casei Cămării), în schimb o parte a edificiilor ecleziastice, cu toate modificările și transformările care le-au afectat de-a lungul istoriei, a supraviețuit. Printre acestea, pe primul loc se află Biserica Reformată Turda Veche, care, împreună cu fortificația din jurul ei, reprezintă astăzi ansamblul medieval cel mai valoros al orașului. Amplasată între capătul sudic al pieței centrale și malul stâng al Văii Racilor, biserica este unul dintre monumentele cele mai reprezentative ale arhitecturii ecleziastice din spațiul transilvănean. Potrivit datelor oferite de istoriografia modernă, edificiul aparține în prima jumătate a secolului al XIV-lea Ordinului Eremitilor Sfântului Augustin⁵, urmând ca de la mijlocul secolului al XVII-lea și până astăzi să se afle în posesia comunității reformate din Turda Veche⁶.

¹ DIR.C.I, p. 1.

² DIR.C.II, p. 171.

³ Groza 2016, p. 30.

⁴ Niedermaier 1977.

⁵ Bicsok 2001, p. 19.

⁶ Weiss 2013, p. 202.

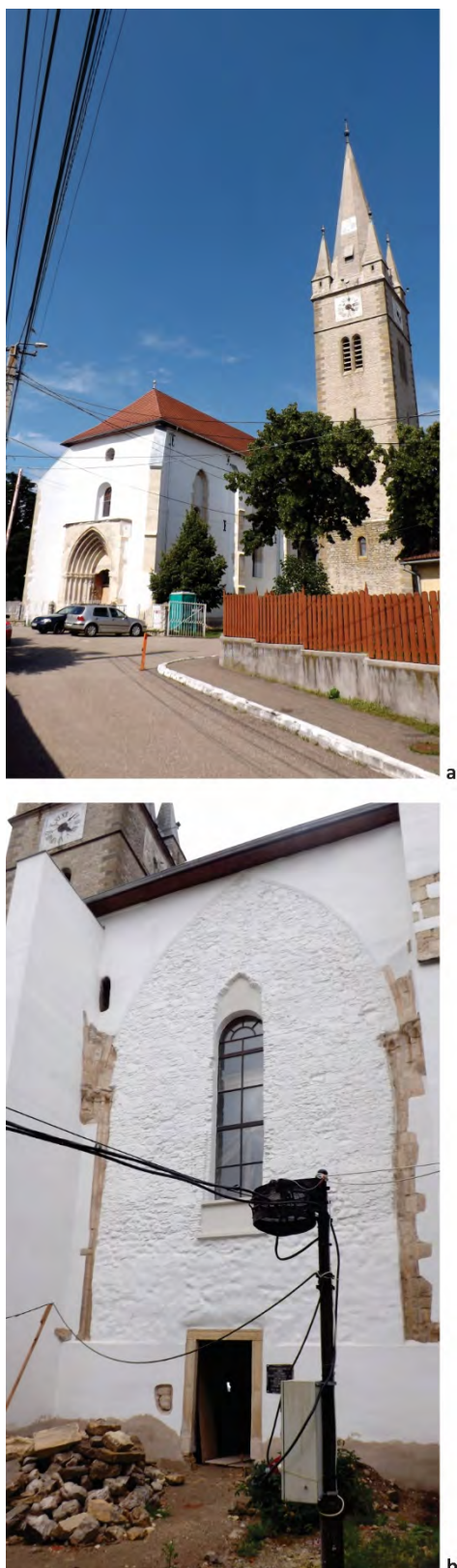


Figura 1. a) Biserica Reformată Turda Veche văzută dinspre sud-vest; b) actuala latură de est a bisericii / a) The Reformed Church of Turda Veche as seen from the south-west; b) the present-day eastern side of the church.

Biserica și fortificația acesteia s-au păstrat parțial: din biserică a rămas doar nava, iar din fortificație mai pot fi identificate doar segmente din laturile de sud și de vest, precum și ruinele unuia dintre turnuri (SV) (Fig. 1–2).

Forma de astăzi a bisericii reflectă succesiunea etapelor de construcție, a renovărilor și modificărilor intervenite de-a lungul istoriei sale, între care cele mai agresive au fost demolarea corului, înlocuirea bolților gotice, apoi a tavanelor (?) cu bolțile semicilindrice de astăzi și ridicarea turnului clopotniță actual.

II. ISTORICUL CERCETĂRILOR

Primele semnalări ale unor vestigii arheologice la Biserica Reformată Turda Veche sunt relativ recente, informațiile venind de la colecționarul de anticități István Teglás (1853–1915). Curator al parohiei reformate din Turda, Teglás a făcut o temeinică documentare a monumentului, consemnând o serie de descoperiri întâmplătoare care trebuie să fi avut loc în cursul lucrărilor edilitare de la cumpăna veacurilor al XIX-lea și al XX-lea⁷.

În anul 2006, a avut loc prima cercetare arheologică propriu-zisă în vecinătatea monumentului⁸, limitată însă la executarea unei singure unități de cercetare în zona de sud-vest a fostei necropole⁹. Pe lângă descoperirea și cercetarea a 27 de morminte dispuse pe două orizonturi de înmormântare, au mai fost identificate două structuri zidite. Cercetarea nu a avut amploarea necesară pentru stabilirea unor concluzii finale, la acel moment neputând fi oferite răspunsuri clare în ceea ce privește apartenența ruinelor.

Prima cercetare arheologică preventivă a bisericii a avut loc în anul 2010, fiind parte din seria de operațiuni premergătoare deschiderii unui șantier de restaurare¹⁰. Au fost realizate trei unități de cercetare, două pe latura de sud a navei și una în partea de est, pe locul fostei abside a sanctuarului. Aceste investigații au furnizat o serie de informații despre clădire, dintre care cea mai importantă a constat în identificarea absidei demolate și stabilirea dimensiunilor generale ale bisericii. Au fost înregistrate date tehnice privind structura fundației, tehnica de construcție, materialul utilizat (și reutilizat), cotele de fundare ale navei și corului etc. Materialele descoperite au fost predominant modern timpurii, stratigrafia fiind puternic deranjată prin intervenții recente. Au fost identificate și cercetate numeroase morminte, unul dintre ele furnizând informații deosebit de prețioase cu privire la existența unui lăcaș de cult anterior construcției actuale¹¹.

Deschiderea șantierului de restaurare a bisericii în anul 2018 a oferit ocazia de a completa informațiile prin deschiderea unor noi suprafețe de cercetare. Trebuie

⁷ Groza 2020, p. 164.

⁸ Cercetarea a fost coordonată de dr. Ana Căținaș, în acea perioadă muzeograf la Muzeul de Istorie Turda.

⁹ Groza 2020, p. 166.

¹⁰ Marcu *et alii* 2011, p. 242.

¹¹ Marcu *et alii* 2011.

precizat faptul că în niciuna dintre aceste campanii nu a fost vorba despre un proiect propriu-zis de cercetare arheologică a monumentului, ci doar despre realizarea unor cercetări preventive și supravegheri, determinate, cu o singură excepție, strict de necesitățile elaborării și

execuției proiectului de restaurare. Materialul de față se referă la investigațiile din anii 2018–2020, rezumând mai ales acele date legate de structurile construite existente sau recuperate, urmând ca artefactele și cimitirul să fie prelucrate mai amănunțit într-o etapă ulterioară (Fig. 2).

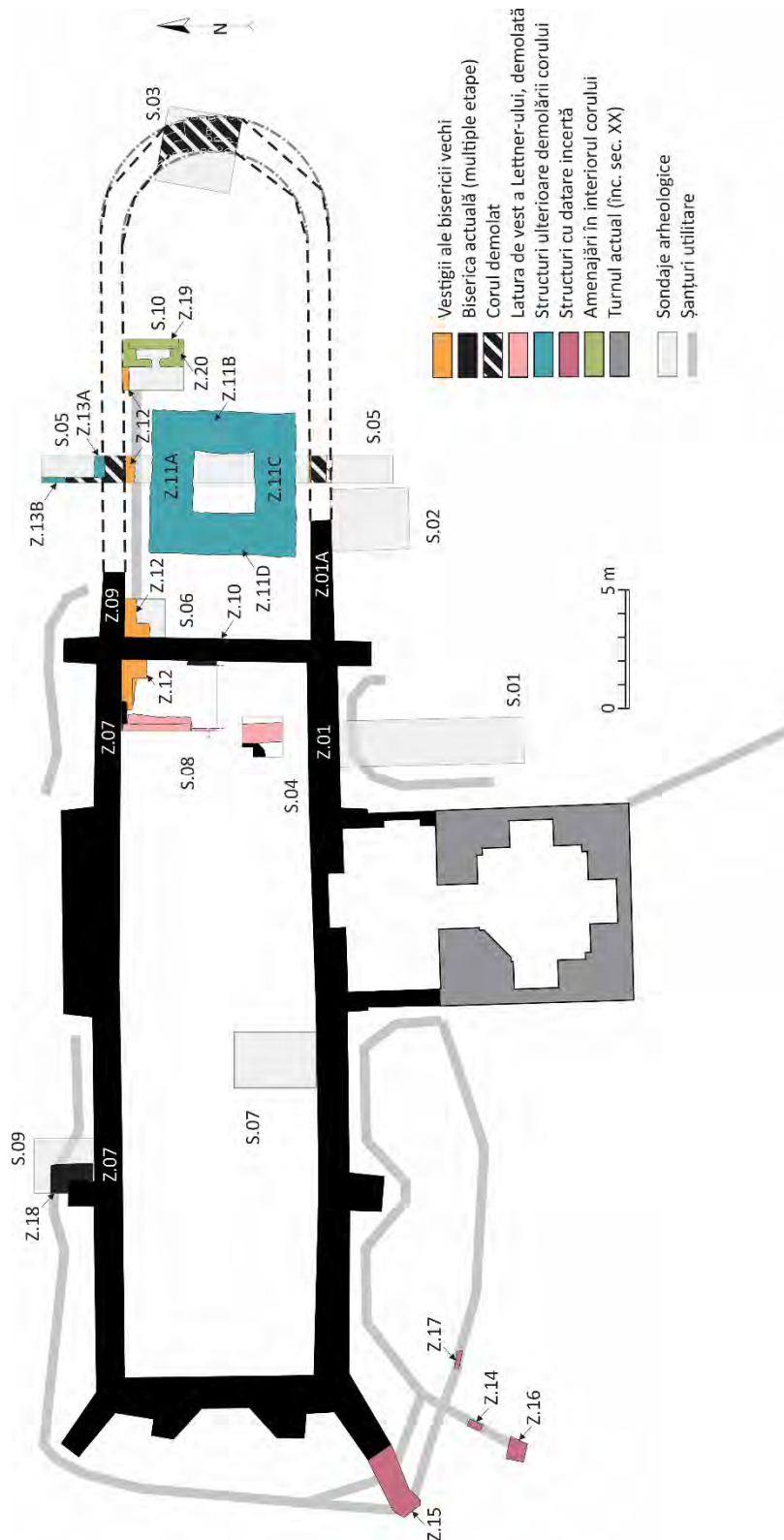


Figura 2. Plan general – săpături 2010, 2018–2020 și principalele descoperiri Legendă: portocaliu – vestigii ale bisericii vechi; negru – biserica actuală (multiple etape); negru hașurat – corul demolat; roz – latura de vest a Lettner-ului, demolată; bleu – structuri ulterioare demolării corului; purpuriu – structuri cu datare incertă; verde – amenajări în interiorul corului; cenușiu închis – turnul actual (inceputul sec. XX); gri deschis – șanțuri utilitare / General plan of the excavations carried in 2010 and 2018–2020 and of the main finds. Explanation: orange – remnants of the old church; black – the present-day church (multiple constructive phases); hatched black – the dismantled choir; pink – the western wall of the rood screen, demolished; blue – structures raised after the dismantling of the choir; purple – structures with uncertain dating; green – arrangements inside the choir; dark grey – the present-day tower (early 20th century); light grey – archaeological research trenches; light grey line – utilitarian trenches.” în loc de „Plan general – săpături 2010, 2018–2020 și principalele descoperiri / General plan of the excavations carried in 2010 and 2018–2020 and of the main finds.

III. CERCETĂRILE ARHEOLOGICE DIN ANII 2018 ȘI 2020

III.1. Prezentare generală

La sfârșitul anului 2018 a fost reluat proiectul de cercetare arheologică, prin realizarea unui singur sondaj (S.07A) în interiorul bisericii, într-o zonă indicată de către constructor. Cercetarea a avut ca scop investigarea arheologică a unei zone considerate instabilă pentru montarea schelelor, în vederea începerii lucrărilor de consolidare a boltii¹².

Pe parcursul anului următor, s-au desfășurat doar operațiuni de supraveghere și monitorizare a șantierului, respectiv asistență de specialitate pentru intervenții utilitare minore, care nu au afectat situații arheologice.

Cercetările cele mai ample au fost realizate în vara și toamna anului 2020, când șantierul de restaurare se apropia de final și erau necesare clarificări privind planimetria, etapele de construcție și mai ales evoluția nivelului de călcare. Obiectivele principale au fost obținerea unor date privind structura terenului, verificarea substructurii bisericii actuale și identificarea posibilelor vestigii ale unor epoci anterioare, stabilirea etapelor și fazelor de construcție. Pentru aceasta au fost deschise mai multe unități de cercetare. În același timp au fost monitorizate arheologic intervenții utilitare precum refacerea sau relocarea rețelelor electrice și de gaze, coborârea nivelului de călcare și montarea împământării, amenajarea generală a terenului prin coborârea nivelului de călcare în interiorul și exteriorul clădirii.

Numerotarea unităților de cercetare, a structurilor zidite, a complexelor și a mormintelor s-a făcut unitar, pornind de la cele identificate în anul 2010 și continuând cu cele din anul 2018, iar adâncimile au fost măsurate constant de la pragul intrării de est în navă.

III.2. Planul cercetărilor

În campania de cercetare din anii 2018–2020, proiectantul general a acceptat realizarea a trei unități de cercetare, proiectate inițial atât în interiorul, cât și în exteriorul bisericii. Pe parcurs, acest plan de lucru s-a modificat aproape complet, datorită situațiilor concrete din șantier. În anul 2018, constructorul a solicitat verificarea unei zone din navă, unde terenul era vizibil lăsat, și astfel a fost trasată S.07. Ulterior, cercetările arhitecturale au sugerat existența unei structuri complexe în partea de est a navei, între aceasta și cor, astfel că s-a decis abandonarea unei propuse magistrale nord–sud prin navă și concentrarea săpăturilor în partea de est a acesteia, unde au fost trasate S.04, S.06 și S.08. În sfârșit, proiectul de amenajare a părții de est, pe zona fostului cor, a permis realizarea unei secțiuni magistrale nord–sud prin această parte dispărută a bisericii. Arheologii au

solicitat apoi o casetă în exterior pe latura de nord a navei, pentru a verifica posibilitatea existenței unei nave mai vechi decât cea actuală, posibilitate sugerată de săpăturile din S.08 – iar beneficiarul a acceptat (S.09). În sfârșit, o structură apărută în partea de est a impus deschiderea unei mici case, S.10. Cu aceste coordonate generale, cercetarea s-a încheiat, cu rezultate parțiale, dar totuși valoroase (Fig. 2).

În interior au fost realizate:

- **Secțiunea S.04** (1,70 × 1,70 m), cu o adâncime maximă de -0,65 m, deschisă lângă stâlpul sudic al tribunei de est. A fost identificat un fragment de zid atribuit Lettner-ului și a fost cercetată parțial fundația stâlpului.

- **Secțiunea S.07** (3,70 × 2,60 m), orientată N–S, cu o adâncime maximă de -3,00 m, prevăzută inițial ca o magistrală în interiorul navei în cea de-a doua travee dinspre vest, ce urma să identifice stratigrafia și nivelurile de călcare din această zonă a bisericii. S-a început cu o casetă plasată la 12,85 m de capătul de vest al navei, dar săpătura s-a efectuat aproape exclusiv în umplutura unei cripte, al cărei perete masca fundația navei. La nord de criptă, către centrul navei, au fost descoperite mai multe morminte de inhumație. Ulterior, s-a renunțat la extinderea acestei case către nord, considerându-se mai importantă cercetarea părții de est a navei, dar și din cauza numărului foarte mare de morminte.

- **Secțiunea S.08** (4,00 × 3,00 m), orientată N–S, cu o adâncime maximă de -3,25 m, deschisă în colțul de nord-est al navei, pentru a se putea observa relația zidurilor din această zonă și verifica configurația presupusului Lettner. A fost identificată o fază de construcție mai veche a bisericii, ce includea baza unui arc de triumf, și un fragment din latura de vest a Lettner-ului. Stratigrafia a relevat trei niveluri de călcare: unul din perioada primei faze de construcție, celelalte două din perioada bisericii actuale, toate refăcute în urma unor incendii.

În exteriorul monumentului au fost realizate următoarele săpături:

- **Secțiunea S.05** (16,00 × 1,25 m), orientată N–S, cu o adâncime maximă de -2,50 m, transversal peste ruinele corului demolat; ulterior, a fost extinsă către est, până la 2,00 m lățime, pe o porțiune de 1,25 m, între Z.09 și Z.11A, în scopul identificării colțului de sud-est al unui turn-clopotniță descoperit în săpătură. Au fost studiate ruinele corului și au fost identificate rămășițele unor construcții ridicate în zonă ulterior demolării corului, precum turnul-clopotniță (Z.11A–D) și casa clopotarului (Z.13A–B). O secvență stratigrafică coerentă a putut fi observată doar la sud de cor, identică cu cea înregistrată în secțiunea S.02 (2010).

- **Secțiunea S.06** (1,80 × 1,60 m), orientată E–V, cu o adâncime maximă de -1,60 m, a fost deschisă în colțul de nord-vest al corului, pentru a se putea observa relațiile dintre cele trei ziduri care se întâlnesc în acel loc: zidul nordic al navei, actualul perete estic și structurile propriu-

¹² Groza 2020, p. 167.

zise ale corului. S-a conturat o situație similară celei din S.08, cu ruinele unei faze anterioare constând în umărul unui arc de triumf și fundația laturii nordice a corului.

● **Secțiunea S.09** (2,90 × 2,60 m), orientată N–S, cu o adâncime maximă de -1,70 m, deschisă pe latura de nord a navei, la est de primul contrafort, în zona de pornire a traveei de vest. Cercetarea a furnizat rezultate limitate, suprafața investigată fiind în mare parte ocupată de fundația masivă a contrafortului (Z.18), care spre est era adosată laturii de nord a navei.

● **Secțiunea S.10** (2,90 × 2,40 m), orientată N–S, cu o adâncime maximă de -1,20 m, deschisă în zona fostului cor al bisericii, ca urmare a descoperirii unor structuri zidite la supravegherea introducerii unui cablu electric. A fost identificată o mică încăpere (Z.19) ce fusese la un moment dat amenajată în interiorul corului, dar funcțiunea ei rămâne incertă.

III.3. SUPRAVEGHEREA ARHEOLOGICĂ

Supravegherea arheologică a fost necesară datorită lucrărilor utilitare incluse în proiectul de restaurare, precum: refacerea împământării, a rețelelor subterane electrice și de gaze, coborârea nivelului de călcare etc. Supravegherea a avut practic un caracter permanent, desfășurându-se în paralel cu lucrările de restaurare, toate lucrările de intruziune în sol realizate de constructor sau de parteneri asociați acestuia fiind executate manual și asistate de un arheolog din colectivul de cercetare. În general, intervențiile utilitare au fost minore, săpătura efectuându-se în depuneri târzii și/sau umpluturi recente, ce nu au afectat situații arheologice. Au existat, totuși, câteva situații când, pentru documentarea unor vestigii, supravegherea s-a transformat în cercetare.

III.3.1. Introducerea utilităților (rețele electrice și gaze naturale)

La sud-vest de biserică, între prima travee vestică și poarta actuală, au fost identificate în cadrul acestor lucrări ruinele mai multor ziduri (Z.14–Z.17), dintre care cel puțin unul (Z.15) cu două faze de construcție. Situația arheologică a fost documentată și înregistrată în planul general al descoperirilor. Pe latura de nord a fostului cor, aproape de intrarea principală în curtea bisericii, descoperirea unei structuri zidite a dus la decopertarea unei zone mai întinse și la deschiderea unității de cercetare S.10.

III.3.2. Coborârea nivelului de călcare în interiorul navei bisericii

Supravegherea arheologică din interiorul navei a urmărit lucrările constructorului de coborâre a nivelului de călcare în scopul realizării unei nivelări până la cota

stabilită de proiectant și a reamenajării acestuia. Evacuarea umpluturii din interiorul bisericii pe o adâncime de -0,30 m, a adus la suprafață o serie de artefacte, în marea lor majoritate recente.

III.3.3. Coborârea nivelului de călcare la exteriorul monumentului

Coborârea nivelului de călcare în jurul bisericii a fost atent monitorizată. Intruziunea în sol a fost minimală, nedepășind 0,15–0,20 m. Totuși, au existat câteva situații care au necesitat o temeinică documentare, cea mai semnificativă în partea estică, unde coborârea terenului a ajuns pe nivelul ruinelor fostului turn clopotniță (Z.11A–D), impunându-se decopertarea integrală a acestei structuri.

IV. REZULTATELE CERCETĂRII ARHEOLOGICE

Intervențiile efectuate asupra monumentului (cercetarea și supravegherea arheologică, intervențiile constructorului – desfaceri de zidărie, coborârea nivelului de călcare, observații asupra paramentului etc.) au facilitat delimitarea unor etape de construcție și au adus la suprafață un număr însemnat de vestigii. Aceste descoperiri au fost grupate în funcție de zona cercetată: interiorul sau exteriorul monumentului. Datorită situațiilor specifice, rezultatele cercetărilor vor fi prezentate pe sectoare, respectiv: nava bisericii, corul demolat și zona din exteriorul monumentului.

IV.1. Interiorul navei bisericii

Săpăturile cele mai relevante din interiorul navei s-au efectuat în zona actualii tribune estice (amplasamentul fostului Lettner), în unitățile de cercetare S.04 și S.08. Cercetările au scos la iveală mai multe structuri zidite, databile în patru etape distincte (Fig. 2–3).

Etapa I (Z.12)

Cel mai vechi zid descoperit a fost Z.12, păstrat sub formă de ruină suprapusă de actualii pereți de nord și de est ai navei, dar și de o parte a peretelui nordic al fostului cor (Fig. 3–8, 13, 18–20, 23, 25). Z.12 a fost observat atât în interiorul navei (S.08), cât și în exteriorul acesteia, în fostul cor (S.06 și, probabil, S.05). Zidul, cu talpa la W-3,40–3,45 m, este clădit din piatră legată cu mortar, cărămida fiind utilizată doar ocazional pentru egalizări. Partea inferioară a fundației, de la cca W-2,70 m în jos, este complet înecată în mortar, consecința faptului că a fost edificată în pământ lutos. La W-1,50 m, fundația prezintă un decroș, destul de superficial (cca 15 cm la est, îngustându-se spre vest pentru a dispărea complet). Zidăria de deasupra lui este mai îngrijită și este posibil să fi funcționat ca elevație.

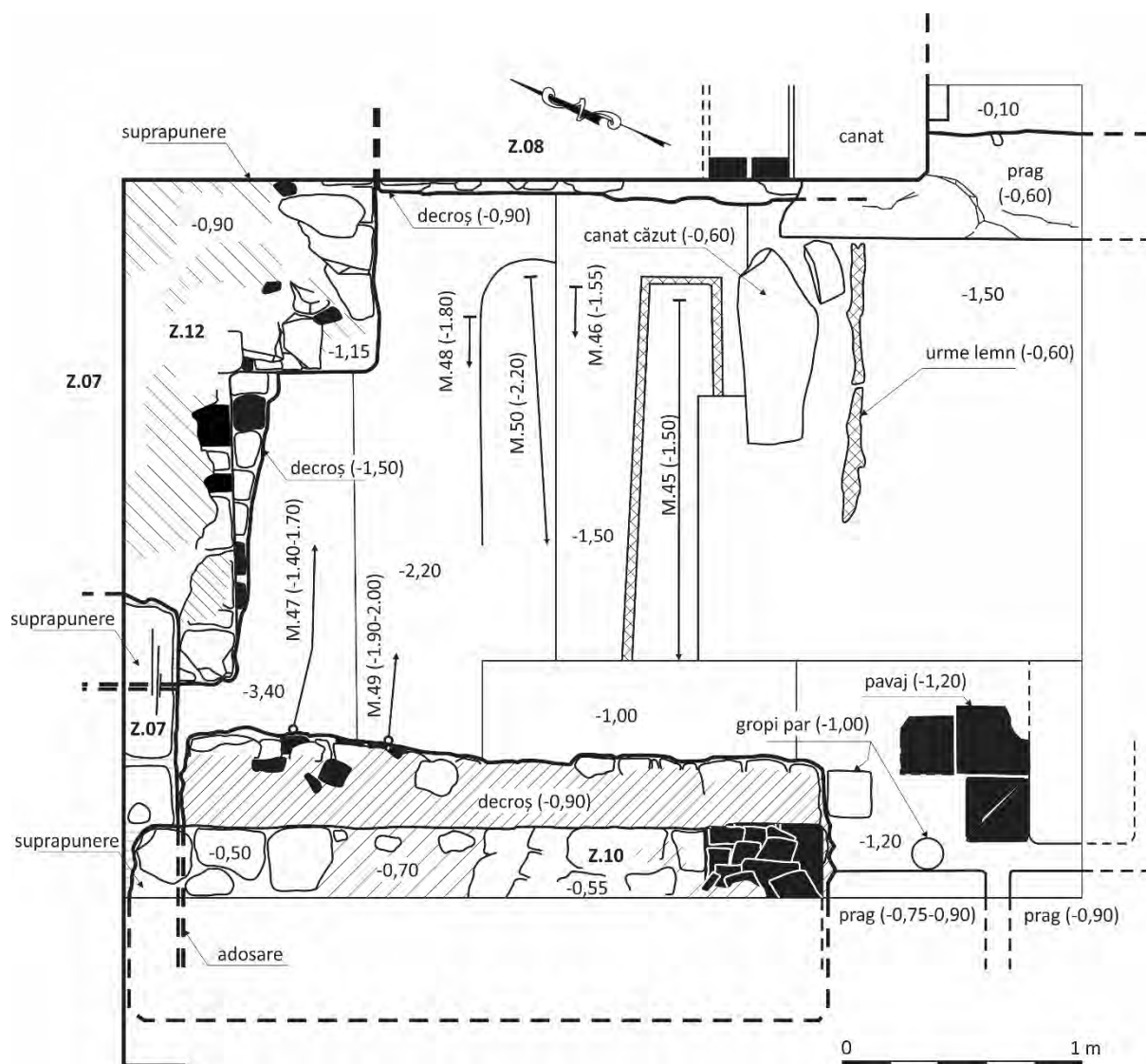


Figura 3. Secțiunea S.08 – grund / Trench S.08 – ground plan.



Figura 4. Ruine ale bisericii vechi – umărul arcului de triumf și fragment din fundația laturii de nord a navei / Ruins of the old church – the protruding foundation of the triumphal arch and part of the foundation the northern wall of the nave.

În interiorul navei, zidul a fost demolat în pantă pe lățime (N-S), de la cca W-0,90 m la cca W-1,15 m, această porțiune fiind suprapusă apoi de zidăria peretelui actual al navei. La 2,10 m distanță de colțul de nord-est al navei către vest, Z.12 a fost demantelat sistematic până la cca W-2,70 m. Șanțul de demantelare a lui Z.12 și de fundare a noii structuri a fost clar vizibil și este descris mai jos în cadrul stratigrafiei.

Z.12, ce constituia odinioară latura de nord a bisericii, a fost identificat clar pe o lungime de cca 5,00 m, atât cât au permis secțiunile arheologice S.08 (2,20 m) și S.06 (1,80 m). La nivelul său de demolare, Z.12 apare ca un decroș lat de cca 0,50 m față de linia elevației actuale și a fundației lui Z.07. La limita actualului perete de est, zidul

se întoarce către sud, formând un umăr de fundație cu dimensiunile 2,40 × 0,50 m.

Acestei etape îi corespunde un nivel de călcare identificat în interiorul navei la W-1,20 m, amenajat cu tegule romane întregi și fragmentare (Fig. 3, 8–9).

Etapa II – biserica actuală (Z.07, Z.08)

Z.12 a fost demolat, iar pe ruina inegală care a rezultat a fost așezată zidăria noii laturi de nord a bisericii (Z.07) și a laturii de est a Lettner-ului (Z.08). Cele două ziduri sunt țesute și fac corp comun cu elevația actuală a bisericii (Fig. 5).

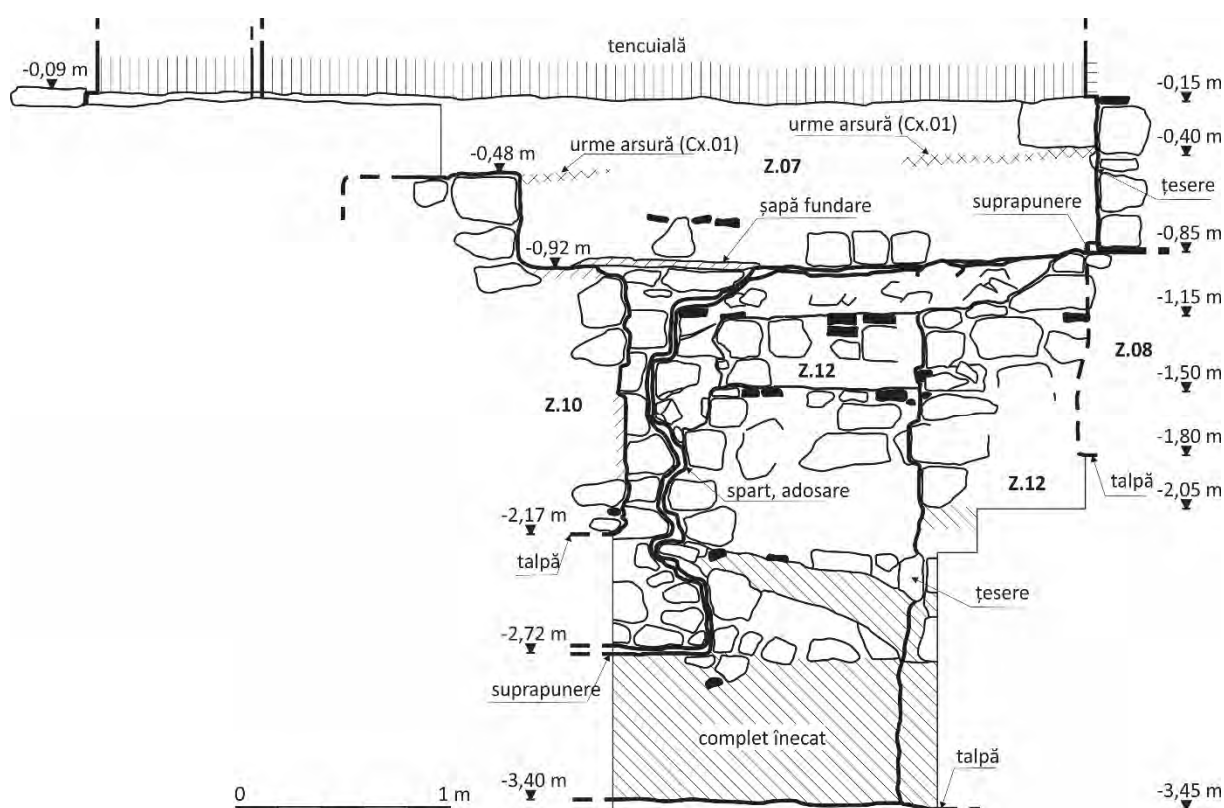


Figura 5. Secțiunea S.08 – parament nord, cu ruinele bisericii vechi (Z.12) suprapuse de structura bisericii actuale (Z.07) / Trench S.08 – drawing of the northern side, with ruins of the old church (Z.12) superposed by the structure of the present-day church (Z.07).

Fundația peretelui de nord al navei (Z.07) este așezată pe ruina descrisă anterior (Z.12) la cca 0,50 m față de marginea sudică a acesteia (Fig. 3–8, 13). În lipsa unei cercetări arheologice în exteriorul bisericii, planează incertitudinea asupra unei eventuale extinderi a lăcașului de cult, deși Z.12 sugerează că, la construirea lui Z.07, nava a fost lărgită cu jumătate de metru.

Cercetarea actualului perete de est a constatat că și fundația lui a fost așezată parțial pe ruina lui Z.12, parțial a coborât pe lângă aceasta până la cca W-1,80 m (talpa fundației). Fundația din piatră a fost înecată în mortar gri-cenușiu și plombată pe alocuri cu fragmente de cărămidă. Limita dintre elevație și fundație, prezentând urma unui

decroș (cca 5 cm), este dată de o șapă de mortar (W-0,80–0,90 m), care a acoperit ruinele lui Z.12 și, totodată, corespunde cu nivelul de construcție al lui Z.07 (Fig. 6).

Elevația lui Z.08 este din piatră legată cu mortar, ocazional fiind folosite și fragmente de cărămidă. La cca 2,70 m de colțul de NE, aceasta include un montanț masiv de piatră, lat de 0,58 m, pentru fixarea căruia zidăria din piatră a fost reparată și uniformizată pe o porțiune lată de cca 0,30 m cu o zidărie clădită din cărămidă. Montanțul formează latura de nord a actualei intrări estice în biserică. Până recent s-a considerat că acest bloc din piatră, ca de altfel întreaga latură de est a bisericii actuale, ține de perioada demolării corului și reducerii în dimensiune a

bisericii. În realitate, actualul perete de est a fost construit odată cu cel de nord, iar intrarea a fost prevăzută din construcție. Canatul de nord, unde a avut loc cercetarea arheologică, se așază, la cca W-0,62 m, pe o dală de mari

proportii, groasă de 0,26–0,32 m și lungă de cel puțin 1,50 m, ce servea drept prag în perioada inițială de funcționare a Lettner-ului (Fig. 6–7).

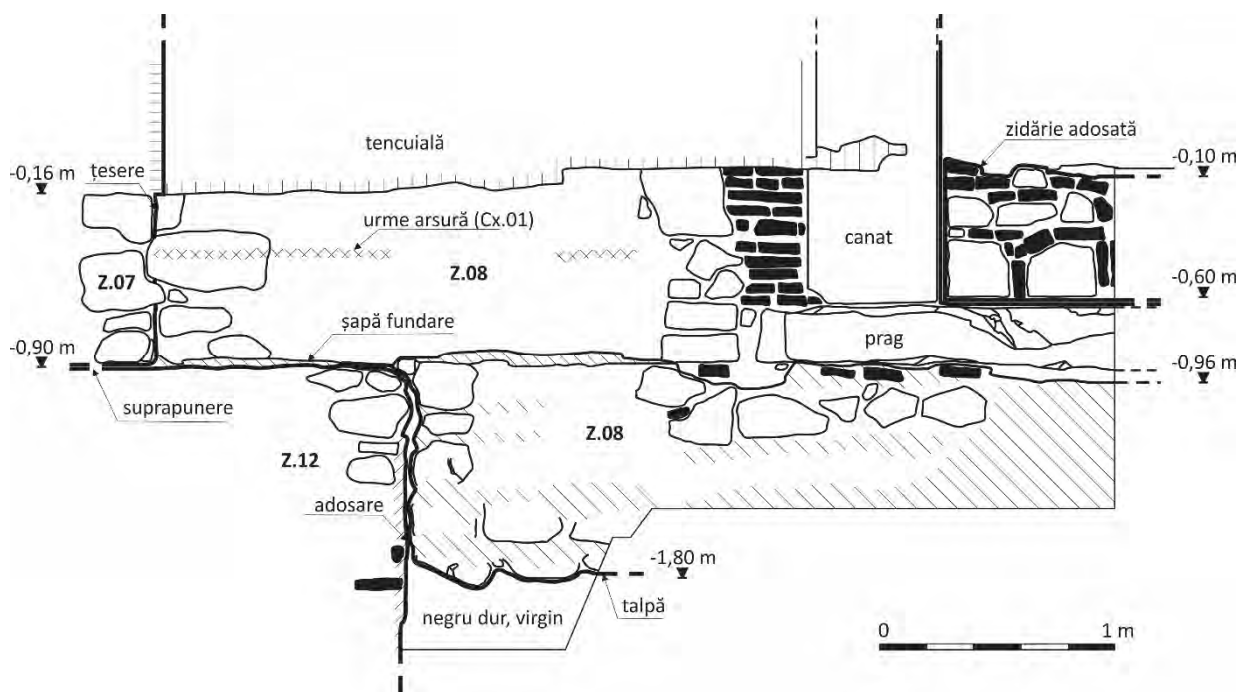


Figura 6. Secțiunea S.08 – parament est, cu desfășurarea jumătății de nord a zidului ce separa nava de cor (Z.08) suprapunând ruina bisericii vechi (Z.12) / Trench S.08 – drawing of the eastern side, with the wall that used to separate the nave from the choir (Z.08) superposing the ruins of the old church (Z.12).

Cercetarea nu s-a extins până la canatul sudic, astfel încât nu cunoaștem lungimea exactă a pragului. Mult mai târziu, în etapa IV, peste prag a fost ridicată o structură de piatră și cărămidă, cu rolul de a înălța nivelul de la intrare cu cca 0,60 m, intervenția putând fi atribuită etapei în care corul bisericii deja nu mai exista. Structurile zidite atribuite acestei perioade pot fi puse în corelație cu nivelul de călcare identificat în interiorul navei la W-0,85–0,95 m.

Etapa III (Z.10A-B)

În această etapă s-a format efectiv Lettner-ul, ridicându-se latura sa de vest, a cărei structură constă din două elemente: Z.10A (2,90 m), adosat laturii de nord a navei (Z.07), și Z.10B (probabil cu o lungime similară), adosat laturii de sud a navei (Z.01). În elevație, latura Lettner-ului avea o grosime de cca 0,80 m și s-a conturat în partea de nord (Z.10A), la cca W-0,50 m, iar în partea de sud (Z.10B), la cca W-0,10 m.

Numai Z.10A a fost investigat satisfăcător, cercetarea lui Z.10B oprindu-se la nivelul de conturare (Fig. 10, 11/b). Fundația, construită din piatră, are în componență și fragmente de cărămidă și coboară până la cca W-2,10 m. Nivelul de construcție al lui Z.10A (cca W-0,90 m) este marcat printr-un decroș pe fața estică a zidului, lat de 0,30 m. În fundație, Z.10A este clar adosat

lui Z.07, iar resturile elevației sale urcă pe decroșul lui Z.07 și se adosează elevației lui (Fig. 3, 8, 9/a).

Între cele două ziduri se afla de fapt o ușă, a cărei deschidere s-a conturat la 2,40 m distanță de latura nordică a navei, realizată similar celei constatate pe latura de est: zidăria din piatră a fost completată cu zidărie din cărămidă pe o lungime de 0,50 m, pentru a facilita montarea unor elemente din piatră (Fig. 9/b–c). Componente ale acestui ancadrament vestic au fost descoperite în umplutură, în dreptul deschiderii, împreună cu numeroase fragmente de lemn – care, fără îndoială, au aparținut și ele aceleiași structuri (Fig. 3, 14/b–c).

Cantitatea mare de cărbune și lemn ars descoperită sugerează că nivelul inferior al Lettner-ului, între peretele de vest (Z.10) și cel de est (Z.08 – actualul perete de est al navei), era acoperit cu o podină din lemn. Aceleași amenajări îi aparțin și câteva gropi ale unor stâlpi de lemn care acompaniau canatul de piatră al deschiderii vestice, dar rolul lor – structural sau provizoriu – nu este foarte clar.

Pragul intrării vestice fusese inițial amenajat cu lespezi din piatră, dintre care două încă mai puteau fi observate în momentul cercetării. Ele se aflau însă într-o poziție înclinată, ceea ce indică o tasare a terenului, după care pragul a fost refăcut cu lemn (Fig. 8, 9/c).



a



b



c

Figura 7. a) Ruinele bisericii vechi suprapuse de zidul despărțitor dintre navă și cor; b) vedere de ansamblu a jumătății de nord a spațiului de sub galeria Lettner-ului; c) detaliu cu ancadramentul și pragul ușii de trecere dintre navă și cor / a) Ruins of the old church superposed by the wall that separated the nave from the choir; b) overview of the northern half of the area covered by the rood screen gallery; c) close-up with the frame and the threshold of the door connecting the nave and the choir.

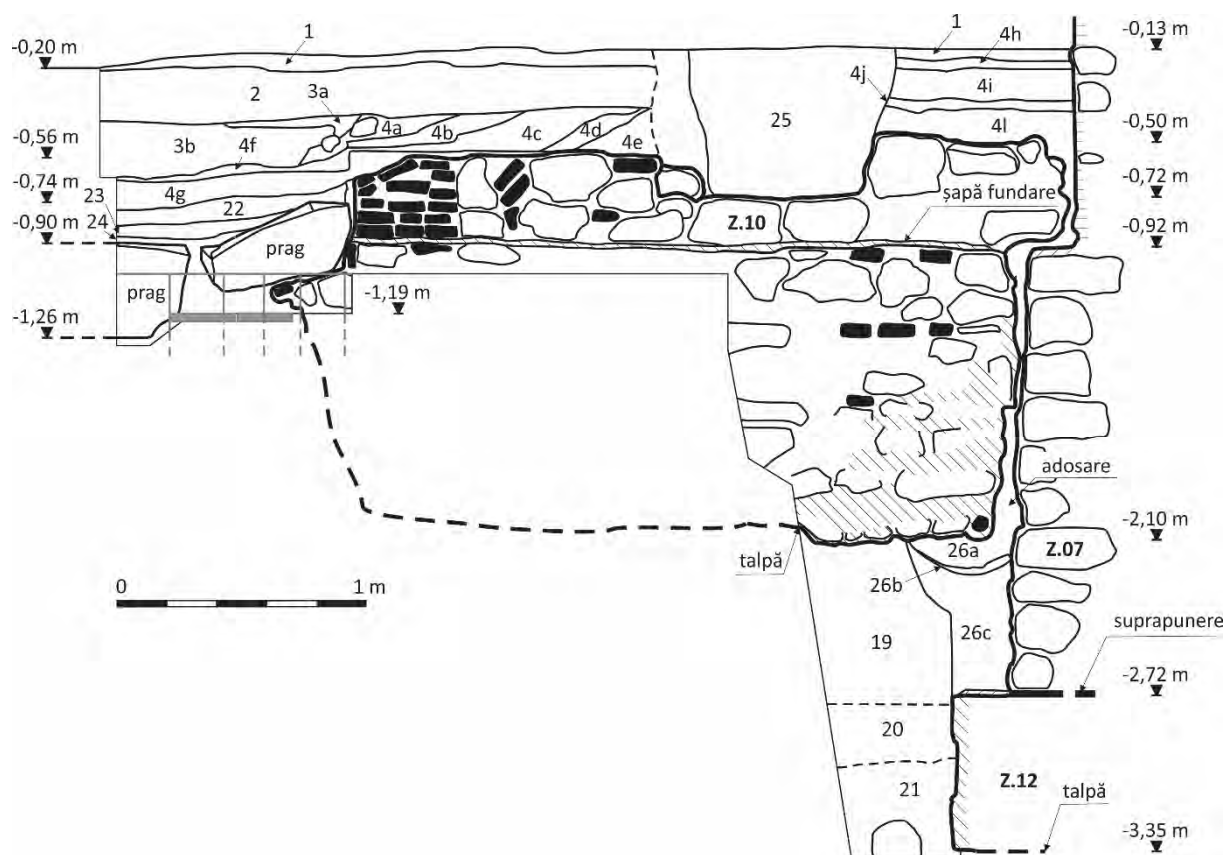


Figura 8. Secțiunea S.08 – parament vest, cu zidul de vest al Lettner-ului (Z.10), străpuns de ușă și adosat laturii de nord a bisericii actuale (Z.07), la rândul ei așezată peste ruinele bisericii vechi (Z.12). Legendă: 1. Moloz (mortar alb), amestecat cu pământ; 2. Umpluturi târzii; 3a. Moloz cenușiu; 3b. Moloz cenușiu amestecat cu pământ brun cenușiu; 4. Demolare Lettner (a, c, e, f. Lentile de moloz cenușiu; b, d. Lentile de pământ brun maroniu; g. Lentile de pământ negru amestecat cu galben, urme de cărbune, oase etc.); 19. Pământ negru dur, nepigmentat; 20. Pământ negru dur amestecat cu galben; 21. Lut galben virgin; 22. Strat roșiatic sfărâmișos, posibil lemn putrezit; 23. Pământ brun-cenușiu; 24. Pământ negru bătut, pigment mortar; 25. Groapă modernă, umplutură foarte afânată; 26. Șanț demantelare (a, c. Pământ negru amestecat cu mortar gălbui; b. Lentilă de mortar) / Trench S.08 – drawing of the western side, with the western wall of the rood screen (Z.10), interrupted by its door and abutting the northern wall of the present-day church (Z.07), which in turn superposes the ruins of the old church (Z.12). Explanation: 1. Rubble (white mortar) mixed with soil. 2. Late levelling deposits. 3a. Grey mortar. 3b. Grey mortar mixed with brown-greyish soil. 4. Rood screen demolition deposits (a, c, e, f. Thin layers of grey mortar; b, d. Thin layers of brownish soil; g. Thin layer of dark soil mixed with yellowish soil, traces of charcoal, bones, etc.). 19. Dense dark soil, no admixtures. 20. Dense dark soil mixed with yellowish clay. 21. Undisturbed dense yellowish clay. 22. Crumbly reddish layer, likely rotted wood. 23. Brown-greyish soil. 24. Compacted dark soil, traces of mortar. 25. Modern hollow, very friable backfill. 26. Dismantlement trench (a, c. Dark soil mixed with yellowish mortar; b. Thin layer of mortar).

Etapa IV

În această etapă se încadrează o serie de intervenții care au avut loc începând cu secolul al XVIII-lea (?) și care au dat bisericii forma actuală.

În primul rând s-a renunțat la Lettner, peretele de vest fiind demolat – aparent în urma unui incendiu. Molozul care a rezultat a fost utilizat la reamenajarea nivelului, la o cotă mai ridicată. Nu sunt clare motivele pentru care porțiunea de zid Z.10A a fost demantelată până la nivelul de călcare al perioadei – cota demantelării corespunde cu nivelul de arsură – în timp ce structura sudică Z.10B se păstrează cu 40 cm mai sus, efectiv imediat sub nivelul de călcare actual.

Aproximativ pe locul Lettner-ului a fost ridicată tribuna actuală de est, pe două niveluri, fiecare deschis

către navă prin trei arcade sprijinite pe stâlpi rectangulari masivi de cărămidă și pe pereții laterali ai navei (Fig. 11/a). Zidăria stâlpilor coboară îngrijit până la cca W-0,35 m, unde se așază pe o masă de mortar, cu pietre și fragmente de cărămidă înglobate în ea, ce funcționează ca fundație. Aceasta este, de altfel, și cota la care fusese demantelat Z.10B, iar constructorii tribunei au adosat fundația de fosta latură vestică a Lettner-ului (Fig. 10, 11/b). Deși nu au fost cercetați până la fundație, stâlpul de nord și cei doi pilastri încastrați prezintă aceeași structură de cărămidă și cu siguranță aceeași relație de adosare cu Z.10B, respectiv Z.10A.

Tot în această etapă este probabil să fi avut loc construirea unei cripte descoperite în zona centrală a navei, în secțiunea S.07¹³.

¹³ Groza 2020, p. 166–167.



a



b



c

Figura 9. a) Imagine de ansamblu a jumătății nordice a zidului de vest a Lettner-ului; b) și c) detalii cu zona ușii din zidul de vest al Lettner-ului și cu resturi ale pavajului bisericii vechi / a) Overview of the northern half of the western wall of the road screen; b) and c) close-ups of the door area of the western wall of the road screen and of remnants of the old church pavement.

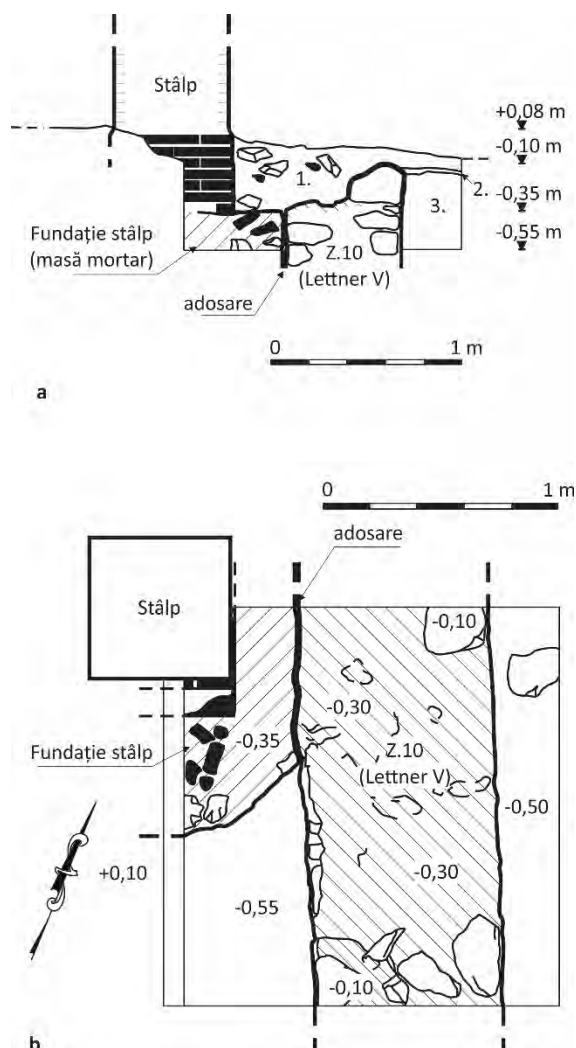


Figura 10. a) Secțiunea S.04 – profil nord, cu ruina zidului de vest al Lettner-ului (Z.10) și cu stâlpul de sud al actualei tribune de est; b) secțiunea S.04 – grund, cu ruina zidului de vest al Lettner-ului (Z.10) și cu stâlpul de sud al actualei tribune de est. Legendă: 1. Moloz; 2. Lentilă de pământ negru bătut; 3. Umplutură afânată, diferite pigmenții, materiale construcție / a) Trench S.04 – drawing of the northern side, with the ruin of the western wall of the rood screen (Z.10) and the southern pillar of the present-day eastern gallery; b) trench S.04 – ground plan, with the ruin of the western wall of the rood screen (Z.10) and the southern pillar of the present-day eastern gallery. Explanation: 1. Rubble. 2. Thin layer of compacted dark soil. 3. Friable deposits, various admixtures, construction materials.



Figura 11. a) Actuala tribună de est; b) ruina laturii de vest a Lettner-ului, la picioarele stâlpului de sud a actualei tribune de vest / a) The present-day eastern gallery; b) the ruin of the western wall of the rood screen next to the southern pillar of the present-day eastern gallery.

Morminte descoperite în interiorul navei

Săpăturile din interiorul navei au scos la iveală numai un număr limitat de morminte *in situ*, dar o mare cantitate de oseminte reînhumate, fie în gropi de mormânt ulterioare, fie în gropi-osuar. În S.07 au fost documentate morminte conținând unul (M.43, M.44), doi (M.40), trei (M.42) și respectiv patru defuncți (M.41). Mormântul M.40 se afla într-o criptă din care au rezultat osemintele deranjate a încă minim 19 indivizi. Cu excepția lui M.40, niciunul dintre morminte nu a avut însă inventar funerar¹⁴.



Figura 12. Morminte în interiorul bisericii – M.45 în prim plan, cu oase reînhumate aruncate peste sicriu, și M.47 în fundal; între ele și lângă ruina bisericii vechi, oseminte dintr-o groapă de oase ce a tăiat mai multe morminte, inclusiv pe M.47 / Burials inside the church – grave M.45 in the foreground, with reburied bones thrown over the coffin, and grave M.47 in the background; between them and near the ruin of the old church, bones from a bone pit that cut through several graves, including M.47.

În S.08 s-au putut cerceta șase morminte de inhumație (M.45–M.50), toate orientate V–E și așezate la adâncimi cuprinse între W-1,40 și -2,20 m (fig. 12). Mormintele nu se află în relație directă cu nicio structură zidită, singura certitudine fiind că sunt morminte de interior, în parte suprapuse, toate anterioare demolării laturii de vest a Lettner-ului (și incendiului care a precedat acest eveniment). Chiar dacă au fost recuperate patru monede și trei piese de vestimentație din umpluturile gropilor, datarea lor individuală rămâne incertă și, în consecință, puțin relevantă pentru evoluția monumentului.

Mormântul M.45 – a fost descoperit la W-1,50 m, și pare a fi cel mai recent dintre mormintele investigate în S.08, fiind de altfel și singurul care nu a fost afectat sau suprapus de groapa-osuar Cx.03. Într-un singur sicriu de lemn au fost înmormântați un adult și un copil, iar peste

sicriu au fost depuse osemintele mai multor indivizi. Între aceste oseminte, lângă un craniu, a fost descoperit un denar subaerat (fals de epocă?)¹⁵, emisiune monetară a regelui Ungariei, Sigismund de Luxemburg (1387–1437)¹⁶.

Mormântul M.46 – a fost descoperit la W-1,55 m adâncime, aproape complet distrus de groapa-osuar Cx.03 – s-au mai păstrat numai labele picioarelor.

Mormântul M.47 – a fost descoperit lângă latura de nord a bisericii, cu capul defunctului, conturat la W-1,40 m adâncime, sprijinit de fundația laturii de vest a Lettner-ului. Corpul a fost așezat în pantă, zona sa mediană conturându-se abia la W-1,70 m adâncime. Picioarele i-au fost distruse de groapa-osuar Cx.03. Pe pieptul defunctului, între coaste, au fost descoperite accesoriile vestimentare din bronz de tip moș și babă, iar în umplutura gropii, sub nivelul de conturare a craniului, o monedă de tip *parvus* (1330–1336)¹⁷, emisiune monetară a regelui Ungariei Carol Robert de Anjou (1308–1342)¹⁸. Moneda are o importanță deosebită deoarece este cea mai veche descoperită până în prezent, fiind în strânsă corelație cu atestarea documentară a mănăstirii augustinieniene din anul 1331¹⁹. În documentul în care este pomenită mănăstirea se vorbește despre o donație a aceluiași rege adresată lui: *religiosus vir Fr. Dominicus, lector ordinis Fratrum eremitarum S. Augustini, Prior in Thorda*²⁰. O altă piesă, scoasă la iveală la W-1,60 m, imediat lângă M.47, între osemintele din Cx.03, a fost identificată cu o monedă de la Matia Corvin²¹.

Mormântul M.48 – a fost descoperit la W-1,80 m adâncime. Din mormânt s-au păstrat doar osemintele labele picioarelor, restul fiind deranjat de groapa-osuar Cx.03. Între oasele labei piciorului drept a fost descoperit un denar (1390–1427)²² emis de monetăria (din Timișoara) a regelui Ungariei Sigismund de Luxemburg (1387–1437)²³.

Mormântul M.49 – capul, aflat imediat lângă fundația laturii de vest a Lettner-ului, s-a conturat la W-1,90 m adâncime, ușor sprijinit de fundație; corpul nu a apărut decât la W-2,00 m. De la piept în jos a fost tăiat de groapa-osuar Cx.03, ce i-a afectat și brațul drept. Din umplutura gropii provine un fragment de accesoriu vestimentar de bronz.

Mormântul M.50 – s-a conturat la W-2,20 m, cu o groapă rectangulară cu colțuri puternic rotunjite. Cel mai adânc dintre mormintele identificate în S.08 este, probabil, și cel mai vechi dintre ele, fiind suprapus de mormintele M.46 și M.48, precum și de groapa-osuar Cx.03. Împreună cu M.49, este unul din cele două morminte fără urme de arsură în umplutură. Nu a avut inventar.

¹⁴ Groza 2020, p. 168–169, cu o prezentare detaliată.

¹⁵ Huszár 1979, p. 576. Restaurarea și identificarea monedelor se datorează dr. Emanoil Pripón, cărui îi mulțumim și pe această cale pentru contribuția domniei sale în această etapă a investigațiilor.

¹⁶ Muzeul de Istorie Turda, nr. inv. (șantier) 5B.

¹⁷ Huszár 1979, p. 472.

¹⁸ Muzeul de Istorie Turda, nr. inv. (șantier) 1B.

¹⁹ Bicsok 2001, p. 19.

²⁰ Weiss 2013, p. 170.

²¹ Muzeul de Istorie Turda, nr. inv. (șantier) 12B.

²² Huszár 1979, p. 576.

²³ Muzeul de Istorie Turda, nr. inv. (șantier) 2B

Stratigrafia generală a interiorului navei

Situația stratigrafică din interiorul navei a fost cel mai bine înregistrată în unitatea de cercetare S.08, deschisă în colțul de nord-est al acesteia. Informațiile obținute anterior, în 2018, prin investigarea unității de cercetare S.07A, deschisă în a doua travee dinspre vest a navei, nu au putut fi decât parțial corelate cu noile rezultate, în cele două puncte cercetarea lovindu-se de situații distincte. Unitatea de cercetare S.04 a furnizat o cantitate limitată de informații, săpătura fiind sistată la W-0,55 m (Fig. 10/a).

Din contră, S.08 s-a adâncit până la W-3,50 m (Fig. 13), pentru a atinge talpa de fundare a laturii de nord a navei (identificată la W-3,35–3,45 m). Partea cea mai de jos a secvenței stratigrafice înregistrate pe profilul de vest, până la W-2,75 m, constă din steril lutos, galben curat în partea inferioară, apoi progresiv tot mai amestecat cu negru. Deasupra acestui strat urmează un pământ negru fără pigmenți, până la W-1,70–2,00 m, în funcție de nivelul la care s-au adâncit mormintele, care constituie următorul nivel stratigrafic, un strat mai mult sau mai puțin afânat, pigmentat cu mortar și cărbune.

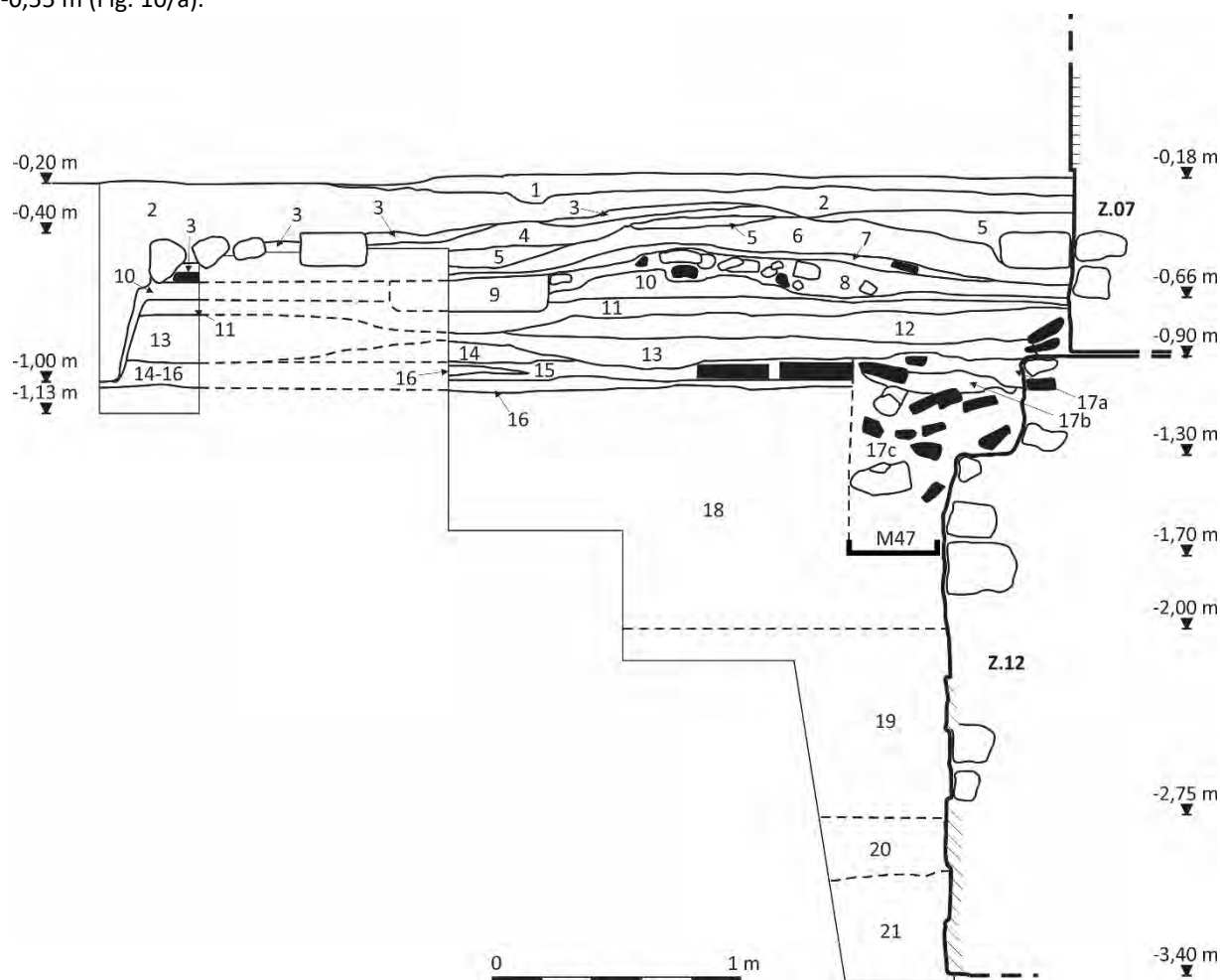


Figura 13. Secțiunea S.08 – profil intermediar sud-nord, cu succesiunea stratigrafică din interiorul bisericii și cu ruina bisericii vechi (Z.12) suprapusă de latura de nord a bisericii actuale (Z.07). Legendă: 1. Moloz (mortar alb), amestecat cu pământ; 2. Umpluturi târzii; 3. Moloz de mortar alb; 4. Lentilă de pământ brun maroniu; 5. Pământ brun-cenușiu; 6. Moloz de mortar alb; 7. Cărbune; 8. Moloz de mortar alb cu pământ prăfos, multă piatră, cărămidă; 9. Groapă, umplutură afânată; 10. Cărbune; 11. Pământ ars la roșu, relativ afânat; 12. Cenușă; 13. Umplutură afânată, moloz și pigment de arsură; 14. Cenușă; 15. Arsură roșie; 16. Lentilă de lut galben; 17. Groapă (a. Umplutură brun închis, tipică pentru morminte; b. Pământ brun cu mult lut gălbui-cenușiu, similar cu 16; c. Umplutură brună cu foarte multe pietre și cărămizi); 18. Pământ brun, strat morminte, pigmenți de mortar și de arsură; 19. Pământ negru dur, nepigmentat; 20. Pământ negru amestecat cu galben; 21. Lut galben virgin / Trench S.08 – south to north stratigraphic section inside the church, including the ruin of the old church (Z.12) superposed by the northern wall of the present-day church (Z.07). Explanation: 1. Rubble (white mortar) mixed with soil. 2. Late levelling deposits. 3. Rubble (white mortar). 4. Thin layer of brownish soil. 5. Brown-greyish soil. 6. Rubble (white mortar). 7. Charcoal. 8. Rubble (white mortar) mixed with friable soil, many stones and brick fragments. 9. Hollow, friable backfill. 10. Charcoal. 11. Relatively soft red-backed soil. 12. Ashes. 13. Friable deposits, rubble and traces of charcoal and of red-backed soil. 14. Ashes. 15. Red-backed soil. 16. Thin layer of yellowish clay. 17. Hollow (a. Dark-brownish backfill, typical grave backfill; b. Brownish soil mixed with a large quantity of yellowish-greyish clay, same as in layer 16; c. Brownish backfill, with many stones and broken bricks). 18. Brownish soil, burial backfill, traces of mortar, of charcoal and of backed soil. 19. Dense dark soil, no admixtures. 20. Dense dark soil mixed with yellowish clay. 21. Undisturbed dense yellowish clay.

Aproape complet distrus de înmormântări ulterioare a fost primul nivel de călcare identificat din biserică (?), ce a supraviețuit sub forma unei mici porțiuni pavate cu tegule romane, la cota cca W-1,20 m (Fig. 9). Acest nivel corespunde cu demolarea lui Z.12 și se cuvine atribuit perioadei în care biserica a funcționat cu arcul de triumf al acestuia. Cum decroșul fundației lui Z.12 este la W-1,50 m, există totuși posibilitatea ca acesta să nu fie cel mai vechi nivel de călcare al interiorului navei.

Orizontul de înmormântări este sigilat de un al doilea nivel de călcare (W-0,90–0,95 m), amenajat pe o lentilă de pământ galben (W-1,00) peste care au fost așezate tegule romane, cărămizi și pietre (Fig. 14/a). Acest nivel corespunde cu decroșările laturilor de nord și de est ale navei, fiind amenajat probabil imediat după construirea laturii de est a Lettner-ului și refacerii laturii nordice a navei. Ulterior a fost în mod repetat deranjat de morminte, dar refăcut în mod constant până la un incendiu, care a lăsat în urmă un strat gros de cărbune, după care interiorul a fost nivelat și un nou nivel de călcare amenajat (W-0,60 m). Săpătura a fost de prea mică amploare pentru a putea determina dacă în perioada acestui nou nivel de călcare au continuat să se efectueze înmormântări în interiorul bisericii.

Acest ultim nivel de călcare a fost identificat la aceeași cotă și în S.07A. Pe întreaga sa suprafață, acesta conține urmele unui puternic incendiu ce a mistuit biserica, lăsând în urmă un strat gros de 1–8 cm de cărbune (Fig. 14/b–c, 15/a), ale cărui urme sunt clar vizibile chiar și pe pereții bisericii. Incendierea marchează și nivelul de demantelare al laturii de vest a Lettner-ului, al cărei moloz, amestecat cu pământ, compune umplutura de mai sus, până la depunerile foarte recente, ce încep între W-0,20 m și W-0,40 m.

Un nivel de călcare mai recent l-a constituit un pavaj realizat din lespezi de piatră ce s-a păstrat pe alocuri în nava bisericii. În zona tribunei estice, în pardoseală era prezentă o dală inscripționată „1788”, probabil data realizării acesteia. Sub pardoseală, se afla un strat de nisip și pământ amestecat cu moloz și fragmente din piatră de cca 20 cm, provenit de la multiplele renovări ce au avut loc și de la umplutura criptelor care au fost construite în interiorul bisericii între secolele al XVI-lea și al XVII-lea.

Pardoseala recentă din mozaic fusese realizată în cadrul reabilitării generale a bisericii, la începutul secolului al XX-lea. Între bănci se mai observa, la data începerii săpăturilor, vechea dușumea și un strat de pământ bătătorit, ce a constituit, într-o perioadă relativ recentă (secolul al XIX-lea?), un alt nivel de călcare²⁴.

La aceste observații generale mai pot fi adăugate o serie de particularități. Astfel, s-au putut observa mai multe gropi, fără legătură cu mormintele, ce coboară din nivelurile târzii, spărgând stratigrafia anterioară, asupra cărora nu vom insista. De asemenea, cercetarea din S.08

a surprins șanțul de fundare/demantelare al laturii de nord a navei (fundare Z.07 / demantelare Z.12), ce s-a conturat la cca W-2,10 m, imediat sub talpa laturii de vest a Lettner-ului (Z.10) și a putut fi urmărit până la W-2,70 m, respectiv limita superioară a ruinei lui Z.12 (Fig. 15/b).



Figura 14. a) Resturi ale pavajului timpuriu al actualei biserici și ale arsurii inferioare; b) blocuri fasonate prăbușite pe nivelul de arsură superior; c) nivelul de arsură superior / a) Remnants of the early pavement of the present-day church and of the lower burn layer; b) crafted stones tumbled on the upper burn layer; c) the upper burn layer.

²⁴ Groza 2020, p. 171.

O situație interesantă s-a constatat și în zona portalului de vest (Fig. 16/a). Coborârea nivelului de călcare a impus decopertarea și curățarea pragului, în structura căruia a fost descoperit un bloc din piatră de dimensiuni mari ce fusese pus acolo încă de la început. Piatra (1,30 × 0,70 m), deși este deteriorată (prezentând fisuri și spărturi pe margini), conține câteva semne de

scriere ilizibile inscripționate la partea sa inferioară, alături de reprezentarea schematică a unei cruci realizate de meșterul pietrar. Este probabil că, inițial, blocul respectiv a fost parte dintr-un monument funerar (?), ridicat în apropiere anterior construcției actuale²⁵ (Fig. 16/b-c).



Figura 15. a) Succesiunea stratigrafică din interiorul bisericii pe profilul de vest intermediar al secțiunii S.08; b) fragment ceramic surprins în șanțul de demantelare al bisericii vechi / a) Stratigraphic sequence inside the present-day church on the western intermediate side of trench S.08; b) potshard in the dismantlement trench of the old church.



Figura 16. a) Portalul de vest al bisericii; b) și c) detalii cu pragul portalului de vest / a) The western portal of the church; b) and c) close-ups with the threshold of the western portal.

²⁵ Piatra a fost demontată și depusă în curtea casei îngrijitorului bisericii, urmând a fi expusă în momentul amenajării lapidarului medieval al orașului.



Figura 17. a) Caroiaj în interiorul bisericii cu ocazia coborârii de nivel; b) noul pavaj al bisericii / a) Research grid inside the church during surface levelling works; b) the new pavement of the church.

Materiale arheologice descoperite în interiorul navei

În interiorul navei au fost descoperite monede moderne și contemporane, nasturi, mărgelile, fragmente ceramice, fragmente de cahle și pipe, precum și numeroase fragmente arhitectonice de piatră profilată, obiecte metalice (cuie, piroane), materiale de construcție etc. (Fig. 17, 36–37).

IV.2. Corul bisericii

Obiectivul principal al săpăturii din partea de est a bisericii actuale a fost stabilirea unui diagnostic cât mai precis pentru corul medieval demolat, dar rezultatele au fost destul de dezamăgitoare. Ruinele corului se află într-un context foarte aglomerat de construcții și alte intervenții ulterioare, astfel că zidăria propriu-zisă a acestei structuri medievale nu poate fi vizualizată decât fragmentar și incomplet.

Etapa I

Cercetările din S.06 au certificat faptul că Z.12, identificat în colțul de nord-est al navei, continuă spre est, constituind parțial latura de nord a fundației unui prim cor. Z.12 are practic aceleași caracteristici cu cele descrise anterior (decroș la cca W-1,55 m, lat de 5–10 cm; zidărie din piatră, rare fragmente de cărămidă) și a fost demolat la aceeași cotă de W-0,90 m (Fig. 18–20, 25).

Unele particularități au fost surprinse în S.05, unde a fost vizibil un decroș de 0,40 m și o demantelare identificată la două cote diferite de la vest spre est (W-0,75 m și W-0,90 m), intercalate de o intervenție care a deteriorat major fața sudică a zidăriei suprapuse de Z.09. Deși este probabil ca, de la aceste cote în jos, zidăria să dateze din prima etapă identificată, iar de la ea

în sus să aparțină etapei a doua, situația observată nu este pe deplin concludentă (Fig. 23, 32).

Etapa II

Construirea corului medieval, a cărui latură nordică a fost așezată pe ruinele lui Z.12 (Fig. 2, 18–20, 23, 25, 32). Zidăria fundației nordice este de bună calitate, realizată în asize regulate de piatră, completate pe alocuri cu tegule romane.

Etapa III

La o distanță de 13 m de peretele estic al bisericii, în interiorul fostului cor, a fost descoperită o structură zidită (Z.19) la cota W-0,30 m, cercetată parțial în S.10. Șirul de blocuri a fost inițial așezat pe un fel de fundație superficială zidită din fragmente de piatră de carieră (rar cărămidă) cu dimensiuni medii, legată cu un mortar gălbui de proastă calitate. Realizată din blocuri mari din piatră (cinci blocuri cu dimensiuni de cca 0,50 × 0,30 m), structura s-a păstrat pe o lungime de 2,70 m pe direcția nord-sud și pare mai degrabă un prag sau o treaptă în interiorul corului (Fig. 22).

Trei dintre blocurile menționate sunt din calcar de Podeni și au o culoare gălbuie. Unul din celelalte două blocuri, cu dimensiunile 0,87 × 0,50 × 0,20 m, a fost finisat mai atent, iar pe partea sa superioară a păstrat incizată o cruce greacă. Piatra provine cel mai probabil dintr-un monument funerar refolosit, ale cărui analogii trebuie căutate. Acest bloc de piatră, întocmai celuilalt, descoperit înzidit în pragul portalului vestic la coborârea nivelului de călcare din interior, ar putea fi anterior lăcașului de cult, provenind din primul nivel de înhumări din necropola mănăstirii.

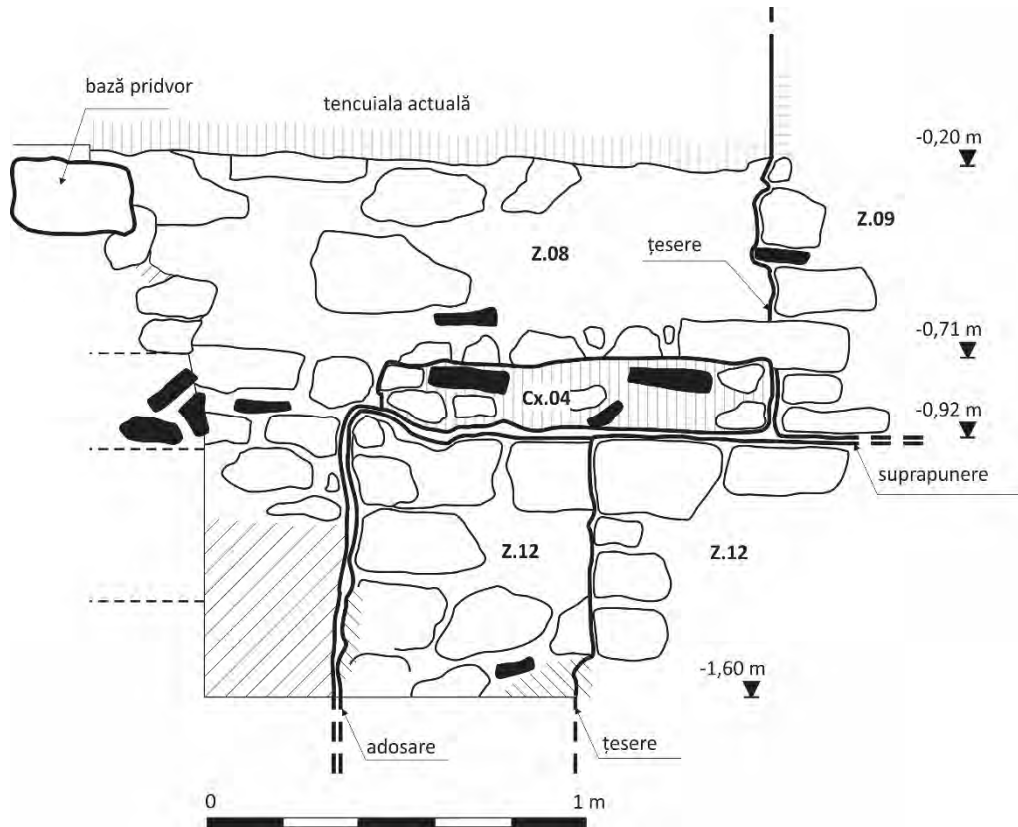


Figura 18. Secțiunea S.06 – parament vest, cu ruina bisericii vechi (Z.12) suprapusă de structurile bisericii noi (Z.08, Z.09) și de amenajarea nivelului de călcare din interiorul corului (Cx.04) / Trench S.06 – drawing of the western side, with the ruin of the old church (Z.12) superposed by the structure of the new church (Z.08, Z.09) and by that of the inner stepping level of the choir (Cx.04).

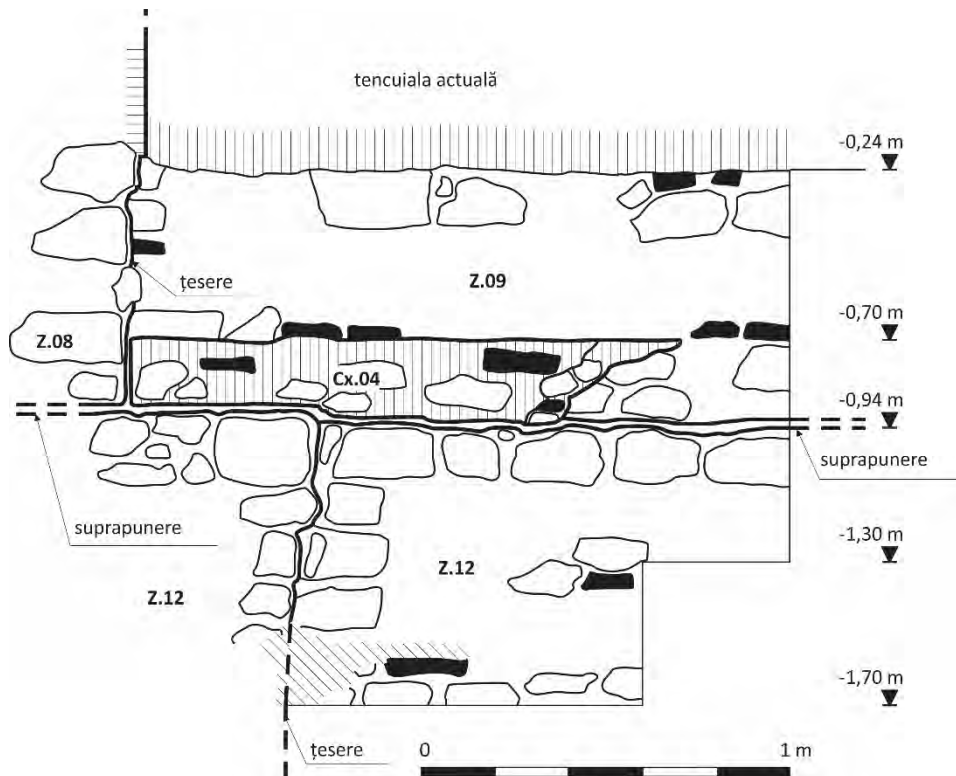


Figura 19. Secțiunea S.06 – parament nord, cu ruina bisericii vechi (Z.12) suprapusă de structurile bisericii noi (Z.08, Z.09) și de amenajarea nivelului de călcare din interiorul corului (Cx.04) / Trench S.06 – drawing of the northern side, with the ruin of the old church (Z.12) superposed by the structure of the new church (Z.08, Z.09) and by that of the inner stepping level of the choir (Cx.04).



Figura 20. a) Resturi ale amenajării de nivel de călcare a corului; b) ruina bisericii vechi, suprapusă de amenajarea de nivel de călcare a corului / a) Remnants of the structure of the inner stepping level of the choir; b) ruins of the old church, superposed by the structure of the inner stepping level of the choir.



Figura 21. Actuala latură de est a bisericii / The present-day eastern side of the church.



a



b



c

Figura 22. Amenajări în jumătatea de est a corului, văzute dinspre sud (a), est (b) și vest (c) / Arrangements in the eastern half of the choir, as seen from the south (a), east (b) and west (c).

În conexiune cu Z.19, întinzându-se către vest, s-a conturat Z.20, o construcție de formă patrulateră, cu ziduri groase de cca 0,60 m. Pe latura lungă se afla o mică intrare în dreptul căreia au fost descoperite mai multe materiale de feronerie – clanțe, balamale etc. Interiorul pare să fi fost pavat cu piatră, dar în momentul descoperirii era umplut cu bolovani proveniți cel mai probabil din demolare. Ambele structuri (Z.19 și Z.20) sunt adosate zidului nordic al fostului cor, cel mai probabil la o reamenajare a acestuia, dar funcțiunea lor rămâne a fi clarificată atunci când va fi posibilă o cercetare mai extinsă a zonei respective.

Etapa IV

Demolarea corului, ale cărui ruine se păstrează sub nivelul de călcare actual din exteriorul bisericii (nivelul trotuarului modern) la cota W-0,28 m. Din zidurile corului propriu-zis au supraviețuit numai capetele de vest ale zidurilor laterale, transformate în contraforturi pentru biserica micșorată. Marginile lor dinspre est au fost îndreptate și făcute cu blocuri de piatră fasonată, probabil recuperate din demolarea corului (Fig. 1/b, 21).

Deschiderea dintre navă și cor a fost complet înzidită, fostul perete de la nivelul inferior al Lettner-ului fiind completat până la nivelul închiderii arcului de triumf. Această formă, cu ușa încă funcțională, se păstrează și astăzi, arătând arcul de triumf încastrat.

Etapa V

Acestei etape îi atribuim intervențiile ulterioare demolării corului, care au afectat, în diferite proporții, ruinele acestuia. În principiu este vorba despre activități desfășurate în perioade diferite, dar relativ apropiate unele de altele din punct de vedere cronologic (sec. al XVIII-lea și al XIX-lea) (Fig. 2, 23–24).

După cum s-a menționat mai sus, în conexiune cu demolarea, capetele de vest ale zidurilor laterale au fost reorganizate drept contraforturi.

Ulterior, se remarcă apariția mai multor structuri noi pe amplasamentul fostului cor, precum casa clopotarului, casa parohială, pridvorul și turnul-clopotniță – între timp și acestea demolate, cu excepția casei parohiale. Primele trei construcții enumerate au fost ridicate în a doua jumătate a secolului al XIX-lea, deranjând corul medieval în diferite proporții. Casa parohială a distrus iremediabil stratigrafia pe întreaga porțiune de sud-est a absidei altarului. Pridvorul era demolat deja în momentul începerii săpăturilor – tot ce s-a mai putut observa a fost că nu avea fundații efective, stând pe blocuri împlântate la W-0,40 m într-o masă de pietre și moloz. Casa clopotarului s-a dezvoltat la nord de cor, lipită de fundația acestuia și refolosind în structura beciului un contrafort medieval, singurul de altfel

descoperit până acum. Zona de la nord de cor nu a fost însă cercetată mai amănunțit, obiectivul secțiunii S.05 fiind limitat la identificarea zidurilor corului și stabilirea configurației terenului.

De o atenție mai mare s-a bucurat, în schimb, ruina unui turn-clopotniță, care s-a conturat la cca W-0,25 m, în interiorul fostului cor, la 3,60–3,75 m distanță de zidul estic actual al bisericii și aproape paralel cu acesta. Forma este patrulateră, având o lungime a laturilor de 6,35 m/6,45 m, cu ziduri masive a căror lățime este cuprinsă între 1,80 și 1,90 m. Pregătirea terenului a presupus golirea completă a interiorului corului, dar cota inferioară a fundațiilor nu s-a putut stabili, săpătura oprindu-se, din lipsă de spațiu, la W-2,55 m (Fig. 23–24).

Materialul de construcție pare să fi fost recuperat din demolarea corului, pentru fundații utilizându-se foarte multe blocuri de piatră masive, fasonate, egalizate cu piatră mai mărunță și fragmente de cărămizi. Tehnica de construcție a imitat un *opus incertum*, cu piatră de calcar de dimensiuni mari și mijlocii, utilizată în general pe fețele exterioare și interioare ale fundației, cu dimensiuni variind de la 0,30 × 0,60 m până la 1,50 × 0,70 m. Pe laturile de sud și est se observă cinci blocuri din piatră refolosite, cu unul sau două orificii de prindere în forma cozii de rândunică, piatră romană tipică de construcție, provenind, probabil, din castrul Legiunii a V-a Macedonica. Alte materiale refolosite la construcția turnului și observate la documentarea acestuia au fost un fragment din soclul medieval al corului, un fragment dintr-un fus de coloană roman din calcar prelucrat și material tegular roman șampilat. Mijlocul zidăriei fundației este alcătuit dintr-un amestec de piatră legată cu mortar pe bază de var și nisip de culoare gri (emplecton), plombată pe alocuri cu material tegular roman.

Turnul a fost demolat, în general, la nivel de fundație, mici fragmente de elevație păstrându-se pe o înălțime cuprinsă între 0,10 și 0,30 m și pe o lungime cuprinsă între 1,70 și 2,80 m, pe colțul de nord-vest²⁶.

Nu au fost constatate elemente cronologice pentru a putea data construirea și respectiv demolarea acestei componente a ansamblului de la Turda Veche. Nici informațiile scrise nu ne ajută prea mult, cel puțin în stadiul actual al cercetărilor, referințele la turnul-clopotniță fiind confuze și chiar contradictorii. Unele surse îl identifică pe locul fostului cor, iar altele ca fiind turnul ridicat în capătul de est al laturii nordice a corului, dar în exteriorul acestuia, de către principele Transilvaniei Gheorghe Rákóczi I²⁷. O altă mențiune se referă la o clopotniță aflată pe unul dintre bastioanele fortificației, care ar fi datat din prima jumătate a secolului al XVII-lea. Datele istorice de care dispunem pomenesc, în anul 1767, turnul-clopotniță²⁸, iar câțiva ani mai târziu, în 1782, este menționat și clopotul de „mijloc” al acestuia²⁹. Nu știm însă despre care clopotniță este vorba: de turnul lui Rákóczi sau despre o altă construcție?

²⁶ Starea ruinei a fost influențată și de decopertările din anii '80, atunci fiind aplicată pentru protecție pe întreaga suprafață a acestuia șapă de mortar și ciment. Actualele lucrări de amenajare a terenului au prevăzut însă coborârea nivelului de călcare în zona respectivă, astfel că șapa modernă a fost înlăturată, iar ruina a fost protejată cu folie din plastic peste care a fost depus un strat de 30 de cm de nisip. Încheierea

lucrărilor din această zonă a fost concretizată prin montarea unui pavaj de piatră.

²⁷ Weiss 2013, p. 159.

²⁸ Teglás 1909, p. 33.

²⁹ Teglás 1909, p. 43.

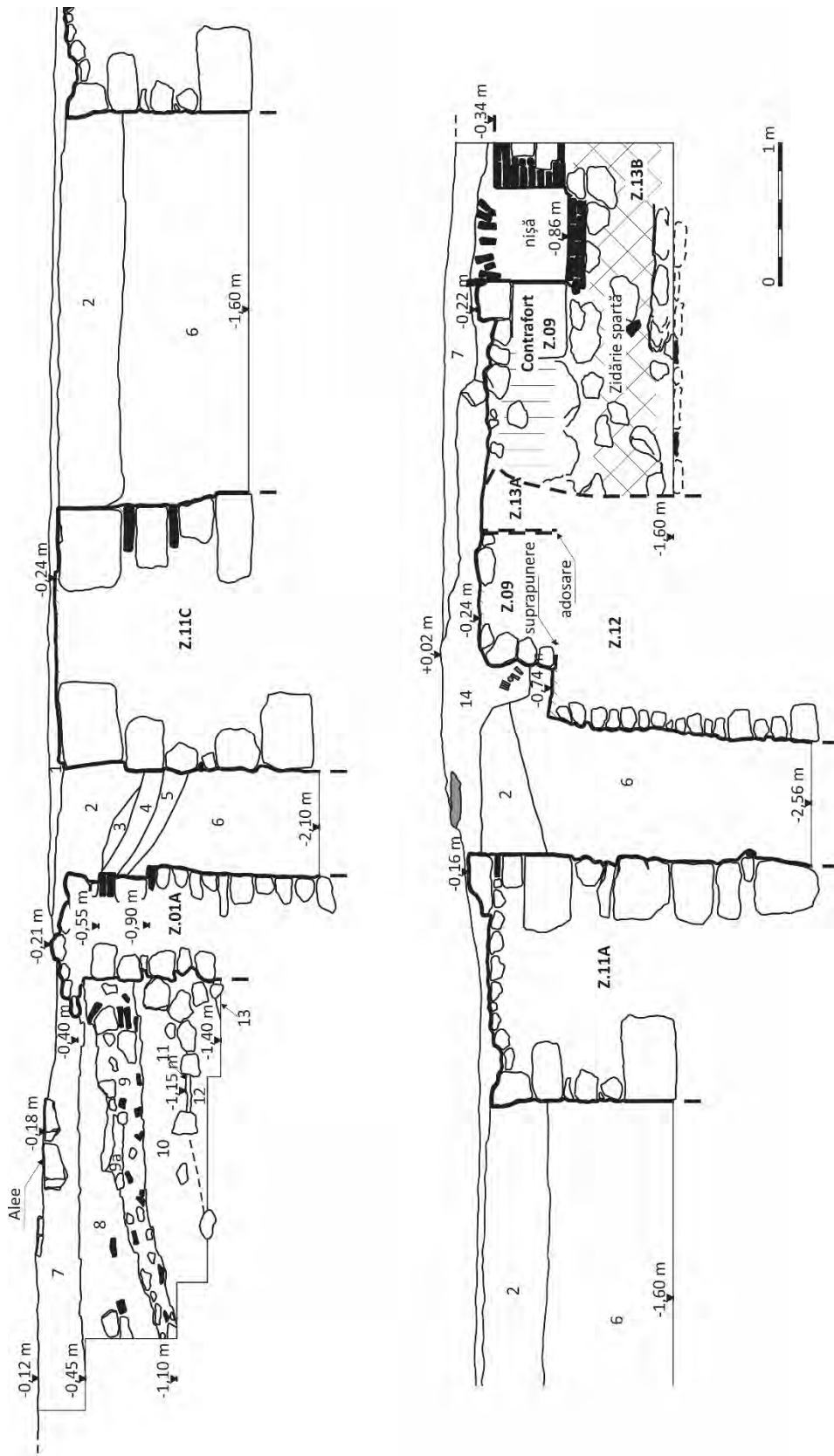


Figura 23. Secțiunea S.05 – profil vest, cu cele două etape ale corului (Z.09, Z.10A, Z.12), turnul-clopotarului (Z.11A, Z.11C) și casa clopotarului (Z.13A, Z.13B). Legendă: 1. Șapă de mortar; 2. Pământ negru bătut, pigment de mortar, materiale ceramice; 3. Moloz de mortar galben; 4. Pământ negru bătut, pigment de mortar, materiale ceramice; 5. Pământ brun-cenușiu, pigment mortar, ocazional pietre, materiale ceramice; 6. Pământ brun-cenușiu, foarte multă piatră și cărămidă spartă; 7. Vegetal actual; 8. Pământ brun slab pigmentat cu mortar, foarte rar piatră, fragmente cărămidă; 9. Moloz, mortar alb-cenușiu, foarte multă piatră și cărămidă spartă; 10. Pământ brun slab pigmentat cu mortar, foarte rar piatră, fragmente mici cărămidă; 11. Lentilă de mortar gălbui; 12. Pământ brun slab pigmentat cu mortar, foarte rar piatră, fragmente mici cărămidă; 13. Lentilă de cărămidă; 14. Moloz (de la casa clopotarului) / Trench S.05 – drawing of the western side, with the two phases of the choir (Z.09, Z.10A, Z.12), the bell-tower (Z.11A, Z.11C) and the Bell-Ringers House (Z.13A, Z.13B). Explanation: 1. Layer of mortar. 2. Compacted dark soil, traces of mortar, and ceramics. 3. Rubble (yellowish mortar). 4. Brown-greyish soil, traces of mortar, some stones, broken bricks, and bones. 5. Compacted dark soil mixed with rubble (yellowish mortar). 6. Crumbly dark soil, many traces of yellowish mortar, and bones. 7. Topsoil. 8. Brown-greyish soil, traces of mortar, some stones, broken bricks, and bones. 9. Rubble (white-greyish mortar), many stones and broken bricks. 10. Brownish soil with few traces of mortar, very few stones, and small brick fragments. 11. Thin layer of yellowish mortar. 12. Brownish soil with few traces of mortar, very few stones, and small brick fragments. 13. Thin layer of charcoal. 14. Rubble (from the Bell-Ringers House).



a



b



c

Figura 24. a) Turnul-clopotniță în interiorul corului dispărut; b) turnul-clopotniță în timpul cercetărilor arheologice; c) turnul-clopotniță în contextul coborârii nivelului de călcare exterior / a) The bell-tower, inside the razed choir; b) the bell-tower during the archaeological excavations; c) the bell-tower during the re-leveling of out the outer surface area.

În anul 1824, parohia a împrumutat bani de la oraș pentru repararea turnului³⁰, dar acesta s-a prăbușit (sau a fost demolat) în anul 1862 și nu a mai fost ridicat, cu toate că au fost strânse fonduri în acest scop. Potrivit unei lucrări recente, enoriașii reformați ar fi început construirea unui turn nou alăturat peretelui estic actual al bisericii (arcul de triumf original înzidit), căruia însă, menționează aceeași sursă, i-a fost pusă doar fundația și primele rânduri din elevație, construcția acestuia nefiind finalizată niciodată³¹.

Fundația turnului apare atât pe planul lui Orbán Balázs³² (chiar dacă nu fidel reprezentată), cât și pe

releveele din anii '80 când au avut loc ultimele lucrări de restaurare ale bisericii³³.

Coordonate stratigrafice în interiorul corului

O secvență stratigrafică coerentă în interiorul corului a putut fi observată doar în colțul de nord-vest, unde săpătura (S.06) a coborât până la W-1,60 m, oprindu-se într-un strat de pământ negru dur, pigmentat cu mortar, ce conținea foarte multă piatră. Acest strat pornea aproximativ de la W-0,85–0,90 m, respectiv de sub o șapă de mortar cu pietre de mari dimensiuni (Cx.04), a cărei față superioară era la W-0,70–0,75 m. Deși pe alocuri spartă, această platformă a fost vizibilă în profilele de sud și est ale secțiunii, iar pe laturile de nord și vest suprapunea ruina lui Z.12 (Fig. 18–20, 25).

Fiind vizibil adosat lui Z.08 și Z.09, apreciem că acest Cx.04 reprezintă amenajarea nivelului de călcare din interiorul corului în etapa a doua a bisericii, după ce s-a renunțat la structura cu arc de triumf (Z.12) și s-a construit un perete plin între navă și cor – ulterior inclus în structura Lettner-ului (Z.08). Drept urmare, nivelul de călcare din interiorul corului ar fi fost în această etapă la cca W-0,70 m, rezultând astfel o diferență de nivel între cor și zona de sub Lettner.

Peste Cx.04 se află un strat gros de pământ brun amestecat cu multe materiale de construcție, atât piatră, cât și cărămidă. Destul de multe pietre sunt profilate, iar între materialele provenind din acest strat sunt și fragmente de cahle-placă smălțuite, cu motive heraldice. Cel mai probabil, acest strat corespunde abandonului și demolării corului. De la W-0,30 m în sus materialele de construcție devin mai rare, dar aspectul general al stratului rămâne același până la limita sa superioară, ce variază între W-0,20 m și W+/-0,00 m, unde este suprapus de molozul de la restaurarea actuală.

Mai la est (în S.05) stratigrafia a fost complet distrusă la construirea turnului-clopotniță. Deși s-a ajuns până la W-2,55 m, umplutura era un uniform amestec de negru, galben și oase umane, pigmentat cu mortar galben, rezultat al golirii complete a interiorului în vederea ridicării masivelor fundații (Fig. 23). Numai în partea superioară (W-1,15 m la sud de turn și de la W-0,75 m în turnul-clopotniță și la nord de turn) s-a putut observa o oarecare stratigrafie – molozuri de mortar galben amestecate sau în succesiune cu pământ negru bătătorit – dar puțin relevantă. La suprafață, nivelul de călcare actual era la W-0,24 m și avea forma unei șape de mortar groasă de câțiva centimetri, rezultat al unuia din șantierele de construcție mai recente, șapă ce sigila ruinele turnului, în același timp împiedicându-le să fie vizibile la suprafață, în pofida adâncimii lor absolut superficiale.

³⁰ Teglás 1909, p. 59.

³¹ Weiss 2013, p. 164.

³² Orbán 1889.

³³ Weiss 2013, p. 201.

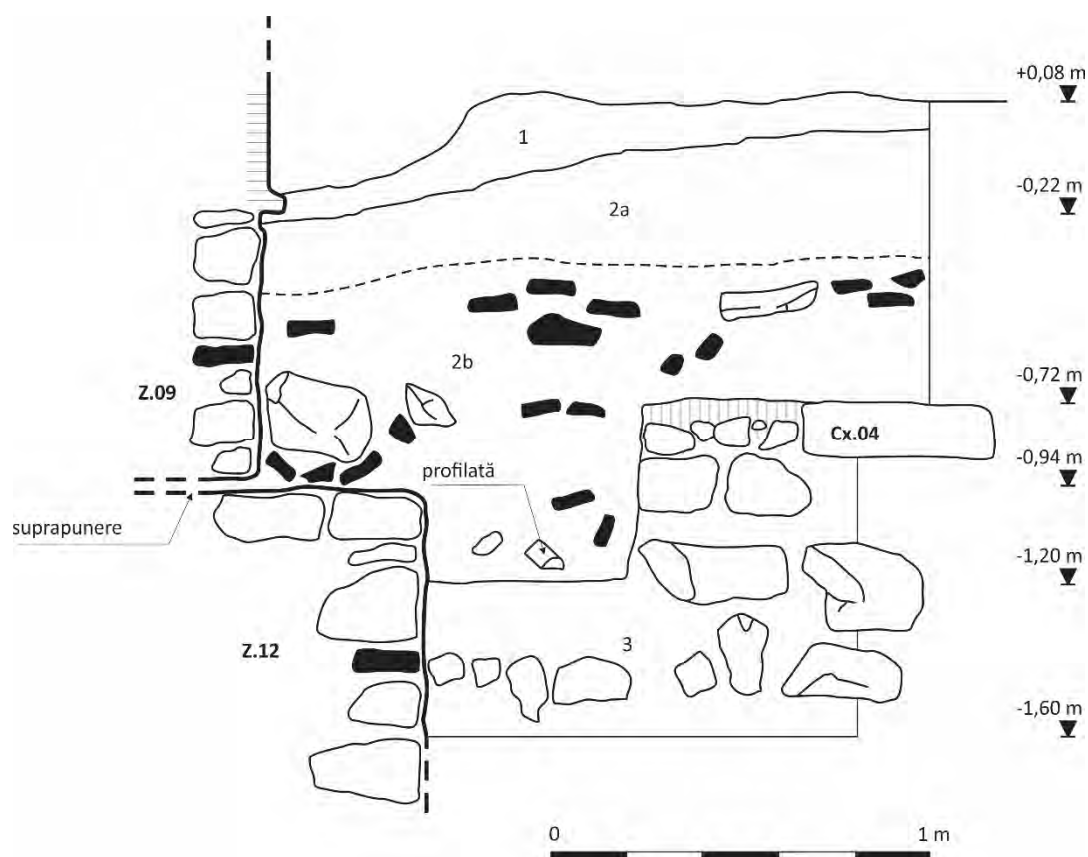


Figura 25. Secțiunea S.06 – profil est, cu ruina bisericii vechi (Z.12) suprapusă de corul bisericii noi (Z.09) și resturi ale amenajării nivelului de călcare din interiorul corului (Cx.04). Legendă: 1. Moloz recent; 2a. Pământ brun, pigment mortar, materiale construcție; 2b. Pământ brun, pigment mortar, multă cărămidă spartă, câteva pietre, inclusiv profilate, fragmente cahle; 3. Pământ negru dur, pigment mortar, foarte multă piatră / Trench S.06 – drawing of the eastern side, with the ruin of the old church (Z.12) superposed by the choir of the new church (Z.09) and remnant of the structure of the inner stepping level of the choir (Cx.04). Explanation: 1. Recent rubble. 2a. Brownish soil, traces of mortar, and construction materials. 2b. Brownish soil, traces of mortar, many brick fragments, some stones, including several carved ones, and stove-tile fragments. 3. Compact dark soil, traces of mortar, and many stones.

Situația era oarecum asemănătoare și în S.10, dar acolo s-a păstrat o secvență stratigrafică mai puțin deranjată, pe profilul vestic, la 1,00 m distanță de latura de est a turnului. Săpătura de mică amploare și adâncimea de doar -1,20 m nu au fost edificatoare, stratigrafia relevând existența unor umpluturi moderne de pământ brun, amestecat cu fragmente de materiale de construcție, piatră și cărămidă, și urmele unor intervenții moderne. De remarcat este existența unui nivel de călcare surprins în grund la W-0,60 m, pe porțiunea lui Z.19 și Z.20. Credem că renunțarea la această amenajare s-a făcut în urma ultimului incendiu ce a avut loc în cadrul celei de a treia etape identificate (Fig. 22).

Materiale arheologice descoperite în interiorul corului

Straturile de umplutură evacuate din interiorul fostului cor au dus la descoperirea unui material arheologic sărac și, în general, de factură modernă. Totuși, au fost descoperite și materiale arheologice databile în perioada premodernă, precum fragmente ceramice, fragmente de cahle și pipe. Au mai fost descoperite în poziție secundară, la fel ca și în interiorul navei, fragmente arhitectonice,

obiecte metalice, materiale de construcție etc.

IV.3. Exteriorul bisericii

Structuri zidite

Informații despre structura bisericii au putut fi obținute numai în S.09, unde a fost cercetat primul contrafort vestic perpendicular de pe latura de nord (Fig. 2, 26).

Contrafortul are o fundație masivă (Z.18), mai lată decât partea vizibilă (elevația) cu 0,85 m pe latura sa estică, respectiv 0,65 m pe cea nordică. Zidăria fundației este foarte neregulată, sugerând că șanțul de fundare s-a adâncit într-o umplutură cu mulți bolovani, îngustându-se mult pe măsură ce s-a adâncit, respectiv până la -1,70 m. Zidăria fundației este din materiale amestecate, dar în principal s-a folosit piatră spartă de carieră de dimensiuni medii. În schimb, partea superioară a fundației a fost egalizată cu o șapă de mortar de var de culoare alb-gălbuie de bună calitate, care se află la -0,75 m adâncime față de baza tencuielii actuale. Pe platforma astfel creată s-a așezat elevația construită din blocuri de piatră grosier

prelucrate, provenite din două cariere diferite (Săndulești și Podeni), asizele fiind egalizate cu piatră de mici dimensiuni și material tegular roman. Blocurile de piatră ale contrafortului au dimensiunea de $1,10 \times 0,30 \times 0,30$ m sau $0,60 \times 0,60 \times 0,50$ m, liantul folosit fiind un mortar de var de culoare cenușie (Fig. 27).



Figura 26. Elevația laturii de nord a bisericii actuale în zona secțiunii S.09 / The aboveground structure of the present-day church near trench S.09.



Figura 27. Fundația celui mai de vest contrafort perpendicular nordic / The foundation of the westernmost northern perpendicular buttress.

În zidul nordic al navei se observă două zidării diferite, care, foarte probabil, reflectă două etape de construcție separate. Partea inferioară (între $-0,90$ m și $-1,70$ m – nivelul mormintelor, la care săpătura a fost oprită) prezintă un aspect neuniform, cu multe egalizări ale asizelor cu material tegular, și este legată cu un mortar de slabă calitate. Piatra folosită este de formă paralelipipedică de dimensiuni mici (între $0,15 \times 0,10$ m și $0,30 \times 0,20$ m). Segmentul de deasupra are în schimb un aspect mult mai unitar, liantul folosit fiind un mortar de var de bună calitate de culoare cenușie (Fig. 28). Piatra provine din carierele aflate în apropiere, bolovanii de râu fiind folosiți în proporție destul de mică, în schimb asizele au fost egalizate uneori cu fragmente de cărămidă romană. Diferența dintre cele două segmente este accentuată de faptul că fundația contrafortului este adosată segmentului inferior (Fig. 29), în schimb de la nivelul platformei de mortar zidăria contrafortului și aceea a bisericii sunt țesute.

Săpăturile pentru realizarea lucrărilor utilitare au scos la iveală la sud-vest de biserică ruinele mai multor ziduri (Fig. 2). Trei dintre ele (Z.14, Z.15 și Z.17) delimitează un perimetru în care s-a identificat un masiv strat de tegule romane, complet absent în exteriorul acestei zone, dar spațiul dintre Z.14 și Z.16 este ocupat de un pavaj de piatră. Se poate așadar aprecia că primele trei ziduri delimitau o încăpere, iar cel de al patrulea un spațiu de trecere lat de cca $1,30$ m (Fig. 30).

Cu excepția lui Z.15, toate zidurile sunt clădite din piatră legată cu mortar. Z.15 prezintă și câteva cărămizi în structură, precum și mici decroșări, ce pe vest se largesc de la nord spre sud în timp ce pe est se micșorează pe aceeași direcție menționată, indiciu clar că a avut loc la un moment dat o refacere a acestuia, pe un traseu ușor diferit de cel anterior. Cercetarea având loc în contextul introducerii rețelelor de gaze și electricitate, spațiul de lucru a fost limitat, astfel încât situația acestor ziduri și a structurilor din care făceau parte nu a putut fi elucidată.

Mai multe informații despre Z.15 au fost obținute cu ocazia coborârii nivelului de călcare, când s-a văzut că acesta a fost adosat contrafortului sud-vestic al bisericii, cel mai probabil în perioada modernă. De altfel, într-una dintre reprezentările bisericii din secolul al XVIII-lea apare și această structură³⁴. Desenul prezintă o mică intrare în curtea bisericii și un zid de împrejmuire al acesteia, iar contrafortul apare cu o prelungire care ar corespunde acestui zid. Incluzând decroșările, lățimea fundației lui Z.15 este de $0,82$ m (Fig. 31).

³⁴ Nagy 1973, pl. 69; Weiss 2013, p. 158.



Figura 28. Fundația navei în dreptul celui mai de vest contrafort perpendicular nordic / The foundation of the nave near the westernmost northern perpendicular buttress.



Figura 29. Detaliu cu adosarea fundației celui mai de vest contrafort perpendicular nordic la fundația navei / Close-up with the abutment of the foundation of the westernmost northern perpendicular buttress onto the foundation of the nave.



a



b

Figura 30. Ruine descoperite în cursul lucrărilor utilitare, aparent delimitând o alee pavată cu piatră; vedere dinspre sud (a) și dinspre nord (b) / Ruins uncovered during utilitarian works, seemingly defining a stone-paved alley, as seen from the south (a) and from the north (b).



a



b

Figura 31. Rest de zid în dreptul contrafortului de sud-vest al bisericii actuale; vedere dinspre sud-vest (a) și nord-est (b) / Wall remnant next to the south-western buttress of the present-day church, as seen from the south-west (a) and from the north-east (b).

În ceea ce privește zidurile corului, cercetarea nu ne-a oferit ocazia să înregistrăm detalii. Fața zidului sudic era complet spartă de o intervenție neclară, în vreme ce spre nord zidăria medievală era parțial mascată de construcții moderne – beciul locuinței clopotarului, descoperit în S.05. A putut fi identificat totuși un contrafort nordic, integrat în latura de vest a beciului menționat (Z.13B). De pe pavajul beciului a fost recuperat un fragment din pervazul unei ferestre gotice a bisericii.



a



b

Figura 32. Latura interioară de nord a corului în secțiunea S.05, cu cele două faze de construcție; vedere de ansamblu (a) și detaliu (b) / The northern inner side of the choir in trench S.05, with its two construction phases; overview (a) and close-up (b).

În limitele săpăturii, s-au putut observa blocurile masive de piatră ale elevației și s-a determinat o lungime a contrafortului de 1,70 m; delimitarea dintre elevație și fundație a fost constatată la W-0,85 m. Fundația decroșată a fost complet martelată în încercarea de a da peretelui pivniței o formă mai dreaptă, dar se pare că inițial avea o bază masivă, ce ieșea în exterior cu cel puțin 0,80 m față de linia elevației.

Contrafortul simetric de pe latura de sud a dispărut complet, demantelarea sa sistematică fiind probabil unul din motivele pentru care fața exterioară a laturii de sud a corului a fost distrusă iar zidul se prezintă în momentul actual cu o lățime de numai 0,70 m³⁵ (Fig. 23).

Datorită originii ei foarte recente, nu s-a încercat o investigație de amploare a pivniței casei clopotarului. Latura ei de sud (Z.13A) constă dintr-un perete de cărămidă ce cămășuiește fața exterioară a corului și începe să se boltească la cca W-0,90 m. Latura de vest (Z.13B) reutilizează în mare contrafortul corului. S-a încercat o îndreptare a fundației acestuia pe linia elevației, dar într-un mod foarte brutal, rezultând o zidărie neregulată, ce nu pare să fi fost tencuită vreodată. Intervențiile constructive s-au limitat la zona de la nord de linia elevației, unde latura contrafortului a fost prelungită cu o zidărie de cărămidă, ocazional amestecată cu piatră. Chiar în dreptul contrafortului, reutilizând blocul său de colț, a fost amenajată o nișă

³⁵ Latura de nord are 0,85 m lățime în partea superioară, la care se adaugă fundația masiv decroșată.

boltită, lată de 0,70 m (pervazul nișei s-a păstrat la W-0,85 m), la cca 0,70 m înălțime față de pavajul de piatră și cărămidă al pivniței. În porțiunea vizibilă, zidurile casei clopotarului au fost demantelate la W-0,20–0,35 m, în pantă descendentă de la sud la nord, ceea ce corespunde tendinței generale a unui nivel mai ridicat înspre biserică și mai scăzut pe măsură ce ne depărtăm de ea. Această locuință se mai afla în picioare în perioada interbelică.

Coordonate stratigrafice

S.09, deschisă pe latura de nord a navei (Fig. 2, 26–27, 33–34), a fost singura unitate de cercetare care a furnizat informații stratigrafice mai consistente. Zona este marcată de numeroase umpluturi, întrerupte de amenajări moderne. De remarcat este descoperirea unei

amenajări a curții din piatră de râu, la -0,80 m, pe nivelul căreia au apărut materiale arheologice. În unghiul interior al contrafortului, pe decroșul fundației, au ieșit la iveală oseminte umane în poziție secundară, probabil rezultate din săparea șanțului de fundare.

Celelalte săpături efectuate în exteriorul navei au fost superficiale, de regulă limitându-se la straturile vegetale și umpluturile foarte recente – de fapt, atât cât era necesar pentru introducerea instalațiilor utilitare, până la adâncimi de maxim -0,70 m (electrica), respectiv -1,10 m (gazele). Se cuvine totuși menționată prezența unei mari cantități de piatră de-a lungul laturii de nord a navei, inclusiv fragmente profilate (Fig. 37).

La vest de biserică, imediat sub actualul nivel de călcare, au fost identificate dale provenind din pavajul – de secol XIX (?) – ce ducea la portalul de vest.



Figura 33. Amenajări ale terenului vizibile pe latura de nord a bisericii, în profilele secțiunii S.09; vedere dinspre vest (a) și sud (b) / Terrain leveling works, noted north of the church, in trench S.09, as seen from the west (a) and south (b).



Figura 34. Groapă în șapa de nord a fundației celui mai de vest contrafort perpendicular nordic; vedere de ansamblu (a) și detaliu (b) / Hole in the mortar layer of the foundation of the westernmost northern perpendicular buttress; overview (a) and close-up (b).

La sud-vest de biserică, în perimetrul delimitat de Z.14, Z.15 și Z.17 a fost identificat un strat masiv de tegule romane, unele șampilate, gros de 20–30 cm, și care s-a conturat la -0,30–0,40 m de la nivelul actual de călcare. Sub acesta urmează un strat de pământ brun-

negricios, destul de compact, cu urme de mortar, care, în dreptul lui Z.17, este gros de cca 15 cm și suprapune o șapă de mortar galben, groasă de cca 5 cm, ce definește un nivel de călcare. Șapa s-a conturat și la est de Z.17, în exteriorul perimetrului conturat de ziduri, unde nu mai

este suprapusă de tegule. Tot în exteriorul perimetrului, la sud de Z.14, între acesta și Z.16, a apărut un pavaj de piatră, conturat la nivelul limitei inferioare a stratului de tegule. Cercetarea având loc în limitele impuse de lucrările utilitare, situația nu a putut fi elucidată.

Stratigrafia din exteriorul corului a putut fi observată numai în capătul de sud al lui S.05 (Fig. 2, 23), unde corespunde aproape complet celei înregistrate anterior în S.02. Astfel, de la actualul nivel de călcare în jos avem vegetal actual până la W-0,40 m, apoi un strat de brun-cenușiu, pigmentat cu mortar, ce prezintă ocazional pietre, cărămizi și oase. Sub acesta se conturează un strat de moloz cu foarte multă piatră și cărămidă, a cărui limită superioară, pe profilul de vest, coboară de la W-0,45 m (40 cm grosime) în dreptul zidului corului la W-1,00 m, la 2,50 m mai spre sud (cca 20 cm grosime). Urmează apoi, până la fundul săpăturii (W-1,40 m) pământ brun slab pigmentat cu mortar, ce prezintă numai foarte rar piatră sau fragmente mici din cărămidă. Acest strat este întrerupt de două lentile, una de mortar (W-1,15 m) și una de cărbune (W-1,40 m), ce prezintă ambele aceeași pantă descendentă de la nord la sud și de vest la est, mai bine conturată de nivelul de pietre de mai sus. În dreptul zidului corului, pe 20–30 cm, sunt foarte mulți bolovani, cu ceva mortar sfărâmat printre ei – fața zidului este însă spartă, iar bolovanii suprapun lentila de cărbune. Cel mai probabil aceștia pot fi puși în legătură cu lentila de mortar, dar situația nu este concludentă.

La nord de cor, săpătura desfășurată în cadrul lui S.05 a avut loc în umplutura pivniței casei clopotarului, ce consta dintr-un moloz cu pietre, cărămizi și materiale foarte recente. Lucrările s-au oprit la W-1,60 m, pe pavajul de piatră și cărămidă al pivniței.

Materiale arheologice descoperite în exteriorul navei

Materialele arheologice descoperite în exteriorul navei bisericii sunt în mare parte moderne, aflându-se în straturile de umplutură și depuneri recente. Majoritatea materialelor arheologice au fost descoperite la supravegherea lucrărilor de introducere a utilităților. Noutatea o constituie descoperirea unui bogat material tegular roman refolosit până în perioada modernă în preajma lăcașului de cult.

V. ELEMENTE DE CRONOLOGIE RELATIVĂ ȘI ABSOLUTĂ

Deși au fost recuperate mai multe monede din straturi sau din umpluturile mormintelor, contextul acestora face ca niciuna dintre ele să nu fie direct relevantă pentru evoluția monumentului. Mormintele înseși nu se află în relație directă cu niciun zid, singura certitudine fiind că sunt morminte de interior, care au deranjat morminte anterioare, oasele mai vechi fiind aruncate peste defunct înainte de umplerea gropii.

Cea mai importantă dintre monedele descoperite este un *parvus* de la Carol Robert de Anjou (1308–1342). Moneda este datată în intervalul 1330–1336 și se află în strânsă corelație cu atestarea documentară a mănăstirii augustiniene. Au mai fost descoperite și alte monede medievale emise de regii Ungariei – Sigismund de Luxemburg (1387–1437) și Matia Corvin (1462–1490) –, dar și de orașul Elbing, sub ocupație suedeză. Celelalte monede descoperite sunt moderne, emisiuni monetare din Imperiul Austriac, de la Maria Tereza (1740–1780) și Francisc I (1792–1835) (Fig. 35).



Figura 35. Descoperiri numismatice și piese de port: 1. Parvus: Regatul Ungariei, Carol Robert de Anjou, 1330–1336; 2. denar: Regatul Ungariei, Sigismund de Luxemburg 1390–1427; 3. monedă: Regatul Ungariei, Matia Corvin (?); 4. denar subaerat (fals de epocă?): Regatul Ungariei, Sigismund de Luxemburg, 1390–1427; 5. piese de vestimentație din bronz și argint aurit / Numismatic finds and clothing accessories: 1. Parvus: Kingdom of Hungary, Charles Robert of Anjou, 1330–1336; 2. denar: Kingdom of Hungary, Sigismund of Luxembourg, 1390–1427; 3. coin: Kingdom of Hungary, Matthias Corvinus (?); 4. denar fourrée (historical counterfeit?): Kingdom of Hungary, Sigismund of Luxembourg, 1390–1427; 5. clothing accessories made of bronze and gilded silver.

În general, cantitatea de materiale descoperită este foarte redusă, dacă facem abstracție de fragmentele de piatră fasonată, de materialul tegular roman și de materialele recente, ce includ monede din secolele al XVIII-lea și al XX-lea, cele mai multe recuperate la amenajarea nivelului de călcare din interiorul bisericii. Fragmente de cahle smălțuite, decorate cu lei și embleme heraldice, recuperate din umpluturile de deasupra pavajului corului (Cx.04), datează momentul acestora în epoca modernă timpurie (Fig. 36).

Lipsa ceramicii antice este cel mult un indiciu că reutilizarea masivă de *spolia* romane atât în construcția și amenajarea bisericii, cât și a tuturor structurilor din zonă, se datorează transportării acestora din altă locație.

Drept urmare, reconstituirea evoluției sitului trebuie să se bazeze pe relațiile dintre ziduri, pe stratigrafie și informații istorice. În baza acestora, cel mai vechi element este Z.12, o latură de nord ușor decalată către sud față de latura de nord actuală, cu un arc de triumf sprijinit pe umeri. Cota celui mai vechi pavaj descoperit în navă, făcut din tegule romane, indică că acesta aparține primei etape. La un moment dat, latura de nord a bisericii a fost demolată și reconstruită pe un aliniament puțin mai nordic, iar în același timp s-a construit și latura de est a Lettner-ului. Alte indicii ce ar putea avea legătură cu acest moment ar fi faptul că absida corului suprapune un mormânt (cercetare din 2010) și faptul că postamentul celui mai vestic contrafort al navei este adosat, către est, fundației acesteia. Un alt moment, probabil apropiat în timp, din cauză că nivelul de călcare din interiorul navei rămăsese același, este construirea laturii de vest a Lettner-ului, adosată navei. Un incendiu a dezafectat acest nivel de călcare, iar după un al doilea incendiu s-a procedat la demolarea laturii de vest a Lettner-ului.

În privința datei exacte a dispariției corului, săpăturile nu au putut aduce lumină. Turnul-clopotniță și casa clopotarului sunt structuri recente, relativ bine documentate istoric, iar despre intervențiile ce au dus la demolarea parțială a fundației laturii de sud a corului tot ce putem spune este că au avut loc anterior unui incendiu (?). În ceea ce privește structurile identificate la sud-vest de biserică, în pofida reutilizării masive a materialului de construcție roman, acestea sunt cel mai probabil medievale sau modern timpurii. O parte dintre ele erau încă în funcțiune la începutul secolului al XVIII-lea, dar, investigația lor fiind foarte limitată, orice altă afirmație cronologică ar fi complet gratuită.

Analiza etapelor de construcție pe baze stratigrafice a arătat o conexiune clară între modificările bisericii și urmele lăsate de incendii, în mare parte generate de conflictele armate de care Turda nu a dus lipsă.

Se cunosc cel puțin trei mari situații conflictuale în care Turda a fost implicată, fiind incendiată tot de atâtea ori. Paradoxal, acestea corespund cu cele trei niveluri de

arsură consistente identificate atât în cercetarea efectuată la biserică, cât și la cea efectuată asupra Casei Cămării, clădire aflată în apropiere și cercetată de asemenea arheologic³⁶.

Primul dintre ele se referă la evenimentele legate de incendierea orașului de către trupele lui Giorgio Basta în anul 1601 și devastarea bisericii de către trupele de mercenari ale acestuia, informații oferite de către Orbán Balász pe baza cronicii lui Szalárdi János³⁷. A doua incendiere trebuie pusă pe seama incursiunilor otomane-tătare conduse de vizirul Köse Ali Pașa de la mijlocul secolului al XVII-lea, relatate de către Evlia Celebi³⁸. Ultima dintre marile incendieri trebuie plasată la începutul secolului al XVIII-lea, în cadrul evenimentelor răscoalei anti-habsburgice conduse de principele Francisc Rákóczi al II-lea (1703–1711). În acest context, orașul Turda, fidel principelui, a fost ocupat, prădat și incendiat de o parte a trupelor imperiale dislocate în această zonă, aflate sub conducerea colonelului danez Tiege³⁹.

VI. CONCLUZII GENERALE

În urma cercetărilor din anii 2018–2020, corelate cu rezultatele obținute anterior, se pot face următoarele afirmații:

1. Încă nu există niciun indiciu că situl a fost utilizat înainte de Evul Mediu, dar, stratigrafia fiind grav afectată de morminte și intervenții târzii, această posibilitate nu poate fi exclusă, mai ales că, în apropiere, la cercetările efectuate la Casa Cămării, au fost descoperite urme ale unor locuiri preistorice.

2. La cercetarea laturii de nord a bisericii au fost sesizate două etape de construcție: o fundație aflată cu cca 0,50 m spre interiorul bisericii, suprapusă de fundația și elevația actualei biserici. Cercetarea a fost prea limitată pentru a putea stabili un diagnostic mai clar al acestei succesiuni, astfel că nu putem spune cu certitudine dacă situația constatată a reprezentat o etapă finită sau doar o întrerupere a unui șantier de construcție. Prima etapă a avut un arc de triumf susținut de piloni de zidărie avansați spre interior, iar axul general al acestei clădiri a fost ușor diferit. O primă pardoseală sesizată în interiorul navei a aparținut foarte probabil acestei etape.

Latura de nord a navei și corului bisericii actuale a fost așezată pe zidăria descrisă anterior, dar cu această ocazie deschiderea arcului de triumf la nivelul parterului a fost anulată, fiind înlocuită cu un perete plin în care a fost rezervată o singură deschidere de dimensiunile unei uși, prevăzută cu montanți din piatră. Pragul din piatră al acestei intrări se afla la W-0,60 m, dar nivelul de călcare în navă era situat mai jos, cu o pardoseală din pietre și cărămizi.

³⁶ Groza 2018, p. 94–110.

³⁷ Orbán 1889, p. 336.

³⁸ *Călători străini...*, p. 548.

³⁹ Mureșan 1968, p. 17.

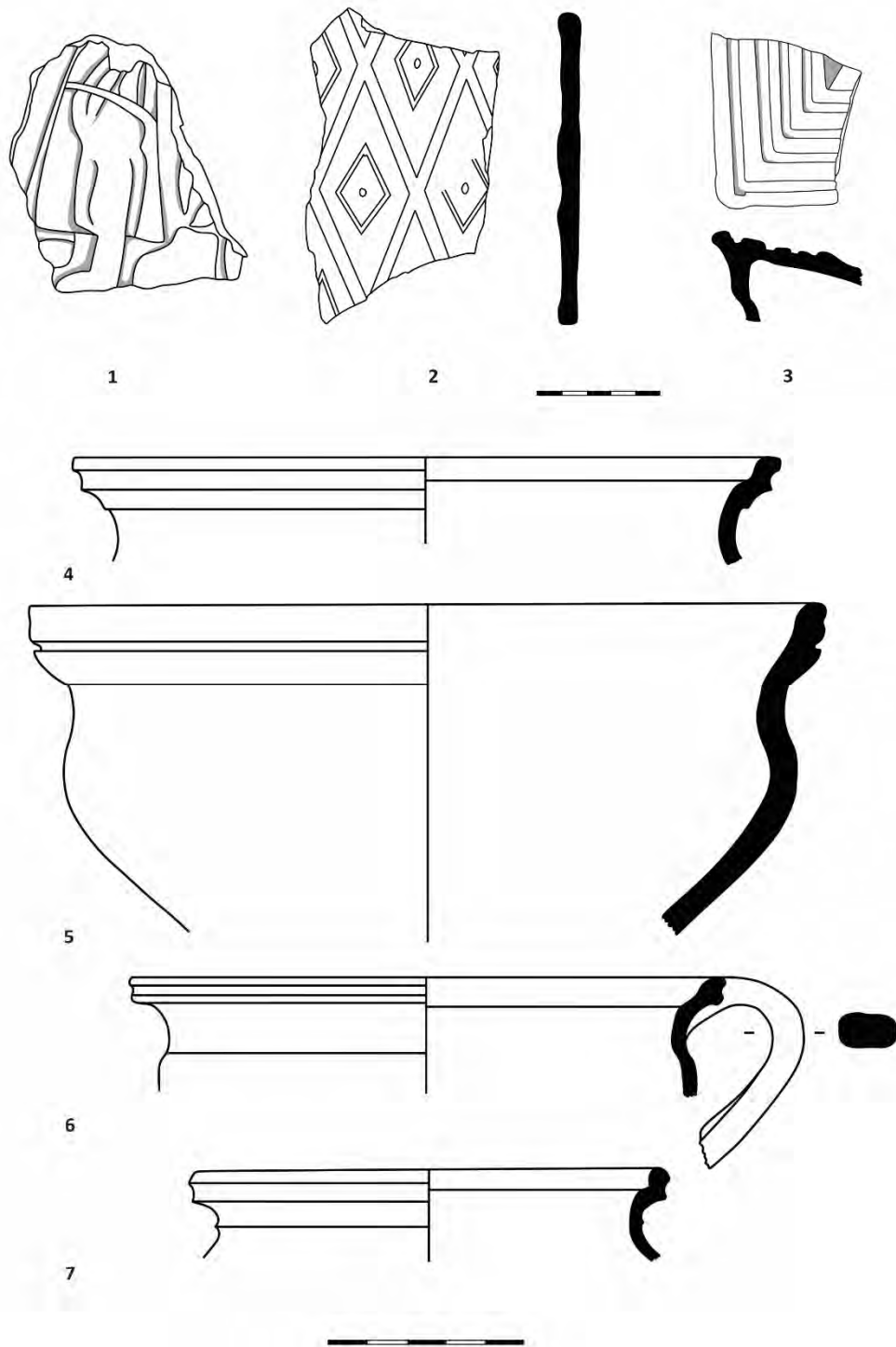


Figura 36. Descoperiri ceramice (secolele XV–XVII). 1–3. Cahle; 4–7. Vase ceramice / Ceramic finds (15th–17th centuries): 1–3. Stove tiles; 4–7. Pottery.



Figura 37. Descoperiri variate: 1–3. Fragmente arhitectonice; 4. Fragment de balustradă (Lettner); 5. Ochi de vitraliu; 6. Vas de sticlă; 7. Fragment de piatră tombală / Various finds: 1–3. Architectonic fragments; 4. Railing fragment (from the rood screen); 5. Circular glass window panel; 6. Glass vessel; 7. Fragmentary funerary stone.

Posibil în legătură cu acest moment ar putea fi puse și alte două intervenții:

2a. O posibilă extindere a navei cu traveea vestică, operațiune sugerată de plasarea portalurilor laterale în a doua travee estică a navei, de diferențele de nivel ale soclului, de iregularități în elevație și de faptul că fundația mult decroșată a celui mai vestic contrafort perpendicular de pe nord este, pe est, adosată fundației navei.

2b. Extinderea unui eventual cor mai vechi către est și formarea corului foarte lung al bisericii medievale, a cărei absidă a deranjat groapa unui mormânt.

În stadiul actual al cercetărilor rămâne însă incert dacă aceste intervenții (2a și 2b) au avut loc deodată sau în două sau trei etape. Asemănarea dintre contrafortul de nord-vest al navei (cercetat în S.06) și contrafortul nordic al corului (cercetat parțial în S.05) ar putea susține o singură etapă majoră în care o biserică a fost extinsă atât spre est cât și spre vest – cândva la începutul secolului al XIV-lea.

3. Rămâne de asemenea incert momentul în care s-a format Lettner-ul propriu-zis, prin construirea unei laturi de vest în care de asemenea a fost rezervată o intrare. Cert este că această latură a constat dintr-un perete plin, adosat pereților navei, atât către nord, cât și către sud. Nivelul de călcare de sub Lettner a fost la un moment dat refăcut, în urma unui incendiu. Desființarea acestei structuri a fost cauzată de altfel tot de un incendiu: peretele de vest a fost demolat, iar molozul a fost utilizat pentru a aduce nivelul de călcare din navă aproximativ la cota actuală.

4. Demolarea corului a avut loc într-un moment nu foarte clar precizat, dar cu certitudine după Reformă. Pe locul său, au fost ridicate două noi structuri – un turn clopotniță, în interior, și casa clopotarului, pe latura de nord. Turnul clopotniță se va prăbuși în anul 1862, iar casa clopotarului va fi demolată în secolul al XX-lea. Casa parohială, ce a suprapus colțul său de sud-est, încă mai există.

5. Tot la începutul secolului al XX-lea, biserica primește în mare aspectul actual, ridicându-se turnul pe latura de sud, în manieră istoricizantă.

6. În zona de sud-vest au existat o serie de structuri, a căror datare rămâne pe moment imposibilă. Dintre acestea:

- trei ziduri formau un compartiment, în interiorul căruia s-a prăbușit un acoperiș din tegule romane.
- unul dintre acestea trei, cel mai vestic, aflat în continuarea contrafortului de sud-vest al bisericii, pare a fi avut o refacere, și era încă vizibil în secolul al XVIII-lea.
- cel mai sudic dintre cele trei ziduri, împreună cu cel de al patrulea formau un spațiu de trecere îngust (alee?), pavat cu piatră.

7. Așa cum am arătat încă de la începutul acestui raport, cercetarea arheologică realizată până în prezent la

Biserica reformată Turda Veche a fost una conjuncturală, determinată de întrebările pe care restaurarea le-a pus și de activitățile efective din șantier. Datele noi despre biserică sunt remarcabile, dar departe de a clarifica cu totul evoluția acestei clădiri importante, iar despre structurile mănăstirii augustiniene încă nu știm mai nimic. În consecință, această etapă nu poate fi considerată altceva decât o investigație preliminară.

MULȚUMIRI

Autorii mulțumesc domnului preot Nagy Albert de la Parohia Reformată Turda, pentru faptul că a sprijinit această etapă de cercetare, pe care, de altfel, a făcut-o posibilă prin asigurarea resurselor umane. Antreprenorul general al lucrării, SC Decorint SRL din Cluj Napoca, și celelalte echipe asociate pentru a duce la capăt restaurarea au cooperat în mod constant pentru derularea activităților de supraveghere arheologică, acceptând prezența arheologilor în șantier fără ca acest lucru să fi fost impus în mod expres.

Mulțumiri speciale sunt adresate colegului nostru dr. Weiss Atilla, istoric de artă și principalul specialist în istoria Bisericii Reformate Turda Veche, a cărui asistență prietenoasă a fost de mare ajutor în multe momente dificile. Pentru contribuții la materialul de față, mulțumim domnilor dr. Emanoil Pripon (conservare și identificare monede) și dr. Gabriel Andreica (realizarea planșelor cu materiale).

BIBLIOGRAFIE

- Bicsok 2001 – Z. Bicsok, *Torda város története és statútuma. Cspikés Elek kézírata 1823-ból*, Kolozsvár, 2001.
- Călători străini... – ***, *Călători străini despre Țările Române*, vol. 6, București 1976.
- DIR.C.I – *Documente privind istoria României. Veacul: XI, XII și XIII. C. Transilvania. Vol. I (1075–1250)*, București, 1951.
- DIR.C.II – *Documente privind istoria României. Veacul: XIII. C. Transilvania. Vol. II (1251–1300)*, București, 1952.
- Groza 2016 – H. Groza, *Cercetări inedite la Casa Cămării de Sare din Turda*, Cultura Medieșană 5, 2016, p. 30–37.
- Groza 2018 – H. Groza, *Casa Cămării de Sare de la Turda. Etape de edificare*, Acta Terrae Fogarasiensis 7, 2018, p. 94–110.
- Groza 2020 – H. Groza, *Cercetări arheologice la Biserica Reformată Turda Veche*, în: P. L. Szócs (ed.), *Arhitectura religioasă medievală din Transilvania / Középkori egyházi építészet Erdélyben / Medieval Ecclesiastical Architecture in Transsylvania*, vol. 6, Satu Mare, 2020, p. 161–180.
- Huszár 1979 – L. Huszár, *Münzkatalog Ungarn von 1000 bis heute*, München, 1979.
- Marcu et alii 2011 – D. Marcu, G. Izdrăilă, C. Florescu, H. Groza, *Turda, jud. Cluj. Punct: Turda Veche – Biserica reformată (138)*, CCA, campania 2010, Sibiu, 2011, p. 242–243.
- Mureșan 1968 – C. Mureșan, *Monumente Istorice din Turda*, București, 1968.
- Nagy 1973 – M. Nagy, *Várak, kastélyok, udvarházak, ahogy a régiek látták, XVII-XVIII. Századi erdélyi összeírások és leltárak*, Bukarest, 1973.
- Niedermaier 1977 – P. Niedermaier, *Turda. Dezvoltarea urbanistică a unui centru minier până în secolul al XVII-lea*, ActaMN 14, 1977, p. 315–336.
- Orbán 1889 – B. Orbán, *Torda város és környéke*, Budapest, 1889.
- Teglás 1909 – I. Teglás, *Caietul 39*, 1909 (manuscris, colecție privată Bajusz István).
- Weisz 2013 – A. Weisz, *Monumente ecleziastice și medievale din orașul Turda*, teză de doctorat, Cluj-Napoca, 2013 (manuscris, Biblioteca Centrală Universitară „Lucian Blaga”).

CERCETĂRILE ARHEOLOGICE DE LA BISERICA „ADORMIREA MAICII DOMNULUI” – STRÂMBEANU DIN PITARU (COM. POTLOGI, JUD. DÂMBOVIȚA)

Florin-Gabriel PETRICĂ, Minodora CÂRCIUMARU, Mihai Claudiu NĂSTASE

Complexul Național Muzeal „Curtea Domnească” Târgoviște; e-mails: floringabrielpetrica@yahoo.com, minodora.c@gmail.com, nastase_mc@yahoo.com

Keywords: church, 18th century, archaeological research, Strâmbeanu family, anthropological analysis, funerary inventory, seal ring, clothing accessories, coins

Abstract: The present study discusses the results of the archaeological research conducted at the Strâmbeanu Family chapel from Pitaru, Potlogi commune, Dâmbovița County. The lack of written documentary sources regarding the family's genealogy (with some of its members featuring the votive picture in the narthex of the chapel) and the uncertainties related to the year of the chapel's construction, represent shortages that the study of the archaeological artefacts and the anthropological research tried to overcome. Carried out between December 2019 and January 2020, as part of the preliminary stage of the church's restoration project, the archaeological excavations managed to offer new historical meanings to a definitory monument of Wallachia's religious architecture at the dawn of modernity. Seven funerary complexes with several individuals have been uncovered, a situation largely triggered by the re-burials in a relatively narrow space. Two graves had funerary inventories consisting of seal rings with heraldic representations, clothing accessories and coins.

Cuvinte-cheie: biserică, secolul al XVIII-lea, cercetare arheologică, familia Strâmbeanu, analiză antropologică, inventar funerar, inel sigilar, accesorii vestimentare, monedă

Rezumat: Studiul prezintă rezultatele cercetărilor arheologice efectuate la Biserica Strâmbeanu din satul Pitaru, comuna Potlogi, jud. Dâmbovița. Lipsa unor surse documentare edite sau a unor studii privind genealogia membrilor familiei Strâmbeanu, ale căror chipuri se văd în tabloul votiv din pronaos, incertitudinile legate de anul fondării lăcașului de cult sunt probleme care au încercat să fie surmontate de cercetarea arheologică. Desfășurate în perioada decembrie 2019 – ianuarie 2020, ca urmare a inițierii proiectului de restaurare a bisericii, săpăturile arheologice au reușit să ofere noi valențe istorice unui ansamblu definitoriu pentru arhitectura religioasă munteană de la începuturile modernității. Au fost scoase la iveală șapte complexe funerare conținând mai mulți indivizi, situație datorată în mare parte reînhumărilor într-un spațiu relativ mic. Două morminte au avut inventar funerar constând în inele digitale cu reprezentări heraldice, accesorii vestimentare și monede.

I. ISTORICUL MONUMENTULUI

Pe teritoriul actualului sat Pitaru (jud. Dâmbovița), în cătunul Nucești, fostul sat Strâmbeanu (Fig. 1), nu departe de cunoscutul palat brâncovenesc din comuna Potlogi, se află Biserica Strâmbeanu, ce poartă hramul „Adormirea Maicii Domnului”. Așa cum o dovedește numele, edificiul a aparținut unei familii de boieri proprietară de moșii în zonă în perioada secolului al XVIII-lea, cu un istoric insuficient reliefat istoriografic¹. Forma și compoziția planului plasează edificiul în aceeași epocă, dar, dată fiind simplitatea elementelor decorative², nu a fost exclusă nicio încadrare anterioară.

Compartimentată conform structurii unui lăcaș de cult specific epocii, cu pridvor, element aproape nelipsit încă de la mijlocul secolului al XVII-lea, continuat de pronaos, naos și altar, Biserica Strâmbeanu se definește

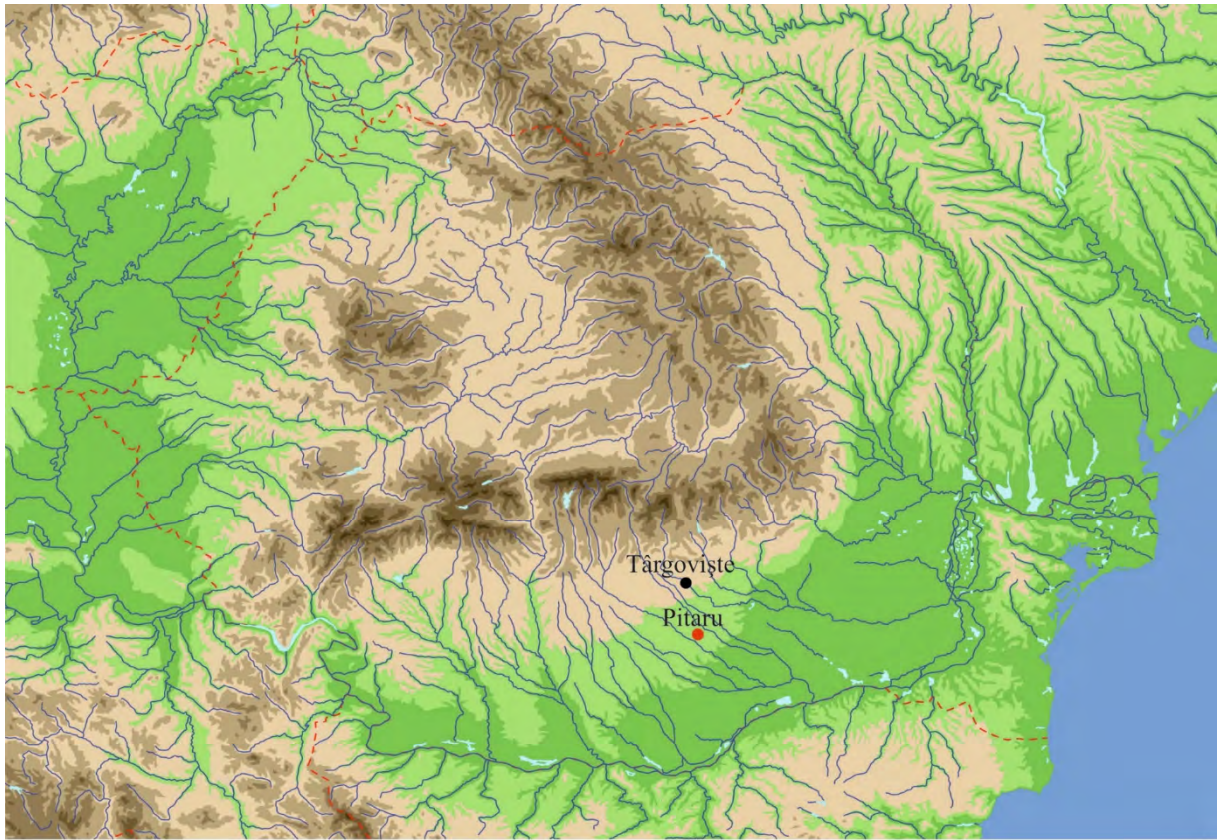
prin simplitate și armonie a proporțiilor (Fig. 2/1–2). Pridvorul deschis este delimitat de patru coloane cilindrice și doi stâlpi adosați peretelui de est. Arcadele, în formă de acoladă, sprijinite pe aceste coloane din cărămidă, ne trimit cu gândul la biserica Surpatele (jud. Vâlcea), clădită de Doamna Maria a lui Constantin-Vodă Brâncoveanu, sau la pridvorul bisericii Strehaia (jud. Dolj), de asemenea dintr-o epocă târzie.

Pronaosul, de formă dreptunghiulară, păstrează pe pereții de vest și sud pictura în frescă a ctitorilor și face trecerea în naos prin doi stâlpi masivi de zidărie. Turla de pe naos, cu ferestre cât toată înălțimea ei, este zveltă și adaptată perfect proporțiilor modeste ale bisericii, ceea ce conferă acesteia un echilibru estetic și o eleganță aparte. Ușa de la intrarea în biserică, inclusiv ancadramentul definit în partea sa superioară de o arcadă trilobată, este din lemn și pare a fi cea originală.

¹ Lecca 1937, p. 495. Informațiile lacunare din literatura de specialitate ne pot permite, până la noi cercetări arhivistice, doar considerații generale privind familia Strâmbeanu. Foarte probabil ca familia de boieri dâmbovițeană să fie înrudită cu familia boierilor Strâmbeanu din județul Gorj, menționată documentar încă din secolul al XVI-lea.

Reconstituirea modalității prin care ctitorii de la Pitaru au ajuns în arealul Curții Domnești de la Potlogi nu poate prinde contur decât cu sprijinul unor surse documentare.

² Ghika Budești 1933, p. 51–52.



1



2

Figura 1. 1. Poziția geografică a satului Pitaru, com. Potlogi, jud. Dâmbovița; 2. Satul Strîmbeanu (azi Pitaru) pe harta „Wallachia – Second military survey of the Habsburg Empire (1806–1869)” / 1. Pitaru village, Potlogi commune, Dâmbovița County – geographical position; 2. Strîmbeanu village (nowadays Pitaru) on the „Wallachia – Second military survey of the Habsburg Empire” map (1806–1869”).

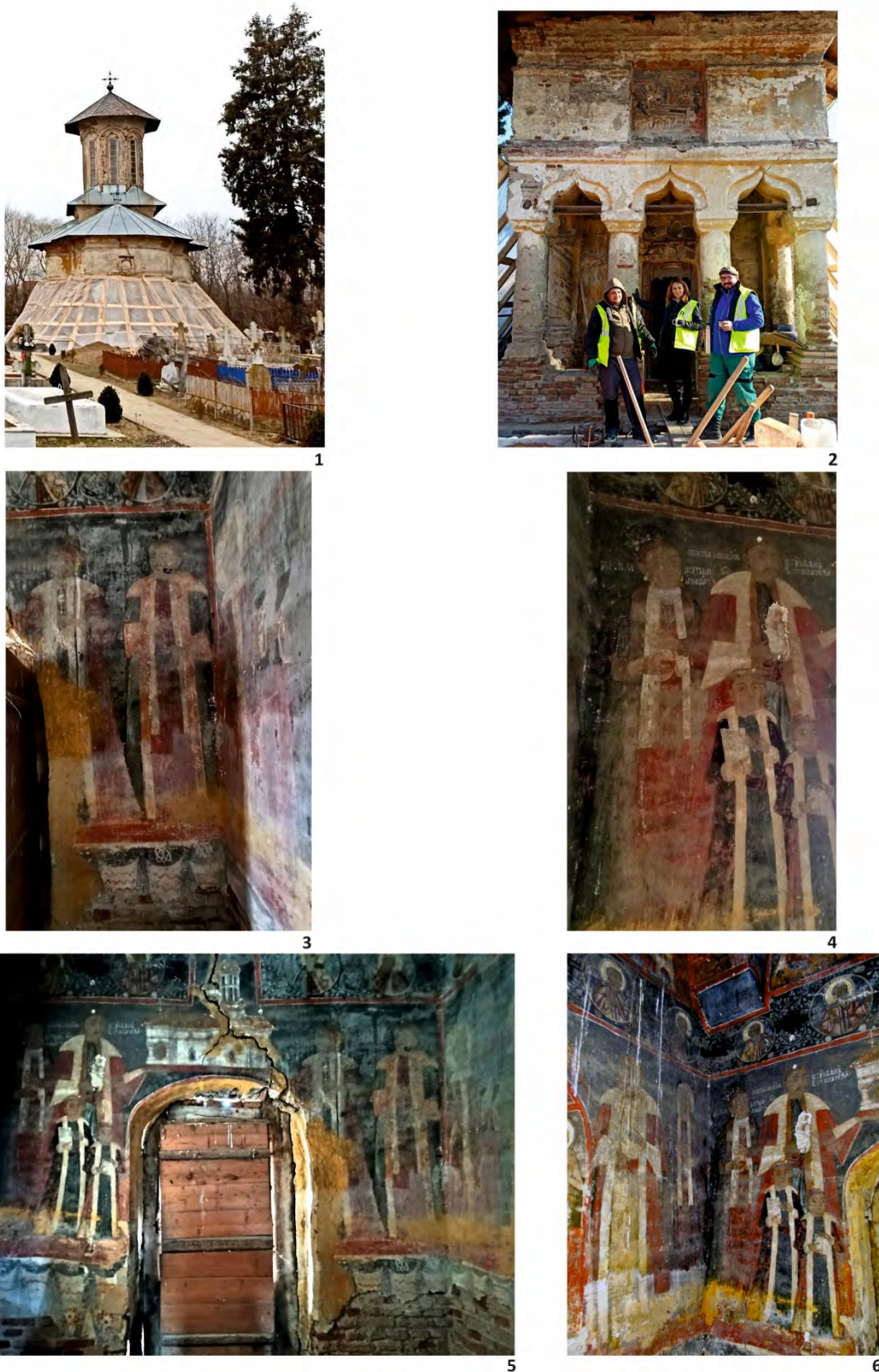


Figura 2. 1. Biserica în timpul restaurării (2020), vedere dinspre est; 2. Fațada vestică a bisericii; 3. Detaliu tablou votiv: jupan Ștefan Strâmbeanu și jupanița Ilinca Strâmbeanu; 4. Detaliu tablou votiv: jupan Mihail Strâmbeanu și jupanița Zamfira Strâmbeanu; 5. Vedere de ansamblu a tabloului votiv, peretele vestic al pronaosului; 6. Detaliu tablou votiv: peretele sudic al pronaosului: jupan Ianache Strâmbeanu și jupanița Bălașa Strâmbeanu / 1. The church during the restoration (2020) – view from the east; 2. The western façade of the church; 3. Detail of the votive painting: Boyar Ștefan Strâmbeanu and Lady Ilinca Strâmbeanu; 4. Detail of the votive painting: Boyar Mihail Strâmbeanu and Lady Zamfira Strâmbeanu; 5. General view of the votive painting on the western wall of the narthex; 6. Detail of the votive painting on the southern wall of the narthex: Boyar Ianache Strâmbeanu and Lady Bălașa Strâmbeanu.

Restaurări de anvergură asupra bisericii Strâmbeanu, precum adaosuri sau repictări ale frescei, nu au avut loc, după cum o dovedesc și notele de arhivă³. De amintit, totuși, ar fi starea de conservare a bisericii înregistrată în jurul anului 1933 de un reprezentant al Comisiunii Monumentelor Istorice, însărcinat cu efectuarea relevului, care a constatat dezastrul în care se afla biserica – monument istoric: „*părăsită și cu geamurile sparte din care cauză ciorile și-au făcut cuib în interior*”⁴. Timpul pare să fi stat în loc, întrucât, după aproape un secol, aflată în prag de restaurare, biserica te întâmpină cu același decor.

Pictura este executată în tehnica *fresco* și, după toate indicațiile, a fost executată la puțin timp după zidirea edificiului. Inscricția zugrăvită în pridvor, deasupra ușii de intrare, nu mai poate fi deslușită în prezent. De altfel, încă din perioada anilor '20 existau dificultăți în acest sens⁵. Cu toate acestea, indicii privind vechimea bisericii au fost desprinse dintr-o serie de inscripții identificate la nivelul bisericii⁶ și confirmate, ulterior, de noi cercetări⁷. În acest context, menționăm demersul arhitectului Teodor Comșa Dolinski, autorul relevelor din anul 1938, care atrăgea atenția că prin descifrarea textului de la Sfânta Masă a Altarului „*s-au aflat anul întemeierii acestui sfânt locaș care au fost la anul 1757....maiu ziua 1*”⁸. Continuând cercetarea în aceeași direcție, preciza că, în pisană zugrăvită în pridvor, deasupra ușii de intrare în biserică, și în textul de pe peretele din zona proscomidiei „*cetitusau cu multă strădanie leatul 7267 adică anul creștinesc 1759 când cu mila Domnului Dumnezeu atotputernicul sau sfârșit zugrăveala sfântului locaș*”⁹. O vârstă mai veche a ridicării bisericii este plasată de unii autori între anii 1722–1727¹⁰, dată preluată aproximativ și în Lista Monumentelor Istorice, 1722–1730.

Cercetarea arheologică are menirea, în cazul de față, mai cu seamă, să completeze, pe cât posibil, unele din lacunele legate de anul edificării lăcașului de cult și să ofere noi informații privind ctitorii bisericii¹¹. De aceea, un rol important în clarificarea acestei chestiuni îl are pictura din pronaos, unde sunt zugrăviți membrii familiei Strâmbeanu. Rezultatele săpăturii arheologice, precum și cele desprinse din studiul antropologic al osemintelor, corelate cu

informațiile oferite de tabloul votiv al bisericii, constituie elementele pe care se întemeiază analiza noastră.

Pictura, contemporană cu construcția bisericii, este foarte valoroasă. Motivele decorative folosite sunt cele cunoscute în epocă: laleaua, trandafirul, garoafa, prinse în rețele. Din acest ansamblu, un loc deosebit îl ocupă tabloul votiv, pictat în pronaos¹². Pe peretele de vest, în plan central, sunt redați *jupan Mihaiu Strâmbeanu, biv vel clucer za arie și jupanița ego Ilinca*, în poziție de ctitori, ținând macheta bisericii. Aceștia sunt însoțiți de *Zamfira jupanița*, cea dintâi soție a lui Mihai, zugrăvită în dreapta lui, și *jupan Ștefan Strâmbeanu brat ego*, în stânga Ilincăi, cea de-a doua soție. Copiii *Ioan* și *Grigore*, conform poziționării și staturii lor, sunt probabil fii ai jupanului Mihai Strâmbeanu. Reprezentarea tabloului votiv continuă pe peretele de sud al bisericii unde sunt zugrăvite alte două personaje, cu siguranță membre ale aceleiași familii, *jupan lanache Strâmbeanu și jupanița ego Bălașa*¹³ (Fig. 2/3–6). Personajele din această zonă apar ca fiind în vârstă, spre deosebire de ctitori, ale căror trăsături indică tinerețe. Din informațiile desprinse atât din analiza tabloului votiv, cât și în timpul cercetărilor arheologice, reiese faptul că acestea, cel mai probabil, au fost adăugate mai târziu în tabloul votiv, fiind urmași ai lui Mihai Strâmbeanu. Nu excludem ipoteza ca lanache să fie minorul Ioan, redat în fața ctitorului, ca fiu.

Lipsa unor studii privind genealogia familiei Strâmbeanu, imposibilitatea descifrării pisaniei pictată în pridvor, incertitudinile legate de anul fondării bisericii sunt neajunsuri pe care am încercat să le surmontăm parțial prin cercetări arheologice¹⁴.

II. CERCETĂRILE ARHEOLOGICE

Cercetarea arheologică de tip preventiv a fost efectuată în vederea realizării proiectului *Restaurarea, consolidarea și punerea în valoare cultural-turistică a monumentului istoric Biserica „Adormirea Maicii Domnului” de la Pitaru, jud. Dâmbovița*, beneficiari fiind Primăria din comuna Potlogi și Arhiepiscopia Târgoviștei¹⁵. Astfel, în perioada decembrie

³ Arhiva INP.

⁴ Arhiva INP.

⁵ Într-un chestionar, datat 1921, solicitat primăriei de către Comisiunea Monumentelor Istorice în vederea identificării stării de conservare a Bisericii Strâmbeanu, aflăm că pisană era indescifrabilă, iar anul fondării necunoscut, conform datelor din Arhiva INP.

⁶ Arhiva INP.

⁷ Arhiva de relevee a Departamentului de Istoria și Teoria Arhitecturii și Conservarea Patrimoniului din cadrul Universității de Arhitectură și Urbanism „Ion Mincu” din București: Biserica „Adormirea Maicii Domnului” (Strâmbeanu), (DB-II-m-A-17645)/<https://relevee.uuim.ro/m2/> (ultima accesare 31.03.2021).

⁸ Arhiva de relevee Planșa: Rv.008.07: Inscricție Sfânta Masă.

⁹ Arhiva de relevee Planșa: Rv.008.01: Planul bolților, planul parterului, planul turlei și acoperișul.

¹⁰ Administrațiunea Cassei Bisericii 1909, dată preluată și în Stoicescu, Oproiu 1983, p. 182.

¹¹ Lecca 1899, p. 456–457.

¹² În momentul începerii cercetării arheologice, fresca era murdară, în multe zone fiind ștersă și degradată. În aceste condiții, inscripțiile aferente imaginilor ctitorilor erau, pe alocuri, greu lizibile.

¹³ Inscricții redată și în Oproiu 2004, p. 176, dar incomplet, fără mențiunea sau traducerea inscripției mesei altarului, fundamentală pentru datarea bisericii.

¹⁴ Asupra unor ipoteze de lucru care s-au desprins în urma cercetării, ce privesc unele informații de natură istorică și care nu au fost incluse, din motive obiective, în studiul de față, vom reveni într-o intervenție istoriografică viitoare.

¹⁵ Cercetarea arheologică preventivă, efectuată sub egida Complexului Național Muzeal „Curtea Domnească” Târgoviște, deși obligatorie în cadrul unui proiect de asemenea importanță, nu a fost inclusă în ansamblul lucrărilor de restaurare avizate de Ministerul Culturii. Cercetarea a avut loc exclusiv ca urmare a solicitării comunei Potlogi (jud. Dâmbovița). Aceste situații se cer mai bine soluționate în cadrul comisiilor de specialitate de pe lângă Ministerul Culturii, precum Comisia Națională a Monumentelor Istorice. Cercetarea arheologică a

2019 – ianuarie 2020, s-a efectuat cercetarea arheologică preventivă¹⁶, săpăturile având loc atât la exteriorul cât și la interiorul bisericii. La acest monument nu au avut loc cercetări arheologice anterioare¹⁷.

Conform proiectului de cercetare și implicit a metodologiei de lucru specifică cercetării unui complex ecleziastic, s-au trasat două secțiuni magistrale în interior, după cum urmează: în naos s-a deschis secțiunea 1 (S.1), dispusă în axul longitudinal al bisericii, deci orientată est-vest, și secțiunea 2 (S.2), orientată nord-sud, între absidele laterale. La exterior au fost trasate trei casete (C.1, C.2, C.3), dispuse în axul absidelor laterale și absidei naosului, în continuarea secțiunilor din interior (Fig. 3).

II.1. Cercetările din exteriorul bisericii

Din cauza stării generale de conservare a bisericii, care prezenta numeroase fisuri în zidărie, în special în zona absidelor laterale și cea a altarului, s-au trasat trei casete (C.1–C.3). Scopul principal a fost să se observe dacă fisurile se prelungesc și în zona fundațiilor, dar și să se stabilească elementele de morfologie a zidăriilor, precum și cota maximă de fundare. S-a urmărit, de asemenea, identificarea eventualelor vestigii mai vechi decât biserica actuală.

În general, stratigrafia surprinsă în cadrul celor trei casete executate la exterior este aceeași, în sensul că profilurile stratigrafice sunt afectate de săpărea unor gropi de morminte recente, precum și de săpărea unor gropi pentru reînhumarea osemintelor vechi. Mai precis, gropile de reînhumare recente sunt foarte apropiate de zidurile bisericii, în săpătură fiind surprinse în context secundar mai multe oseminte umane.

S-a evidențiat faptul că fisurile zidăriei bisericii continuă și în zonele de fundație, s-au identificat cotele de călcare din secolele XVIII–XIX, respectiv, cotele de fundare ale bisericii, necesare proiectului de restaurare.

Într-un mic segment din profilul nordic al șanțului perimetral efectuat de restauratori, au fost observate urmele unui nivel de călcare exterior, ce nu a mai fost reperat în altă parte, constând dintr-un pavaj sau, mai curând, o bordură care era dispusă în jurul bisericii, alcătuită din cărămizi de format hexagonal, caracteristice secolului al XVIII-lea. Bordura era așezată pe un pat de mortar de 0,04 m. Față de cota actuală de călcare, această bordură se află la cota de -0,50 m. Sub acest pat de mortar se observă nivelul de construcție a bisericii, sub forma

unui nivel compact de mortar, cărămidă spartă, pietre, nisip etc. Din cauza deselor reînhumări, efectuate la mică distanță de zidurile bisericii, acest nivel de construcție nu a mai fost surprins în alt loc.

În general, cota de călcare actuală surprinsă la exteriorul obiectivului cercetat este mai ridicată cu -0,50 m față de primul nivel de călcare din secolul al XVIII-lea. La partea superioară se află un strat de beton armat, gros de cca 0,06 m, identificat numai spre sud, ce suprapune un strat/pat de nisip și pietriș, gros de cca 0,16 m. La rândul său, acest nivel se situează deasupra unui strat de pământ amestecat cu resturi de materiale de construcție (mortar, fragmente de cărămizi). Dată fiind atât grosimea depunerii, cât și conținutul său, considerăm că aceasta aparține unui nivel de refacere, executat la sfârșitul secolului al XIX-lea¹⁸. Sub acest nivel se află un strat subțire de pământ gălbui, curat, care suprapune nivelul steril.

În exteriorul bisericii, talpa fundației a fost identificată la adâncimea de -1,10 m. Gropile de morminte surprinse în cele trei casete străpung nivelul de refacere de la sfârșitul secolului al XIX-lea, fiind databile, prin urmare, în secolul al XX-lea.

C.1/ALTAR (C.1/A): 1,20 × 1,20 m; ad = -1,10 m; trasată perpendicular pe zidul absidei centrale, cu scopul de a surprinde nivelul de construcție, talpa fundației, eventuale construcții sau înmormântări; la cota de -0,90 m a apărut un craniu, parte a unui proces de reînhumare¹⁹.

C.2/ABSIDĂ SUD (C.2/AS): 1,00 × 1,00 m; ad = -1,10 m; trasată perpendicular pe zidul absidei sudice, cu scopul de a surprinde nivelul de construcție, talpa fundației, eventuale construcții sau înmormântări; în această zonă s-au evidențiat urme de reînhumări, determinate de construirea unor cavouri la mică distanță de zidurile bisericii. La adâncimea de -0,60 m, în umplutura unei gropi de mormânt, în context secundar, fără legătură cu înhumatul, a fost descoperită o monedă perforată de tip denar Patrona Hungaria, emisă de Ferdinand I de Habsburg (1526–1564) în anul 1555; diametru 14 mm, greutate = 0,15 g²⁰.

C.3/ABSIDĂ NORD (C.3/AN): 1,50 × 1,10 m; ad = -1,20 m; trasată perpendicular pe zidul absidei nordice, cu scopul de a surprinde nivelul de construcție, talpa fundației, eventuale construcții sau înmormântări; la cota de -1,10 m au apărut membrele inferioare ale unui schelet uman, probabil secolele XIX–XX.

unui monument istoric/de arhitectură *face parte* din proiectul de restaurare, nu doar îl precede sau însoțește pe parcursul lucrărilor.

¹⁶ Echipa de cercetare a fost formată din arheologii: Florin Gabriel Petrică (responsabil științific), Minodora Cărciumaru și Mihai Claudiu Năstase.

¹⁷ La sosirea echipei de cercetare, s-a constatat trasarea unor șanțuri în cadrul șantierului de restaurare, după cum urmează: un șanț lat de 0,60 m și adânc de 0,60 m, de jur împrejurul fundațiilor bisericii, iar în interior, trei șanțuri, cu aceleași dimensiuni, orientate nord-sud, dispuse la vestul pronaosului, estul și vestul naosului. Scopul a fost acela de armare a soclului bisericii. S-au întrerupt lucrările și s-au demarat cercetările arheologice pentru a se putea observa dacă au fost afectate straturile arheologice importante.

¹⁸ Deasupra ferestrei din axul absidei altarului există un fragment de tencuială, pe care se incizase în materialul încă moale, data unui an, din care astăzi se mai păstrează doar ultimele cifre, un 9 și un 7. Este vorba, cel mai probabil, de anul 1897, când s-au efectuat unele reparații la biserică, inclusiv retencuirea întregii fațade.

¹⁹ La trasarea unităților de cercetare, s-a ținut cont astfel încât axul casetelor din exterior să corespundă cu cel al secțiunilor trasate în interior.

²⁰ Monedele descoperite în cadrul cercetărilor au fost identificate de către dr. Aurel Vlăcu, cercetător științific I la Institutul de Arheologie „Vasile Pârvan” din București, căruia îi mulțumim și pe această cale.

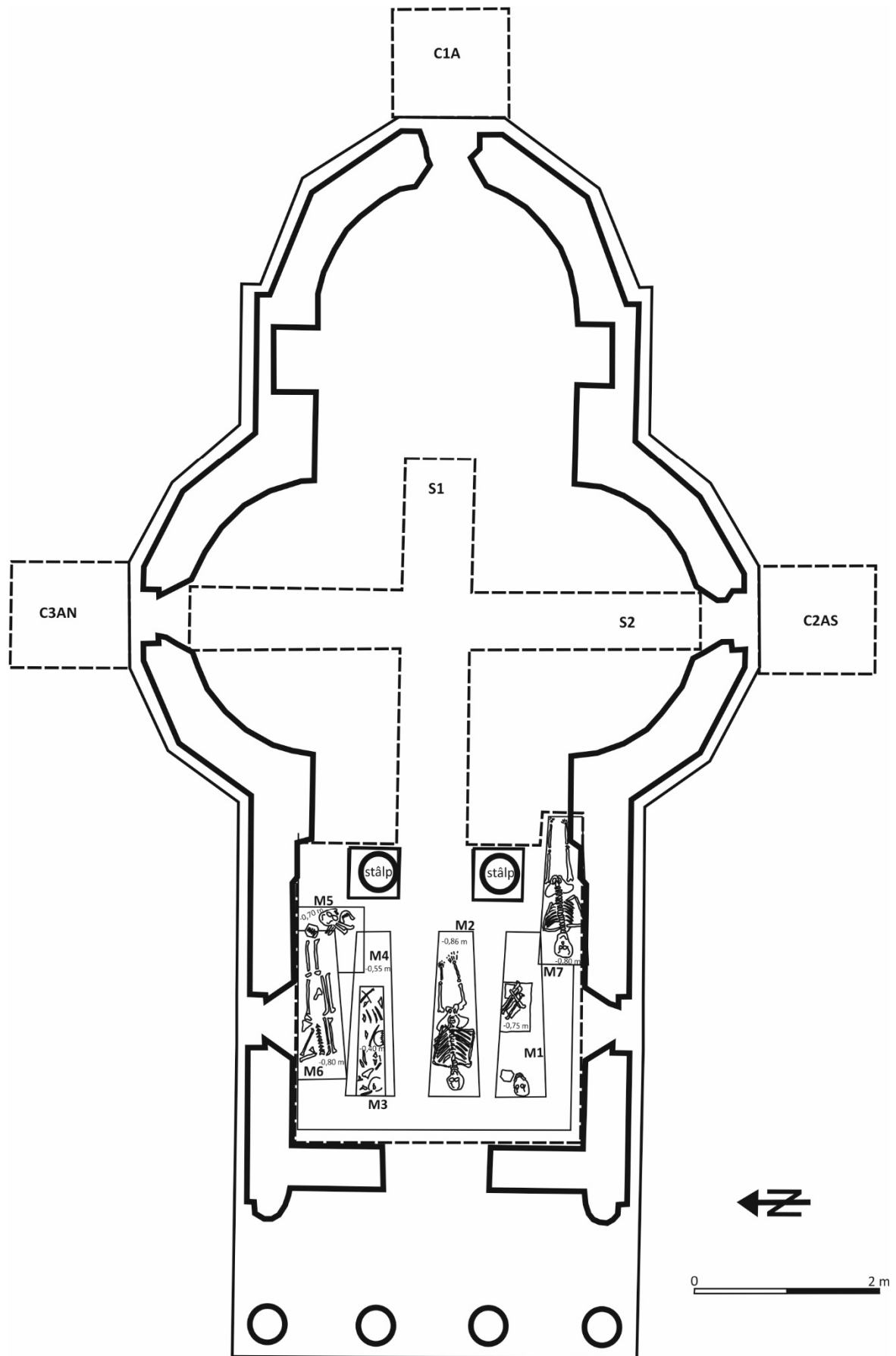


Fig. 3. Planul general al secțiunilor arheologice / General plan of the archaeological trenches.

II.2. Cercetările din interiorul bisericii

II.2.1. Naosul

În interior au fost trasate două secțiuni, dispuse în cruce, cu scopul principal de a surprinde relațiile stratigrafice, eventuale construcții, înmormântări sau alte complexe arheologice.

S.1: 7,50 × 0,80 m; ad = -1,10 m; trasată vest-est în axul longitudinal al bisericii, traversând naosul și pronaosul între catapeteasmă și ușa de intrare în biserică;

S.2: 5,50 × 0,70 m ad = -1,10 m; trasată nord-sud între cele două abside laterale ale naosului.

Stratigrafia generală. Pavajul interior al bisericii era alcătuit din cărămidă (26 × 14 × 5 cm) și lespezi de piatră (58/60 × 58/60 cm) dispuse intercalat, așezate pe un pat de mortar gri, gros de 4 cm. Sub patul de mortar exista o depunere de cca 0,20 m de moloz, mărunț, amestecat cu fragmente de cărămidă. Presupunem că această depunere este rezultatul operațiunilor din momentul construcției bisericii. Solul steril se situează la cota de -1,00 m. În exterior, din cauza reînhumărilor efectuate chiar lângă zidurile bisericii, nivelul de construcție al bisericii a fost mai greu de identificat. Talpa fundației, surprinsă în axul absidei de sud, este la cota de -1,10 m față de pavajul interior și la -0,75 m față de umărul fundației, zidărie retrasă către interiorul bisericii cu cca 0,08 m. Talpa fundației bisericii, surprinsă în axul absidei de nord, este de -0,70 m raportată la cota de călcare a interiorului și la -0,35 m față de umărul fundației, retrasă către interior cu 0,06 m. Rosturile de mortar dintre cărămizile fundației sunt de 0,04 m.

Nu s-au interceptat niveluri mai vechi de construcție, alte urme materiale, artefacte sau înhumări care să permită ipoteza că pe același loc a mai existat un alt lăcaș de cult, de zid sau de lemn. Cărămizile de pavaj au aceleași dimensiuni cu cele ale zidăriei bisericii. A fost identificat și un rând de cărămidă de alt format, așezat pe lângă curbura absidelor (29 × 13 × 5 cm).

II.2.2. Pronaosul

După executarea săpăturilor din exteriorul bisericii și din naos, începând cu luna ianuarie 2020 a fost reluată săpătura arheologică în pronaos, singura zonă necercetată care mai putea oferi informații cu privire la eventualele înhumări ale familiei Strâmbeanu, după cum sugerează numele celor pictați în tabloul votiv, pe pereții de vest și sud ai pronaosului. După înregistrarea fotografică și desenul pavajului de piatră și cărămidă, S.1, trasată inițial în naos, a fost continuată în pronaos, până în momentul apariției primelor oseminte umane, care ne-a prilejuit concluzia și întemeiat decizia că este necesară cercetarea

exhaustivă a întregii zone prin deschiderea în suprafață a unității de cercetare. După îndepărtarea pavajului, a apărut un nivel compact de pământ amestecat cu nisip, var și cărămizi sparte, precum și unele fragmente de oseminte umane. Acest fapt a indicat că trebuie să ne așteptăm și la prezența unor morminte deranjate sau reînhumări.

Pronaosul este de dimensiuni mici (9 mp), având lungimea de 3,30 m pe laturile de est și vest și 2,70 m pe sud și nord. Au fost identificate două amprente de sicrie de lemn în jumătatea de sud a pronaosului și două amprente de gropi de înhumare, mari și neregulate, în jumătatea de nord. Ulterior, după adâncirea nivelului de săpătură, s-au evidențiat și în partea nordică, parțial însă, urmele a trei sicrie de lemn, două de persoane adulte și unul mai mic, de copil. După adâncirea săpăturii până la cotele de relevare a amprentelor sicriilor de lemn și a osemintelor umane răvășite (-0,30 m), au fost descoperite în total șapte gropi de înhumare/reînhumare, cuprinzând osemintele mai multor indivizi²¹. Dintre acestea, două morminte au fost surprinse intacte (M.2 și M.7), iar unul deranjat parțial (M.6) (Fig. 4). În colțul de nord-est al pronaosului, funcționând cel mai probabil în secolele XIX–XX, a fost amenajat locașul unei cristelnițe, din structură păstrându-se doar suportul de cărămidă al cazanului. Din interiorul ei au fost recuperate mai multe materiale, în special părți componente din cădelnițe.

II.2.3. Mormintele din pronaos

M.1: Ad. -0,75 m. Mormânt deranjat puternic de o groapă de reînhumare, practică în zona mediană, unde au fost depuse mai multe oseminte. Se păstrau vizibile amprentele formei sicriului din lemn. Au fost identificate prin analiză antropologică resturile de la cinci indivizi (doi adulți de sex feminin și trei copii). Fără inventar (Fig. 4; 5/1).

M.2: Ad. -0,85 m. Adult (femeie). Amprentă a sicriului de lemn vizibilă. Decubit dorsal; brațele îndoite și aduse pe abdomen; picioarele întinse; orientare V–E (Fig. 4; 5/2).

Inventar: a) patru bumbi globulari de argint în stare de conservare precară, care nu au putut fi conservați și restaurați, găsiți în zona toracică; b) monedă, de argint, starea de conservare foarte rea, imposibil de identificat, descoperită în zona bazinului.

M.3: Ad. -0,40 m. Urme de sicriu de lemn. Suprapune M.4. Au fost identificate prin analiză antropologică resturile de la doi indivizi (copii). Poziția și orientarea nu au putut fi stabilite. Fără inventar (Fig. 4; 5/3).

M.4: Ad. -0,55 m. Este suprapus de M.3. Groapă de reînhumare, însă au fost observate și urme parțiale ale sicriului. Au fost identificate prin analiză antropologică resturile de la patru indivizi (un adult, doi adolescenți și un copil). Poziția și orientarea nu au putut fi stabilite. Fără inventar (Fig. 4; 5/3).

²¹Analiza antropologică a fost efectuată de către dr. Gabriel Vasile de la Institutul de Arheologie „Vasile Pârvan” din București. Vezi mai jos: Gabriel Vasile, *Analiza antropologică a resturilor scheletice descoperite*

în pronaosul bisericii „Adormirea Maicii Domnului” Strâmbeanu de la Pitaru (com. Potlogi, jud. Dâmbovița).

M.5: Ad. -0,70 m. Este o groapă de reînhumare care suprapune M.6. Au fost identificate prin analiză antropologică resturile de la doi indivizi (adult de sex feminin și copil). Poziția și orientarea nu au putut fi stabilite (Fig. 4; 5/4).

Inventar: a) copcă de bronz (15 mm, greutate 0,76 g), în asociere cu osemintele reînhumate (Fig. 6/5); b) fire metalice aurite de la veșminte; c) monedă de argint (para), emisă în timpul lui Ahmed III, la Misir (Egipt), anii 1703–1730; diametru 12 mm, greutate 0,12 g.; în partea vestică a umpluturii gropii (Fig. 6/4).

M.6: Ad. -0,80 m. Deranjat parțial. Decubit dorsal; brațele așezate pe bazin. Nu au fost identificate craniul și

femurul piciorului drept. Raportat la cotele de înhumare, M.6 este anterior lui M.5. Au fost identificate prin analiză antropologică resturile de la doi indivizi (adult de sex masculin și adolescent) (Fig. 4; 5/5).

Inventar: a) inel sigilar de argint; stare de conservare foarte bună; aflat în context secundar, în zona femurului lipsă; provine foarte probabil de la individul adult (Fig. 6/2).

M.7: Ad. -0,80 m. Adult (femeie). Decubit dorsal; brațele încrucișate pe abdomen; picioarele întinse; orientare V–E (Fig. 4; 5/6).

Inventar: a) inel sigilar din argint aurit; stare de conservare foarte bună; inscripționat cu numele „BĂLAȘA”; pe inelarul mâinii stângi (Fig. 6/1).

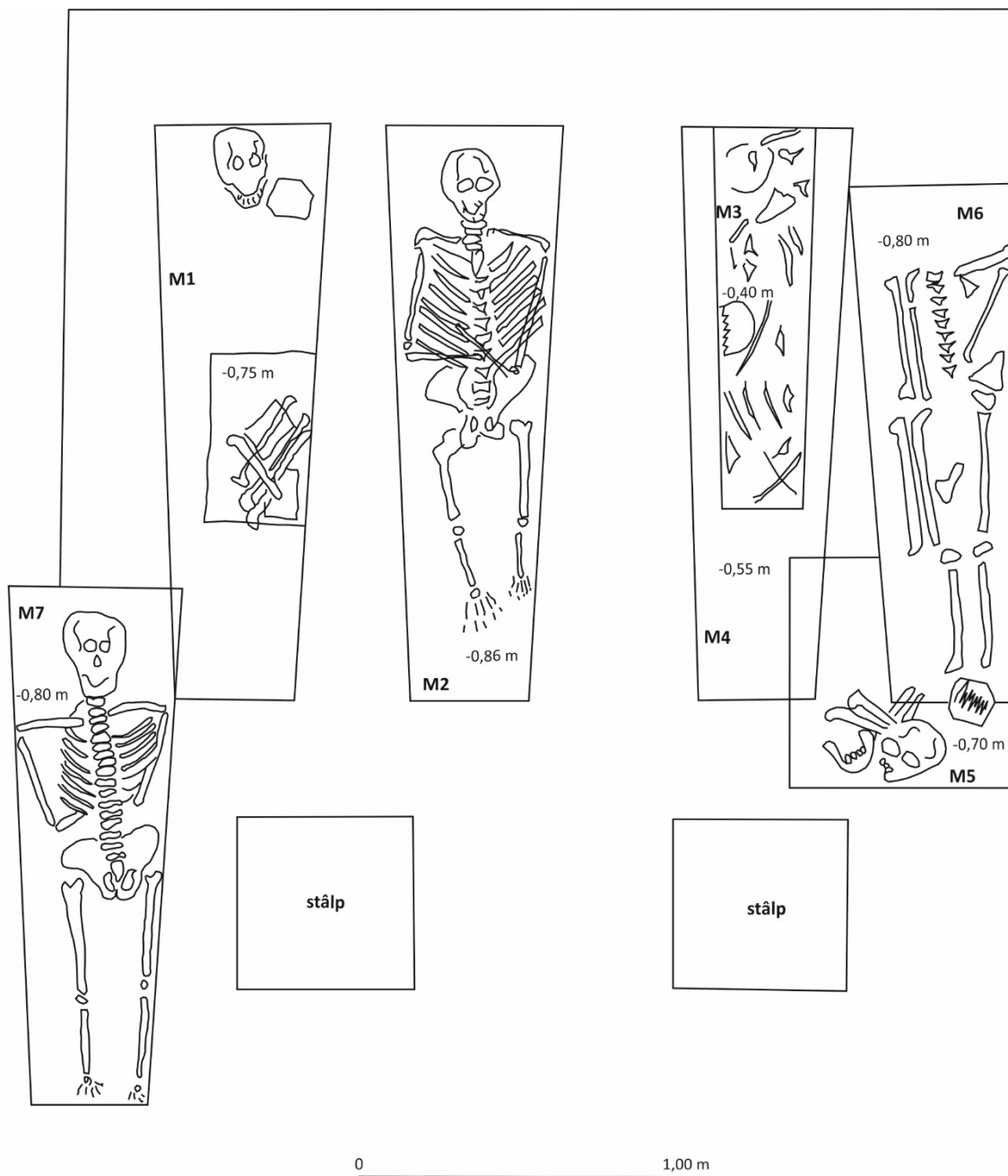


Figura 4. Planul amplasării mormintelor descoperite în pronaosul bisericii, detaliu / Detail of the general plan of the burials in the narthex of the chapel.



Figura 5. Foto complexe funerare: 1. M.1 (Mihail Strâmbeanu?); 2. M.2 (Zamfira Strâmbeanu?); 3. M.3 și M.4; 4. M.5 (Ilinca Strâmbeanu?); 5. M.6 (Ștefan Strâmbeanu?); 6. M.7 (Bălașa Strâmbeanu) / Photographs of the archaeological features: 1. Tomb 1 – Boyar Mihail Strâmbeanu (?); 2. Tomb 2 – Lady Zamfira Strâmbeanu (?); 3. Tombs 3 and 4; 4. Tomb 5 – Lady Ilinca Strâmbeanu (?); 5. Tomb 6 – Boyar Ștefan Strâmbeanu (?); 6. Tomb 7 – Lady Bălașa Strâmbeanu.

III. ANALIZA INVENTARULUI FUNERAR

Piesele care compun mobilierul funerar, deși puțin numeroase (probabil și din cauza reînhumărilor), aruncă un con de lumină asupra personajelor înmormântate în biserica Pitaru. Patru dintre cele șapte complexe funerare conțineau inventar (M.2, M.5, M.6, M.7), acesta constând în obiecte de podoabă, accesorii vestimentare și monede. La podoabe încadrăm două inele sigilare – acestea fiind și cele mai spectaculoase piese descoperite cu ocazia

săpăturilor. Dintre accesorii vestimentare, semnalăm prezența unei copci, a patru bumbi și a unor fire metalice de la veșminte, în urma procesului de conservare păstrându-se doar copca. Monedele, probabil depuse ca obol funerar, au fost găsite în două morminte – o piesă greu identificabilă din cauza stării de conservare și o para, emisă în timpul sultanului Ahmed III (1703–1730). Fără legătură cu un complex anume, dar din umplutura gropii unui mormânt situat în afara bisericii, s-a mai găsit o monedă perforată din vremea lui Ferdinand I de Habsburg (1526–1564).

III.1. Obiectele de podoabă

III.1.1. Inele sigilare

Inelul din M.6. Dimensiuni: 16/18 mm diametrul interior, 19/21 mm diametrul exterior, grosime maximă a chatonului 1,5 mm, greutate 5,87 g (Fig. 6/2). Inel de tip sigilar, realizat din argint, prin tehnica turnării. Chatonul, de formă ușor ovală marcată printr-o serie de puncte, prezintă central o cruce foarte bine definită, cu urme de smalt negru pe traseul inciziilor. La baza ei, un element vegetal, asemănător unor frunze, inspiră același decor prezent pe chatonul celui de-al doilea inel descoperit. În spațiul liber, din zona brațelor crucii, sunt marcate patru inițiale ce par a indica numele aceleiași familii – Strâmbeanu: **R, U** și alte două semne, posibil litere mici de mână: **t** și **b**. Inscripția, prin modul de execuție, denotă acuratețe și simplitate. Inelul este atribuit unei persoane adulte de sex masculin.

Un obiect asemănător cu cel din pronaosul bisericii Strâmbeanu a fost identificat printre descoperirile semnalate recent²², la Biserica Sf. Nicolae „Dintr-o zi” din București. Privit în ansamblu, deși pare mai vechi ca vârstă, inelul sugerează același tip de decorație, cruce redată central, cu litere chirilice inscripționate astfel încât să poată fi recunoscut deținătorul.

Inelul din M.7. Dimensiuni: 16/17 mm diametrul interior, 20 mm diametrul exterior, grosime maximă a chatonului 2 mm, greutate 4,26 g (Fig. 6/1). Inel sigilar, de mici dimensiuni, cu chatonul de formă octogonală. Decorația este proporționată, fără incizii de separare, în două registre. Partea superioară cuprinde indicația, scrisă pe două rânduri, BĂLAȘA, continuată de literele S și T. Sub această inscripție, sunt redată, probabil, semnele distinctive ale familiei Strâmbeanu: cruce, de mici dimensiuni, având la bază un element vegetal, de forma unor frunze pe care stau două păsări, redată în poziție de zbor. Literele R și B completează acest registru inferior. Inițialele S. T. R. B., scrise în chirilică, certifică apartenența inelului familiei ctitor a bisericii de la Pitaru, iar numele BĂLAȘA, o membră de seamă a acesteia, statut dovedit și de reprezentarea ei în pronaos, pe peretele de vest, alături de jupanul lanache. Analiza antropologică a confirmat că inelul a aparținut unei persoane adulte, de circa 57 de ani în momentul decesului, de sex feminin.

Inelul a fost realizat prin tehnica turnării, din argint aurit și prezintă o uzură determinată de folosință. Privit în ansamblu, denotă acuratețe prin precizia inscripției din câmpul sigilar.

Piesa aparține, din punct de vedere tipologic, grupei de inele cu montura făcând corp comun cu veriga. Datat

în secolul al XVIII-lea, acest inel se înscrie într-o serie tipologică cu persistență îndelungată în timp²³.

Inelele sigilare erau purtate în epocă atât de persoane de sex masculin, cât și feminin, cu un anume statut social, după cum este și situația de față. Astfel de obiecte, realizate din materiale și tehnici variate, cu ornamentații diverse (vegetale, florale, geometrice etc.), au fost identificate, recent, în urma cercetărilor întreprinse la Biserica Sf. Vineri din incinta Curții Domnești din Târgoviște. Între acestea, două inele sigilare, din argint și argint aurit, particularizate cu indicații precum *Paraskeva* și *Vlădaia*, au aparținut unor jupănese care, cu siguranță, făceau parte dintr-o categorie reprezentativă pentru urbea târgovișteană a secolelor XVI–XVIII²⁴.

III.2. Accesorii vestimentare

III.2.1. Copcă, bumbi, fire metalice

Copca din M.5. Face parte din categoria numită „moș și babă”, exemplarul păstrat fiind „moșul” (Fig. 6/5). Piesa, de mici dimensiuni, este realizată din aramă modelată prin ștanțare și nu are pereche. Cârligul de prindere este sudat în două puncte de partea inferioară a rozetei, care îndeplinea un rol estetic. Din zona centrală a acesteia, marcată printr-o ușoară proeminență colorată, asemeni unei pietre, pornesc șase raze, care delimitează în registre distincte suprafața rozetei. Din păcate, starea precară de conservare a piesei împiedică identificarea unor eventuale însemne ale familiei Strâmbeanu.

Obiectul se înscrie în acele categorii de accesorii vestimentare care îmbină rosturile utilitare cu cele estetice, așa cum sunt, de pildă, unii bumbi și paftale prezente în alte descoperiri din epocă²⁵. Din categoria copcilor cunoaștem exemplare remarcabile, realizate din metale prețioase, împodobite cu email sau pietre scumpe²⁶, dar și piese mai modeste precum cea descoperită la biserica Strâmbeanu și datată în secolul al XVIII-lea.

III.2.2. Bumbi

Bumbii din M.2. Din păcate, starea precară (piesele distrugându-se în timpul procesului de conservare) ne împiedică să facem comentarii privind caracteristicile morfologice, dimensiunile, greutatea. Foarte probabil, făceau parte din categoria bumbilor globulari cu ureche de prindere circulară, lucrați din foiță de argint de puritate slabă. Asemenea piese, confecționate din metale și aliaje diverse, au în general o circulație îndelungată, din perioada medievală și până la începutul celei moderne, citarea analogiilor (în absența pieselor noastre) fiind de prisos.

²² Mulțumim pe această cale kolegei dr. Camelia-Mirela Vintilă, arheolog, Biroul Arheologie Preventivă și Sistematică (Muzeul Municipiului București), care ne-a adus la cunoștință această descoperire. Vezi și: <https://www.facebook.com/MuzeulCurteaVeche/photos/pcb.2910780565847596/2910780425847610/> (accesat la 03. 03. 2021).

²³ Dumitriu 2001, p. 153-154; Reabțeva 2014, p. 107-109.

²⁴ Cărciumaru, Olteanu 2019. Subiectul a fost atins și în prezentarea cu tema: *Inelul Jupaninei Vlădae. O descoperire arheologică și implicațiile ei istorice*, din cadrul simpozionului „Civilizație aulică și civilizație urbană în Moldova și Țara Românească”, Iași-Târgoviște, 11 februarie 2021.

²⁵ Bătrîna, Bătrîna 1986, p. 88-89; Ioniță 2002.

²⁶ Popescu 1970, p. 30.



Figura 6. 1. Inel din M.7, aparținând Bălașei Strâmbeanu; 2. Inel din M.6 (Ștefan Strâmbeanu?); 3. Monedă din C2, Ferdinand de Habsburg, 1555; 4. Monedă din M.5, Ahmed al III-lea (1703–1730); 5. Copcă din M.5 / 1. Ring from Tomb 7 that belonged to Lady Bălașa Strâmbeanu; 2. Ring from Tomb 6, possibly of Boyar Ștefan Strâmbeanu (?); 3. Coin from feature 2 issued by Ferdinand of Habsburg, 1555; 4. Coin from Tomb 5 issued by Sultan Ahmed III (1703–1730); 5. Clothing stitch from Tomb 5.

III.2.3. Fire metalice

Fire metalice aurite din M.5. Firele metalice aurite provin de la un articol vestimentar pe care-l purta individul din M.5. Suportul de țesătură nu s-a păstrat, însă copca prinsă între firele metalice cu siguranță îndeplinea rolul funcțional, acela de închidere a veșmântului respectiv. Decorul care însoțește obiectul ne ajută să atribuim aceste fire unei persoane de sex feminin. Resturi metalice provenite de la diverse țesături au fost recuperate și din alte contexte, cum este cazul celor descoperite în mormintele cimitirului de la Biserica Sf. Vineri din Târgoviște²⁷.

III.3. Monede

În total, au fost descoperite trei monede, una în timpul cercetărilor de la exteriorul bisericii, iar celelalte două în pronaos, asociate unor înhumări.

Prima dintre monede, descoperită în caseta 2, la adâncimea de -0,60 m, în umplutura unei gropi de mormânt, în context secundar, fără asociere directă cu înhumatul, este o monedă de tip denar, Patrona Hungaria, emisă de Ferdinand I de Habsburg (1526–1564) în anul 1555 (Fig. 6/3). Chiar dacă este perforată și provine din umplutura unei gropi de mormânt, depunerea sa ca obol

²⁷ Cărciumaru, Olteanu 2019; Vlad, Dumitrescu 2020; Trohani 2020.

în perioada emitentului ei poate fi discutabilă în primul rând din cauza absenței descoperirilor din secolele XVI–XVII la Pitaru. Cu toate acestea, se constată uneori utilizarea ca obol a unor monede mai vechi, care nu mai au valoare circulatorie-comercială, valoarea constând strict în metalul prețios. Acest tip monetar este întâlnit în Țara Românească și la 150 de ani după batere²⁸.

Celelalte două monede au fost descoperite în interiorul pronaosului, în asociere directă cu indivizii înhumați. Prima dintre ele, descoperită în interiorul sicriului M.2, este o monedă de argint, starea de conservare fiind foarte rea, deci imposibil de identificat emitentul, situată în zona bazinului. A doua monedă, tot de argint (para), emisă în timpul lui Ahmed III, la Misir (Egipt), anii 1703–1730²⁹ (Fig. 6/4), a fost găsită în partea vestică a umpluturii gropii. Considerăm că moneda este în asociere directă cu reînhumarea M.5 și nu poate fi interpretată în sensul datării perioadei de edificare a lăcașului de cult. În mod evident, moneda a avut o putere de circulare mai lungă în epocă³⁰.

IV. CONCLUZII

Deși nu foarte extinse, dar atingându-și pe deplin scopul, săpăturile de la biserica Pitaru au revelat fără echivoc că actualul monument nu a fost precedat de o construcție anterioară. Biserica a fost ridicată într-o singură etapă în secolul al XVIII-lea de către membrii familiei Strâmbeanu, așa cum indică și tabloul votiv. Datarea sa în perioada 1722–1727 (1730) considerăm că este eronată, nefiind folosite toate sursele documentare (precum anii de activitate ai ctitorului, inscripția în piatră a mesei altarului, existentă și vizibilă în prezent). Plecând de la aceste informații, se poate concluziona că biserica a fost edificată în anul 1757, când Mihai Strâmbeanu nu mai ocupa funcția de mare clucer de arie, iar pictura a fost realizată în anul 1760 de către artiștii zugravi Radu, lordache și Mihai, așa cum se și vede în pisania din altar. Pe locul respectiv nu s-au descoperit depuneri sau materiale arheologice aparținând altor epoci istorice, în ciuda faptului că pe latura sudică a bisericii a fost descoperit un denar Patrona Hungaria, emis de Ferdinand I de Habsburg (1555), ceea ce părea să ridice semne de întrebare privind existența unui lăcaș de cult mai vechi (cu cimitirul aferent) în perimetrul celui actual. Explicația constă în obiceiul reutilizării unor monede mai vechi ca obol funerar, acest tip monetar fiind întâlnit uneori în descoperiri din Țara Românească în contexte arheologice mai noi cu 150–200 de ani decât data înscrisă pe monedă.

În cursul investigațiilor arheologice desfășurate în

interiorul bisericii Strâmbeanu au fost descoperite și cercetate șapte gropi de înhumare/reînhumare, însă numărul complexelor funerare nu trebuie considerat și criteriu de stabilire a numărului de indivizi prezenți. Din cauza îngropărilor succesive practicate în aceeași suprafață, dar și a reînhumărilor, era dificil de precizat în faza incipientă a cercetării numărul total al acestora. Drept dovadă, în urma efectuării analizei antropologice a osemintelor și realocarea unor piese scheletice din cele șapte complexe funerare, s-a obținut un număr de 17 indivizi. Este evident că depunerile succesive efectuate în pronaosul lăcașului de cult de la Pitaru au influențat și modificat ordinea firească a înmormântărilor. Este foarte posibil, după cum ne arată mormintele nederanjate, ca gropile de înhumare descoperite să coincidă ca amplasare cu poziția ctitorilor în tabloul votiv.

De exemplu, în cazul M.1, dispus în partea de sud a pronaosului, lângă zid, și practicat la adâncimea de -0,75 m față de cota interioară de călcare a bisericii, nu s-a mai păstrat decât amprenta sicriului de lemn. În interiorul acestuia, s-a detașat o groapă de reînhumare, de dimensiuni reduse, al cărei contur era marcat de cărămizi, unde au fost depuse oseminte, fără inventar funerar. Același mormânt conținea și câteva fragmente dintr-un craniu. Cu excepția M.1 (răvășit și cu reînhumări), în fiecare dintre celelalte șase morminte (M.2–M.7) a fost identificat un schelet aproximativ complet. Totuși, doar resturile scheletice din M.2 și din M.7 provin de la câte un singur individ, aspect relevant și de observațiile antropologice.

În cazul M.3, aflat la cota de -0,40 m, arheologic a fost relevată existența unor oseminte de copii, după cum indica dimensiunea acestora, precum și cea a amprentei sicriului din lemn, unde se concentrau. Mormântul, fără inventar funerar, îl considerăm ca fiind ulterior lui M.4. Cât despre numărul indivizilor din M.3, antropologic, s-a confirmat existența a doi copii, cu vârste de aproximativ 2 și 10 ani, din care gradul de reprezentativitate era aproximativ complet pentru cel de 10–12 ani.

M.4 a fost practicat la cota de -0,55 m, în partea de nord a pronaosului, lângă M.2. Cele câteva oseminte răvășite, fără inventar funerar, au fost atribuite unui număr de doi indivizi, cu vârste de 2, respectiv 12 ani, a căror reprezentare este aproape completă.

M.5 a fost practicat în colțul de nord-est al pronaosului, la -0,70 m, unde ulterior a fost plasată o cristelniță. La partea superioară a gropii au fost găsite mai multe cărămizi, cel mai probabil aruncate peste osemintele provenind de la doi indivizi – un adult și un adolescent. În umplutura gropii, printre resturile umane, au fost descoperite o para otomană, emisă în timpul lui

²⁸ Vezi în acest sens, de pildă, situația de la Dridu – *La Metereze*, unde s-au descoperit monede, atât de la Ferdinand I de Habsburg cât și de la Ahmed III, precum și alte monede mai vechi utilizate ca obol în morminte mult mai noi: Nicolae, Popescu 1994–1995.

²⁹ Pentru paralele emise de Ahmed III, vezi: Vlăcu 2009, p. 92.

³⁰ Vezi și alte descoperiri ale acestui tip monetar în Țara Românească la: Vlăcu 2009, p. 210–211.

Ahmed III (1703–1730), o copcă și mai multe fire metalice aurite, provenind de la veșminte.

M.6 a fost plasat între M.4 și zidul de nord al bisericii, cota de înhumare fiind de -0,80 m. Printre osemintele deranjate, a fost descoperit un inel sigilar de argint. După poziția puțin diferită a sicriului, este posibil ca înhumarea să fie posterioară mormintelor M.1, M.2 și M.4. Dată fiind poziția și cota de înhumare a lui M.5, nu este exclus ca M.6 să fie anterior acestuia.

M.7 a fost dispus între stâlpul de sud ce marchează limita pronaos–naos și zidul de sud al bisericii, cota de înhumare fiind aceeași cu a lui M.6. Plasarea sa în acest loc arată faptul că înhumarea a avut loc după ocuparea spațiului din pronaos, dar în același timp dovedește și importanța persoanei decedate. Pentru a se introduce sicriul în spațiul respectiv, a fost nevoie să se spargă zidul bisericii circa 20 cm.

În mod cert, majoritatea înhumărilor efectuate în interiorul pronaosului aparțin membrilor familiei Strâmbeanu. Acest lucru este dovedit, în parte, de unele descoperiri arheologice de tipul inelelor sigilare, cu mențiuni și însemne revelatoare în ceea ce privește apartenența lor. Inelul inscripționat cu numele *Bălașa* argumentează că membrii familiei au fost îngropați acolo, cu atât mai mult cu cât reprezentarea jupaniței s-a păstrat în tabloul votiv, pe zidul de vest al bisericii. Cu siguranță, lăcașul de cult, în perioada sa de funcționare, cu preponderență în secolul al XVIII-lea, a avut un caracter privat.

Numărul oarecum mare de înmormântări efectuate într-un spațiu limitat a determinat în mod firesc numeroase perturbări. Aceasta este și cauza pentru care unele piese, precum podoabe sau monede, nu au mai fost găsite *in situ*. Inventarul funerar este slab reprezentat, surprinzător de sărac în comparație cu fastul costumelor zugrăvite în tabloul votiv: două inele sigilare, o copcă, fire metalice, două monede. Totuși, fără alte contribuții documentare, conținutul analizei obiectelor devine important în completarea informațiilor privitoare la istoria lăcașului și a familiei Strâmbeanu.

În lipsa unor note documentare de arhivă publicate, cercetarea arheologică a încercat să suplinească aceste lacune, contribuind, atât prin rezultatele obținute, cât și prin problematica ridicată cu acest prilej. Din păcate, nu întotdeauna dispunem de asemenea rezolvări sau de multe ori suntem nevoiți să admitem caracterul lor incomplet.

O întrebare firească desprinsă la finalul cercetării se referă la numărul foarte scăzut al pieselor de inventar. Fiind vorba despre o familie cunoscută în zonă, nu putem exclude ipoteza profanării lăcașului de cult, cândva, pe parcursul secolului al XIX-lea, fapt ce ar justifica situația arheologică înregistrată la nivelul anului 2020.

Un alt aspect relevant studiului se desprinde din analiza antropologică efectuată asupra osemintelor

rezultate din cele șapte complexe funerare. Pentru 10 din cei 17 indivizi identificați în total în biserica Strâmbeanu din Pitaru, au fost estimate vârste timpurii ale decesului³¹. Prezența numeroasă a copiilor și adolescenților, coroborată cu lipsa mențiunilor târzii din documente, ne conduce spre ideea unei dispariții rapide a descendenților acestei familii boierești în perioada epocii moderne.

Fiecare familie are rădăcinile ei, nu există familie fără trecut. Pornind de la această rațiune, credem că o amănunțită investigație documentară ar putea aduce elemente noi în ceea ce înseamnă misterioasa genealogie a familiei Strâmbeanu.

BIBLIOGRAFIE

- Administratiunea Cassei Bisearicii 1990 – Administratiunea Cassei Bisearicii, *Anuar*, București, 1909, p. 55–56.
- Arhiva INP – Arhiva Institutului Național al Patrimoniului, Dosar nr. 2652, Biserica Strâmbeanu, Pitaru, jud. Dâmbovița, 1921–1939.
- Arhiva de relevee – Arhiva de relevee a Departamentului de Istoria și Teoria Arhitecturii și Conservarea Patrimoniului/Universitatea de Arhitectură și Urbanism „Ion Mincu” București, Biserica „Adormirea Maicii Domnului” (Strâmbeanu), (DB-II-m-A-17645). Planșa: Rv.008.07: Inscriptie Sfânta Masă; Planșa: Rv.008.01: Planul bolților, Planul parterului, Planul turlei și acoperișul.
- Bătrîna, Bătrîna 1986 – L. Bătrîna, A. Bătrîna, *Obiecte de podoabă și accesorii vestimentare din cuprinsul necropolei din secolele XIV–XIX de la Niculițel (județul Tulcea)*, RMM 2, 1986, p. 80–93.
- Cârciumaru, Olteanu 2019 – M. Cârciumaru, Ghe. Olteanu, *Archaeological Finds at the “St. Vineri” Church from the Princely Court of Târgoviște. The Repertory of Personal Ornaments*, AnUVT 21, 2019, p. 123–136.
- Dumitriu 2001 – L. Dumitriu, *Der mittelalterliche Schmuck des unteren Donaugebietes im 11.-15. Jahrhundert*, MNIR Monografii II, Bukarest, 2001.
- Ghika Budești 1933 – N. Ghika Budești, *Evoluția arhitecturii în Muntenia și Oltenia, III. Veacul al XVII-lea. Epoca de tranziție: domnia lui Matei Basarab*, BCMI 25, București, 1933.
- Ioniță 2002 – A. Ioniță, *Podoabe asociate cu monede în tezaure medievale din colecțiile Institutului de Arheologie „Vasile Pârvan”, în: Simpozion de Numismatică, Chișinău 13–15 mai 2001, Comunicări, studii și note*, București, 2002, p. 209–220.
- Lecca 1899 – O. George Lecca, *Familii boierești române*, București, 1899.
- Lecca 1937 – O. George Lecca, *Dicționar istoric, arheologic și geografic al României*, București, 1937.
- Nicolae, Popescu 1994–1995 – E. Nicolae, A. Popescu, *Descoperiri monetare de la Dridu, Jud. Ialomița*, BSNR 88–89, 1994–1995 (1998), 142–143, p. 291–296.
- Oproiu 2004 – M. Oproiu, *Inscripții și însemnări din județul Dâmbovița*, Vol. III, Târgoviște, 2004.
- Popescu 1970 – M. M. Popescu, *Podoabe medievale în Țările Române*, București, 1970.
- Reabțeva 2014 – S. Reabțeva, *Piese de podoabă și vestimentație din Moldova și Țara Românească în contextul relațiilor cultural-istorice (secolele XIV–XVII)*, Brăila, 2014.
- Stoicescu, Oproiu 1983 – N. Stoicescu, M. Oproiu (coord.), *Dicționar istoric al județului Dâmbovița*, Târgoviște, 1983.
- Trohani 2020 – G. Trohani, *Membri ai familiei Corbeanu și ale lor morminte din fosta biserică a Mănăstirii Cătălui*, CA 27, 2020, p. 441–463.
- Vîlcu 2009 – A. Vîlcu, *Moneda otomană în Țările Române în perioada 1687–1807*, Brăila, 2009.
- Vlad, Dumitrescu 2020 – I. M. Vlad, R. G. Dumitrescu, *Mahalaua*

³¹ 0,0–3,0 ani – patru atribuiri: M.1 (I.3; I.5), M.3 (I.2), M.4 (I.2); 3,0–12,0 ani – trei atribuiri: M.1 (I.4), M.3 (I.1), M.5 (I.2); 12,0–20,0 ani – trei

atribuiri: M.4 (I.1), M.4 (I.4), M.6 (I.2). Vezi mai jos: Gabriel Vasile, *Analiza antropologică (...)*.

ANALIZA ANTROPOLOGICĂ A RESTURILOR SCHELETICE DESCOPERITE ÎN PRONAOSUL BISERICII „ADORMIREA MAICII DOMNULUI” – STRÂMBEANU DIN PITARU (COM. POTLOGI, JUD. DÂMBOVIȚA)

Gabriel VASILE

Institutul de Arheologie „Vasile Pârvan”; e-mail: gabriel.vasile@iabvp.ro

Keywords: Middle Ages, Greater Wallachia, 18th century, church, Strâmbeanu family, anthropological analyses

Abstract: Preventive archaeological research at the “Dormition of the Virgin” – Strâmbeanu Church in Pitaru (dated to the 18th century) revealed, in addition to the archaeological material specific to the Middle Ages, the existence of seven inhumation tombs. The graves were identified in the narthex of the church. Most of them certainly belong to the Strâmbeanu family, a fact justified both by the votive painting, also represented in the narthex, in which the faces of the founding family members are present, and, especially, by two seal rings with the insignia of the founders’ family. The anthropological analysis showed that the skeletal remains came from a minimum number of 17 individuals (10 subadults and seven adults – five females and one male), the likely result of disturbances and reburials carried out in a relatively limited space. The large number of deaths among the subadults has been attributed to diseases that lead to a deficiency in vitamins (A, B₆, B₉, B₁₂, C, D) and minerals (Fe), essential for the growth and development of the body.

Cuvinte-cheie: Ev Mediu, Muntenia, secolul al XVIII-lea, biserică, familia Strâmbeanu, analiză antropologică

Rezumat: Cercetările arheologice preventive de la Biserica Strâmbeanu „Adormirea Maicii Domnului” de la Pitaru (secolul al XVIII-lea) au scos la lumină, pe lângă materialul arheologic specific epocii, șapte morminte de inhumație. Gropile mormintelor au fost identificate în pronaosul bisericii. Majoritatea aparțin cu certitudine familiei Strâmbeanu, fapt justificat atât prin tabloul votiv, reprezentat tot în pronaos, în care sunt reliefate chipurile membrilor familiei fondatoare, cât și, mai ales, prin două inele sigilare cu însemne ale familiei ctitor. Analiza antropologică a evidențiat faptul că resturile scheletice provin de la un număr minim de 17 indivizi (10 subadulți și șapte adulți – cinci femei și un bărbat), rezultatul probabil al deranjamentelor și reînhumărilor efectuate într-un spațiu relativ limitat. Numărul mare de decese în rândul subadulților a fost pus pe seama unor boli care conduc la un deficit de vitamine (A, B₆, B₉, B₁₂, C, D) și minerale (Fe) esențiale creșterii și dezvoltării organismului.

INTRODUCERE

La sfârșitul anului 2020 și începutul anului 2021 au avut loc la Pitaru (com. Potlogi, jud. Dâmbovița) cercetări arheologice preventive conduse de o echipă de arheologi¹ de la Complexul Național Muzeal „Curtea Domnească” din Târgoviște, care au urmărit restaurarea, consolidarea și punerea în valoare cultural-turistică a monumentului istoric Biserica „Adormirea Maicii Domnului” Strâmbeanu. Autorii cercetării au ajuns la concluzia că biserica a fost ridicată într-o singură etapă, fiind edificată în secolul al XVIII-lea (anul 1757) și aparținând unei familii de boieri. Săpăturile arheologice au fost efectuate atât în exteriorul bisericii, cât și în interiorul acesteia. Elementul-cheie în jurul căruia a gravitat cercetarea arheologică l-a constituit pictura din pronaos, unde sunt zugrăviți membrii familiei Strâmbeanu. Tot în pronaos, au fost identificate și șapte morminte de inhumație (M.1–M.7), dintre care numai două (M.2 și M.7) au fost nederanjate de reînhumări. În

patru (M.2, M.5, M.6, M.7) dintre cele șapte morminte a fost identificat inventar funerar, care constă în obiecte de podoabă (printre care două inele sigilare, unul dintre ele inscripționat cu numele *Bălașa*), accesorii vestimentare (copci, bumbi, fire metalice de la veșminte) și monede (probabil depuse ca obol funerar)².

MATERIAL ȘI METODE DE LUCRU

Au fost analizate resturile scheletice ce provin din șapte complexe funerare, exclusiv de inhumație. În prezent, materialul scheletic face parte din patrimoniul cultural al Complexului Național Muzeal „Curtea Domnească” din Târgoviște (jud. Dâmbovița). Analiza antropologică a urmărit evidențierea mai multor parametri, descriși succint în continuare și pentru care au fost utilizate numeroase studii din literatura de specialitate.

Într-o primă fază, resturile scheletice au fost curățate

¹ Din echipă au făcut parte Dr. Florin Gabriel Petrică (responsabil științific), Dr. Minodora Cârțumaru și Drd. Mihai Claudiu Năstase, cărora le mulțumesc și pe această cale pentru amabilitatea cu care mi-au încredințat spre studiu materialul scheletic.

² Pentru informații complete în legătură cu istoricul monumentului, cercetările arheologice din exteriorul și din interiorul bisericii sau analiza inventarului funerar, vezi Petrică *et alii* 2021, în prezentul volum.

și spălate³. Deși au existat piese osoase care se pretau operației de restaurare, aceasta s-a efectuat doar în cazul individului I.1 din mormântul M.5. În cazul celorlalți indivizi, reconstituirea nu a fost necesară, deoarece aceasta nu ar fi adus un plus în ceea ce privește evidențierea unor caracteristici scheletice (aspecte tafonomice, prelevarea unor măsurători sau observații patologice). În ceea ce privește I.1 din M.3, cu toate că restaurarea craniului s-ar fi putut realiza, o parte dintre oasele neurocraniului fiind în conexiune anatomică, operația nu a fost efectuată, oasele fiind mai mult sau mai puțin deformate, din cauze naturale.

Un aspect care a necesitat foarte multă atenție l-a reprezentat stabilirea numărului minim de indivizi (în continuare NMI) și realocarea unor piese scheletice din cadrul mormintelor, pe baza acestor operații fiind stabilit inventarul scheletic al indivizilor⁴. Prin prisma gradului de eroziune/abraziune⁵, a fost evaluată starea generală de conservare a scheletelor. De asemenea, au fost înregistrați câțiva dintre cei mai importanți markeri tafonomici⁶ observați pe oase.

Sexul biologic a fost determinat exclusiv în cazul adulților, în principal pe baza diferențelor morfologice discriminante de la nivelul pelvisului și craniului⁷, sectoare care conferă o acuratețe foarte ridicată. Atunci când aceste elemente nu s-au păstrat, sexul a fost determinat pe baza altor piese scheletice cu potențial discriminant (humerus⁸, astragal și calcaneu⁹), care, deși nu prezintă o precizie foarte ridicată, sunt necesare în astfel de situații. În completare, pentru diagnoza sexului, am urmărit o serie de caracteristici morfometrice precum aspectul general al oaselor, dimensiunea epifizelor sau relieful osos¹⁰.

Pentru estimarea vârstei la deces a subadulților (I, *infant* = 0,0–3,0 ani; C, copil = 3,0–12,0 ani; Ad, adolescent = 12,0–20,0 ani), am utilizat următoarele metode: gradul de erupție și de dezvoltare dentară¹¹, ecuații de regresie ce cuprind lungimile maxime ale diafizelor tuturor oaselor lungi¹² sau, atunci când au lipsit dinții și diafizele, unele morfologii osoase corelate cu vârsta, specifice subadulților¹³. În cazul indivizilor adulți, estimarea cu precizie a vârstei la deces nu mai este la fel de exactă ca în cazul subadulților. Aceasta derivă din faptul că modificările degenerative ale scheletului la vârste adulte implică și o mare variabilitate inter- și intrapopulațională, corelată cu

stilul de viață al indivizilor. Pentru indivizii medievali adulți (AT, adult tânăr = 20,0–35,0 ani; AM, adult matur = 35,0–50,0 ani; AB, adult bătrân = > 50,0 ani) de la Pitaru au fost diagnosticate pentru estimarea vârstei: modificările morfologice degenerative ale simfizei pubiene¹⁴ și suprafețele auriculare ale oaselor coxale¹⁵, gradul de obliterare al suturilor bolții craniene¹⁶ sau gradul de uzură/atritie dentară a suprafeței ocluzale a molarilor¹⁷. Au existat și situații în care vârsta nu a putut fi precizată cu exactitate, lipsind acești indicatori. În acest caz, am apreciat vârsta pe baza modificărilor degenerative generale ale întregului schelet, prin statusul sudării epifizelor la diafize (os epifizat/neeipifizat) sau prin comparație dimensională cu oase umane din colecția de referință a laboratorului nostru. Prin aceste observații, indivizii au putut fi plasați într-una din clasele de vârstă specifice sau au fost încadrați generic în grupa adulților, fără a face alte precizări.

Alte informații despre scheletele analizate le-am obținut prin prelevarea de măsurători, craniene¹⁸ și postcraniene¹⁹, atât pentru subadulți, cât și pentru adulți. Prin intermediul datelor metrice, pe lângă obținerea de detalii morfologice legate de forma și dimensiunea oaselor, au fost calculate, cu ajutorul unor ecuații de regresie, statura²⁰ (prin lungimile maxime ale unor oase lungi) și greutatea scheletică (pe baza unor diametre ale oaselor lungi)²¹.

Stilul de viață al indivizilor analizați a fost redat prin evidențierea unor patologii dentare și osoase²², precum și prin observarea unor zone de inserție pe os (enteze) a ligamentelor, tendoanelor, fasciilor sau capsulelor articulare. În acest sens, dar și pentru a evita pe cât posibil subiectivismul, markerii musculo-scheletici au fost încadrați în trei categorii principale: slab (1), mediu (2) și puternic exprimați (3), în conformitate cu gradul lor de dezvoltare²³. Evaluarea s-a efectuat la nivelul a 27 de suprafețe osoase postcraniene localizate fie numai în stânga (s) sau în dreapta (d), ori bilateral (b), după cum urmează: claviculă (C); omoplat (O); humerus (H); radius (R); ulnă (U); femur (F); rotulă (r); tibie (T) și calcaneu (c).

Nu în ultimul rând, am urmărit și aspecte legate de variabilitatea populațională și de distanțele genetice existente între indivizi, prin observarea și înregistrarea unor caractere epigenetice dentare (numai pe dentiția definitivă), craniene și postcraniene (subadulți și adulți)²⁴.

³ Mulțumim și pe această cale colaboratoarei noastre Andrea Toma (Master Criminalistică și Psihologie Judiciară, Universitatea „Titu Maiorescu”, București) pentru ajutorul oferit.

⁴ Schaefer *et alii* 2009; White, Folkens 2005.

⁵ Brickley, McKinley 2004, p. 15–17.

⁶ Fernández-Jalvo, Andrews 2016; Cole, Waldron 2016; Dupras, Schultz 2013.

⁷ Buikstra, Ubelaker 1994, p. 16–21.

⁸ Vance *et alii* 2011.

⁹ Gualdi-Russo 2007, p. 152, tab. 1.

¹⁰ Ferembach *et alii* 1980, p. 517–527; Acsádi, Nemeskéri 1970, p. 75–87.

¹¹ Ubelaker 1980, p. 47, fig. 62.

¹² Facchini, Veschi 2004, p. 93, tab. 2.

¹³ Schaefer *et alii* 2009.

¹⁴ Brooks, Suchey 1990.

¹⁵ Lovejoy *et alii* 1985.

¹⁶ Meindl, Lovejoy 1985, p. 63.

¹⁷ Steckel *et alii* 2006, p. 408, fig. 14/7.

¹⁸ Bräuer 1988, p. 160–192; Martin 1928, p. 625–678.

¹⁹ Bräuer 1988, p. 193–232; Martin 1928, p. 1005–1052.

²⁰ Visser 1998, p. 415 – pentru subadulți (doar pentru indivizii cu vârste între 0,5–12,0 ani); Rösing 1988, p. 597 – pentru adulți.

²¹ Visser 1998, p. 417 – pentru subadulți (doar pentru indivizii cu vârste între 3,0–12,0 ani); Auerbach, Ruff 2004, p. 336, tab. 3 – pentru adulți.

²² Mann, Hunt 2005; Ortner 2003.

²³ Myszka, Piontek 2012; Mariotti *et alii* 2007; al-Oumaoui *et alii* 2004.

²⁴ Mann *et alii* 2016; Hauser, De Stefano 1989; Finnegan 1978.

REZULTATELE ANALIZEI ANTROPOLOGICE

M.1: Adâncime: -0,75 m; deranjat puternic de o groapă de reînhumare; se păstrau vizibile amprentele sicriului din lemn; fără inventar²⁵.

NMI = 5: M.1 (I.1). Inventar scheletic și aspecte morfometrice. Din craniul neural s-a păstrat, în conexiune anatomică, un fragment ce cuprinde parietalele, temporalele și occipitalul. Prezintă distrugereri la nivelul frontalului; lipsesc sfenoidul și etmoidul. Craniul este foarte îngust, iar occipitalul, larg. Lipsește și scheletul feței, iar mandibula are ramurile ascendente distruse, gonioanele șterse și lărgime intergonională îngustă. Dentiția este definitivă. Nu au fost recuperați dinți, cu excepția unui rest radicular, probabil P₂ drept; I₁, C# stângi și I₂ drept au fost pierduți postmortem. Din scheletul postcranian²⁶ s-au păstrat patru vertebre cervicale, cinci toracale, cinci lombare și un fragment din corpul primei sacrale. Au mai fost identificate clavicula stângă (de robusticitate moderată), radiusul drept, ulna dreaptă (eurolenică), un fragment din ilionul stâng și femurul drept (platimer, cu pilastru slab).



Figura 1. Colorații verzui de diferite intensități pe suprafața unor oase din scheletul mâinii drepte [M.1, I.1] / Green staining of different intensities on some of the right hand bones [M.1, I.1].

Generalități. Stare de conservare bună (grad 2); stare de reprezentare (parțial reprezentat); sex (feminin – craniu); vârstă la deces (> 51,5 ani, adult bătrân – suturi craniene); statură scheletică (156,4 ± 3,7 cm, supramijlocie); greutate scheletică (67,1 ± 0,2 kg).

Patologie. Resturi radiculare (P₂ drept); pierderi dentare antemortem (I₂, P₁–M₂, M₃? stângi; I₁, C#–P₁, M₁–

M₂, M₃? dreți); osteoartroză (osteofite: ușoare exprimări la nivelul corpurilor vertebrale a trei cervicale și unei toracale); hernie intervertebrală (noduli Schmorl: pe un corp toracal lombar).

Enteze. [C]: l. costoclavicular (3s), l. conoid (1s), l. trapezoid (1s), m. mare pectoral (2s), m. deltoid (2s); [R]: m. biceps brahial (2d), m. rotund pronator (1d), membrană interosoasă (2d); [U]: m. triceps brahial (2d), m. brahial (2d), m. supinator (2d); [F]: m. fesier mare (1d), m. vast medial (2d), linie aspră (1d).

Caractere epigenetice. a) craniene – foramen supraorbital (unul, bilateral), osicule lambdaide (stânga), canal condilar (nedeschis, bilateral), curbura sulcus sagital superior (bifurcată), foramen mastoidal (două, sutural și pe temporal, stânga; trei, pe temporal, dreapta), sutură petrosquamoasă (bilateral), proces stiloid (bilateral), foramen mental (unul, bilateral); b) postcraniene – fosă Allen (dreapta), exostoze la fosa trohanterică (dreapta), fosă romboidă (stânga), foramen transvers bipartit C₃–C₇ (stânga).

M.1 (I.2). Inventar scheletic și aspecte morfometrice. Din craniul neural a fost recuperată doar piramida petroasă dreaptă, iar din scheletul feței, fragmente din cele două maxile. Din mandibulă s-au păstrat fragmente din ramurile orizontale. Dentiția este definitivă. Au fost recuperați 18 dinți (C#–P¹ stângi; I¹–P² dreți; I₂–P₂ stângi; C#–M₂ dreți + 1 M¹ și 1 M², fără simetrie). Din scheletul postcranian au fost recuperate diafizele tuturor oaselor lungi: humerusi, radiusuri, ulne, femure (cel drept este platimer), tibii (platicnemice) și peronee.

Generalități. Stare de conservare precară (grad 4); stare de reprezentare (parțial reprezentat); tafonomie (colorație verzui/negricioasă: diafizele oaselor lungi, pe suprafețe întinse; periost puternic exfoliat: diafizele oaselor lungi); sex (probabil feminin – craniu, aspect general oase lungi); categorie de vârstă (adult tânăr – uzură dentară).

Patologie. Pierderi dentare antemortem (M₁–M₂ stângi); tartru dentar (ușoare depuneri pe suprafețele labiale, respectiv bucale ale incisivilor, caninilor și premolarilor și pe toată suprafața molarilor).

Caractere epigenetice. a) dentare – hipoconulid (mediu, M₁ drept); b) craniene – foramen mental (unul, stânga); c) postcraniene – fațete articulare laterale tibiale (bilateral).

M.1 (I.3). Inventar scheletic. Este reprezentat printr-un fragment din hemimandibula dreaptă și unul din diafiza tibială stângă.

Generalități. Stare de reprezentare (slab reprezentat); vârsta la deces (0,0–0,5 ani, nou-născut/*infant* – morfologie mandibulă, lungime maximă diafize oase lungi).

²⁵ Pentru fiecare din cele șapte morminte au fost preluate câteva caracteristici arheologice (Petrică *et alii* 2021).

²⁶ Facem precizarea că o serie de resturi scheletice (fragmente costale și oasele scheletului mâinilor și picioarelor) nu au putut fi atribuite cu certitudine unuia sau altuia dintre cei doi indivizi adulți (I.1 și I.2). Menționăm prezența unei colorații verzui, mai evidente, la nivelul a

două metacarpiene drepte (Mc₂, Mc₅) și pe o falangă proximală de la mâini (Fig. 1). Pentru repartizarea fragmentelor vertebrale, am ținut cont de prezența modificărilor proliferative (exostoze) sau degenerative (noduli Schmorl), aflate în strânsă dependență cu înaintarea în vârstă.

M.1 (I.4). Inventar scheletic. Prezintă două fragmente din diafiza humerală dreaptă, marele trohanter femural drept, epifiza distală tibială dreaptă și o falangă proximală de la mâini.

Generalități. Stare de reprezentare (slab reprezentat); tafonomie (periost puternic exfoliat: diafiză humerală dreaptă); categorie de vârstă (copil, *infans* II – oase neepifizate, comparație dimensională).

M.1 (I.5). Inventar scheletic. Este documentat printr-un fragment dintr-o diafiză femurală, fără extremități.

Generalități. Stare de reprezentare (slab reprezentat); categorie de vârstă (copil, *infans* I – comparație dimensională).

M.2: Adâncime: -0,85 m; amprentă a sicriului de lemn vizibilă; decubit dorsal; brațele îndoite și aduse pe abdomen; picioarele întinse; orientare V-E; inventar funerar: patru bumbi globulari de argint, monedă de argint.

NMI = 1. Inventar scheletic. Aspecte morfometrice. Din craniul neural (lung) s-au păstrat două fragmente din frontal (frunte lată conform lărgimii minime) și un fragment, în conexiune anatomică, din parietalul stâng, temporalul stâng și occipital. Au mai fost recuperate fragmente din parietalul drept și din temporalul drept, întreg. Lipsesc cea mai mare parte a bazei craniului, cu excepția unui fragment din sfenoid. Din scheletul feței au fost identificate lacrimalul drept, nazalale, zigomaticile, fragmente din maxile și mandibulă. Orbita dreaptă este lată, are înălțime moderată și este mezoconchă. Dentiția este definitivă. Au fost recuperați 18 dinți ($C^{\#}$ - M^2 stângi, $C^{\#}$, 1 P, M^2 drepti; $C^{\#}$ - M_2 stângi; $C^{\#}$ - P_2 , M_2 drepti +1 I); doi dinți au fost pierduți postmortem (I_2 stâng; I_2 drept). Scheletul postcranian se remarcă prin distrugerii ale majorității oaselor, dar și printr-o serie de lipsuri. Din coloana vertebrală a fost recuperat o parte din segmentul cervico-toracal, sternul (manubriul fuzionat la corp, Fig. 2), iar dintre coaste au fost recuperate numai patru fragmente. Lipsesc omoplatul stâng, oasele bazinului, ulna și rotula dreaptă. Dintre oasele lungi, doar radiusul stâng și tibia dreaptă sunt complete. Ulna stângă este eurolenică. Femurul stâng este hiperplatimer, iar cel drept, platimer. Tibia stângă este euricnemică, iar cea dreaptă, mezocnemică.

Generalități. Stare de conservare mediocră (grad 3); stare de reprezentare (aproximativ complet); tafonomie (colorație negricioasă: parietal stâng și occipital – endocranian, prima coastă stângă, humerus drept, radius drept, diafize femurale, Fig. 3); colorație verzuie: ulnă stângă – distal; periost cu ușoare exfolieri: prima coastă stângă, claviculă dreaptă, radius stâng, humerusi, diafize femurale); sex (feminin – craniu); vârstă la deces (> 51,5 ani, adult bătrân – suturi craniene); statură scheletică ($163,5 \pm 3,8$ cm, mare).

Patologie. Cariii dentare (P^2 stâng, distal; M^1 - M^2 stângi, mezial); resturi radiculare (P_2 drept); pierderi dentare antemortem (M_1 drept); tartru dentar (ușoare

depuneri pe toate suprafețele dentare); osteoartroză (osteofite și suprafețe poroase: manifestări intense pe corpurile vertebrale a patru cervicale, Fig. 4; la nivelul cotului stâng; tibiei stângi, proximal și posterior; peroneelor, distal; pe majoritatea suprafețelor articulare ale oaselor din scheletul mâinilor și picioarelor); entezopatii (creșteri osoase bilaterale în extremitatea distală peroneală; creșteri osoase și porozitate accentuată pe calcaneu, în aria de inserție a tendonului lui Ahile și pe fața plantară, Fig. 5).



Figura 2. Fuzionarea completă a manubriului cu corpul sternal [M.2] / Complete fusion of the manubrium with the sternal body [M.2].



Figura 3. Colorații negricioase pe diafiza femurală dreaptă, rezultat al depunerilor de mangan (MnO_2) [M.2] / Black staining on the right femoral shaft as a result of manganese (MnO_2) deposits [M.2].



Figura 4. Osteoartroză cervicală: manifestări osteofitice (săgeți) și suprafețe poroase (cerc) [M.2] / Cervical osteoarthritis: osteophytic manifestations (arrows) and porous surfaces (circle) [M.2].



Figura 5. Entezopatii calcaneene: posibil traumatism de țesut moale evidențiat prin creșteri osoase și suprafețe poroase [M.2] / Calcaneal enthesopathies: possible soft tissue trauma highlighted by bone growths and porous surfaces [M.2].

Enteze. [C]: l. costoclavicular (1s), m. mare pectoral (3s); [H]: m. mare pectoral (2s), m. lat dorsal, m. rotund mare (2s), m. deltoid (1b), m. brahioradial (2s); [R]: m. biceps brahial (2s), m. rotund pronator (2s), membrană interosoasă (3s); [U]: m. triceps brahial (2s), m. brahial (2s), m. supinator (2s); [F]: m. fesier mare (1b), m. vast medial (1b), linie aspră (1b); [r]: t. cvadricipital (2s); [T]: l. patelar (3b), m. solear (1b); [c]: t. adductor haluce, t. flexor scurt degete (3b).

Caractere epigenetice. a) dentare – absență congenitală (M^3 și M_3 , bilateral); b) craniene – șanț supraorbital (dreapta), foramen supraorbital (unul, stânga), curbura sulcus sagital superior (la dreapta), foramen mastoidal (unul, pe temporal, bilateral), proces stiloid (bilateral), foramen mental (unul, dreapta); c) postcraniene – extensie talară medială (stânga), suprafață articulară talară inferioară (bilateral), fațetă dublă calcaneală anterioară (bilateral).

M.3 Adâncime: -0,40 m; urme de sicriu de lemn; suprapune M.4; fără inventar.

NMI = 2. M.3 (I.1). Inventar scheletic. Aspecte morfometrice. Craniul neural este reprezentat prin scuamele frontală (ortometopă), parietale (moderat aplatizate) și occipitală, piramida pietroasă stângă și fragmente din sfenoid. Din craniul visceral au fost recuperate nazalul și lacrimalul drept, zigomaticile și mandibula. Dentiția este definitivă. Au fost recuperați 10 dinți ($C_{\#}$, P_2 – M_2 stângi; I_2 – M_2 drepti); patru dinți au fost pierduți postmortem (I_1 – I_2 , P_1 stângi; I_1 drept). Scheletul postcranian este relativ bine păstrat; au fost identificate câteva lipsuri: trei vertebre toracale, coccisul, corpul sternal, rotulele, tibia dreaptă, peroneul drept și oasele din scheletul picioarelor. Claviculele sunt gracile, omoplații mezomorfi, humerusii euribrahi, iar ulnele eurolenice. Sacrumul este dolicohieric, femurul stâng platimer și cu pilastru nul, femurul drept platimer cu pilastru slab, iar tibia stângă mezocnemică.

Generalități. Stare de conservare mediocră (grad 3); stare de reprezentare (aproximativ complet); tafonomie (colorație violet: frontal, parietale – endocranian, diafiză radială dreaptă – medial; colorație verzuie: Mc_4 stâng, Mc_5 drept); vârstă la deces (10,0–12,0 ani, copil, *infans II* – grad de erupție și dezvoltare dentară, lungime maximă diafize oase lungi); statură scheletică ($1326,8 \pm 97,0$ mm); greutate scheletică ($25,0$ – $31,2 \pm 0,2$ kg).

Patologie. Tartru dentar (depuneri consistente pe suprafețele labiale și linguale ale I_2 drept și $C_{\#}$, bilateral); rahitism (deformare moderată a diafizelor ulnare și femurale și arcuire marcată la nivelul diafizelor radiale și peroneală stângă, Fig. 6).



Figura 6. Rahitism: arcuire tipică a diafizelor radiale și peroneale stângi [M.3, I.1] / Rickets: typical bowing of the left radial and fibular shafts [M.3, I.1].

Enteze. [C]: l. costoclavicular (3b), l. conoid (2b), l. trapezoid (3b), m. mare pectoral (2b), m. deltoid (3b, Fig. 7); [O]: m. rotund mic (1b), m. triceps brahial (1b); [H]: m. mare pectoral (1b), m. lat dorsal, m. rotund mare (2b), m. deltoid (1b); [R]: m. biceps brahial (1d), m. rotund pronator

(1b), membrană interosoasă (1b); [U]: m. brahial (1b), m. supinator (1b); [F]: m. iliopsoas (1b), m. fesier mare (2b), m. vast medial (1b), linie aspră (1b); [T]: m. solear (1s).

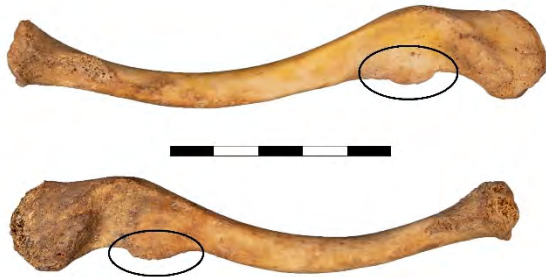


Figura 7. Entesofite: Dezvoltare puternică a mușchiiului deltoid pe clavicule [M.3, I.1] / Enthesophytes: Strong development of the deltoid muscle on the clavicles [M.3, I.1].

Caractere epigenetice. a) dentare – fovee anterioară (M_1 stâng, M_2 drept), hipoconulid (M_1 , bilateral), absență congenitală (M_3 , bilateral); b) craniene – foramen zigomatico-facial (unul larg și unul îngust, stânga; absent, dreapta), curbura sulcus sagital superior (bifurcată), foramen mental (unul, bilateral); c) postcraniene – fosa Allen (bilateral), fosă hipotrohanterică (bilateral), fațetă superioară articulară atlas (singulară, bilateral).

M.3 (I.2). Inventar scheletic. Aspecte morfometrice. Din neurocraniu s-au păstrat fragmente din parietale și temporalul drept. Lipsesc oasele feței (cu excepția zigomaticului drept) și aparatul dento-maxilar. Din scheletul postcranian au fost recuperate doar unele dintre diafizele oaselor lungi, mai mult sau mai puțin întregi: un fragment dintr-un humerus, radiusurile, ulna stângă, femurele, tibiile (euricemică pe stânga) și peroneele.

Generalități. Stare de conservare foarte bună (grad 1); stare de reprezentare (parțial reprezentat); tafonomie (colorație violet: parietale, Fig. 8, temporal drept – endocranian); vârstă la deces (3,1 ani, copil, *infans I* – lungime maximă diafize oase lungi); statură scheletică ($824,4 \pm 97,0$ mm); greutate scheletică ($10,3 \pm 0,2$ kg).

Patologie. Periostită (leziuni active pe diafizele tibiale – medial și inferior, Fig. 9 și pe diafiza peroneală stângă).

Caractere epigenetice. a) craniene – foramen zigomatico-facial (unul larg, dreapta), dehiscență timpanică (dreapta, Fig. 10).



Figura 8. Colorații violet pe parietale, endocranian, rezultat al depunerilor de mangan ($KMnO_4$) [M.3, I.2] / Purple staining on the parietals, endocranial, result of manganese ($KMnO_4$) deposits [M.3, I.2].



Figura 9. Periostită: Leziuni infecțioase active caracterizate prin os nou format pe diafizele tibiale [M.3, I.2] / Periostitis: Active infectious lesions characterized by new bone formation on the tibial shafts [M.3, I.2].



Figura 10. Dehiscență timpanică (foramen Huschke): perforație în porțiunea timpanică a temporalului drept [M.3, I.2] / Tympanic dehiscence (Huschke foramen): perforation on the tympanic plate of the right temporal [M.3, I.2].

M.4: Adâncime: -0,55 m; groapă de reînhumare; suprapus de M.3; au fost observate și urme parțiale ale scriului; fără inventar.

NMI = 4. M.4 (I.1). Inventar scheletic. Aspecte morfometrice. Craniul (inclusiv mandibula) este cvasiîntreg (lipsesc fragmente din frontal și parietalul drept). Este criptozig, ultrabrahicran, hipsicran și tapeinocran. Fruntea are margini divergente și este stenometopă și

camemetopă. Parietalele sunt aplatizate, iar occipitalul este larg și are foramen megosemic. Etajul facial total este euriprosop, cel facial superior, eurien, iar etajul facial mijlociu, leptoprosop. Orbitalele sunt mezoconche, iar nasul, mezin. Arcada alveolară superioară este brahiurană. Palatul este leptostafilin, ortostafilin pe stânga și chemostafilin în dreapta. Indicele dentar este ortognat, iar mandibula, dolicoctenomandibulară, cu gonioanele șterse. Dentiția este definitivă. Au fost recuperați 20 de dinți (I^2 , P^1 – M^2 stângi; $C^\#$ – P^2 dreți; I_1 – $C_\#$, M_1 – M_2 stângi; I_2 – $C_\#$, P_2 – M_2 dreți); opt dinți au fost pierduți postmortem (I^1 , $C^\#$ stângi, I^1 – I^2 dreți, P_1 – P_2 stângi; I_1 , P_1 dreți). Din scheletul postcranian s-au păstrat prima vertebră sacrală, câteva fragmente costale, manubriul sternal, ilionul drept, epifiza distală femurală stângă, epifiza proximală tibială stângă și un tarsian.

Generalități. Stare de conservare bună (grad 1); stare de reprezentare (aproximativ complet); tafonomie (colorație violet: frontal, parietal stâng, temporale, sfenoid – exocranian; ilion drept – lateral și medial); vârstă la deces (12,0–15,0 ani \pm 30–36 luni, adolescent – grad de erupție și dezvoltare dentară).

Patologie. Hiperostoza porotică (leziuni active ale *cribrei orbitalia* pe plafonul orbitelor, Fig. 11).

Caractere epigenetice. a) dentare – incisiv lopățică (I^2 stâng, Fig. 12), cuspid mezial (P^1 drept), fovee anterioară (M_2 , bilateral), hipoconulid (M_1 , bilateral); b) craniene – șanț supraorbital (bilateral), foramen zigomatico-facial (dreapta), foramen parietal (bilateral), osicule lambdoide (dreapta), canal condilar (deschis), foramen mastoidal (unul, pe temporal, stânga; unul, pe occipital, dreapta), foramen mental (unul, bilateral).

M.4 (I.2). Inventar scheletic. Aspecte morfometrice. Din neurocraniu s-au păstrat frontalul, temporalul stâng, un fragment din piramida pietroasă dreaptă, bazioccipitalul și fragmente din sfenoid. Din craniul visceral au fost recuperate zigomaticul stâng, fragmente din maxile și mandibula (dolicoctenomandibulară). Dentiția este mixtă. Au fost recuperați 18 dinți (m^1 – M^1 stângi; i^1 – M^1 dreți, i_1 – i_2 , m_1 – m_2 stângi, i_1 – m_2 dreți), niciunul, definitiv, erupt; patru dinți au fost pierduți postmortem (i^1 – $c^\#$ stângi, $c_\#$ stâng). Din scheletul postcranian au fost recuperate câteva fragmente de arcuri vertebrale, fragmente costale, resturi din omoplați, dintr-un femur și dintr-o tibie și oase de la mâini/picioare.

Generalități. Stare de conservare bună (grad 2); stare de reprezentare (parțial reprezentat); tafonomie (colorație violet/negricioasă: frontal – exocranian); vârstă la deces (2,0 ani \pm 18 luni, *infant* – grad de erupție și dezvoltare dentară).

Patologie. Hiperostoza porotică (leziuni active ale *cribrei orbitalia* pe plafonul orbitelor); periostită (leziuni active pe o diafiză tibială).

Caractere epigenetice. a) craniene – foramen zigomatico-facial (două largi, stânga), foramen mental (dreapta).

Pe lângă rămășițele osteologice ale acestor doi indivizi, au mai fost identificate câteva resturi scheletice, ce provin de la alți doi indivizi:



Figura 11. Cribra orbitalia: zone poroase și os îngroșat pe plafonul orbitelor [M.4, I.1] / Cribra orbitalia: porous areas and thickened bone on the orbital roof [M.4, I.1]



Figura 12. Incisiv superior lateral stâng de tip lopățică, cu creste pe marginile linguale [M.4, I.1] / Shovel-shaped upper left lateral incisor, with lingual marginal ridges [M.4, I.1].

M.4 (I.3). Inventar scheletic. Din schelet au fost recuperate câteva resturi osteologice: temporalul stâng, un fragment vertebral, extremitatea distală peroneală stângă și câteva oase de la mâini și de la picioare.

Generalități. Stare de reprezentare (slab reprezentat); categorie de vârstă (adult – oase epifizate, comparație dimensională).

M.4 (I.4). Inventar scheletic. Este documentat prin epifizele distale femurale, nesudate, apreciate ca aparținând unui individ adolescent.

Generalități. Stare de reprezentare (slab reprezentat); categorie de vârstă (adolescent – oase neepifizate, comparație dimensională).

M.5: Adâncime: -0,70 m; groapă de reînhumare; suprapune M.6.; inventar funerar: copcă de bronz, fire metalice aurite de la veșminte, monedă de argint.

NMI = 2. M.5 (I.1). Inventar scheletic. Aspecte morfometrice. Craniul este bine păstrat, cvasiîntreg, în conexiune anatomică; prezintă distrugereri la nivelul feței,

pe linie mediană, în dreptul maxilelor. Este moderat în lungime, foarte îngust și mezocran. Are înălțimi mijlocii și este orto-/hipsicran și metriocran. Fruntea este îngustă conform lățimii minime, foarte îngustă, potrivit lățimii maxime, cu margini ovale, metriometopă și camemetopă. Parietalele au applatizare mijlocie. Occipitalul este larg și are foramen megosemic. Fața este foarte lată. Orbita dreaptă este îngustă, înaltă și hipsiconchă, iar palatul este chemostafilin. Mandibula este îngustă, intercondilar și intergonional, are gonioanele ușor răsfrânte și este dolicoostenomandibulară. Dentiția este definitivă. Au fost recuperați 20 de dinți ($C^\#$, M^2-M^3 stânga, I^1-P^1 , M^1-M^3 dreapta, I_2-M_2 stânga, I_2-P_2 , M_2 dreapta); patru dinți au fost pierduți postmortem (I^1-I^2 stânga, I_1 stâng, I_1 , M_1 dreapta). Scheletul postcranian este aproximativ complet și prezintă câteva distrugereri (coaste²⁷, vertebre, omoplați) și lipsuri (fragmente din extremitatea proximală humerală stângă, treimea distală ulnară dreaptă, pubisurile, extremitățile tibială și peroneală stângă și falangele de la picioare). Claviculele sunt gracile, iar cea dreaptă este scurtă. Humerusul drept este euribrah, radiusul drept, relativ scurt, iar ulnele sunt eurolenice. Sacrumul este platihieric. Femurul stâng este eurimer și are pilastrul slab, iar femurul drept este platimer și are pilastru nul. Rotulele sunt largi, tibia stângă este mezocnemică, iar cea dreaptă, platicnemică și dolicoenemică.

Generalități. Stare de conservare mediocră (grad 3); stare de reprezentare (aproximativ complet); tafonomie (colorație violet-negricioasă: pe cea mai mare parte a oaselor – de la mici „insule”, până la suprafețe puțin mai exinse; colorație intens verzuie: două falange din rândul proximal de la mâini; exfolieri marcate: lamină externă – pe partea dreaptă a craniului); sex (feminin – coxale, craniu); vârstă la deces (44,8 ani, adult matur – suprafețe auriculare, suturi craniene); statură scheletică ($155,4 \pm 3,6$ cm, mijlocie); greutate scheletică ($56,8 \pm 0,2$ kg).

Patologie. Sacralizarea Ccg₁ (completă, bilaterală, simetrică, Fig. 13); carii dentare (I^2 , P^1 dreapta, I_2 stâng, I_2 , P_2 dreapta – distal; $C^\#$ drept – mezial); resturi radiculare (M^2 stâng); pierderi dentare antemortem (P^1-M^1 stânga; P^2 drept); anchiloză piciorului drept (parțială, exprimată prin sudarea navicularului, cuneiformelor I, II și III, Mt_2 și Mt_3 (Fig. 14).

Enteze. [C]: l. costoclavicular (3s/2d), l. conoid (1s/2d), l. trapezoid (2b), m. mare pectoral (1b), m. deltoid (2b); [O]: m. rotund mic (1s/2d), m. triceps brahial (1s/d2); [H]: m. lat dorsal, m. rotund mare (3d), m. deltoid (1b), m. brahioradial (2b); [R]: m. biceps brahial (2s), m. rotund pronator (1b), membrană interosoasă (2s/1d); [U]: m. triceps brahial (3b), m. brahial (2b), m. supinator (2b); [F]: mare trohanter (3b), m. iliopsoas (2b), m. fesier mare (3b), m. vast medial (2s/1d), linie aspră (1b); [r]: t. cvadricipital (1b); [T]: l. patelar (1b), m. solear (2b).



Figura 13. Sacralizare: sudarea completă a primei vertebre coccigiene la sacrum [M.5, I.1] / Sacralization: complete fusion of the first coccygeal vertebra to the sacrum [M.5, I.1].



Figura 14. Anchiloză poliarticulară parțială a piciorului drept, exprimată prin fuziunea unor tarsiene (navicular, cuneiforme I, II și III) și metatarsiene (Mt_2 , Mt_3) [M.5, I.1] / Partial polyarticular ankylosis of the right leg, expressed by the fusion of some tarsals (navicular, cuneiform I, II and III) and metatarsals (Mt_2 , Mt_3) [M.5, I.1].

Caractere epigenetice. a) dentare – absență congenitală (M_3 , bilateral); b) craniene – sutură supranazală, șanț supraorbital (bilateral), foramen zigomatico-facial (unul îngust, dreapta), foramen parietal (bilateral), foramen spinos (incomplet), foramen mastoidal (unul, sutural, stânga), proces stiloid (bilateral), foramen mental (unul, bilateral); c) postcraniene – fosă Allen (stânga), sulcus preauricular (bilateral), fosă romboidă (stânga), fațetă articulară acromială (stânga), sulcus circumflex (dreapta).

M.5 (I.2). Inventar scheletic. Aspecte morfometrice. Au fost recuperate trei fragmente vertebrale (o cervicală, o toracală și o lombară), câteva fragmente costale, elemente de pe partea stângă a corpului (diafiza humerală, rotula, tibia și peroneul), precum și oase din scheletul picioarelor. Tibia stângă este euricnemică.

Generalități. Stare de conservare bună (grad 2); stare de reprezentare (slab reprezentat); tafonomie (colorație verzui/negricioasă: diafiza humerală dreaptă); vârstă la

²⁷ Fragmentele costale nu au putut fi alocate cu exactitate unuia dintre cei doi indivizi descoperiți în M.5.

deces (10,6–10,8 ani, copil, *infans* II – lungime maximă diafize oase lungi); statură scheletică (1328,3 ± 97 mm); greutate scheletică (29,6 ± 0,2 kg).

Caractere epigenetice. b) postcraniene – suprafață articulară talară inferioară (singulară, bilateral).

M.6: Adâncime: -0,80 m; deranjat parțial; decubit dorsal; brațele așezate pe bazin; anterior lui M.5; inventar funerar: inel sigilar de argint.

NMI = 2. M.6 (I.1). Inventar scheletic. Aspecte morfometrice. De la nivelul craniului s-a păstrat un fragment din dreptul condilului mandibular stâng și I¹ stâng, definitiv. Din segmentul postcranian s-au păstrat câteva fragmente vertebrale și costale, claviculele, omoplații, fragmente din ilioane, rotula stângă și oase din scheletul mâinilor și picioarelor. Dintre oasele lungi lipsesc radiusul, ulna și femurul drept. Humerușii sunt euribrahii, iar ulna stângă, eurolenică. Femurul stâng este platimer și are pilastru slab. Tibiile sunt platicnemice, iar cea stângă este dolicoanemică.

Generalități. Stare de conservare foarte bună (grad 1); stare de reprezentare (aproximativ complet); tafonomie (colorație intens verzuie: două falange din rândul proximal și una din rândul intermediar de la mâini); sex (masculin – morfologie distală humerus, dimensiuni astragal și calcaneu, caracteristici generale); categorie de vârstă (adult matur/adult bătrân – modificări degenerative în general avansate la nivelul întregului schelet); greutate scheletică (64,4 ± 0,2 kg).

Patologie. Osteoartroză (osteofite și suprafețe poroase: exprimări marcate pe corpurile a trei vertebre cervicale și pe un corp vertebral toracal; la nivelul capetelor primelor coaste; în extremitatea laterală claviculară dreaptă; pe acromionul drept; eburnație: pe fațetele articulare inferioare a unei vertebre toracale și uneia lombară, Fig. 15); periostită (leziuni vindecate în treimea diafizară humerală stângă, anterior, Fig. 15).

Enteze. [C]: l. costoclavicular (1d), l. conoid (1d), l. trapezoid (1d), m. mare pectoral (1b), m. deltoid (2b); [O]: m. rotund mic (3b), m. triceps brahial (3b); [H]: m. mare pectoral (2b), m. lat dorsal, m. rotund mare (2b), m. deltoid (3b, Fig. 16), m. brahioradial (3b); [R]: m. rotund pronator (2s), membrană interosoasă (2s); [U]: m. triceps brahial (2s), m. brahial (2s); [F]: m. fesier mare (2s), m. vast medial (2s), linie aspră (2s); [r]: t. cvadricipital (2d); [T]: l. patelar (1b), m. solear (2b); [c]: t. Ahile (2b), t. adductor haluce, t. flexor scurt degete (1b).

Caractere epigenetice. a) postcraniene – fațete articulare laterale tibiale (bilateral), apertură septală (bilateral), sulcus circumflex (bilateral), șanț mușchi vast lateral (dreapta, Fig. 17), suprafață articulară talară inferioară (singulară, bilateral), formă fațetă superioară articulară atlas (singulară, bilateral).



Figura 15. Osteoartroză vertebrală: eburnație pe fațetele articulare inferioare a unei vertebre lombare [M.6, I.1] / Vertebral osteoarthritis: eburnation on the lower articular facets of a lumbar vertebra [M.6, I.1].

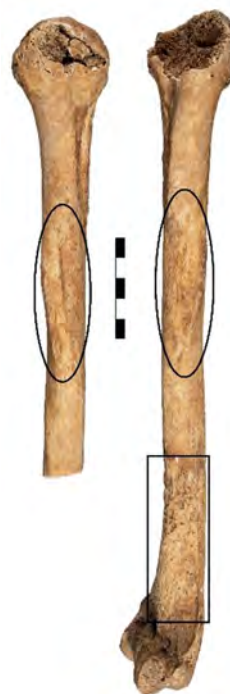


Figura 16. Leziuni periostite vindecate (dreptunghi) și dezvoltare puternică a mușchii deltoid pe diafizele humerale (oval) [M.6, I.1] / Healed periosteal lesions (rectangle) and strong development of the deltoid muscle on the humeral shafts (oval) [M.6, I.1].

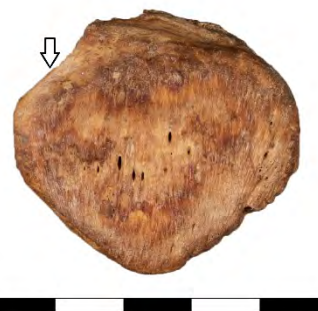


Figura 17. Șanț mușchi vast lateral pe rotula dreaptă, anterior [M.6, I.1] / Vastus lateralis notch on right patella, anterior [M.6, I.1].

M.6 (I.2). Inventar scheletic. Aspecte morfometrice. Craniul este documentat doar prin zigomaticul drept. Din scheletul postcranian s-au păstrat resturi din coloana vertebrală (trei vertebre cervicale, cinci toracale, trei lombare și prima vertebră sacrală), câteva fragmente costale, clavicula stângă, fragmente din coxale, diafizele oaselor lungi (fără ulna stângă) și câteva oase de la mâini și picioare. Dintre oasele lungi, doar diafizele radială stângă, femurale (femurul stâng este eurimer și are pilastru puternic, iar femurul drept este platimer și are pilastru mediu) și tibială dreaptă sunt întregi. Tibiile sunt euristicemice.

Generalități. Stare de conservare mediocră (grad 3); stare de reprezentare (parțial reprezentat); tafonomie (colorație violet-negricioasă: tibii, peroneu drept – în extremitatea distală; exfolieri și decolorări: pe majoritatea suprafețelor osoase postcraniene); vârstă la deces (12,2–13,0 ani, adolescent – lungime maximă diafize oase lungi).

Patologie. Periostită (leziuni active, slab exprimate, pe diafizele tibiale – anterior și medial, pe astragalul stâng și pe calcaneu).

Enteze. [C]: l. costoclavicular (1s), l. conoid (1s), l. trapezoid (1s), m. mare pectoral (1s), m. deltoid (1s); [R]: m. biceps brahial (1s), m. rotund pronator (1s), membrană interosoasă (1s); [F]: m. fesier mare (1b), m. vast medial (1b), linie aspră (1b); [T]: l. patelar (1b), m. solear (1b).

Caractere epigenetice. a) craniene – foramen zigomatico-facial (multiple foramene înguste, dreapta); b) postcraniene – fosă Allen (bilateral), fosă hipotrohanterică (bilateral), suprafață articulară talară inferioară (dublă, bilateral), fațetă dublă calcaneală anterioară (bilateral), fațetă superioară articulară atlas (singulară, bilateral).

M.7: Adâncime: -0,80 m; decubit dorsal; brațele încrucișate pe abdomen; picioarele întinse; orientare V–E; inventar funerar: inel sigilar din argint aurit inscripționat cu numele „BĂLAȘA”, pe inelarul mâinii stângi; NMI = 1.

Inventar scheletic. Aspecte morfometrice. Din craniul neural s-au păstrat fragmente din calvarie, din temporale și din porțiunea bazală a occipitalului. Fruntea este foarte îngustă conform lărgimilor minimă și maximă și are margini ovale. Scheletul feței este fragmentar; au fost identificate zigomaticile, maxilele și mandibula. Dentiția este definitivă. Au fost recuperați nouă dinți (I^1 – P^1 stângi, P^1 – P^2 drepti, $C_{\#}$ stâng, $C_{\#}$ drept +1 M superior); patru dinți au fost pierduți postmortem (P^2 stâng, I_1 – I_2 stângi, I_1 drept). Scheletul postcranian este în general foarte fragmentar, cu numeroase distrugerii și lipsuri (în special în jumătatea superioară). Lipsește cea mai mare parte a vertebrelor și coastelor, sternul, clavicula stângă, omoplații, ischioanele, pubisul stâng și rotulele. Singurul os lung întreg este femurul drept (hiperplatimer și cu pilastru nul). Tibia dreaptă este mezocnemice.

Generalități. Stare de conservare precară (grad 4); stare de reprezentare (aproximativ complet); tafonomie (colorație negricioasă: pe parietalul drept – exocranial;

colorație violet: în special exocranial, penetrând și diplœa; colorație verzuie: claviculă dreaptă – extremitatea medială); sex (feminin – coxale, craniu); vârstă la deces (57,1 ani, adult bătrân – simfize pubiene, suprafețe auriculare, suturi craniene); statură scheletică ($150,3 \pm 3,3$ cm, submijlocie); greutate scheletică ($61,6 \pm 0,2$ kg).

Patologie. Cariii dentare (P^1 stâng – mezial și distal; 1 molar superior – distal); resturi radiculare ($C_{\#}$ stâng); pierderi dentare antemortem (P_1 – M_2 , $M_3?$ stângi; I_2 , P_1 – P_2 drepti, Fig. 18); osteoartroză (osteofite și suprafețe poroase: pe corpurile vertebrale a trei cervicale; pe două fațete articulare toracale/lombare).



Figura 18. Pierderi dentare antemortem (P_1 – M_2 , $M_3?$ stângi; I_2 , P_1 – P_2 drepti), mandibulă, anterior [M.7] / Antemortem tooth loss (left P_1 – M_2 , $M_3?$; right I_2 , P_1 – P_2), mandible, anterior [M.7].

Enteze. [F]: mare trohanter (2s), m. iliopsoas (2s), m. fesier mare (3s), m. vast medial (2s), linie aspră (2b); [T]: l. patelar (1d), m. solear (2d); [c]: t. adductor haluce, t. flexor scurt degete (1b).

Caractere epigenetice. a) craniene – șanț supraorbital (bilateral), foramen zigomatico-facial (unul larg, stânga), foramen parietal (dreapta), curbura sulcus sagital superior (la dreapta), foramen mastoidal (unul, pe temporal, stânga), foramen mental (unul, stânga); b) postcraniene – placă femurală (stânga), exostoze la fosa trohanterică (stânga), fațete articulare laterale tibiale (stânga), suprafață articulară talară inferioară (dublă, bilateral), fațetă dublă calcaneală anterioară (bilateral), fațetă superioară articulară atlas (singulară, stânga).

CÂTEVA DISCUȚII ȘI CONCLUZII

În urma stabilirii NMI pentru fiecare dintre cele șapte complexe funerare în parte și realocării unor piese scheletice din cadrul mormintelor, au rezultat 17 indivizi. În baza descrierii arheologice a complexelor funerare, dar și, în aceeași măsură, a observațiilor antropologice, au fost efectuate trei reatribuiri, care fac referire la trei morminte: M.3, M.4 (deranjat de M.3) și M.5. Astfel, o mandibulă din M.3 s-a dovedit a fi cea a individului numerotat M.4 (I.1). O diafiză femurală identificată în M.5 a fost repartizată lui M.3 (I.2). O ultimă realocare a fost cea a unei epifize distale femurale stângi, tot din M.5, care a fost împerecheată cu cea din M.4 (I.4). În ceea ce privește resturile scheletice din M.2 și din M.7, acestea provin de la câte un singur individ, aspect care confirmă și observațiile arheologice. Din M.1, M.5 și M.6 (deranjat de M.3 și de M.5), ultimele două reînhumări, nu a fost posibilă nicio atribuire. Facem precizarea că, în realitate, numărul indivizilor descoperiți în pronaosul bisericii de la Pitaru ar putea fi mai mic, în schimb, nu avem suficiente argumente care să ne permită să repartizăm cu exactitate și alte fragmente scheletice, în special ale indivizilor documentați prin câteva oase, cum ar fi, de exemplu, cele din M.1 (I.3, I.4 și I.5) sau din M.4 (I.3 și I.4). Pentru a nu crea confuzie, menționăm faptul că în aceste două complexe funerare, majoritare sunt resturile scheletice de la doi indivizi. Pe lângă rămășițele osteologice ale acestora, au mai putut fi identificate câteva piese scheletice, puține la număr, ceea ce ne face să credem că au fost antrenate, din vechime, în timpul reînhumării/reînhumărilor sau accidental, în timpul cercetărilor arheologice sau analizei oaselor în laborator.

Cu excepția M.1 (deranjat și reînhumat), în fiecare dintre celelalte șase morminte (M.2-M.7) a fost identificat un schelet aproximativ complet. Aceasta cu toate că, așa cum am precizat, doar M.2 și M.7 sunt nederanjate, restul fiind afectate mai mult sau mai puțin de intervenții postdepoziționale, ulterioare înhumărilor. Celelalte resturi scheletice însumează indivizi parțial reprezentați (cinci) și slab reprezentați (șase).

Starea de conservare a osemintelor a fost evaluată pentru 11 dintre indivizi, în special pentru cei parțial reprezentați și cei aproximativ compleți. În patru cazuri întâlnim schelete mediocru conservate (grad 3), în câte trei situații indivizi foarte bine (grad 1) și bine păstrați (grad 2), iar două schelete au o stare precară de conservare (grad 4).

La 11 indivizi au fost înregistrați și câțiva markeri tafonomici, în general asociați cu acțiunea diferiților agenți și procese din solul/mediul în care s-au descompus. Facem precizarea că felurite modificări tafonomice pot

afecta același individ, aspect constatat și în lotul analizat. Astfel, cel mai frecvent apar diverse colorații/pigmentări dispuse eterogen pe suprafața oaselor. Dintre acestea culoarea verde apare la șase indivizi, doar pe scheletul postcranian (în două situații intens exprimată) și reprezintă rezultatul probabil al impregnării cu oxizi de cupru proveniți din inventarul funerar al defuncțiilor. Alte două colorații de bază identificate în lotul de la Pitaru sunt cea violet, destul de rar întâlnită în materialele scheletice fosile umane și care a fost observată la patru indivizi (întotdeauna pe oasele craniului, endo- și exocranian, dar și postcranian, în două cazuri) și pigmentația neagră, prezentă la doi subiecți (cranian și postcranian). Ambele colorații sunt puse pe seama manganului, element abundent în sol, prezent în multe minerale și care, în funcție de starea sa, poate forma compuși cu culori diferite, care pot colora și oasele în culori diferite. De exemplu, dioxidul de mangan (MnO₂) va păta oasele cu negru²⁸, iar ionul permanganat (KMnO₄) poate conferi osului o culoare violetă²⁹. Culoarea purpurie mai poate constitui și rezultatul prezenței în sol a fierului, zincului sau cuprului³⁰. De asemenea, au fost observate și combinații între diferite colorații: violet/negricioasă (la trei indivizi) sau verzui-negricioasă (la doi indivizi). Tot sub acțiunea agenților tafonomici au fost constatate și exfolieri ale periostului, mai intense sau mai ușoare (la patru indivizi), exfolieri ale laminei externe a oaselor craniene (la un individ) sau oase decolorate (la un individ).

În urma determinării sexului au fost identificați cinci indivizi de sex feminin și unul de sex masculin. Estimările vârștelor ne fac cunoscută o frecvență mai ridicată a deceselor la grupa subadultilor: 10 indivizi, reprezentând 58,8% din totalul celor identificați – doi indivizi din categoria *infant* și câte patru din categoriile copil și adolescent. Repartiția pe categorii de vârstă a indivizilor adulți ne indică faptul că cei mai numeroși sunt adulții bătrâni (trei: 17,6% din totalul indivizilor analizați). Restul de patru indivizi au fost distribuiți, în câte un caz, în clasele de vârstă adult tânăr, adult matur sau în categoria celor cu vârste incerte (adult tânăr/matur și adult). Numărul mare de decese în rândul subadultilor se reflectă cel mai bine în bolile pe care le-am identificat la unii dintre indivizi, în special cele legate de carențe vitaminice sau ale unor minerale. Astfel, în două cazuri, la un individ din categoria *infant* și la un adolescent, au fost observate leziuni active ale *cribrei orbitalia* pe plafonul orbitelor. Manifestările se prezintă morfologic ca zone poroase și os îngroșat rezultat din hipertrofia diplœi³¹. Cel mai adesea, din punct de vedere etiologic, astfel de manifestări sunt asociate cu anemia³², un deficit de celule roșii în sânge și implicit de hemoglobină (Hb). Anemia poate fi ereditară (talasemie și siclemie) sau dobândită (anemie feriprivă). Studii mai

²⁸ Fernández-Jalvo, Andrews 2016, p. 156.

²⁹ Dupras, Schultz 2013, p. 325.

³⁰ Cole, Waldron 2016.

³¹ Keenleyside, Panayotova 2006, p. 373.

³² Wapler *et alii* 2004.

recente arată că, pe lângă fier, component-cheie al Hb, alți nutrienți necesari întreținerii homeostaziei eritrocitare includ aminoacizi esențiali și vitamine: A, B₁₂ (cobalamina), B₉ (acidul folic), B₆ (piridoxina). Dintre aceștia, se pare că deficiența nutrițională a vitaminei B₁₂ este un factor predispozant esențial în apariția *cribrei orbitalia*. Pe lângă aceasta, vitamina B₁₂ intervine și în buna funcționare a nervilor, carența acesteia având și implicații comportamentale, asociate cu probleme neurologice debilitante (paranoia, depresia, mania, psihozele și demența)³³.

O altă maladie, prezentă la un adolescent, o reprezintă rahismul, cauza apariției acesteia fiind legată de lipsa aportului de vitamina D, factor esențial în metabolismul calciului și fosforului³⁴. Manifestările cuprind deformări (arcuiri), mai mult sau mai puțin evidente, ale diafizelor radiale, ulnare, femurale și peroneale, rezultat al demineralizării oaselor.

Altă manifestare patologică observată la nivelul scheletului indivizilor subadulți este reprezentată de periostită, o infecție nonspecifică a osului, prezentă la patru indivizi (trei subadulți și un adult). În cadrul subadulților, manifestările sunt active și exprimate sub forma unor scobituri fine și striții longitudinale pe suprafața corticală originală a osului. La individul adult, leziunile periostitice sunt vindecate și se manifestă prin îngroșări ale osului (scleros, fibros). Manifestările apar în general pe tibii, dar sunt afectate și alte oase (humerus, peroneu, astragal, calcaneu). Periostita este privită, în mod obișnuit, ca un marker traumatic sau infecțios, în schimb reacții periostitice pot apărea și ca urmare a unui dezechilibru nutrițional, cum ar fi, de exemplu, hemoragiile osoase rezultate din deficiența vitaminei C (necesară pentru combaterea infecțiilor), care pot duce la proliferarea de os nou³⁵.

În cazul indivizilor adulți, pe lângă o anomalie congenitală (sacralizarea primei coccigiene la sacrum), am identificat exclusiv boli dentare (carii dentare, resturi radiculare, pierderi dentare antemortem și tartru dentar) și articulare (osteoartroză, hernie intervertebrală și anchiloza unui picior). Bolile dentare ne pot oferi informații în legătură cu dieta, statusul igienei orale, stresul dentar, comportamentul cultural sau economia de subzistență a unei comunități³⁶. Cinci din șase indivizi adulți prezintă cel puțin o boală dentară; aparatul dento-maxilar al celui de-al șaselea individ lipsește aproape în totalitate. Cele mai numeroase sunt pierderile antemortem (la cinci indivizi), urmate de prezența resturilor radiculare (la patru indivizi), carii dentare și

tartru dentar (la câte trei indivizi). Principala cauză a pierderilor dentare o constituie boala parodontală (parodontoza). Cariile dentare sunt foarte avansate, uneori structura dinților fiind aproape în întregime distrusă, redusă la câteva resturi radiculare.

Bolile articulare sunt asociate, de regulă, cu înaintarea în vârstă și cu efortul fizic susținut întreprins de-a lungul vieții unui individ. Dintre acestea, cel mai frecvent (la patru indivizi) apare osteoartrita, manifestată prin osteofite, suprafețe poroase și eburnație. În toate cazurile este localizată pe coloana vertebrală. Alte zone ale corpului în care au fost observate manifestări degenerative de tip osteoartritic sunt: articulațiile costo-vertebrale, articulația umărului, cotului, genunchiului, gleznei, mâinilor și picioarelor. Pe lângă patologii articulare, într-un singur caz, au fost observate și entezopatii, modificări patologice ale entezelor, al căror substrat (tulburări traumatiche, degenerative, inflamatorii, endocrine, metabolice) este dificil de apreciat în lipsa unor studii radiologice³⁷. Tot la un individ au fost constatate și hernieri intervertebrale, documentate prin prezența nodurilor Schmorl. O manifestare interesantă o constituie anchiloza piciorului drept al unui individ, aspect patologic care apare în numeroase boli congenitale ori cronice care implică articulațiile.

Cele câteva staturi și greutate scheletice calculate nu pot fi luate în considerare sub raport statistic. De altfel, micul lot scheletic descoperit în pronaosul bisericii de la Pitaru nu poate fi privit în acest mod nici în ceea ce privește gradul de dezvoltare al entesofitelor sau prezența caracterelor epigenetice. Pentru comparația cu alte oseminte din același orizont cronologic ne-am limitat în studiul de față doar la înregistrarea acestora.

Lipsa unor note documentare de arhivă publicate cu privire la lăcașul de cult de la Pitaru conferă o importanță sporită informațiilor arheologice și analizei antropologice a resturilor scheletice. Analize antropologice efectuate pe loturi scheletice descoperite în interiorul (pronaos sau naos) unor biserici sau mănăstiri medievale din Țara Românească sunt sporadice. Osemintele aparțin, de obicei, membrilor familiilor ctitorilor acestor edificii de cult, iar uneori provin chiar din familii domnitoare ale Țării Românești. Este cazul unui lot osteologic care numără cel puțin 12 indivizi cercetați la Biserica Sfântul Gheorghe Nou din București³⁸ sau a resturilor scheletice a patru indivizi descoperiți în Biserica Mare a Mănăstirii Hurezi (jud. Vâlcea)³⁹. O altă analiză antropologică a fost efectuată pe două schelete descoperite în biserica Mănăstirii Valea (jud. Argeș)⁴⁰.

³³ Walker *et alii* 2009.

³⁴ Ortner 2003, p. 393.

³⁵ DeWitte 2014, p. 38.

³⁶ Roberts, Manchester 2003, p. 63.

³⁷ Resnick, Niwayama 1983.

³⁸ Constantinescu, Soficaru 2014.

³⁹ Vasile 2016.

⁴⁰ Cristocea *et alii* 2014 (analiza antropologică a fost efectuată de Anamaria Diana, University of Edinburgh).

Mormânt	Sex	Vârstă	Statură	Greutate	Patologie
M.1 (I.1)	F	> 51,5/AB	156,4 cm	67,1	Resturi radiculare; pierderi dentare antemortem; osteoartroză; hernie intervertebrală
M.1 (I.2)	F?	AT	–	–	Pierderi dentare antemortem; tartru dentar
M.1 (I.3)	–	0,0–0,5/I	–	–	–
M.1 (I.4)	–	C	–	–	–
M.1 (I.5)	–	C	–	–	–
M.2	F	> 51,5/AB	163,5 cm	–	Carii dentare; resturi radiculare; pierderi dentare antemortem; tartru dentar; osteoartroză; entezopatii
M.3 (I.1)	–	10,0–12,0/Ad	1326,8 mm	25,0–31,2	Tartru dentar; rahitism
M.3 (I.2)	–	3,1/C	824,4 mm	10,3	Periostită
M.4 (I.1)	–	12,0–15,0/Ad	–	–	<i>Cribră orbitalia</i>
M.4 (I.2)	–	2,0/I	–	–	<i>Cribră orbitalia</i> ; periostită
M.4 (I.3)	–	AD	–	–	–
M.4 (I.4)	–	Ad	–	–	–
M.5 (I.1)	F	44,8/AM	155,4 cm	56,8	Sacralizarea Ccg1; carii dentare; resturi radiculare; pierderi dentare antemortem; anchiloză picior drept
M.5 (I.2)	–	10,6–10,8/C	1328,3 mm	29,6	–
M.6 (I.1)	B	AM/AB	–	64,4	Osteoartroză; periostită
M.6 (I.2)	–	12,2–13,0/Ad	–	–	Periostită
M.7	F	57,1/AB	150,3 mm	61,6	Carii dentare; resturi radiculare; pierderi dentare antemortem; osteoartroză

Table 1. Tablou sinoptic cu principalele caracteristici evidențiate la indivizii analizați / Synoptic table with the main characteristics highlighted in the analysed individuals.

Dimensiuni și indici	M.3 (I.1)	M.3 (I.2)	M.4 (I.1)	M.4 (I.2)	M.5 (I.2)	M.6 (I.2)
1. G – Op			153,5			
8. Eu – Eu			141,2			
I1. (8 : 1) × 100			92,0			
17. Ba – B			118,0			
20. Po – B			101,2			
I2. (17 : 1) × 100			76,9			
I3. (17 : 8) × 100			83,6			
I4. (20 : 1) × 100			65,9			
I5. (20 : 8) × 100			71,6			
9. Ft – Ft			88,9	86,3		
10. Co – Co	117,9		114,6			
I12. (9 : 10) × 100			77,6			
I13. (9 : 8) × 100			62,9			
26. Arc N – B	126,0		110,0			
29. Coardă N – B	102,3		114,0			
I22. (29 : 26) × 100	81,2		103,6			
27. Arc B – L	118,0		95,0			
30. Coardă B – L	104,6		99,7			
I24. (30 : 27) × 100	88,6		105,0			
12. Ast – Ast	107,2		112,8			
I14. (12 : 8) × 100			79,9			
7. Ba – O			35,6			
16. ⊥ 17			29,9			
I33. (16 : 17) × 100			84,1			
45. Zy – Zy			117,4			
47. N – Gn			95,8			
48. N – Pr			58,4			

I38. (47 : 45) × 100			81,5			
I39. (48 : 45) × 100			49,7			
46. Zm – Zm			77,7			
I39(1). (48 : 46) × 100			75,2			
51. Mf – Ek			40,6/40,4			
52. ⊥ 51			31,3/31,1			
I42. (52 : 51) × 100			77,0/77,0			
54. Al – Al			21,2	16,2		
55. N – Ns			43,0			
I48. (54 : 55) × 100			49,4			
60. Pr – Alv			40,3			
61. Ekm – Ekm			55,9			
I54. (61 : 60) × 100			138,6			
62. Ol – Sta			45,4			
63. Enm – Enm			29,5			
64. În spatele M ¹			7,9/7,2			
I58. (63 : 62) × 100			65,1			
I59. (64 : 63) × 100			26,8/24,5			
5. N – Ba			90,4			
40. Ba – Pr			85,8			
I60. (40 : 5) × 100			95,0			
65. Kdl – Kdl			96,3	80,8		
66. Go – Go			78,4	61,9		
68. Pg – Plan tangent Go			78,4	64,4		
I62. (68 : 65) × 100			81,4	79,7		
C1	112,5/118,8					
C6	25,0/25,0					
(C6 : C1) × 100	22,2/21,0					
O1	109,9/111,3					
O2	72,9/74,3					
(O2 : O1) × 100	66,3/66,8					
H1	240,1/246,7					
H5	15,5/15,5					
H6	13,1/13,9					
(H6 : H5) × 100	84,5/89,9					
R1	-/172,6					191,2/-
U1	189,9/-					
U13	14,7/15,2					
U14	17,6/17,6					
(U13 : U14) × 100	83,8/86,6					
S2	78,1					97,5
S5	59,6					
(S5 : S2) × 100	76,3					
F1	318,1/318,5					372,3/375,8
F6	17,6/19,3					25,0/24,9
F7	19,5/18,9					20,7/22,1
F9	22,9/26,1					25,6/26,2
F10	19,4/20,3					22,1/21,4
F21	54,3/53,7	34,4/-				-/66,8

(F6 : F7) × 100	90,2/101,9				121,0/112,5
(F10 : F9) × 100	84,8/78,0				86,2/81,9
P2				30,3/-	
T1a	265,7/-	122,7/-		266,1/-	-/296,2
T8	22,4/-	11,4/-		20,7/-	-/25,1
T8a	27,4/-	12,1/-		23,6/-	30,2/28,2
T9a	18,9/-	12,5/-		18,7/-	21,5/21,5
(T9a : T8a) × 100	69,1/-	102,8/-		79,4/-	71,3/76,5
P1				255,9/-	

Table 2. Dimensiuni și indici, cranian și postcranian, la indivizii subadulți de la Pitaru / Dimensions and indices, cranial and postcranial, in subadult individuals from Pitaru.

Dimensiuni și indici	M.1 (I.1)	M.1 (I.2)	M.2	M.5 (I.1)	M.6 (I.1)	M.7
1. G – op			182,2	172,8		
8. Eu – Eu	132,7			134,7		
I1. (8 : 1) × 100				77,9		
17. Ba – B				128,0		
20. Po – B				112,1		
I2. (17 : 1) × 100				74,1		
I3. (17 : 8) × 100				95,0		
I4. (20 : 1) × 100				64,9		
I5. (20 : 8) × 100				83,2		
9. Ft – Ft			98,3	92,5		85,1
10. Co – Co				105,7		102,4
I12. (9 : 10) × 100				87,5		83,0
I13. (9 : 8) × 100				68,6		
26. Arc N – B				126,0		
29. Coardă N – B				114,5		
I22. (29 : 26) × 100				90,9		
27. Arc B – L				115,0		
30. Coardă B – L				101,4		
I24. (30 : 27) × 100				88,2		
12. Ast – Ast	112,1		108,0	106,4		
I14. (12 : 8) × 100	84,5			79,0		
7. Ba – O				34,5		
16. ⊥ 17				28,5		
I33. (16 : 17) × 100				82,7		
45. Zy – Zy				135,1		
51. Mf – Ek			/-44,9	/-36,7		
52. ⊥ 51			/-34,1	/-35,5		
I42. (52 : 51) × 100			/-76,0	/-96,9		
61. Ekm – Ekm				57,7		
63. Enm – Enm				39,6		
64. În spatele M ¹				10,5/9,2		
I59. (64 : 63) × 100				26,6/23,2		
5. N – Ba				97,4		
65. Kdl – Kdl				111,8		
66. Go – Go	95,1			92,7		
68. Pg – Plan tangent Go				98,7		

I62. (68 : 65) × 100				88,3		
C1	155,0/-			141,4/139,5		
C6	39,0/-			29,0/30,0		
(C6 : C1) × 100	25,2/-			20,5/21,5		
(C1 : H2) × 100				-/44,3		
H1				-/320,0	315,0/315,7	
H2				-/314,8	310,9/311,7	
H5				-/18,2	20,9/21,9	
H6				-/14,3	16,9/16,8	
(H6 : H5) × 100				-/78,3	80,7/76,7	
R1	-/235,7		243,2/-	235,3/232,4		
(R1 : H2) × 100				-/73,8		
U1	-/255,1					
U13	-/19,5		17,3/-	19,1/17,7	19,4/-	
U14	-/20,6		20,9/-	20,2/21,6	21,6/-	
(U13 : U14) × 100	-/94,5		82,7/-	94,8/82,0	89,7/-	
S2				107,9		
S5				111,3		
(S5 : S2) × 100				103,1		
F1	-/422,9			410,4/410,8	437,4/-	403,5/-
F2	-/422,5			408,3/410,0	436,3/-	402,6/-
F6	-/28,1			23,7/22,9	30,6/-	25,5/-
F7	-/27,8			24,9/24,2	29,1/-	26,1/-
F9	-/32,9	-/32,1	29,7/29,5	32,0/32,0	34,5/-	32,3/-
F10	-/25,5	-/27,1	21,9/22,3	28,1/26,9	29,1/-	24,1/-
F19	-/45,2			40,4/40,5	46,1/-	42,7/-
F21	-/81,0			71,6/71,7	80,5/-	
(F6 : F7) × 100	-/100,9			94,9/94,7	105,2/-	97,9/-
(F10 : F9) × 100	-/77,4	-/84,4	73,9/75,4	87,6/84,3	84,4/-	74,4/-
r2			46,2/-	41,3/42,2	-/41,9	
(r2 : F21) × 100				57,7/58,8		
T1a			392,1/-	-/356,3	367,6/364,3	
T1b			384,3/-	-/349,4	359,6/354,5	
T8a		37,1/36,0	32,5/31,8	31,6/31,8	35,5/35,9	-/31,2
T9a		22,7/22,1	24,7/22,2	20,7/19,6	21,6/21,9	-/19,8
(T9a : T8a) × 100		61,2/61,3	76,1/67,9	65,4/61,7	60,8/60,9	-/63,5
(T1b : F2) × 100				-/85,2	82,4/-	

Table 3. Dimensiuni și indici, cranian și postcranian, la indivizii adulți de la Pitaru / Dimensions and indices, cranial and postcranial, in adult individuals from Pitaru.

MULȚUMIRI

Acest studiu a fost realizat în cadrul proiectului postdoctoral BioArchMed, finanțat de UEFISCDI (cod: PN-III-P1-1.1-PD-2019-0351).

BIBLIOGRAFIE

- Acsádi, Nemeskéri 1970 – G. Acsádi, J. Nemeskéri, *History of human life span and mortality*, Budapest, 1970.
 Auerbach, Ruff 2004 – B. M. Auerbach, C. B. Ruff, *Human body mass estimation: a comparison of “morphometric” and “mechanical” methods*, *AJPA* 125, 2004, 4, p. 331–342.

- Bräuer 1988 – G. Bräuer, *Osteometrie*, în: R. Knußmann, I. Schwidetzky, H. Jürgens, G. Ziegelmayer (eds.), *Anthropologie. Handbuch der vergleichenden Biologie des Menschen*, zugleich 4. Auflage der Lehrbuchs der Anthropologie, begründet von Rudolf Martin, Sonderdruck, Bd. I/1: *Wesen und Methoden der Anthropologie*, Stuttgart, 1988, p. 160–232.
 Brickley, McKinley 2004 – M. Brickley, J. I. McKinley (eds.), *Guidelines to the standards for recording human remains*, IFA Paper 7, Southampton, Hampshire, 2004.
 Brooks, Suchey, 1990 – S. Brooks, J. M. Suchey, *Skeletal age determination based on the os pubis: a comparison of the Acsádi-Nemeskéri and Suchey-Brooks methods*, *Human Evolution* 5, 1990, 3, p. 227–238.

- Buikstra, Ubelaker 1994 – J. E. Buikstra, D. H. Ubelaker (eds.), *Standards for data collection from human skeletal remains*, Fayetteville, 1994.
- Cole, Waldron 2016 – G. Cole, T. Waldron, *Purple staining of archaeological human bone: an investigation of probable cause and implications for other tissues and artifacts*, *Journal of Anthropology* 2016, p. 1–11.
- Constantinescu, Soficaru 2014 – M. Constantinescu, A. Soficaru, *Raport antropologic privind osemintele umane descoperite în biserică Sf. Gheorghe Nou*, în: G. Mănucu-Adameșteanu (ed.), *Istoria orașului. Mărturii brâncovenești*, București, 2014, p. 376–402.
- Cristocea et alii 2014 – S. Cristocea, M. Păduraru, I. Dumitrescu, *Cercetările arheologice din biserică Mănăstirii Valea, jud. Argeș (campania 2012)*, *Argesis* 23, 2014, p. 7–24.
- DeWitte 2014 – S. N. DeWitte, *Differential survival among individuals with active and healed periosteal new bone formation*, *IJP*, 2014, p. 38–44.
- Dupras, Schultz 2013 – T. L. Dupras, J. J. Schultz, *Taphonomic bone staining and color changes in forensic contexts*, în: J. Pokines, S. A. Symes (eds.), *Manual of forensic taphonomy*, Florida, 2013.
- Facchini, Veschi 2004 – F. Facchini, S. Veschi, *Age determination on long bones in a skeletal subadults sample (b-12 years)*, *Collegium Antropologicum* 28, 2004, 1, p. 89–98.
- Ferembach et alii 1980 – D. Ferembach, I. Schwidetsky, M. Stloukal, *Recommendations for age and sex diagnoses of skeletons*, *JHE* 9, 1980, 7, p. 517–549.
- Fernández-Jalvo, Andrews 2016 – Y. Fernández-Jalvo, P. Andrews, *Atlas of taphonomic identifications. 1001+ images of fossil and recent mammal bone modification*, Dordrecht, 2016.
- Finnegan 1978 – M. Finnegan, *Non-metric variation of the infracranial skeleton*, *JAnat* 125, 1978, 1, p. 23–37.
- Gualdi-Russo 2007 – E. Gualdi-Russo, *Sex determination from the talus and calcaneus measurements*, *FSI* 171, 2007, 2–3, p. 151–156.
- Hauser, De Stefano 1989 – G. Hauser, G. F. De Stefano, *Epigenetic variants of the human skull*, Stuttgart, 1989.
- Keenleyside, Panayotova 2006 – A. Keenleyside, K. Panayotova, *Cribriform orbitalia and porotic hyperostosis in a Greek colonial population (5th to 3rd centuries BC) from the Black Sea*, *IJO* 16, 2006, 5, p. 373–384.
- Lovejoy et alii 1985 – C. O. Lovejoy, R. S. Meindl, T. R. Pryzbeck, R. P. Mensforth, *Chronological metamorphosis of the auricular surface of the ilium: a new method for the determination of adult skeletal age at death*, *AJPA* 68, 1985, 1, p. 15–28.
- Mann, Hunt 2005 – R. W. Mann, D. R. Hunt, *Photographic regional atlas of bone disease. A guide to pathologic and normal variation in the human skeleton*, Springfield, 2005.
- Mann et alii 2016 – R. W. Mann, D. R. Hunt, S. Lozanoff, *Photographic regional atlas of non-metric traits and anatomical variants in the human skeleton*, Springfield, 2016.
- Martin 1928 – R. Martin, *Lehrbuch der Anthropologie in systematischer Darstellung mit besonderer Berücksichtigung der anthropologischen Methoden; für Studierende, Ärzte und Forschungsreisende*, Zweite vermehrte Auflage, Bd. 2: *Kraniologie, Osteologie*, Jena, 1928.
- Meindl, Lovejoy 1985 – R. S. Meindl, C. O. Lovejoy, *Ectocranial suture closure: a revised method for the determination of skeletal age at death based on the lateral-anterior sutures*, *AJPA* 68, 1985, 1, p. 57–66.
- Myszka, Piontek 2012 – A. Myszka, J. Piontek, *Variation of musculoskeletal stress markers in the medieval population from Cedynia (Poland) – proposal of standardized scoring method application*, *Collegium Antropologicum* 36, 2012, 3, p. 1009–1017.
- Ortner 2003, D. J. Ortner, *Identification of pathological conditions in human skeletal remains*, 2nd edition, San Diego, 2003.
- al-Oumaoui et alii 2004 – I. al-Oumaoui, S. Jiménez-Brobeil, P. du Souich, *Markers of activity patterns in some populations of the Iberian Peninsula*, *IJA* 14, 2004, 5, p. 343–359.
- Petrică et alii 2021 – F. G. Petrică, M. Cârciumar, M. C. Năstase, *Cercetările arheologice de la biserică „Adormirea Maicii Domnului” – Strâmbeanu din Pitaru (Com. Potlogi, jud. Dâmbovița)*, *MCA* 17, 2021, p. 235–247.
- Resnick, Niwayama 1983 – Resnick, G. Niwayama, *Entheses and Enthesopathy*, *Radiology* 146, 1, 1983, p. 1–9.
- Roberts, Manchester 2005 – C. Roberts, K. Manchester, *The archaeology of disease*, 3rd edition, Sparkford, 2005.
- Rösing 1988 – F. W. Rösing, *Körperhöhenrekonstruktion aus Skelettmaßen*, în: R. Knußmann, I. Schwidetzky, H. Jürgens, G. Ziegelmayr (eds.), *Anthropologie. Handbuch der vergleichenden Biologie des Menschen*, zugleich 4. Auflage der Lehrbuchs der Anthropologie, begründet von Rudolf Martin, Sonderdruck, Bd. 1/1: *Wesen und Methoden der Anthropologie*, Stuttgart, 1988, p. 586–599.
- Mariotti et alii 2007 – V. Mariotti, F. Facchini, M. B. Belcastro, *The study of entheses: proposal of a standardised scoring method for twenty-three entheses of the postcranial skeleton*, *Collegium Antropologicum* 31, 2012, 1, p. 291–313.
- Schaefer et alii 2009 – M. Schaefer, S. Black, L. Scheuer, A. Christie, *Juvenile osteology: a laboratory and field manual*, Amsterdam, 2009.
- Steckel et alii 2006 – R. H. Steckel, C. S. Larsen, P. W. Sciulli, P. L. Walker, *The global history of health project. Data collection codebook*, Cambridge, p. 397–427.
- Ubelaker 1980 – D. H. Ubelaker, *Human skeletal remains-excavation, analysis, interpretation*, *Manuals on archaeology*, 2nd edition, Washington, D.C., 1980.
- Vance et alii 2011 – V. L. Vance, M. Steyn, E. N. L’Abbé, *Nonmetric sex determination from the distal and posterior humerus in black and white south africans*, *JFS* 56, 2011, 3, p. 710–714.
- Vasile 2016 – G. Vasile, *Analiza antropologică a resturilor scheletice din Biserica Mare a Mănăstirii Hurezi (com. Romanii de Jos, jud. Vâlcea)*, *MCA* 12, 2016, p. 243–258.
- Visser 1998 – E. P. Visser, *Little waifs: estimating child body size from historic skeletal material*, *IJO* 8, 1988, 6, p. 413–423.
- Wapler et alii 2004 – U. Wapler, E. Crubézy, M. Schultz, *Is cribriform orbitalia synonymous with anemia? Analysis and interpretation of cranial pathology in Sudan*, *AJPA* 123, 2004, 4, p. 333–339.
- Walker et alii 2009 – P. L. Walker, R. R. Bathurst, R. Richman, T. Gjerdrum, V. A. Andrushko, *The causes of porotic hyperostosis and cribriform orbitalia: a reappraisal of the iron-deficiency-anemia hypothesis*, *AJPA* 139, 2009, 2, p. 109–125.
- White, Folkens 2005 – T. D. White, P. A. Folkens, *The human bone manual*, Burlington, Massachusetts, 2005.

ALBA SAU BĂNEASA – LA STEJAR? RE-IDENTIFICAREA UNUI SIT ARHEOLOGIC DIN NORD-VESTUL BUCUREȘTIULUI

Adina BORONEANȚ, Andrei MĂGUREANU, Meda TODERAȘ, Vlad CĂRĂBIȘI, Adrian BĂLĂȘESCU, Gabriel VASILE

Institutul de Arheologie „Vasile Pârvan”, București, e-mails: boro30@gmail.com, arheologiemedievala@yahoo.com, medatache@gmail.com; vlad.st.carabisi@gmail.com; adrian.balasescu@iabvp.ro; gabriel.vasile@iabvp.ro

Keywords: Rescue excavations, Băneasa – La Stejar, Alba, 9th century occupation, 18th century occupation

Abstract: Rescue archaeological excavations at Sisești Street, nos. 147–175 led to the identification and investigation of 29 archaeological features dated to the Bronze Age, the 9th and the 18th centuries. The paper discusses in detail the results of the research (archaeological materials and features) from an interdisciplinary perspective. It also raises the question of the previous misidentification of certain sites along the Colentina River in the area of interest, and suggests a correct geographical location of the still existing ones.

Cuvinte-cheie: cercetare arheologică preventivă, Băneasa – La Stejar, Alba, locuire de secol IX, locuire de secol XVIII

Rezumat: Cercetarea arheologică preventivă realizată la adresa Șoseaua Sisești, nr. 147–175 a dus la identificarea a 29 de complexe arheologice atribuite epocii bronzului, secolului IX și secolului XVIII. Articolul de față prezintă detaliat rezultatele cercetării (complexe și materiale arheologice) din perspectivă interdisciplinară. Se discută, de asemenea, problema localizării corecte a siturilor arheologice de pe malul Colentinei din zona geografică de interes.

Conform Repertoriului Arheologic Național (<http://ran.cimec.ro>), terenul cercetat se află în aria sitului arheologic București–Băneasa – *La Stejar*, cod RAN 179132.07 („în cartierul Băneasa, pe malul nordic al lacului Grivița”) și a sitului București–Băneasa – *Vatra Nouă*, cod RAN 179132.06 („în cartier Băneasa, la N de șoseaua Străulești și la S de șos. Gheorghe Ionescu-Sisești (fostă Străulești)”). În conformitate cu PUG-ul Municipiului București, cele două situri sunt localizate astfel: situl nr. 7 (Băneasa – *La Stejar*) se întinde de-a lungul malului Colentinei/Lacului Grivița, iar situl nr. 6 (Băneasa – *Vatra Nouă*) la nord și la sud de Șoseaua Gh. Ionescu-Sisești (Plan 1/C). Inventarul de coordonate Sistem de proiecție STEREO 70 al terenului (cca 35000 mp) este următorul:

Lat. Nord	Long. Est
1. 334170.451	583205.537
2. 334168.802	583204.965
3. 334151.621	583198.640
4. 334157.368	583183.975
5. 334175.618	583190.917
6. 334176.046	583191.060

Cercetarea arheologică preventivă a fost solicitată de proprietarul terenului în vederea dezvoltării unui proiect imobiliar și s-a realizat în baza Autorizațiilor nr. 47/06.02.2020 (diagnostic arheologic) și nr. 4/06.01.2020

(cercetare arheologică preventivă) emise de către Ministerul Culturii. Din punct de vedere administrativ, zona face parte din intravilanul Municipiului București.

Cercetările anterioare (Rosetti 1932; 1936; Constantiniu 1965) indică pentru situl Băneasa – *La Stejar* una sau două așezări atribuite epocii bronzului (cultura Tei), urme de locuire din prima epocă a fierului și o așezare de epoca migrațiilor (sec. IV–VI p.Chr.). O cercetare arheologică mai recentă (2007), realizată de un colectiv al Muzeului Municipiului București la adresa Bd. Gh. Ionescu-Sisești nr. 215, a pus în evidență urme de locuire din sec. II–I a.Chr. (La Tène), precum și o locuire medievală timpurie (sec. IX–XI) (Mănucu-Adameșteanu *et alii* 2008; Vintilă, Măgureanu 2012).

În ceea ce privește situl Băneasa – *Vatra Nouă*, în Repertoriul Arheologic Național este semnalată o locuire medievală timpurie (sec. IX–XI), dar nu se cunosc alte detalii, nici în ceea ce privește cercetarea arheologică, nici cu privire la eventuale publicații ulterioare săpăturii.

Suprapusă peste planul istoric de la 1864 (Plan 2/A), zona cercetată se situa la limita dintre terasa joasă a Colentinei și cea de a doua terasă, ceva mai înaltă. Planul director de tragere (Plan 2/B) plasează perimetrul cercetat într-o zonă cu ușoare variații de altitudine. Comparând imaginea Google Earth recentă cu o fotografie aeriană din anul 1966, se observă o schimbare a malurilor Colentinei (Planul 2/C): regularizarea cursului a dus la o lărgire

accentuată a albiei. Astfel, zona cercetată în anii '60, care era încă depărtată de apă, este acum mărginită de râu (Planul 2/D).

De altfel, observațiile din teren au indicat o acțiune recentă accentuată a elementelor antropice: a fost adus sol mai ales în partea de vest a sitului, probabil pentru nivelare, zona fiind în trecut folosită și drept carieră (Constantiniu 1965). În perioada recentă, aici au fost depozitate deșeuri menajere și din construcții.

Având în vedere că marginea de sud a terenului – dinspre râul Colentina/lacul Grivița este zonă verde protejată, interzisă construcțiilor, cercetările arheologice au avut loc exclusiv la nord de această zonă.

Cercetarea arheologică a avut două componente – cercetare arheologică preventivă în cele două situri și diagnostic arheologic în zona de protecție, localizată între ele. Suprafața totală cercetată însumează 11500 m², fiind formată din două zone investigate distincte, una de cca 2900 m² aferentă sitului Băneasa – *Vatra Nouă* și una de cca 8600 m² aferentă sitului Băneasa – *La Stejar*. În total, au fost trasate și executate mecanizat și manual un număr de 72 de secțiuni cu dimensiuni variabile și 10 casete, strâns corelate cu dispunerea complexelor identificate. În zona sitului arheologic Băneasa – *La Stejar*, la finalizarea săpăturii au fost demontați și cercetați toți martorii dintre secțiuni.

În secțiunile S1–S10 (executate pe zona sitului Băneasa – *Vatra Nouă*) nu au existat complexe de real interes arheologic. Spre capătul de nord al terenului (șosea) au fost observate intervenții moderne: șanțuri de conducte, un cămin de apă (Cpl. 1) și depuneri de gunoi.

Stratigrafia general observată în această zonă este următoarea:

1. La suprafață, strat vegetal (pe alocuri cu umpluturi eterogene) alcătuit din materiale alogene (soluri cafeniu-negriceoase și cărămizii în amestec cu betoane, cărămizi, metal, plastic, cauciuc, borduri, piatră cubică, piatră spartă, mortare, bolovani reciclați din construcții), materiale alohtone (nisip, pietre, fragmente de melci de dimensiuni mici), având grosimi variabile de cca 10–15 cm.

2. Strat brun humusoid cu o grosime variabilă între 20 și 50 cm.

3. Strat argilos nisipos, de culoare galbenă cu o grosime de minim 40 cm.

4. În zona secțiunilor S11–S47, executate în zona de protecție dintre cele două situri arheologice, au fost identificate două complexe arheologice, dintre care unul modern (în S17 – o groapă) și al doilea atribuit epocii bronzului (în S44 – Cpl. 2).

Stratigrafia observată este cea de mai jos:

1. La suprafață, strat vegetal (pe alocuri cu umpluturi eterogene), alcătuit din materiale alogene (soluri cafeniu-negriceoase și cărămizii, în amestec cu betoane, cărămizi, metal, plastic, cauciuc, borduri, piatră cubică, piatră spartă, mortare, bolovani din construcții), materiale alohtone (nisip, pietre, fragmente de melci

mici), având grosimi variabile de cca 10–15 cm.

2. Strat brun humusoid cu o grosime variabilă între 20 și 50 cm.

3. Strat argilos mai mult sau mai puțin nisipos, de culoare galbenă cu o grosime de minim 40 cm.

4. Strat nisipos reprezentat prin nisipuri fine argiloase.

Nr.	Complex	Tip	Perioada	Datare
1	Cpl. 1	groapă	modernă	sec. XX–XXI
2	Cpl. 2	groapă	bronz timpuriu/mijlociu	Tei III
3	Cpl. 3	groapă	bronz timpuriu/mijlociu	Tei III
4	Cpl. 4	bordei	medieval timpuriu	sec. IX
5	Cpl. 5	bordei	medieval târziu	sec. XVII–XVIII
6	Cpl. 6	cuptor	medieval timpuriu	sec. IX
7	Cpl. 7	bordei	medieval timpuriu	sec. IX
8	Cpl. 7 bis	bordei	medieval timpuriu	sec. IX
9	Cpl. 8	groapă	medieval timpuriu	sec. IX
10	Cpl. 9	cuptor	medieval timpuriu	sec. IX
11	Cpl. 10	bordei	medieval timpuriu	sec. IX
12	Cpl. 11	groapă	medieval timpuriu	sec. IX
13	Cpl. 12	groapă	modernă	
14	Cpl. 13	bordei	medieval timpuriu	sec. IX
15	Cpl. 13 bis	bordei	medieval timpuriu	sec. IX
16	Cpl. 14	bordei	medieval timpuriu	sec. IX
17	Cpl. 15	bordei	medieval târziu	sec. IX
18	Cpl. 16	conductă modernă	modernă	sec. XX
19	Cpl. 17	cuptor	medieval timpuriu	sec. IX
20	Cpl. 18	mormânt dublu	medieval târziu	sec. XVIII
21	Cpl. 19	cuptor	medieval timpuriu	sec. IX
22	Cpl. 19 bis	groapă	medieval timpuriu	sec. IX
23	Cpl. 20	bordei	medieval timpuriu	sec. IX
24	Cpl. 21	groapă	necunoscută	?
25	Cpl. 22	bordei	medieval timpuriu	sec. IX
26	Cpl. 23	bordei	medieval timpuriu	sec. IX
27	Cpl. 24	bordei	medieval timpuriu	sec. IX
28	Cpl. 25	bordei	medieval timpuriu	sec. IX
29	Cpl. 25 bis	groapă	modernă	sec. XX–XXI
30	Cpl. 26	șanț	modernă	sec. XX–XXI

*Inițial Cpl. 10 și Cpl. 13 au primit numere diferite, dar la demontarea matorului s-a constatat că este vorba despre același complex arheologic.

Tabel 1. *Complexele arheologice identificate: tip și atribuire cronologică / Archaeological features identified: types and chronology.*

Secțiunile S48–S72 și casetele aferente au fost executate în zona sitului Băneasa – *La Stejar*. În partea de vest, a fost observată sporadic o depunere de gunoai. În partea de est, stratul galben lutos se afla foarte sus, la cca 0,50 m față de nivelul de călcare actual.

Stratigrafia generală observată este cea de mai jos:

1. La suprafață, strat vegetal (pe alocuri cu umpluturi eterogene) având grosimi variabile de cca 10–15 cm.

2. Strat brun humusoid cu o grosime variabilă între 20 și 50 cm.

3. Strat argilos mai mult sau mai puțin nisipos, de culoare galbenă cu o grosime de minim 40 cm.

4. Strat nisipos reprezentat prin nisipuri fine argiloase.

Tipul și atribuirea cronologică a celor 29 de complexe identificate sunt prezentate în Tabelul 1.

Complexele de interes arheologic (Plan 3/B) sunt reprezentate de două gropi de epoca bronzului (Tei III), 19 complexe medievale timpurii, două complexe medievale târzii (un bordei și un mormânt dublu) și un complex cu datare nedeterminată (Cpl. 21). Cinci complexe – lipsite de interes arheologic – aparțin perioadei moderne (sec. XX–XXI).

În S59, în stratul brun, au apărut, la adâncimi variabile, câteva fragmente ceramice de epocă neolitică (cu pleavă în pastă), dar fără a fi asociate unor complexe arheologice.

I. LOCUIREA DE EPOCA BRONZULUI

Complexele atribuite **epocii bronzului** au apărut în zona de protecție dintre cele două situri și în zona de sud a sitului Băneasa – *La Stejar*, în secțiunile S44 (19,50 × 1,45 m, $h_{\max} = 1,10$ m) și S51 (17,00 × 1,45 m, $h_{\max} = 1,20$ m) (Plan 3/B).

Cpl. 2 (Fig. 1) era localizat la 5,40 m față de capătul de nord al secțiunii S44. Secvența stratigrafică a zonei era următoarea: 0–0,10 m, sol vegetal; 0,10–0,30 m, sol brun închis; 0,30–1,10 m, sol galben argilos; 1,10–1,20 m, strat de nisip. Complexul era reprezentat de un vas de mari dimensiuni (Fig. 1/1; 32/3), îngropat pe loc, care conținea în interior fragmente din alte vase (Fig. 32/1–2). A fost observat la o adâncime de cca 0,70 m. Urmele gropii nu se vedeau nici în grund, nici în profil. La observare, vasul mare avea dimensiunile în grund 0,45–0,50 m × 0,45 m. Fragmentele recuperate au grosimi și culori diferite. Vasul principal era gri-cenușiu, din pastă grosieră, neagră în spărtură (Fig. 32/3), având ca degresant nisip cu bobul mare, mică, rare pietricele și cioburi pisate. De-a lungul buzei, în exterior, avea aplicată o bandă alveolată. Un alt tip de fragmente ceramice era din pastă bine arsă având ca degresant nisip, pietricele de cca 1–3 mm, uneori și cioburi pisate. Culoarea exterioară are nuanțe variabile, de la cărămiziu la cenușiu (mai ales pe interior). Pe baza fragmentelor ceramice, complexul a fost atribuit culturii Tei, faza III (epoca timpurie/mijlocie a bronzului).

În restul secțiunii au fost găsite alte câteva fragmente ceramice (între care se remarcă un alt fragment cu o bandă alveolată sub buză) atribuite aceleiași perioade și mici fragmente de chirpici.

Cpl. 3 (Fig. 2/1) a apărut pe profilul de vest al S51, fără să se observe și pe cel de est. Era o groapă circulară în secțiune, cu foarte puțin material arheologic (câteva fragmente ceramice de mici dimensiuni și fragmente mici de chirpici și cărbune). Secvența stratigrafică din S51 era: 0–0,15 m, sol vegetal; 0,15–0,70 m, sol brun închis;

0,50–1,20 m, sol galben argilos. Groapa complexului avea o umplutură din sol brun și se distingea foarte puțin de cel din restul secțiunii. Vizibilă în profil, la -0,70 m, a fost identificată inițial doar pe baza distribuției materialului arheologic. Pornea de la baza stratului brun (având diametrul de 2,10 m), trecea prin cel galben lutos și se oprea în cel galben nisipos (diametru fund groapă 1,00 m). Probabil aparține aceluiași orizont al culturii Tei.

Fragmente ceramice atribuite epocii bronzului au apărut sporadic și în umplutura Cpl. 6 și Cpl. 14 (o figurină zoomorfă fragmentară – Fig. 38/1), precum și în secțiuni (S54, S58, S59), indicând că această locuire, deși slabă, se întinde, probabil, în întreaga zonă.

II. LOCUIREA MEDIEVALĂ TIMPURIE

Complexele medievale timpurii (19) sunt reprezentate de gropi (3), cuptoare (5), locuințe cu cuptor (7) sau fără (5) – Tabel 2; Plan 3/B.

II.1. Bordeie cu cuptor (7)

Cpl. 4 (Fig. 3; 14/1) a fost observat la adâncimea de 0,45 m în profilul de est al lui S53, la trecerea dintre solul brun la cel galben lutos. Era un bordei de formă rectangular-neregulată (5,40 × 4,20 m), având o umplutură negricioasă, cu fragmente de chirpici, cărbune și ceramică (Fig. 18; 19/1), precum și câteva fragmente de zgură. Cuptorul (păstrat foarte prost, Fig. 3/2) era localizat pe latura de nord (Fig. 3/1; 14/1). În colțul de nord-vest, sud-vest și mijlocul laturii de est au fost observate gropi de par (Fig. 3/1; 14/1). O a patra groapă de par, situată pe latura de nord, era localizată în spatele cuptorului (Fig. 3/3), trecând prin acesta, provenind probabil dintr-o etapă ulterioară de utilizare a bordeiului, după ce cuptorul fusese dezafectat. Zona cuptorului a fost foarte bogată în fragmente ceramice (Fig. 18; 19/1), fragmente de „vatră portabilă” (Fig. 33/2–4) – unele cu impresiuni circulare pe fața inferioară – (Fig. 33/1) și vălătuci de lut.

Cpl. 7 era un bordei rectangular cu colțuri rotunjite (cca 4 × 2,5 m), cu cuptor pe latura de nord (Fig. 5/1–2, 4). surprins la adâncimea de 0,30 m. Bordeii avea trei gropi de par dispuse neregulat în interiorul său, pe laturile de est (două) și vest (una). Gropile de par au fost vizibile doar sub nivelul bazei bordeiului, la cca 0,55 m (Fig. 5/3). Umplutura era constituită dintr-un sol brun negricios cu fragmente de cărbune și chirpici, numeroase fragmente ceramice simple și cu decor, fragmente de zgură și câteva resturi faunistice. În afara bordeiului, la cca un 1 m de latura lui de vest, a fost observată o groapă (Fig. 5/1) ce conținea cărbune și cenușă, cu un diametru de cca 40 cm și o adâncime de cca 30 cm.

Cpl. 7 bis (Fig. 6; 14/2) era un bordei (3,60 × 2,90 m) localizat în imediata vecinătate a lui Cpl. 7, la cca 1 m mai spre est. Forma lui era aproximativ rectangulară, cu un cuptor (distrus) pe latura de est (Fig. 6/2–3). Nu au fost observate urme ale gropilor de par. În zona cuptorului a

fost observată o aglomerare de materiale arheologice, formate din abundente fragmente ceramice (Fig. 19–21), fragmente de vatră cu bordură, unele decorate, fragmente mari de râșniță (Fig. 35/3), o piesă de os (mâner

– Fig. 37/1), mici galeți de silex și un fragment de lustruitor (Fig. 36/2), fragmente de zgură, resturi faunistice, fragmente de chirpici de pereți. Fundul bordeiului era la cca 0,85–0,90 m.

Cpl.	Tip	Datare	Tip material					Comentarii		
			Ceramică	Chirpici vatră/ vălătuci	Litic	MDA	Metal		Faună	
Cpl. 4	bordei cu cuptor	sec. IX	x	x				x	Fragmente chirpici de vatră cu impresiuni circulare	
Cpl. 6	cuptor		x	x	x				x	4 fragmente piatră (o râșniță, 2 de gresie nisipoasă, un galet cuarț); 4 fragmente de vălătuc / greutăți lut, o piesă nedeterminată (lut nears?), câteva fragmente ceramice preistorice
Cpl. 7	bordei cu cuptor		x	x	x		x		x	O așchie os, 10 fragmente chirpici, un fragment zgură, un galet cuarț
Cpl. 7 bis	bordei cu cuptor		x	x	x	x	x		x	Un galet cuarț, un fragment râșniță, chirpici din pereți și vatră, unii cu impresiuni circulare, 2 fragmente zgură
Cpl. 8	groapă		x						x	O piesă metal (modern)
Cpl. 9	cuptor		x	x			x		x	3 fragmente zgură, 2 fragmente de chirpici de perete și vatră, fragmente os (unul de țestoasă), un fragment mic râșniță
Cpl. 10 = Cpl. 13	bordei fără cuptor		x	x	x	x			x	Mult chirpici de perete și vatră, cochilii melci, fragmente râșniță, un galet cuarț
Cpl. 11	groapa		x	x						Mult chirpici de vatră, unele fragmente cu impresiuni circulare
Cpl. 13 bis	bordei fără cuptor		x	x						Chirpici
Cpl. 14	bordei cu cuptor		x	x			x		x	Chirpici cu impresiuni circulare, zgură, ceramică, vârf de săgeată, figurină preistorică
Cpl. 15	bordei		x	x	x					Un galet cuarț, chirpici de vatră
Cpl. 17	cuptor		x	x			x		x	Chirpici perete
Cpl. 19	cuptor		x	x	x	x	x		x	Chirpici perete și vatră, fragmente de os, zgură, galet cuarț
Cpl. 19 bis	groapă		x		x					Piatră de ascuțit, fragmente de râșnițe
Cpl. 20	bordei cu cuptor		x						x	Fragmente chirpici și vălătuci
Cpl. 22	bordei cu cuptor		x	x			x		x	Fusaiolă, zgură, chirpici perete și vatră
Cpl. 23	bordei cu cuptor		x	x						Chirpici
Cpl. 24	cuptor		x				x		x	Zgură, resturi faunistice
Cpl. 25	bordei		x	x		x	x		x	Galeți cuarț, piroane de metal, chirpici perete și vatră

Table 2. Tipuri de complexe și materialele arheologice asociate / Features types identified and the archaeological materials associated to them.

Cpl. 14 (Fig. 9; 15/2) era un bordei de formă rectangulară (cca 4,50 × 3,20 m) cu colțurile rotunjite, observat la adâncimea de cca 0,70 m, la trecerea de la solul brun la cel galben lutos. Este posibil ca groapa lui să fi pornit de mai sus. Fundul bordeiului era la cca -1,10 m. Umplutura sa era constituită dintr-un sol negricios cu pigment de cărbune și chirpici (Fig. 9/1–2). În colțul de est avea un cuptor (Fig. 9/2–3), în interiorul căruia s-a găsit mult material ceramic (Fig. 38/2) provenind de la vase întregibile (Fig. 25/2, 26) și fragmente de la o „vatră portabilă” cu impresiuni circulare pe fața inferioară (Fig.

9/3). Grosimea peretelui cuptorului era de cca 2–3 cm, lungimea de cca 90 cm, iar deschiderea la gură de cca 60 cm. La mijlocul laturilor dinspre nord-vest și sud-vest, bordeiul a avut câte o groapă de par (D = 35 cm), ambele observabile sub nivelul bazei cuptorului. De pe fundul locuinței a fost recuperat un vârf de săgeată de fier (Fig. 38/3), iar din solul de umplutură al gropii un fragment de figurină zoomorfă (Fig. 38/1) aparținând epocii bronzului.

Cpl. 20 (Fig. 12/1; 17/1) era un bordei (cca 3,20 × 2,50 m) cu cuptor pe latura de sud, cruțat în solul galben lutos. Complexul a fost observat la -0,80 m, având fundul

la -1,20–1,25 m. Bordeii avea o formă rectangular-neregulată; nu au fost observate gropi de pari. Cuptorul avea o deschidere la gură de cca 60 cm și o lungime de 50 cm, cu peretele de cca 2–3 cm. Din umplutura sa (sol negricios cu pigment de chirpici și cărbune – Fig. 12/2) au fost recuperate fragmente ceramice și vălătuci de lut întregi și fragmentari (Fig. 29).

Cpl. 22 (Fig. 12/3) era un bordei (3,00 × 3,20 m) de formă aproximativ rectangulară cu colțurile rotunjite, observat la adâncimea de 0,70 m. Fundul bordeiului se afla la cca 1,00 m. Cuptorul se afla în colțul său de sud. Deschiderea la gură era de cca 40–50 cm, iar lungimea lui de 30–40 cm. Peretele cuptorului era subțire, având cca 2–3 cm. Umplutura bordeiului era formată dintr-un sol negricios cu pigment de cărbune și chirpici, rare fragmente ceramice (Fig. 30), fragmente de zgură (Fig. 36/1) și o fusaiolă spartă (Fig. 38/4).

Cpl. 23 (Fig. 12/4) era un bordei cu cuptor în colțul de sud-est. Dimensiuni aproximative 3,50 × 2,70 m. A fost observat la adâncimea de 0,60 m, având fundul la -0,90 m. Din umplutura sa au fost recuperate fragmente ceramice și de chirpici de pereți.

II.2. Bordeie fără cuptor (5)

Cpl. 10 = Cpl. 13 (Fig. 8/1–2; 15/1) era un bordei surprins inițial în profilul de sud al secțiunii S68 și considerat drept o groapă. Complexul pornea din solul brun închis. Adâncimea la observare pe profilul de sud era de 0,25–0,30 m. În acest profil, pe fundul lui, a fost remarcată o oală medievală reîntregibilă (Fig. 8/2). După demontarea martorului dintre S68 și S71 s-a observat extinderea sa, complexul fiind, de fapt, un bordei medieval ce fusese tăiat de traseul conductei moderne (Cpl. 16). Umplutura sa era constituită dintr-un sol negricios cu fragmente de chirpici și cărbune, ceramică (Fig. 24/1; 25/1) pe alocuri cu mici concentrații de cenușă pe fundul bordeiului. Fundul său se oprea la -1,15 m. Dimensiuni: 3,00 × 2,40 m.

Cpl. 13 bis (Fig. 15/1) a fost observat la demontarea martorului dintre S71 și S72. Era, probabil, un bordei de epocă medievală, observat la -0,95 m. Umplutura sa era un sol negricios cu rare urme de pigment de chirpici și cărbune și cu foarte puține fragmente ceramice. Forma era probabil rectangulară (4,50 × 2,40 m). Fundul său a fost atins la cca -1,10 -1,20 m.

Cpl. 15 (Fig. 16/1) fusese un bordei de mari dimensiuni, observat la adâncimea de 1,00–1,20 m ca o pată de sol negricios, cu fragmente mici de chirpici și cărbune. Dimensiunile bordeiului erau de cca 5 × 4 m, cu latura lungă pe direcția est–vest. Nu a avut cuptor. Partea centrală a locuinței a fost distrusă pe o lățime de cca 1,00–1,20 m de conducta Cpl. 16 care traversa întreg bordeii. Fundul complexului a fost atins la cca -1,50 m. Umplutura lui conținea puține fragmente ceramice.

Cpl. 25 (Fig. 13/3–4; 17/2) era un bordei distrus în

mare măsură pe partea de vest de amenajările moderne Cpl. 25 bis și Cpl. 26. Materialul arheologic recuperat constă în fragmente ceramice (Fig. 31), câteva piroane de metal, mici galeți de cuarț și chirpici de la pereți. A fost observat la -1,00 m, având fundul la cca -1,40 m.

II.3. Cuptoare (5)

Cpl. 6 (Fig. 4) – cuptor medieval cu diametrul maxim de 1,10 m și orientare nord-vest–sud-est, observat la cca -0,60 m; crusta cuptorului avea cca 3 cm grosime, iar lungimea gropii de alimentare era de cca 1,50 m. Fundul său se afla la cca -0,90 m. Din interiorul cuptorului au fost recuperate fragmente ceramice (Fig. 19/3) dintre care unele de factură preistorică, fragmente de râșniță (Fig. 35/2), resturi faunistice și mici galeți de cuarț.

Cpl. 9 (Fig. 7) era un cuptor observat la adâncimea de 1,30–1,35 m, cu orientare est–vest (groapa de alimentare către vest). Lungimea sa era de cca 3,80 m (cuptor și groapa de alimentare). Deschiderea la gură a cuptorului era de cca 80 cm, cu un diametru maxim de 1,40 m, peretele având o grosime de cca 3–4 cm. Groapa de alimentare avea o formă ovală neregulată, cu lungimea maximă de 2,80 m și lățimea de 1,8 m. Fundul cuptorului a fost atins la -1,70 m. Din umplutura gropii de alimentare au fost recuperate fragmente ceramice (Fig. 23/2), resturi faunistice, fragmente de chirpici și fragmente de zgură.

Cpl. 17 (Fig. 16/2; 10/1) era un cuptor localizat la sud de Cpl. 7, orientat est–vest. A fost observat la -0,50 m și avea fundul la -0,90 m. Deschiderea gurii cuptorului era de cca 1,00 m și lungimea tot de 1,00 m. Diametrul maxim era de 1,20 m, cu un perete gros de cca 7 cm. Lungimea totală (inclusiv groapa de alimentare) era de cca 2,50 m. Din umplutura sa au fost recuperate câteva fragmente ceramice (Fig. 27/2).

Cpl. 19 (Fig. 11/1–2) era un cuptor distrus în mare parte de conducta modernă Cpl. 16, mai ales în zona gropii de alimentare. A fost observat la adâncimea de -2,00 m, în solul galben lutos. Umplutura cuptorului era extrem de groasă și conținea multe fragmente ceramice (Fig. 28), vălătuci de lut fragmentari, chirpici, lentile de cenușă și arsură. Fundul său se afla la cca -2,60 m.

Cpl. 24 (Fig. 13/1–2) era un cuptor observat la adâncimea de 0,75 m, orientat est–vest, cu gura cuptorului spre E. Lungimea maximă (cuptor și groapa de alimentare) era de 3,80 m. Lățimea maximă a cuptorului era 1,70 m, iar grosimea peretelui varia între 3–5 cm. Lungimea cuptorului era de 1,45 m, $L_{gr\ alimentare} = 2,35$ m. Fundul cuptorului a fost atins la cca -1,20 m.

Din interiorul gropii de alimentare au fost recuperate fragmente ceramice (unele arse secundar), bucăți de chirpici, câteva oase de animale și fragmente de zgură. Solul din interiorul gropii de alimentare era negricios, cu urme de cărbune și cenușă. Cel din interiorul cuptorului era brun închis, cu puține fragmente de cărbune.

II.4. Gropi

Cpl. 8 (Fig. 7/1) era o groapă de formă neregulată, identificată inițial în peretele de sud al lui S65. Umplutura sa era formată dintr-un sol brun negricios, din care au fost recuperate câteva fragmente ceramice medievale timpurii (Fig. 23/1), dar și o piesă modernă de metal.

Cpl. 11 (il încorporează și pe **Cpl. 11 bis**) (Fig. 8/3) era localizat la est de Cpl. 10. Era o groapă de formă relativ neregulată, observată tot în profilul de sud al S68. Se observau în interiorul său fragmente ceramice medievale (Fig. 24/2) și fragmente mici de chirpici. A fost cercetată integral la demontarea matorului dintre S68 și S71, când a fost observat și Cpl. 11 bis, de formă neregulată, cu o umplutură identică (Fig. 11/1, 3). Reprezintă, probabil, același complex, ce avusese fundul la adâncimi variabile.

Cpl. 19 bis. La vest de cuptorul Cpl. 19 s-a observat o pată de sol negru, circulară, inițial interpretată drept groapa cuptorului Cpl. 19, denumită ulterior Cpl. 19 bis. Umplutura ei de un brun-negricios a furnizat numeroase fragmente ceramice, chirpici și fragmente de rășniță și o piatră de ascuțit (Fig. 35/1). Sesizată la -1,90 m, fundul gropii se afla la cca -2,50 m.

III. LOCUIREA MEDIEVALĂ TÂRZIE

În S56, au apărut câteva fragmente ceramice medievale smălțuite, la adâncimea de cca 0,30 m, dar fără a fi asociate unui complex arheologic. Alte fragmente ceramice smălțuite au apărut sporadic la suprafața solului, pe întreaga zonă investigată. Complexele arheologice sunt reprezentate de o locuință (Cpl. 5) și de un mormânt dublu (Cpl. 18). Datarea acestui ultim complex este nesigură în lipsa unei directe date ¹⁴C.

Locuința **Cpl. 5** (Fig. 2/2–3) a fost observată la adâncimea de 0,55–0,60 m, în profilurile de vest și est ale lui S54, la trecerea dintre solul brun la cel galben lutos. Pe profilul de est lungimea maximă era de 2,70 m, iar pe cel de vest de 3,50 m. Era un bordei de formă rectangulară, având ca umplutură un sol negricios cu fragmente de chirpici și cărbune, fragmente mari de vatră și cărămizi – unele decorate (Fig. 19/2; 34/1-sus) și fragmente ceramice de facturi diverse (ceramică grosieră, dar și fină și chiar smălțuită – Fig. 34/1) și un număr impresionant de piese de metal (Fig. 34/2 – dreapta). Pe latura de sud a bordeiului se observa o vatră simplă amenajată într-o adâncitură, cu fundul ars și întărit, având deasupra un strat de cenușă de cca 5 cm. Diametrul vetrei era de cca 30–40 cm. Fundul bordeiului se găsea la -1,10 m. Din nivelul imediat superior fundului locuinței a fost recuperat un pandantiv de metal (Fig. 34/2 – stânga; 38/6), iar din solul de umplutură un fragment de lamă de silex preistoric (Fig. 38/7). Dimensiuni cărămizi din umplutura bordeiului: 19,20 × 12,50 × 5,00 cm; ? × 13,00 × 5,00 cm. Cărămizile erau arse inegal, variind de la negru la cenușiu și diverse nuanțe de portocaliu.

Cpl. 18 (Fig. 10/2–3) era un mormânt dublu (adult și copil) sesizat ca o pată neagră aproximativ circulară la

-0,70 m. S-a observat că groapa fusese săpată cu o rampă pe partea de est, astfel încât, deși partea superioară a individului 1 (adult) fusese depusă orizontal ($h = 1,20 - 1,25$ m), membrele inferioare aveau o traiectorie ascendentă, cu femurele la cca 60°, iar de la genunchi în jos din nou o poziție orizontală, pe marginea gropii. Individul adult avea brațele aduse pe piept, capul aplecat ușor spre bărbie. La tâmpile și pe frunte au fost găsite trei ace de păr (Fig. 38/5), probabil pentru prinderea unei basmale sau maramae. Nu a avut alt inventar.

Individul 2 (*Infant*, < 2,0 ani) se afla la est de primul individ, mult mai sus, la cca -0,90 m. Din scheletul copilului nu s-au păstrat decât craniul și foarte puțin din scheletul postcranian (vezi mai jos analiza antropologică). Probabil dimensiunile gropii individului 2 au dictat maniera de înmormântare a individului 1. $L_{gr. copil} = 1,20$ m, $L_{gr. adult} = 1,80$ m.

IV. COMPLEX DE PERIOADĂ NEDETERMINATĂ (1)

Cpl. 21 (Fig. 12/1; 17/1) era o groapă de mari dimensiuni, fără material arheologic. Inițial apărea ca o pată de culoare negricioasă în solul galben lutos, dar la secționare pe direcția E–V s-a observat că umplutura sa avea un sol amestecat, negricios și galben lutos și circumferința ei era mult mai mare, de cca 2,50 m, având în secțiune formă de sac. Fundul său a fost atins la cca -2,00 m.

V. COMPLEXE RECENTE (4)

Cpl. 1 era groapa unui cămin de apă localizat în zona sitului Băneasa – *Vatra Satului*, probabil legat de canalizarea din zonă.

Celelalte patru complexe moderne erau localizate în zona de sud, spre malul Colentinei.

Cpl. 12 era o groapă modernă de formă circulară, cu fundul plat și puțin adâncă. A fost observată la adâncimea de 0,60 m. Pe fundul său se afla un strat gros de 4 cm de cărbune și cenușă. Nu a avut inventar.

Cpl. 16 (Fig. 9/1; 11/1–2; 16/1) era o conductă modernă cu un traseu aproximativ E–V, observată pe cca 300 m și un șanț de cca 1,00–1,20 m lățime, care a deranjat un număr important de complexe arheologice. În diverse secțiuni, conducta a fost observată la adâncimi diferite, în funcție de înălțimea terenului. Umplutura șanțului său era realizată din sol amestecat, negricios și galben lutos, uneori amestecat și cu pietriș și gunoi modern, cu fragmente ceramice medievale timpurii (Fig. 27/1).

Cpl. 25 bis (Fig. 13/3–4; 17/2) era o groapă cu sol afânat brun închis, fără material arheologic, de factură modernă.

Cpl. 26 (Fig. 13/3–4; 17/2) era un șanț circular cu umplutură amestecată, predominant lut galben prăfos, de factură modernă, care părea să înconjoare Cpl. 25 bis sau să îl taie.

DISCUȚII

1. Localizarea sitului Băneasa – La Stejar

Așa cum arătam în introducere, situl arheologic *Băneasa – La Stejar* a fost identificat în anul 1929, fiind menționate locuiri din perioada culturii Tei, epoca bronzului și epoca medievală timpurie (preefeudală) (Rosetti 1932; 1936). Cercetările au fost reluate în anii 1962 și 1963 de către Muzeul de Istorie a orașului București (Constantiniu 1965), reidentificându-se **două** așezări atribuite culturii Tei, una epocii fierului și una secolelor VI–VII (Constantiniu 1965, p. 78).

Situl era situat pe malul stâng, atât pe terasa joasă a Colentinei, cât și pe cea înaltă, în dreptul cotului adânc făcut de Colentina în zona cartierului Dămăroaia, înainte de a ajunge la fosta fabrică de cărămidă „I. S. Ceramica” (Constantiniu 1965, p. 77). În apropiere, se aflau siturile contemporane de la Bucureștii Noi – *Alba* (Panait 1963) spre est și Băneasa – *Sat* (Constantiniu, Panait 1965) spre vest.

Zona a mai fost cercetată în ultimii ani și este interesantă că, deși în situl de la Băneasa – *La Stejar* nu erau semnalate descoperiri aparținând secolelor IX–X p.Chr., două dintre zonele cercetate în anii 2007, respectiv 2020, aflate la mică distanță una față de cealaltă, au dat la iveală complexe și ceramică aparținând aproape exclusiv respectivei perioade și nu secolelor VI–VII p.Chr., caracteristice sitului Băneasa – *La Stejar*. Situația devine și mai neclară în urma recente publicări a unei cercetări efectuate în anul 2011, care a identificat complexe și materiale din sec. IX–X p.Chr., plasată între zonele investigate în anii 2007 și 2020 și care este atribuită sitului Străulești – *Măicănești* (Vintilă 2018, planșa 1); acest din urmă sit este cunoscut ca având și descoperiri din respectiva perioadă.

Drept urmare, am încercat o clarificare a acestei situații pe baza datelor publicate de-a lungul vremii. O primă referință cartografică este cea a *Planului general al săpăturilor arheologice de la București*, publicat în anul 1959 (Ionașcu et alii 1959), care amplasează în zona de interes trei puncte, dintre care doar unul este numerotat, purtând și denumirea de Băneasa – *La Stejar* (Plan 1/A). Modul de notare a sitului face însă problematică atribuirea denumirii unuia sau altuia dintre punctele marcate pe hartă sau poate tuturor. Este de reținut că unul dintre puncte este amplasat în zona de studiu, la sud de șosea, în timp ce un al doilea a fost marcat la nord de șosea, la nord-est de primul.

A doua hartă la care putem face referință este cea care apare cu ocazia publicării rezultatelor cercetărilor arheologice din anii 1960–1962. Spre deosebire de harta din anul 1959, acum nu mai este figurat situl de la Băneasa – *La Stejar*, fiind cartate și delimitate alte trei situri: Străulești – *Măicănești*, Străulești – *Lunca* și *Alba*. Acesta din urmă este și situl care apare amplasat cel mai aproape

de săpăturile din anul 2020 și imediat lângă cercetările din 2007, respectiv 2011. Situația este lămurită de textul articolului care precizează că situl *Alba* a fost identificat prin perieghetă în anul 1958 și că Băneasa – *La Stejar* se afla spre est de *Alba*, precum și faptul că la 500 m, în fața cartierului Dămăroaia, se afla o așezare aparținând culturii Tei (Panait 1963, p. 104 și 106, nota 1; Constantiniu 1965, p. 77). În această zonă, pe *Planul general al săpăturilor arheologice de la București* nu figurează nimic, dar scara la care acesta a fost realizat și modul schematic de reprezentare nu permit o amplasare precisă a sitului.

Drept urmare, considerăm că cercetarea din anul 2020, precum și cele din 2007 și 2011, aparțin aceluiași sit arheologic Bucureștii Noi – *Alba*, fapt confirmat și de structura materialelor arheologice identificate în cele patru zone cercetate (incluzând și materialul publicat din cercetările din anii 1960). De asemenea, este eronată amplasarea și delimitarea siturilor din această zonă așa cum apar pe *Planșa cu delimitarea siturilor arheologice*, anexă a PUG București 2000, situația corectă fiind cea prezentată în Plan 3/A. Coordonatele STEREO 70 ale acestor situri sunt listate în Tabelele 8–12 de la finalul articolului.

2. Materialul arheologic

2.1. Ceramica neolitică

Au fost recuperate trei fragmente ceramice din pastă cu pleavă, provenind dintr-o zonă a sitului cu sol adus și care nu au legătură cu zona de interes a acestui articol. Ele pot fi atribuite neo-eneoliticului pe baza pastei.

2.2. Ceramica de epoca bronzului (Fig. 32).

Pe baza fragmentelor ceramice, este probabil ca această locuire să se fi desfășurat la finalul bronzului timpuriu și începutul bronzului mijlociu – cultura Tei, indicând o locuire mai târzie decât cea menționată de Dinu V. Rosetti, dar acest lucru este de înțeles în contextul în care cercetarea noastră nu s-a desfășurat în situl *La Stejar* identificat de acesta. Au fost observate două tipuri de ceramică: una de culoare gri-cenușiu, din pastă grosieră, neagră în spărtură, având ca degresant nisip cu bobul mare, mică, rare pietricele și cioburi pisate. Un alt tip de fragmente ceramice este cel reprezentat din pastă bine arsă, având ca degresant nisip, pietricele de cca 1–3 mm, uneori și cioburi pisate. Culoarea exterioară are nuanțe variabile, de la cărămiziu la cenușiu (mai ales pe interior). Elementele de decor se limitează la benzi alveolate, aplicate sub buză și buze crestate.

Locuirea medievală timpurie

2.3. Ceramica din locuirea medievală timpurie

Au fost observate două tipuri mari de ceramică: cea arsă oxidant, caracterizată de un decor incizat și cea arsă reducător, caracterizată de un decor lustruit.

Ceramica cu decor incizat este modelată de obicei la roata înceată și rar la cea rapidă. Lutul conține cantități variabile de nisip și uneori pietricele. Arderea este incompletă, la un număr mare de vase miezul rămânând negru. În exterior se observă deseori urme de ardere secundară.

Forma cea mai răspândită o reprezintă oala fără toartă, de dimensiuni mari și medii (Fig. 18; 23; 26; 28). Decorul este în general incizat, realizat cu pieptenele și este dispus începând imediat de sub gât (Fig. 18; 20; 21-sus; 25; 26-sus; 28; 30-sus; 31-sus) până spre fundul vasului (Fig. 21-jos; 26-jos). Tipul de buză este variat: înaltă simplă, evazată și tăiată în muchie, buza rotunjită, buza melc, buza cu streășină.

Striurile sunt fie horizontale, fie în val, uneori în registre paralele, alteori grupate în registre cu spații libere între ele. Categoria fragmentelor ceramice cu striuri paralele cuprinde două varietăți: cu striuri fine și ordonate sau cu striuri mai late și mai adânci, dispuse ușor dezorganizat. Decorul cu striuri este completat de motivul în val (Fig. 28), de șiruri de patru-cinci împunsături verticale (Fig. 20-sus) sau grupaje de striuri scurte dispuse oblic (Fig. 18-sus; 22; 24; 26). Motivul în val este de obicei situat imediat sub buză, în timp ce împunsăturile și striurile oblice se regăsesc fie sub buză, fie sunt intercalate în registre de striuri paralele.

Fundul vaselor este aparent plat, gradul ridicat de fragmentare împiedicând identificarea unor posibile semne cunoscute drept „mărci de olar”.

Ceramica cu decor lustruit este realizată din lut sortat, de bună calitate, rezultând o pastă fină, uniformă. Ceramica arsă reducător este realizată la roata înceată. Proporțional, ceramica fină cenușie are o prezență mult mai redusă comparativ cu ceramica grosieră arsă oxidant, ceea ce nu permite prea multe comentarii generalizate. Forma observată mai des este tot cea de oală, dar cu gâtul mai lung și corpul pântecos (Fig. 21). Suprafața vaselor este decorată deseori cu linii hașurate de grosimi diferite ce acoperă întreg corpul vasului, de sub gât până la bază. Hașurile au fost realizate prin lustruirea intensă a zonelor respective, creând un fals efect de pictură cu brun-închis.

Puținele toarte sunt scurte și late (evazate în zona prinderii de corpul vasului), pornind imediat de sub buză din gâtul scurt, până în zona umărului vasului (Fig. 19/3; 22-jos).

Analogii bune pentru lotul ceramic identificat în 2020 se regăsesc în apropiere, în situl de la Băneasa – *Sat* (intersecția străzilor C. Dobrogeanu-Gherea și bulevardul Ion Ionescu de la Brad, fost N. Bălcescu – Constantiniu, Panait 1965, p. 140), care a fost datat, la momentul cercetării, în secolul al X-lea p.Chr. Similare sunt și descoperirile de la București – *Străulești* (Constantiniu, Panait 1968, p. 67), datat în sec. X–XI, în special pe baza unui pandantiv din bronz descoperit în afara complexelor. Anterior, tot în situl *Alba* (Panait 1963) fuseseră documentate cu două bordeie datate în sec. al IX-lea.

Din tabelul comparativ (Fig. 41) se poate observa omogenitatea lotului ceramic identificat în cercetările din anii 1960, 2007, 2011 și 2020, precum și similaritatea cu cel descoperit la Băneasa – *Vatra Satului*. De asemenea, lipsa fragmentelor de ulcior și a fragmentelor de „căldare” sunt indicii ale unei datări mai timpurii, în secolul al IX-lea, fără a putea exclude și o datare în secolul al X-lea. Raportarea la cronologia propusă pentru ceramica din necropolele de la Dunărea de Jos arată că formele identificate de noi aparțin unor tipuri ceramice timpurii cu datări în sec. al IX-lea, în special, și chiar la sfârșit de secol al VIII-lea, în particular (Fiedler 1992). Tot spre o datare mai timpurie îndeamnă și cele două vârfuri de săgeată cu trei aripi descoperite în anul 1962, respectiv 2020. Lipsa unui studiu dedicat ceramicii din așezările epocii ne împiedică a face unele considerații mai detaliate.

Fragmentele de chirpici descoperite provin de la pereții locuințelor, de la cuptoare și de la vetre portabile. Chirpicul de pereți are un aspect mai „fibros” și păstrează uneori urme de păioase sau lemn. Cel provenind de la vetrele portabile este majoritar „nedecorat” – doar în trei cazuri (Cpl. 4, Cpl. 7 bis, Cpl. 14) au fost observate, pe fața inferioară, impresiuni circulare – care sunt, mai degrabă, legate de suprafața pe care a fost creată/așezată vatra, decât de o intenționalitate de a decora fața inferioară, care rămânea invizibilă. Astfel de fragmente au fost identificate și în cercetarea din 1963 de la Băneasa – *Sat* (Constantiniu, Panait 1965) (Fig. 42).

2.4. Industria litică constă majoritar din fragmente de râșniță, recuperate mai ales din bordeie (Cpl. 4, Cpl. 7 bis, Cpl. 10), dar și din groapa Cpl. 19 bis. În general, fragmentele sunt de mici dimensiuni, cu excepția bordeiului Cpl. 7 bis, din care provin două râșnițe aproape întregi (Fig. 35/3), de mari dimensiuni (diametrul peste 35 cm și greutatea de cca 10 kg) și multe alte mici fragmente. Din același complex provine o piatră de ascuțit fragmentară (Fig. 35/1-stânga sus). Materia primă pentru acest tip de piese este de două tipuri – o gresie fină nisipoasă de culoare cenușie la fragmentele de mici dimensiuni (Fig. 35/1-sus) și o rocă calcaroasă alburie, cu friabilitate mare (Fig. 35/2) și amprente de cochilii fosile. Prezența râșnițelor din acest tip de rocă a fost semnalată și în situl de la Băneasa – *Sat*, materia primă fiind determinată drept calcar organogen alcătuit în întregime din granule de calcit și din organisme calcaroase din care fac parte: Ostracode (valve) Bryozoare, Miliolide (*Biloculina*, *Quinqueloculina*) (Constantiniu, Panait 1965, p. 107, nota 3).

Micii galeți de cuarț apar doar în bordeie (Cpl. 4, Cpl. 7, Cpl. 10, Cpl. 15, Cpl. 19 și Cpl. 25) și nu au fost sesizați în alte contexte sau în sol, ca prezență naturală. Dimensiunile lor sunt similare – cca 3–4 cm. Nu sunt spârți, dar prezintă fațete plate, unele dintre ele cu urme de abraziune. Dată fiind apariția lor în aceleași contexte ca și fragmentele de zgură, este posibil să fie legate de

prelucrarea pieselor de metal (lustruire, polizare etc). Nu este exclus să fi fost utilizați la realizarea decorului ceramic lustruit.

2.5. Resturile faunistice

Prelevarea materialului faunistic (ca și a restului materialului arheologic) a fost realizată direct din săpătură, ceea ce prezintă o serie de avantaje și dezavantaje (Popovici *et alii* 2002, p. 57–58). Deși, în condițiile unei săpături preventive, aceasta este metoda de prelevare cea mai utilizată, fiind cea mai adecvată temporal, pentru o mai bună cunoaștere a întreg spectrului faunistic ar fi utilă eșantionarea măcar a 10% dintr-un complex arheologic care poate fi cernut la sec sau sub jet de apă.

Determinările anatomice și taxonomice au fost realizate cu ajutorul colecțiilor osteologice de referință ale Laboratorului de Arheozoologie din cadrul Sectorului de Bioarheologie al Institutului de Arheologie „Vasile Pârvan” al Academiei Române. De asemenea, au fost consultate lucrările metodologice ale lui Barone (1986) și Schmid (1972) pentru resturile osteologice de mamifere. Discriminarea dintre oaie și capră a fost făcută pe baza scheletului post-cranian, după criteriile lui Boesneck *et alii* (1964), testate de Clutton-Brock *et alii* (1990) și Prummel și Frisch (1986); pentru resturile dentare, s-au utilizat lucrările lui Payne (1985), Helmer (2000) și Hallstead *et alii* (2003). Vârstele de abataj (de sacrificare) au fost estimate de cele mai multe ori după erupțiile dentare, pe baza lucrării lui Schmid (1972), iar pentru uzurile dentare s-au utilizat lucrările lui Ducos (1968) și Grant (1982) pentru bovine, Payne (1973) și Helmer (2000) pentru ovicaprine, Horard-Herbin (1997) pentru porcine. Speciile identificate aparțin mai multor clase de animale: reptile (*Reptilia*), păsări (*Aves*) și mamifere (*Mammalia*). În cele ce urmează, vom prezenta materialul faunistic pe încadrări istorice.

Fauna din contexte medievale timpurii provine din 14 complexe și numără doar 137 resturi, dintre care 129 (97%) aparțin mamiferelor, un rest este de la o broască țestoasă de apă (*Emys orbicularis*), iar trei provin de la păsări, indeterminabile (Tabel 3). Din cele 129 de fragmente de mamifere, unul provine de la un corn de cerb, fiind imposibil de afirmat dacă a fost cules din pădurile din preajma așezării sau provine de la un animal vânat (nu prezintă legătură cu craniul). Gradul de determinare specifică a materialului faunistic de mamifere este relativ mare: 88 de resturi (68,7%) sunt identificate taxonomic (greutate = 1876 g / 91,9%) (Tabel 3). Lista speciilor de mamifere reunește atât specii domestice – cal (*Equus caballus*), vită (*Bos taurus*), oaie (*Ovis aries*), porc (*Sus domesticus*), câine (*Canis familiaris*), cât și sălbatică – cerb (*Cervus elaphus*) și iepure de câmp (*Lepus europaeus*). În cadrul materialului analizat, este posibil să existe și capră (*Capra hircus*) printre resturile de ovicaprine indeterminabile (*Ovis aries/Capra hircus*).

Cantitatea de material faunistic variază în limite destul de mari în cadrul complexelor, de la 1–4 resturi în

majoritatea structurilor, până la peste 35 de resturi în Cpl. 7 și Cpl. 7 bis (bordeie – Tabel 3). Având în vedere această variabilitate numerică care nu pare legată de tipul de structură arheologică (groapă, bordei, cuptor), este imposibil de făcut o discuție pe tipuri de complexe arheologice.

Dintre speciile de animale domestice, cea mai mare pondere o au bovinele (60,7%), urmate ca număr de resturi (NR) de ovicaprine (17,85%) și porcine (11,9%). Ca greutate, bovinele se mențin pe primul loc (66,7%), acestea fiind secondate de cabaline (12%), urmate mai apoi de ovicaprine (9,5%) și porcine (7,25%) (Grafic 1). Poziția surprinzătoare a calului poate fi explicată prin talia și greutatea sa specifică mare comparativ cu cea a ovicaprinelor și porcinelor. Remarcăm un rest de cal (un astragal din Cpl. 19) care prezintă urme de tăiere ce sugerează cel puțin activități legate de prelevarea pielii și posibil consumul cărnii.

În ciuda eșantionului redus numeric, se pot face estimări ale numărului minim de indivizi (NMI). Bovinele au cea mai mare pondere, cu trei exemplare (unul de 1,5 ani, unul de 2–3,5 ani și altul de 4–6,5 ani), acestea fiind urmate de ovicaprine (o oaie de 2–4 ani și un *infans* indeterminabil taxonomic), porcine (un individ de 12 luni și un adult) și câine (doi adulți). Calul este prezent cu un individ adult.

Vânatul pare să aibă o importanță redusă, atât ca număr de resturi (2,4%), cât și ca greutate (2,8%), identificându-se în material câte un individ de cerb (subadult/adult) și iepure de câmp (adult).

Datele biometrice sunt extrem de puține pentru acest eșantion și privesc doar bovinele, care sunt și cele mai numeroase (NR = 51). Șansa a făcut ca în Cpl. 22 să se descopere un metatarsian întreg de la o femelă, care a permis o estimare a taliei de 113,1 cm (după indicele Fock) și 113,5 cm (după indicele Matolcsi – Udrescu *et alii* 1999, p. 79). Această valoare este cu puțin mai mare decât estimarea pentru România (111,98 cm) (Stanc 2006, p. 227) în perioada secolelor IV–X. Din păcate, pentru perioada secolului al IX-lea, pentru Muntenia nu există date biometrice care să permită comparații precise.

O comparație cu alte așezări contemporane din Muntenia este relativ riscantă, mai ales având în vedere eșantionul extrem de mic studiat. Riscul merită însă asumat, dată fiind lipsa unor astfel de date arheozoologice pentru perioada Evului Mediu timpuriu (Bălășescu *et alii* 2003). Astfel, am avut la dispoziție doar următoarele situri studiate arheozoologic: Bragadiru-București (Udrescu 1981, p. 238–239) (sec. IX–XI; NR = 178), Radovanu (Haimovici 2003) (sec. VIII–X; NR = 530), Bucov-Ploiești (Haimovici 1979) (sec. VIII–X; NR = 4121), Păuleasca (Haimovici, Gava 2002) (sec. IX; NR = 75), Bucu (Moise 2000) (sec. X–XI; NR = 471), Dridu (Necrasov, Haimovici 1967) (sec. X–XI; NR = 2400). După cum se observă, cantitatea de material este extrem de variabilă: de la 75 de resturi (Păuleasca) până la peste 4000 (Bucov-

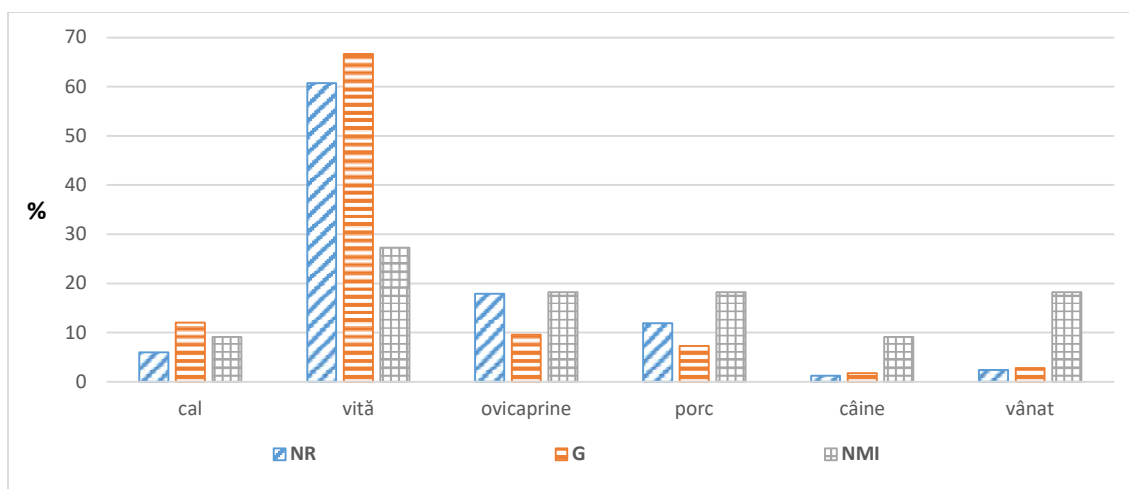
Ploiești). Una din caracteristicile comune tuturor acestor situri este predominanța bovinelor (mai puțin la Păuleasca), sugerând exploatarea cu predilecție a acestui taxon, atât pentru produsele sale secundare (lapte și forță de tracțiune), cât și pentru carne. Locul doi este deținut de

ovicaprine și/sau porcine. Remarcăm situația de la Păuleasca (Haimovici, Gava 2002) unde porcinele depășesc cu puțin bovinele – 1,5%, dar această situație poate fi explicată și prin eșantionul studiat, unul extrem de redus (sub 80 de resturi).

NR - Taxoni/Complexe	Cpl 4	Cpl 6	Cpl 7	Cpl 7 bis	Cpl 8	Cpl 9	Cpl 10	Cpl 11	Cpl 14	Cpl 17	Cpl 19	Cpl 20	Cpl 22	Cpl 25	Total	%	NMI	%
<i>Equus caballus</i>				4							1				5	5.95	1	9.09
<i>Bos taurus</i>	1	4	15	7	5	1	1	1	1	4		2	7	2	51	60.71	3	27.27
<i>Ovis aries</i>			1								1				2	2.38	1	9.09
ovicaprine	1		4	6							2				13	15.48	1	9.09
<i>Sus domesticus</i>	1		1	3	1	1			1			2			10	11.90	2	18.18
<i>Canis familiaris</i>				1											1	1.19	1	9.09
<i>Cervus elaphus</i>													1		1	1.19	1	9.09
<i>Lepus europaeus</i>				1											1	1.19	1	9.09
total determinate	3	4	21	22	6	2	1	1	2	4	4	4	8	2	84	100.00	11	100.00
indet mamifere de talie mare			14	6	3	1			1			1	1		27			
indet mamifere de talie medie			6	7											13			
Total mamifere	3	4	41	35	9	3	1	1	3	4	4	5	9	2	124			
Reptilia							1								1			
Aves	1			2											3			
Total fauna	4	4	41	37	9	4	1	1	3	4	4	5	9	2	128			
corn de cerb			1												1			

G - Taxoni/Complexe	Cpl 4	Cpl 6	Cpl 7	Cpl 7 bis	Cpl 8	Cpl 9	Cpl 10	Cpl 11	Cpl 14	Cpl 17	Cpl 19	Cpl 20	Cpl 22	Cpl 25	Total	%
<i>Equus caballus</i>				190							35				225	11.99
<i>Bos taurus</i>	6	165	267	107	109	62	20	21	12	125		19	283	55	1251	66.68
<i>Ovis aries</i>			20								16				36	1.92
ovicaprine	14		24	12	10	25					19	36	3		143	7.62
<i>Sus domesticus</i>	3		35	27	22	5			4			40			136	7.25
<i>Canis familiaris</i>				15									12	6	33	1.76
<i>Cervus elaphus</i>													50		50	2.67
<i>Lepus europaeus</i>				2											2	0.11
total determinate	23	165	346	353	141	92	20	21	16	125	70	95	348	61	1876	100.00
indet mamifere de talie medie			110	30											140	
indet mamifere de talie mare			13	13											26	
Total mamifere	23	165	469	396	141	92	20	21	16	125	70	95	348	61	2042	
Reptilia							6								6	
Aves	1			11											12	
Total fauna	24	165	469	407	141	92	26	21	16	125	70	95	348	61	2060	

Table 3. Repartiția numerică și procentuală a numărului de resturi (NR), greutate (G, în grame) și a numărului minim de indivizi (NMI) pe specii identificate în complexe de Ev Mediu timpuriu de la Sisești / Frequency and number of remains (NR), weight (G, in grams) and minimum number of individuals (MNI) for the species identified in the Early Medieval features from Sisești.



Grafic 1. Repartiția procentuală a numărului de resturi (NR), greutate (G) și a numărului minim de indivizi (NMI) pe specii de mamifere descoperite în complexe de Ev Mediu timpuriu de la Sisești. Legendă: vânat – cerb (*Cervus elaphus*) și iepure de câmp (*Lepus europaeus*) / Frequency of the remains (NR), weight (G) and minimum number of individuals for the mammal species identified in the Early Medieval features from Sisești. Legend: game – deer (*Cervus elaphus*) and hare (*Lepus europaeus*).

Conform analizei noastre, această comunitate din secolul al IX-lea se ocupa în principal cu creșterea bovinelor, secundate de ovicaprine și porcine. Vânatul are o importanță extrem de redusă, dacă avem în vedere numărul mic de resturi identificate. Speciile descoperite, cerbul și iepurele de câmp, sugerează existența în preajma așezării a unor masive păduroase, dar și a unor spații deschise, care erau exploatate atât pentru agricultură, cât și pentru hrănirea turmelor de animale domestice.

Această predominanță a bovinelor a fost observată și în majoritatea așezărilor contemporane din Muntenia (Bragadiru-București, Radovanu, Bucov-Ploiești, Bucu și Dridu). Vânătoarea are aceeași pondere redusă, care nu depășește mai mult de 7% (Păuleasca – Haimovici, Gava 2002), dar în majoritatea siturilor aceasta are o pondere de 2–3%, la fel ca la Sisești. Remarcăm că există o bună corelație între mărimea eșantioanelor și numărul de specii sălbatice identificate. Astfel, în condițiile unor eșantioane mai mari, care depășesc 250 de resturi determinate, numărul taxonilor sălbatici vânați crește. La Radovanu (Haimovici 2003) avem trei taxoni (cerb, mistreț, bour), la Bucu (Moise 2000) și la Dridu (Necrasov, Haimovici 1967) s-au identificat aceleași trei specii (cerb, mistreț, iepure de câmp), iar la Bucov (Haimovici 1979) avem cinci taxoni (cerb, căprior, mistreț, iepure de câmp și bour). Eșantioanele mai mici, cum ar fi cele de la Bragadiru (Udrescu 1981, p. 238–239) și Păuleasca, prezintă doar două specii (cerb și căprior), la fel cum este cazul și la Sisești (cerb și iepure de câmp).

2.6. Industria materiilor dure animale

Singurele două piese de os provin dintr-un bordei cu cuptor – Cpl. 7 bis. Stigmatetele tehnologice au fost analizate folosindu-se un stereo-microscop Olympus SZ61 (mărituri până la 90x), precum și un microscop optic Keyence VHX-600 (mărituri între 30x și 150x).

După morfologia spărturilor la capete, prima piesă din Cpl. 7 bis (Fig. 37/1) este un „mâner/manșon” de os. A fost realizat pe o diafiză de tibie stângă de ovicaprin. Lanțul operațional indicat de stigmatetele lăsate de producerea piesei indică segmentarea prin tăiere pentru extragerea suportului (Fig. 37/3-sus), urmată de abraziunea capetelor acestuia (Fig. 37/3-jos), curățarea suprafeței exterioare prin *raclage* (Fig. 37/5) și, în final, lustruirea suprafeței (Fig. 37/6). Pe durata utilizării (probabil ca mâner al unui recipient), piesa s-a rupt și s-a încercat eliminarea capătului spart prin tăiere, în vederea refolosirii ei, dar operațiunea a fost abandonată (Fig. 37/4).

A doua piesă din Cpl. 7 bis este, din punct de vedere al morfologiei frontului activ, un vârf realizat pe un fragment distal epifizat de tibie dreaptă de ovicaprin (Fig. 37/2). Este un vârf confecționat pe suport conservând volumul anatomic al osului. S-a intervenit tehnologic doar la nivel distal pentru amenajarea frontului activ. S-a aplicat o lovitură în percuție difuză, ceea ce a generat o fractură oblică. Planul de fracturare a fost regularizat prin

abraziune, pentru a asigura convergența laturilor și morfologia ascuțită a frontului activ. Acesta din urmă este tocit, ca urmare a utilizării.

2.7. Piesele de metal sunt reprezentate de un vârf de săgeată descoperit în bordeiul cu cuptor Cpl. 14 și piroane de fier din Cpl. 25. Un vârf de săgeată similar a fost descoperit în 1960 (Fig. 42). **Fragmente de zgură** (peste 30) au apărut în interiorul cuptoarelor și al bordeielor cu cuptor (Tabel 1). Dimensiunile lor variază de la 3–4 cm la 8–10 cm. Este de presupus, în cazul unora dintre complexe, o legătură cu activități metalurgice primitive de producere a unor piese de metal de natură domestică.

Locuirea medievală târzie

2.8. Ceramică și sticlă (Fig. 34/1)

Ceramica descoperită în complexul medieval târziu este extrem de redusă numeric. Fragmentele identificate pot fi atribuite, cel mai probabil, unui număr de trei oale, dintre care două realizate dintr-o pastă mai grosieră, cu un nisip mai mare. O a treia oală, realizată dintr-o pastă mai fină, cu pereți mai subțiri, prezintă o toartă și un decor cu humă albă, reprezentat prin dungi orizontale, dispuse pe tot umărul vasului. În zona buzei se mai păstrează resturi de smalt.

Analogii pentru astfel de oale cu toartă sunt numeroase, forma și detaliile de realizare fiind comune în siturile medievale. În acest sens, putem face o referire la situl de la Străulești – *Măicânești*, aflat în apropiere, unde au fost identificate astfel de vase și datate în sec. XV–XVI (Constantiniu, Panait 1965, p. 216–217, fig. 115). Totuși, prezența smaltului, precum și alte detalii tehnologice par a indica o datare mai târzie a complexului nostru, respectiv în sec. XVII–XVIII.

2.9. Industria litică (Fig. 36/2) cuprinde 14 piese, dintre care 11 galeți de cuarț cu fațete plate cu urme de lustru, trei dintre ei având probabil și urmele unui pigment roșiatic (Fig. 36/2-stânga sus). Alte două piese intră în categoria lustruitoarelor din gresii nisipoase (Fig. 36/2-stânga și dreapta, rândul de jos); lor li se adaugă și un fragment de râșniță din șist negricios, probabil ars (Fig. 36/2-rândul de jos, centru). Cercetările arheometrice proiectate în viitor ar putea furniza detalii asupra funcționalității lor.

2.10. Piesele de metal (Fig. 34/2) sunt majoritar fragmentare și includ obiecte de fier de utilitate domestică: potcoave (4), piroane/cuie (5), fragmente din piese nedeterminate (3). Alături de acestea, mai sunt prezente cinci fragmente, aparent dintr-o singură lamă realizată din fier, cu lățimea de 4–4,5 cm și o lungime însumată de cca 36 cm. Aceste dimensiuni, precum și faptul că niciunul dintre fragmente nu are caracteristici care să sugereze că aparțin unui capăt sau altuia al piesei,

sugerează că poate fi vorba despre lama unei săbii. În situl vecin, de la Străulești – Măicănești, cel mai apropiat sit medieval, au fost descoperite în anii '60 ai secolului al XX-lea, teci din piele aparținând unor astfel de săbii (Constantiniu, Panait 1965, p. 208, fig. 108/7). Lățimea exterioară a acestor teci, de cca 5 cm, concordă cu lățimea conservată a lamei noastre. În situl de la Străulești – Măicănești, astfel de teci din piele erau datate în secolele XV–XVI, datare prea timpurie pentru complexul nostru, dacă avem în vedere caracteristicile ceramicii.

O altă piesă descoperită este o greutate din fier, de formă triunghiulară, cu laturile rotunjite și cu o gaură de

atârnare dispusă central (Fig. 34, centru, rândul de jos).

Unica piesă de podoabă este un pandantiv (Fig. 34, stânga, rândul de jos), din care s-a păstrat rama ovoidală, cu un orificiu de prindere. Piesa este realizată dintr-un aliaj de culoare alburui-gri, cu o ușoară patină verzuie. Pe spatele ramei era fixat și sistemul de prindere a unei pietre (semiprețioase sau din sticlă), care nu s-a mai păstrat. Măsurătorile arheometrice realizate cu un aparat Brucker Instruments Tracer 5i indică un aliaj de cupru și zinc (Tabel 4) care, ca aspect exterior, lasă impresia că bijuteria a fost făcută din argint.

Probă	Zonă analizată	Cu%	Sn%	Pb%	Ag%	Fe%	Ti%	Zn%	Hf%
Pendantiv	patină	87	0,41	0,87	0,08	2,4	0,43	8,25	0,43

Tabel 4. Componența elementală a pandantivului de la Sisești, Cpl. 5 / Elemental composition of the pendant from Cpl.5 at Sisești.

NR-Taxoni/Complexe	Cpl. 5	Cpl. 18	Total
<i>Bos taurus</i>		1	1
<i>Ovis aries</i>	1		1
ovicaprine		2	2
total determinate	1	3	4
indet mamifere de talie medie		1	1
Total faună	1	4	5
G-Taxoni/Complexe	Cpl. 5	Cpl. 18	Total
<i>Bos taurus</i>		16	16
<i>Ovis aries</i>	4		4
ovicaprine		13	13
total determinate	4	29	33
indet mamifere de talie medie		2	2
Total faună	4	31	35

Tabel 5. Repartiția numerică și procentuală a numărului de resturi (NR) și greutate (G) pe specii identificate în complexe de Ev Mediu târziu de la Sisești / Numbers and frequency of the remains (NR) and weight (G) by species, as identified in the Early Medieval features from Sisești.

2.11. Materialul faunistic este extrem de redus numeric și numără doar opt resturi (35 g), care provin din două complexe arheologice (Cpl. 5 – bordei și 18 – mormânt dublu) datate în secolul al XVIII-lea (Tabel 5).

Oasele descoperite în Cpl. 18 este posibil să provină din umplutura gropii mormântului, neexistând elemente care să sugereze că acestea sunt ofrande rituale. Numărul de specii identificate taxonomic este extrem de redus, doar două – vită și oaie. Este posibil ca, în cadrul eșantionului de ovicaprine indeterminate (NR = 4), să existe și capră, dar aceasta nu a fost identificată de o manieră precisă. Ca NMI s-au identificat un subadult de vită, o oaie subadultă/adultă și un ovicaprin subadult/adult.

Mărimea eșantionului faunistic nu ne permite să facem alte aprecieri asupra acestei faune din perioada Evului Mediu târziu.

2.12. Resturile osteologice umane (doi indivizi) provin dintr-un mormânt dublu de inhumație (Cpl. 18). Primul individ este adult și este mai bine păstrat și reprezentat, iar cel de-al doilea este un subadult, foarte friabil, cu un grad de fragmentaritate ridicat. Premergător analizei antropologice propriu-zise, oasele au fost spălate cu apă, uscate la temperatura camerei și apoi restaurate în vederea prelevării datelor biometrice (Tabel 7) sau evidențierii unor particularități. Protocolul de lucru pentru cei doi indivizi a reunit atât metode comune (descrise în cazul individului adult), precum și unele diferite, specifice vârstei subadulte (descrise în cazul celui de al doilea subiect). Datele sintetice obținute din studiul antropologic sunt redată în Tabelul 6.

	Sex	Categorie de vârstă	Vârstă la deces	Statură scheletică	Greutate scheletică (kg)	Patologii dentare și osoase
Individ 1	F	Adult matur	35,0–39,0 ani	153,9 ± 3,5 cm	56,8	Tartru dentar, carii dentare, hipoplazie smalț dentar, <i>cribra orbitalia</i>
Individ 2	–	Infant	0,5–1,5 ani	818,8 ± 125,0 mm	10,2 ± 0,2	–

Tabel 6. Tabel sinoptic al principalelor caracteristici antropologice evidențiate la indivizii analizați / Synopsis of the main characteristics of the studied individuals.

Individul 1

Resturile scheletice sunt foarte bine conservate, fiind ușor afectate de agenții tafonomici din sol, aspect evidențiat prin suprafețe albicioase (decolorate), care apar preponderent pe craniu, mandibulă și pe diafize, sau prin ușoare distrugerii, în special în aria extremităților oaselor lungi. La nivelul celor două oase parietale, pe linie mediană, în aria sectoarelor suturale sagitale S₃–S₄, au fost observate pete de culoare verzuie (Fig. 39/1), probabil rezultatul impregnării craniului cu oxizi de cupru proveniți de la cele trei ace de păr din inventarul funerar. În conformitate cu sistemul de clasificare al lui Brickley și McKinley (2004, p. 15–17), oasele se înscriu, în general, în gradul 1 de eroziune/abraziune.

Pe baza inventarului scheletic, individul este aproximativ complet și destul de puțin fragmentar. Caracteristicile biomorfometrice (Martin 1928a, p. 625–678; Martin 1928b, p. 1005–1052; Bräuer 1988, p. 160–232; Marc, Matthew 2013) ne relevă un individ cu o constituție gracilă.

Craniul neural este cvasicomplet (prezintă câteva distrugerii și lipsuri la nivelul scuamelor) și criptozig (Fig. 39/1). Lungimea maximă craniană este scurtă, lățimea maximă craniană, îngustă, iar indicele cranian orizontal descrie un craniu brahicran (rotunjit). Înălțimea craniană a putut fi calculată doar între punctele *po* – *b* și este foarte scundă. Indicii vertico-longitudinal și vertico-transversal redau un craniu ortocran (mijlociu), respectiv tapeinocran (mic). Fruntea are lărgime minimă din categoria lată și lărgime maximă, mijlocie; prezintă margini ovale (intermediare) conform indicelui frontal transversal și este eurimetopă (largă) pe baza indicelui fronto-parietal transversal. Corespunzător indicelui parietal sagital, parietalele sunt bombate, iar indicele parieto-occipito transversal relevă un occipital larg.

Din craniul visceral au fost recuperate oasele palatine, fragmente din etmoid, zigomatice, sfenoid și hioid, maxilele și mandibula. Sunt prezenți toți cei 32 de dinți, în alveole, cu dentina prezentă sub formă de mici insule pe suprafața ocluzală a tuturor dinților. Palatul este leptostafilin (strâmt), conform indicelui palatal și hipsistafilin (înalt), bilateral, pe baza indicelui înălțimii. Mandibula este îngustă intercondilar, foarte îngustă intergonional, are gonioanele ușor răsfrânte, iar indicele mandibular descrie o mandibulă dolicoostenomandibulară (îngustă sau alungită).

De la nivelul scheletului postcranian s-a păstrat aproape în întregime coloana vertebrală, iar sectorul costal este fragmentar și incomplet. Lipsește sternul. Centura scapulară prezintă clavicule, întregi (gracile conform indicelui de robusticitate; mijlocie pe stânga și scurtă în dreapta, pe baza indicilor claviculo-humerali) și omoplați, fragmentari. Humerușii sunt compleți și euribrahii (rotunjiți) prin indicii de secțiune diafizară la mijloc. Radiusul stâng este complet (indicele brahial exprimă un radius mijlociu),

iar din cel drept este prezentă doar jumătatea proximală. Ulnele sunt întregi; indicii de platolenie redau la nivel sub-sigmoidian o ulnă stângă platolenică (aplatizată) și perechea acesteia, eurolenică (rotunjită). Sacrumul este bine păstrat, homobazal și platihieric (larg) pe baza indicelui sacral. Femurele sunt bine păstrate, cel drept prezentând ușoare distrugerii distale. Indicii de platimerie relevă femure eurimere (rotunjite sub trohantere), iar indicele pilastric descrie un femur stâng cu pilastru slab. Lipsește patela stângă, iar tibiile și peroneele sunt incomplete și fragmentare. Au mai fost recuperate câteva carpiene, metacarpene, tarsiene, metatarsiene și falange de la mâini.

Caracteristicile scheletice discriminante sexuale pledează pentru apartenența individului la sexul feminin. În acest sens, reținem o serie de trăsături (Buikstra, Ubelaker 1994, p. 16–21) de la nivelul bazinului (mare șanț sciatic, larg, deschis = 2; sulcus preauricular, larg = 1) și craniului (creastă nucală, netedă, cu puține zone rugoase de inserție musculară = 2; proces mastoid, ascuțit, de grosime moderată = 3; margine supraorbitală, relativ ascuțită = 2; glabelă, netedă = 1; eminente mentale, minim exprimate = 2), la care se adaugă, complementar, caracteristici generale (Ferembach *et alii* 1980, p. 517–527; Acsádi, Nemeskéri 1970, p. 75–87) ce privesc întregul schelet.

Vârsta la deces a putut fi estimată atât pe baza suprafețelor auriculare ale oaselor coxale (Lovejoy *et alii* 1985), aflate în faza a patra de dezvoltare (35–39 ani), cât și prin înregistrarea gradului de obliterare a suturilor craniene, în aspect endocranian (Meindl, Lovejoy 1985, p. 63), care se remarcă printr-un nivel minim de sudare, corespunzător fazelor 2–3 (37,1 ani). Așadar, individul este un adult matur, aflat în stadiul incipient al categoriei de vârstă.

Statura scheletică a fost calculată prin metoda Pearson (Rösing 1988, p. 597), pe baza lungimilor maxime ale humerușilor, radiusului stâng și femurului stâng. Are o valoare de 153,9 ± 3,5 cm și este încadrată în categoria mijlocie. Un alt indicator corporal, greutatea scheletică (Auerbach, Ruff 2004, p. 336), are o valoare calculată la 56,8 kg, pe baza ecuațiilor de regresie ce includ diametrele antero-posterioare ale capetelor femurale.

Individul prezintă o serie de boli dentare. O primă manifestare o constituie tartrul dentar, supragingival, localizat neuniform pe dinții superiori – I¹–C[#] stângi (labial); P¹–M² stângi (bucal); P¹–P² stângi, M³, bilateral (lingual) și pe cei inferiori – I₁–M₁, bilateral (labial și bucal, Fig. 39/2); I₁–M₁ stângi (lingual); I₁–P₂ drepte (lingual); M₃, bilateral (distal). Alte boli dentare observate sunt cariile. Astfel, a fost constatată o leziune carioasă de mici dimensiuni la nivelul M¹, bilateral (bucal), precum și leziuni carioase de mari dimensiuni, manifestate prin pierderea unei părți a dintelui la nivelul M³, bilateral

(bucal). Un ultim aspect patologic dentar întâlnit îl reprezintă hipoplazia smalțului dentar, observată bilateral, la nivelul C[#] și C[#]-P₁. Hipoplazia este un bun indicator al stresului fiziologic și este cauzată de un episod de stres în faza amelogenetică, de formare a smalțului dentar (Goodman, Armelagos 1985).

O altă categorie de boli evidențiate este cea a maladiilor cu substrat metabolic și endocrin. Dintre acestea, pe plafonul orbitelor, au fost observate manifestări ale *cribrei orbitalia*, în formă vindecată (Fig. 39/3). Cel mai adesea, etiologia *cribrei orbitalia* este legată de anemia feriprivă: moștenită (talasemie și siclemie) sau dobândită, cauzată de lipsa aportului de fier din alimentație (Wapler *et alii* 2004; Keenleyside, Panayotova 2006).

În vederea stabilirii biodistanțelor inter- și intra-populaționale, au fost înregistrate și câteva caractere non-metrice (Mann *et alii* 2016; Turner *et alii* 1991; Hauser, De Stefano 1989; Finnegan 1978). Dintre caracterele epigenetice dentare prezente, amintim: rotații (I¹, disto-lingual, stânga, Fig. 39/4), incisivi lopățică (I¹, urmă, stânga), șanțuri de întrerupere (I¹-I², pe mijlocul cingulumului, stânga, Fig. 40/4), tubercul dentar (I², puternic, dreapta), metacon (M¹-M², intermediar, bilateral), hipocon (M¹-M², larg, bilateral; M³, moderat, bilateral), metaconul (M³, mic cuspid, bilateral), cuspidi linguali (P₂, cel mezial este egal cu cel distal, bilateral), model canelură (M₂-M₃, în formă de „+”, bilateral), număr cuspidi (M₁-M₂ = 4, M₃ stâng = 5, M₃ drept = 6), hipoconulid (M₃, mic, bilateral, Fig. 40/3), entoconulid (M₃, egal cu hipoconulidul, dreapta, Fig. 40/3).

Caracterele discrete înregistrate la nivelul craniului sunt: șanț supraorbital (dreapta), foramen zigomatico-facial (două, largi, bilateral), osicule în interiorul șanțului parietal (stânga), canal condilar (nedeschis, bilateral), foramen mastoidal (unul, pe temporal, bilateral), sutură petrosqvanoasă (completă, bilateral), foramen mental (unul, bilateral), punte milohioidiană (în centrul canalului milohioidian, parțială, stânga).

În segmentul postcranian au fost observate: al treilea trohanter (femur, bilateral), fațetă Charles (femur, stânga), fațete articulare laterale (tibiae, dreapta), creastă acetabulară (coxal, stânga, Fig. 40/1), sulcus preauricular (coxal, bilateral), fațetă articulară acromială (omoplat, stânga), fosă mușchi vast lateral (patelă, dreapta), fațetă superioară articulară (atlas, una singură, bilateral).

Un ultim aspect analizat îl reprezintă prezența markerilor stresului biomecanic (Borgognini Tarli, Paciani, 1993; Herrerin López 1991). Dintre acestea, amintim câteva caractere epigenetice¹ (fațeta Charles, pe femurul

stâng; fațete articulare laterale tibiale), markeri musculoscheletici (amprente osteocondritice, pe femure, Fig. 40/2) și markeri metrici (asimetria osoasă). Aceasta din urmă a fost calculată pe baza lungimilor maxime ale humeruşilor și are o valoare pozitivă (1,30), ceea ce ne indică o predilecție a individului în utilizarea părții drepte la acel nivel. Acest aspect este confirmat și de valorile lungimilor maxime ale claviculelor, cea stângă fiind mai ridicată (138,7 mm), față de perechea ei (132,0 mm), întocmai pentru a contrabalansa presiunea exercitată la nivelul centurii scapulare a membrului dominant (Mays *et alii* 1999).

Dimensiuni și indici	Individ 1 Valori (st. / dr.)	Individ 2 Valori (st. / dr.)
<i>Neurocraniu:</i> 1. Lungime maximă (G – Op)	162,4	
8. Lățime maximă (Eu – Eu)	135,3	
11. Indice cranian orizontal (8 : 1) × 100	83,3	
20. Înălțime (proiecție Po – B)	98,5	
14. Indice vertico-longitudinal (20 : 1) × 100	60,6	
15. Indice vertico-transversal (20 : 8) × 100	72,8	
<i>Fronțe:</i> 9. Lărgime minimă (Ft – Ft)	101,2	
10. Lărgime maximă (Co – Co)	117,0	
112. Indice frontal transversal (9 : 10) × 100	86,5	
113. Indice fronto-parietal transversal (9 : 8) × 100	74,8	
<i>Parietal:</i> 27. Arc sagital (B – L)	121,0	
30. Coardă sagitală (B – L)	106,1	
124. Indice parietal sagital (30 : 27) × 100	87,7	
<i>Occipital:</i> 12. Lărgime (Ast – Ast)	108,1	
114. Indice parieto-occipito transversal (12 : 8) × 100	79,9	
<i>Arcadă superioară:</i> 61. Lățime (Ekm – Ekm)	58,4	
<i>Palat:</i> 62. Lungime (Ol – Sta)	45,8	
63. Lățime (Enm – Enm)	32,3	
64. Înălțime (în spatele M ¹)	13,5 / 13,6	
158. Indice palatal (63 : 62) × 100	70,5	
159. Indice înălțime (64 : 63) × 100	41,8 / 41,9	
<i>Mandibulă:</i> 65. Lărgime intercondilară (Kdl – Kdl)	113,0	77,8
66. Lărgime intergoniacă (Go – Go)	89,3	67,1
68. Lungime corp (proiecție Pg – Go)	110,1	72,8
162. Indice mandibular (68 : 65) × 100	97,5	93,6

¹ Pe lângă aportul lor în stabilirea gradului de înrudire genetică, exprimarea caracterelor nonmetrice (în special cele de la nivelul scheletului postcranian) se află într-o strânsă interdependență cu stilul

de viață al indivizilor, fiind și rezultatul generat de o serie de activități cotidiane ce implică articulațiile.

80(2). Lungime (P ₁ – M ₃)	47,8 / 47,7	
Claviculă: C1. Lungime maximă	138,7 / 132,0	
C6. Perimetru la mijloc	30,0 / 30,0	
Indice robusticitate (C1 : C6) × 100	21,6 / 22,7	
Humerus: H1. Lungime maximă	299,8 / 303,6	116,6 / –
H2. Lungime fiziologică	294,6 / 299,3	
H5. Diametru maxim la mijloc	19,2 / 19,4	11,4 / –
H6. Diametru minim la mijloc	15,2 / 15,5	10,3 / –
Indice secțiune diafizară (H6 : H5) × 100	78,8 / 80,0	90,9 / –
Radius: R1. Lungime maximă	233,2 / –	
Ulnă: U13. Diametru transversal sub-sigmoidian	17,0 / 16,7	12,2 / –
U14. Diametru sagital sub-sigmoidian	20,4 / 21,4	14,1 / –
Indice platolenie (U13 : U14) × 100	83,2 / 77,8	86,6 / –
Sacrum: S2. Lungime directă anterioară	105,8	
S5. Lățime antero-superioară	120,1	
Indice sacral (S2 : S5) × 100	113,5	
Femur: F1. Lungime maximă	423,5 / –	
F2. Lungime fiziologică	421,3 / –	
F6. Diametru sagital la mijloc	25,5 / –	
F7. Diametru transversal la mijloc	23,6 / –	
F9. Diametru transversal sub-trohanterian	30,1 / 32,9	17,5 / –
F10. Diametru sagital sub-trohanterian	26,6 / 29,2	15,3 / –
F19. Diametru sagital cap	40,3 / 40,8	
F21. Lățime epicondilară	73,7 / –	
Indice pilastric (F6 : F7) × 100	108,0 / –	
Indice platimeric (F10 : F9) × 100	88,4 / 88,8	87,5 / –
Patelă: P2. Lățime maximă	– / 40,5	
Tibie: T8a. Diametru sagital la fosa nutritivă		15,2 / –
T9a. Diametru transversal la fosa nutritivă		14,0 / –
Indice cnemic (T9a : T8a) × 100		92,2 / –
Intermembral: Indice claviculo-humeral (C1 : H2) × 100	47,1 / 44,1	
Indice humero-radial (R1 : H2) × 100	79,2 / –	

Table 7. Dimensiuni (mm) și indici, cranian și postcranian, la indivizii de la Sisești / Size (mm) and indexes (cranial and postcranial) for the Sisești individuals.

Individul 2

Au fost recuperate resturi scheletice, mediu conservate (grad 3 de eroziune/abraziune), care prezintă exfolieri și deformări la nivelul craniului neural și numeroase distrugerii în toate sectoarele segmentului postcranian.

Din neurocraniu au fost identificate numeroase fragmente din scuame, de mici dimensiuni. Din etajul visceral s-au păstrat fragmente din maxile și mandibulă

(dolicoostenomandibulară). Dentiția este deciduală. Au fost recuperați 20 de dinți (i¹–M¹ stângi; i²–M¹ drepti; i₁–m₂ stângi; i₂–m₂ drepti), niciunul, definitiv, erupt; doi dinți au fost pierduți postmortem (i¹ drept; i₁ drept). Sectorul costovertebral este destul de fragmentar. Lipsesc oasele centurii scapulare, iar din bazin a fost recuperat doar un fragment dintr-un ischion stâng. De la nivelul membrelor au fost identificate doar oasele lungi de pe partea stângă, dintre care întreg s-a păstrat numai humerusul (euribrah). Alte caracteristici biomorfometrice evidențiate sunt eurolenia ulnei, eurimeria femurului și tibia, euricnemică.

Vârsta individului a fost estimată atât pe baza secvenței de erupție și dezvoltare a dinților (Ubelaker 1980, p. 46–47, fig. 62), cât și pe baza lungimii maxime a diafizei humerale stângi, conform normelor aceleiași autor (Ubelaker 1980, p. 48–49, tab. 5). Au fost obținute valori de 1,5 ani ± 6 luni, respectiv 0,5–1,5 ani (*infant*).

Pe baza recomandărilor din literatura de specialitate, au fost calculate statura (Visser, 1998 p. 415) și greutatea scheletică a individului (Visser, 1998 p. 417). Cei doi parametri corporali, aflați în strânsă interdependență, au valori de 818,8 ± 125,0 mm, respectiv 10,2 ± 0,2 kg.

Dintre caracterele epigenetice dentare au fost observate (bilateral, pe coroana M¹, aflată în alveolă) câte un metacon și un hipocon (largi) și un metaconul (un cuspid de mici dimensiuni). La nivel cranian a fost observată prezența bilaterală a unui foramen mental.

CONCLUZII

Cercetarea arheologică a siturilor de pe traseul Colentinei a avut un prim avânt în anii '60 ai secolului trecut, când multe dintre ele au fost descoperite sau redescoperite. Dezvoltarea imobiliară din ultimele decade a favorizat noi cercetări arheologice preventive, care, deși desfășurate pe zone restrânse, au adus un aport important în observarea dinamicii comunităților umane în diverse epoci.

Principalul rezultat care merită a fi subliniat este clarificarea confuziei legate de localizarea punctului *La Stejar*. Cercetarea noastră din 2020, precum și cele din 2007 și 2011 aparțin, de fapt, sitului arheologic Bucureștii Noi – Alba și nu Băneasa – *La Stejar*, fapt confirmat și de structura materialelor arheologice identificate în cele patru zone cercetate (incluzând și materialul publicat din cercetările din anii 1960). De asemenea, este eronată întreaga amplasare și delimitare a siturilor din această zonă, așa cum apar pe *Planșa cu delimitarea siturilor arheologice*, anexă a PUG București 2000. Localizarea lor corectă, atât cât putut fi reconstituită, este prezentată în Planul 3/A.

Rezultatele prezentate de noi confirmă existența unei locuiri de epoca bronzului. Cea mai intensă locuire a fost însă constatată pentru perioada medievală timpurie, fiind identificat un număr semnificativ de bordeie și

cupatoare, aglomerate într-o zonă restrânsă pe terasa înaltă a malului Colentinei, în interiorul unui perimetru localizat la maxim 50 m de marginea actuală a terasei. Potrivit localizării celorlalte cercetări, raportate la modificările antropice ale cursului Colentinei, putem considera că ne aflăm spre limita nordică a așezării. Cercetările noastre pot fi racordate la cele realizate de Muzeul Municipiului București în 1962, 2008 și 2011, cercetări care au revelat complexe atribuite aceleiași perioade a secolelor IX–X p.Chr. Sperăm ca noi informații să fie adăugate cu ocazia cercetării parcelelor învecinate, în momentul de față libere de construcții.

Nota de noutate adusă de noi se referă și la identificarea unei locuiri medievale târzii, pusă în evidență de existența unui bordei cu inventar bogat în piese de metal și a unui mormânt dublu.

Id	Est	Nord
1	582288.941	334458.824
2	582337.568	334446.275
3	582361.097	334421.177
4	582359.529	334378.824
5	582337.568	334350.589
6	582318.745	334327.060
7	582285.804	334322.354
8	582262.274	334358.432
9	582249.725	334391.373
10	582249.725	334429.020

Tabel 8. Coordonatele STEREO 70 ale sitului Străulești – Măicănești (delimitare 1963) / STEREO 70 coordinates for the site at Străulești – Măicănești (as defined in 1963).

Id	Est	Nord
1	582470.901	334276.864
2	582497.567	334276.864
3	582575.999	334256.472
4	582583.842	334178.041
5	582554.038	334171.766
6	582448.940	334185.884
7	582447.372	334220.393

Tabel 9. Coordonatele STEREO 70 ale sitului Străulești – Lunca (delimitare 1963) / STEREO 70 coordinates for the site at Străulești – Lunca (as defined in 1963).

Id	Est	Nord
1	583040.311	334228.237
2	583103.055	334181.178
3	583098.350	334121.570
4	583071.683	334096.472
5	583012.075	334099.610
6	582972.860	334123.139
7	582994.821	334187.452

Tabel 10. Coordonatele STEREO 70 ale sitului București – Alba (delimitare 1963) / STEREO 70 coordinates for the site at București – Alba (as defined in 1963).

Id	Est	Nord
1	583477.956	333845.493
2	583438.741	333743.532
3	583525.015	333643.141
4	583661.485	333627.454
5	583699.132	333698.042
6	583705.406	333726.278
7	583721.092	333792.160
8	583550.113	333851.767

Tabel 11. Coordonatele STEREO 70 ale sitului Băneasa – La Stejar (propunere delimitare) / Suggested STEREO 70 coordinates for the site at Băneasa – La Stejar.

Id	Est	Nord
1	585059.127	333927.061
2	585015.205	333843.924
3	584943.049	333884.708
4	584949.323	333901.963

Tabel 12. Coordonatele STEREO 70 ale sitului Băneasa – Sat (delimitare 1965) / STEREO 70 coordinates for the site at Băneasa – Sat (as defined in 1965).

MULȚUMIRI

Mulțumim doamnei Monica Mărgărit pentru informațiile referitoare la piesele de os și doamnei Daniela Stan de la IFIN-HH pentru măsurătorile arheometrice.

BIBLIOGRAFIE

- Acsádi, Nemeskéri 1970 – G. Acsádi, J. Nemeskéri, *History of human life span and mortality*, Budapest, 1970.
- Auerbach, Ruff 2004 – B. M. Auerbach, C. B. Ruff, *Human body mass estimation: a comparison of "morphometric" and "mechanical" methods*, *AJPA* 125, 2004, 4, p. 331–342.
- Barone R., 1986 – R. Barone, *Anatomie comparée des mammifères domestiques*, 3^e éd., vol. I, Paris, 1986.
- Bălășescu *et alii* 2003 – A. Bălășescu, M. Udrescu, V. Radu, D. Popovici, *Archéozoologie en Roumanie. Corpus de données*, Biblioteca Muzeului Național, Cercetări Pluridisciplinare 5, București, 2003.
- Boesneck *et alii* 1964 – J. Boesneck, H. H. Muller, M. Teichert, *Osteologische Unterscheidungsmerkmale zwischen Schaf (Ovis aries Linnaeus) und Ziege (Capra hircus Linnaeus)*, *Kühn-Archiv* 78, 1964, p. 1–129.
- Borgognini Tarli, Paciani 1993 – S. Borgognini Tarli, E. Pacciani, *I resti umani nello scavo archeologico. Metodiche di recupero e studio*, Roma, 1993.
- Bräuer 1988 – G. Bräuer, *Osteometrie*, în: R. Knußmann, I. Schwidetzky, H. W. Jürgens, G. Ziegelmayer (eds.), *Anthropologie, Handbuch der vergleichenden Biologie des Menschen*, zugleich 4. Auflage der Lehrbuchs der Anthropologie, begründet von Rudolf Martin, Sonderdruck, Band I/1: Wesen und Methoden der Anthropologie, Stuttgart, 1988, p. 160–232.
- Brickley, McKinley 2004 – M. Brickley, J. I. McKinley (eds.), *Guidelines to the standards for recording human remains*, IFA Paper 7, British Association for Biological Anthropology and Osteoarchaeology – Institute of Field Archaeology, Southampton – Whiteknights, 2004.
- Buikstra, Ubelaker 1994 – J. E. Buikstra, D. H. Ubelaker (eds.), *Standards for data collection from human skeletal remains*, Arkansas Archaeological Survey Research 44, Arkansas 1994.
- Clutton-Brock *et alii* 1990 – J. Clutton-Brock, K. Dennis-Bryan, P. A. Armitage, P. A. Jewell, *Osteology of the Soay Sheep*, *Bulletin British Museum Natural History* 56, 1990, p. 1–56.
- Constantiniu 1965 – M. Constantiniu, *1. Așezarea autohtonă prefeudală*

- de la Băneasa (La Stejar), în: M. Constantiniu, P. I. Panait, *Șantierul arheologic Băneasa – Străulești*, CAB 2, 1965, p. 77–98.
- Constantiniu, Panait 1965 – M. Constantiniu, P. I. Panait, 2. *Șantierul arheologic Băneasa – Străulești*, CAB 2, 1965, p. 98–140.
- Constantiniu, Panait 1968 – M. Constantiniu, P. I. Panait, *Șantierul arheologic Băneasa – Străulești, Sectorul Măicănești*, București 6, 1968, p. 64–68.
- Ducos 1968 – P. Ducos, *L'origine des animaux domestiques en Palestine*, Publications de l'Institut de préhistoire de l'Université de Bordeaux, Mémoire 6, Bordeaux, 1968.
- Ferembach et alii 1980 – D. Ferembach, I. Schwidetsky, M. Stoukal, *Recommendations for age and sex diagnoses of skeletons*, Workshop of European Anthropologists, JHE 9, 1980, 7, p. 517–549.
- Fiedler 1992 – U. Fiedler, *Studien zu Gräberfeldern des 6. bis 9. Jahrhunderts an der unteren Donau*, UPA 11, Bonn, 1992.
- Finnegan 1978 – M. Finnegan, *Non-metric variation of the infracranial skeleton*, Journal of Anatomy 125, 1978, 1, p. 23–37.
- Goodman, Armelagos 1985 – A. H. Goodman, G. J. Armelagos, *The chronological distribution of enamel hypoplasia in human permanent incisor and canine teeth*, Archives of Oral Biology 30, 1985, 6, p. 503–507.
- Grant 1982 – A. Grant, *The use of tooth wear as a guide to the age of domestic ungulates*, în: B. Wilson, C. Grigson, S. Payne, *Ageing and Sexing Animal Bones from Archaeological Sites*, BARBrSer 109, London, 1982, p. 91–108.
- Haimovici 1979 – S. Haimovici, *Fauna din așezările feudale timpurii (sec. VIII–X) de la Bucov- Ploiești*, SCIV 30, 1979, 2, p. 163–213.
- Haimovici 2003 – S. Haimovici, *Studiul resturilor animaliere descoperite în așezarea de la Radovanu (datată către sfârșitul mileniului I p. Chr)*, Argeșis 12, p. 593–601.
- Haimovici, Gava 2002 – S. Haimovici, R. Gava, *Studiul materialului faunistic găsit în două gropi din perimetrul necropolei de incinerare de la Păuleasca (sec. IX)*, Argeșis 11, 2002, p. 123–129.
- Hallstead et alii 2003 – P. Hallstead, P. Collins, V. Isaakidou, *Sorting the sheep from the goats : morphological distinctions between the mandibles and mandibular teeth of adult Ovis and Capra*, JAS 29, 2003, 5, p. 545–554.
- Hauser, De Stefano 1989 – G. Hauser, G. F. De Stefano, *Epigenetic variants of the human skull*, Stuttgart, 1989.
- Helmer 2000 – D. Helmer, *Discrimination des genres Ovis et Capra à l'aide des prémolaires inférieures 3 et 4 et interprétation des âges d'abattage : l'exemple de Dikili Tash (Grèce)*, Ibx Journal of Mountain Ecology 5 - Anthropozoologica 31, 2000, p. 29–38.
- Herrerín López 2001 – J. Herrerín López, *La necrópolis de la catedral de El Burgo de Osma (Soria): bioantropología de una población medieval y moderna*, tesis de la Universidad Complutense de Madrid, 2001.
- Horard Herbin 1997 – M.-P. Horard Herbin, *Le village celtique des Arènes à Levroux. L'élevage et les productions animales dans l'économie de la fin du second Age du Fer*, 12^{ème} supplément à la Revue du Centre de la France, Levroux 4, 1997.
- Ionașcu et alii 1959 – I. Ionașcu, S. Morintz, D. V. Rosetti, *Bucureștii de odinioară în lumina săpăturilor arheologice*, București, 1959.
- Keenleyside, Panayotova 2006 – A. Keenleyside, K. Panayotova, *Cribra orbitalia and porotic hyperostosis in a Greek colonial population (5th to 3rd centuries BC) from the Black Sea*, IJO 16, 2006, 5, p. 373–384.
- Lovejoy et alii 1985 – C. O. Lovejoy, R. S. Meindl, T. R. Pryzbeck, R. P. Mensforth, *Chronological metamorphosis of the auricular surface of the ilium: a new method for the determination of adult skeletal age at death*, AJPA 68, 1985, 1, p. 15–28.
- Mann et alii 2016 – R. W. Mann, D. R. Hunt, S. Lozanoff, *Photographic regional atlas of non-metric traits and anatomical variants in the human skeleton*, Springfield, Illinois, 2016.
- Marc, Matthew 2013 – L. Marc, T. Matthew, *Shape variability of the sacrum: clinical and research implications*, La Revue de l'Ostéopathie 9, 2013, 1, p. 5–10.
- Martin 1928a – R. Martin, *Lehrbuch der Anthropologie in systematischer Darstellung mit Besonderer Berücksichtigung der anthropologischen Methoden; für Studierende, Ärzte und Forschungsreisende*, Zweite vermehrte Auflage, Erste Band: *Somatologie*, Jena, 1928.
- Martin 1928b – R. Martin, *Lehrbuch der Anthropologie in systematischer Darstellung mit Besonderer Berücksichtigung der anthropologischen Methoden; für Studierende, Ärzte und Forschungsreisende*, Zweite vermehrte Auflage, Zweite Band: *Kraniologie, Osteologie*, Jena, 1928.
- Mays et alii 1999 – S. Mays, J. Steele, M. Ford 1999, *Directional asymmetry in the human clavicle*, IJO 9, 1999, 1, p. 18–28
- Meindl, Lovejoy 1985 – R. S. Meindl, C. O. Lovejoy, *Ectocranial suture closure: a revised method for the determination of skeletal age at death based on the lateral-anterior sutures*, AJPA 68, 1985, 1, p. 57–66.
- Mănucu-Adameșteanu et alii 2008 – Gh. Mănucu-Adameșteanu, C. D. Pîrvulescu, C. M. Ciocănel, C. Nestorescu, M.-T. Zambory, G. Vasile, *București. Punct: Băneasa-La Stejar, str. Gh. Ionescu-Sisești, nr. 215*, CCA 2008, campania 2007, Iași, 2008, p. 58–60.
- Moise 2000 – D. Moise, *Studiul resturilor faunistice descoperite în complexe din așezarea medievală timpurie de la Bucu (jud. Ialomița)*, ArhMed 3, 2000, p. 263–265.
- Necrasov, Haimovici 1967 – O. Necrasov, S. Haimovici, *Studiul resturilor osoase de animale descoperite în așezarea feudală timpurie de la Dridu*, în: E. Zaharia, *Săpăturile de la Dridu*, București, 1967, p. 202–241.
- Panait 1963 – P. I. Panait, *Săpăturile de la Bucureștii Noi din anul 1960. Sectorul Alba*, CAB 1, 1963, p. 104–125.
- Payne 1973 – S. Payne, *Kill-off patterns in sheep and goat : the mandibles from Asvan Kale*, Anatolian Studies 23, 1973, p. 281–303.
- Payne 1985 – S. Payne, *Morphological distinction between the mandibular teeth of young sheep, Ovis and goats, Capra*, JAS 12, 1985, p. 139–147.
- Popovici et alii 2002 – D. Popovici, A. Bălășescu, C. Haită, V. Radu, A. M. F. Tomescu, I. Tomescu, *Cercetarea arheologică pluridisciplinară. Concepte, metode și tehnici*, Biblioteca Muzeului Național, Cercetări Pluridisciplinare 3, București, 2002.
- Prummel, Frisch 1986 – W. Prummel, H. J. Frisch, *A Guide for the distinction of Species, Sex and Body in Bones of Sheep and Goat*, JAS 13, 1986, p. 567–577.
- Rosetti 1932 – D. V. Rosetti, *Cîteva așezări și locuințe preistorice din preajma Bucureștilor*, București, 1932.
- Rosetti 1936 – D. V. Rosetti, *Din preistoria Bucureștilor. I. Civilizația tip București – Die Bukarester Kultur*, București, 1936.
- Rösing 1988 – F. W. Rösing, *Körperhöhenrekonstruktion aus skelettmaßen*, în: R. Knußmann, I. Schwidetzky, H. W. Jürgens, G. Ziegelmayer (eds.), *Anthropologie, Handbuch der vergleichenden Biologie des Menschen*, zugleich 4, Auflage der Lehrbuchs der Anthropologie, begründet von Rudolf Martin, Sonderdruck, Band I/1: *Wesen und Methoden der Anthropologie*, Stuttgart, 1988, p. 586–599.
- Schmid 1972 – E. Schmid, *Atlas of Animal Bones*, Amsterdam – London – New York, 1972.
- Stanc 2006 – S. Stanc, *Relațiile omului cu lumea animală. Arheozoologia secolelor IV–X pentru zonele extracarpatice de est și de sud ale României*, Iași, 2006.
- Turner et alii 1991 – G. C. II Turner, C. R. Nichol, G. R. Scott, *Scoring procedures for key morphological traits of the permanent dentition: the Arizona State University dental anthropology system*, în: Kelley, M. A., Larsen, C.S. (eds.), *Advances in dental anthropology*, New York, 1991.
- Udrescu 1981 – M. Udrescu, *Descoperiri arheologice la Bucureștii Noi și Bragadiru*, CAB 3, 1981, p. 236–239.
- Udrescu et alii 1999 – M. Udrescu, L. Bejenaru, C. Hrișcu, *Introducere în arheozoologie*, Iași, 1999.
- Ubelaker 1980 – D. H. Ubelaker, *Human skeletal remains-excavation, analysis, interpretation, Manuals on archaeology*, 2nd ed., Washington D.C., 1980.
- Vintilă 2018 – C. M. Vintilă, *Descoperiri aparținând culturii Dridu în așezarea de la București – „Străulești Măicănești”*, RCAN 4, 2018, p. 171–204.
- Vintilă, Măgureanu 2012 – A. Măgureanu, C. M. Vintilă, *Notă asupra descoperirilor de sec. II-I a. Chr. din situl arheologic Băneasa – La Stejar*, BMJT 4, 2012, p. 183–196.
- Visser 1998 – E. P. Visser, *Little waifs: estimating child body size from historic skeletal material*, IJO 8, 1998, 6, p. 413–423.
- Wapler et alii 2004 – U. Wapler, E. Crubézy, M. Schultz, *Is cribra orbitalia synonymous with anemia? analysis and interpretation of cranial pathology in Sudan*, AJPA 123, 2004, 4, p. 333–339.



Plan 1. A. Localizarea sitului Băneasa – La Stejar pe Planul general al săpăturilor arheologice de la București, adaptat după Ionașcu et alii 1959; B. Lipsa sitului Băneasa – La Stejar conform hărții din Constantinii, Panait 1965; C. Localizarea celor două situri conform PUG Municipiului București 2000/ A. Location of Băneasa – La Stejar according to Ionașcu et alii 1959; B. Absence of Băneasa – La Stejar site according to Constantinii, Panait 1965 (adapted); C. Location of the two sites according to the PUG Municipiului București 2000 (the urbanism plan of Bucharest).



Plan 2. Localizarea zonei cercetate pe: A. Planul istoric de la 1864; B. Planul director de tragere; C. Fotografie aeriană din 1966; D Imagine Google Earth 2021 / Location of the researched area on: A. The plan of 1864; B. Military Plan; C. Aerial photograph from 1966; D. Google Earth image from 2021.



A



B

Plan 3. A. Localizarea corectă a celor șapte situri arheologice identificate în zonă; B. Localizarea complexelor arheologice în aria studiată / A. Map of the correct location of the seven archaeological sites in the area; B. Distribution of archaeological features on the investigated area.



1

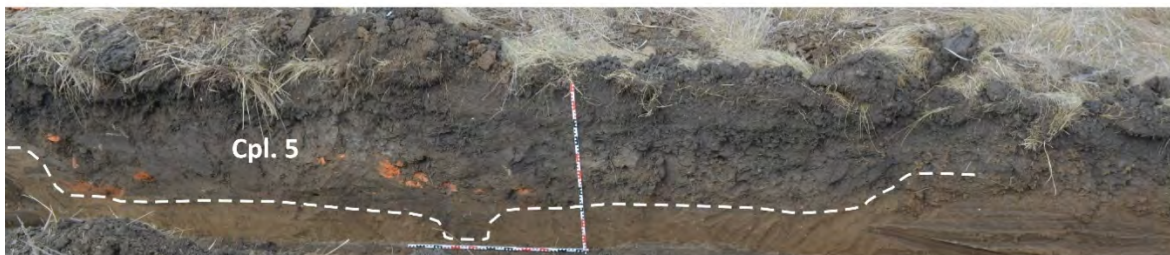


2

Figura 1. Complexul de epoca bronzului Cpl. 2 / Bronze Age feature Cpl. 2.



1



2



3

Figura 2. 1. Groapa aparținând epocii bronzului Cpl. 3; 2. Profilul locuinței Cpl. 5 (sec. al XVIII-lea); 3. Detaliu cu aglomerarea de cărămizi din Cpl. 5 / 1. Bronze Age pit Cpl. 2. Section through the medieval pithouse Cpl. 5 (18th century); 3. Detail with the agglomeration of brick fragments in pithouse Cpl. 5.



1



2



3

Figura 3. Bordeiul cu cuptor Cpl. 4 (sec. al IX-lea). 1. Vedere generală; 2. Secțiune prin cuptor; 3. Detaliu cu groapa de par din spatele cuptorului / Medieval pithouse with oven Cpl. 4 (9th century). 1. General view; 2. Section along the axis of the oven; 3. Detail with the posthole behind the oven.



1

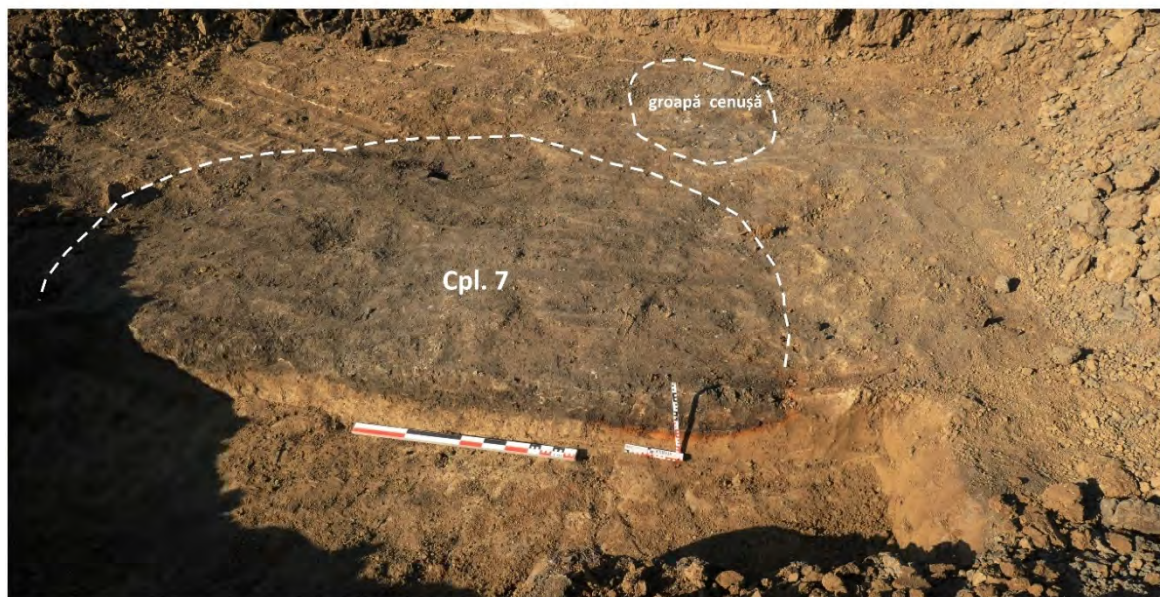


2

Figura 4. Cuptorul Cpl. 6 (sec. al IX-lea) / Medieval oven Cpl. 6 (9th century).



1



2



3



4

Figura 5. Bordeii cu cuptor Cpl. 7 (sec. al IX-lea). 1. Vedere cu jumătatea de est a cuptorului; 2. Jumătatea de vest a cuptorului după secționare și groapa cu cenușă; 3. Detaliu cu una din gropile de par de pe latura de est; 4. Secțiune prin cuptor / Medieval pithouse with oven Cpl. 7 (9th century). 1. View of the eastern part of the pithouse; 2. The western half of the pithouse and the circular pit filled with ash; 3. The detail with one of the postholes on the eastern side; 4. Section along the axis of the oven.



1

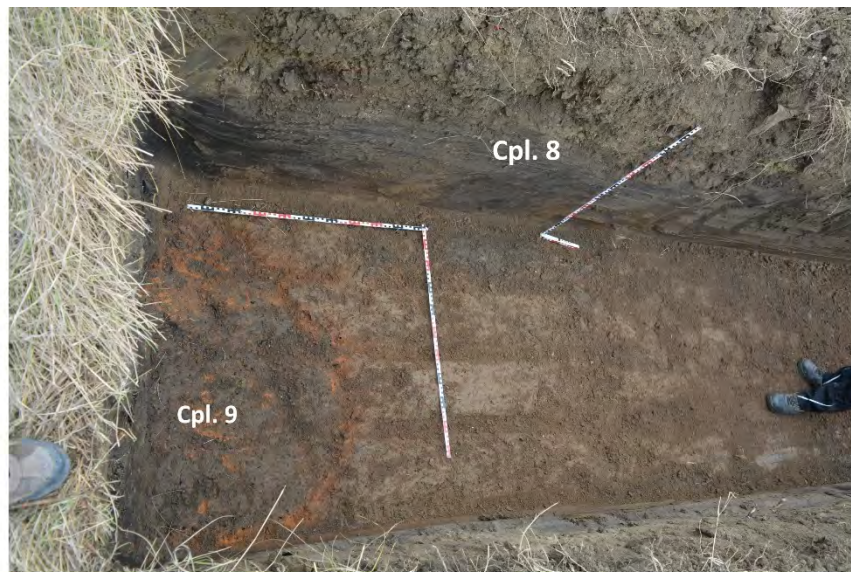


2

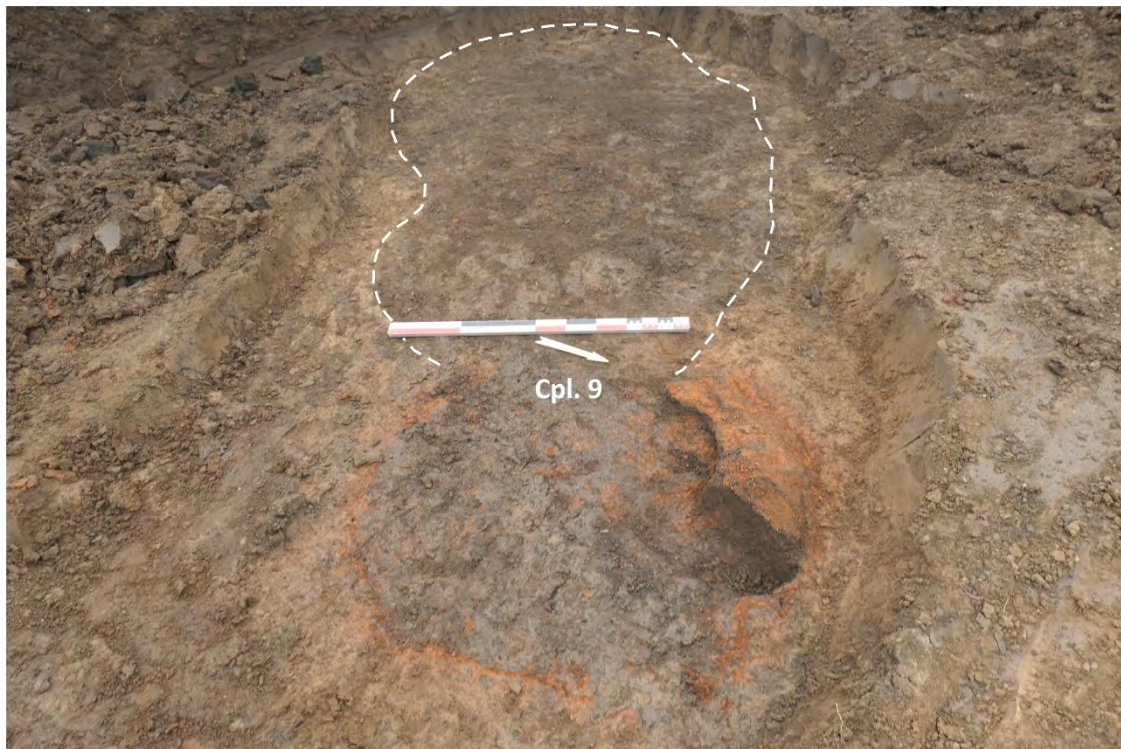


3

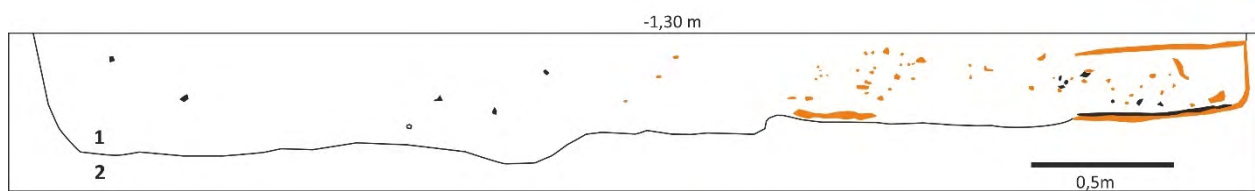
Figura 6. Bordeiul cu cuptor Cpl. 7 bis (sec. al IX-lea). 1 Vedere generală de sus; 2. Secțiune pe direcția E–V; 3. Detaliu cu cuptorul / Medieval pithouse with oven Cpl. 7 bis (9th century). 1. General view from above; 2. Section along the E–W axis; 3. Detail of the oven.



1



2



3

- | | | | |
|---|--|---|----------------------|
| 1 | sol galben lutos |  | perete cuptor/arsură |
| 2 | sol brun negricios cu cărbune, cenușă și fragmente perete cuptor |  | cărbune |

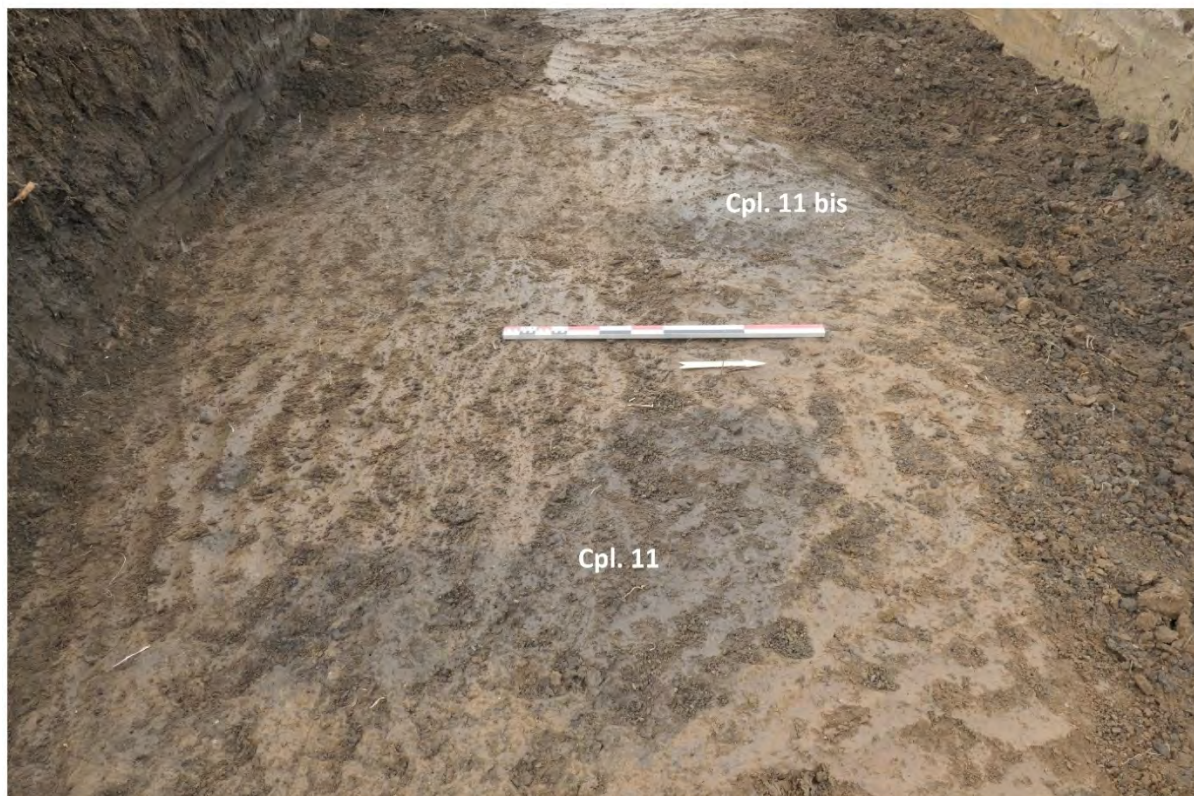
Figura 7. 1. Complexele Cpl. 8 (groapă) și Cpl. 9 (cuptor); 2. Cpl. 9: vedere generală; 3. Secționarea cuptorului Cpl. 9 / 1. Features Cpl. 8 (pit) and Cpl. 9 (oven); 2. Cpl. 9: general view; 3. Section along the axis of oven Cpl. 9.



1



2



3

Figura 8. 1. Profilul bordeiului Cpl. 10 la observare; 2. Vase ceramice din Cpl. 10 surprinse în profil; 3. Cpl. 11 și Cpl. 11 bis – vedere generală / 1. Profile section of medieval pithouse Cpl. 10; 2. Pottery fragments from Cpl. 10 in the profile; 3. Features Cpl. 11 and Cpl. 11 bis.



1



2

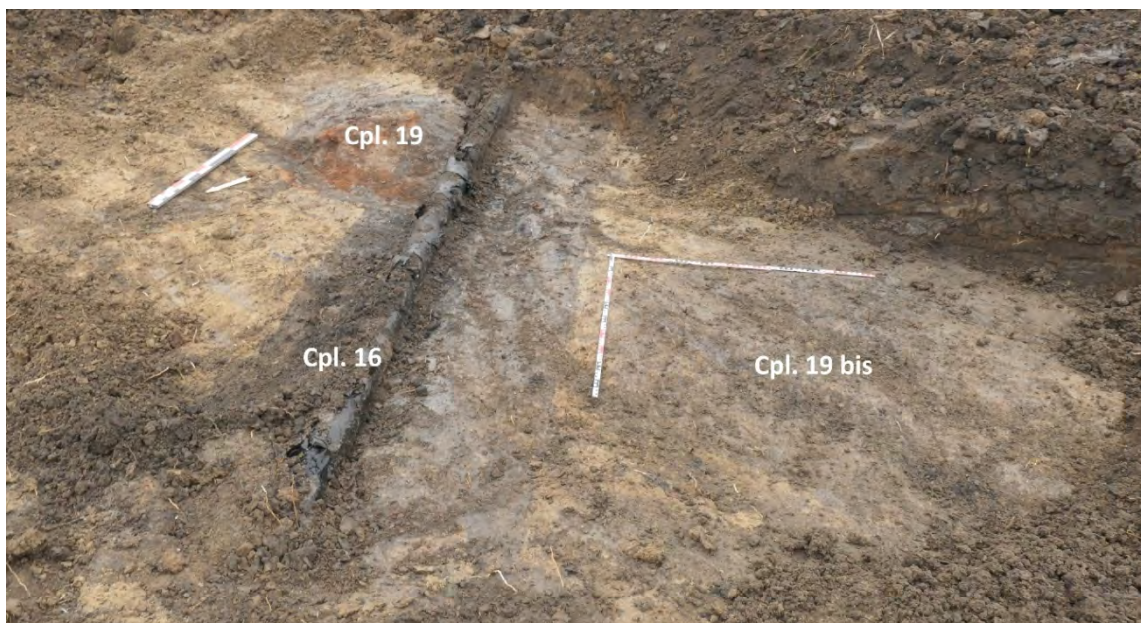


3

Figura 9. Bordeiul cu cuptor Cpl. 14. 1. Vedere generală; 2. Secțiune prin cuptor; 3. Detaliu cu fundul cuptorului și fragmentele de „vatră portabilă” cu impresiuni circulare / Medieval pithouse with oven Cpl. 14. 1. General view; 2. Section along the axis of the oven; 3. Detail of the base of the oven showing the “mobile hearth” fragments with circular impressions.



Figura 10. 1. Profil de-a lungul axului cuptorului Cpl. 17; 2–3. Mormântul dublu Cpl. 18 (sec. al XVIII-lea) / 1. Section along the axis of oven Cpl. 17; 2–3. The double burial Cpl. 18 (18th century).



1



2



3

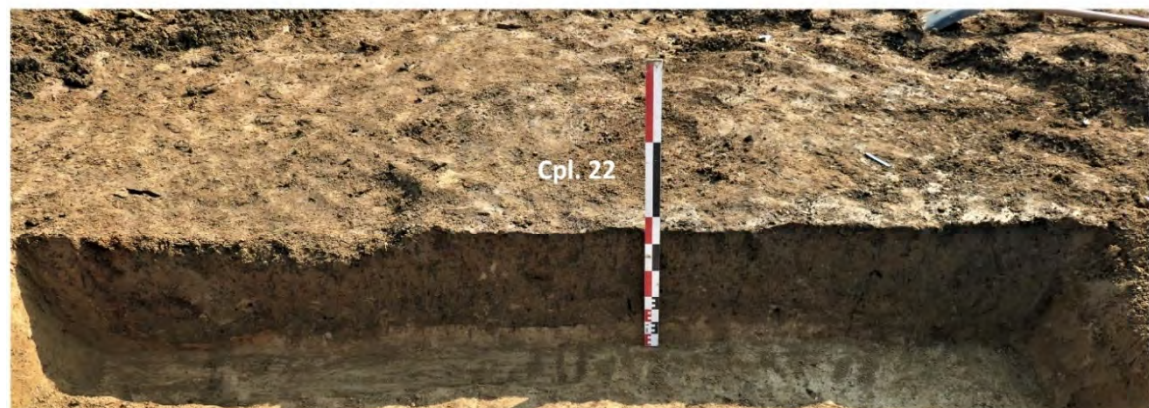
Figura 11. 1. Complexele Cpl. 19 (cuptor) și Cpl. 19 bis (groapă), vedere generală; 2. Secțiune E–V prin Cpl. 19; 3. Secțiune E–V prin Cpl. 19 bis / 1. Features Cpl. 19 (oven) and Cpl. 19 bis (pit), general view; 2. E–W section through Cpl. 19; 3. E–W section through Cpl. 19 bis.



1



2

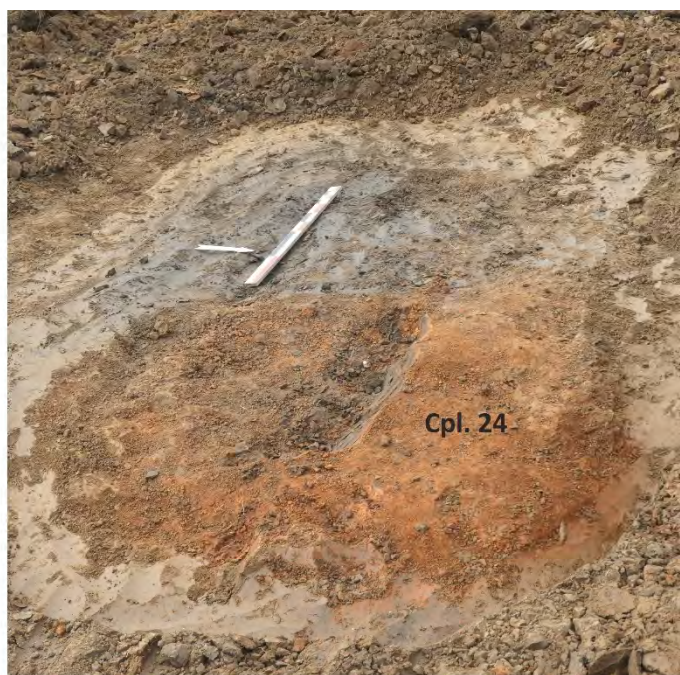


3



4

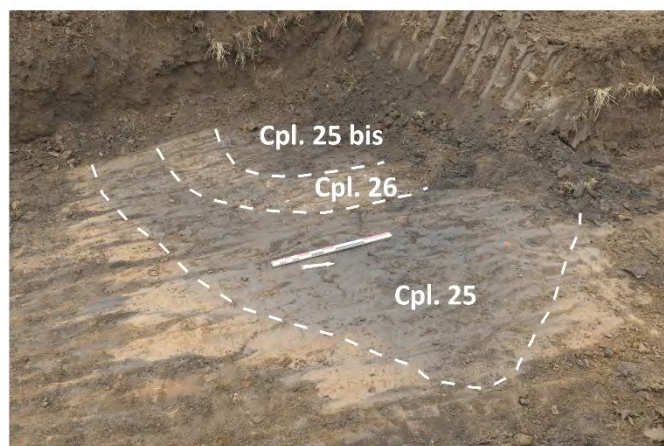
Figura 12. 1. Planul bordeiului cu cuptor Cpl. 20 și al gropii Cpl. 21; 2. Secțiune prin Cpl. 20 de-a lungul axei cuptorului; 3. Profilul la secționarea lui Cpl. 22; 4. Secțiune prin Cpl. 23 de-a lungul axei cuptorului / 1. Ground plan of oven Cpl. 20 and pit Cpl. 21; 2. Section of Cpl. 20 along the axis of the oven; 3. Profile of Cpl. 22. 4. Profile of Cpl. 23 along the axis of the oven..



1



2



3



4

Figura 13. 1–2. Cuptorul Cpl. 24; 3–4. Complexele Cpl. 25, 25 bis și 26 / 1–2. Oven Cpl. 24; 3–4. Features Cpl. 25, 25 bis and 26.

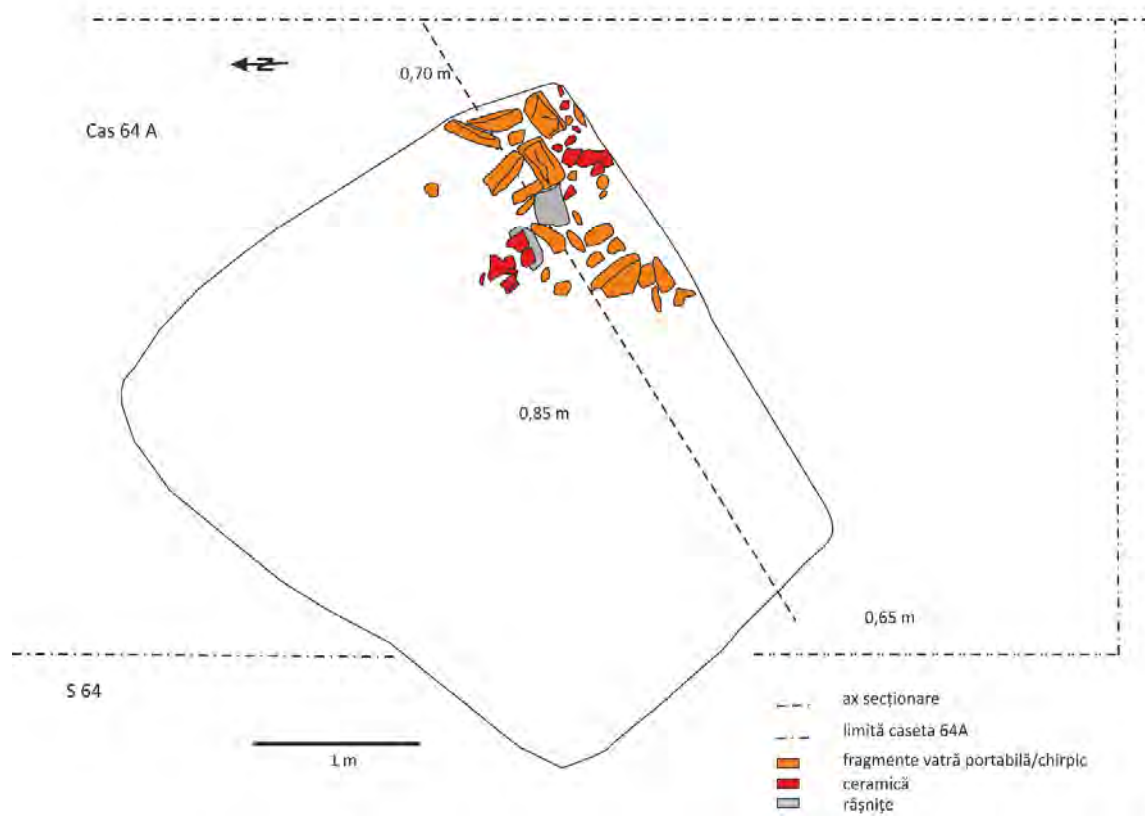
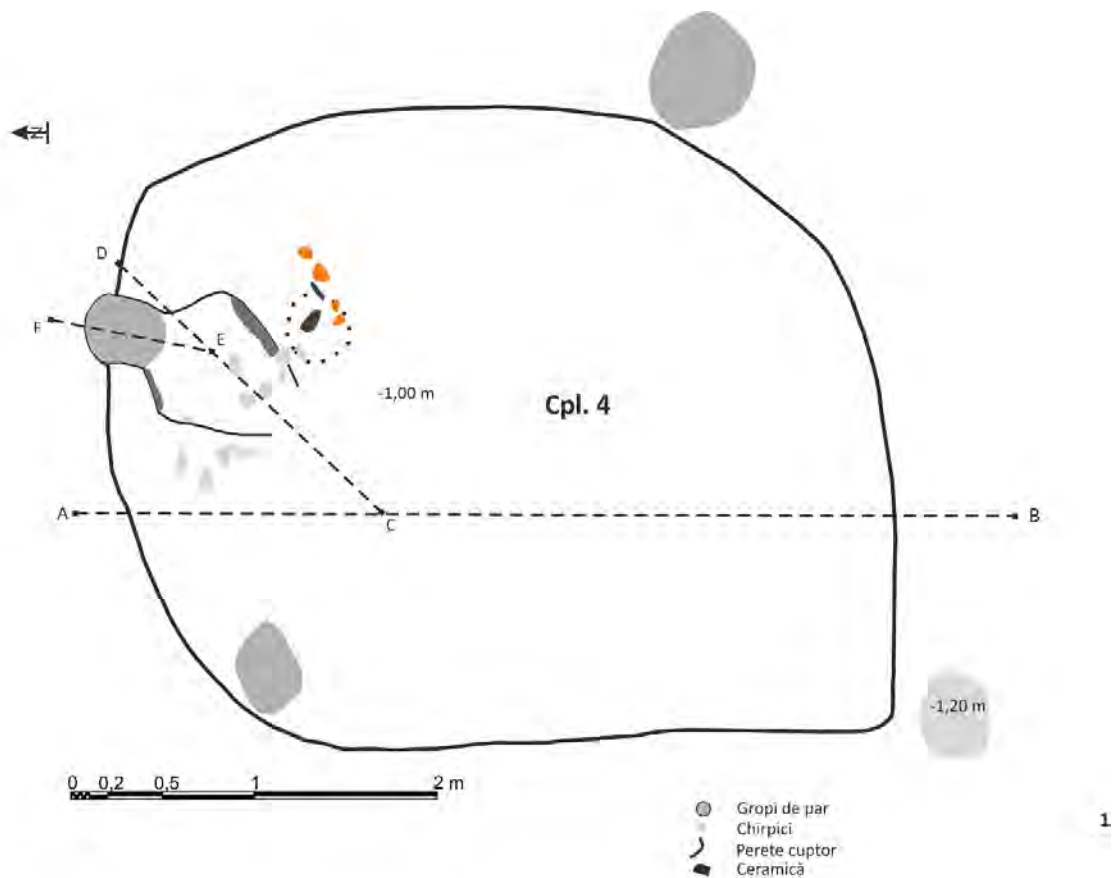
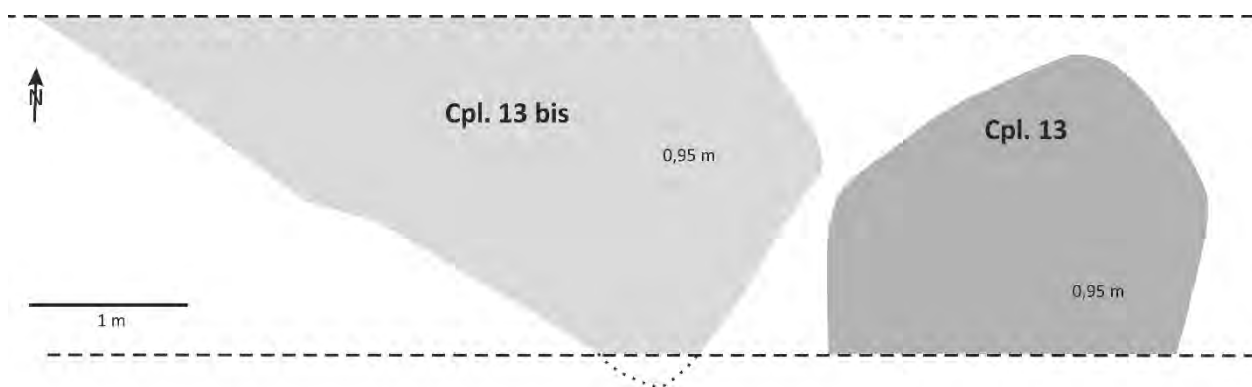
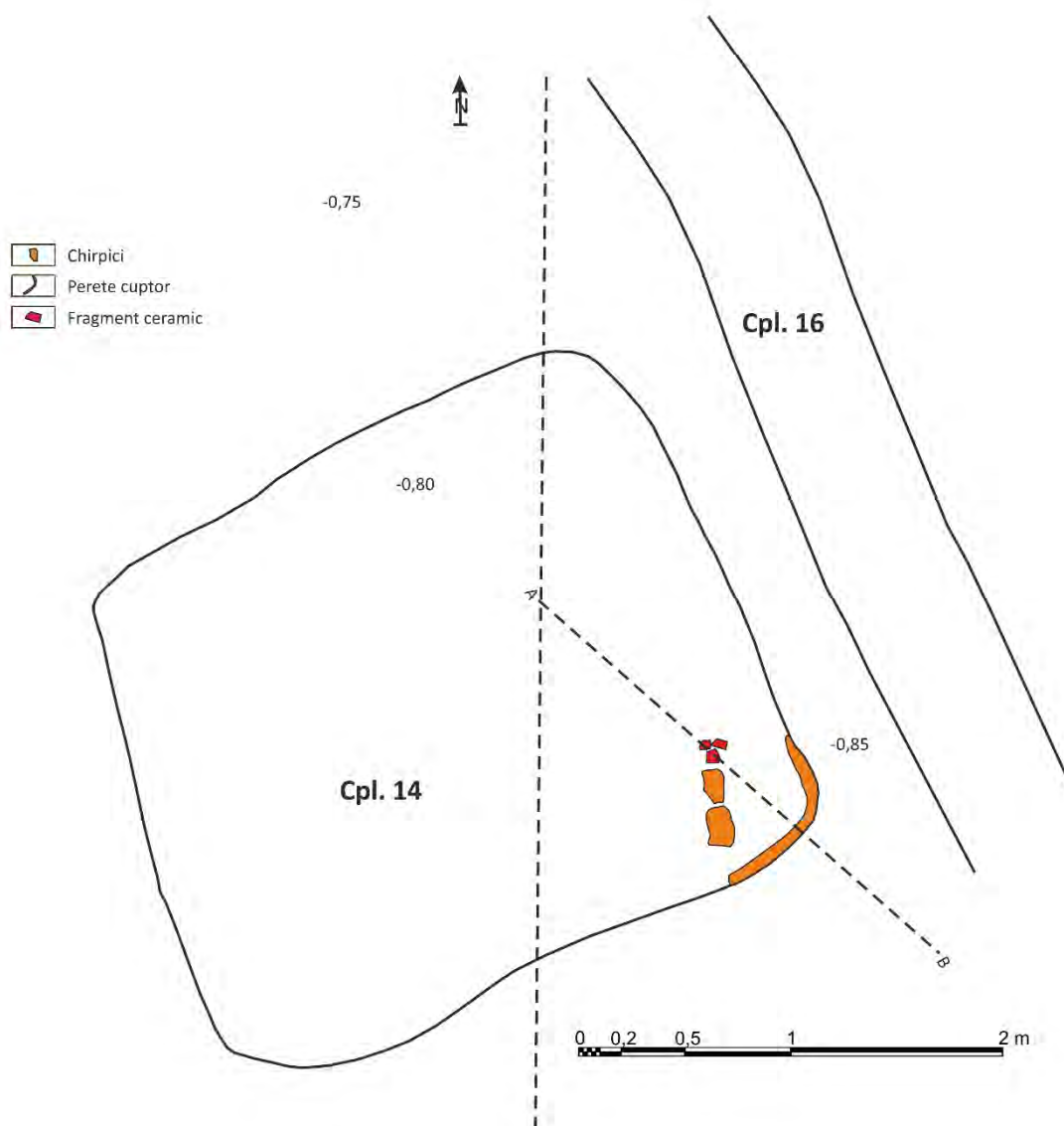


Figura 14. 1. Planul bordeiului cu cuptor Cpl. 4; 2. Planul bordeiului cu cuptor Cpl. 7 bis / 1. Ground plan of pithouse with oven Cpl. 4; 2. Ground plan of pithouse with oven Cpl. 7 bis.



1



2

Figura 15. 1. Planul bordeielor Cpl. 13 și 13 bis; 2. Planul bordeiului cu cuptor Cpl. 14 și conducta modernă Cpl. 16 / 1. Ground plan of Cpl. 13 and Cpl. 13 bis; 2. Ground plan of Cpl. 14 and the modern pipe Cpl. 16.

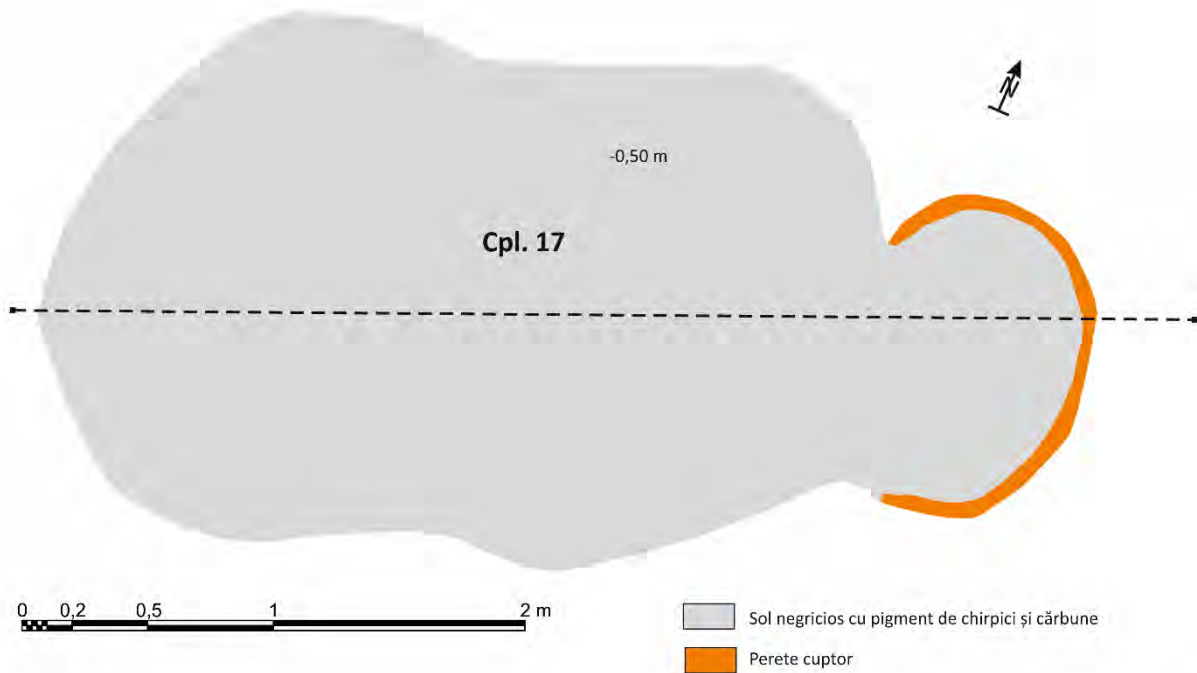
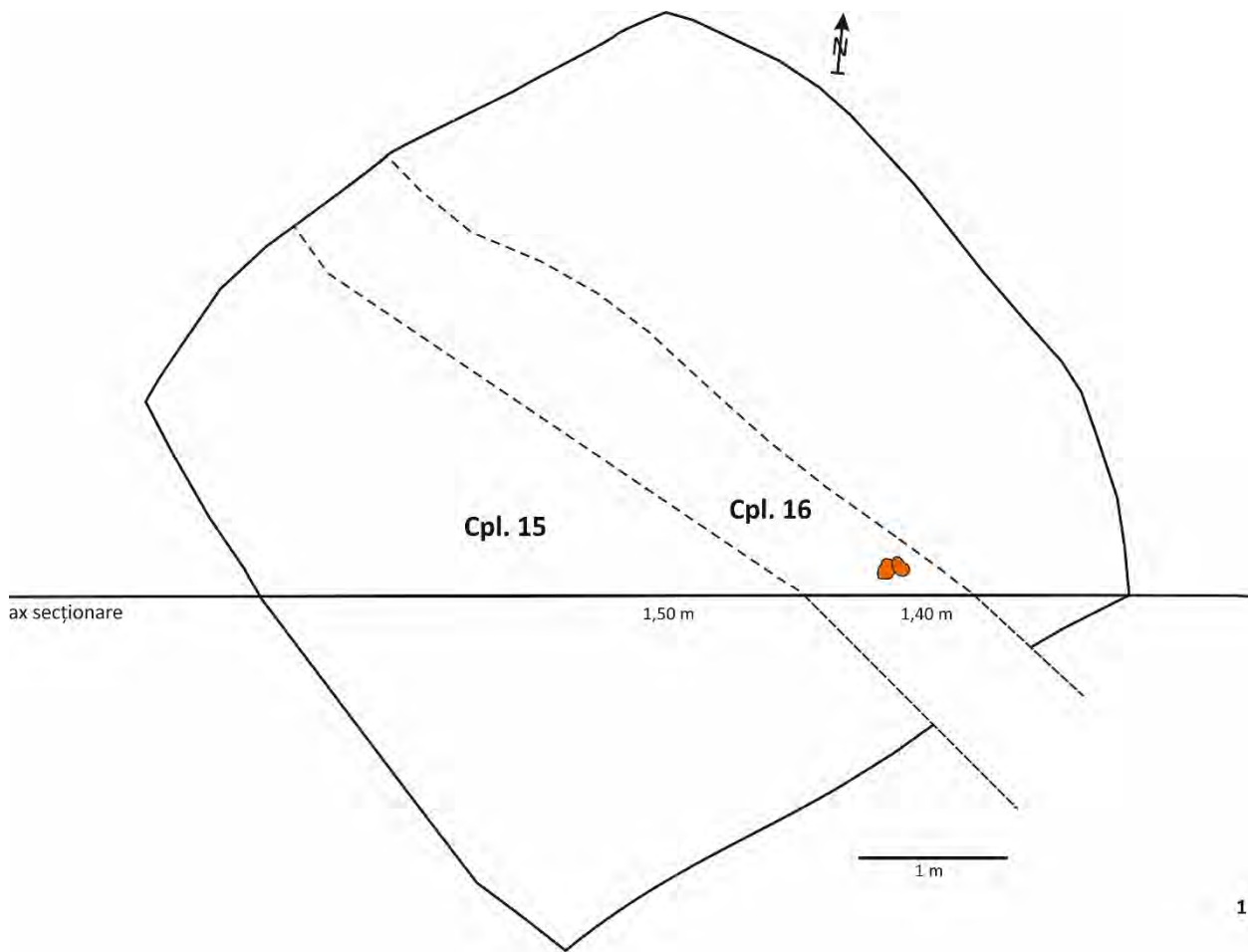


Figura 16. 1. Planul bordeiului Cpl. 15; 2. Planul cuptorului Cpl. 17 / 1. Ground plan of Cpl. 15; 2. Ground plan of Cpl. 17.

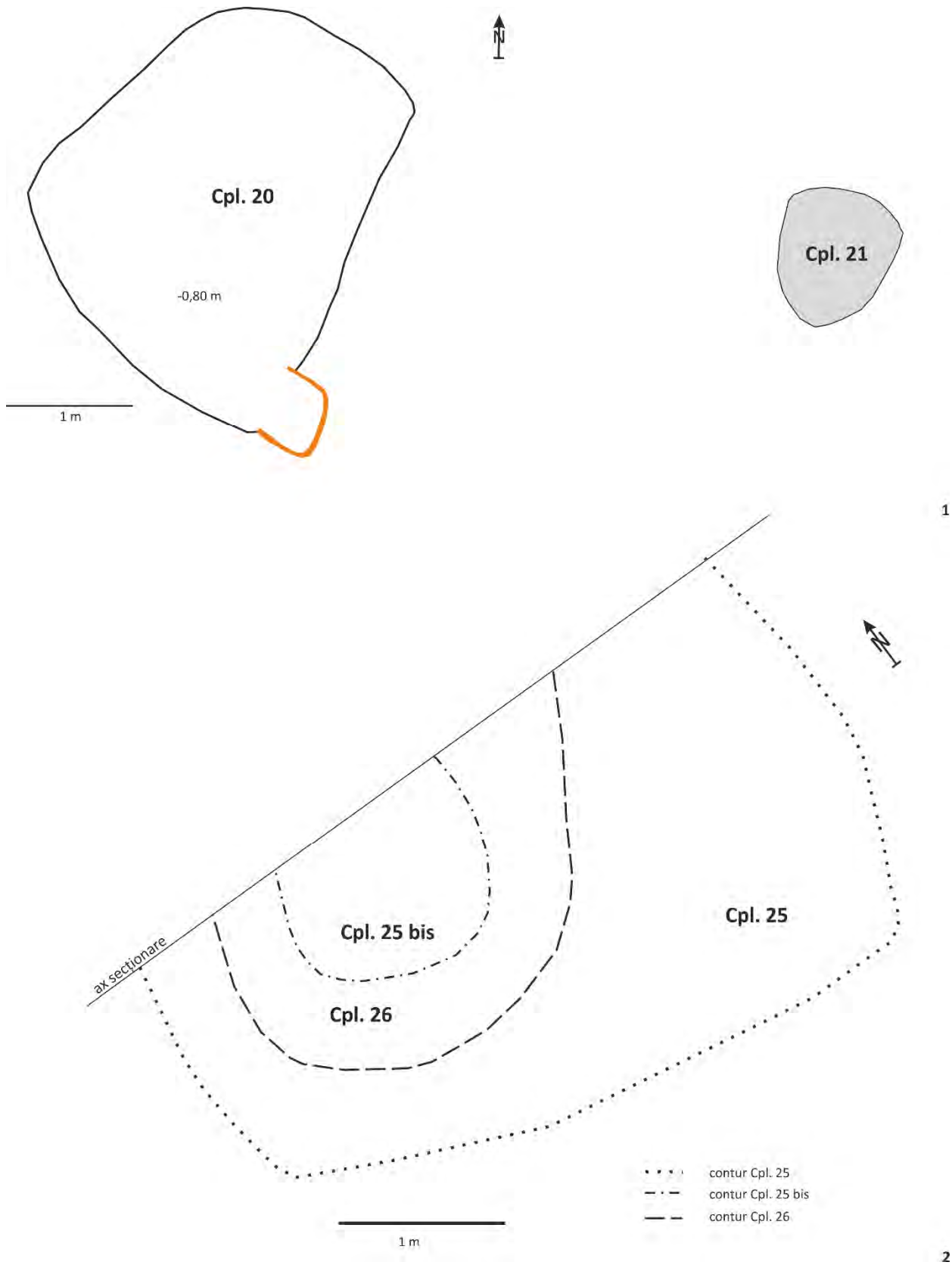


Figura 17. 1. Planul bordeiului cu cuptor Cpl. 20 (sec. al IX-lea); 2. Planul complexelor Cpl. 25, 25 bis și 26 / 1. Ground plan of Cpl. 20 (9th century); 2. Ground plan of features Cpl. 25, 25 bis and 26.

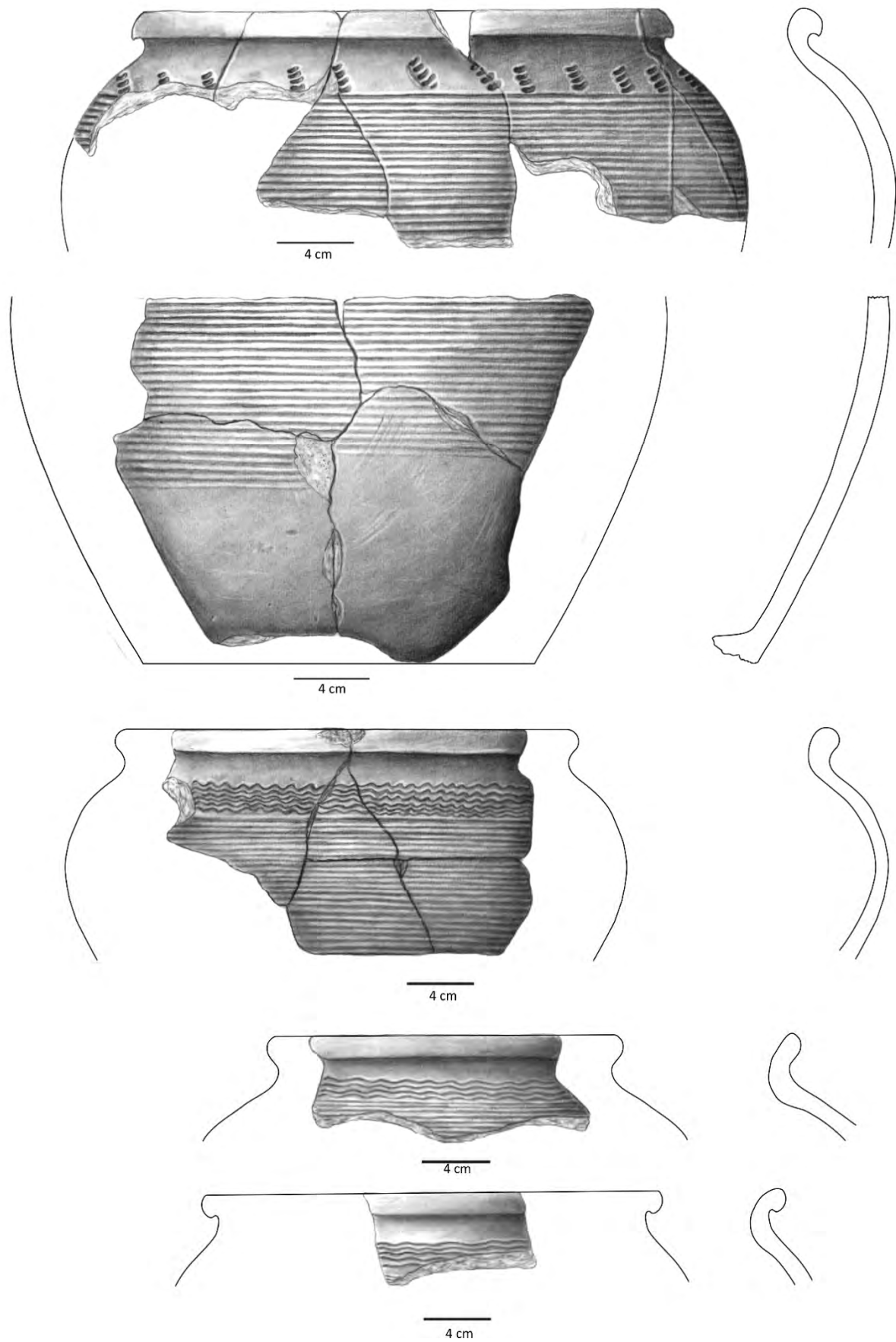


Figura 18. Ceramică din Cpl. 4 (desene Raluca Dobrogeanu) / Pottery from Cpl. 4 (drawings by Raluca Dobrogeanu).

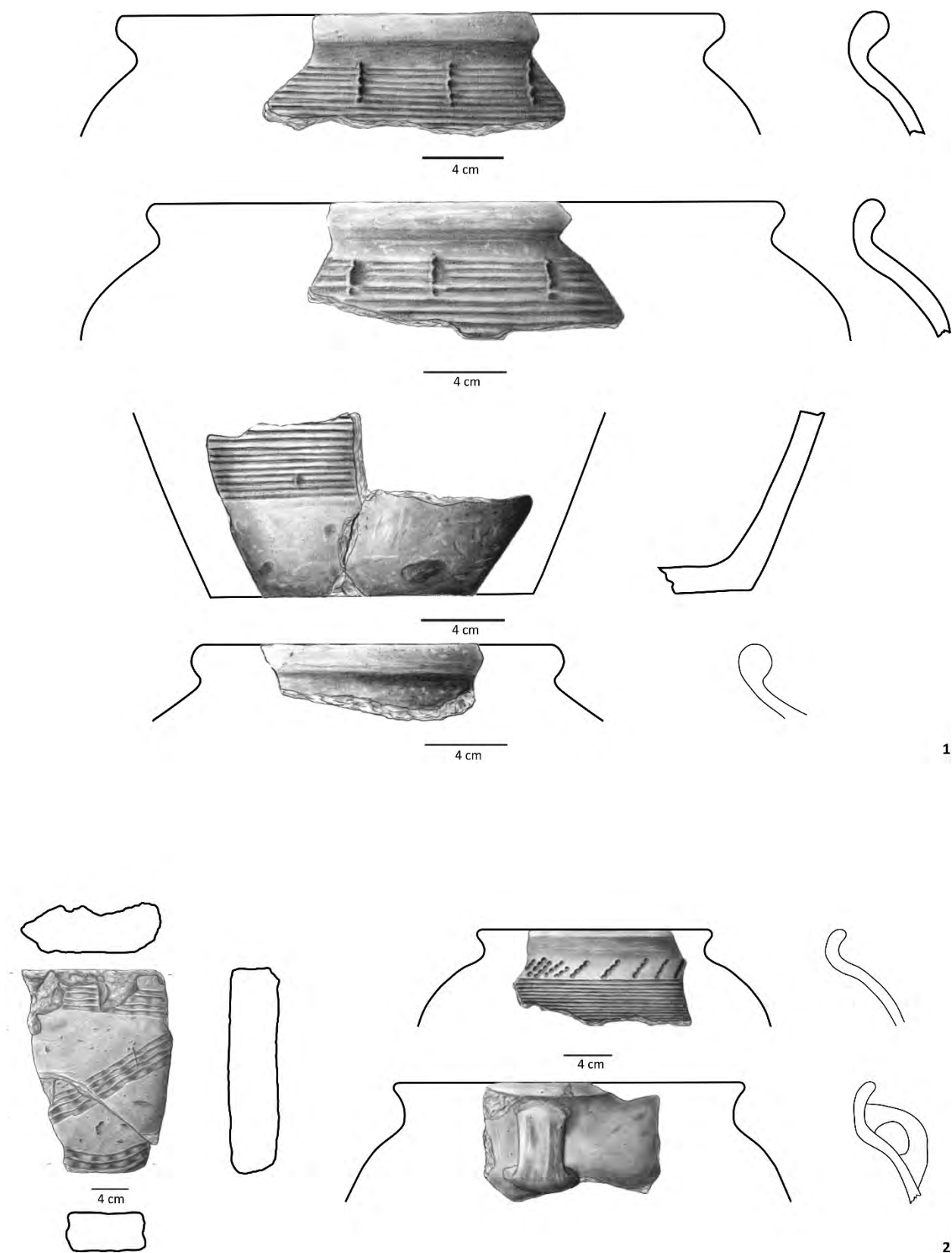


Figura 19. 1. Ceramică din bordeiul cu cuptor Cpl. 4; 2. Cărămidă decorată și ceramică din Cpl. 5 (desene Raluca Dobrogeanu) / 1. Pottery from Cpl. 4; 2. Decorated brick and pottery fragments from Cpl. 5 (drawings by Raluca Dobrogeanu).

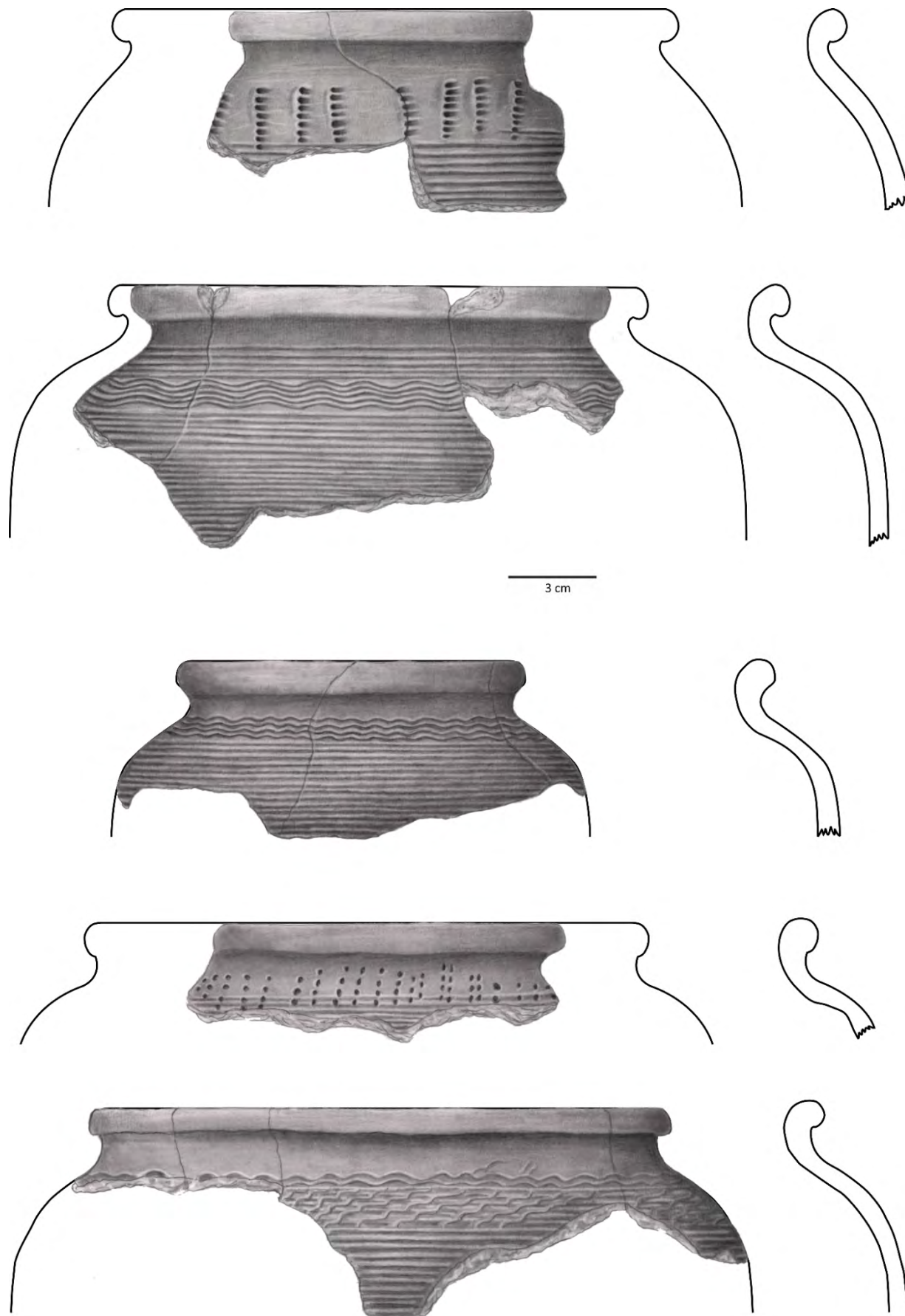


Figura 20. Ceramică din bordeiul Cpl. 7 bis (desene Raluca Dobrogeanu) / Pottery from Cpl. 7 bis (drawings by Raluca Dobrogeanu).

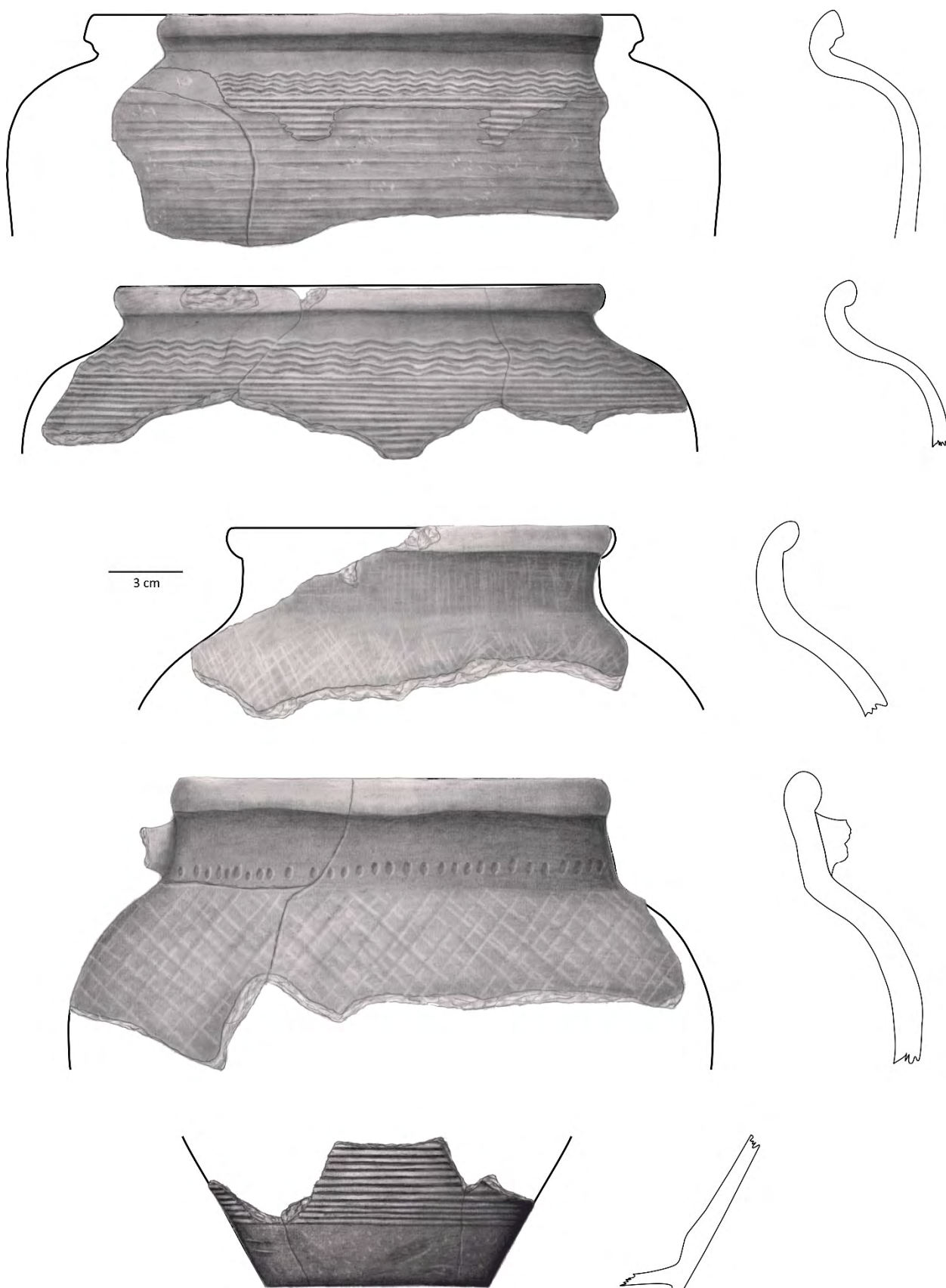


Figura 21. Ceramică din bordeiul Cpl. 7 bis (desene Raluca Dobrogeanu) / Pottery from Cpl. 7 bis (drawings by Raluca Dobrogeanu).

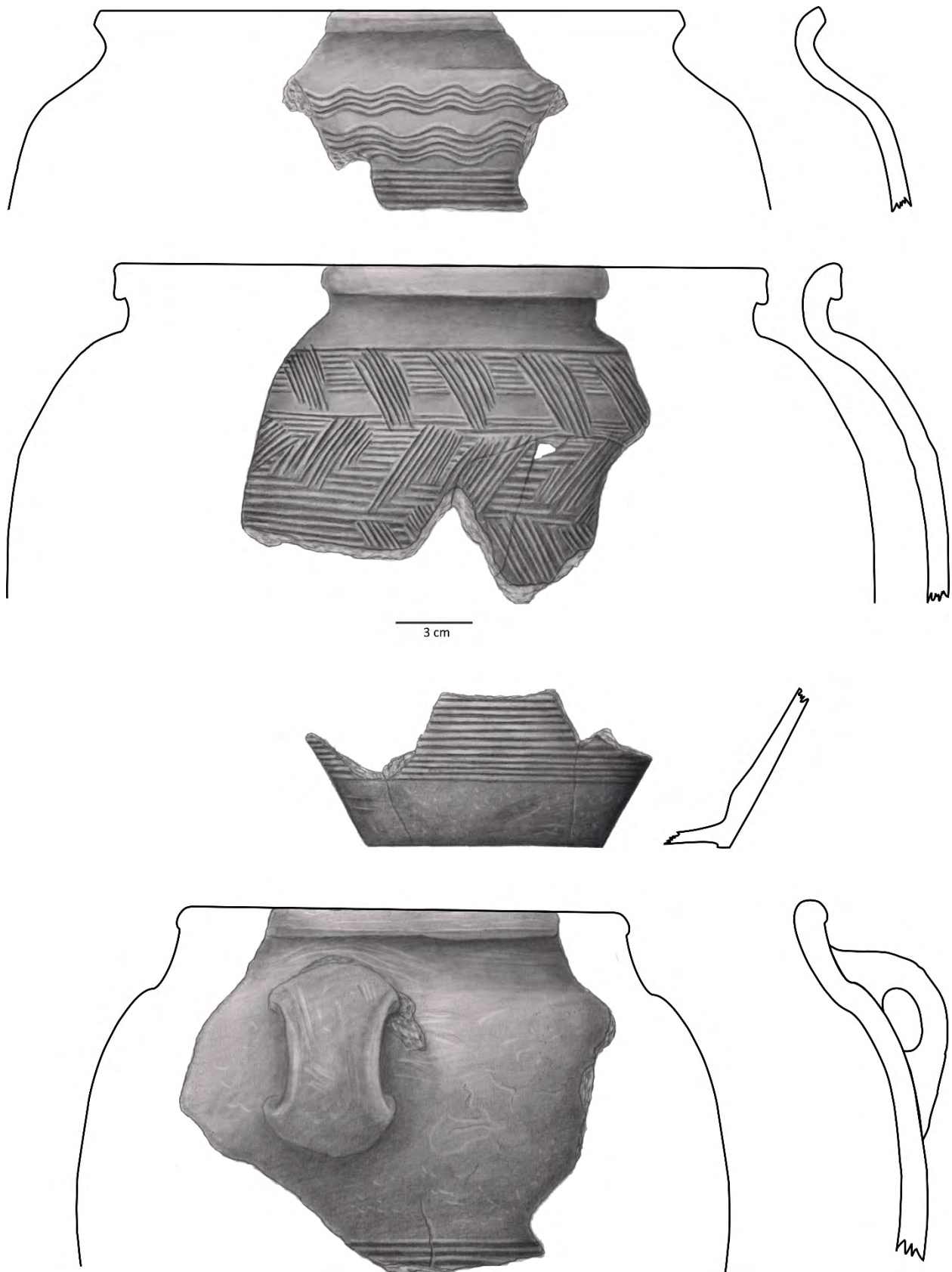


Figura 22. Ceramică din bordeiul Cpl. 7 bis (desene Raluca Dobrogeanu) / Pottery from Cpl. 7 bis (drawings by Raluca Dobrogeanu).

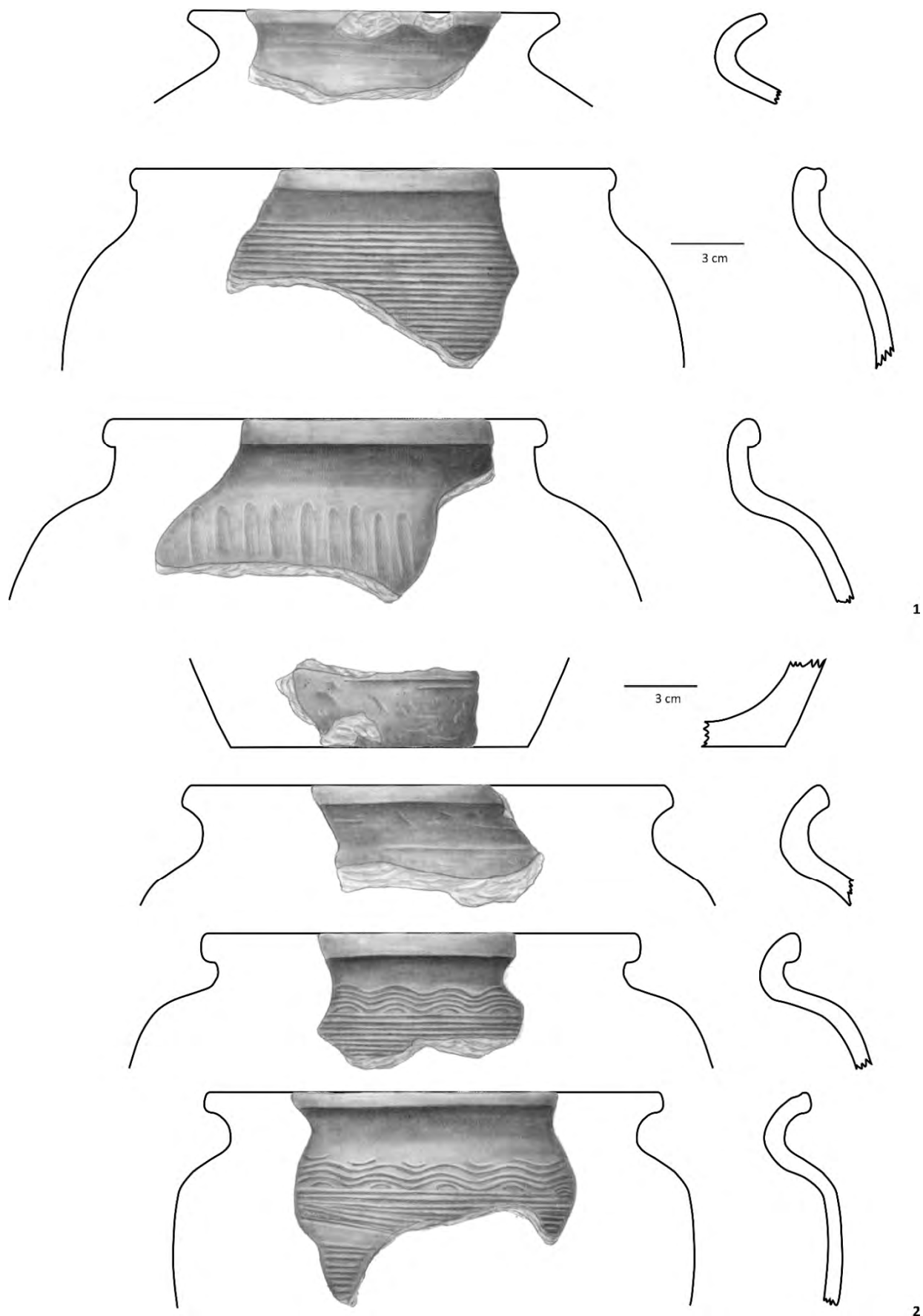


Figura 23. 1. Fragmente ceramice din groapa Cpl. 8; 2. Fragmente ceramice din cuptorul Cpl. 9 (desene Raluca Dobrogeanu) / 1. Pottery from pit Cpl. 8; 2. Pottery fragments from Cpl. 9 (drawings by Raluca Dobrogeanu).

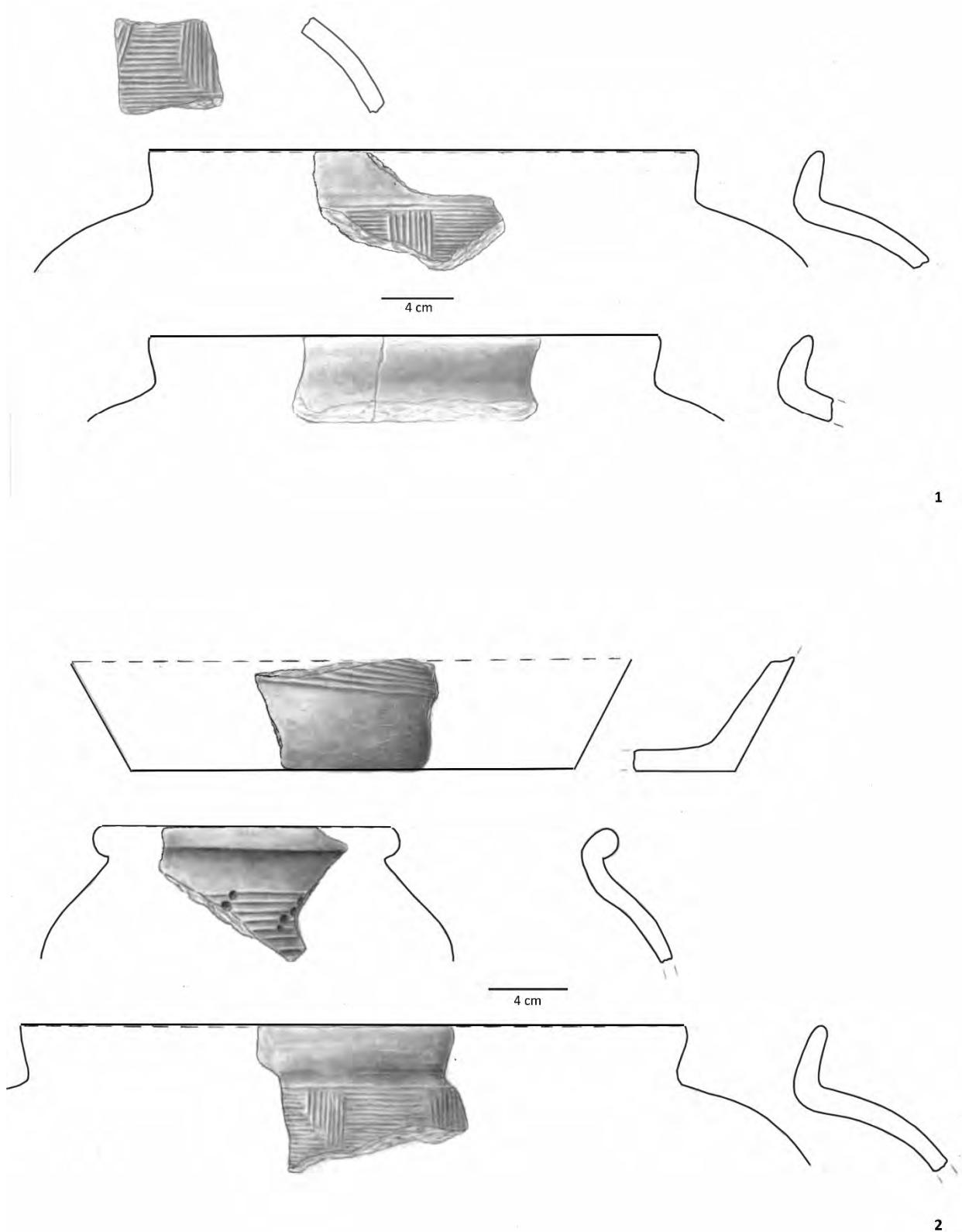


Figura 24. 1. Fragmente ceramice din bordeiul Cpl. 10; 2. Fragmente ceramice din Cpl. 11/Cpl. 11 bis (desene Raluca Dobrogeanu) / 1. Pottery fragments from pithouse Cpl. 10; 2. Pottery fragments from Cpl. 11/Cpl. 11 bis (drawings by Raluca Dobrogeanu).

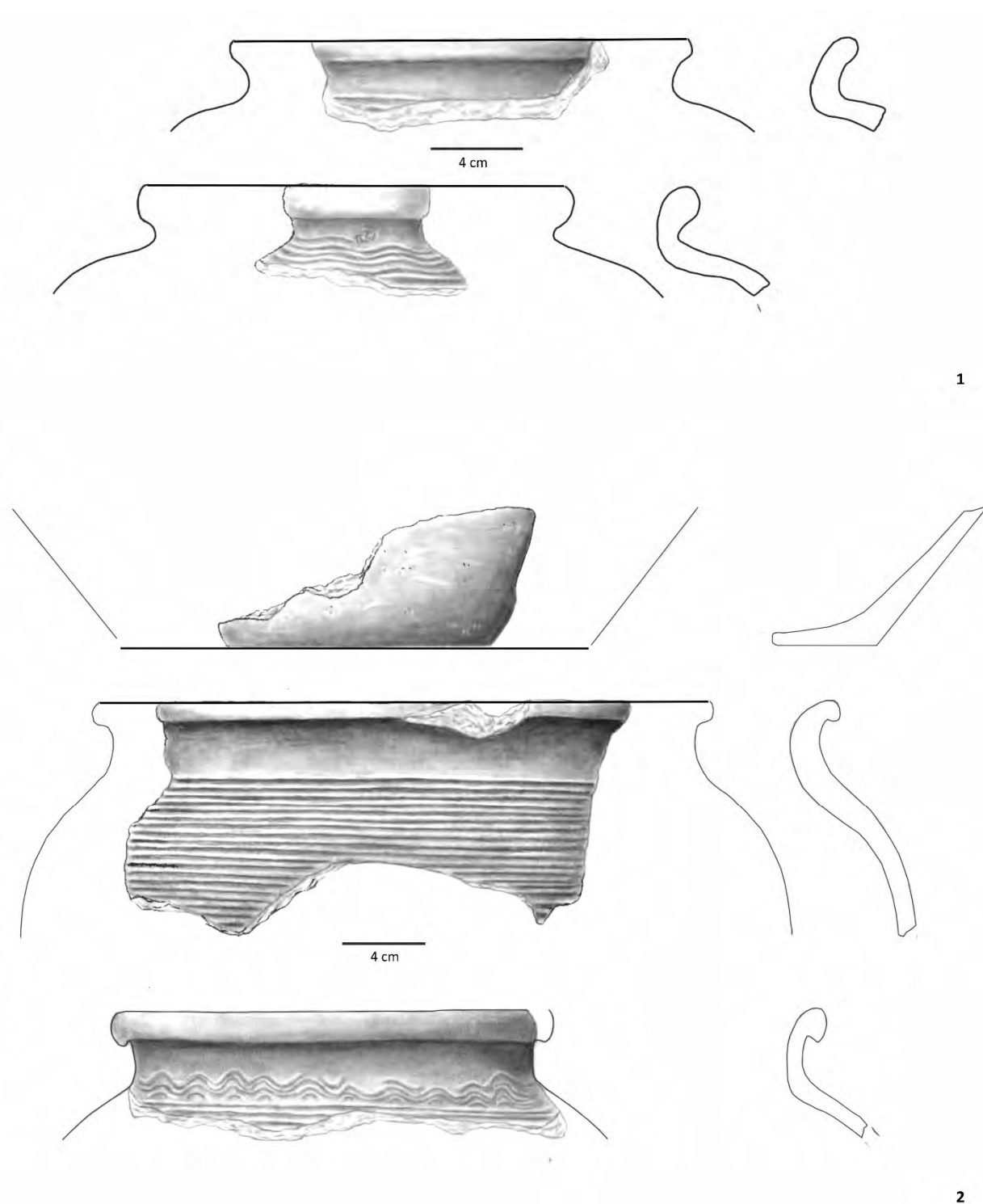


Figura 25. 1. Fragmente ceramice din Cpl. 10; 2. Fragmente ceramice din bordeiul cu cuptor Cpl. 14 (desene Raluca Dobrogeanu) / 1. Pottery fragments from Cpl. 10; 2. Pottery fragments from Cpl. 14 (drawings by Raluca Dobrogeanu).

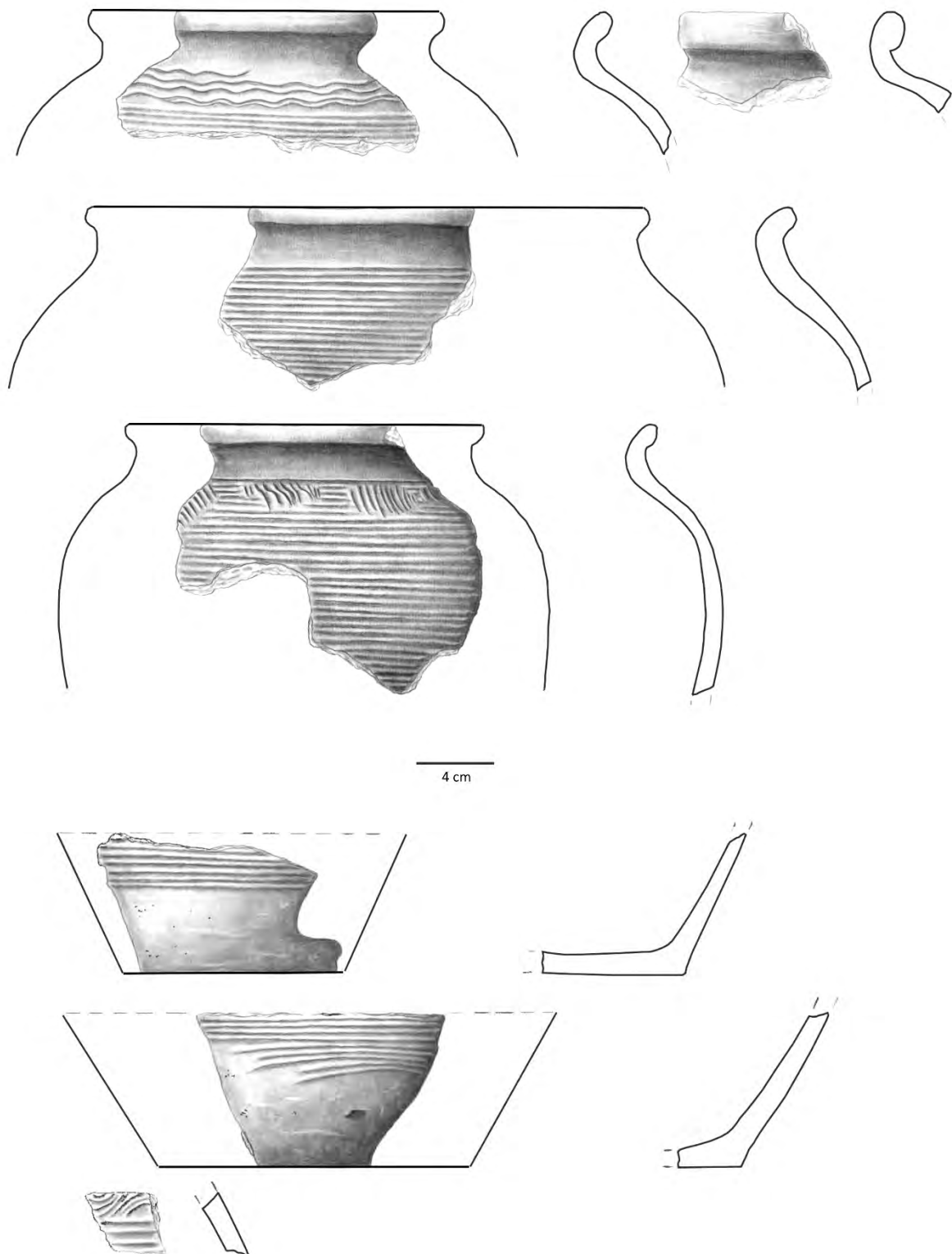


Figura 26. Fragmente ceramice din bordeiul cu cuptor Cpl. 14 (sec. al IX-lea) (desene Raluca Dobrogeanu) / Pottery fragments from Cpl. 14 (drawings by Raluca Dobrogeanu).

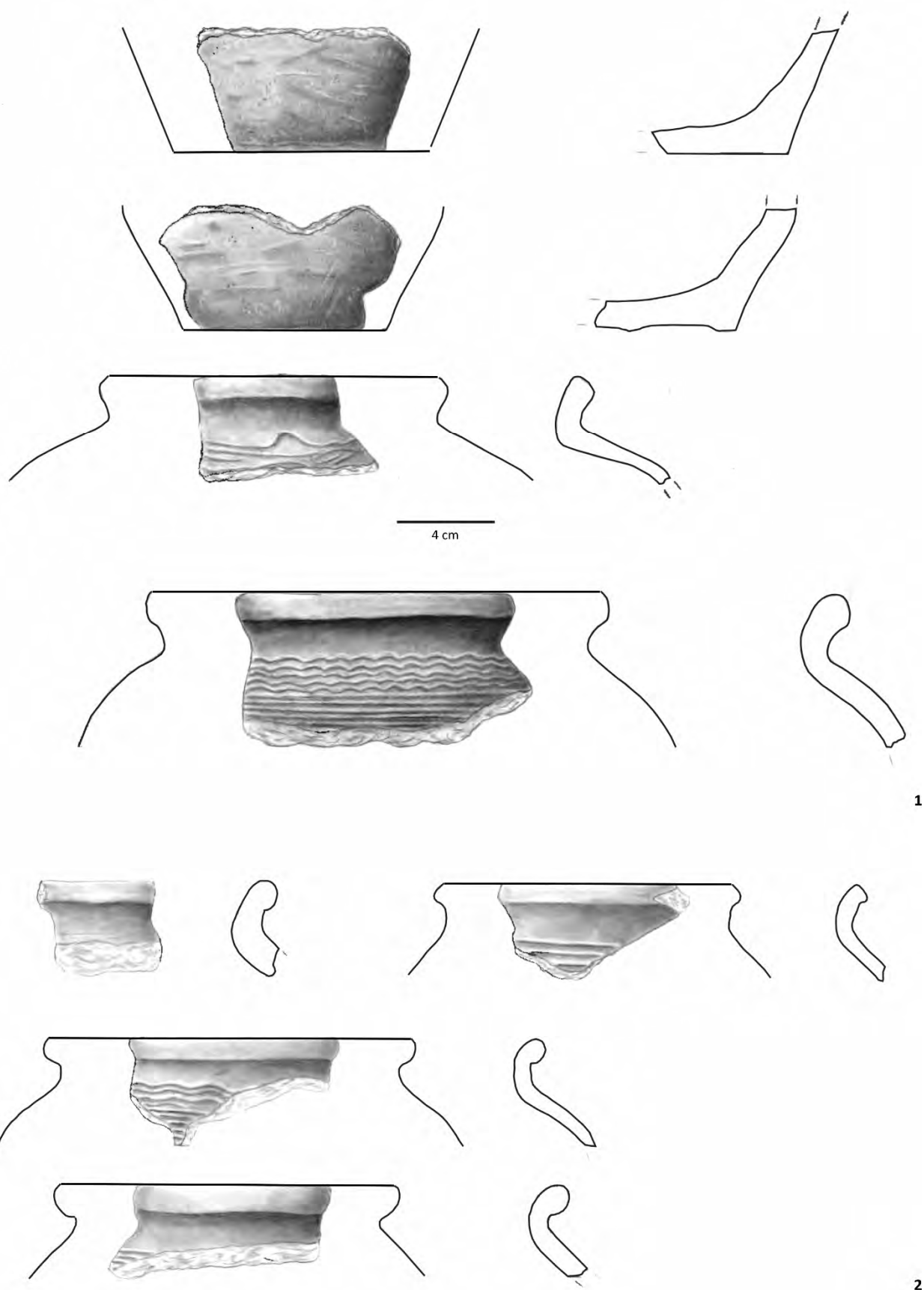


Figura 27. 1. Ceramică din umplutura Cpl. 16; 2. Ceramică din cuptorul Cpl. 17 (desene Raluca Dobrogeanu) / 1. Pottery fragments from the infill of Cpl. 16; 2. Pottery fragments from Cpl. 17 (drawings by Raluca Dobrogeanu).

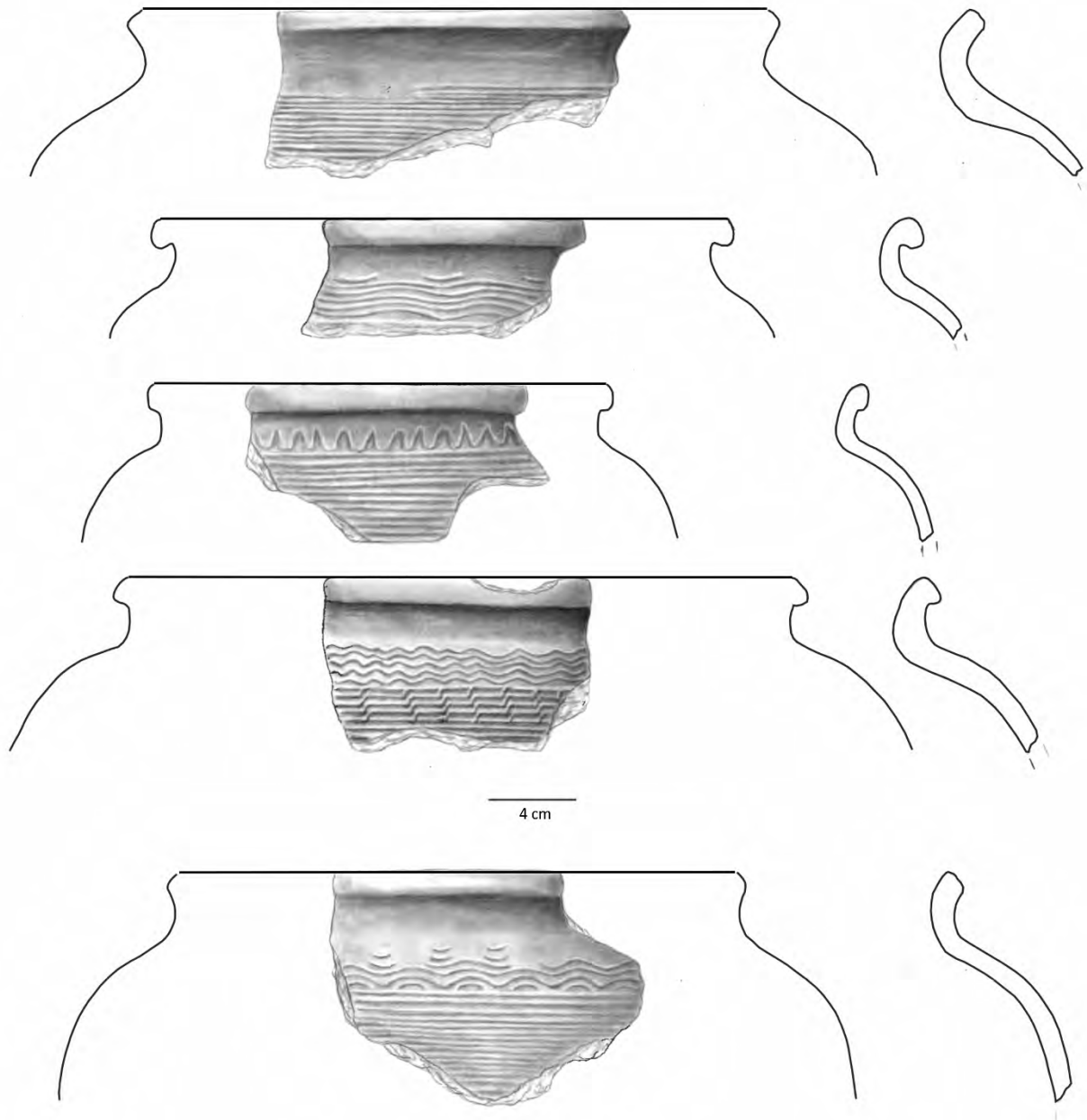


Figura 28. Ceramică din cuptorul Cpl. 19 (desene Raluca Dobrogeanu) / Pottery from oven Cpl. 19 (drawings by Raluca Dobrogeanu).

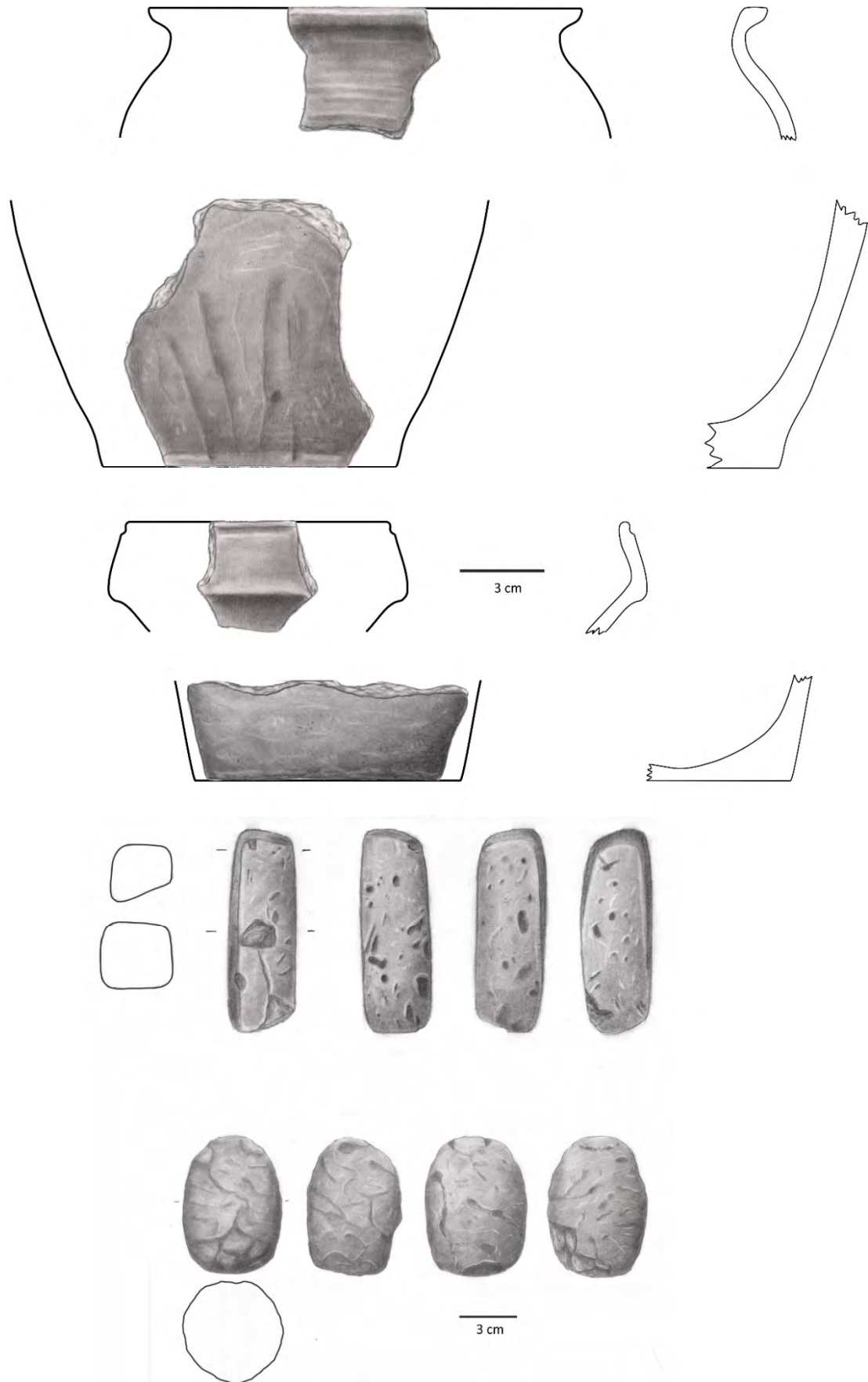


Figura 29. Fragmente ceramice și vălătuci din bordeiul cu cuptor Cpl. 20 (desene Raluca Dobrogeanu) / Pottery fragments and clay cobs from oven Cpl. 20 (drawings by Raluca Dobrogeanu).

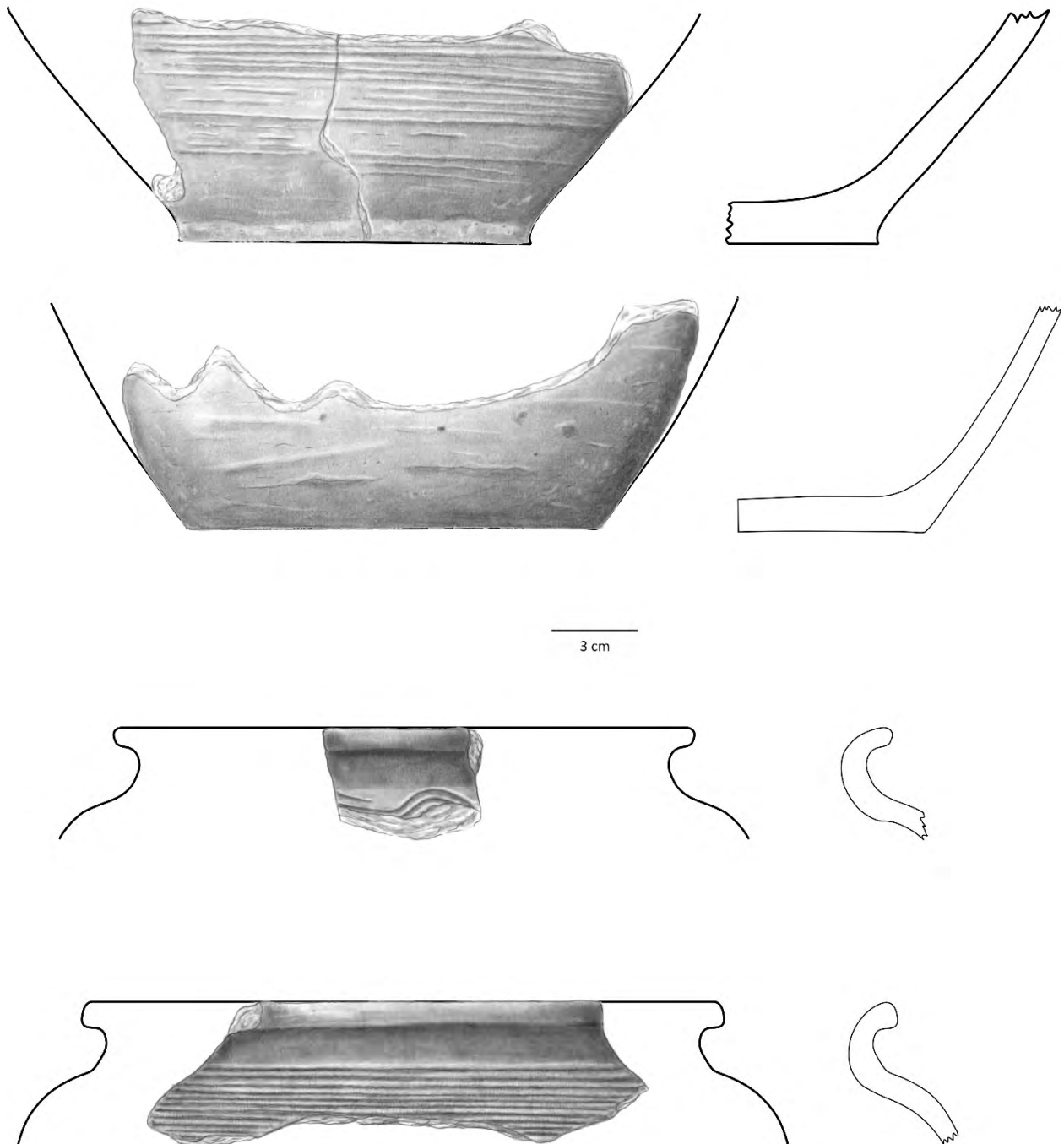


Figura 30. Fragmente ceramice din bordeiul cu cuptor Cpl. 22 (desene Raluca Dobrogeanu) / Pottery fragments from oven Cpl. 20 (drawings by Raluca Dobrogeanu).

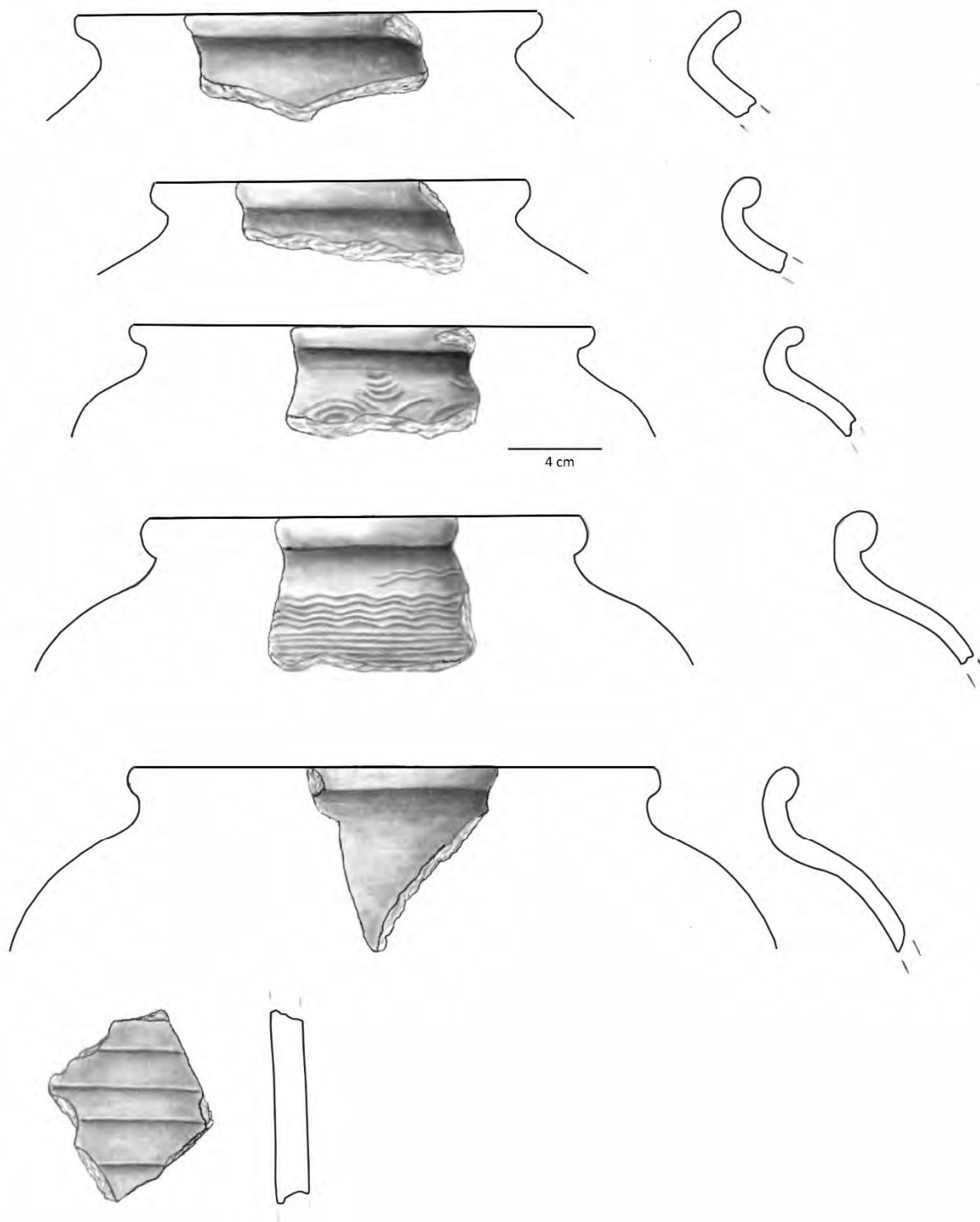


Figura 31. Fragmente ceramice din bordeiul Cpl. 24 (desene Raluca Dobrogeanu) / Pottery fragments from pithouse Cpl. 24 (drawings by Raluca Dobrogeanu).

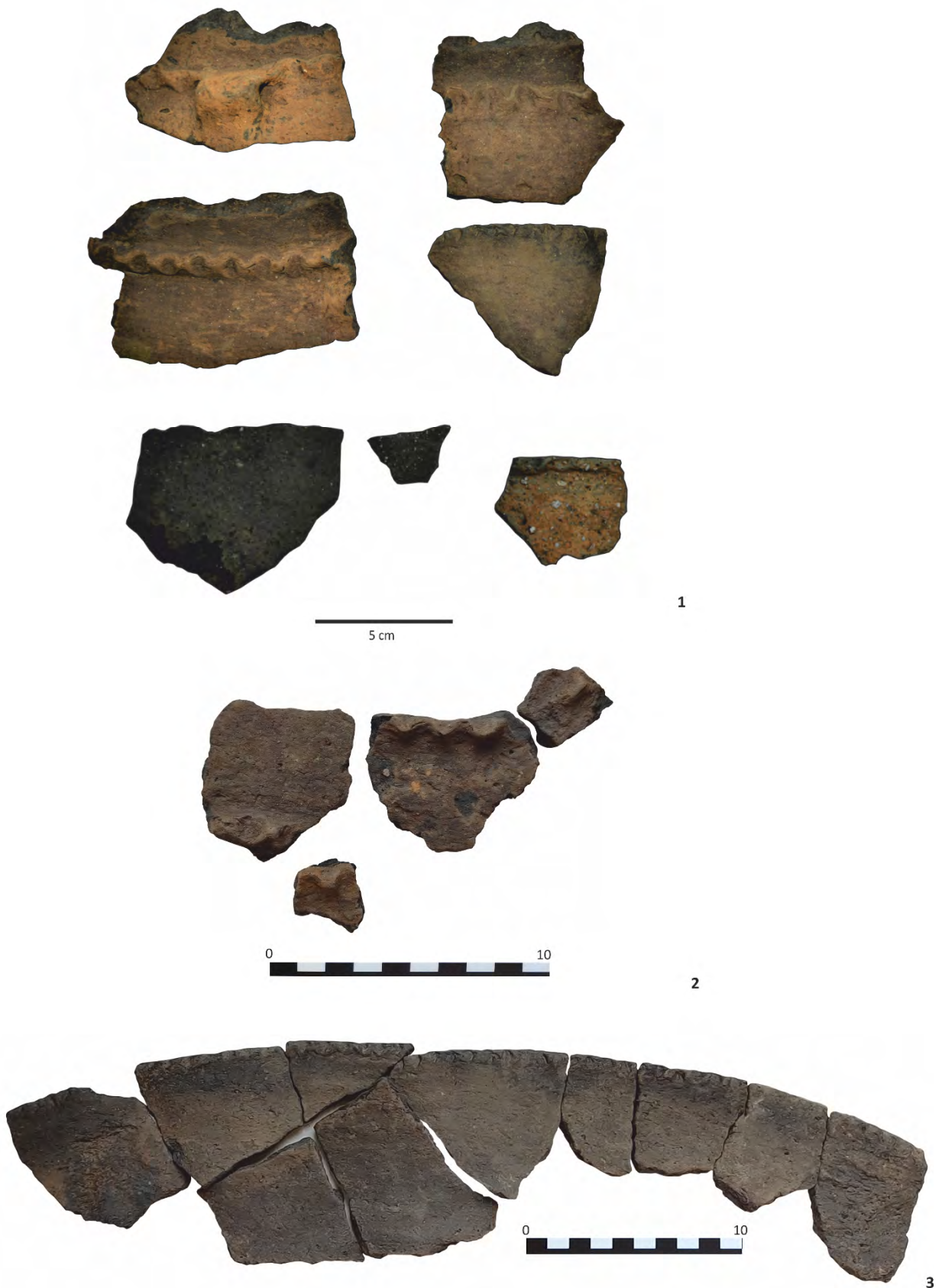


Figura 32. Ceramică atribuită epocii bronzului (cultura Tei) din Cpl. 2 / Bronze Age pottery (Tei culture) from Cpl. 2.

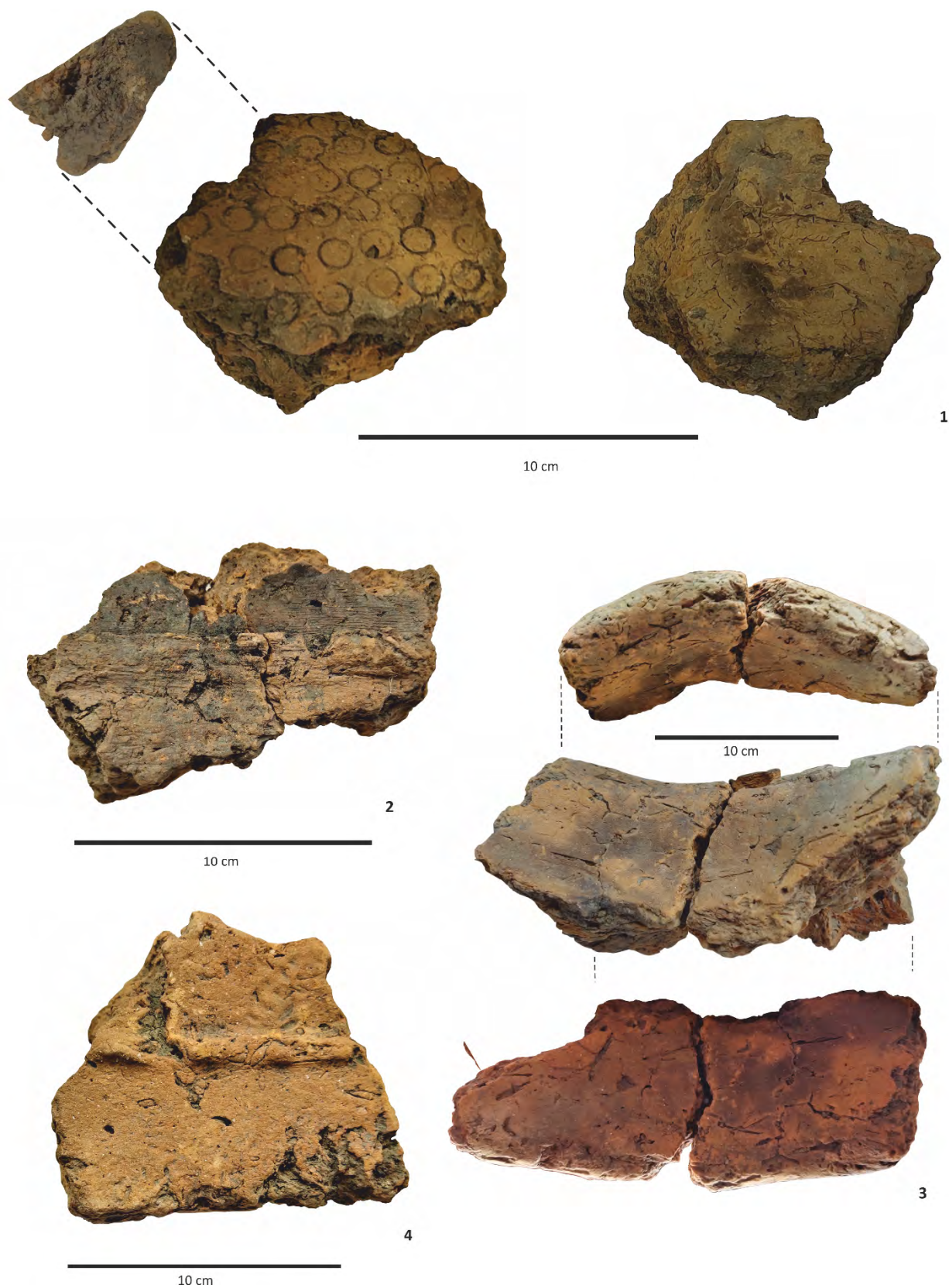


Figura 33. Fragmente de vatră portabilă din Cpl. 7 bis / Fragments of a mobile hearth from Cpl. 7 bis.



Figura 34. Piese ceramice și de metal din locuința Cpl. 5 (sec. al XVIII-lea) / Pottery and metal items from Cpl. 5 (18th century).



Figura 35. 1. Piatră de ascuțit din Cpl. 19 bis; 2. Fragmente de râșniță din cuptorul Cpl. 6; 3. Fragmente de râșniță din Cpl. 7 bis / 1. Sharpening stone from Cpl. 9 bis; 2. Fragments of grinding stones from oven Cpl. 6; 3. Fragments of grinding stones from Cpl. 7 bis.



Figura 36. 1 Fragmente de zgură din Cpl. 22; 2. Piese de industrie litică din Cpl. 7 bis / 1. Iron slag fragments from Cpl. 22; 2. Lithics from Cpl. 7 bis.

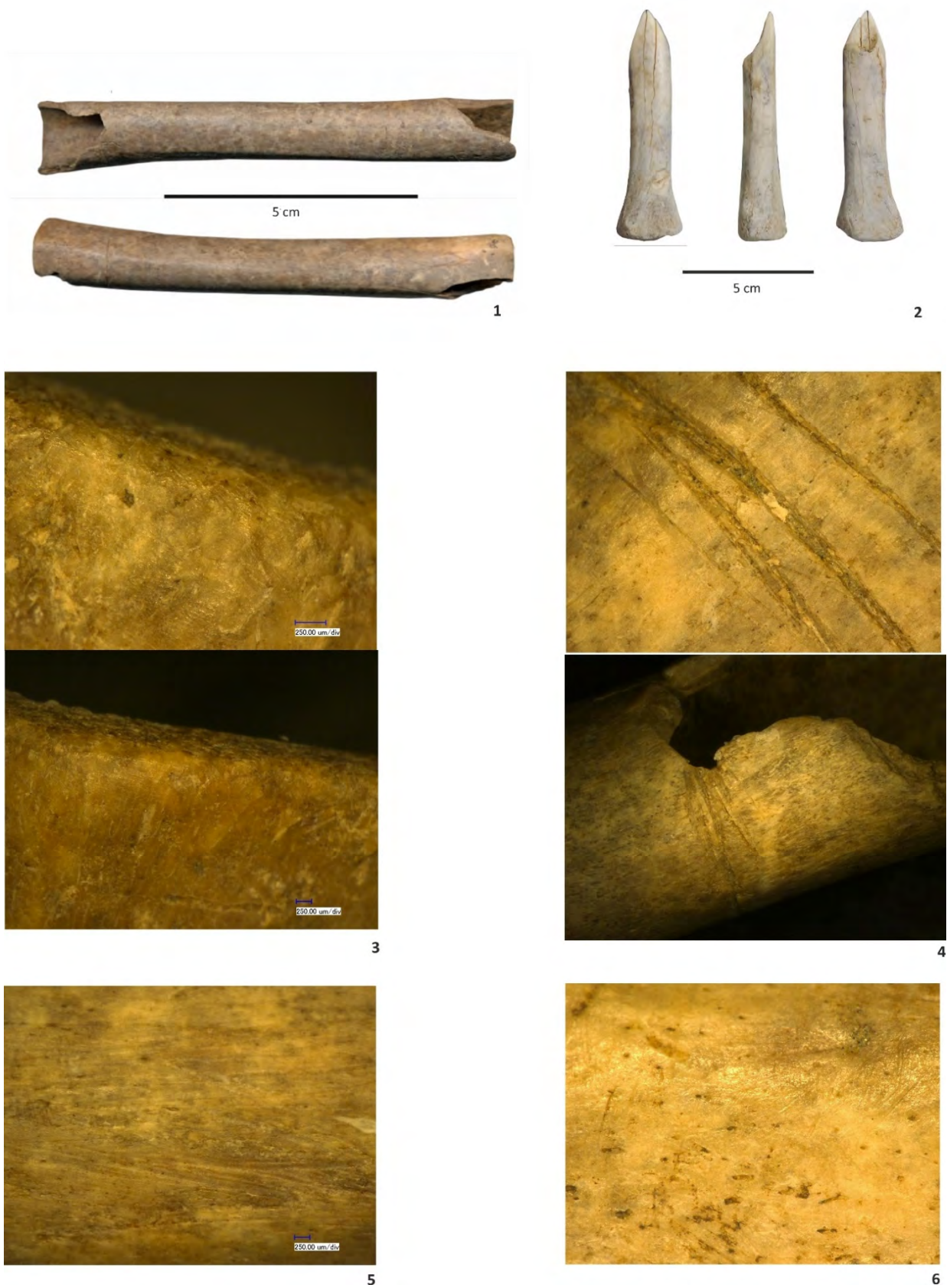


Figura 37. Piese de os din bordeiul cu cuptor Cpl. 7bis. 1. Mâner; 2. Vârf; 3 (sus). Urme de sciage la capetele mânerului; 3 (jos). Urme de segmentare și abraziune; 4. Urme de sciage (sus) și segmentare (jos) lăsate de încercarea de eliminare a părții fracturate; 5. Urme de raclage de la curățarea suprafeței; 6. Suprafață cu lustru / Bone artefacts from pithouse Cpl. 7 bis. 1. Handle; 2. Point; 3 (up). Cutting marks at the extremities of the handle; 3 (down). Segmentation and abrasion marks; 4. Cutting marks (up) and segmentation marks (down) left by the attempt to eliminate the fractured part; 5. Scraping marks left by the cleaning of the surface; 6. Surface with polish.

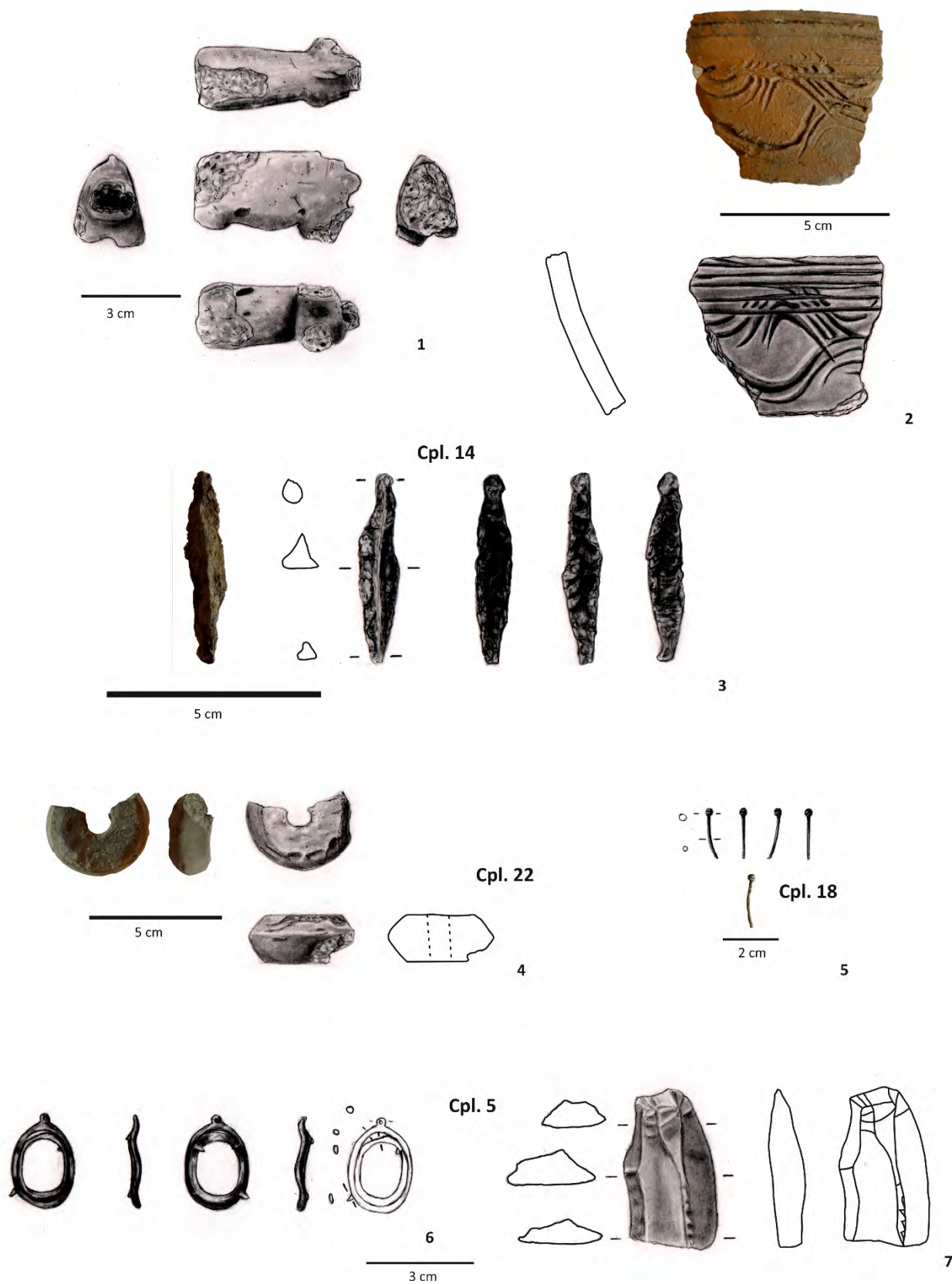


Figura 38. 1. Figurină zoomorfă aparținând epocii bronzului recuperată din umplutura bordeiului Cpl. 14; 2. Fragment ceramic din bordeiul Cpl. 14; 3. Vârf de săgeată din fier din bordeiul cu cuptor Cpl. 14; 4. Fusaioală din Cpl. 22; 5. Ac de basma din mormântul Cpl. 18; 6. Pandantiv din bordeiul Cpl. 5; 7. Fragment de lamă de silex din locuința Cpl. 5 / 1. Zoomorphic Bronze Age figurine from the infill of pithouse Cpl. 14; 2. Pottery fragments from Cpl. 14; 3. Iron arrow point from Cpl. 14; 4. Spinning whorl from Cpl. 22; 5. Head-pin from burial Cpl. 18; 6. Pendant from pithouse Cpl. 5; 7. Fragment of flint blade from pithouse Cpl. 5.



Figura 39. Mormântul Cpl. 18. 1. Pete de culoare verzuie pe parietale (neurocraniu, superior – restaurat, criptozig); 2. Tartru supragingival pe I₁–M₁, bilateral, labial și bucal (mandibulă, anterior); 3. Cribra orbitalia pe plafonul orbitei drepte (frontal, inferior, ectocranial); 4. Rotația disto-linguală a I¹ stâng (maxile, anterior) (foto Cătălin Nicolae) / Burial Cpl. 18. 1. Greenish inprints on the parietal bones (neural skull, superior – restaured, criptozyg); 2. Dental calculus on I₁–M₁, bilateral, labial and buccal (mandible, anterior); 3. Cribra orbitalia on the right orbit (frontal, inferior, ectocranial); 4. Disto-lingual rotation of I¹ (maxilla, anterior) (photos by Cătălin Nicolae).

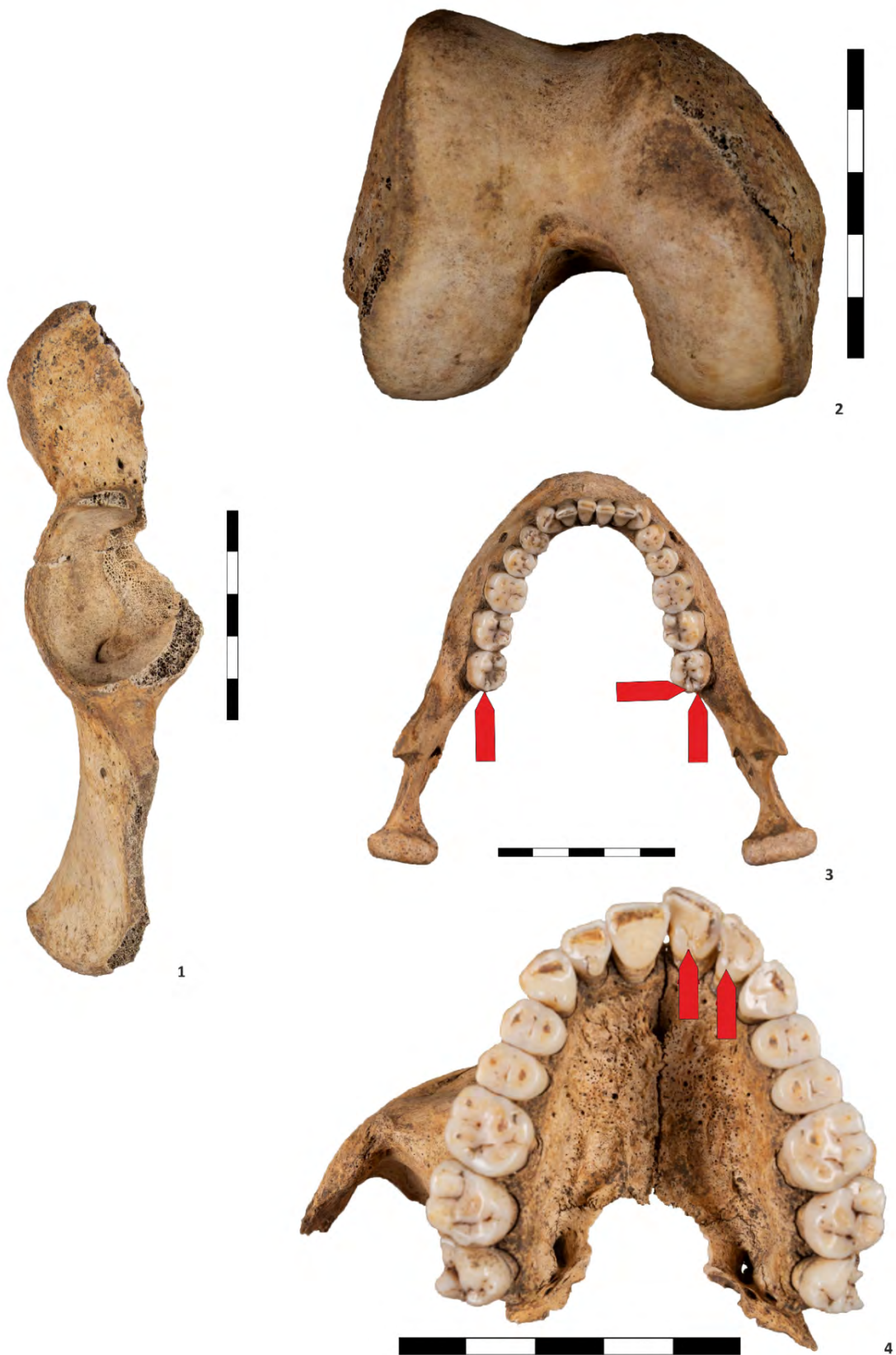


Figura 40. Mormântul Cpl. 18. 1. Creastă acetabulară (coxal stâng, lateral); 2. Amprentă osteocondritică (femur drept, distal); 3. Cuspidul 5 (hipoconulid) pe M_3 , bilateral (triunghi); cuspidul 6 (entoconulid) pe M_3 drept (săgeată) (mandibulă, anterior); 4. Șanțuri prezente pe suprafața medială a cingulum-ului incisivilor stângi (maxile, inferior) (foto Cătălin Nicolae) / Burial Cpl. 18. 1. Acetabular crease (left coxal, lateral); 2. Osteochondritic imprint (right femur, distal); 3. Cuspid 5 (hypoconulid) on M_3 , bilateral (triangles); cuspid 6 (entoconulid) on right M_3 (arrow) (mandible, anterior); 4. Interruption grooves on the median area of the cingulum of the left incisors (maxilla, inferior) (photos by Cătălin Nicolae).

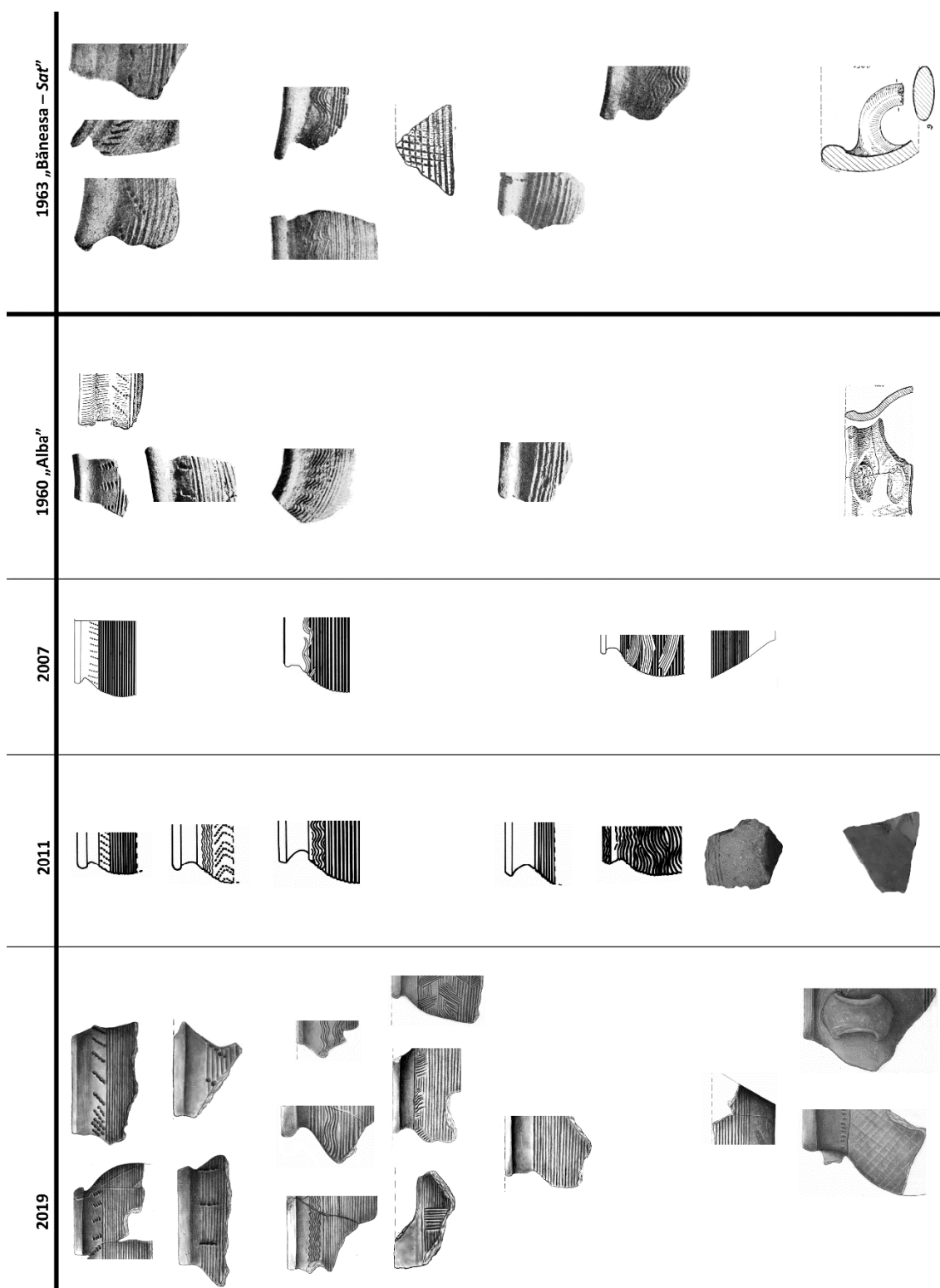


Figura 41. Tabel comparativ al ceramicii din siturile menționate în text / Comparative table of pottery types from the sites mentioned in the text.

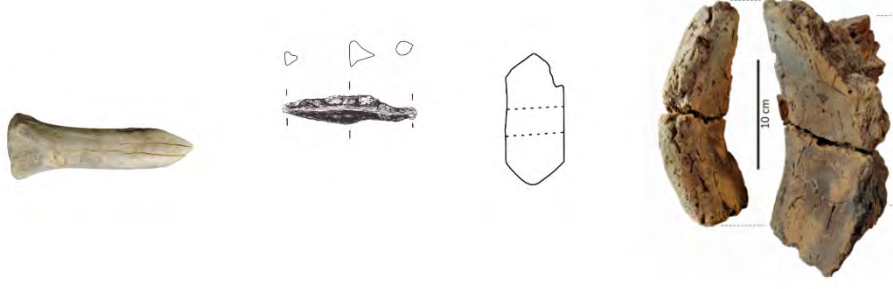

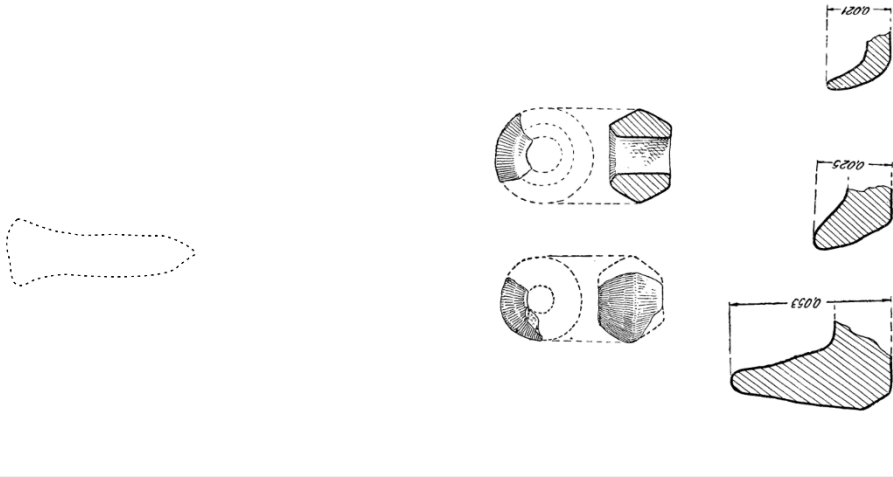
<p>2019</p> 	<p>2011</p> <p>?</p>	<p>2007</p> <p>?</p>	<p>1960 „Alba”</p> <p>?</p> 	<p>1963 „Băneasa – Sat”</p> 
--	----------------------	----------------------	--	--

Figura 42. Tabel comparativ al pieselor „speciale” din siturile menționate în text / Comparative table of so-called „special” finds from the sites mentioned in the text.

ABREVIERI / ABRÉVIATIONS / ABBREVIATIONS

- AA – Archäologischer Anzeiger. Deutsches Archäologisches Institut, Darmstadt, München, Tübingen–Berlin
ACMI – Anuarul Comisiunii Monumentelor Istorice, București
ACSS – Ancient Civilisations from Scythia to Siberia, Leiden
ActaMN – Acta Musei Napocensis, Cluj
ActaMP – Acta Musei Porolissensis, Zalău
ADelt – Αρχαιολογικόν Δελτίον (A = Μελέτες, B = Χρονικά)
AISEE – Annuaire de l'Institut des Etudes Sud-Est Européennes, Bucarest
AJPA – American Journal of Physical Anthropology
AM – Mitteilungen des Deutschen Archäologischen Instituts, Athenische Abteilung, Berlin
Angustia – Angustia. Arheologie, Etnografie, Sfântu Gheorghe
ANRW – *Aufstieg und Niedergang der römischen Welt. Geschichte und Kultur Roms im Spiegel der neueren Forschung*, Berlin – New York, 1972–1998
AnUVT - Annales d'Université "Valahia" Târgoviște, Section d'Archéologie et d'Histoire
AO – Arhivele Olteniei, Craiova
ArchPF – Archiv für Papyrusforschung und verwandte Gebiete
ARA – Annuaire Roumain d'Anthropologie
ArchKorr – Archäologisches Korrespondenzblatt, Mainz
Argesis – Argesis. Muzeul Județean Argeș. Pitești
ArhMed – Arheologia Medievală. Complexul Muzeal Bistrița-Năsăud, Bistrița
ArhMold – Arheologia Moldovei, Iași
AȘUI – Analele științifice ale Universității Alexandru Ioan Cuza, Iași
AWE – Ancient West and East
BA – Biblioteca de Arheologie, București
BaBesch – Bulletin antieke beschaving. Annual Papers on Classical Archaeology
Banatica – Banatica, Muzeul Banatului Montan, Reșița
BARBrSer - British Archaeological Reports. British Series, Oxford
BARIntSer – British Archaeological Reports. International Series, Oxford
BASOR – Bulletin of the American Schools of Oriental Research, University of Chicago
BCH – Bulletin de Correspondance Hellénique, Athènes-Paris
BCMI – Buletinul Comisiunii Monumentelor Istorice
BiblEphemNap – Bibliotheca Ephemeris Napocensis, Cluj-Napoca
BibIstroPontica-A – Biblioteca Istro-Pontica. Seria Arheologie, Tulcea
BibIMusNap – Biblioteca Musei Napocensis, Cluj-Napoca
BibIThrac – Bibliotheca Thracologica, București
BMJT – Buletinul Muzeului Județean Teleorman, Alexandria
BSA – British School at Athens, Athens
BSPF – Bulletin de la Société Préhistorique Française, Paris
CA – Cercetări arheologice, București
CAB – Cercetări arheologice în București
Caiete ARA – Caietele ARA, Revistă de Arhitectură, Restaurare și Arheologie, Asociația ARA, București
CCA – Cronica Cercetărilor Arheologice din România, București
CCDJ – Cultură și Civilizație la Dunărea de Jos, Călărași
CercIst – Cercetări Istorice, Iași
Dacia – Dacia (Nouvelle Série). Revue d'archéologie et d'histoire ancienne. Académie Roumaine. Institut d'archéologie « V. Pârvan », Bucarest
DHA – Dialogues d'histoire ancienne, Institut des Sciences et Techniques de l'Antiquité
Documenta Praehistorica – Documenta Praehistorica, University of Ljubljana, Faculty of Arts, Department of Archaeology, Ljubljana
EphemNap – Ephemeris Napocensis. Academia Română, Institutul de Arheologie și Istoria Artei, Cluj-Napoca
Eulimene – Εὐλιμένη (Μεσογειακή Αρχαιολογική Εταιρεία)

Fitch Lab. Occ. Papers – British School at Athens, Fitch Laboratory occasional paper
 FSI – Forensic Science International
 Hesperia – Hesperia. Journal of the American School of Classical Studies at Athens, Cambridge
 IJO – International Journal of Osteoarchaeology
 IzvestijaSofia – Известия на Националния археологически институт
 JAHA – Journal of Ancient History and Archaeology, Cluj-Napoca
 JAnat – Journal of Anatomy
 JAS – Journal of Archaeological Science
 JFS – Journal of Forensic Sciences
 JHE – Journal of Human Evolution
 JJurP – The Journal of Juristic Papyrology, Warsaw
 IJP – International Journal of Paleopathology
 KSIA – Kratkije Soobščenija Instituta Arheologij Akademij Nauk SSSR, Moskva
 MarNero – Il Mar Nero. Annali di archeologia e storia
 MCA – Materiale și Cercetări Arheologice, București
 Mousaios – Mousaios. Buletinul Științific al Muzeului Județean Buzău
 Oltenia – Oltenia. Studii și Comunicări, Craiova
 PAS – Prähistorische Archäologie in Südosteuropa, München-Berlin
 Peuce – Peuce, Studii și cercetări de istorie și arheologie, Institutul de Cercetări Eco-Muzeale, Tulcea
 Pontica – Pontica. Studii și materiale de istorie, arheologie și muzeografie, Muzeul de Istorie Națională și Arheologie
 Constanța
 PZ – Prähistorische Zeitschrift, Berlin-Mainz
 RazPr – Razkopki i Proučvanija, Sofia
 RCAN – Revista de Cercetări Arheologice și Numismatice, Muzeul Municipiului București
 RCRFActa – Rei Cretariae Romanae Fautorum
 REA – Revue des Etudes Anciennes, Bordeaux
 RMM.MIA – Revista Muzeelor și Monumentelor, seria Monumente Istorice și de Artă, București
 RPAN – Revista de preistorie și antichități naționale, București
 RPRP – Reports of Prehistoric Research Projects, Salt Lake City, Utah
 SCIV(A) – Studii și Cercetări de Istorie Veche (și Arheologie), București
 SCN – Studii și Cercetări de Numismatică, București
 SP – Studii de Preistorie, București
 StratumPlus – Stratum Plus, Școala Superioară de Antropologie, Chișinău, St Petersburg, București
 StTroica – Studia Troica, Mainz-am-Rhein
 Th-D – Thraco-Dacica, București
 Tyragetia – Tyragetia. Anuarul Muzeului Național de Istorie a Moldovei, Chișinău
 UPA – Universitätsforschungen zur Prähistorischen Archäologie, Bonn
 WorldA – World Archaeology